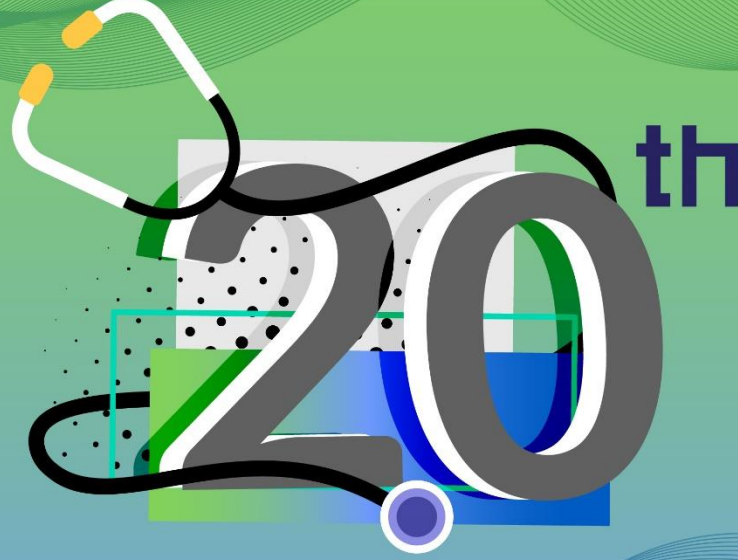


18-19
OCTOBER
2025

ANKARA



**20th International Medicine
and Health Sciences
Researches Congress**

**CONFERENCE
ABSTRACTS
ÖZET KİTAPÇIĞI**

www.utsakcongress.com



20th UTSK, 18-19 October 2025, Ankara



20th International Medicine and Health Sciences Researches Congress

*20. Uluslararası
Tıp ve Sağlık Bilimleri Araştırmaları Kongresi*

UTSAK

18 - 19 Ekim 2025

Ankara

*Medicine and Health Sciences
Tıp ve Sağlık Bilimleri*

*Abstracts Book
Özet Kitabı*

ISBN: 978-625- 5909-61-9

Editor

Prof. Dr. Zahide DOĞANAY



Ankara 2025



20th UTSAK, 18-19 October 2025, Ankara



Publishing Director / Yayın Yönetmeni

Muhammet ÖZCAN

Editor / Editör

Prof. Dr. Zahide DOĞANAY

Cover Design / Kapak Tasarımı

Bülent POLAT

Interior Design / İç Tasarım

Mahmut Sami TEMİZ

ISBN

978-625-5909-61-9

Asos Yayınevi

1st Edition / 1. Baskı: 25 Ekim 2025

Address / Adres: Çaydaçıra Mah. Hacı Ömer Bilginoğlu Cad. No:
67/2-4/Merkez/Elazığ

E-Mail: asos@asosyayinlari. com

Web: www. asosyayinlari. com

Instagram: <https://www. instagram. com/asosyayinevi/>

Facebook: <https://www. facebook. com/asosyayinevi/>

Twitter: <https://twitter. com/Asosyayinevi>





BOARDS / KURULLAR

Supporting Institutions / Destekleyen Kurumlar

Kastamonu Üniversitesi

Chairman of the Organizing Committee / Düzenleme Kurulu Başkanı

Prof. Dr. Zahide DOĞANAY, Kastamonu Üniversitesi

Congress Organizing Committee / Düzenleme Kurulu

Dr. Nikola BRZANOV, University Clinic for Traumatology, Skopje

Prof. Dr. Marija Jovanovski SRCEVA, University Clinic for Traumatology, Skopje

Dr. Sabina İSARFİLOVA, Azerbaycan Devlet Tıp Üniversitesi

Doç. Dr. Münire BABAYİĞİT, Atatürk Sanatoryum Eğitim ve Araştırma Hastanesi

Doç. Dr., Vazirova Sevda RAUF, Azerbaijan Pedagogical University

Doç. Dr. Ayşe YILMAZ, Kastamonu Üniversitesi

Dr. Öğretim Üyesi Neslihan Külahlıoğlu, Sağlık Bilimleri Üniversitesi

Dr. Gizem KURADA, Kastamonu Üniversitesi

Science and Referee Board / Bilim ve Hakem Kurulu

Doç. Dr. Mehmet Akif AKÇAL, Antalya Atatürk Devlet Hastanesi

Dr. Mertcan AKÇAY, Kastamonu Eğitim ve Araştırma Hastanesi

Prof. Dr. Sibel AKYOL, İstanbul Üniversitesi – Cerrahpaşa

Dr. Firas Shawqi ALGBURI, Tikrit Üniversitesi, Tıp Fakültesi

Doç. Dr. Mehmet AYKUR, Tokat Gaziosmanpaşa Üniversitesi

Prof. Dr. Ghassan AZİZ, University of Damascus, Damascus, Syria

Doç. Dr. Münire BABAYİĞİT Keçiören Eğitim Araştırma Hastanesi

Dr. Farah BAKHİSHLİ, Azerbaijan Medical University

Prof. Dr. Sandor BENİCZKY, Aarhus Üniversitesi, Aarhus, Danimarka

Dr. Öğretim Üyesi Furkan BİLEK, Muğla Sıtkı Koçman Üniversitesi

Doç. Dr. Mustafa Suat BOLAT, Samsun Gazi Devlet Hastanesi

Dr. Aleksandra Gavrilovska BRZANOV, University Clinic for Traumatology

Dr. Öğretim Üyesi Tuğcan DEMİR, Giresun Üniversitesi

Doç. Dr. Mensure ÇAKIRGÖZ, İzmir Katip Çelebi Üniversitesi

Prof. Dr. Zahide DOĞANAY, Kastamonu Üniversitesi

Assoc. Prof. Dr. Kristian Dreij, Karolinska Institutet, Stockholm, Sweden.

Doç. Dr. Sevinj FATULLAYEVA, Azerbaijan Medical University

Assoc. Prof. Dr. Daniela GEORGİEVA, University Clinic for Orthopedic Surgery, Skopje,

Doç. Dr. Şener GEZER, Kocaeli Üniversitesi

Prof. Dr. Handan GÜLEÇ, Ankara Yıldırım Beyazıt Üniversitesi

Dr. Öğretim Üyesi Hatice GÜLER, Erciyes Üniversitesi

Asst. Prof. Dr., Waseem Hassan, Comsats University Islamabad, Lahore Campus, Pakistan

Asst. Prof. Dr., Hammad Ahmad, Imran Idrees College of Pharmacy, Sialkot, Pakistan

Doç. Dr. Sinem İnce BİNGÖL, Başkent Üniversitesi

Dr. Öğretim Üyesi Onur İNAM, Columbia University Irving Medical Center, New York

Dr. Janchulev JOSİF, University Clinic for Urology,

Dr. Öğretim Üyesi Hafize KIZILKAYA, Yozgat Bozok Üniversitesi

Prof. Dr. Dvoryakovski İgor, National Medical Research Center for Children

Prof. Dr. Hossein Janmohammadi, University of Tbariz

Prof. Dr. Fatih Mehmet KANDEMİR, Aksaray Üniversitesi

Dr. Yegane QASIMOVA, Pediatri Enstitüsü, Bakü, Azerbaycan

Assoc. Prof. Dr. Ruhollah KİANFAR, University of Tbariz

Dr. Natalia KOROLOVA, National Pirogov Memorial Medical University

Dr. Mustafa Aykut KURAL, Aarhus Üniversitesi, Aarhus, Danimarka

Dr. Jovanovski Srceva MARİJA, University Clinic for Traumatology, R. Macedonia

Prof. Dr. Snežana MARKOVIĆ, Univerzitet U Prištini, Republika Kosova



Dr. Olena MATSENİUS Kherson Bölgesel Onkoloji Merkezi, Ukrayna
Doç. Dr. Tülay Elal MUŞ, Bursa Uludağ Üniversitesi
Doç. Dr. İsmail NALBANTOĞLU, Lokman Hekim Üniversitesi
Uzman Dr. Mahir NASİROV, Caspian International Hospital
Assoc. Prof. Dr. Tijana Nastasovic, Clinical Center of Serbia - Belgrade
Dr Brzanov NİKOLA, University Clinic for Traumatology, Skopje R. Macedonia
Prof. Dr. Besim Ben NISSAN, University of Technology Sydney
Prof. Dr. Oğuz OMay, Kocaeli Üniversitesi
Assoc. Prof. Dr. Majid OLYAEE, University of Tbariz
Doç. Dr. Hatice ÖZDEMİR, Atatürk Üniversitesi
Dr. Öğretim Üyesi Gülşah ÖZTÜRK ÖZLÜK, Memorial Sisli Hastanesi
Prof. Dr. İbrahim İlker OZYIGIT, Kyrgyz-Turkish Manas University, Bishkek, Kyrgyzstan
Dr. Ioannis PAPANOTİRİOU - Reserach Genetic Cancer Center, Switzerland
Doç. Dr. Meryem Kuru Pekcan, Sağlık Bilimleri Üniversitesi
Dr. Svetlana Radeva, Medical Uniiversiyu of Varna, Bulgaria
Dr. Öğretim Üyesi Şahin PAŞALI, Kastamonu Üniversitesi
Prof. Dr. Mınoo RASSOULZADEGAN, Erciyes Üniversitesi
Prof. Dr. Artamonov Rudolf, Faculty of Pediatrics, Russian State Medical University
Prof. Dr. Skender SAİDİ, University Clinic for Urology, Skopje
Doç. Dr. Hasan SALKIN, Beykent Üniversitesi
Dr. Öğretim Üyesi Gülçün Türkmen SARIYILDIZ, Ankara Medicana International Hastanesi
Dr. Öğretim Üyesi Osman Anıl SAVAŞ, İstanbul Üniversitesi
Prof. Dr. Marija Jovanovski SRCEVA, University Clinic for Traumatology
Prof. Dr. Eteri. T. Surguladze Uniiversity of Kutaisi., Kutaisi, Georgia
Prof. Dr. Ğryna SOKUR - Kherson Regional Oncologic Dispensary, Ukrayna
Doç. Dr. Ramida ŞADLİNSKAYA, Azerbaijan Medical University
Prof. Dr. Muamer SULJİĆ, Int. Univerzitet U Goraždu, bosna i Herecgovina
Doç. Dr. Mutlu ŞAHİN, Özel Koru Hastanesi Hastanesi
Doç. Dr. Tuna ŞAHİN, Adnan Menderes Üniversitesi
Dr. Öğretim Üyesi Tuba ŞAHİNOĞLU, Selçuk Üniversitesi
Dr. Makbule Tambas, University Medical Center Groningen, University of Groningen,
Doç. Dr. Murat TOPAL, Kastamonu Üniversitesi
Prof. Dr. Roza Dzoleva TOLEVSKA, University Clinic for Orthopedic Surgeryi, Skopje
Doç. Dr. Kamil Gökçe TULACI, Balıkesir Üniversitesi
Dr. Stankov VİKTOR, Uniersity Clinic for Urology, Macedonia
Doç. Dr. Metin YADİGAROĞLU, Samsun Üniversitesi
Prof. Dr. Tülin Yıldız, Tekirdağ Namık Kemal Üniversitesi
Dr. Ayşe YILMAZ, Kastamonu Üniversitesi
Dr. Elkhan ZARGAROV, Armed Forces Main Clinical Hospital Baku, Azerbaijan

SEKRETER

Zuhal KOÇ



ÖZETLER

ABSTRACTS

İÇİNDEKİLER

Apeksifikasyona Alternatif Bir Yöntem Olarak İmmatür Nekrotik Dişte Rejeneratif Endodontik Tedavi: Olgu Sunumu	15
Aseptomatik Apikal Periodontitisin Tedavisinde Mta ve Biyoseramik Kök Kanal Patlarının Kullanımı: Vaka Serisi	17
Bruksizmde Güncel Tanı ve Tedavi Yaklaşımları	19
Çocuk Diş Hekimliğinde Tükürük Proteinlerinin Stabilitate ve Dinamik Özelliklerinin Bilgisayarlı Analizi	21
Dental İmplant Cerrahisi Öncesi ve Sonrası Anksiyete ve Ağrı Seviyelerinin Karşılaştırılması	22
Dental Sınıf I Maloklüzyonun Şeffaf Plaklarla Düzeltilmesi: Üst Molarların Distalizasyonu ve Rotasyonuna Yönelik Yaklaşımlar	23
Dişeti Çekilmesinin Kombine Otojen Yumuşak Doku Grefti ve Laterale Kaydırılan Flap ile Tedavisi: Olgu Sunumu	25
Endo-Periodontal Lezyonlarda Biyoseramik Kök Kanal Patlarıyla Endodontik Yönetimi: Vaka Serisi	27
Endodontik Tedavili Dişlerde Cad/cam Overlay Restorasyonların Klinik Değerlendirilmesi: Split-Mouth Çalışma	29
İmplant Diş Hekimliğinde Osseointegrasyon Araştırmalarının Haritalanması: Bibliyometrik Bir Çalışma	31
Liken Planus Tanılı Bir Hastanın Şeffaf Plaklarla Ortodontik Tedavisi: Vaka Raporu	33
Mukogingival Cerrahi Uygulanan Hastalarda Görsel veya Sözel Bilgilendirmenin Dental Anksiyete ve Ağrı Düzeyleri Üzerine Etkisinin Değerlendirilmesi	35
Nazopalatin Kanal Kisti: Olgu Sunumu	36
Rezin Bazlı Akışkan Materyallerin Dönüşüm Derecelerinin Değerlendirilmesi: Ftir Analizi	37
Sınıf I Maloklüzyonda Fonksiyonel Ortopedik Tedavinin İskeletsel ve Üst Hava Yolu Yapıları Üzerindeki Sonuçları: Büyüme Dönemleri Arasında Karşılaştırmalı Bir Değerlendirme	39
Temporomandibular Eklem Rahatsızlıklarında Palpasyon Bulgularının Konservatif Tedavi Seçimine Etkisi: Retrospektif Bir Klinik Analiz	41
Temporomandibular Eklem Şikayetlerinin (Tmeş/tmd) Etiyolojisi ve Güncel Tedavi Seçenekleri: Prisma Uyumlu Sistemik Derleme	43
Ti-Bar Monolitik Zirkonya All-On-Four Protezlerde Farklı Simanların Mekanik Dayanıma Etkisi: Pilot Çalışma	44
Üst Çene Genişletme Tedavisinin Gülümseme Bileşenleri Üzerine Etkilerinin Değerlendirilmesi: Bir Pilot Çalışma	45
Çekimli Ortodontik Tedavi Gören Hastalarda Dudakların Estetik Düzleme Göre Değişimi	47
Çekimli Ortodontik Tedavi Gören Hastalarda Üçüncü Molarların Oklüzal Düzleme Göre Açısal Değişimi	49
Gingival Fibromatozis: Olgu Sunumu	51
Şiddetli İskeletsel Sınıf I Maloklüzyonun Ortognatik Cerrahi ile Tedavisi: Bir Olgu Sunumu	53

Bcr-Abl Tirozin Kinaz İnhibitörlerine Bağlı Kutanöz Toksisitenin Olası Mekanizmaları	54
Development and Practical Yields Investigation of Telmisartan Solid Dispersions	56
Eczacıların Kilo Kaybı Amacıyla Liraglutid ve Semaglutid Kullanımına İlişkin Bilgi, Tutum ve Uygulamaları: Kesitsel Bir Çalışma	58
Integration of Machine Learning-Based Aqueous Solubility Prediction Into Experimental Dissolution of Griseofulvin	59
Kemik Metastazı Tanısında Kullanılması Amacıyla Zoledronik Asit Taşıyan Lipid Nanopartiküller Hazırlanması, Karakterizasyon, Radyoışaretleme ve Kalite Kontrol Çalışmaları	60
Lipid Nanopartiküllerin Transfeksiyon Etkinliğinin Farklı İstatistiksel Deney Tasarımı Metotları Kullanılarak Optimizasyonu	62
Meme Kanseri Tamamlayıcı Biyobelirteçler Olarak Serum İntegrin B6 ve Antioksidan Savunmanın Değerlendirilmesi	64
Üçüncü Nesil Sefalosporinlere Karşı Farklı Klinik İzolatların Antimikrobiyal Direnç Profili	66
Bazı Fenilpropionik Asit Türevlerinin Cox-1 ve Cox-2 İnhibitörü Etkilerinin İn Vitro ve İN Silico Değerlendirilmesi	67
Charcot–marie–tooth Hastalığında Düşme Riskinin Azaltılmasında Sanal Gerçeklik Tabanlı Yaklaşım	69
Farklı Frekanslardaki Lokal Vibrasyonun Egzersiz Sonrası Toparlanma Üzerine Etkileri: Randomize Sham Kontrollü Çalışma	71
Fibromiyaljili Bireylerde Reformer Pilates Egzersizinin Solunum Parametreleri ve Yaşam Kalitesine Etkisi	72
Klinik Uygulama Deneyimi Olan Fizyoterapi ve Rehabilitasyon Bölümü Öğrencilerinin Mesleğe Yönelik Algı ve Tutumlarının Değerlendirilmesi	74
Koroner Arter By-Pass Greftleme Cerrahisi Geçiren Hastalarda Kardiyak Rehabilitasyona Ek Uygulanan Nörofizyolojik Fasilitasyon Tekniklerinin Ağrı, Dispne ve Fonksiyonel Kapasite Üzerine Etkisi	76
Kronik İnmeli Bireylerde Yorgunluk Durumunun Başa Çıkma ve İnterosepsiyon İle İlişkinin İncelenmesi	78
Multipl Sklerozlu Bireylerde Katılım ile Kişisel ve Çevresel Faktörler Arasındaki İlişkinin İncelenmesi	79
Parkinson Hastalarında Çift Görev Becerileri ve Kinezyofobi Arasındaki İlişkinin İncelenmesi	81
Rotator Manşet Yaralanması Olan Hastalarda Fonksiyonel Sonuçları Belirleyen Faktörler	83
Yetişkinlerde Yutma Güçlüğü ile Ağız Sağlığı Arasındaki İlişki	85
Ameliyat Sonrası Yara Yeri Enfeksiyonu Bilgi ve Tutum Algıları Ölçeği'nin Geliştirilmesi	87
Cerrahi Hastalarında Karşılanamayan Hemşirelik Bakımı İle Bakım Memnuniyeti Arasındaki İlişki	89
Cerrahi Hemşirelerinin Beslenme Bakımına İlişkin Bilgi Tutum ve Uygulamalarının İncelenmesi	91
Cerrahi Kliniklerde Çalışan Hemşirelerin Güvenlik İklimi Algısı İle Çalışma Ortamındaki Risklere Karşı Tutumu Arasındaki İlişki	93

Çocuk Hemşirelerinin Kanıta Dayalı Hemşireliğe ve Yenilikçiliğe Yönelik Tutumları: Kesitsel ve Korelasyonel Çalışma	95
Çocuklarda Dental Tedaviye Bağlı Ağrı ve Korkunun Azaltılmasında Kullanılan Nonfarmakolojik Yöntemler	96
Hemşirelik Bölümü Öğrencilerinin Gelecekteki İstihdam Edilebilirlik Algılarının Değerlendirilmesi	98
Hemşirelik Öğrencilerinin Stres Düzeyleri İle Klinik Performans Özyeterlik Düzeyleri Arasındaki İlişkinin İncelenmesi	100
Lomber Disk Cerrahisi Sonrası Ağrı, Fonksiyonellik ve Yara İyileşmesi Üzerine I-Şekilli Kinezyo Bantlamının Etkisi: Randomize Kontrollü Deneysel Araştırma	101
Makine Öğrenmesi Modelleri Kullanarak Hastanede Gerçekleşen Hasta Düşmelerinin Tahmin Edilmesi: Retrospektif Bir Araştırma.....	103
Problem Tabanlı Öğrenme ve Zihin Haritalama Yönteminin Hemşirelik Girişimlerini Belirleme Üzerine Etkisi	105
Yenidoğan Yoğun Bakım Ünitesinde Bebeği Yatan Annelerin Algıladıkları Stres ve Hemşire Desteği İle İletişim Algısı Arasındaki İlişki	106
Üremenin Ötesinde: Polikistik Over Sendromlu Kadınlarda Vasküler ve Metabolik Riskler	107
From Proteinuria to Dialysis: A Case of Pregnancy-Associated Renal Failure in a Young Woman With Ckd.....	108
Akıl Yürütme Özelliğine Sahip Olan ve Olmayan Büyük Dil Modellerinin Akut İskemik İnmede Radyolojik Performanslarının Karşılaştırılması	110
Alışılmadık Bir Nedenle Gelişen Nüks Eden İliopsoas Apsesi: Pedikül Vidası Teması	112
Antikoagülan Kullanımı Nedeniyle İntratimpanik Steroid Uygulanamayan Ani İşitme Kaybı Olgusu: Vaka Sunumu	114
Brakiterapi Uygulamalarında Radyasyon Güvenliği	116
Çocukluk Çağında Kraniofasial Fibröz Displazi: Radyolojik Görüntüleme Bulguları ve Tutulum Paternleri	118
Ergoterapi Literatüründe El Rehabilitasyonunda Kullanılan Değerlendirme Yöntemlerinin Son 10 Yıla Göre Analizi	120
Görünürde Sağlıklı Erişkinlerde Plazma Aterojenik İndeksi ile Aortik Sertlik Parametreleri Arasındaki İlişki	122
Havacılık Bakım Alanlarındaki Risklerin İş Sağlığı ve Güvenliği Açısından İncelenmesi	124
Kahvaltılık Tahılların Sodyum İçeriğinin Etiket Verilerine Dayalı Olarak Değerlendirilmesi	126
Karaciğer Sirozlu Hastalarda Sarkopeni ve Kırılganlığın Değerlendirilmesi: Kesitsel Bir Çalışmanın Sonuçları	128
Karın Ağrısının Nadir Görülen Bir Sebebi: Gastrik Schwannom	129
Kritik Alev Yanığı Hastalarında Sağkalımı Etkileyen Faktörlerin Değerlendirilmesi: Tek Merkezli Retrospektif Bir Analiz	131
Lugano Kriterlerine Göre Lenfoma Hastalarında Bt ve Mr İle Tedavi Yanıt Takibi	132
Mcf-7 Meme Kanseri Hücrelerinde Yabancı Tip P53 Gen Transfeksiyonu ve Kurkumin Kombinasyonunun Hücre Canlılığı Üzerine Etkileri	133

Meme Kanseri İlişkili Lenfödemde Kişiselleştirilmiş Egzersiz Reçetelendirmesinde Yapay Zekânın Kullanımı: Chatgpt-4.0 ve Google Gemini Karşılaştırması.....	135
Obez Erişkin Bireylerde Vücut Kompozisyonuna İlişkin Ölçümler ile Denge ve Fiziksel Performans Arasındaki İlişki.....	137
Tip 1 Diyabetli Adolesanlarda Diyet Enerji Yoğunluğunun Glisemik Kontrol, Yaşam ve Uyku Kalitesi Üzerine Etkisi.....	138
Tip 2 Diyabetli Bireylerde Besin Etiketleri Okuma, Gıda Okuryazarlığı ve Akdeniz Diyetine Uyum Durumlarının Değerlendirilmesi.....	139
Tiroit Hastalarında Bariatrik Cerrahi Sonrası Kilo Kaybı ile Komorbidite Arasındaki İlişki.....	141
Tümör Tedavisi İçin Enjekte Edilebilir ve Ph Duyarlı Karboksimetil Selüloz Hidrojellerin Geliştirilmesi ve Kontrollü İlaç Salım Özellikleri.....	142
Hipokampus Korunmalı Tüm Beyin Radyoterapisinde Farklı Plan Parametrelerine Göre Oluşturulan Volumetrik Ark Terapi Planlarının Dozimetrik Karşılaştırılması.....	143
"Doğal" Her Zaman Güvenli Anlamına Gelmez: Kudret Narı (Momordica Charantia) Kullanımına Bağlı Toksik Hepatit.....	145
"Karnitin Palmitoiltransferaz-1 Eksikliği: Enfeksiyon Sonrası Rabdomiyoliz ve Solunum Yetmezliği Vakası".....	147
85 Yaş ve Üzeri Sepsis Hastalarında Basit İndekslerle Mortalite Öngörüsü: Nlr, Plr ve S11.....	149
Acl Rekonstrüksiyonu Sonrası Rehabilitasyonda Chatgpt'nin Yanıt Kalitesinin Değerlendirilmesi: Doğruluk, Tutarlılık ve Klinik Uygunluk.....	151
Ağır Kobine İmmün Yetmezlik Olgusu: İkbk Eksikliği.....	153
Ağır Kobine İmmün Yetmezlik Olgusu: Orat1 Eksikliği.....	155
Akut Mekanik İntestinal Obstrüksiyonun Görüntü İşleme Teknikleriyle Teşhis Edilmesi.....	157
Anatomi Eğitiminde Kadavra Bağışının Önemi.....	159
Anatomide Çevrimiçi Eğitimin Önemi.....	161
Anevrizmal Kemik Kistlerinde Nüks ile Yaş Arasındaki İlişki: Tek Merkezli Retrospektif Bir Analiz.....	163
Anizometropik Ampliyop Çocuklarda Göz Sinir Segment Yapılarının Değerlendirilmesi.....	164
Azalmış Ejeksiyon Fraksiyonlu Kalp Yetmezliği Hastalarında Sağ Ventrikül Disfonksiyonunun Belirteci: Halp Skoru.....	166
Baş-Boyun Kanserlerinde Tanı Anında Lenf Nodu ve Uzak Metastazın Öngörüsünde 18-Fdg Pet/bt Parametrelerinin Değeri.....	167
Belnacasan'ın (Vx-765) Overde İskemi-Reperfüzyon Hasarı Üzerindeki Koruyucu Etkileri.....	169
Bethesda 2023 Sınıflamasının Yeniden Değerlendirilmesi: Tiroit İliab Kategorileri ile Histopatolojik Bulguların Korelasyonu.....	171
Çocuk ve Adolesanlarda Yüzeysel Tromboflebitte Düşük Moleküler Ağırlıklı Heparin Kullanımının Klinik Sonuçlara Etkisi: Tek Merkezli Retrospektif Çalışma.....	173
Depresyon Hastalarında Kullanılan Bitkisel Tedaviler ve Yan Etkileri.....	174
Diagnostic Value of the Canadian Ct Head Rule in Minor Head Trauma: A Retrospective Single-Center Study.....	176

Diffüz Aksonal Hasarın, Swı ve Difüzyon Sekansı Birlikte Kullanılarak Derecelendirilmesi ve Prognoza Etkisi: Klinik Tecrübemiz	178
Diş Hekimliği Öğrencilerinde Torakal Omurga Eklem Hareket Açıklığının Eğitim Yılına Göre Değişimi: İnklinometre Temelli Kesitsel Karşılaştırma	180
Eklem İçi Kuyruk Yağı Enjeksiyonu Sonrası Diz Septik Artriti Gelişen Hasta.....	181
Elektif Kolesistektomiler Sırasında Spesmen Torbası Kullanımı	182
Emergency Airway Management With Bronchoscopic Apc and Simultaneous Curative Surgery in Tracheal Obstruction Caused by Papillary Thyroid Carcinoma: A Rare Case Report and Brief Literature Review.....	183
Eş Zamanlı Akut Apandisit ile Birlikte Görülen Çekum Divertikülü: Nadir Bir Olgu Sunumu	184
Euterpe Oleracea'nın Sıçanlarda Antidepresan ve Anksiyolitik Etkilerinin ve Etki Mekanizmalarının Araştırılması	186
Evaluation of Gissane and Böhler Angles According to Different Age Groups, Sexes, and Foot and Calcaneus Dimensions.....	187
Farklı Formaldehit Çözeltilerinde Bekletilmiş Olan Kadavra Dokularının Stereo Mikroskop Analizi.....	188
Fetal Gelişim Geriliği Olan Gebeliklerde Proteinüri Varlığının Fetal Sonuçlarla Olan İlişkisi.....	190
Gaita Örneklerinde Viral ve Bakteriyel Ajanların Multiplex Pcr İle Araştırılması	191
Gastroenterolojide Endoskopik Ultrasonografi Kullanımı.....	192
Gastroözofageal Reflü Hastalığı Hastalarının Yeme Tutumlarının Değerlendirilmesi	194
Glikojen Depo Hastalığına Bağlı El Parmaklarında Fleksiyon Kontraktürü: Cerrahi Yaklaşım ve Nadir Bir Olgu Sunumu	195
Halluks Valgus Cerrahisi Uygulanan Hastaların Orta Dönem Takip Klinik Sonuçları	196
Hastanemizde Sağlık Çalışanlarında Kesici-Delici Alet Yaralanmaları: Beş Yıllık Retrospektif Analiz.....	198
Hemşirelik Öğrencilerinde Farmakoloji Eğitiminin Akılcı İlaç Kullanım Bilgisi Üzerine Etkisi	199
Hepatoselüler Karsinom Hücrelerinde Myh Susturulmasının in Vitro Karakterizasyonu ve Genotoksik Kemoterapi Potansiyeli	201
Hiperkontraktıl Özofagus: Klinik, Manometrik Özellikler ve Tedaviye Yanıtın Değerlendirilmesi	203
İncebarsak Malignitelerinde Gecikmiş Tanının Yansıması: Acil Cerrahilerden Çıkan Dersler	205
İnflamatuar Biyobelirteçler Adrenal Adenomlar ile Adrenal Karsinomlar Arasında Ayrım Yapmada Kullanılabilir Mi'.....	207
İnsan Dermal Fibroblast Yaşlanmasıyla İlişkili Gen Ekspresyonundaki İzofom Değişim Olayları	208
İntihar Amaçlı Antidepresan Aşırı Dozlarında Klinik Seyir, Toksikite ve Sonlanım: Retrospektif Bir Değerlendirme	210
KKTC Vatandaşlarının Gıda Takviyeleri ve Bitkisel Ürün Tüketimi Konusundaki Farkındalık ve Alışkanlıkları.....	211

Kronik Solunum Şikayetleri Olan Çalışanlarda Akla Getirilmesi Gereken Bir Tanı: Mesleki Astım – Olgu Sunumu	213
Larenks Kanseriinde Temel Histopatolojik Özelliklerin Preoperatif Öngörüsünde Bt Temelli Doku Analizi	215
Lenf Nodunda Prezente Olan Merkel Hücreli Karsinom	217
Lomber Disk Hernisi Olan Hastalarda Spinopelvik Parametrelerin Değerlendirilmesi: Kesitsel Bir Görüntüleme Çalışması.....	219
Mcf-7 ve Huvec Hücrelerinde Cebpb ve Foxa1 Gen Ekspresyonlarının Karşılaştırmalı Analizi.....	220
Melatonin'in Radyasyon Terapisine Bağlı Olarak Sıçanların Submandibular Dokusunda Gelişen İnflamatuvar Yanıt Üzerindeki Koruyucu Etkilerinin Araştırılması	221
Mesane Kanseriinde Makroskopik Hematüri Dışı Başvuruların Tanısal Süre ve Başlangıç Patolojisine Etkisi	223
Mevsimsel Değişimlerin Kronik Ürtiker Üzerine Etkisi.....	224
Nadir Bir Ercp Komplikasyonu Olan Endoskopik Basket Sıkışmasında Anestezi Yönetimi: Olgu Sunumu	226
Nadir Bir Olgu Sunumu: Bimalleoler Kırık Sonrası Travmatik Posterior Tibial Tendon Rüptürü	228
Neoadjuvan Kemoterapi ve Aksiller Diseksiyon İlişkisi: Çıkarılan Lenf Nodu Sayısını Etkileyen Faktörler	230
Nonsteroid Antiinflamatuvar İlaçlarla Alevlenen Hava Yolu Hastalığında Uzun Süreli Aspirin Kullanımının Kardiyovasküler Olaylar ve Kanama ile İlişkisi	232
Nörofibromatozis Tip I Li Çocuk Olgularında Beyin Mrg Tetkikinde Lezyon Morfolojisi ve Dağılımları	234
Obez Hastalarda Perkütan Nefrolitotomi Sonuçlarımız: Tek Merkez Deneyimi	236
Olgu Sunumu: Ülseratif Kolit Takip ve Tedavisinde Gelişen Nadir Bir Komplikasyon Nedeni	238
Ortopedide Yapay Zekâ Tabanlı Yayınların Son 10 Yıldaki Gelişimi: Pubmed Tabanlı Bibliyometrik Analiz	239
Özofagus Kitlesinin Nadir Nedeni: Ewing Sarkomu/pnet	241
Pakikoroid Pigment Epitelyopati ve Santral Seröz Koryoretinopati Hastalarında Sistemik İnflamatuvar Belirteçlerin Değerlendirilmesi.....	243
Patolojide Anatominin Rolü Yeterince Fark Edilmiyor: Klinik Dönem Tıp Öğrencilerinde Kesitsel Bir Anket Çalışması.....	244
Pediyatrik Adenotonsiller Cerrahide Koblatör Plazma ve Bipolar Diseksiyon Yöntemlerin Karşılaştırılması.....	246
Pediyatrik Migren Hastalarında Nötrofil/lenfosit Sayısı Oranı (Nlr), Trombosit/lenfosit Sayısı Oranı (Plr) ve Sistemik İmmün-İnflamasyon İndeksi (S111)'nin Değerlendirilmesi	247
Pediyatrik Serebral Kavernöz Malformasyonlarda Radyolojik Özellikler ve Lezyon Dağılımı	249
Pediyatrik Yoğun Bakımda Kurtarıcı Tedavi Olarak İntravenöz Lipid Emülsiyonu.....	251
Peritoneal Metastazlarda Sitoredüktif Cerrahi ve Hıpec: Güncel Kanıtlar ve Tartışmalı Alanlar.....	253

Pirfenidon Hipersensitivitesi ve Desensitizasyon: Bir Vaka Raporu.....	254
Radyolojik Olarak Lenf Nodu Pozitif Mide Kanserinde Tanısal Laparoskopi Bulguları	255
Retinal Arter Tıkanıklığı Olgularında Klinik Özellikler, Optik Koherens Tomografi Bulguları ve Hiperbarik Oksijen Tedavisi Sonuçları	257
Rifamisin'in A549, U87 ve Ht29 Hücreleri Üzerindeki Sitotoksik ve Apoptotik Etkilerinin Değerlendirilmesi	Hata! Yer işareti tanımlanmamış.
Rijid Bronkoskopi Yapılan Hereditör Anjiyodem Hastasında Anestezi Yönetimi.....	260
Saçlı Deriden Kaynaklanan Dev Kutanöz Boynuz: Önceden Skuamöz Hücreli Karsinom Öyküsü Olan Bir Hastada Olgu Sunumu	261
Sağlık Taramasında Saptanan Transaminaz Yüksekliği: Bir Rabdomiyoliz Olgusu	262
Selektif Arteriyel Embolizasyon ile Tedavi Edilen Mikrodalga Ablasyon Tedavisine Yanıtız Paratiroid Adenomları: İki Vaka Deneyimi	264
Semaglutid'in Kaza Sonucu Aşırı Doz Alımı: Bir Olgu Sunumu ve Klinik Bulguların Değerlendirilmesi	265
Sıçanlarda İkinci Derece Yanık Modelinde Resveratrolün Yara İyileşmesine Etkisinin Araştırılması	267
Sıklıkla Yanlış Tanı Alan Bir Nadir Olgu: Retrorektal Tailgut Kisti	269
Sistemik Lupus Eritematozus ve Sjögren Hastalarında Kortizol Uyanma Yanıtı ve Otonom Aktivite Baskılanmıştır	271
Sitoloji Negatif Olguda Çoklu Yüksek Riskli Hpv Pozitifliği	273
Sıvı Mikrodilüsyon ve Checkerboard Yöntemleri Kullanılarak Linezolid'e Dirençli Mrsa'da Antibiyotik Duyarlılığı ve Etkileşimlerinin Değerlendirilmesi	275
Soğukla Tetiklenen Zorlu Bir Hastalık: 3. Basamak Alerji Kliniğinde Soğuk Ürtiker Deneyimi	277
Spinal Deformite Cerrahisinde Lowest Instrumented Vertebra (Lıv) Seçiminin Sagittal Denge (Sva) Üzerine Etkisi	278
Spontan Bilateral Tubal Ektopik Gebelik	279
St-Elevasyonlu Miyokard Enfarktüsü Hastalarında Yeni Gelişen Atriyal Fibrilasyonu Öngörmede Sistemik İmmün-İnflamasyon İndeksinin Rolü: Tek Merkez Deneyimi	280
Tedaviye Dirençli Anjiyodemin Gizemi: Acei Kaynaklı Olasılıklar	281
Tek Örgülü Stent Yardımı ile Koil Embolizasyonu Yapılan İntrakraniyal Bifurkasyon Anevrizmaların Uzun Dönem Sonuçları	282
Tekrarlayan Pnömoninin Nadir Nedeni	283
Testiküler Torsiyon/detorsiyon Hasarına Karşı Hidroksitirozolün Koruyucu Etkisinin Araştırılması	284
The Impact of Emerging Digital Technologies On Anatomy Education: From Youtube to Artificial Intelligence	286
Timoma Alt Tipleri ile Suvmax, Tümör Boyutu, İnvazyon ve Myasthenia Gravis Varlığı Arasındaki İlişki	287
Tırnak Yatağı Altındaki Myoperisitoma Olgusunun Glomus Tümörü İle Ayırıcı Tanısı ve Cerrahi Farklılıkları: Vaka Sunumu.....	289
Tirzepatid Kullanımında Tekrarlayan Dolu Mide Bulgusu: Vaka Raporu	290

Travmatik İnvazinasyon Olgusunun Radyolojik Bulguları	291
Üçüncü Basamak Bir Eğitim Araştırma Hastanesinde Sifiliz Enfeksiyonlarında Kullanılan Test Sonuçlarının Değerlendirilmesi	292
Ultrasonografi Rehberliğinde Stellat Ganglion Blokajı: Kısa Dönem Sonuçlara İlişkin Uygulama Deneyimleri ve Gözlemler	294
Ürogenital Sistem Kanseri Dışındaki Malignitelere Bağlı Üreteral Obstrüksiyonda İlk Dekompresyon Yöntemi: Double-J Stent mi Nefrostomi Mi' Tek Merkez Deneyimi.....	296
Üst Solunum Yolu Enfeksiyonu Şüphesi Olan Hastalardan Alınan Örneklerde Viral ve Bakteriyel Etkenlerin Araştırılması	298
Varikoseli ve Erken Boşalması Olan Hastaya Mikroskopik Varikosektomi Önerilmeli Mi'	300
Von Hippel-Lindau (Vhl) Syndrome: A Case Report.....	302
Yavaş Bilişsel Tempo Tanısı Alan Hastaların Nöropsikolojik Profillerinin Değerlendirilmesi	304
Yoğun Bakım Hastalarında 30 Günlük Mortalitenin Öngörülmesinde Tiroid Fonksiyon Testleri ve Albüminin Prognostik Değeri	305
Yoğun Bakımda Solunum Yetmezliği Mortalite Riski: Skorlama Sistemleri ve Akut Komplikeasyonların Karşılaştırmalı Analizi.....	307
Youtube'daki Lomber Disk Hernisi Egzersiz Videolarının Kalitesi ve Güvenirliği	309
“kanal Kemik Oranının (Cbr) Dorr Sınıflaması ve Singh İndeksi ile Korelasyonu: Proksimal Femur Kırıklı Hastalarda Retrospektif Analiz”	310
Hipereozinofili İle Seyreden İmmün Yetmezlik Şüphesi: Skabies Olgusu.....	311
Right-Sided Aortic Arch With Mirror-Image Branching: A Case Report	312
Safra Kaçağının Tam Kaplı Metal Stent ile Başarılı Yönetimi	313
Tip 2 Biliyer Perforasyonun Tam Kaplı Metal Stent ve Perkütan Dren ile Başarılı Yönetimi.....	315
Amino Acids Utilization in Ruminant Nutrition: An Overview.....	317
Effect of Heat Stress On Replacement Female's Goat Kids and Ewes' Lambs in a Tropical Climate	318
Evaluate the Effects of Nandrolone Decanoate Application On Ribs and Loin in Pigs in the Finishing Stage	319
Use of Probiotic Fungi, Bacteria, and Yeasts As Food Additives in Livestock Nutrition	320
Broylerlerde Spaghetti Meat (İplikli Kas) Anomalisi	321
Kanatlılarda Enfeksiyöz Laryngotrakeitis Virüsüne Moleküler ve Epidemiyolojik Yaklaşımlar	323
Kolistin ve Tek Sağlık	325

Makale id= 34

Sözlü Sunum

ORCID ID: 0009-0000-3335-302X

| 15

Apeksifikasyona Alternatif Bir Yöntem Olarak İmmatür Nekrotik Dişte Regeneratif Endodontik Tedavi: Olgu Sunumu

Arş.Gör.Dr. Ebru Yıldız Dal¹, Dr. Öğretim Üyesi Nergiz Bolat¹

¹Süleyman Demirel Üniversitesi Diş Hekimliği Fakültesi Endodonti Anabilim Dalı

*Corresponding author: Ebru Yıldız Dal

Özet: Giriş: Regeneratif endodontik tedavi, immatür nekrotik dişlerde pulpa-dentin kompleksinin fizyolojik fonksiyonlarını yeniden kazandırmayı ve kök gelişiminin devamını sağlamayı hedefleyen bir prosedürdür. Amaç: Travma sonrası kök gelişimi tamamlanmayan ve periapikal lezyon bulunan 11 numaralı dişin regeneratif endodontik tedavisinin sunulması amaçlanmıştır. Olgu sunumu: Sistemik olarak sağlıklı 22 yaşında erkek hasta, kliniğe üst ön bölgede ağrı şikâyetiyle başvurmuştur. Anamnezinde, hastanın 8 yaşında havuzda düşme sonucu ön dişlerine çarpma nedeniyle dental travma geçirdiği öğrenilmiştir. Klinik muayenede, 11 numaralı dişte palpasyon ve perküsyona yanıt alınmıştır. Radyografik incelemede ise ilgili dişin apeksinin kapanmadığı ve kök ucunda radyolüsent lezyon gözlenmiştir. İmmatür kök yapısı nedeniyle regeneratif endodontik tedavi uygulanması planlanmıştır. Rubber-dam izolasyonu altında giriş kavitesi açılmıştır. Kök kanalı mekanik enstrümantasyondan kaçınarak, 20 ml %1,5'lik sodyum hipoklorit (NaOCI), 20 ml serum fizyolojik ile nazıkçe beşer dakika irrigasyon yapıp, kalsiyum hidroksit medikamenti yerleştirilmiş, dört hafta süresince bekletilmiştir. 2. Seansta epinefrin içermeyen lokal anestezi ile anestezi sağlanıp 30 ml %17'lik etilendiamintetraasetik asit ve 5 ml serum fizyolojik ile beşer dakika irrigasyon yapılmıştır. Önceden eğitilmiş bir 25 numara K- tipi eğe ile kök ucundan 2 mm çıkılarak kanama sağlanmış, mine sement sınırının altında pıhtı oluşturulmuştur. Kanalin koronal bölümüne 2 mm kalınlığında MTA (MTA Plus Prevest DenPro, Hindistan) yerleştirilmiş, 3mm rezin modifiye cam iyonomer siman ile örtülenip, kompozit rezin restorasyonla tedavisi tamamlanmıştır. Bulgular: 6. ve 12. ay takipleri yapılan dişin asemptomatik olduğu görülmüş, hastanın takibi devam etmektedir. Sonuç: Başarılı regeneratif endodontik tedavi için biyouyumlu materyallerle sağlanan sızdırmaz restorasyon kritik öneme sahiptir. Kan pıhtısı üzerine uygulanan MTA ve kompozit rezin restorasyon, etkin bir bariyer oluşturarak tedavi başarısını artırmaktadır. Regeneratif endodontik prosedürler, kök gelişimi tamamlanmamış ve pulpa nekrozu olan dişlerde, periapikal lezyon olsun ya da olmasın, apeksifikasyona alternatif bir yaklaşım olarak klinisyenler tarafından uygun vakalarda düşünülmelidir.

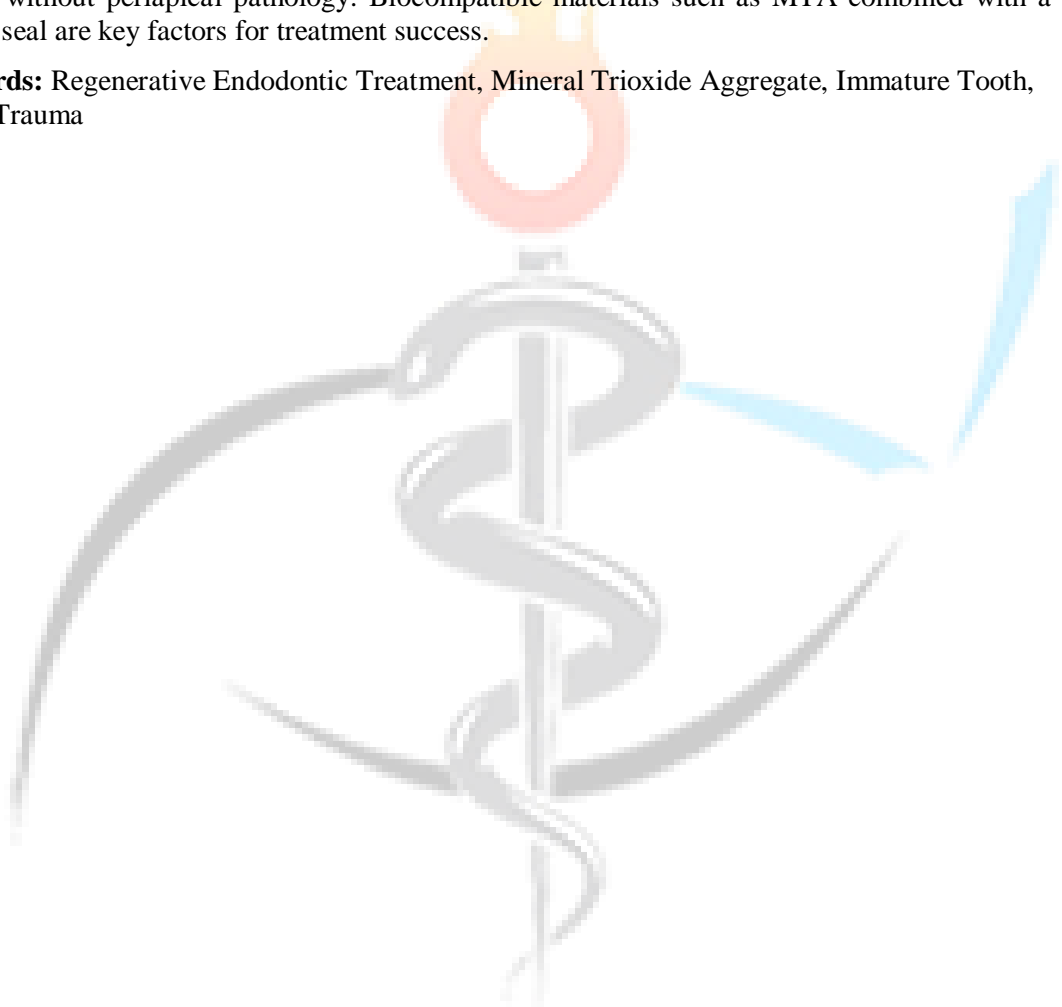
Anahtar Kelimeler: Regeneratif Endodontik Tedavi, Mineral Trioksit Agregat, İmmatür Diş, Dental Travma

Regenerative Endodontic Treatment As An Alternative to Apexification in An Immature Necrotic Tooth: A Case Report

Abstract: Introduction: Regenerative endodontic treatment (RET) is a biologically based procedure that aims to restore the physiological functions of the pulp-dentin complex and promote continued root development in immature necrotic teeth. Objective: This report presents the regenerative endodontic treatment of an immature maxillary central incisor (#11) with a periapical lesion resulting from trauma. Case Report: A 22-year-old systemically healthy male presented with pain in the maxillary anterior

region. The medical history revealed dental trauma to the anterior teeth at the age of 8 due to a swimming pool accident. Clinical examination showed positive responses to palpation and percussion in tooth #11. Radiographic assessment demonstrated an open apex and a periapical radiolucency. Based on these findings, RET was selected. After rubber-dam isolation, the access cavity was prepared. Without mechanical instrumentation, irrigation was performed with 20 ml of 1.5% sodium hypochlorite and 20 ml of saline. Calcium hydroxide paste was placed as intracanal medication for four weeks. At the second visit, anesthesia was achieved with an epinephrine-free local anesthetic, and irrigation with 30 ml of 17% EDTA and 5 ml of saline was completed. Apical bleeding was induced by extending a #25 K-file 2 mm beyond the apex, and a blood clot was allowed to form below the cementoamel junction. Mineral trioxide aggregate (MTA Plus, Prevest DenPro, India) was placed over the clot, followed by resin-modified glass ionomer cement and composite resin restoration. Results: At 6- and 12-month follow-ups, the tooth was asymptomatic, and clinical and radiographic findings confirmed successful healing. Conclusion: RET provides a predictable alternative to apexification in immature necrotic teeth with or without periapical pathology. Biocompatible materials such as MTA combined with a tight coronal seal are key factors for treatment success.

Keywords: Regenerative Endodontic Treatment, Mineral Trioxide Aggregate, Immature Tooth, Dental Trauma



Makale id= 36

Sözlü Sunum

ORCID ID: 0009-0000-3335-302X

| 17

Aseptomatik Apikal Periodontitisin Tedavisinde Mta ve Biyoseramik Kök Kanal Patlarının Kullanımı: Vaka Serisi

Res.Asst. Ebru Yıldız Dal¹, Assoc.prof.Dr. Deniz Yamık Nalbantoğlu¹

¹Süleyman Demirel Üniversitesi Diş Hekimliği Fakültesi Endodonti Anabilim Dalı

*Corresponding author: Ebru Yıldız Dal

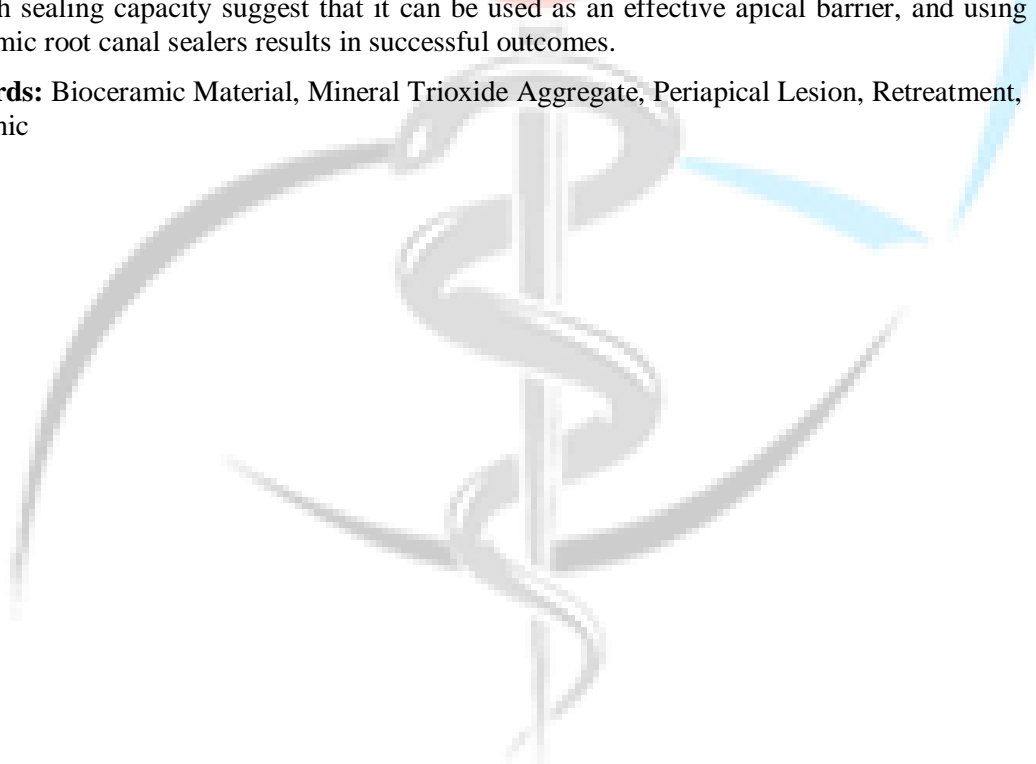
Özet: Konu: Yüksek biyoyumluluğa sahip biyoseramikler; kök-ucu rezeksiyonu, pulpa kuafajı, apeksifikasyon/rejeneratif endodontik tedavi, perforasyon/kök rezorpsiyonlarının tamirinde kullanılmaktadır. Mineral trioksit agregat (MTA) endodontide en yaygın kullanılan biyoseramik esaslı materyeldir. Amaç: Bu vaka serisinin amacı, aseptomatik apikal periodontitis bulunan iki olgunun MTA ile biyoseramik kök kanal patlarının kullanıldığı tedavilerin sunulmasıdır. Vaka sunumu: Sistemik sağlıklı 20 yaşında erkek hasta, üst-ön bölgede ağrı şikâyetiyle kliniğe başvurmuştur. Klinik muayenede, #11-dişte palpasyon ve perküsyona pozitif yanıt alınmıştır. Radyografik incelemede periapikal lezyon ve kök ucunda düzensiz alanlar gözlenmiş; ilgili dişe endodontik tedavi planlanmıştır. #11-dişteki mevcut kron uzaklaştırılıp, rubber-dam izolasyonu altında giriş kavitesi açılmıştır. Dört seans pü drenajı sağlanmış, ultrasonikle irrigasyon aktivasyonu gerçekleştirilmiştir. Drenajın kesilmesini takiben kalsiyum hidroksit medikamenti yerleştirilmiş iki hafta süresince bekletilmiştir. Medikamentin uzaklaştırılmasının ardından final irrigasyon protokolü uygulanmış, MTA (MTA Plus Prevest DenPro, Hindistan) ile apikal tıkaç oluşturulmuştur. Bir gün sonra MTA plug üzerine biyoseramik kanal patı kullanılarak termoplastik guta-perka tekniğiyle kök kanal tedavisi tamamlanıp giriş kavitesi kompozit resotasyonla restore edilmiştir. Kron protezi için yönlendirilmiştir. Sistemik sağlıklı 22 yaşındaki erkek hasta, sol-alt bölgede ağrı şikâyetiyle kliniğe başvurmuştur. Klinik muayenede, #36-dişte palpasyon ve perküsyona pozitif yanıt alınmıştır. Radyografik incelemede distal kökte taşkın kök kanal dolgusu ve periapikal lezyon gözlenmiştir. Cerrahi olmayan retreatment endikasyonu konulmuştur. Rubber-dam izolasyonu altında kök kanal dolgusu retreatment rotary kanal aletleriyle uzaklaştırılmıştır. Distal kanallardan pü drenajı sağlanmış, ultrasonikle irrigasyon aktivasyonu gerçekleştirilmiştir. Drenajın kesilmesini takiben kalsiyum hidroksit medikamenti yerleştirilmiş iki hafta süresince bekletilmiştir. Medikamentin uzaklaştırılmasının ardından final irrigasyon protokolü uygulanmıştır. Distal kökte MTA ile apikal tıkaç oluşturulmuştur, 24 saat sonra distal kök termoplastik guta-perka tekniğiyle, mesial kanallarsa biyoseramik kök kanal patı kullanılarak tek kon guta-perka tekniğiyle tedavisi tamamlanarak kompozit restorasyon uygulanmıştır. Bulgular: Hastaların klinik semptomları geçmiş olup, takipleri devam etmektedir. Sonuç: MTA'nın biyoyumlu yapısı ve yüksek sızdırmazlık kapasitesi sayesinde etkili bir apikal bariyer olarak kullanılabilir ve biyoseramik kök kanal patlarının birlikte uygulanması başarılı sonuçlar sunar.

Anahtar Kelimeler: Biyoseramik Materyal, Mineral Trioksit Agregat, Periapikal Lezyon, Retreatment, Ultrasonik

Mta and Bioceramic Root Canal Sealers in the Management of Asymptomatic Apical Periodontitis: A Case Series

Abstract: Introduction: Bioceramics with high biocompatibility are used in various endodontic procedures, including root-end resection, pulp capping, apexification/regenerative endodontic procedures, and repair of perforations/resorptions. Mineral trioxide aggregate (MTA) is the most widely used bioceramic in endodontics. Aim: The purpose of this case series is to present the treatment of two patients with asymptomatic apical periodontitis using MTA and bioceramic root canal sealer. Case Presentation: A systemically healthy 20-year-old male patient referred to the clinic with pain in the upper anterior region. A positive palpation/percussion and a periapical lesion in #11 were observed. Endodontic treatment was planned. An access cavity was prepared under rubber dam isolation. During four appointments of pus drainage, irrigation was activated with ultrasonics. After controlling the drainage, calcium hydroxide was placed for two weeks. A final irrigation was performed, and an apical plug was created using MTA (MTA Plus, Prevest DenPro, India). After 24 hours, treatment was completed using a thermoplastic gutta-percha technique with bioceramic sealer. A systemically healthy 22-year-old male patient referred to the clinic with pain in the lower left region. A positive palpation/percussion, an extruded canal filling, and a periapical lesion in #36 were observed. Nonsurgical retreatment was planned. Under rubber dam isolation, the previous canal filling was removed. Drainage, irrigation protocol, and intracanal medication were performed similarly to the first case. An apical plug was created using MTA in the distal root. After 24 hours, the distal root was obturated using the thermoplastic gutta-percha technique, and the mesial canals were obturated with a single cone gutta-percha technique using bioceramic root canal sealer. Composite filling was applied. Results: Clinical symptoms resolved; follow-up is ongoing. Conclusion: MTA's biocompatible structure and high sealing capacity suggest that it can be used as an effective apical barrier, and using it with bioceramic root canal sealers results in successful outcomes.

Keywords: Bioceramic Material, Mineral Trioxide Aggregate, Periapical Lesion, Retreatment, Ultrasonic



Makale id= 199

Sözlü Sunum

ORCID ID: 0000-0002-8664-9083

| 19

Bruksizmde Güncel Tanı ve Tedavi Yaklaşımları

Doç.Dr. Yeliz Hayran¹
¹Bursa Uludag Üniversitesi

Özet: Amaç: Bruksizm; diş sıkma, diş gıcırdatma veya mandibulanın istemsiz hareketleriyle karakterize edilen, hem uyku hem de uyanıklık dönemlerinde ortaya çıkabilen kompleks bir motor davranıştır. Çiğneme kaslarında istemsiz kas aktivitesine yol açan bu durum, yalnızca dental dokularla sınırlı kalmayıp kas-iskelet sistemi ve psikososyal denge üzerinde de etkili olabilmektedir. Bu çalışma, bruksizmin etiopatogenezi, tanısal değerlendirme yöntemleri ve güncel tedavi yaklaşımlarını literatür verileri doğrultusunda çok yönlü olarak irdelemeyi amaçlamaktadır. Yöntem: Son on yıl içerisinde yayımlanmış sistematik derlemeler ve klinik araştırmalar incelenerek bruksizmin sınıflandırılması, nörofizyolojik temelleri, klinik belirtileri ve tedavi stratejileri analiz edilmiştir. Özellikle tanı yöntemleri, risk faktörleri ve multidisipliner tedavi modelleri karşılaştırmalı olarak değerlendirilmiştir. Bulgular: Elde edilen veriler, bruksizmin merkezi sinir sistemi tarafından düzenlenen çok etkenli bir davranış paterni olduğunu göstermektedir. Dopaminerjik sistem bozuklukları, stres, anksiyete ve genetik yatkınlık başlıca nedenler arasında yer almaktadır. Tanıda öz bildirim formları, klinik muayene bulguları ve elektromiyografi (EMG) gibi objektif yöntemlerin bir arada kullanılması önerilmektedir. Tedavi yaklaşımları arasında oklüzal splintler, Botulinum toksin enjeksiyonları, biofeedback sistemleri, fizik tedavi, lazer uygulamaları ve davranışsal terapiler öne çıkmaktadır. Ayrıca mindfulness temelli meditasyon, gevşeme teknikleri ve uyku hijyeni eğitiminin özellikle çocuk ve genç bireylerde etkin olduğu bildirilmektedir. Sonuç: Bruksizm yalnızca dental düzeyde ele alınmamalı; nörofizyolojik, psikolojik ve çevresel faktörlerle etkileşim içindeki bir davranış modeli olarak değerlendirilmelidir. Etkin bir tedavi yaklaşımı, doğru tanı, bireyselleştirilmiş planlama ve multidisipliner ekip çalışmasıyla mümkündür. Gelecekte nörogenetik ve biyopsikososyal temelli araştırmaların artması, hedefe yönelik ve uzun süreli etkinliği kanıtlanmış tedavi protokollerinin geliştirilmesine katkı sağlayacaktır.

Anahtar Kelimeler: Bruksizm, Diş Sıkma, Diş Gıcırdatma, Botulinum Toksin, Stres

Current Approaches to the Diagnosis and Treatment of Bruxism

Abstract: Objective: Bruxism is a complex motor behavior characterized by involuntary clenching, grinding, or movements of the mandible that can occur during both sleep and wakefulness. This condition, resulting from involuntary masticatory muscle activity, affects not only the dental structures but also the musculoskeletal system and psychosocial balance. The aim of this study is to comprehensively evaluate the etiopathogenesis, diagnostic assessment methods, and current treatment approaches of bruxism based on recent literature data. Methods: Systematic reviews and clinical studies reports published over the past decade were analyzed to examine the classification, neurophysiological mechanisms, clinical manifestations, and treatment strategies of bruxism. Particular emphasis was placed on diagnostic approaches, risk factors, and the comparison of multidisciplinary management models. Results: Findings indicate that bruxism represents a multifactorial behavioral pattern primarily regulated by the central nervous system. Dysfunctions in the dopaminergic system, psychological stress,

anxiety, and genetic predisposition are considered major contributing factors. For diagnosis, it is recommended to combine self-report forms, clinical examination findings, and objective tools such as electromyography (EMG). Occlusal splints, Botulinum toxin injections, biofeedback systems, physiotherapy, laser applications, and behavioral therapies are among the most prominent treatment options. Moreover, mindfulness-based meditation, relaxation techniques, and sleep hygiene education have been reported to be particularly effective in children and adolescents. Conclusion: Bruxism should not be evaluated solely at the dental level but rather as a behavioral phenomenon influenced by neurophysiological, psychological, and environmental factors. Effective management requires accurate diagnosis, individualized treatment planning, and multidisciplinary collaboration. Future neurogenetic and biopsychosocial research is expected to contribute to the development of targeted and evidence-based long-term treatment protocols.

Keywords: Bruxism, Teeth Clenching, Teeth Grinding, Botulinum Toxin, Stress



Makale id= 50

Sözlü Sunum

ORCID ID: 0000-0003-4918-5504

| 21

Çocuk Diş Hekimliğinde Tükürük Proteinlerinin Stabilite ve Dinamik Özelliklerinin Bilgisayarlı Analizi

Dr. Öğretim Üyesi Güler Burcu Senirkentli¹, Prof.Dr. Gazi Erkan Bostancı²

¹Başkent Üniversitesi

²Ankara Üniversitesi

*Corresponding author: Güler Burcu Senirkentli

Özet: Tükürük proteinleri; antimikrobiyal savunma, kayganlık sağlama ve mineral dengesinin korunmasında kritik rol oynamaktadır. Çocuk diş hekimliği açısından özellikle demineralizasyon ve remineralizasyon süreçlerinde bu proteinlerin önemi büyüktür. Bu çalışmada, Histatin, Statherin, Lizozim ve Müsinin stabilite ve intrinsik düzensizlik özellikleri biyoinformatik araçlarla değerlendirilmiştir. Protein dizileri UniProt'tan elde edilmiş, ProtParam ile fiziko-kimyasal özellikler hesaplanmış, AIUPred ile düzensiz bölgeler belirlenmiş ve AlphaFold ile yapısal modeller incelenmiştir. Normal Mode Analysis ile dinamik hareketlilik değerlendirilmiştir. Bulgular, küçük proteinlerin (Histatin, Lizozim) daha stabil ve kompakt yapıda olduğunu, Statherin ve Müsinin ise daha yüksek düzensizlik ve esnekliğe sahip olduğunu göstermiştir. Bu sonuçlar, tükürük proteinlerinin çocuklarda erken çocukluk çağı çürükleri gibi oral problemlere karşı koruyucu mekanizmalarını anlamada katkı sağlamaktadır.

Anahtar Kelimeler: Tükürük Proteinleri, İntrensik Düzensizlik, Stabilite, Çocuk Diş Hekimliği, Biyoinformatik

Computational Analysis of Stability and Dynamics of Salivary Proteins in Pediatric Dentistry

Abstract: Salivary proteins play a central role in antimicrobial defense, lubrication, and mineral homeostasis. In pediatric dentistry, their importance is particularly evident in demineralization and remineralization processes. In this study, Histatin, Statherin, Lysozyme, and Mucin were analyzed using bioinformatics tools to evaluate their stability and intrinsic disorder. Protein sequences were retrieved from UniProt, physicochemical descriptors were calculated with ProtParam, intrinsic disorder was predicted with AIUPred, and structural models were obtained from AlphaFold. Dynamic features were assessed using Normal Mode Analysis. Results showed that smaller proteins (Histatin, Lysozyme) are more stable and compact, while Statherin and Mucin exhibit greater instability and flexibility. These findings contribute to a better understanding of how salivary proteins protect against early childhood caries and other oral health problems.

Keywords: Salivary Proteins, Intrinsic Disorder, Stability, Pediatric Dentistry, Bioinformatics

Makale id= 169

Sözlü Sunum

ORCID ID: 0000-0002-0139-5708

| 22

Dental İmplant Cerrahisi Öncesi ve Sonrası Anksiyete ve Ağrı Seviyelerinin Karşılaştırılması

Arş.Gör. Yunus Emre Güner¹, Uzman Yunus Emre Çalık², Prof.Dr. Varol Çanakçı¹

¹Ordu Üniversitesi Diş Hekimliği Fakültesi

²Medisam Ağız ve Diş Sağlığı Polikliniği

*Corresponding author: Yunus Emre Çalık

Özet: Amaç: Bu çalışma, dental implant cerrahisi uygulanan sistemik hastalıklı ve sistemik olarak sağlıklı bireylerde preoperatif ve postoperatif ağrı ile anksiyete düzeylerini karşılaştırmak ve postoperatif 1., 3. ve 10. günlerdeki ağrı seyrini değerlendirmek amacıyla gerçekleştirilmiştir. Gereç ve Yöntem: Ordu Üniversitesi Diş Hekimliği Fakültesi Periodontoloji Kliniği'ne başvuran 83 birey (40 sistemik hastalıklı, 43 sistemik sağlıklı) çalışmaya dahil edilmiştir. Katılımcılara Spielberger Durumluk-Sürekli Kaygı Envanteri (STAI-I, STAI-II), Modifiye Dental Anksiyete Skalası (MDAS) ve Vizüel Analog Skala (VAS) uygulanmıştır. Değerlendirmeler preoperatif, postoperatif hemen sonrası, 1., 3. ve 10. günlerde yapılmış; veriler SPSS 24.0 ile analiz edilmiştir (p

Anahtar Kelimeler: Dental İmplant Cerrahisi; Ağrı; Anksiyete; Sistemik Hastalık; Dental Anksiyete; Spielberger Kaygı Ölçeği; Modifiye Dental Anksiyete Skalası; Vizüel Analog Skala

Comparison of Anxiety and Pain Levels Before and After Dental Implant Surgery

Abstract: Objective: This study aimed to compare preoperative and postoperative pain and anxiety levels in systemically healthy and systemically diseased individuals undergoing dental implant surgery, and to evaluate the postoperative pain course on days 1, 3, and 10. Materials and Methods: Eighty-three patients who underwent dental implant surgery at Ordu University Faculty of Dentistry, Department of Periodontology, were included (40 with systemic disease, 43 systemically healthy). The Spielberger State-Trait Anxiety Inventory (STAI-I, STAI-II), Modified Dental Anxiety Scale (MDAS), and Visual Analog Scale (VAS) were administered preoperatively, immediately postoperatively, and on postoperative days 1, 3, and 10. Data were analyzed using SPSS 24.0, and the significance level was set at p

Keywords: Dental Implant Surgery; Pain; Anxiety; Systemic Disease; Dental Anxiety; State-Trait Anxiety Inventory; Modified Dental Anxiety Scale; Visual Analog Scale

Makale id= 166

Sözlü Sunum

ORCID ID: 0000-0001-9265-1772

| 23

Dental Sınıf I Maloklüzyonun Şeffaf Plaklarla Düzeltilmesi: Üst Molarların Distalizasyonu ve Rotasyonuna Yönelik Yaklaşımlar

Arş.Gör.Dr. Hande Uzunçubuk¹

¹Trakya Üniversitesi, Diş Hekimliği Fakültesi, Ortodonti Anabilim Dalı

Özet: Şeffaf plak tedavisi, klasik ortodontik apareylere kıyasla konforlu, estetik ve çıkarılabilir bir alternatif sunarak günümüz ortodontik pratiğinde önemli bir yer edinmiştir. Özellikle çekim yapılmadan uygulanan Sınıf II maloklüzyon tedavileri, şeffaf plak sistemlerinin en sık tartışılan ve hızla gelişen endikasyonlarından biri hâline gelmiştir. Bu bağlamda, dental Sınıf II ilişkilerinin düzeltilmesinde maksiller molar distalizasyonu ve rotasyonu sağlamak, tedavi başarısı açısından kritik biyomekanik hedeflerdir. Bu sunumda, güncel klinik deneyimler ve literatürden elde edilen veriler doğrultusunda, üst molarların plaklarla distalize edilmesine ilişkin biyomekanik prensipler, sıralı (sekansiyel) aşamalandırmanın önemi ve hasta uyumunun etkisi ele alınmaktadır. Ayrıca Class II elastiklerinin kullanımı, ataçman tasarımlarının rolü ve molar rotasyonunun tedaviye katkısı vurgulanmaktadır. Distal hareketin etkinliği ve öngörülebilirliği açısından aligner protokollerinin nasıl optimize edilebileceği, ankraj kontrolü ve istenmeyen etkiler (ör. anterior tipping, bukkal kuron torku) ile nasıl başa çıkılabileceği klinik önerilerle sunulmaktadır. Bununla birlikte, dijital tedavi planlaması ve iyileştirme aşamalarının sonuçlara olan katkısı, vaka örnekleri eşliğinde değerlendirilecektir. Sonuç: Şeffaf plaklar, uygun hasta seçimi ve doğru tedavi planlaması ile Sınıf II maloklüzyonların çekimsiz tedavisinde güvenilir ve etkili bir seçenektir. Maksiller molar distalizasyonu ve rotasyonu; sekansiyel aşamalar, Class II elastiklerin entegrasyonu ve refinement fazlarının desteğiyle yüksek düzeyde başarıyla gerçekleştirilebilmektedir. Ancak tedavi başarısı büyük ölçüde hastanın iş birliği ve bireyselleştirilmiş biyomekanik planlamaya bağlıdır.

Anahtar Kelimeler: Şeffaf Plaklar, Sınıf I Maloklüzyon, Molar Distalizasyon, Molar Rotasyon, Sekansiyel Tedavi

Dental Class I Malocclusion Correction With Clear Aligners: Focus On Maxillary Molar Distalization and Rotation

Abstract: Clear aligner therapy (CAT) has transformed modern orthodontic practice to a significant degree with the availability of a comfortable, aesthetically satisfactory, as well as removable distinguishing option over classical appliance systems. Perhaps one of the hottest debated as well as dynamic aligner systems indication is the correction of Class II malocclusions, especially non-extraction scenarios. The current presentation outlines the effective use of clear aligners to achieve maxillary molar distalization as well as rotation—two significant biomechanics milestones in treating dental Class II relationships. Based on the review of the current clinical experience as well as the outcome of the treatments, this presentation puts across the concepts of the biomechanics of distalizing upper molaries with aligners, the significance of staging sequentially, as well as the importance of compliance. Extra particularity is accorded to the use of incorporating Class II elastics, the role of attachments, as well as the potential of the molar rotation to correct the malocclusion. Clinical recommendations on making the

most of the aligner protocols to achieve the distal movement, anchorage control, as well as the prevention of unwanted side effects such as anterior tipping or buccal crown torque will be made. Secondly, the role of digital planning as well as refinement phases in maximizing the predictability of the treatment will be accentuated with the use of case scenarios that will be exemplary. Conclusion: Clear aligners can be a reliable remedy to Class II correction provided the case is adequately planned as well as executed. Max distalization as well as max rotation of the molars can be attained with high predictability, especially with the use of sequential staging, Class II elastics, as well as refinement stages. However, the success of the case depends on the patient compliance as well as customized biomechanics.

Keywords: Clear Aligners, Class I Malocclusion, Molar Distalization, Molar Rotation, Sequential Staging



Makale id= 3

Sözlü Sunum

ORCID ID: 0000-0003-1028-9461

| 25

Dişeti Çekilmesinin Kombine Otojen Yumuşak Doku Grefti ve Laterale Kaydırılan Flap ile Tedavisi: Olgu Sunumu

Dr. Öğretim Üyesi Ali Batuhan Bayırlı¹, Dr. Öğretim Üyesi Mehmetcan Uytun¹
¹Muğla Sıtkı Koçman Üniversitesi

*Corresponding author: Ali Batuhan Bayırlı

Özet: Alt anterior bölgede görülen dişeti çekilmeleri hem estetik hem de hassasiyet sorunlarına yol açabilmektedir. Bu olgu sunumunun amacı, 43 numaralı dişteki lokalize dişeti çekilmesinin tedavisinde kullanılan kombine otojen yumuşak doku grefti ve laterale kaydırılmış flap tekniğinin klinik başarısını değerlendirmektir. Hasta, 43 numaralı diş bölgesinde estetik kaygı ve hassasiyet şikâyetiyle başvurdu. Klinik muayenede lokalize dişeti çekilmesi ve keratinize doku eksikliği tespit edildi. Tedavi planı kapsamında, palatinal donör alandan elde edilen, bir ucu bağ dokusu bir ucu serbest dişeti grefti içeren tek parça otojen yumuşak doku grefti kullanıldı. Alıcı bölge olarak 43 numaralı dişin bukkal yüzeyine greft yerleştirildi. 44 numaralı diştten hazırlanan laterale kaydırılmış flap, bağ dokusu bölgesinin üzerine örtülecek şekilde 43 numaralı dişe yönlendirilerek primer kapama sağlandı. Greftin serbest dişeti kısmı 44 numaralı diş vestibülüne suturlandı. Operasyon sonrası standart postoperatif bakım protokolü uygulandı. Sütürler 10 gün sonra alındı. Üç aylık takipte keratinize doku genişliğinde ve hacminde belirgin artış gözlemlendi. 1 yıllık takip sonrası greftin başarılı bir şekilde entegre olduğu ve flap stabilitesinin sağlandığı görüldü. Hastanın estetik ve hassasiyet şikâyetleri ortadan kalktı. Bu vaka, alt anterior bölgede kombine otojen greft ve laterale kaydırılmış flap uygulamasının, tek seansta hem bağ dokusu hem de serbest dişeti desteği sağlayarak başarılı sonuçlar verdiğini göstermektedir.

Anahtar Kelimeler: Dişeti Çekilmesi, Kombine Yumuşak Doku Grefti, Laterale Kaydırılmış Flap

Treatment of Gingival Recession With Combined Autogenous Soft Tissue Graft and Laterally Sliding Flap: A Case Report

Abstract: Gingival recessions in the mandibular anterior region can lead to both aesthetic concerns and dentin hypersensitivity. This case report aims to evaluate the clinical outcome of a combined autogenous soft tissue graft and laterally moved flap technique for the treatment of localized gingival recession at tooth number 43. The patient presented with complaints of aesthetic dissatisfaction and sensitivity in the region of tooth 43. Clinical examination revealed localized gingival recession and inadequate keratinized tissue. The treatment plan included a single-piece autogenous soft tissue graft harvested from the palatal donor site, consisting of both connective tissue and free gingival components. The graft was placed on the buccal surface of tooth 43. A laterally moved flap was prepared from tooth 44 and repositioned to fully cover the connective tissue portion over tooth 43, ensuring primary closure. The free gingival portion of the graft was sutured to the vestibular aspect of tooth 44. Postoperative care followed standard clinical protocols, and sutures were removed on the 10th day. At the 3-month follow-up, an increase in keratinized tissue width and volume was observed. After 1 year, the graft showed successful integration, and flap stability was maintained. The patient's complaints regarding esthetics and sensitivity were resolved. This case demonstrates that the combination of an autogenous soft tissue graft and a laterally moved flap provides both connective and free gingival tissue support in a single

session and may be an effective treatment modality for localized gingival recession in the anterior mandible.

Keywords: Gingival Recession, Combined Soft Tissue Graft, Laterally Sliding Flap



Makale id= 35

Sözlü Sunum

ORCID ID: 0009-0000-3335-302X

| 27

Endo-Periodontal Lezyonlarda Biyoseramik Kök Kanal Patlarıyla Endodontik Yönetimi: Vaka Serisi

Res.Asst. Ebru Yıldız Dal¹, Assoc.prof.Dr. Deniz Yamık Nalbantoğlu¹

¹Süleyman Demirel Üniversitesi Diş Hekimliği Fakültesi Endodonti Anabilim Dalı

*Corresponding author: Ebru yıldız dal

Özet: Konu: Pulpa ve periodonsiyum; embriyonik, anatomik ve fonksiyonel olarak yakın ilişkiye sahip olduğundan bir bölgedeki patoloji diğer bölgeyi de etkileyebilmektedir. Pulpa ve periodontal hastalıkların birlikte görüldüğü teşhis ve tedavisi zor olan bu durumlar, endo-periodontal lezyonlar (EPL) olarak tanımlanır. Amaç: Bu vaka serisinin amacı, EPL teşhisi konulan iki olgunun tedavisi ve takibinin sunulmasıdır. Olgu sunumu: Sistemik sağlıklı 49 yaşındaki kadın hasta, alt-ön bölgede şiddetli ağrı şikayetiyle endodonti kliniğine başvurmuştur. Klinik muayenede, #31-dişte palpasyon ve perküsyona pozitif yanıt, Carranza mobilite indeksine (CMI) göre sınıf-II mobilite tespit edilmiştir. Radyografik incelemede yaygın alveoler kemik kayıpları, #31-dişte periapikal lezyon ve iki kanallı olduğu izlenmiştir. Kök hasarı olmayan, periodontitis hastasında Grade-1 EPL tanısı konulmuştur. Rubber-dam izolasyonu altında giriş kavitesi hazırlanmış, üç seans kök kanallarından pü drenajı sağlanmış, ultrasonikle irrigasyon aktivasyonu gerçekleştirilmiştir. Drenajın kesilmesini takiben, kök kanallarına kalsiyum hidroksit medikamenti uygulanarak üç hafta bekletilmiştir. Kalsiyum hidroksitin kanallardan uzaklaştırılmasından sonra son irrigasyonu yapılmıştır. Biyoseramik kök kanal patı (TotalFill BC Sealer, FKG Dentaire, İsviçre) ile tek kon guta-perka tekniği kullanılarak kök kanal tedavisi tamamlanıp direkt kompozit restorasyon uygulanmıştır. Sistemik sağlıklı 37 yaşındaki erkek hasta, sol-üst bölgede şiddetli ağrı şikayetiyle endodonti kliniğine başvurmuştur. Klinik muayenede, #27dişte palpasyon ve perküsyona pozitif yanıt, CMI'ya göre sınıf-II mobilite tespit edilmiştir. Radyografik incelemede alveoler kemik kayıpları izlenmiştir. Kök hasarı olmayan, periodontitis hastasında Grade-3 EPL tanısı konulmuştur. Rubber-dam izolasyonu altında giriş kavitesi hazırlanmış, üç seans kök kanallarından ve dişetinden pü drenajı sağlanmıştır. Ultrasonikle irrigasyon aktivasyonu gerçekleştirilmiştir. Kanal içi medikasyon ve son irrigasyon ilk vakada olduğu gibi gerçekleştirilmiştir. Biyoseramik kök kanal patı ile tek kon guta-perka tekniği kullanılarak kök kanal tedavisi tamamlanıp direkt kompozit restorasyon uygulanmıştır. İki olgu da periodontal tedavi için periodontoloji bölümüne yönlendirilmiştir. Bulgular: Klinik kontrolün 12. ayında, dişlerin asemptomatik olduğu, fonksiyon gösterdiği belirlenmiş olup takip süreci devam etmektedir. Sonuç: Sızdırmazlık kapasitesi, antimikrobiyal etkisi, biyouyumluluk özelliği nedeniyle biyoseramik esaslı patların kullanımı EPL'de tercih edilebilir.

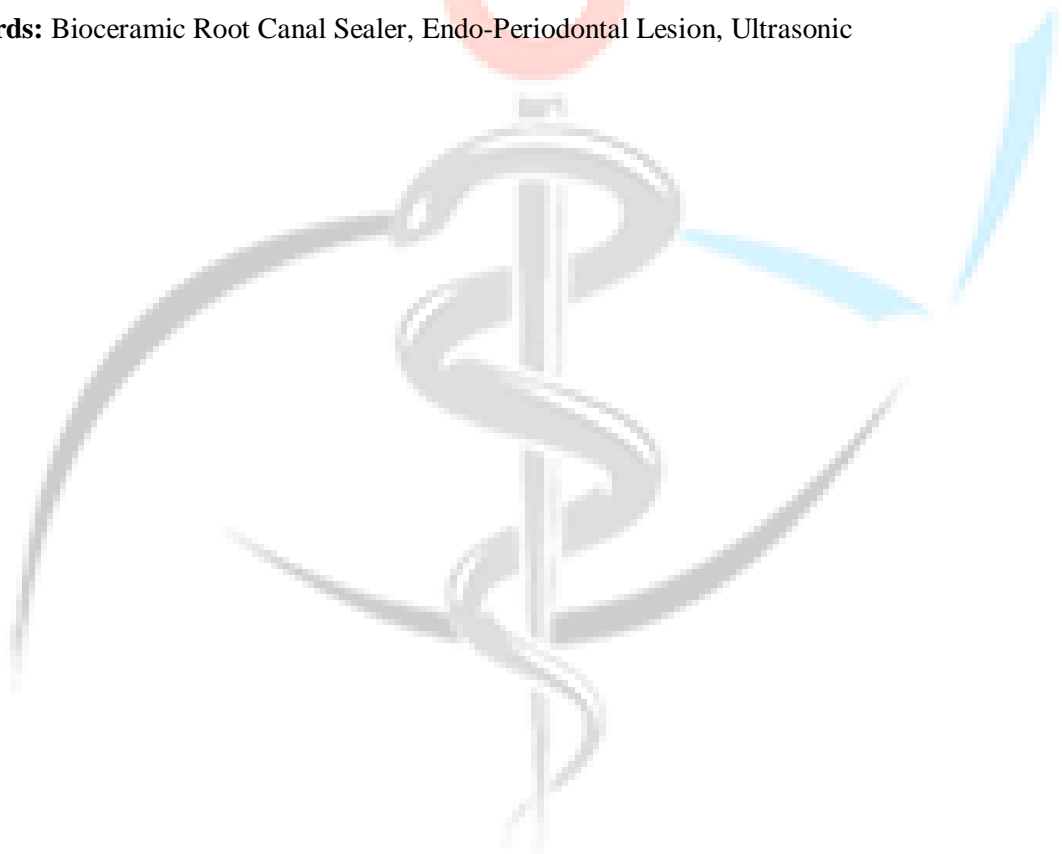
Anahtar Kelimeler: Biyoseramik Kök Kanal Patı, Endo-Periodontal Lezyon, Ultrasonik

Management of Endo-Periodontal Lesions Using Bioceramic Root Canal Sealers: A Case Series

Abstract: Introduction: Because the pulp and periodontium are closely related embryologically and functionally, pathologies affect two compartments. Endo-periodontal lesions (EPL) are defined as conditions where pulp and periodontal diseases coexist. Aim: This case series aims to present the management of teeth with EPL. Case Presentation: A systemically healthy 49-year-old woman referred

to the clinic with severe pain in the lower anterior region. Positive responses to palpation and percussion in tooth #31 with Class II mobility according to the Carranza-Mobility-Index (CMI) were detected. Radiographic examination revealed alveolar bone loss and a periapical lesion. Diagnosis was Grade-1 EPL without root damage in a periodontitis patient. The access cavity was prepared under rubber dam isolation, pus drainage was achieved in three appointments, and irrigation was activated with ultrasonics. Calcium hydroxide was applied and left for three weeks. Final irrigation was performed after the calcium hydroxide was removed. Treatment was completed using the single cone gutta-percha technique with bioceramic sealer. Direct composite restoration was applied. A systemically healthy 37-year-old male referred to the clinic with severe pain in the upper left region. Positive response to palpation and percussion in tooth #27, with Class II mobility according to CMI. Radiographic examination revealed alveolar bone loss. Diagnosis was Grade-3 EPL in a periodontitis patient without root damage. Preparation of the access cavity, pus drainage, irrigation activation, intracanal medication, and final irrigation were performed as in the first case. Treatment was completed using a single-cone gutta-percha technique with bioceramic root canal sealer, and direct composite restorations were applied. Both cases were referred to the periodontology department for periodontal treatment. Results: At the 12th month of clinical follow-up, the teeth were asymptomatic and functioning healthily, and follow-up is ongoing. Conclusion: The use of bioceramic-based sealers may be preferred in EPL due to their sealing capacity, antimicrobial effect, and biocompatibility.

Keywords: Bioceramic Root Canal Sealer, Endo-Periodontal Lesion, Ultrasonic



Makale id= 180

Sözlü Sunum

ORCID ID: 0000-0003-0339-7501

| 29

Endodontik Tedavili Dişlerde Cad/cam Overlay Restorasyonların Klinik Değerlendirilmesi: Split-Mouth Çalışma

Ph.D Selinsu Öztürk¹

¹Marmara Üniversitesi Restoratif Diş Tedavisi Anabilim Dalı

Özet: Endodontik tedavili dişlerde koronal diş dokusunun kaybı, kalan diş yapısının kırılma direncini azaltarak restoratif tedaviyi klinik açıdan zorlaştırmaktadır. Bu tür dişlerde uygulanan indirekt restorasyonlarda, adeziv sistemlerin gelişimiyle birlikte minimal invaziv yaklaşımlar ön plana çıkmıştır. CAD/CAM teknolojilerindeki gelişmeler, hem subtractive (frezelenmiş) hem de additive (3D baskı) üretim yöntemleriyle marjinal uyumlu overlay restorasyonların hazırlanmasını mümkün kılmıştır. Bu split-mouth çalışmanın amacı, endodontik tedavili dişlerde additive ve subtractive CAD/CAM overlay restorasyonların kısa dönem klinik performansını değerlendirmektir. Çalışmaya, endodontik tedavi tamamlanmış, herhangi bir periapikal lezyon içermeyen ve semptomsuz molar ve/veya premolar dişlere sahip iki hasta dahil edilmiştir. Her hastada bir diş hibrit seramik CAD/CAM blok (GrandioBlocks, VOCO) kullanılarak subtractive yöntemle, diğer diş ise 3D baskı yöntemiyle (VarseoSmile Crown Plus, BEGO) restore edilmiştir. Tüm restorasyonlar aynı adeziv rezin siman (Bifix QM, VOCO) kullanılarak simante edilmiştir. 1. hafta ve 6. ay kontrolleri yapılan restorasyonların klinik değerlendirmeleri, FDI kriterleri esas alınarak estetik, fonksiyonel ve biyolojik parametreler açısından skorlanmıştır. Hastaların kontrol randevularında estetik veya fonksiyonel herhangi bir şikâyet saptanmamış; her iki yöntemle hazırlanan restorasyonlar, 6 aylık takip sonunda klinik olarak başarılı bulunmuştur. Kısa dönem klinik bulgular hem additive hem de subtractive CAD/CAM overlay restorasyonların endodontik tedavili dişlerin restorasyonunda güvenilir ve estetik açıdan tatmin edici seçenekler olduğunu göstermektedir. Split-mouth tasarımı, iki dijital üretim yönteminin klinik başarısını doğrudan karşılaştırmaya olanak sağlamıştır. Uzun dönem takip çalışmaları bu sonuçların doğrulanması açısından gereklidir.

Anahtar Kelimeler: Cad/cam,3d Baskı, Minimal İnvaziv, Overlay Restorasyon

Clinical Evaluation of Cad/cam Overlay Restorations in Endodontically Treated Teeth: A Split-Mouth Study

Abstract: The loss of coronal tooth structure in endodontically treated teeth reduces the fracture resistance of the remaining dentin, making restorative rehabilitation clinically challenging. In indirect restorations for such teeth, the evolution of adhesive dentistry has promoted minimally invasive concepts aiming to preserve the remaining tooth structure. Advances in computer-aided design and manufacturing (CAD/CAM) technology have enabled the fabrication of overlay restorations with optimal marginal adaptation using both subtractive (milled) and additive (3D-printed) manufacturing techniques. The aim of this split-mouth study was to evaluate the short-term clinical performance of additive and subtractive CAD/CAM overlay restorations in endodontically treated teeth. Two patients with endodontically treated, asymptomatic molar and/or premolar teeth without periapical pathology were included. In each patient, one tooth was restored with a hybrid ceramic CAD/CAM block (GrandioBlocks, VOCO) using the subtractive milling technique, and the contralateral tooth was restored with the additive 3D printing

method (VarseoSmile Crown Plus, BEGO). All restorations were luted using the same adhesive resin cement (Bifix QM, VOCO). The clinical evaluations of the restorations at the 1-week and 6-month follow-ups were scored according to the FDI criteria in terms of esthetic, functional, and biological parameters. No esthetic or functional complaints were detected during the patients' recall appointments, and restorations fabricated with both techniques were found to be clinically successful at the 6-month follow-up. Short-term clinical findings suggest that both additive and subtractive CAD/CAM overlay restorations are reliable and esthetically satisfying options for restoring endodontically treated teeth. The split-mouth design allowed a direct comparison of the clinical performance of the two digital manufacturing techniques. Long-term follow-up studies are required to confirm these results.

Keywords: Cad/cam, 3d Print, Minimally Invasive, Overlay Restoration



Makale id= 120

Sözlü Sunum

ORCID ID: 0000-0002-3933-7079

| 31

İmplant Diş Hekimliğinde Osseointegrasyon Araştırmalarının Haritalanması: Bibliyometrik Bir Çalışma

Dr. Öğretim Üyesi Zeynep Akgül¹, Dr. Öğretim Üyesi Nuray Ercan¹

¹Bolu Abant İzzet Baysal Üniversitesi Diş Hekimliği Fakültesi Periodontoloji Anabilim Dalı, Bolu

*Corresponding author: Zeynep Akgül

Özet: Giriş: Dental implantolojinin biyolojik temelini osseointegrasyon kavramı oluşturmaktadır. Son kırk yılda bu alandaki araştırmalar, mekanik ve materyal odaklı çalışmalardan kompleks immün yanıt temelli yaklaşımlara doğru evrilmiştir. Osseointegrasyon, mekanizmasının tam olarak açıklanması ve geliştirilmesi için yapılan geniş literatür çalışmasına rağmen bütüncül olarak ele alınmamıştır. Bu çalışmanın amacı dental implantoloji alanında osseointegrasyon üzerine yapılan küresel araştırmalara kapsamlı bir bibliyometrik genel bakış sunmak, yayın eğilimlerini, etkili çalışmalarını, tematik gelişmeleri ve ortaya çıkan araştırma yönelimlerini haritalamaktır. Yöntem: Web of Science Core Collection (1983–2024) veritabanında “Dentistry, Oral Surgery & Medicine” kategorisinde yer alan çalışmalar üzerinde bibliyometrik bir bilim haritalama analizi gerçekleştirildi. Filtreler uygulandıktan sonra 4.744 makale ve derleme, bibliyometrik yazılımı kullanılarak performans, anahtar kelime/tematik evrim ve eş-atıf (yazar, belge, kaynak) analizleriyle incelendi. Bulgular: Yıllık ortalama %14,37 büyüme ile yayın sayısında istikrarlı bir artış gözlemlendi; en çok katkı sağlayan ülkeler ABD, Brezilya, Çin, İtalya ve Güney Kore olarak belirlendi. Anahtar kelime ve tematik desenler, temel biyomekanik ve materyal odaklı çalışmalardan yüzey modifikasyonu, peri-implant doku sağlığı, immünobiyoloji/osteobağışıklık ve rejeneratif stratejilere doğru bir kayma olduğunu göstermektedir. Eş-atıf analizinde Bränemark, Albrektsson ve Buser’in öncü çalışmaları merkezi konumda yer alırken, Clinical Oral Implants Research ve Journal of Periodontology gibi dergilerin alanın bilgi yayılımında baskın olduğu görülmüştür. Sonuçlar: Osseointegrasyon güncel çalışmaların artmasıyla mekanik stabiliteye dayalı klasik anlayıştan; yüzey modifikasyonlarını, biyolojik süreçleri ve konak yanıtını da içeren dinamik bir kavrama dönüşmüştür. Bu yaklaşım, implant tedavilerinde uzun dönemli başarı için osseointegrasyonun biyolojik sürdürülebilirliğe dikkat çekmektedir. Çalışmamızın bulguları, araştırma eğilimlerinin bu biyolojik odaklı yönelimi doğrultusunda şekillendiğini ve gelecekteki çalışmaların malzeme bilimi, osteoimmün mekanizmalar ve peri-implant doku sağlığını değerlendiren klinik araştırmaları kapsayan multidisipliner yaklaşımlara yönelmesi gerektiğini göstermektedir.

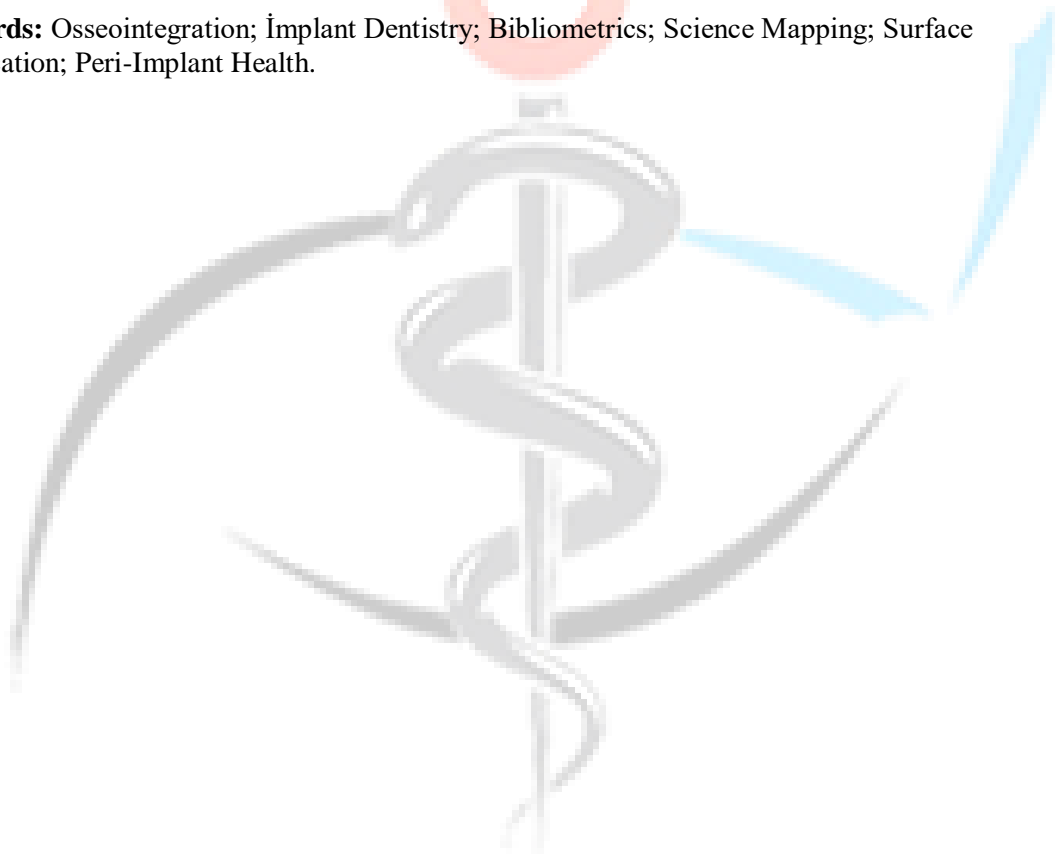
Anahtar Kelimeler: Osseointegrasyon; İmplant Diş Hekimliği; Bibliyometri; Bilim Haritalama; Yüzey Modifikasyonu; Peri-Implant Sağlık.

Mapping Osseointegration Research in Implant Dentistry: A Bibliometric Study

Abstract: Introduction: The concept of osseointegration forms the biological basis of dental implantology. Over the last forty years, research in this field has evolved from mechanical and material-focused studies to complex, immune response-based approaches. Despite extensive literature aimed at fully explaining and developing the mechanisms of osseointegration, it has not been addressed holistically. The aim of this study is to provide a comprehensive bibliometric overview of global research on osseointegration in dental implantology, mapping publication trends, influential studies,

thematic developments, and emerging research directions. Method: A bibliometric science-mapping analysis was conducted on studies in the “Dentistry, Oral Surgery & Medicine” category of the Web of Science Core Collection (1983–2024). After applying filters, 4,744 articles and reviews were analyzed using Bibliometrix software, performing performance, keyword/thematic evolution, and co-citation (author, document, source) analyses. Findings: A steady increase in the number of publications was observed, with an average annual growth of 14.37%. The top contributing countries were the United States, Brazil, China, Italy, and South Korea. Keyword and thematic patterns indicate a shift from basic biomechanics and materials-focused studies to surface modification, peri-implant tissue health, immunobiology/osteimmunity, and regenerative strategies. Co-citation analysis revealed that pioneering work by Brånemark, Albrektsson, and Buser was central, while journals such as *Clinical Oral Implants Research* and *Journal of Periodontology* dominated the field's knowledge dissemination. Conclusions: With the increasing number of recent studies, osseointegration has evolved from a classical understanding based on mechanical stability to a dynamic concept encompassing surface modifications, biological processes, and host responses. This approach highlights the biological sustainability of osseointegration for long-term success in implant treatments. The findings of our study suggest that research trends are being shaped by this biological focus, and that future studies should focus on multidisciplinary approaches encompassing materials science, osteoimmune mechanisms, and clinical research evaluating peri-implant tissue health.

Keywords: Osseointegration; Implant Dentistry; Bibliometrics; Science Mapping; Surface Modification; Peri-Implant Health.



Makale id= 102**Sözlü Sunum**

ORCID ID: 0009-0008-7293-6461

| 33

Liken Planus Tanılı Bir Hastanın Şeffaf Plaklarla Ortodontik Tedavisi: Vaka Raporu**Dr. Öğretim Üyesi Nursezen Kavasoglu¹**
¹Batman Üniversitesi Diş Hekimliği Fakültesi

Özet: Amaç: Polidiastema vakaları, ankraj gereksinimleri ve tedavi sonrası nüks riski nedeniyle dikkatli planlama gerektirir. Bu olgu sunumunun amacı, polidiasteması ve oral liken planus tanısı olan iskeletsel Sınıf I bir hastanın şeffaf plaklarla tedavi sürecini ve sonuçlarını sunmaktır. Olgu Sunumu: 30 yaşında kadın hasta, dişlerindeki boşluklardan şikâyetle başvurmuştur. Sistemik durumu stabil olan hastanın oral liken planus tanısı mevcuttur.. Klinik muayenede sağ ve sol Sınıf I kanin ve molar ilişki ile üst ve alt anterior bölgelerde polidiastema gözlenmiştir. Sefalometrik analizde iskeletsel Sınıf I anomali (ANB: 2,5°) ve normal dik yön boyutları tespit edilmiştir. Multidisipliner değerlendirme sonrası, yumuşak dokularla teması az, hijyenin kolay sağlandığı ve kontrollü kuvvet sunan şeffaf plak tedavisi tercih edilmiştir. Dijital ölçü sonrası toplam 25 plak üretilmiştir. İlk seansta ataçmanlar yerleştirilmiş, her plak 7 gün boyunca günde 20 saat kullanılmıştır. Tedavi sonunda Sınıf I kanin ve molar ilişki korunmuş, ideal overjet ve overbite elde edilmiş, tüm diastemalar kapanmıştır. Toplam tedavi süresi yaklaşık 6 ay sürmüş, estetik ve fonksiyonel hedeflere ulaşılmıştır. Tedavi süresince herhangi bir sistemik komplikasyon ya da lezyon alevlenmesi gözlenmemiştir. Sonuç: Bu vaka, şeffaf plakların oral liken planus gibi sistemik veya mukozal rahatsızlıkları olan hastalarda güvenle tercih edilebilecek, travmatik olmayan ve hem estetik hem de fonksiyonel başarı sağlayabilecek bir ortodontik tedavi seçeneği olduğunu göstermektedir.

Anahtar Kelimeler: Şeffaf Plaklar; Liken Planus; Polidiastema**Orthodontic Treatment With Clear Aligners in a Patient Diagnosed With Oral Lichen Planus: A Case Report**

Abstract: Objective: Polydiastema cases require careful planning due to anchorage demands and the risk of relapse after treatment. This case report aims to present the treatment process and outcomes of a skeletal Class I patient diagnosed with oral lichen planus, treated using clear aligners. Case Report: A 30-year-old female patient presented with complaints of multiple gaps between her teeth. Her systemic condition was stable, and she had a diagnosis of oral lichen planus. Clinical examination revealed bilateral Class I canine and molar relationships, along with polydiastema in both the upper and lower anterior regions. Cephalometric analysis indicated a skeletal Class I pattern (ANB: 2.5°) with normal vertical dimensions. Following a multidisciplinary evaluation, clear aligner therapy was selected due to its limited contact with soft tissues, ease of oral hygiene, and application of controlled forces. A total of 25 aligners were fabricated after digital impressions. Attachments were bonded during the first session, and each aligner was worn for 20 hours per day for 7 days. At the end of treatment, bilateral Class I molar and canine relationships were maintained, ideal overjet and overbite were achieved, and all diastemas were closed. The total treatment duration was approximately six months, and the desired esthetic and functional outcomes were attained. No systemic complications or lesion exacerbations were observed during the course of treatment. Results: This case demonstrates that clear aligners are a safe,

non-invasive, and effective orthodontic treatment option for patients with systemic or mucosal conditions such as oral lichen planus, providing both esthetic and functional success with high patient satisfaction.

Keywords: Clear Aligners; Lichen Planus; Polydiastema



Makale id= 177

Sözlü Sunum

ORCID ID: 0000-0002-0139-5708

| 35

Mukogingival Cerrahi Uygulanan Hastalarda Görsel veya Sözel Bilgilendirmenin Dental Anksiyete ve Ağrı Düzeyleri Üzerine Etkisinin Değerlendirilmesi

Arş.Gör. Yunus Emre Güner¹, Uzman Emre Durmuş², Prof.Dr. Varol Çanakçı¹

¹Ordu Üniversitesi Diş Hekimliği Fakültesi

²Trabzon Ağız ve Diş Sağlığı Hastanesi

*Corresponding author: Yunus Emre Güner

Özet: Amaç: Bu çalışmanın amacı, mukogingival cerrahi geçiren hastalarda cerrahi öncesi uygulanan görsel ve sözlü bilgilendirme yöntemlerinin dental anksiyete ve postoperatif ağrı düzeyleri üzerindeki etkilerini karşılaştırmaktır. Gereç ve Yöntem: Mukogingival cerrahi endikasyonu bulunan toplam 80 birey rastgele olarak iki gruba ayrılmıştır: sözlü bilgilendirme grubu (n=40) ve görsel bilgilendirme grubu (n=40). Görsel bilgilendirme grubundaki hastalara, cerrahi işlemin tüm aşamalarını gösteren on adet yüksek çözünürlüklü fotoğraf cerrahi öncesinde standart koşullarda gösterilmiştir. Anksiyete ve ağrı düzeyleri, Modifiye Dental Anksiyete Skalası (MDAS), Durumluk-Sürekli Kaygı Envanteri (STAI-S, STAI-T) ve Vizüel Analog Skala (VAS) kullanılarak cerrahi öncesinde, hemen sonrasında ve postoperatif 10. günde değerlendirilmiştir. Veriler istatistiksel olarak Paired t-testi, Independent t-testi, Repeated Measures ANOVA ve Bonferroni düzeltmesi ile analiz edilmiştir (p

Anahtar Kelimeler: Mukogingival Cerrahi, Dental Anksiyete, Görsel Bilgilendirme, Ağrı Algısı

Evaluation of the Effect of Visual and Verbal Information On Dental Anxiety and Pain Levels in the Mucogingival Surgery Patients

Abstract: Aim: Dental anxiety represents a prevalent psychosocial phenomenon that may adversely influence patient cooperation, perceived pain, and clinical outcomes in periodontal surgery. Preoperative educational interventions utilizing visual media have recently gained attention for their potential to enhance patient comprehension and mitigate anxiety; however, evidence regarding their effectiveness in mucogingival procedures remains limited. This study aimed to assess the impact of visual versus verbal preoperative information on anxiety and postoperative pain among patients undergoing mucogingival surgery. Materials and Methods: Eighty patients indicated for mucogingival surgical treatment were randomly assigned to either a verbal information group (n=40) or a visual information group (n=40). Participants in the visual group were shown ten standardized high-resolution photographs illustrating the entire surgical sequence. Anxiety and pain levels were measured using the Modified Dental Anxiety Scale (MDAS), the State-Trait Anxiety Inventory (STAI-S, STAI-T), and the Visual Analog Scale (VAS) at baseline, immediately after surgery, and on postoperative day 10. Statistical analyses included paired and independent t-tests, repeated-measures ANOVA, and Bonferroni correction, with significance set at p

Keywords: Mucogingival Surgery; Dental Anxiety; Visual Education; Pain Perception

Makale id= 109

Sözlü Sunum

ORCID ID: 0009-0000-1373-8977

| 36

Nazopalatin Kanal Kisti: Olgu Sunumu

Arş.Gör. Anzel Toprak Bişkin¹, Arş.Gör. Ayşegül Öndeş¹, Dr. Öğretim Üyesi Gülsüm Akkaya¹
¹Adıyaman Üniversitesi Diş Hekimliği Fakültesi

*Corresponding author: Anzel Toprak Bişkin

Özet: Amaç: Nazopalatin kanal kisti çenede en yaygın görülen gelişimsel nonodontojenik bir kisttir. İnsiziv kanal kisti olarak da bilinen bu kist genellikle hayatın dördüncü ve altıncı dekatları arasında erkek yetişkinlerde görülür. Maksilla anterior orta hatta lokalize olan kistin insiziv kanal içerisindeki embriyolojik kökenli epitel artıklarından geliştiği düşünülmektedir. Genellikle asemptomatik olmakla birlikte kistin boyutuna ve çeşitli etken faktörlere bağlı olarak farklı klinik bulgular verebilir. Radyolojik olarak yuvarlak, oval veya kalp şeklinde, iyi sınırlı ve içeriği radyolüsent görünüm verirler. Bu sunumun amacı asemptomatik unilateral nazopalatin kanal kistin rutin muayene sırasında farkedilip gerekli tedavilerin yapılmasını sağlamaktır. Olgu Sunumu: Bu sunumda kliniğimize başvuran 41 yaşında herhangi bir sistemik hastalığı bulunmayan erkek hastanın rutin muayene sırasında farkedilen unilateral nazopalatin kanal kistin klinik ve radyolojik değerlendirilmesi hedeflenmiştir. Sonuç: Genellikle asemptomatik olup maksiller orta hatta yerleşen nazopalatin kanal kisti bu bölgenin radyografi çekimi esnasında hasta pozisyonundan sıkça etkilenmesi nedeniyle rutin muayene sırasında gözden kaçabilir. Bundan dolayı dental muayene sırasında dikkatli inceleme yapılması, gerekli ve şüpheli durumlarda diğer görüntüleme tekniklerinden yararlanılması önemlidir.

Anahtar Kelimeler: Nazopalatin Kanal Kisti, Konik Işınlı Bilgisayarlı Tomografi, Nonodontojenik Kist

Nasopalatine Duct Cyst: A Case Report

Abstract: Purpose: The nasopalatine canal cyst is the most common developmental non-odontogenic cyst of the jaw. Also known as the incisive canal cyst, it typically occurs in male adults between the fourth and sixth decades of life. The cyst, localized in the anterior midline of the maxilla, is thought to originate from embryological epithelial remnants within the incisive canal. Although it is usually asymptomatic, various clinical manifestations may occur depending on the cyst's size and other contributing factors. Radiographically, it appears as a well-defined, round, oval, or heart-shaped radiolucent lesion. The aim of this presentation is to emphasize the importance of identifying an asymptomatic unilateral nasopalatine canal cyst during routine examination and providing the necessary treatment. Case Report: This presentation focuses on the clinical and radiological evaluation of an asymptomatic unilateral nasopalatine canal cyst detected during a routine dental examination in a 41-year-old male patient with no systemic diseases who presented to our clinic. Conclusion: Since the nasopalatine canal cyst, typically located in the maxillary midline, is often asymptomatic and radiographic imaging of this region can be influenced by patient positioning, it may easily be overlooked during routine examinations. Therefore, careful evaluation during dental check-ups and the use of additional imaging techniques in suspicious cases are essential.

Keywords: Nasopalatine Canal Cyst, Cone Beam Computed Tomography, Non-Odontogenic Cyst

Makale id= 54**Sözlü Sunum**

ORCID ID: 0000-0003-1954-6444

| 37

Rezin Bazlı Akışkan Materyallerin Dönüşüm Derecelerinin Değerlendirilmesi: Ftir Analizi**Dr. Öğretim Üyesi Fatma Yılmaz¹**¹Muğla Sıtkı Koçman Üniversitesi, Diş Hekimliği Fakültesi, Restoratif Diş Tedavisi A.D.

Özet: Rutin klinik uygulamalarda doldurucu miktarı veya adezyon şekli farklı, cam iyonomer esaslı veya kısa fiber içerikli akışkan materyaller; örtücü, kaide ya da restorasyon materyali olarak tercih edilmektedir. Bu materyallerin kısa sürede polimerizasyonları uygulama kolaylığı sağlamasına rağmen, polimerizasyon dereceleri konusunda şüphe uyandırmaktadır. Bu nedenle bu in vitro çalışmada farklı içeriklere sahip akışkan materyallerin kısa ve standart polimerizasyon süreleri sonrasında dönüşüm derecelerinin karşılaştırılması amaçlanmıştır. Bu amaçla ticari olarak piyasada mevcut altı farklı rezin bazlı akışkan materyal kullanıldı: 1. G-ænial™ Universal Flo (GC), 2. Metafil Flo Medium-Flow (Sun Medical), 3. Vertise™ Flow (Kerr), 4. Ionoseal (VOCO), 5. Glass Liner (WP Dental) ve 6. EverX Flow™ (GC). Her bir materyal grubu 3 sn ve 20 sn'lik polimerizasyon sürelerine göre iki alt gruba ayrıldı (n=5). Toplamda 60 adet örnek 2 mm yükseklik, 4 mm çapındaki teflon kalıplar içinde yeni nesil bir LED ışık cihazı (Valo Cordless, Ultradent) kullanılarak hazırlandı. Dönüşüm dereceleri polimerizasyondan hemen sonra fourier dönüşümlü kızılötesi (FTIR) spektroskopisi ile değerlendirildi. Veriler bağımlı örneklem t-testi ve tek yönlü ANOVA ile Tukey post-hoc testi kullanılarak analiz edildi ($\alpha = 0,05$). Yirmi saniyelik polimerizasyon Vertise™ Flow hariç tüm materyallerde 3 sn'ye göre anlamlı derecede daha yüksek dönüşüm derecesi sağladı ($p < 0,05$). Üç saniyelik polimerizasyonda Vertise™ Flow en yüksek ($48,94 \pm 12,47$), EverX Flow™ ise en düşük ($20,92 \pm 7,96$) dönüşüm derecesi gösterdi. Yirmi saniyelik polimerizasyonda ise Glass Liner'in en yüksek ($76,88 \pm 21,41$), EverX Flow™'nin en düşük ($45,72 \pm 9,35$) dönüşüm derecesi gösterdiği tespit edildi. Elde edilen veriler polimerizasyon süresinin rezin bazlı akışkan materyallerin dönüşüm dereceleri üzerinde kritik bir etkiye sahip olduğunu ortaya koymaktadır. Düşük dönüşüm derecesi gösteren materyallerin klinik kullanımında ek önlemler alınması gerektiği ve materyal bazlı polimerizasyon sürelerinin dikkatle değerlendirilerek üretici talimatlarına uyulması önemlidir.

Anahtar Kelimeler: Polimerizasyon Derecesi, Akışkan Materyal, Ftir Analizi, Polimerizasyon Süresi**Evaluation of Conversion Degree of Resin Based Flowable Materials: Ftir Analysis**

Abstract: In routine clinical practice, flowable materials with varying filler content, adhesion strategies, or those modified with glass ionomer or short fiber reinforcement are commonly used as liners, bases, or restorative materials. Although their ability to polymerize within a short time provides convenience, it raises concerns about the adequacy of polymerization. Therefore, this in vitro study aimed to compare the degree of conversion of flowable materials with different compositions following short and conventional polymerization durations. Therefore, six commercially available resin-based flowable materials were used: 1. G-ænial™ Universal Flo (GC), 2. Metafil Flo Medium-Flow (Sun Medical), 3. Vertise™ Flow (Kerr), 4. Ionoseal (VOCO), 5. Glass Liner (WP Dental), and 6. EverX Flow™ (GC). Each material group was divided into two subgroups based on curing times of 3 s and 20 s (n=5). Total

of 60 samples were prepared in teflon molds (2 mm height × 4 mm diameter) using a next-generation LED curing device (Valo Cordless, Ultradent). The degree of conversion was evaluated immediately after polymerization using fourier-transform infrared (FTIR) spectroscopy. Data were analyzed using a paired samples t-test and one-way ANOVA with Tukey's post-hoc test ($\alpha = 0.05$). The 20-s polymerization resulted in a significantly higher conversion degree compared to 3-s in all materials except Vertise™ Flow ($p < 0.05$). At 3-s polymerization, Vertise™ Flow exhibited the highest conversion degree ($48.94 \pm 12.47\%$), while EverX Flow™ showed the lowest ($20.92 \pm 7.96\%$). At 20 s polymerization, Glass Liner demonstrated the highest conversion degree ($76.88 \pm 21.41\%$), whereas EverX Flow™ had the lowest ($45.72 \pm 9.35\%$). The findings indicate that curing time has a critical effect on the conversion degree of resin-based flowable materials. Additional precautions should be considered in the clinical use of materials with low conversion degree, and curing time should be carefully evaluated in accordance with manufacturers' instructions.

Keywords: Conversion Degree, Flowable Materials, Ftr Analysis, Curing Time



Makale id= 164

Sözlü Sunum

ORCID ID: 0000-0001-9265-1772

| 39

Sınıf II Maloklüzyonda Fonksiyonel Ortopedik Tedavinin İskeletsel ve Üst Hava Yolu Yapıları Üzerindeki Sonuçları: Büyüme Dönemleri Arasında Karşılaştırmalı Bir Değerlendirme

Arş.Gör.Dr. Hande Uzunçubuk¹
¹Trakya Üniversitesi

Özet: İskeletsel Sınıf II maloklüzyon, büyüme dönemindeki bireylerde en sık görülen kraniyofasiyal yetersizliklerden biridir ve genellikle mandibular retrüzyona atfedilir. Fonksiyonel ortodontik tedavi, mandibular protrüzyonun oluşturulmasına ve faydalı iskeletsel büyümenin teşvik edilmesine odaklanır. Güncel araştırmalar, bu tür tedavilerin üst hava yolu ölçümlerini etkileyerek solunum fonksiyonu bozulmuş hastalarda potansiyel faydalar sağlayabileceğini de göstermektedir. Fonksiyonel ortopedik tedavinin başarısı büyük ölçüde uygulama zamanlamasına bağlıdır. İskeletsel olgunluk, özellikle mandibular büyüme ve yumuşak doku adaptasyonu açısından biyolojik yanıtın belirlenmesinde kritik bir rol oynar. Büyüme dönemleri arasındaki (prepubertal ve pubertal) karşılaştırmalar, tedavi planlamasının en uygun şekilde yapılabilmesi açısından değerli bilgiler sunar. Sefalometrik değerlendirme, tedaviyle indüklenen iskeletsel ve hava yolu değişikliklerinin ölçülmesinde temel bir araç olmaya devam etmektedir. SNB açısı, mandibula uzunluğu, dil pozisyonu ve hyoid kemik konumu, zaman içindeki niceliksel değişimlerin değerlendirilmesini kolaylaştırır. Bu doğrultuda, prepubertal hastalar daha belirgin iskeletsel yanıtlar göstermiştir; özellikle SNB açısı ve mandibula uzunluğu (Co-Gn) değerlerinde artış gözlenmiş, erken müdahalenin daha güçlü ortopedik yanıtlar oluşturduğu saptanmıştır. Öte yandan, pubertal dönemdeki hastalarda dil yüksekliği ve hyoid kemiğin öne yer değiştirmesi gibi daha belirgin yumuşak doku adaptasyonları gözlenmiştir. Sonuç: Sınıf II maloklüzyonun fonksiyonel ortodontik tedavisi, hem iskelet morfolojisi hem de üst hava yolu ölçümleri açısından olumlu sonuçlar sağlar. Değişimlerin niteliği ve derecesi, büyüme dönemine bağlı olarak farklılık gösterir. Erken dönemde başlanan tedavi mandibular büyüme yanıtlarını artırırken, pubertal dönemdeki tedavi hava yolu adaptasyonları açısından daha avantajlı olabilir. Bu dinamiğin anlaşılması, klinisyenlerin tedavi protokollerini bireyselleştirerek hem ortodontik hem fonksiyonel açıdan daha üstün sonuçlar elde etmelerine olanak tanır.

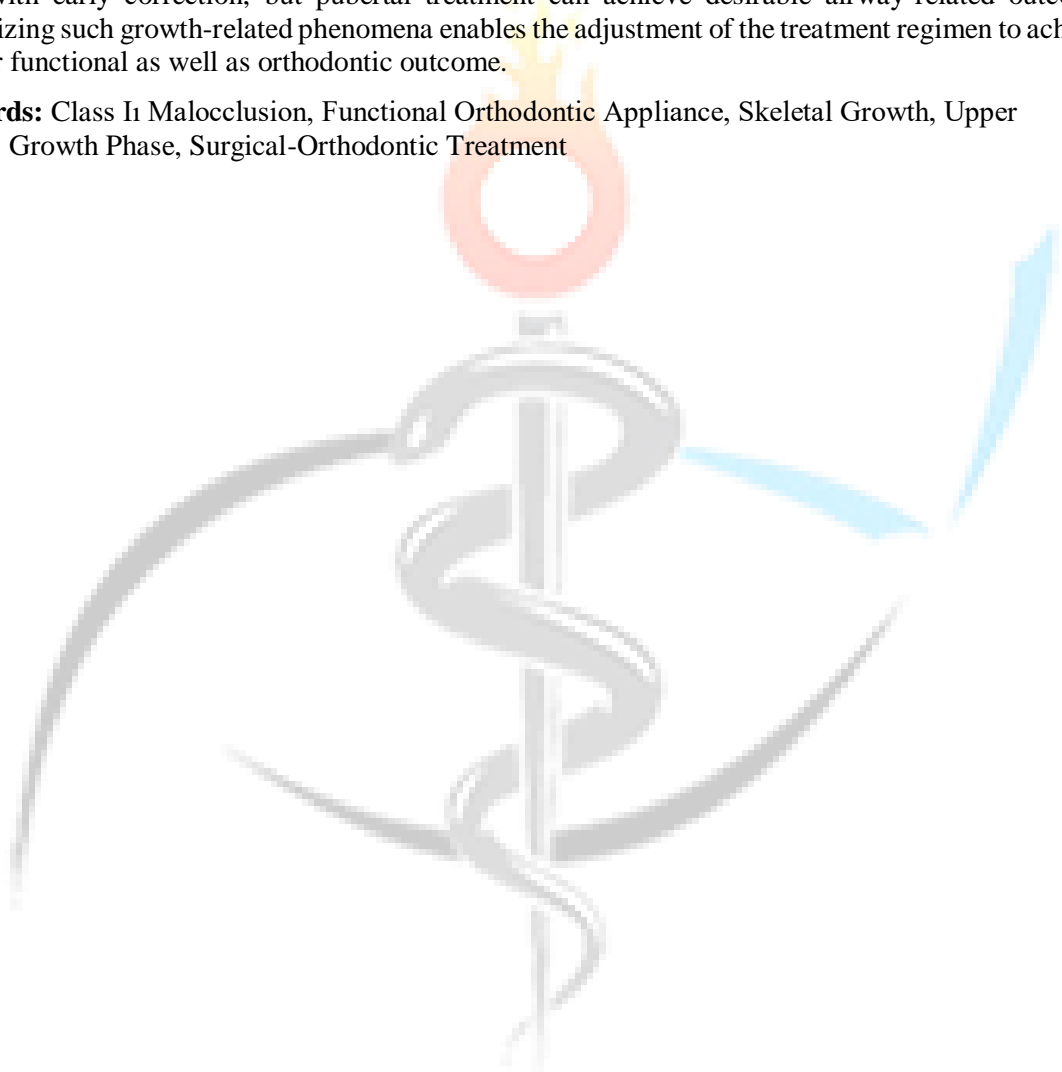
Anahtar Kelimeler: Sınıf Iı Maloklüzyon, Fonksiyonel Ortodontik Aparey, İskeletsel Büyüme, Üst Hava Yolu, Büyüme Dönemi, Cerrahi-Ortodontik Tedavi

Functional Orthopedic Treatment Outcomes On Skeletal and Upper Airway Structures in Class II Malocclusion: A Comparative Evaluation Across Growth Stages

Abstract: Skeletal Class II malocclusion is a frequent craniofacial deformity among growing individuals, most commonly resulting from mandibular retrusion. Functional orthodontic care seeks to induce mandibular protrusion as a stimulus to rewarding skeletal growth. Current research also focuses on possible gains in the dimension of the upper airway, possibly to the advantage of the patient with impaired breathing function. Functional orthodontic success is highly treatment timing dependent. Skeletal maturity most influences biological responsiveness, especially during mandibular growth as

well as with soft tissue adaptation. Comparison between the prepubertal growth phase as well as the pubertal growth phase offers the best clues to idealized treatment planning. Cephalometric analysis continues to be the ultimate yardstick to quantify skeletal and airway alterations wrought by treatment. The most important predictors such as the SNB angle, mandible length (Co-Gn), tongue position, and position of the hyoid bone enable clinicians to monitor long-term effects of treatment. Results demonstrate that prepubertal patients respond considerably more to skeletal change with increased SNB angle and mandibular length, demonstrating a superior orthopedic effect with earlier commencement of treatment. Pubertal patients, on the other hand, demonstrate increased modifications in tongue height as well as hyoid bone displacement, demonstrating enhanced soft tissue adaptation during the pubertal growth spurt. Conclusion: Functional orthodontic correction of Class II malocclusion produces desirable skeletal and airway alterations, yet the outcome depends on the growth phase. Skeletal outcome can be better with early correction, but pubertal treatment can achieve desirable airway-related outcome. Recognizing such growth-related phenomena enables the adjustment of the treatment regimen to achieve superior functional as well as orthodontic outcome.

Keywords: Class II Malocclusion, Functional Orthodontic Appliance, Skeletal Growth, Upper Airway, Growth Phase, Surgical-Orthodontic Treatment



Makale id= 140

Sözlü Sunum

ORCID ID: 0000-0003-0944-0865 (Tuğgen ÖZCİVELEK) --- 0000-0001-9644-4324 (Fulya BASMADI)

| 41

Temporomandibular Eklem Rahatsızlıklarında Palpasyon Bulgularının Konservatif Tedavi Seçimine Etkisi: Retrospektif Bir Klinik Analiz

Asst.Prof.Dr. Tuğgen Özcivelek¹, Asst.Prof.Dr. Fulya Basmacı²

¹Department of Prosthodontics, Gülhane Faculty of Dentistry, University of Health Sciences

²Department of Prosthodontics, Faculty of Dentistry, University of Ankara Yıldırım Beyazıt

*Corresponding author: Tuğgen Özcivelek

Özet: Amaç: Temporomandibular eklem (TME) bozuklukları, multifaktöriyel etiyojisi ve karmaşık klinik tablosu nedeniyle diş hekimliği pratiğinde sıkça karşılaşılan rahatsızlıklardır. Literatürde, ağırlı palpasyon bulgularının tanısai değeri dikkat çekilmekle birlikte, bu bulguların tedavi kararlarına etkisine ilişkin kanıtlar sınırlıdır. Bu çalışma, TME bölgesindeki farklı palpasyon noktalarında hissedilen ağrının, uygulanan konservatif tedavi yaklaşımları üzerindeki potansiyel belirleyici rolünü araştırmayı amaçlamaktadır. Yöntem: TME veya yüz bölgesinde ağrı, hareket kısıtlılığı ya da eklem sesi şikayetiyle başvuran 1020 hastanın retrospektif klinik kayıtları analiz edilmiştir. On iki anatomik palpasyon bölgesine ait ağrı verileri, uygulanan konservatif tedavi yöntemleri (soğuk-sıcak uygulama, interoklüzal splint, farmakolojik tedavi vb.) ile ilişkilendirilmiştir. Elde edilen veriler, geriye doğru adım adım yöntemine dayanan ikili lojistik regresyon modeliyle değerlendirilmiş; ayrıca değişken kümeleri arasındaki çok boyutlu ilişkileri belirlemek amacıyla optimal ölçekleme tabanlı kanonik korelasyon analizi uygulanmıştır. Bulgular: Analizler, genel olarak ağırlı palpasyon bölgeleri ile konservatif tedavi tercihi arasında güçlü bir istatistiksel korelasyon bulunmadığını göstermiştir. Bununla birlikte, bazı spesifik bölgelerde tespit edilen ağrı bulgularının belirli tedavi seçeneklerinin (örneğin interoklüzal splint kullanımı veya termoterapi önerisi) uygulanma olasılığını anlamlı biçimde etkilediği gözlenmiştir (p

Anahtar Kelimeler: Temporomandibular Eklem Bozuklukları, Ağırlı Palpasyon, Konservatif Tedavi, Klinik Karar Verme, Fizik Muayene, Tedavi Planlaması

The Relationship Between Palpation Tenderness and Conservative Treatment Choices in Temporomandibular Disorders: A Retrospective Clinical Analysis

Abstract: Objective: Temporomandibular disorders (TMDs) are prevalent musculoskeletal conditions with multifactorial etiologies involving both biological and psychosocial components. Although previous studies have emphasized the diagnostic relevance of palpation tenderness in TMD assessment, the extent to which these findings influence therapeutic decision-making remains unclear. This study aimed to evaluate whether pain detected in specific palpation sites affects the selection of conservative treatment modalities in patients presenting with TMD-related symptoms. Methods: Clinical data from 1020 patients who presented with temporomandibular joint pain, functional limitation, or joint sounds were retrospectively analyzed. Pain responses obtained from twelve standardized palpation regions were compared with the conservative treatments administered, including thermotherapy, interocclusal splint therapy, and pharmacologic management. Binary logistic regression with a backward stepwise approach was employed to assess the associations between pain sites and treatment types. Additionally, canonical

correlation analysis based on optimal scaling was conducted to explore multivariate relationships between dichotomous variable sets. Results: No strong overall correlation was identified between the distribution of painful palpation sites and the selection of conservative treatment methods. However, pain detected in certain specific regions significantly influenced the likelihood of prescribing thermotherapy, interocclusal splints, and pharmacologic interventions ($p < 0.05$). The probability of each treatment being recommended varied according to the anatomical location of pain. Conclusion: Although palpation tenderness remains a valuable diagnostic tool in TMD evaluation, it does not appear to provide reliable guidance for determining conservative treatment strategies. These findings support the notion that clinical decision-making in TMD management should be multifactorial, integrating both physical examination outcomes and broader biopsychosocial considerations.

Keywords: Temporomandibular Disorders, Palpation Tenderness, Conservative Treatment, Clinical Decision-Making, Physical Examination, Treatment Planning



Makale id= 137

Sözlü Sunum

ORCID ID: <https://orcid.org/0000-0002-5544-1271>

| 43

Temporomandibular Eklem Şikayetlerinin (Tmeş/tmd) Etiyolojisi ve Güncel Tedavi Seçenekleri: Prisma Uyumlu Sistemik Derleme

Uzman Dr. Ergin Kalkan¹

¹Dentkastamonu Ağız ve Diş Sağlığı Polikliniği

Özet: Temporomandibular Eklem Şikayetleri (TMEŞ/TMD), modern toplumun sessiz bir salgını gibi, çiğneme sistemi kompleksinin gizemli ve heterojen bir bozukluğudur. Yüz ve çene bölgesindeki kronik ağrının en yaygın nedeni olan bu durum, dünya nüfusunun önemli bir kısmının yaşam kalitesini derinden etkilemektedir. Bu sistemik derleme, TMEŞ'nin karmaşık biyopsikososyal etiolojisinin perdesini aralamayı ve 2015 yılı sonrası yayımlanmış kanıt ışığında, semptomlardan arınma yolunda atılacak en güncel tedavi adımlarını kristalize etmeyi amaçlamaktadır. Yüksek akademik standartları karşılamak ve konunun tüm boyutlarını kapsayıcı biçimde desteklemek üzere, PRISMA metodolojisiyle taranan literatürden en yüksek kanıt düzeyine sahip 30 güncel çalışma (Sistemik Derlemeler, Meta-Analizler ve Randomize Kontrollü Çalışmalar) titizlikle seçilmiş ve derinlemesine incelenmiştir. Bulgularımız, konservatif tedavilerin (splint, fizik tedavi, BDT) altın standart olmaya devam ettiğini ve multidisipliner yaklaşımların, hastaların kronik ağrı döngüsünden kurtulması için kritik öneme sahip olduğunu göstermektedir. Bu derleme, TMEŞ'nin yönetiminde klinisyenlere yol gösteren, güçlü kanıta dayalı bir yol haritası sunmaktadır.

Anahtar Kelimeler: Temporomandibular Eklem Şikayetleri, Etiyoloji, Tedavi, Sistemik Derleme, Prisma, Biyopsikososyal Model.

Etiology and Current Treatment Options for Temporomandibular Joint Disorders (Tmd): A Prisma-Compliant Systematic Review

Abstract: Temporomandibular Joint Disorders (TMD) are like a silent epidemic of modern society, representing a mysterious and heterogeneous dysfunction of the masticatory system complex [1]. As the most common cause of chronic pain in the face and jaw region, this condition profoundly affects the quality of life for a significant portion of the world's population [17, 26]. This systematic review aims to unveil the curtain on the complex biopsychosocial etiology of TMD and, in light of evidence published since 2015, to crystallize the most current treatment steps to be taken on the path to symptom relief. To meet high academic standards and comprehensively support all dimensions of the subject, 30 up-to-date studies with the highest level of evidence (Systematic Reviews, Meta-Analyses, and Randomized Controlled Trials) from the literature screened using the PRISMA methodology have been meticulously selected and deeply analyzed. Our findings indicate that conservative treatments (splints, physical therapy, CBT) remain the gold standard and that multidisciplinary approaches are critical for patients to break free from the cycle of chronic pain [3, 23]. This review offers clinicians a strong evidence-based roadmap for the management of TMD.

Keywords: Temporomandibular Joint Disorders, Etiology, Treatment, Systematic Review, Prisma, Biopsychosocial Model.

Makale id= 182

Sözlü Sunum

ORCID ID: 0009-0000-7427-2402

| 44

Ti-Bar Monolitik Zirkonya All-On-Four Protezlerde Farklı Simanların Mekanik Dayanıma Etkisi: Pilot Çalışma

Ph.d.cand. Talha Enes Tural¹, Prof.Dr. Övül Kümbüloğlu², Ph.D Bora Uzun³

¹Ege Üniversitesi Diş Hekimliği Fakültesi Sağlık Bilimleri Enstitüsü

²Ege Üniversitesi Diş Hekimliği Fakültesi Protetik Diş Tedavisi Anabilim Dalı

³Dokuz Eylül Üniversitesi

*Corresponding author: Talha Enes Tural

Özet: Ti-Bar destekli monolitik zirkonya All-on-Four protezler, tam dişsizlik tedavisinde giderek yaygınlaşmaktadır; ancak bu sistemlerde kullanılacak ideal rezin siman henüz netleşmemiştir. Bu çalışma, farklı simanların mekanik dayanım üzerindeki etkisini değerlendirerek bu eksikliğe yönelik ön veriler sunmayı amaçlamıştır. Ön çalışma için 4 adet 19×2×13 mm titanyum barlar ve 25×8×13 mm zirkonya örnekler üretildi. Kumlama sonrası her çift, Panavia V5, Multilink, G-Cem One veya MaxCem Elite ile simante edildi. Evrensel test cihazında 20 mm/dk hızla basma yükü uygulandı. Deplasman ve kırık paternleri kaydedildi. Teste tabi tutulan tüm gruplarda benzer mekanik performanslar gözlemlendi. Deplasman ve kırık paternlerinde anlamlı fark saptanmadı. Yük dayanımındaki küçük farklar istatistiksel olarak anlamlı bulunmamıştır. Farklı rezin simanlarla birleştirilen Ti-Bar destekli monolitik zirkonya protezler benzer mekanik özellikler göstermiş olsa da örnek sayısının azlığı kesin sonuçlara etki edebilir. Ön çalışma için elde edilen veriler yol gösterici olmuştur.

Anahtar Kelimeler: Monolitik Zirkonya, Titanyum, All-On-Four, Siman, Mekanik Dayanım

Effect of Cement Type On the Mechanical Strength of Ti-Bar Monolithic Zirconia All-On-Four Prostheses: A Pilot Study

Abstract: Ti-Bar supported monolithic zirconia All-on-Four prostheses are increasingly used in full-arch rehabilitations; however the optimal resin cement for these restorations remains unclear. This study aimed to evaluate the mechanical effects of different cements and address this clinical gap with preliminary data. For the pilot test, Titanium bars (19×2×13 mm) and zirconia specimens (25×8×13 mm) were fabricated. After sandblasting, each pair was bonded with Panavia V5, Multilink, G-Cem One, or MaxCem Elite. Compressive testing was performed at 50 mm/min. Displacement and fracture patterns were recorded. All tested cement groups exhibited similar mechanical behavior. No significant differences were found in displacement or fracture patterns. Minor variations in load-bearing capacity were not statistically significant. Ti-Bar monolithic zirconia prostheses bonded with various resin cements showed comparable mechanical performance. Although results appear clinically relevant, the limited sample size may affect the reliability of definitive conclusions. The findings obtained from this preliminary study serve as guiding data for future research.

Keywords: Monolithic Zirconia, Titanium, All-On-Four, Resin Cement, Mechanical Strength

Makale id= 156

Sözlü Sunum

ORCID ID: 0000-0002-2092-445X

| 45

Üst Çene Genişletme Tedavisinin Gülümseme Bileşenleri Üzerine Etkilerinin Değerlendirilmesi: Bir Pilot Çalışma

Asst.Prof.Dr. Gülay Dumanlı Gök¹
¹Gül Ağız ve Diş Sağlığı Polikliniği

Özet: Amaç: Bu çalışmanın amacı, üst çene genişletme tedavisi uygulanan hastalarda gülümseme bileşenlerinde meydana gelen değişimleri değerlendirmektir. **Gereç ve Yöntem:** Çalışmaya, Gül Ağız ve Diş Sağlığı Polikliniği'ne ortodontik tedavi amacıyla başvuran, 7-25 yaş aralığında olan ve üst çene darlığı nedeniyle üst çene genişletme tedavisi uygulanmış hastalar dahil edilmiştir. Gülümseme stili, gülümseme arkı, üst dudak kurtatürü ve gülümseme simetrisindeki tedavi öncesi (T1) ve sonrasındaki (T2) değişimler görsel olarak, üst dudak hattı ve karanlık bukkal koridor genişliği XSCOPE programı aracılığıyla standart bir gülümseme ızgara sistemiyle ölçülmüştür. Deskriptif ölçümler yapılmış ve İki ölçüm arasındaki farklar t testi ile değerlendirilmiştir. $P<0.05$ anlamlı olarak kabul edilmiştir. **Bulgular:** Toplam 32 hastanın gülümseme fotoğrafları tedavi öncesi ve sonrası değerlendirilmiştir. Karanlık bukkal koridor genişliği 14 hastada azalmış, 18 hastada değişmemiştir; genel olarak %62 oranında azalma gözlenmiştir ($p<0.05$). Üst dudak hattı 18 hastada yükselmiş, 11 hastada değişmemiş, 2 hastada ise alçalmıştır ($p<0.05$). Gülümseme stili, 17 hastada değişim göstermiştir. Gülümseme arkı konsonantlık açısından değerlendirildiğinde, 22 hastada daha konsonant, 5 hastada benzer, 5 hastada ise daha az konsonant gülümseme gözlenmiştir. Üst dudak kurtatürü, 24 hastada değişmemiş, 7 hastada değişmiş olup; bunların 5'ünde düşme, 2 sinde ise yükselme saptanmıştır. Gülümseme sırasında en son görünen diş en fazla ikinci premolar olarak değerlendirilmiş ve üst çene genişletmesi bu bulguyu değiştirmemiştir. Gülümseme simetrisi, tüm hastalarda iyileşme göstermiştir. **Sonuç:** Üst çene genişletme tedavisinin ardından hastaların gülümseme özelliklerinde belirgin iyileşmeler gözlenmiştir. Gülümseme konsonantlığı artmış, keser görünürlüğü ve gülümseme simetrisi olumlu yönde etkilenmiştir. Üst dudak kurtatürü ve karanlık bukkal koridorda gözlenen değişimler, gülümseme estetiğine katkıda bulunmuştur. Bu bulgular, üst çene genişletme tedavisinin yalnızca iskeletsel ve dişsel yapı üzerinde değil, aynı zamanda yumuşak doku estetiği ve gülümseme dinamikleri üzerinde de olumlu etkiler oluşturduğunu göstermektedir.

Anahtar Kelimeler: Üst Çene Genişletme, Gülümseme Analizi, Ortodonti

Evaluation of the Effects of Maxillary Expansion Treatment On Smile Components: A Pilot Study

Abstract: Aim: The aim of this study was to evaluate the changes in smile components of patients who underwent maxillary expansion treatment. **Materials and Methods:** The study included patients aged between 7 and 25 years who applied to the Gül Oral and Dental Health Clinic for orthodontic treatment and received maxillary expansion due to maxillary constriction. Changes in smile style, smile arc, upper lip curvature, and smile symmetry before (T1) and after treatment (T2) were visually evaluated. Upper lip line and dark buccal corridor width were measured using a standardized smile grid system via the XSCOPE program. Descriptive measurements were performed, and differences between two

measurements were analyzed using the t-test. A p-value of <0.05 was considered statistically significant.

Results: Smile photographs of a total of 32 patients were evaluated before and after treatment. The width of the dark buccal corridor decreased in 14 patients and remained unchanged in 18 patients; overall, a 62% reduction was observed ($p<0.05$). The upper lip line increased in 18 patients, remained unchanged in 11, and decreased in 2 ($p<0.05$). Smile style changed in 17 patients. Regarding smile arc consonance, 22 patients exhibited a more consonant smile, 5 showed no change, and 5 displayed a less consonant smile. Upper lip curvature remained unchanged in 24 patients and changed in 7 (with a decrease in 5 and an increase in 2). The second premolar was the last tooth to appear during smiling, and maxillary expansion did not change this finding. Smile symmetry improved in all patients.

Conclusion: Significant improvements were observed in smile characteristics following maxillary expansion treatment. Smile consonance increased, while incisor display and smile symmetry were positively affected. Changes in upper lip curvature and dark buccal corridor contributed to smile esthetics. These findings suggest that maxillary expansion treatment has not only skeletal and dental effects but also positive influences on soft tissue esthetics and smile dynamics.

Keywords: Rapid Maxillary Expansion, Smile Analysis, Orthodontics



Makale id= 126

Poster Sunum

ORCID ID:

| 47

Çekimli Ortodontik Tedavi Gören Hastalarda Dudakların Estetik Düzleme Göre Değişimi

Doç.Dr. Aslıhan Zeynep Öz¹, Arş.Gör. İlknur Çan¹
¹Ondokuz Mayıs Üniversitesi, Diş Hekimliği Fakültesi

*Corresponding author: İlknur Çan

Özet: Amaç Ortodontik tedavide estetik, fonksiyon ve stabilite kadar yüz profilinin korunması da önemlidir. Özellikle premolar çekimli tedavilerde yumuşak doku profilinde değişiklikler meydana gelebilir. Bu çalışmanın amacı çekim uygulanan olgularda dudakların Ricketts'in E düzlemine göre tedavi öncesi ve sonrası konumlarını karşılaştırmaktır. Gereç ve Yöntem Çalışmaya Sınıf 1 anterior çapraşıklığa sahip ve alt ve üst premolar çekimli ortodontik tedavi gören 20 hasta dahil edildi. Tüm bireylerin tedavi öncesi ve tedavi bitiminde alınan sefalometrik filmleri kullanıldı. Dudak konumları, burun ucu (Pronasale) ile çene ucu (Pogonion) arasındaki düzlem olan Ricketts E düzlemi referans alınarak ölçüldü. Ölçümler aynı gözlemci tarafından yapıldı. Veriler SPSS programında değerlendirildi; normal dağılım gösteren veriler için eşleştirilmiş t-testi kullanıldı. Bulgular Tedavi öncesi ve sonrası sefalometrik ölçümler incelendiğinde, her iki dudakta da Ricketts E düzlemine göre geriye doğru anlamlı değişiklikler saptandı. Üst dudakın tedavi öncesi ortalama değeri $6,58 \pm 3,27$ mm iken, tedavi sonrasında $8,49 \pm 3,80$ mm'ye yükseldi ($p < 0,001$). Alt dudak için Tedavi öncesi $3,81 \pm 4,25$ mm olan değer, tedavi sonrasında $5,29 \pm 4,07$ mm olarak bulundu ($p = 0,001$). Sonuç Premolar çekimli ortodontik tedavi sonucunda üst ve alt dudakların Ricketts E düzlemine göre anlamlı biçimde geriye konumlandığı saptanmıştır. Dudak profilindeki bu değişiklik, tedavi planlamasında estetik beklentilerin göz önünde bulundurulması gerektiğini göstermektedir.

Anahtar Kelimeler: Ortodontik Tedavi; Diş Çekimi; Estetik

Changes of the Lips Relative to the Esthetic Plane in Orthodontic Patients Undergoing Extraction Therapy

Abstract: Introduction: In orthodontic treatment, maintaining facial profile harmony is as important as achieving esthetics, function, and stability. Especially in premolar extraction cases, changes may occur in the soft tissue profile. Objective: The aim of this study was to compare the pre- and post-treatment positions of the lips relative to the esthetic plane in patients who underwent extraction therapy. Materials and Methods: The study included 20 patients with Class I malocclusion and anterior crowding who underwent orthodontic treatment with extraction of upper and lower premolars. Pre- and post-treatment lateral cephalometric radiographs were analyzed. Lip positions were measured relative to the esthetic plane formed by the line connecting the pronasale and pogonion points. All measurements were performed by the same examiner. The data were analyzed using SPSS software, and the paired t-test was applied for normally distributed variables. Results: Comparison of pre- and post-treatment cephalometric measurements revealed significant posterior repositioning of both lips relative to the esthetic plane. The mean value of the upper lip increased from 6.58 ± 3.27 mm before treatment to 8.49 ± 3.80 mm after treatment ($p < 0.001$). For the lower lip, the mean value changed from 3.81 ± 4.25 mm to 5.29 ± 4.07 mm, which was also statistically significant ($p = 0.001$). Conclusion: Following premolar

extraction orthodontic treatment, both upper and lower lips showed significant posterior repositioning relative to the esthetic plane. These findings suggest that potential soft-tissue profile changes should be considered during treatment planning, especially when addressing esthetic expectations.

Keywords: Orthodontic Treatment; Tooth Extraction; Esthetic



Makale id= 127

Poster Sunum

ORCID ID:

| 49

Çekimli Ortodontik Tedavi Gören Hastalarda Üçüncü Molarların Oklüzal Düzleme Göre Açısal Değişimi

Doç.Dr. Aslıhan Zeynep Öz¹, Arş.Gör. Fatmanur Sönmez Cural¹

¹Ondokuz Mayıs Üniversitesi, Diş Hekimliği Fakültesi

*Corresponding author: Fatmanur Sönmez Cural

Özet: Amaç: Ortodontik tedavi sırasında çekim endikasyonu, ark uzunluğu, diş hareketleri ve üçüncü molarların erüpsiyon potansiyeli üzerinde etkili olabilmektedir. Bu çalışmanın amacı, çekimli ortodontik tedavi uygulanan hastalarda üçüncü molar dişlerin oklüzal düzleme göre açısındaki değişimi değerlendirmektir. Yöntem: Çalışmaya tedavi öncesi ve tedavi sonrası lateral sefalometrik radyografları bulunan 20 çekimli ortodontik hasta dahil edilmiştir. Üçüncü molarların oklüzal düzleme göre açıları sağ ve sol tarafta ayrı ayrı ölçülmüştür. Tedavi öncesi ve sonrası ölçümler karşılaştırılarak değişimin istatistiksel olarak anlamlılığı değerlendirilmiştir. Ölçümler aynı gözlemci tarafından yapılmıştır. Veriler SPSS programında değerlendirildi; normal dağılım gösteren veriler için eşleştirilmiş t-testi kullanıldı. Bulgular: Sağ tarafta üçüncü molar–oklüzal düzlem açısı tedavi öncesinde $120,55 \pm 14,17^\circ$, tedavi sonrasında $122,3 \pm 20,68^\circ$ olarak bulunmuş; fark istatistiksel olarak anlamlı değildir ($p = 0,671$). Sol tarafta tedavi öncesi ortalama $125,15 \pm 12,73^\circ$, tedavi sonrasında $119,3 \pm 18,21^\circ$ olarak ölçülmüş; bu fark da istatistiksel olarak anlamlı bulunmamıştır ($p = 0,105$). Sonuç: Yirmi çekimli ortodontik hastadan elde edilen bulgular, tedavi sürecinin üçüncü molarların oklüzal düzleme göre açısında anlamlı bir değişikliğe yol açmadığını göstermektedir. Bu sonuçlar, çekimli ortodontik tedavinin 20 yaş dişlerinin angülasyonunu belirgin biçimde etkilemediğini düşündürmektedir.

Anahtar Kelimeler: Ortodontik Tedavi; Diş Çekimi; 20 Yaş

Angular Changes of Third Molars Relative to the Occlusal Plane in Orthodontic Patients Undergoing Extraction Therapy

Abstract: Objective: Extraction decisions in orthodontic treatment can influence arch length, tooth movement, and the eruption potential of third molars. The aim of this study was to evaluate the changes in the angulation of third molars relative to the occlusal plane in patients who underwent extraction therapy. Methods: The study included 20 orthodontic patients with pre- and post-treatment lateral cephalometric radiographs who had undergone extraction therapy. The angles between the third molars and the occlusal plane were measured separately on the right and left sides. Pre- and post-treatment measurements were compared to assess the statistical significance of the changes. All measurements were performed by the same examiner. The data were analyzed using SPSS software, and the paired t-test was applied for normally distributed variables. Results: On the right side, the mean angle between the third molar and the occlusal plane was $120.55 \pm 14.17^\circ$ before treatment and $122.3 \pm 20.68^\circ$ after treatment; the difference was not statistically significant ($p = 0.671$). On the left side, the mean angle decreased from $125.15 \pm 12.73^\circ$ to $119.3 \pm 18.21^\circ$, which was also not statistically significant ($p = 0.105$). Conclusion: Findings from twenty extraction orthodontic patients indicated that the treatment process did not cause a significant change in the angulation of third molars relative to the occlusal plane.

These results suggest that extraction orthodontic therapy does not markedly affect the angulation of third molars.

Keywords: Orthodontic Treatment; Tooth Extraction; Third Molar



Makale id= 108

Poster Sunum

ORCID ID: 0009-0005-7192-3042

| 51

Gingival Fibromatozis: Olgu Sunumu

Arş.Gör. Ayşegül Öndeş¹, Arş.Gör. Anzel Toprak Bişkin¹, Dr. Öğretim Üyesi Esin Akol Görgün¹
¹Adıyaman Üniversitesi Diş Hekimliği Fakültesi

*Corresponding author: Ayşegül Öndeş

Özet: Amaç: Gingival fibromatozis, anormal submukozal bağ doku artışı ile karakterize dişetin fibroblastik proliferasyonudur. Etiyolojisi tam olarak bilinmeyen bu iyi huylu hastalık herediter veya idiyopatik olabilir. Dişeti büyümesi dişleri kısmen veya tamamen örtmekle birlikte sürme çağındaki çocuklarda görüldüğünde diş erüpsiyonunu engelleyebilir. Bu sunumun amacı, çenelerde nadir görülen dişetin yavaş ve ilerleyici büyümesi olan gingival fibromatozisin klinik özellikleri ve yapısı hakkında genel bilgi vermektir. Olgu Sunumu: 14 yaşında herhangi bir sistemik hastalığı bulunmayan kız çocuk hasta, maksilla ve mandibulada tüm alveoler kreti kaplayan ağrısız yaygın dişeti büyümesi şikayeti ile kliniğe başvurdu. Yapılan intraoral muayenede dişlerin okluzal seviyesine kadar büyümüş; sıkı kıvrımlı pembe renkli yumuşak doku olduğu görüldü. Alınan anamnezde hastanın herhangi bir ilaç kullanmadığı, daha önce yapılan genetik testinde hastada görülen diş eti büyümesinin genetik bir hastalıkla ilişkilendirilmediği ama kız kardeşinde de aynı durumun olduğu saptandı. Hastanın uzun zamandır var olan ve daha önce de histopatolojik olarak belirlenen gingival fibromatozis tablosu gerekli tedaviler yapılmasına rağmen sürekli nüks etmiş olup yavaş yavaş ilerlemeye devam etmiştir. Hasta Periodontoloji bölümüne yönlendirilmiş olup klinik takibi devam etmektedir. Sonuç: Gingival fibromatozislerin erken yaşta farkedilip takip altına alınmaları veya gerektiğinde cerrahi tedavilerinin yapılması önemlidir. Bu sayede ilerde oluşabilecek komplikasyonlar engellenmiş olur.

Anahtar Kelimeler: Gingival Fibromatozis, Fibröz Hiperplazi, Maksilla, Mandibula

Gingival Fibromatozis: A Case Report

Abstract: Purpose: Gingival fibromatosis is the fibroblastic proliferation of the gingiva with abnormal submucosal connective tissue growth. This benign disease, whose etiology is unknown, can be hereditary or idiopathic. Gingival overgrowth partially or completely covers the teeth and, when treated in children, can hinder tooth eruption. The purpose of this presentation is to provide general information about the clinical features and structure of gingival fibromatosis, a rare condition characterized by slow and progressive gingival overgrowth in the jaws. Case Report: A 14-year-old girl with no systemic disease presented to the clinic with painless, widespread gingival hyperplasia covering the entire alveolar crest of the maxilla and mandible. Intraoral examination revealed growth to the occlusal level of the teeth, revealing a firm, pink soft tissue. Her medical history indicated that she was not taking any medications. Previous genetic testing revealed that the gingival hyperplasia observed in her sister was not associated with a genetic disease, but that the same condition also occurred. Despite appropriate treatment, the patient's long-standing gingival fibromatosis, previously diagnosed histopathologically, has recurred and gradually progressed. The patient was referred to the Periodontics Department and continues to be followed clinically. Conclusion: It is important to detect gingival fibromatosis at an early

age and monitor it or perform surgical treatment when necessary. In this way, complications that may occur in the future can be prevented.

Keywords: Gingival Fibromatosis, Fibrous Hyperplasia, Maxilla, Mandible



Makale id= 175

Poster Sunum

ORCID ID:

Şiddetli İskeletsel Sınıf Iı Malokluzyonun Ortognatik Cerrahi ile Tedavisi: Bir Olgu Sunumu

| 53

Doç.Dr. Aslıhan Zeynep Öz¹, Prof.Dr. Abdullah Alper Öz²

¹Ondokuz Mayıs Üniversitesi, Diş Hekimliği Fakültesi

²Galata Üniversitesi, Diş Hekimliği Fakültesi

*Corresponding author: Aslıhan Zeynep Öz

Özet: Amaç: Bu olgu sunumunun amacı, şiddetli iskeletsel Sınıf III malokluzyona sahip bir hastanın ortognatik cerrahi tedavi sürecini ve elde edilen estetik ile fonksiyonel sonuçları paylaşmaktır. Olgu Sunumu: 17 yaş 3 aylık erkek hasta, belirgin alt çene önde konumu ve yüz estetiğindeki bozukluk şikayetiyle kliniğimize başvurdu. Klinik ve sefalometrik incelemelerde SNA: 74°, SNB: 86°, ANB: – 12°, overjet: –17,4 mm ve overbite: 7,8 mm olarak ölçüldü. Bulgular, maksiller retrognati ve mandibular prognati ile karakterize şiddetli iskeletsel Sınıf III malokluzyon ile uyumluydu. Tedavi planı olarak ortodontik hazırlık döneminin ardından çift çene ortognatik cerrahi uygulandı. Cerrahi sırasında maksilla 7 mm öne alındı ve 2 mm gömüldü, mandibula ise 8 mm geri alındı. Toplam 27 ay süren tedavi sonunda ideal overjet ve overbite ilişkisi sağlandı, yüz estetiğinde belirgin iyileşme gözlemlendi. Sonuç: Ortognatik cerrahi ile kombine edilen ortodontik tedavi, şiddetli iskeletsel Sınıf III malokluzyon olgularında hem estetik hem fonksiyonel açıdan başarılı ve stabil sonuçlar sağlamaktadır. Bu olgu, doğru tanı, cerrahi planlama ve multidisipliner yaklaşımın tedavi başarısındaki önemini vurgulamaktadır.

Anahtar Kelimeler: Sınıf Iı Malokluzyon, Ortognatik Cerrahi, Ortodonti, Maksiller İlerletme, Mandibular Set-Back

Treatment of a Severe Skeletal Class Iı Malocclusion With Orthognathic Surgery: A Case Report

Abstract: Aim: The aim of this case report is to present the orthognathic surgical treatment process of a patient with severe skeletal Class III malocclusion and to share the achieved esthetic and functional outcomes. Case Report: A 17-year and 3-month-old male patient presented to our clinic with a chief complaint of a prominent lower jaw and impaired facial esthetics. Clinical and cephalometric examinations revealed SNA: 74°, SNB: 86°, ANB: –12°, overjet: –17.4 mm, and overbite: 7.8 mm. The findings were consistent with a severe skeletal Class III malocclusion characterized by maxillary retrusion and mandibular prognathism. Following the orthodontic decompensation phase, bimaxillary orthognathic surgery was performed. During surgery, the maxilla was advanced 7 mm and impacted 2 mm, while the mandible was set back 8 mm. After a total treatment period of 27 months, ideal overjet and overbite were achieved, and a significant improvement in facial esthetics was observed. Conclusion: Combined orthodontic and orthognathic surgical treatment provides successful and stable esthetic and functional outcomes in patients with severe skeletal Class III malocclusion. This case emphasizes the importance of accurate diagnosis, meticulous surgical planning, and a multidisciplinary approach for successful treatment outcomes.

Keywords: Class Iı Malocclusion, Orthognathic Surgery, Orthodontics, Maxillary Advancement, Mandibular Setback

Makale id= 173

Sözlü Sunum

ORCID ID: <https://orcid.org/0000-0003-4302-1947>

| 54

BCR-ABL Tirozin Kinaz İnhibitörlerine Bağlı Kutanöz Toksisitenin Olası Mekanizmaları

Dr. Öğretim Üyesi Tuğçe Boran¹

¹İstanbul Üniversitesi-Cerrahpaşa

Özet: Imatinib, onaylanan ilk tirozin kinaz inhibitörüdür (TKI). BCR-ABL tirozin kinazı inhibe etmektedir ve kronik miyeloid lösemi, GIST ve dermatofibrosarkom protuberans tedavisinde kullanılmaktadır. Dasatinib, daha geniş kinaz inhibisyonu yapan ikinci basamak bir TKI'dır ve lösemi tedavisinde imatinibe direnç gelişmesi durumunda kullanılmaktadır. İmatinib ve dasatinib kullanımından sonra likenoid erüpsiyon, epidermal nekroliz, hiperpigmentasyon vb. gibi kutanöz advers reaksiyonlar rapor edilmiştir. Ancak, bu reaksiyonların altta yatan mekanizmaları tam olarak bilinmemektedir. Çalışmanın amacı, ölümsüzleştirilmiş insan keratinosit hücre hattını kullanarak imatinibin ve dasatinibin neden olduğu kutanöz reaksiyonların potansiyel altta yatan mekanizmalarını araştırmaktır. İmmortalize keratinosit hücreleri 24 saat süreyle imatinib veya dasatinibe maruz bırakılmıştır. 24 saatlik maruziyeti takiben sitotoksisite MTT testi ile incelenmiştir. Reaktif oksijen türlerinin (ROS) seviyesinde meydana gelen değişiklikler ticari kit ile florometrik olarak değerlendirilmiştir. Mitokondriyal membran potansiyeli ve mitokondriyal kütle, floresan okuyucu kullanılarak ticari floresan boyalar ile araştırılmıştır. Sonuçlar, imatinib ve dasatinibin ROS üretimini indüklediğini (>%20); mitokondriyal membran potansiyelinde değişime (>13%) ve mitokondriyal kütlede artışa (>18%) neden olduğunu göstermiştir. Yapılan ön çalışma, imatinib ve dasatinibin indüklediği kutanöz reaksiyonların oksidatif stres ve mitokondriyal disfonksiyondan kaynaklı olabileceğini düşündürmektedir.

Anahtar Kelimeler: Tirozin Kinaz İnhibitörleri, Dermal Toksikite, Oksidatif Stres, Mitokondriyal Disfonksiyon

Potential Mechanisms of BCR-ABL Tyrosine Kinase Inhibitors-Induced Cutaneous Toxicity

Abstract: Imatinib is the first approved tyrosine kinase inhibitor (TKI). It inhibits BCR-ABL tyrosine kinase and is used for the treatment of chronic myeloid leukemia, GIST, and dermatofibrosarcoma protuberans. Dasatinib is a second-line TKI with broader kinase inhibition, designed to overcome imatinib resistance in leukemia therapy. Cutaneous adverse reactions such as Lichenoid eruption, epidermal necrolysis, hyperpigmentation, etc. have been reported after imatinib and dasatinib usage. However, the underlying mechanisms of these reactions are not completely known. The purpose of the study is to investigate the potential underlying mechanisms of imatinib- and dasatinib-induced cutaneous reactions using the immortalized human keratinocyte cell line (HaCaT). Following 24 h exposure, the cytotoxic effect was examined with MTT assay. Rective oxygen species (ROS) production was evaluated fluorometrically with a commercial kit. Mitochondrial membrane potential and mitochondrial mass were investigated with fluorescence dyes using a fluorescence reader. The results demonstrated that imatinib and dasatinib induced ROS production (>20%) and caused alterations in mitochondrial membrane potential (>13%) and mitochondrial mass (>18%). The preliminary study showed oxidative stress and mitochondrial dysfunction can be causative mechanisms of cutaneous reactions induced by imatinib and dasatinib.



Keywords: Tyrosine Kinase Inhibitors, Dermal Toxicity, Oxidative Stess, Mitochondrial Dysfunction



Makale id= 8

Sözlü Sunum

ORCID ID: 0009-0001-8738-0207, 0000-0002-5439-950X, 0000-0002-4713-1249

| 56

Development and Practical Yields Investigation of Telmisartan Solid Dispersions

Researcher Edanur Ünlüer¹, Doç.Dr. Tuğrul Çağrı Akman¹, Dr. Öğretim Üyesi Esra Pezik¹

¹Erzincan Binali Yıldırım Üniversitesi

*Corresponding author: Edanur Ünlüer

Özet: Dünya çapında en yaygın kronik hastalıklardan biri olan hipertansiyon (HT), kan basıncının kalıcı yüksekliği ile karakterize bir kardiyovasküler hastalıktır. Biyofarmasötik Sınıflandırma Sistemi (BCS)'ne göre Sınıf II (düşük çözünürlük ve yüksek geçirgenlik) yer alan Telmisartan (TLM), HT'nin profilaksisi ve tedavisinde kullanılan bir anjiyotensin II reseptör antagonistidir. Çözünürlük sorunlarına ek olarak, TLM ilk geçiş metabolizmasına uğramakta ve bu da oral uygulamadan sonra terapötik etkilerin gecikmeli başlamasına ve düşük oral biyoyararlanıma (~%42) neden olmaktadır. TLM gibi Sınıf II ilaçların düşük sulu çözünürlüğünü iyileştirmek için kullanılan stratejilerden biri katı dispersiyonların hazırlanmasıdır. Bu çalışmanın amacı, farklı taşıyıcı oranları kullanarak TLM katı dispersiyonları hazırlamak ve elde edilen formülasyonların pratik verimlerini değerlendirmektir. Bu amaçla, TLM katı dispersiyonları ilk önce eritme yöntemine göre farklı taşıyıcı tipleri (polietilen glikol (PEG) 4000 ve PEG 6000) ve oranları (ilaç:taşıyıcı; 1:2, 1:4, 1:6, 1:8, 1:10) ile hazırlanmıştır. Daha sonra, TLM katı dispersiyonlarının pratik verimleri TLM'nin kantitatif tayini için geliştirilmiş ve valide edilmiş bir Ultra Yüksek Performanslı Sıvı Kromatografisi (UHPLC) yöntemi kullanılarak belirlenmiştir. Sonuçlara göre, TLM katı dispersiyonlarının pratik verimlerinin genel olarak %13,9 - %40,4 aralığında olduğu tespit edilmiştir. TLM katı dispersiyonlarının nispeten düşük verimliliği, TLM'nin bazik olmayan ortamlardaki düşük kararlılık profiline bağlanmıştır.

Anahtar Kelimeler: Anahtar Kelimeler: Katı Dispersiyon, Pratik Verim, Polietilen Glikol, Telmisartan

Telmisartan Katı Dispersiyonlarının Geliştirilmesi ve Pratik Verimlerinin Araştırılması

Abstract: Hypertension (HT), one of the most common chronic diseases worldwide, is a cardiovascular disease characterized by persistent elevation of blood pressure. Telmisartan (TLM), classified as Class II (low solubility and high permeability) by the Biopharmaceutical Classification System (BCS), is an angiotensin II receptor antagonist used in the prophylaxis and treatment of HT. In addition to its solubility issues, TLM undergoes first-pass metabolism, resulting in a delayed onset of therapeutic effects after oral administration and poor oral bioavailability (~42%). One of the strategies used to improve the low aqueous solubility of Class II drugs such as TLM is the preparation of solid dispersions. The aim of this study was to prepare TLM solid dispersions using different carrier ratios and to evaluate the practical yields of the resulting formulations. For this purpose, TLM solid dispersions were first prepared with different carrier types (polyethylene glycol (PEG) 4000 and PEG 6000) and ratios (drug:carrier; 1:2, 1:4, 1:6, 1:8, 1:10) according to the melting method. Then, the practical yields of the TLM solid dispersions were then determined using a developed and validated Ultra High-Performance Liquid Chromatography (UHPLC) method for the quantitative determination of TLM. According to the results, the practical yields of the TLM solid dispersions were generally determined to be in the range

of 13.9 – 40.4 %. The relatively low productivity of TLM solid dispersions has been attributed to the low stability profile of TLM in non-basic media.

Keywords: Keywords: Polyethylene Glycol, Practical Yield, Solid Dispersion, Telmisartan



Makale id= 136

Sözlü Sunum

ORCID ID: 0000-0001-7037-353X

| 58

Eczacıların Kilo Kaybı Amacıyla Liraglutid ve Semaglutid Kullanımına İlişkin Bilgi, Tutum ve Uygulamaları: Kesitsel Bir Çalışma

Dr. Öğretim Üyesi Dilara Bayram-Ozgur¹, Araştırmacı Ecnur Demirturk², Arş.Gör. Yigitcan Sar¹

¹Faculty of Pharmacy, Department of Pharmacology, Acibadem Mehmet Ali Aydınlar University, İstanbul, Türkiye

²Faculty of Pharmacy, Acibadem Mehmet Ali Aydınlar University, İstanbul, Türkiye

*Corresponding author: Dilara Bayram-Ozgur

Özet: Giriş: Liraglutid ve semaglutid gibi glukagon benzeri peptid-1 (GLP-1) reseptör agonistlerinin kilo kaybı amacıyla ruhsat dışı ve denetimsiz kullanımı dünya genelinde artmakta olup, bu durum güvenlik, yasal denetim ve uygun hasta yönlendirmesi açısından ciddi endişelere yol açmaktadır. Bu çalışma, Türkiye’de toplum eczacılarının liraglutid ve semaglutidin kilo kaybı amacıyla kullanımı ve kötüye kullanımına ilişkin bilgi, tutum ve uygulamalarını değerlendirmeyi amaçlamıştır. Gereç ve Yöntem: Ocak–Nisan 2025 tarihleri arasında Türkiye’nin farklı illerinde görev yapan 500 toplum eczacısı ile yürütülen kesitsel bir çalışmadır. Katılımcılara yüz yüze uygulanan yapılandırılmış 50 soruluk anket ile demografik özellikler, eczane uygulamaları, bilgi düzeyi ve GLP-1 reseptör agonistlerinin temini ile ruhsat dışı kullanıma yönelik tutumları değerlendirilmiştir. Verilerin analizinde tanımlayıcı istatistikler, ki-kare testi, t-testi ve ANOVA kullanılmıştır. Bulgular: Katılımcıların çoğunluğu (%72,6) kadındı. Semaglutid ve liraglutid taleplerinin büyük kısmı sırasıyla %82,6 ve %79,4 oranında kilo kaybı amacıyla yapılmış olup, bu taleplerin %60’ından fazlası reçetesiz veya %35’inden fazlası hekim önerisi olmadan gerçekleşmiştir. Ortalama bilgi puanı 25 üzerinden 15,8±4,3’tü. Cinsiyet, deneyim süresi ve eczane tipi açısından anlamlı farklar saptandı (p

Anahtar Kelimeler: Off-Label, Liraglutide, Semaglutide, Weight Loss Drugs, Community Pharmacists

Makale id= 179**Sözlü Sunum**

ORCID ID: 0000-0002-6465-6450

| 59

Integration of Machine Learning-Based Aqueous Solubility Prediction Into Experimental Dissolution of Griseofulvin**Dr. Öğretim Üyesi Ayse Nur Oktay¹**¹Sağlık Bilimleri Üniversitesi- Gülhane Eczacılık Fakültesi - Farmasötik Teknoloji ABD

Abstract: Accurate prediction of aqueous solubility is pivotal for assessing oral bioavailability and formulation feasibility in pharmaceutical technology. Integrating machine learning (ML)-based solubility prediction with dissolution modeling provides a powerful strategy to evaluate biopharmaceutical properties and compound developability at early stages, minimizing experimental screening efforts(1). This study established a reproducible ML framework for aqueous solubility prediction and demonstrated its applicability in dissolution simulation of Griseofulvin, a model drug with poor water solubility. Experimental aqueous solubility data from the PharmaBench dataset (~10,000 compounds) were standardized to logS(nM) and modeled using XGBoost and neural network algorithms (MLP, GCN, GAT, GIN)(2). The XGBoost model, trained on 7,811, validated on 868 and tested on 2,189 molecules, achieved robust predictive performance ($R^2=0.825$; RMSE=0.821 logS(nM); MAE=0.552), corresponding to an average prediction error of approximately 3.6-fold. The predicted solubility of Griseofulvin (7.837×10^{-5} M= $\sim 2.18 \times 10^{-5}$ M considering average prediction error) was close to its experimentally determined value (2.91×10^{-5} M), confirming the accuracy of the model. The predicted solubility was subsequently employed in a Noyes-Whitney dissolution model(3), assuming particle radius=7 μ m, density = 1.37g/cm³, diffusion coefficient (D)= 1.1×10^{-5} cm²/s, and boundary layer thickness(h)=12 μ m. Dissolution testing was performed using the USP II paddle method (75rpm, 37°C, 100mL medium) with 5 mg of Griseofulvin powder for two hours. The simulated and experimental dissolution profiles exhibited close agreement, achieving ~15% release initially and 15%(predicted) vs 20%(observed) dissolution at 120 min. These findings highlight that ML-predicted solubility values can be effectively integrated into mechanistic dissolution models to yield credible predictions. The proposed framework bridges computational prediction and experimental formulation design, offering a cost- and time-efficient approach for pre-screening enabling pharmaceutical technologies and optimizing dissolution performance of poorly soluble drugs. References 1. Xue N. et al., IEEE ICAIBD (2024). 2. Au-Yeung L. et al., J. Chem. Inf. Model. (2025). 3. Patel R.P. et al., Eur. J. Pharm. Sci. (2025).

Keywords: Machine Learning, Aqueous Solubility, Dissolution, Griseofulvin

Makale id= 101

Sözlü Sunum

ORCID ID: 0000-0002-7586-8520

| 60

Kemik Metastazı Tanısında Kullanılması Amacıyla Zoledronik Asit Taşıyan Lipid Nanopartiküller Hazırlanması, Karakterizasyon, Radyoışaretleme ve Kalite Kontrol Çalışmaları

Dr. Öğretim Üyesi Emre Özgenç¹
¹Ege Üniversitesi

Özet: Kemik metastazı, kanser hücrelerinin primer tümörden kemiklere yayılmasıyla ortaya çıkan ve meme, prostat, akciğer, mide ve kolorektal kanser dahil olmak üzere çeşitli kanserlerin ileri evrelerinde sık görülen bir durumdur. Bu çalışmada kemik metastazı tanısında kullanılması amacıyla zoledronik asit taşıyan lipid nanopartiküller hazırlanmıştır. Karakterizasyon çalışmalarında partikül boyutu, PDI ve zeta potansiyel ölçümleri ve stabilite çalışmaları yapılmıştır. Çözelti halinde hazırlanan farklı oranlarda Oleik asit:Span 80 içeren formülasyonların partikül boyutları 143,8 nm ve 296.66 nm arasında, zeta potansiyelleri -27,15 mV ve -46,41 mV arasında, PDI değerleri $0,25 \pm 0,05$ ve 0,52 arasında bulunmuştur. Radyoaktif işaretleme çalışmalarında, farklı miktarlarda indirgeyici ve antioksidan ajanların işaretleme etkinliği üzerindeki etkisi değerlendirilmiş ve ideal radyoaktif işaretleme koşulları seçilmiştir. Tc-99m ile formülasyonların radyoaktif işaretleme sırasında, indirgeyici ajan olarak kalay klorür, antioksidan ajan olarak ise askorbik asit kullanılmıştır. Formülasyonların radyoaktif işaretleme etkinliği ince tabaka kromatografisi (TLC) ile belirlenmiştir. İndirgeyici ajan ve antioksidan miktarlarının radyoaktif işaretleme etkinliği üzerindeki etkisini incelemek için farklı miktarlarda (50,100, 250, 500 µg/mL) indirgeyici madde içeren formülasyonlara 0,1 ve 0,5 mg askorbik asit eklenmiştir. Her karışıma 1 mCi aktiviteye sahip 0,1 mL Tc-99m eklendi ve vorteks tipi bir karıştırıcıda 1 dakika karıştırıldı. Radyoaktif işaretleme etkinliği en yüksek formülasyonun, 100 µg/mL kalay klorür ve 0,1 mg askorbik asit ilavesiyle hazırlanan formülasyon olduğu görüldü.

Anahtar Kelimeler: Zoledronik Asit, Kanser, Lipid Nanopartikül, Tc-99m, Radyoışaretleme

Preparation, Characterization, Radiolabeling and Quality Control Studies of Zoledronic Acid Loaded Lipid Nanoparticles for Use in the Diagnosis of Bone Metastasis

Abstract: Bone metastasis is a condition that occurs when cancer cells spread from the primary tumor to the bones and is frequently observed in the advanced stages of various cancers, including breast, prostate, lung, stomach, and colorectal cancers. In this study, lipid nanoparticles carrying zoledronic acid were prepared for use in the diagnosis of bone metastasis. Characterization studies included particle size, PDI, and zeta potential measurements, and stability studies. Formulations containing different ratios of oleic acid:Span 80 prepared in solution had particle sizes between 143.8 nm and 296.66 nm, zeta potentials between -27.15 mV and -46.41 mV, and PDI values between 0.25 ± 0.05 and 0.52. In radiolabeling studies, the effects of different amounts of reducing and antioxidant agents on labeling efficacy were evaluated, and ideal radiolabeling conditions were selected. During radiolabeling of formulations with Tc-99m, stannous chloride was used as a reducing agent and ascorbic acid was used as an antioxidant agent. The radiolabeling efficiency of the formulations was determined by thin layer chromatography (TLC). To examine the effects of reducing agent and antioxidant amounts on

radiolabeling efficiency, 0.1 and 0.5 mg of ascorbic acid were added to formulations containing different amounts of reducing agent (50, 100, 250, 500 $\mu\text{g/mL}$). 0.1 mL of Tc-99m with 1 mCi activity was added to each mixture and mixed for 1 minute on a vortex mixer. It was observed that the formulation with the highest radiolabeling efficiency was the formulation prepared with the addition of 100 $\mu\text{g/mL}$ stannous chloride and 0.1 mg ascorbic acid.

Keywords: Zoledronic Acid, Cancer, Lipid Nanoparticle, Tc-99m, Radiolabeling



Makale id= 48**Sözlü Sunum**

ORCID ID: 0000-0001-7680-8995

| 62

Lipid Nanopartiküllerin Transfeksiyon Etkinliğinin Farklı İstatistiksel Deney Tasarımı Metotları Kullanılarak Optimizasyonu**Ma.St. Tayyar Sercan Karadağ¹, Doç.Dr. Hasan Akbaba¹**¹Ege Üniversitesi Sağlık Bilimleri Enstitüsü Farmasötik Biyoteknoloji ABD

*Corresponding author: Tayyar Sercan Karadağ

Özet: Lipid nanopartiküller, 1–1000 nm arasında boyutlara sahip nanotaşıyıcı sistemler olup nükleik asitler, proteinler ve küçük molekül ilaçlar gibi terapötik ajanların taşınmasında kullanılmaktadır. Biyoyumlu yapıları, üretim kolaylıkları ve biyoyararlanımı artırma potansiyelleri nedeniyle farmasötik teknoloji alanında önemli bir yer edinmişlerdir. Tarihsel olarak, 1960’larda keşfedilen lipozomlar bu alandaki ilk yapılar olmuş, sonrasında katı lipid nanopartiküller ve nanoyapılı lipid taşıyıcılar gibi gelişmiş sistemlerin geliştirilmesine öncülük etmiştir. İstatistiksel deney tasarım yöntemleri, değişkenler ile yanıtlar arasındaki ilişkilerin belirlenmesi ve güvenilir sonuçların elde edilmesi için önemli araçlardır. Yanıt yüzeyi metodolojisinin sık kullanılan tasarımları arasında Merkezi Kompozit Tasarım, Taguchi Tasarımı ve Box-Behnken Tasarımı yer almakta olup her biri farklı senaryolarda avantajlar sağlamaktadır. Merkezi Kompozit Tasarım karmaşık etkileşimleri analiz etmede, Taguchi Tasarımı süreç değişkenliklerini ve maliyetleri azaltmada, Box-Behnken Tasarımı ise ikinci dereceden yanıt modelleri oluşturmada öne çıkmaktadır. Bu tez kapsamında, söz konusu üç tasarım yöntemi kullanılarak katı lipid nanopartikül formülasyonları hazırlanmış ve transfeksiyon etkinlikleri optimize edilmiştir. Çalışmada, plazmidlerin çoğaltılması ve saflaştırılmasının ardından mikroemülsiyon dilüsyon yöntemiyle nanopartiküller elde edilmiştir. Formülasyonların partikül boyutu, zeta potansiyeli ve SEM analizleri gerçekleştirilmiş; stabilite, sitotoksikite (L-929 hücrelerinde) ve transfeksiyon deneyleri ile değerlendirilmiştir. Box-Behnken tasarımıyla elde edilen optimal formülasyonun bileşen oranları; toplam lipid %4,9191, katyonik bileşen/toplam lipid 0,87 ve sürfaktan %5,9090 iken, Merkezi Kompozit Tasarım sonucunda optimal değerler; toplam lipid %4,6767, katyonik bileşen/toplam lipid 0,8106 ve sürfaktan %15 olarak belirlenmiştir. Bu bileşenlere sahip formülasyonların karakterizasyon sonuçları aşağıda Tablo 1’de sunulmuştur. Optimal formülasyonların anlamlı sitotoksik etki göstermediği ve transfeksiyon yeteneğinin olduğu gösterilmiştir. Tablo 1. Optimal BB, Optimal CC, Optimal BB-pcDNA3-EGFP ve Optimal CC- pcDNA3-EGFP formülasyonlarına ait partikül boyutu, partikül boyut dağılımı (PDI) ve zeta potansiyel değerleri (Üretim Günü, 0. gün) Formülasyon Partikül Boyutu (nm) Polidispersite İndeksi (PDI) Zeta Potansiyel (mV) Opt. BB 210,34 ± 10,79 0,451 ± 0,078 +27,03 ± 2,27 Opt. CC 275,07 ± 8,89 0,857 ± 0,035 +12,77 ± 2,89 Opt. BB: pcDNA3-EGFP 214,10 ± 7,04 0,539 ± 0,031 +25,83 ± 1,51 Opt. CC: pcDNA3-EGFP 114,13 ± 3,58 0,422 ± 0,026 +11,23 ± 0,38

Anahtar Kelimeler: Lipid Nanopartiküller, Deney Tasarımı, Merkezi Kompozit Tasarım, Box-Behnken Tasarımı, Transfeksiyon.

Optimization of Transfection Efficiency of Lipid Nanoparticles Using Different Statistical Experimental Design Methods

Abstract: Lipid nanoparticles (LNPs) are nanocarrier systems with sizes ranging from 1 to 1000 nm, capable of encapsulating therapeutic agents such as nucleic acids, proteins, and small-molecule drugs.

Due to their biocompatibility, ease of production, and ability to enhance bioavailability, they have become significant tools in pharmaceutical technology. Historically, the discovery of liposomes in the 1960s represented the first step in lipid-based delivery, paving the way for more advanced systems such as solid lipid nanoparticles (SLNs) and nanostructured lipid carriers (NLCs). Statistical experimental design methods are essential for planning reliable studies and understanding the relationship between variables and responses. Among these, Response Surface Methodology (RSM) designs such as Central Composite Design (CCD), Taguchi Design, and Box–Behnken Design (BBD) are widely used. Each offers distinct advantages: CCD is suitable for analyzing complex interactions, Taguchi Design minimizes variability and cost in manufacturing processes, and BBD provides an efficient approach for generating quadratic response models. In this thesis, SLN formulations were developed using these three statistical designs, and their transfection efficiency was optimized. Following plasmid amplification and purification, nanoparticles were prepared via the microemulsion dilution method. Characterization studies included particle size, zeta potential, and scanning electron microscopy (SEM). Additionally, stability, cytotoxicity (in L-929 cells), and transfection analyses were performed to evaluate the formulations. The optimized formulation obtained through BBD was composed of 4.9191% total lipid, a cationic lipid-to-total lipid ratio of 0.87, and 5.9090% surfactant. In comparison, CCD optimization yielded 4.6767% total lipid, a cationic lipid-to-total lipid ratio of 0.8106, and 15% surfactant. Both optimized formulations exhibited no significant cytotoxic effects and demonstrated measurable transfection capability.

Keywords: Lipid Nanoparticles, Experimental Design, Central Composite Design, Box-Behnken Design, Transfection.



Makale id= 178

Sözlü Sunum

ORCID ID: 0000-0001-7335-1213

| 64

Meme Kanserinde Tamamlayıcı Biyobelirteçler Olarak Serum İntegrin B6 ve Antioksidan Savunmanın Değerlendirilmesi

Asst.Prof.Dr. Taylan Turan¹
¹Gazi Üniversitesi

Özet: Giriş: Meme kanseri, dünya genelinde kadınlarda en sık teşhis edilen malignite olup, kansere bağlı ölümlerin başlıca nedenidir. Hücre adezyonu ve sinyal iletiminde görev alan transmembran bir reseptör olan İntegrin $\beta 6$ (ITG $\beta 6$)'nın, çeşitli epitel kökenli kanserlerde tümör invazyonu ve progresyonu ile ilişkili olduğu bildirilmiştir. Ayrıca oksidatif stres karsinogeneizde önemli bir rol oynamakta olup, total antioksidan kapasite (TAK) vücudun genel antioksidan savunma durumunu yansıtmaktadır. Bu çalışmada, meme kanseri hastalarında serum ITG $\beta 6$ ve TAK düzeyleri değerlendirilerek hastalığın patofizyolojisi ile olası ilişkilerinin araştırılması amaçlanmıştır. Yöntem: Çalışma kapsamında, henüz herhangi bir tedavi almamış 50 yeni tanı almış meme kanserli kadın ve yaş uyumlu 50 sağlıklı birey yer almıştır. Serum ITG $\beta 6$ düzeyleri ELISA yöntemiyle, TAK düzeyleri ise kolorimetrik yöntemle ölçülmüştür. Bulgular: Elde edilen bulgulara göre, meme kanseri grubunda ITG $\beta 6$ düzeyleri kontrol grubuna kıyasla anlamlı derecede düşük bulunmuştur ($p < 0,05$). Sonuç: Bu sonuçlar, azalan ITG $\beta 6$ ekspresyonunun tümör progresyon mekanizmalarına katkıda bulunabileceğini, değişmeyen TAK düzeylerinin ise olası bir adaptif antioksidan yanıtı yansıtabileceğini düşündürmektedir. Sonuç olarak, meme kanserinin biyolojik davranışının aydınlatılmasında ITG $\beta 6$ 'nın değerli bir biyobelirteç adayı olabileceği ve oksidatif stres parametrelerini içeren ileri çalışmaların tanısal ve prognostik öngörü gücünü artırabileceği düşünülmektedir.

Anahtar Kelimeler: Meme Kanseri, Itg $\beta 6$, Tak, Oksidatif Stres, Biyobelirteç

Serum İntegrin B6 and Antioxidant Defense Evaluation As Complementary Biomarkers in Breast Cancer

Abstract: Introduction: Breast cancer remains the most frequently diagnosed malignancy and the leading cause of cancer-related death in women worldwide. Integrin $\beta 6$ (ITG $\beta 6$), a transmembrane receptor involved in cell adhesion and signaling, has been associated with tumor invasion and progression in several epithelial cancers. Oxidative stress also plays a crucial role in carcinogenesis, and the total antioxidant capacity (TAC) reflects the overall antioxidant defense status of the body. Methods: In this study, serum ITG $\beta 6$ and TAC levels were evaluated in breast cancer patients to assess their potential relationship with disease pathophysiology. The study included 50 newly diagnosed women with breast cancer who had not yet received any treatment and 50 age-matched healthy controls. Serum ITG $\beta 6$ concentrations were measured by ELISA, while TAC levels were determined by a colorimetric method. Results: The findings demonstrated that ITG $\beta 6$ levels were significantly decreased in the breast cancer group compared to the control group ($p < 0.05$). These results suggest that decreased ITG $\beta 6$ expression may contribute to tumor progression mechanisms, while the unchanged TAC levels indicate a possible adaptive antioxidant response. Conclusion: In conclusion, ITG $\beta 6$ could be considered a

promising biomarker candidate for understanding tumor behavior in breast cancer, and further studies integrating oxidative stress parameters may enhance its diagnostic and prognostic value.

Keywords: Breast Cancer, Itg β 6, Tac, Oxidative Stress, Biomarker



Makale id= 37

Sözlü Sunum

ORCID ID: 0000-0002-8757-2970

| 66

Üçüncü Nesil Sefalosporinlere Karşı Farklı Klinik İzolatların Antimikrobiyal Direnç Profili

Doç.Dr. Ömer Akgül¹

¹Department of Pharmaceutical Microbiology, Faculty of Pharmacy, Van Yüzüncü Yıl University, VAN, Turkey

Özet: İlaç dirençli mikroorganizmalar, uygunsuz tedavi riskini artırdığı için morbidite ve mortalitede artışa yol açar. Dolayısıyla, antimikrobiyal direnç verileri, her hasta için mümkün olan en iyi tedavinin belirlenmesine yardımcı olur. Bu nedenle, bu çalışma Van Eğitim ve Araştırma Hastanesi'nde 3. kuşak sefalosporin ilaçlarının antimikrobiyal direnç profilini taramayı amaçlamaktadır. Van Eğitim ve Araştırma Hastanesinde Nisan-Ağustos 2024 tarihleri arasında hastane tabanlı prospektif kesitsel bir çalışma yürütüldü. Hastanede yatan hastalardan yara sürüntüsü, idrar, balgam ve dışkı gibi klinik örnekler toplandı. Ardından, bakteri türleri izole edildi ve standart mikrobiyolojik yöntemlere göre tanımlandı. Kirby-Bauer disk difüzyon yöntemi kullanılarak çeşitli antimikrobiyal diskler kullanılarak antimikrobiyal duyarlılık testleri gerçekleştirildi. Toplam 248 bakteri izolatı 154 (%62,1) erkek ve 94 (%37,9) kadın hastadan elde edildi. Örneklerden izole edilen baskın organizmalar Escherichia coli (%25,4) ve Staphylococcus aureus (%19,0) idi. Toplam bakteri izolatlarının yaklaşık 140'ı (%56,5) ve 149'u (%60,1) sırasıyla seftriakson ve seftazidime dirençli bulundu. Escherichia coli izolatlarının büyük çoğunluğu (%73) seftriaksona, 41'i (%65) ise seftazidime dirençliydi. Toplam bakteri izolatlarının %19'unu oluşturan Staphylococcus aureus, sırasıyla seftriakson ve seftazidime %23,4 ve %34 direnç gösterdi. Seftriakson ve seftazidime dirençli bakteri suşları arasında yaklaşık 109 (%44) ve 108 (%43,5) suşun sırasıyla iki, üç veya dört başka ilaca dirençli olduğu görüldü. Üçüncü kuşak sefalosporinlere (seftriakson ve seftazidim) karşı bakteriyel direnç giderek artmaktadır; izole edilen suşların yarısından fazlası bu ilaçlara direnç göstermektedir. Ayrıca, bu suşlar çoğunlukla klinik olarak kullanılan ilaçlara karşı çoklu ilaç direnci göstermekte ve bu da tedaviyi başarısız kılabilir. Bu nedenle, klinik kullanımda uygun ilaçlar, antimikrobiyal duyarlılık testlerinden elde edilen verilere dayanarak seçilmelidir.

Anahtar Kelimeler: Seftriakson, Seftazidim, S. Aureus, E. Coli

Makale id= 144

Poster Sunum

ORCID ID: 0000-0003-3314-1961

| 67

Bazı Fenilpropiyonik Asid Türevlerinin Cox-1 ve Cox-2 İnhibitörü Etkilerinin İn Vitro ve İn Silico Değerlendirilmesi

Dr. Öğretim Üyesi Ümmühan Kandemir¹, Doç.Dr. Begüm Nurpelin Sağlık Özkan², Prof.Dr. Ümide Demir Özkay³

¹Bilecik Şeyh Edebali Üniversitesi, Tıp Fakültesi, Tıbbi Farmakoloji Anabilim Dalı, Bilecik, Türkiye

²Anadolu Üniversitesi, Eczacılık Fakültesi, Farmasötik Kimya Anabilim Dalı, Eskisehir, Türkiye

³Anadolu Üniversitesi, Eczacılık Fakültesi, Farmakoloji Anabilim Dalı, Eskisehir, Türkiye

*Corresponding author: Ümmühan Kandemir

Özet: İnflamasyon günümüzde birçok kronik hastalığın patogenezinde önemli bir etken olarak kabul edilmekte ve daha güvenli ve daha etkili anti-inflamatuvar ajanlara olan ihtiyaç artmaktadır. Bu nedenle çalışmamızda sentezi daha önce bildirilen [1], kimyasal yapısı ibuprofene benzeyen on adet 2-fenilpropiyonik asid türevi bileşiğin (1a-1j) siklooksijenaz (COX)-1 ve COX-2 enzim inhibisyonu aktivitesi florometrik yöntemle değerlendirilmiştir. Etkili türevlerin COX-1 ve COX-2 enzimlerinin aktif bölgesine yerleşme durumları ve etkileşim profilleri moleküler docking çalışmaları ile aydınlatılmıştır. COX-1 enzimi için 1a (IC₅₀:2.072±0.101 µM) ve 1b (IC₅₀:3.021±0.145 µM) bileşiklerinin referans bileşik olarak kullanılan ibuprofene (IC₅₀:2.704±0.128 µM) oldukça yakın bir inhibisyon profiline sahip olduğu belirlenmiştir. Diğer referans bileşik nimesulid ile karşılaştırıldığında ise bileşik 1a ve 1b'nin nimesulidten (IC₅₀:5.542±0.238 µM) yaklaşık 2 kat daha güçlü COX-1 enzim inhibitör aktivitesi gösterdiği tespit edilmiştir. COX-2 enzim inhibisyonu çalışmalarında ise 1a (IC₅₀:1.870±0.088 µM) ve 1b (IC₅₀:2.929±0.135µM) bileşiklerinin, ibuprofenden (IC₅₀:3.658±0.174µM) daha güçlü, nimesulid (IC₅₀:1.702±0.079 µM) ile kıyaslanabilir COX-2 enzim inhibisyonu profili sergilediği belirlenmiştir. Docking çalışmaları sonucunda 1a ve 1b kodlu bileşiklerin her iki enzimin de aktif bölgesine benzer pozisyonda bağlandıkları ve aynı etkileşimleri gösterdikleri belirlenmiştir. Moleküler modelleme çalışmalarının bulguları in vitro deneylerin bulgularını desteklemiştir. Elde edilen bulgular, yeni potansiyel anti-inflamatuvar ajanların geliştirilmesi açısından prelinik çalışmalara temel oluşturabilecek niteliktedir. [1] Kandemir Ü, Osmaniye D, Yazıcı C, Can öd, Demir Özkay Ü. Antidepressant effects of some phenylpropionic acid derivatives in chronic unpredictable mild stress-induced rat model of depression. 9th International Conference on Medical Health Sciences, Dubai, Birleşik Arap Emirlikleri, 15-19 Mayıs 2025, ss.89, (Özet Bildiri)

Anahtar Kelimeler: Anti-Inflamatuvar, Florometrik, Cox İnhibisyonu, Moleküler Docking, Siklooksijenaz

In Vitro and in Silico Evaluation of Cox-1 and Cox-2 Inhibitor Activities of Some Phenylpropionic Acid Derivatives

Abstract: Inflammation is currently recognized as a key contributor to the pathogenesis of many chronic diseases, and the need for safer and more effective anti-inflammatory agents is increasing. Therefore, in our study, we evaluated the cyclooxygenase (COX)-1 and COX-2 enzyme inhibition activity of ten 2-phenylpropionic acid derivative compounds (1a-1j), which have a chemical structure resembling ibuprofen and whose synthesis was previously reported [1], using a fluorometric method. The binding

states and interaction profiles of effective derivatives to the active site of COX-1 and COX-2 enzymes were elucidated through molecular docking studies. For the COX-1 enzyme, compounds 1a (IC₅₀: 2.072±0.101 μM) and 1b (IC₅₀: 3.021±0.145 μM) were determined to have an inhibition profile very close to the reference drug ibuprofen (IC₅₀: 2.704±0.128 μM). When compared to the other reference drug nimesulide, compounds 1a and 1b were found to exhibit approximately twice as potent COX-1 enzyme inhibitory activity as nimesulide (IC₅₀: 5.542±0.238 μM). In COX-2 enzyme inhibition studies, it was determined that compounds 1a (IC₅₀: 1.870±0.088 μM) and 1b (IC₅₀: 2.929±0.135 μM) exhibited a COX-2 enzyme inhibition profile that was more potent than ibuprofen (IC₅₀: 3.658±0.174 μM) and comparable to nimesulide (IC₅₀: 1.702±0.079 μM). Docking studies revealed that compounds 1a and 1b bind to the active site of both enzymes at similar positions and exhibit the same interactions. The findings of molecular modeling studies supported the findings of in vitro experiments. The obtained findings may form the basis for preclinical studies for the development of new potential anti-inflammatory agents.

Keywords: Anti-Inflammatory, Fluorometric, Cox Inhibition, Molecular Docking, Cyclooxygenase



Makale id= 23

Sözlü Sunum

ORCID ID: Orcid;0000-0002-9692-8203, Orcid;0000-0002-0611-7686

| 69

Charcot–marie–tooth Hastalığında Düşme Riskinin Azaltılmasında Sanal Gerçeklik Tabanlı Yaklaşım

Uzman Mehmet Çakıroğlu¹, Asst.Prof.Dr. Deniz Kocamaz²

¹Hasan Kalyoncu Üniversitesi Lisansüstü Eğitim Enstitüsü

²Hasan Kalyoncu Üniversitesi, Sağlık Bilimleri Fakültesi, Fizyoterapi ve Rehabilitasyon Bölümü

*Corresponding author: Mehmet Çakıroğlu

Özet: Charcot–Marie–Tooth (CMT) hastalığı periferik sinir tutulumuna bağlı gelişen kas güçsüzlüğü, yürüme ve denge bozuklukları ile seyreder. Ayrıca düşme riskini artıran ilerleyici bir nöromusküler hastalıktır. Bu çalışmada, CMT Tip 1 tanısı alan ve bağımsız yürüyebilen ancak günlük aktivitelerinde belirgin zorlanma yaşayan bir bireyde standart fizyoterapi programına ek olarak sanal gerçeklik (SG) destekli denge eğitiminin etkileri incelenmiştir. Genetik incelemelerde KIF1B geninde heterozigot varyant saptanmış ve bu bulgu CMT ile ilişkilendirilmiştir. Ek olarak LDB3, AP5Z1 ve CFTR genlerinde de heterozigot varyantlar rapor edilmiştir. Ancak bu değişiklikler klinik açıdan anlamlı bulunmamış ya da taşıyıcılık düzeyinde değerlendirilmiştir. Hasta, 12 hafta boyunca haftada üç gün yaklaşık 40–50 dakikalık fizyoterapi seanslarına (germe, kuvvetlendirme, denge ve yürüme egzersizleri) katılmış, ardından ek olarak 20 dakikalık Meta Quest 2 tabanlı SG denge eğitimi yapılmıştır. Uygulamalarda ağırlık aktarma, engelden kaçınma, hedefe uzanma ve baş-göz koordinasyonu gibi fonksiyonel aktiviteler uygulanmış, yorgunluk düzeyi modifiye Borg skalası ile takip edilmiş ve 7 üzerine değerlere ulaştığında dinlenme araları verilmiştir. Müdahale sonunda Berg Denge Ölçeği (BBS) ve Timed Up and Go (TUG) testlerinde anlamlı iyileşme ve Düşme Etkinlik Ölçeği'nin (FES-I) işaret ettiği düşme korkusunda azalma kaydedilmiştir. Ancak 10 Metre Yürüme Testi'nde (10MYT) yalnızca sınırlı gelişme sağlanmış, bazı seanslarda görsel yorgunluk ve dikkat azalması nedeniyle performansın sürdürülebilirliği kısıtlanmıştır. Bu bulgular ise SG destekli denge eğitiminin CMT Tip 1 hastalarında bağımsız yürüme kapasitesini destekleyebileceği ve düşme riskini azaltmaya katkı sağlayabileceğini, ancak tüm parametrelerde beklenen düzeyde iyileşme yaratmadığını göstermektedir. .

Anahtar Kelimeler: Charcot–marie–tooth, Sanal Gerçeklik, Denge Eğitimi.

A Virtual Reality-Based Approach to Reduce the Risk of Falls in Charcot–marie–tooth Disease

Abstract: Charcot–Marie–Tooth (CMT) disease is characterized by muscle weakness, gait, and balance disorders due to peripheral nerve involvement. It is also a progressive neuromuscular disease that increases the risk of falls. This study investigated the effects of virtual reality (VR)-assisted balance training in addition to a standard physiotherapy program in an individual diagnosed with CMT Type 1, who was able to walk independently but experienced significant difficulties in daily activities. Genetic testing revealed a heterozygous variant in the KIF1B gene and the finding is associated with CMT. Additionally, heterozygous variants in the LDB3, AP5Z1, and CFTR genes have been reported. However, these changes were not considered clinically significant or were considered carriers. The patient participated in approximately 40–50 minutes of physiotherapy sessions (stretching, strengthening, balance, and walking exercises) three days a week for 12 weeks, followed by an additional 20 minutes of MetaQuest 2-based VR balance training. Functional activities such as weight

transfer, obstacle avoidance, reaching for a target, and head-eye coordination were implemented. Fatigue levels were monitored using a modified Borg scale, and rest breaks were given when they reached values above 7. At the end of the intervention, significant improvements were noted in the Berg Balance Scale (BBS) and Timed Up and Go (TUG) tests, and a decrease in fear of falling was noted on the Falls Efficacy Scale (FES-I). However, only limited improvement was achieved in the 10-Meter Walk Test (10MYT), and sustainability of performance was limited in some sessions due to visual fatigue and decreased attention. These findings suggest that SG-assisted balance training may support independent walking capacity and contribute to reducing the risk of falls in patients with CMT Type 1, but it did not produce the expected improvement in all parameters.

Keywords: Charcot–marie–tooth, Virtual Reality, Balance Training.



Makale id= 2

Sözlü Sunum

ORCID ID: 0000-0003-3453-6893, 0000-0002-0522-4228

| 71

Farklı Frekanslardaki Lokal Vibrasyonun Egzersiz Sonrası Toparlanma Üzerine Etkileri: Randomize Sham Kontrollü Çalışma

Dr. Öğretim Üyesi Merve Tunçdemir¹, Dr. Öğretim Üyesi Ömer Dursun¹
¹Bitlis Eren Üniversitesi

*Corresponding author: Ömer Dursun

Özet: Amaç: Farklı frekanslarda uygulanan lokal vibrasyonun, el bileği fleksör kaslarında yorgunluk sonrası egzersiz sonrası toparlanma sürecine ani etkilerini araştırmak. Yöntem: Bu randomize, sham kontrollü çalışmaya 42 sağlıklı kadın katılımcı dahil edildi ve rastgele üç gruba ayrıldı: sham vibrasyon, 50 Hz vibrasyon ve 100 Hz vibrasyon. El bileği fleksör kaslarında kas yorgunluğu oluşturuldu. Daha sonra, grup dağılımına göre fleksör karpı ulnaris kasına 10 dakikalık lokal vibrasyon uygulandı. Müdahale sonrası, kavrama gücü JAMAR® dinamometresi ile, üst ekstremité reaksiyon süresi ise Blaze Pod sistemi ile ölçüldü. Semptom şiddeti görsel analog skalası ile değerlendirildi. Vibrasyon gruplarında rahatlama süresi, genel rahatlama ve eritem de değerlendirildi. Bulgular: Tüm gruplarda yorgunlukta benzer azalmalar gözlemlendi ($p=0,08$), ancak algılanan rahatsızlık ve ağrı vibrasyon gruplarında daha fazla iyileşti ($p<0,05$). Eritem, 100 Hz grubunda daha sık görüldü ($p<0,05$) ve 100 Hz grubunda kısmen sürdü ($p>0,05$). Sonuç: Egzersiz sonrası toparlanma sürecinde uygulanan lokal vibrasyon, frekansa bağlı olarak algılanan kas yorgunluğu semptomlarını azaltabilir. Ancak yüksek frekanslar cilt reaksiyonları, özellikle eritem gibi yan etkilere neden olabilir. Frekans seçimi, terapötik etkiler ve potansiyel yan etkiler dengelenerek yapılmalıdır.

Anahtar Kelimeler: Vibrasyon, Kas Yorgunluğu, Reaksiyon Süresi

Effects of Frequency-Specific Local Vibration On Post-Exercise Recovery: A Randomized Sham-Controlled Trial

Abstract: Objective: To investigate the immediate effects of local vibration at different frequencies on post exercise recovery following fatigue in the wrist flexor muscles. Methods: This randomized, sham-controlled study included 42 healthy female participants, randomly assigned to three groups: sham vibration, 50 Hz vibration, and 100 Hz vibration. Muscle fatigue was induced in the wrist flexor muscles. Then, a 10-minute local vibration was administered to the flexor carpi ulnaris muscle according to group allocation. After the intervention, grip strength and upper extremity reaction time were measured using a JAMAR® dynamometer and the Blaze Pod system. Symptom severity was assessed with a visual analog scale. In the vibration groups, relief duration, overall relief, and erythema were also evaluated. Results: All groups showed similar reductions in fatigue ($p=0.08$), but perceived discomfort and pain improved more in the vibration groups ($p<0.05$). Erythema occurred more frequently in the 100 Hz group ($p<0.05$), and partially remained in the 100 Hz group ($p>0.05$). Conclusion: Local vibration during post exercise recovery can alleviate perceived muscle fatigue symptoms depending on frequency. However, higher frequencies may cause skin reactions such as erythema. Frequency selection should balance therapeutic effects and potential side effects.

Keywords: Vibration; Muscle Fatigue; Reaction Time

Makale id= 92

Sözlü Sunum

ORCID ID: 0009-0002-8828-2024

| 72

Fibromiyaljili Bireylerde Reformer Pilates Egzersizinin Solunum Parametreleri ve Yaşam Kalitesine Etkisi

Araştırmacı Dilara Moral¹, Doç.Dr. Ercan Tural¹

¹Samsun Ondokuz Mayıs Üniversitesi

*Corresponding author: Dilara moral

Özet: Amaç: Fibromiyaljili bireylerde kronik ağrı ve yorgunluk sebebiyle yaşam kalitesi olumsuz yönde etkilenirken, solunum kas kuvvetinin azalmasına bağlı olarak akciğer hacimlerinde düşüş meydana gelmektedir. Bu bağlamda yapılan araştırmada, fibromiyaljili bireylerde genel kas kuvvetini arttırmaya ve postüral kasları esnetmeye yönelik reformer pilates egzersizlerinin solunum parametrelerine ve yaşam kalitesine olan etkisini incelemek amaçlandı. Materyal ve Yöntem: Çalışmaya Samsun'da yaşayan ve 2016 ACR tanı kriterlerine göre FM tanısı almış 20 birey dahil edildi. Katılımcılar reformer pilates grubu (n=10) ve kontrol grubu (n=10) olmak üzere randomize iki gruba ayrıldı. Gruplar egzersizlerini haftada 2 kez 6 hafta boyunca toplam 12 seans uyguladı. Bireylerin genel bilgileri, solunum tipi ve frekansı, solunum parametreleri, ağrılı bölge sayısı, hastalık aktivitesi, kinezyofobi, yorgunluk, uyku kalitesi, yaşam kalitesi ve günlük yaşam aktiviteleri değerlendirildi. Solunum Kas Antrenmanı 30 dinamik solunum şeklinde POWERbreathe cihazı (IMT Technologies Ltd., Birmingham, UK) ile yapıldı. Bütün değerlendirmeler egzersiz programı öncesi ve sonrasında uygulandı. Elde edilen verilerin analizinde gruplar arası ön-son testlerdeki farkın analizi için iç gruplarda Wilcoxon işaretli sıralar testi, gruplar arası son test karşılaştırmalarında ise Mann Whitney U testi kullanılmıştır. Bulgular: deney grubu katılımcılarının ağrı ve yorgunluk düzeylerini gösteren AYE ölçeğinde kontrol grubuna kıyasla anlamlı biçimde daha yüksek puanlar elde ettiği görülmektedir (U=17,50; p=0,013; r=0,554). Ayrıca solunum fonksiyon parametrelerinden FVC%, FEV1%, FEF25 ve FEF25%75 değişkenlerinde de deney grubu lehine anlamlı farklar saptanmıştır. Sonuç: Deney grubunda müdahale sonrası çok sayıda değişkende anlamlı iyileşme meydana geldiğini göstermektedir. Bu sonuçlar, deney grubunda uygulanan programın akciğer kapasitesi ve hava akım hızında ölçülebilir iyileşmeler sağladığını göstermektedir.

Anahtar Kelimeler: Fibromiyalji, Solunum, Yaşam Kalitesi, Ağrı

The Effect of Reformer Pilates Exercise On Respiratory Parameters and Quality of Life in Individuals With Fibromyalgia

Abstract: Objective: While quality of life is negatively affected in individuals with fibromyalgia due to chronic pain and fatigue, lung volume decreases due to decreased respiratory muscle strength. In this context, the study aimed to investigate the effects of reformer pilates exercises, which aim to increase general muscle strength and stretch postural muscles in individuals with fibromyalgia, on respiratory parameters and quality of life. Materials and Methods: Twenty individuals living in Samsun and diagnosed with FM according to the 2016 ACR diagnostic criteria were included in the study. Participants were randomized into two groups: the reformer pilates group (n=10) and the control group (n=10). The groups performed the exercises twice a week for 6 weeks for a total of 12 sessions. The individuals' general information, respiratory type and frequency, respiratory parameters, number of

painful areas, disease activity, kinesiophobia, fatigue, sleep quality, quality of life and activities of daily living were evaluated. Respiratory Muscle Training was performed in the form of 30 dynamic breathing. It was performed with the POWERbreathe device (IMT Technologies Ltd., Birmingham, UK). All assessments were administered before and after the exercise program. The Wilcoxon signed-rank test was used for within-group comparisons of pre- and post-test differences between groups, and the Mann-Whitney U test was used for between-group post-test comparisons. Findings: Participants in the experimental group scored significantly higher on the AYE scale, which indicates pain and fatigue levels, compared to the control group ($U=17.50$; $p=0.013$; $r=0.554$). Furthermore, significant differences were found in favor of the experimental group in the respiratory function parameters FVC%, FEV1%, FEF25, and FEF2575%. Conclusion: Significant improvements were observed in numerous variables in the experimental group after the intervention. These results indicate that the program implemented in the experimental group resulted in measurable improvements in lung capacity and airflow velocity.

Keywords: Fibromyalgia, Respiratory, Quality of Life, Pain



Makale id= 80

Sözlü Sunum

ORCID ID: 0000-0001-6633-1572

| 74

Klinik Uygulama Deneyimi Olan Fizyoterapi ve Rehabilitasyon Bölümü Öğrencilerinin Mesleğe Yönelik Algı ve Tutumlarının Değerlendirilmesi

Dr. Öğretim Üyesi Elvan Felekoğlu¹

¹İzmir Katip Çelebi Üniversitesi

Özet: Amaç: Bu çalışma ile klinik uygulama deneyimi bulunan fizyoterapi ve rehabilitasyon bölümü öğrencilerinin mesleğe yönelik algı ve tutumlarını belirlemek ve klinik deneyimin mesleğe bakış üzerindeki etkisini değerlendirmek amaçlanmıştır. Yöntem: Literatür taraması ve öğrenci geri bildirimleri doğrultusunda araştırmacı tarafından geliştirilen 18 maddelik anket, araştırmacının dijital platformlar aracılığıyla ulaşabildiği 110 öğrenci tarafından yanıtlanmıştır. Sorular, 5'li Likert tipi (kesinlikle katılmıyorum – katılmıyorum – kararsızım – katılıyorum – kesinlikle katılıyorum) ile hazırlanmıştır. Katılımcıların yaşı ortalama olarak verilmiş, diğer değişkenler yüzde (%) dağılımları ile sunulmuştur. Bulgular: Yüzde 60'ı kadın olan katılımcıların yaş ortalaması 21,75 olup, %80'i 4. sınıf, %20'si 3. sınıf öğrencisidir. %80'i 200 saatten fazla, %20'si 50–100 saat klinik uygulama yapmıştır. “Klinik uygulama deneyiminizi düşündüğünüzde, fizyoterapi mesleğine bakış açınızı nasıl etkiledi?” sorusuna katılımcıların %80'i olumlu yönde etkiledi, %20'si herhangi bir etkisi olmadığını vermiştir. Mesleki ilgi ve memnuniyet açısından, %80'i mesleğini seçmekten memnundur ve mesleğin kişisel değerlerle uyumlu olduğunu belirtmiştir; tüm katılımcılar mezuniyet sonrası fizyoterapist olarak çalışmayı planlamaktadır. Klinik deneyim, öğrencilerin mesleki bilgi ve özgüvenini artırmıştır; %60'ı ilgilerini güçlendirdiğini, %60'ı teorik bilgilerini sahada uygulayabildiklerini, %80'i iletişim becerilerinin geliştiğini ve %60'ı fizyoterapist rolünü daha iyi anladığını ifade etmiştir. Toplumsal algıda, %80'i mesleğin yeterince tanınmadığını, %60'ı hak ettiği değeri görmediğini, %40'ı diğer sağlık çalışanları tarafından saygı görmediğini düşünmektedir. Eğitim açısından %60'ı teorik eğitimin klinik uygulamaya hazırlayıcı olduğunu ve klinik uygulamaların fizyoterapi eğitiminin en faydalı kısmını oluşturduğunu belirtmiş, tüm katılımcılar mesleki sorumluluk duygularının geliştiğini ifade etmiştir. Sonuç: Bu çalışmada, fizyoterapi öğrencilerinin mesleğe yönelik genel tutumlarının olumlu olduğu ve klinik uygulama deneyimlerinin mesleki ilgiyi, özgüveni ve sorumluluk duygusunu güçlendirdiği görülmüştür. Ancak, öğrenciler toplumsal tanınırlık ve mesleki saygınlık konusunda daha eleştirel bir bakışa sahiptir. Fizyoterapi eğitiminde klinik uygulamaların niteliğinin artırılması ve mesleğin toplumsal farkındalığını güçlendirecek çalışmalar önerilmektedir.

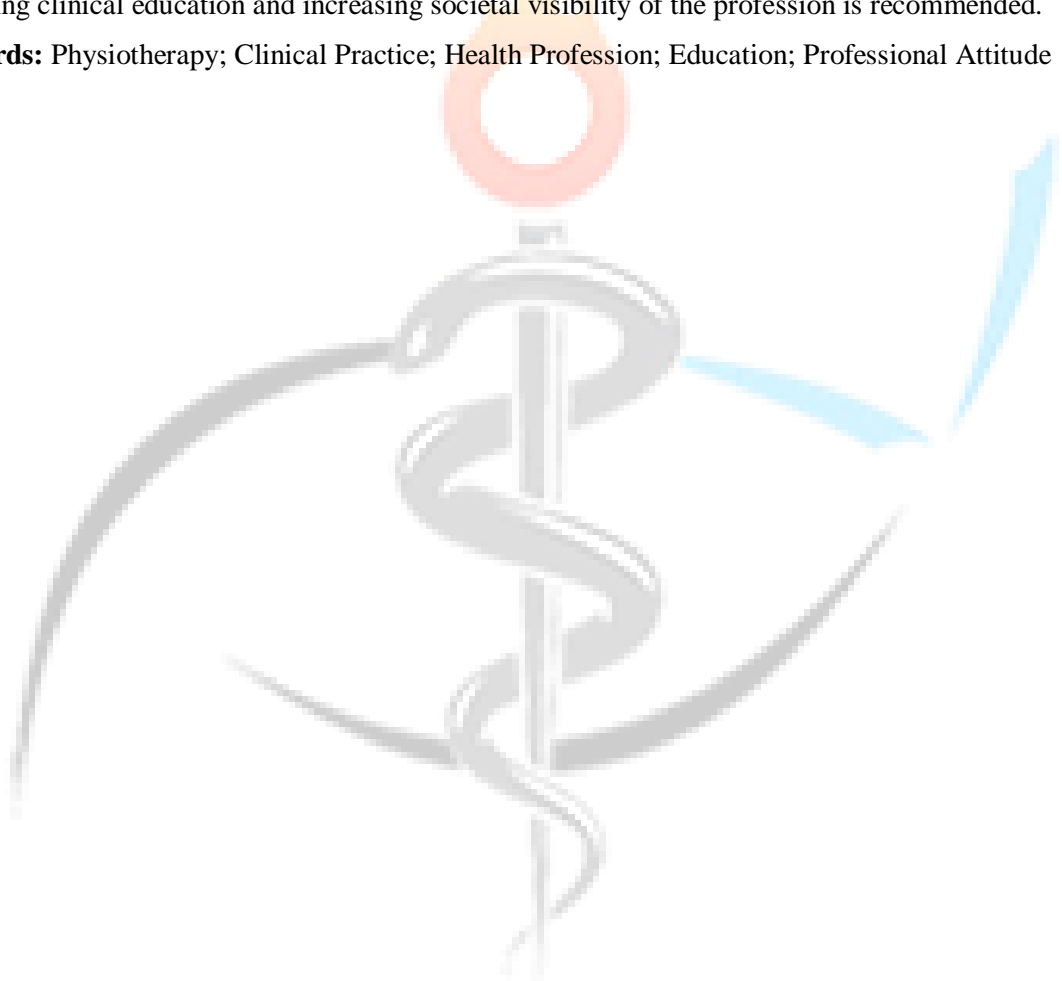
Anahtar Kelimeler: Fizyoterapi; Klinik Uygulama; Sağlık Mesleği; Eğitim; Mesleki Tutum

Evaluation of Profession-Related Perceptions and Attitudes of Physiotherapy and Rehabilitation Students With Clinical Practice Experience

Abstract: Objective: This study aimed to determine the profession-related perceptions and attitudes of physiotherapy and rehabilitation students with clinical practice experience and to evaluate the impact of clinical experience on their perspective toward the profession. Methods: An 18-item questionnaire, developed by the researcher based on literature review and student feedback, was completed by 110 students who could be reached via digital platforms. The questions were designed using a 5-point Likert

scale (strongly disagree – disagree – neutral – agree – strongly agree). Participants' ages are presented as mean values, and other variables are reported as percentage (%) distributions. Results: The mean age of participants was 21.75 years, with 60% female. Among students, 80% were 4th-year and 20% 3rd-year. Clinical practice exceeded 200 hours for 80%, while 20% completed 50–100 hours. In response to the question on clinical experience, 80% reported a positive effect, 20% no effect. Regarding professional interest, 80% were satisfied with their career choice and found it compatible with personal values; all intended to work as physiotherapists. Clinical experience enhanced knowledge and confidence: 60% reported increased interest, 60% applied theoretical knowledge, 80% improved communication skills, and 60% better understood the physiotherapist role. Regarding societal perception, 80% felt the profession is insufficiently recognized, 60% believed it lacks deserved respect, and 40% reported limited respect from other healthcare professionals. Regarding education, 60% considered theoretical training preparatory, and all reported enhanced professional responsibility. Conclusion: Physiotherapy students generally hold positive attitudes; clinical practice enhances interest, confidence, and responsibility. However, students are critical of societal recognition and respect. Improving clinical education and increasing societal visibility of the profession is recommended.

Keywords: Physiotherapy; Clinical Practice; Health Profession; Education; Professional Attitude



Makale id= 146

Sözlü Sunum

ORCID ID: 0000-0002-4952-2825

| 76

Koroner Arter By-Pass Greftleme Cerrahisi Geçiren Hastalarda Kardiyak Rehabilitasyona Ek Uygulanan Nörofizyolojik Fasilitasyon Tekniklerinin Ağrı, Dispne ve Fonksiyonel Kapasite Üzerine Etkisi

Fzt Büşra Cındık Çalışkan¹, Dr. Öğretim Üyesi Gamze Aydın²

¹Istanbul Okan University, Institute of Graduate Education, Division of Physiotherapy and Rehabilitation, Istanbul, Türkiye

²Istanbul Okan University, Faculty of Health Sciences, Division of Physiotherapy and Rehabilitation, Istanbul, Türkiye

*Corresponding author: Büşra Cındık Çalışkan

Özet: Amaç: Çalışmanın amacı koroner arter by-pass greft cerrahisi (KABG) geçiren hastalarda kardiyak rehabilitasyona ek uygulanan nörofizyolojik fasilitasyon tekniklerinin ağrı, dispne ve fonksiyonel kapasite üzerine etkisini değerlendirmektir. Yöntem: Çalışmaya; bir hastanenin kalp ve damar cerrahisi servisinde yatmakta olan, yaşları 46 ile 85 arası değişen 40 hasta dahil edildi. Katılımcılar; solunum egzersizleri, mobilizasyon egzersizleri ve normal eklem hareket egzersizlerini içeren kardiyak rehabilitasyon programı uygulanan kontrol grubu (n=20) ve kardiyak rehabilitasyon programına ek olarak nörofizyolojik fasilitasyon teknikleri uygulanan çalışma grubu (n=20) olarak ikiye ayrıldı. Kardiyak rehabilitasyon ve nörofizyolojik fasilitasyon teknikleri 5 gün boyunca günde 1 defa, toplam 30 dk süre ile fizyoterapist tarafından uygulandı. Katılımcıların yaş, cinsiyet, meslek, sigara alışkanlığı, cerrahi ile ilgili veriler sorgulandı. Katılımcıların göğüs ağrısı şiddeti Vizüel Analog skala ile; dispne şiddeti, Modifiye Borg skalası ile; fonksiyonel kapasitesi 6 Dakika Yürüme Testi (6DYT) ile değerlendirildi. Tüm değerlendirmeler operasyon sonrası 3. Gün, 4. Gün ve 5. Günde gerçekleştirildi. Bulgular: Gruplar arası analizde, tüm günlerde VAS ortalamaları gruplar arasında istatistiksel olarak anlamlı fark göstermemekteydi ($p>0,05$). Grup içi analizde, VAS değerleri çalışma grubunda kontrol grubundan daha fazla azalma göstermiştir ($F=2,340$ $p=0,025$). Çalışma grubunda katılımcıların dispne şiddeti üçüncü ve dördüncü günde kontrol grubundan istatistiksel olarak düşüktü ($p<0,05$). Grup içi analizde, dispne şiddeti kontrol grubunda deney grubundan daha fazla azalma göstermiştir ($F=4,398$ $p<0,05$). Grup içi analizde, 6 dakika yürüme mesafe ölçümleri çalışma grubunda kontrol grubundan daha fazla artış göstermiştir ($F=8,603$ $p<0,05$).

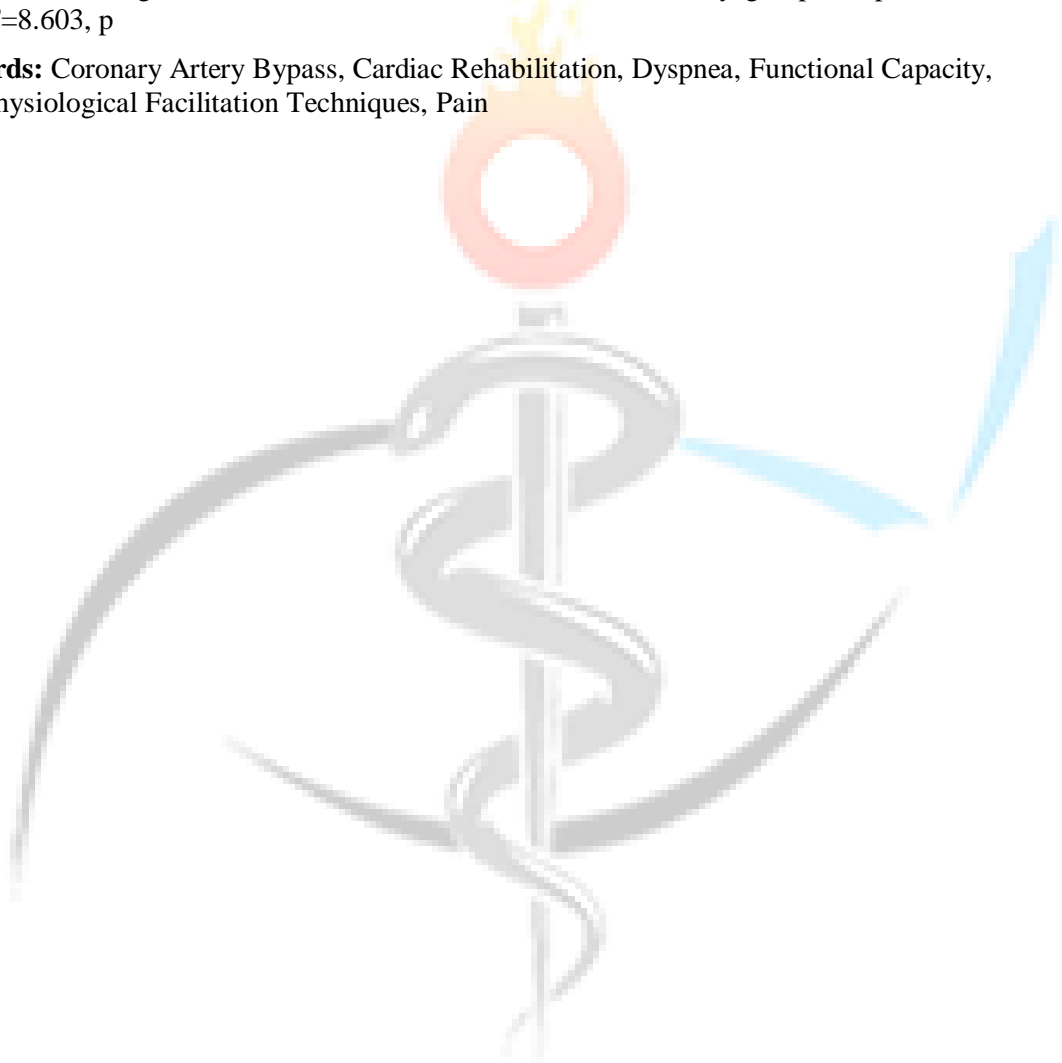
Anahtar Kelimeler: Ağrı, Dispne, Fonksiyonel Kapasite, Kardiyak Rehabilitasyon, Koroner Arter Bypass, Nörofizyolojik Teknikleri

Effect of Neurophysiological Facilitation Techniques Added to Cardiac Rehabilitation On Pain, Dspypnea and Functional Capacity in Patients Undergoing Coronary Artery Bypass Grafting Surgery

Abstract: Purpose: The aim of this study was to evaluate the effects of neurophysiological facilitation techniques, applied in addition to cardiac rehabilitation, on pain, dyspnea, and functional capacity in patients undergoing coronary artery bypass graft(CABG) surgery. Method: The study included 40 patients, aged between 46 and 85 years, hospitalized in the cardiovascular surgery ward of hospital. Participants were divided into two groups: a control group (n=20) receiving a cardiac rehabilitation

program consisting of breathing exercises, mobilization exercises, and normal joint movement exercises, and a study group (n=20) receiving neurophysiological facilitation techniques in addition to the cardiac rehabilitation program. Interventions were applied by physiotherapist daily for 30 minutes over 5 days. Data on participants' age, gender, occupation, smoking habits, and surgical details were collected. Angina pectoris intensity was assessed using the Visual Analog Scale(VAS), dyspnea severity was evaluated with the Modified Borg Scale, and functional capacity was measured with the 6-Minute-Walk-Test(6MWT). All assessments were conducted on the 3rd, 4th, and 5th days post-surgery during the cardiac rehabilitation. Results: Intergroup analysis revealed no significant differences in VAS scores between the groups on any of the days($p>0.05$). Intragroup analysis showed a greater reduction in VAS scores in the study group compared to the control group($F=2.340$, $p=0.025$). Dyspnea in the study group was significantly lower than in the control group on the 3rd and 4th days($p<0.05$). However, intragroup analysis showed a greater increase in 6MWT distances in the study group compared to the control group($F=8.603$, p

Keywords: Coronary Artery Bypass, Cardiac Rehabilitation, Dyspnea, Functional Capacity, Neurophysiological Facilitation Techniques, Pain



Makale id= 151

Sözlü Sunum

ORCID ID: 0009-0004-2333-7113

| 78

Kronik İnmeli Bireylerde Yorgunluk Durumunun Başa Çıkma ve İnterosepsiyon İle İlişkisinin İncelenmesi

Arş.Gör. Seda Çalışkan¹, Doç.Dr. Ender Ayvat²

¹Arel Üniversitesi

²Hacettepe Üniversitesi

*Corresponding author: Seda Çalışkan

Özet: Amaç: Bu çalışmanın amacı kronik inmeli bireylerde yorgunluğun başa çıkma ve interosepsiyon ile ilişkisini incelemektir. Yöntem: Nörolog tarafında inme tanısı almış 32 birey (Kadın:9/ Erkek:23) çalışmaya dahil edildi. Bireylerin yorgunluk düzeyleri Yorgunluk Şiddet Ölçeği (FSS), interoseptif farkındalıkları İçsel Farkındalığın Çok Boyutlu Değerlendirilmesi (MAIA-2), baş etme yanıtları Baş Etme Yanıtları Envanteri Kısa Formu (BRIEF-COPE) kullanılarak değerlendirildi. Bulgular: Çalışmaya katılan bireylerin yaş ortalaması 54,44±14,07'dir. Çalışmaya dahil ettiğimiz inmeli bireylerde yorgunluk durumu ile bireylerin başa çıkma düzeyleri arasında istatistiksel olarak anlamlı bir ilişki bulundu (p

Anahtar Kelimeler: Nörolojik Rehabilitasyon, İnme, Baş Etme, İnterosepsiyon, Fizyoterapi ve Rehabilitasyon

Investigation of the Relationship Between Fatigue and Coping and Interoception in Individuals With Chronic Stroke

Abstract: Purpose: The aim of this study is to examine the relationship between fatigue, coping, and interoception in individuals with chronic stroke. Methods: Thirty-two individuals (female: 9 / male: 23) diagnosed with stroke by a neurologist were included in the study. The participants' fatigue levels were assessed using the Fatigue Severity Scale (FSS), their interoceptive awareness was evaluated with the Multidimensional Assessment of Interoceptive Awareness (MAIA-2), and their coping responses were assessed using the Brief COPE Inventory. Results: The mean age of the participants was 54.44 ± 14.07 years. A statistically significant relationship was found between the fatigue status of the individuals with stroke included in the study and their coping levels (p < 0.05). On the other hand, a significant relationship was also found between fatigue status and the individuals' levels of interoception perception (p < 0.05). Conclusion: In recent years, studies focusing on the presence of fatigue and factors associated with fatigue in individuals with chronic stroke have increased. In our study, in which we evaluated the fatigue status and related factors of patients, it was found that the presence of fatigue in individuals may alter their coping responses and perceptions of interoception.

Keywords: Neurological Rehabilitation, Stroke, Coping, Interoception, Physiotherapy and Rehabilitation

Makale id= 152

Sözlü Sunum

ORCID ID: 0009-0000-8109-2047

| 79

Multipl Sklerozlu Bireylerde Katılım ile Kişisel ve Çevresel Faktörler Arasındaki İlişkinin İncelenmesi

Fzt Ecem Akyüz¹, Doç.Dr. Ender Ayvat²

¹Hacettepe Üniversitesi

²Hacettepe Üniversitesi

*Corresponding author: Ecem Akyüz

Özet: Amaç: Çalışmanın amacı, Multipl Skleroz (MS) tanılı bireylerde katılımın çevresel ve kişisel faktörlerle olan ilişkisini incelemek. Yöntem: Çalışmaya 18 yaşının üzerinde olan 47 (30K/17E) MS tanılı birey dahil edilmiştir. Katılımcıların verileri, Katılım ve Otonomi Ölçeği (IPA), Genişletilmiş Özürlülük Durum Ölçeği (EDSS), Yaşam Doyumu Ölçeği, Çok Boyutlu Algılanan Sosyal Destek Ölçeği ve çevresel faktörleri değerlendiren Craig Hastanesi Çevresel Faktörler Anketi (CHIEF) kullanılarak toplanmıştır. Bulgular: Katılımcıların yaş ortalaması $45,27 \pm 12,24$ yıl, tanı sonrası geçen süre ortalaması $156,06 \pm 83,77$ ay (yaklaşık 13 yıl) olarak belirlenmiştir. Örneklemin %63,8'i kadın (n=30) ve %36,2'si erkek (n=17) bireylerden oluşmuştur. Katılımcıların %57,4'ü RRMS, %21,3'ü PPMS, %10,6'sı SPMS ve %10,6'sı Benign tip MS tanısına sahiptir. EDSS ortalama puanı $2,91 \pm 2,20$ olup, katılımcıların genel olarak hafif düzeyde özürlülüğe sahip olduğu görülmüştür. Pearson korelasyon analizine göre, Katılım ve Otonomi Ölçeği (IPA) toplam puanı ile ulaşım sıklığı ($r = 0,507, p < 0,001$), iş dizaynı sıklığı ($r = 0,596, p < 0,001$), toplum dizaynı sıklığı ($r = 0,323, p = 0,027$) ve ekipman sıklığı ($r = 0,392, p = 0,006$) arasında pozitif yönlü ve anlamlı ilişkiler saptanmıştır. Buna karşın, yaşam doyumu ($r = -0,436, p = 0,002$) ve toplam sosyal destek puanı ($r = -0,430, p = 0,003$) ile IPA toplam puanı arasında negatif yönlü anlamlı ilişkiler bulunmuştur. Sonuç: MS'li bireylerin yaş, hastalık tipi ve özürlülük düzeylerine göre farklı işlevsel ve sosyal katılım profilleri sergilediği görülmüştür. MS'li bireylerde katılımın çevresel etmenlerin bazı alt parametreleri ile ilişkili bulunduğu gözlenmiş özellikle bu kısımların rehabilitasyon planlamasında ele alınması gerektiği düşünülmektedir.

Anahtar Kelimeler: Multiple Skleroz, Katılım, Çevresel Faktör, Kişisel Faktör

Investigation of the Relationship Between Participation and Personal and Environmental Factors in Individuals With Multiple Sclerosis

Abstract: Objective: This study aimed to investigate the relationship between participation and environmental and personal factors in individuals diagnosed with Multiple Sclerosis (MS). Methods: A total of 47 individuals with MS (30 females, 17 males) aged 18 years and older participated in the study. Data were collected using the Impact on Participation and Autonomy Questionnaire (IPA), Expanded Disability Status Scale (EDSS), Satisfaction with Life Scale, Multidimensional Scale of Perceived Social Support (MSPSS), and the Craig Hospital Inventory of Environmental Factors (CHIEF). Descriptive statistics and Pearson correlation analysis were conducted to examine associations between variables. Results: The mean age of the participants was 45.27 ± 12.24 years, and the mean disease duration was 156.06 ± 83.77 months (approximately 13 years). The sample comprised 63.8% females and 36.2% males. Regarding MS types, 57.4% had Relapsing-Remitting MS (RRMS), 21.3% had Primary Progressive MS (PPMS), 10.6% had Secondary Progressive MS (SPMS), and 10.6% had

Benign MS. The mean EDSS score was 2.91 ± 2.20 , indicating a generally mild disability level. Pearson correlation analysis revealed a positive and significant relationship between the total IPA score and the frequency of transportation barriers ($r = 0.507$, $p < 0.001$), work design barriers ($r = 0.596$, $p < 0.001$), community design barriers ($r = 0.323$, $p = 0.027$), and equipment-related barriers ($r = 0.392$, $p = 0.006$). Conversely, the IPA total score showed a negative and significant correlation with life satisfaction ($r = -0.436$, $p = 0.002$) and perceived social support ($r = -0.430$, $p = 0.003$). Conclusion: Individuals with MS demonstrate diverse functional and social participation profiles depending on age, disease type, and disability level. Participation is significantly influenced by specific environmental factors, underscoring the importance of addressing these aspects in comprehensive rehabilitation planning.

Keywords: Multiple Sclerosis, Participation, Environmental Factors, Personal Factors



Makale id= 143

Sözlü Sunum

ORCID ID: 0000-0001-8100-318X

| 81

Parkinson Hastalarında Çift Görev Becerileri ve Kinezyofobi Arasındaki İlişkinin İncelenmesi

Öğr. Gör. Elvan Özcan Gülşen¹, Doç.Dr. Fatih Söke², Arş.Gör.Dr. Çağrı Gülşen³, Prof.Dr. Hatice Ayşe Tokçaeer Bora⁴, Prof.Dr. Öznur Tunca⁵

¹Anadolu Üniversitesi

²Sağlık Bilimleri Üniversitesi

³Eskişehir Osmangazi Üniversitesi

⁴Gazi Üniversitesi

⁵Hacettepe Üniversitesi

*Corresponding author: Elvan Özcan Gülşen

Özet: Amaç: Parkinson hastalığına (PH) sahip bireyler günlük yaşamlarında iki görevi aynı anda yapmalarını gerektiren aktivitelerde zorluk yaşamaktadır. Ayrıca PH'ye sahip kişilerin hareket etmektен kaçındıkları, kinezyofobi geliştirdikleri de bilinmektedir. Ancak PH'li bireylerde kinezyofobi ve günlük yaşamdaki çift görev becerileri arasında bir ilişki olup olmadığı tam olarak aydınlatılamamıştır. Bu çalışma Parkinson hastalarında çift görev becerileri ve kinezyofobi arasında bir ilişki olup olmadığını incelemek amacıyla yapılmıştır. Yöntem: Çalışmaya PH tanısı almış 20 birey dahil edilmiştir. Katılımcıların demografik ve klinik verileri kaydedilmiştir. Katılımcıların çift görev yetenekleri Çift Görev Anketi (ÇGA) ile, kinezyofobi seviyeleri ise Tampa Kinezyofobi Ölçeği (TKÖ) ile değerlendirilmiştir. Katılımcıların çift görev yetenekleri ve kinezyofobi seviyeleri arasındaki ilişki Spearman korelasyon analizi yöntemi kullanılarak incelenmiştir. Bulgular: Çalışma sonucunda olguların ortalama yaşları 66.85±7.67 yıl, ortalama vücut kütle indeksleri 29.61±4.78 kg/m² ve ortalama hastalık süreleri 6.90±5.73 yıldır. 5 hasta (%25) Hoehn ve Yahr Ölçeğine (H&Y) göre Evre 1'de, 10 hasta (%50) Evre 2'de ve 5 hasta (%25) Evre 3'tedir. Veriler analiz edildiğinde Parkinson hastalarının ÇGA ve TKÖ sonuçları arasında orta seviyede pozitif bir korelasyon olduğu gözlenmiştir (p=0.003, r=0,634). Sonuç: Parkinson hastalarında çift görev yeteneği ve kinezyofobi seviyesi arasında orta seviyeli bir ilişki bulunmaktadır. Bu durumda hastaların kinezyofobi seviyeleri arttığında çift görev becerilerinin azaldığı düşünülebilir. Bu nedenle Parkinson hastalarının günlük yaşamlarındaki çift görev becerilerini arttırmak için hareket korkusunu azaltmaya yönelik egzersizlerin yapılması faydalı olabilir.

Anahtar Kelimeler: Parkinson Hastalığı; Çift Görev; Kinezyofobi; Günlük Yaşam Aktiviteleri

Investigation of the Relationship Between Dual-Task Ability and Kinesiophobia in People With Parkinson's Disease

Abstract: Objective: Individuals with Parkinson's disease (PD) experience difficulty performing activities that require them to perform two tasks simultaneously in their daily lives. It is also known that individuals with PD avoid movement and develop kinesiophobia. However, the relationship between kinesiophobia and dual-tasking ability in daily life in individuals with PD has not been fully understood. This study aimed to investigate the relationship between dual-tasking ability and kinesiophobia in patients with PD (PwPD). Method: Twenty individuals diagnosed with PD were included in the study. Demographic and clinical data were recorded. Participants' dual-tasking abilities were assessed using

the Dual-Task Questionnaire (DTQ), and their kinesiophobia levels were assessed using the Tampa Scale of Kinesiophobia (TSK). The relationship between participants' dual-tasking abilities and kinesiophobia levels was examined using Spearman correlation analysis. Results: The mean age of the patients was 66.85 ± 7.67 years, the mean body mass index was 29.61 ± 4.78 kg/m², and the mean disease duration was 6.90 ± 5.73 years. According to the Hoehn and Yahr Scale (H&Y), 5 patients (25%) were in Stage 1, 10 patients (50%) were in Stage 2, and 5 patients (25%) were in Stage 3. Data analysis revealed a moderate positive correlation between the DTQ and TSK results of PwPD ($p=0.003$, $r=0.634$). Conclusion: There is a moderate correlation between dual-tasking ability and kinesiophobia levels in PwPD. Therefore, it can be assumed that as kinesiophobia levels increase, dual-tasking ability decreases. Therefore, exercises aimed at reducing fear of movement may be beneficial to improve dual-tasking ability in daily life in Parkinson's disease patients.

Keywords: Parkinson's Disease; Dual Tasking; Kinesiophobia; Activities of Daily Living



Makale id= 77

Sözlü Sunum

ORCID ID: 0009-0000-1536-6919

| 83

Rotator Manşet Yaralanması Olan Hastalarda Fonksiyonel Sonuçları Belirleyen Faktörler

Fzt Fatıma Nur Bozkurt¹, Doç.Dr. Murat Tomruk²

¹Burdur Mehmet Akif Ersoy Üniversitesi

²Burdur Mehmet Akif Ersoy Üniversitesi

*Corresponding author: Fatıma Nur Bozkurt

Özet: Giriş: Rotator manşet yaralanmaları, omuz ağrısının en yaygın nedenlerindedir ve hastaların günlük yaşam aktivitelerini önemli ölçüde etkileyen bir kas-iskelet sistemi problemidir. Konservatif tedavi ve cerrahi seçenekler, bu yaralanmaların yönetiminde önemli bir rol oynar. Konservatif tedaviye rağmen yeterli düzeyde yanıt alınamayan hastalarda cerrahi tedavi yöntemlerine başvurulmaktadır. Amaç: Bu derlemede, rotator manşet yaralanmalı hastalarda fonksiyonel sonuçları etkileyen faktörlerin belirlenmesi amaçlandı. Yöntem: 2015-2025 yılları arasında PubMed ve PEDro veri tabanlarından belirlenen anahtar kullarılararak bir literatür taraması yapıldı. Tespit edilen toplam 96 çalışmadan, araştırma konusuna uygun 22 makale derlemeye dahil edildi. Bulgular: Rotator manşet yaralanması olan hastalarda, daha ileri yaş, daha büyük yırtık boyutu ve yırtığın kronikleşmesinin yeniden yırtılma riskini artırdığı görüldü. Subskapular tendonunun tutulumu ve rotator manşet kaslarındaki yağ infiltrasyonu gibi biyolojik faktörlerin iyileşme süresini uzattığı görüldü. Mesleki ve psikolojik faktörler de belirleyiciydi; fiziksel olarak zorlayıcı işlerde çalışan hastaların daha kötü sonuçlar alma riski daha yüksekti; ayrıca stresli bir yaşam tarzı ve olumsuz ruh hali iyileşme sürecini olumsuz etkiliyordu. Metabolik faktörlere bakıldığında, rotator manşet onarımı sonrasında HbA1c düzeylerinin yüksek olmasının, yeniden yırtılma için bağımsız ve güçlü bir risk faktörü olduğu tespit edildi. Bu kritik bulgu, diyabet hastalarında iyileşme sürecinin daha uzun olduğunu ve zayıf glisemik kontrolün yeniden yırtılma riskini artırdığını göstermektedir. Sonuç: Yaş, yırtık özellikleri, tendon tutulumu, rotator cuff kaslarındaki yağ infiltrasyonu, meslek, mental sağlık ve glisemik kontrol dahil olmak üzere birçok faktörün, fonksiyonel sonuçları belirlemede önemli rolü vardır. Bu nedenle, kapsamlı tedavi planlaması yapılırken bu unsurlar dikkate alınmalı ve multidisipliner bir yaklaşımın önemi vurgulanmalıdır.

Anahtar Kelimeler: Rotator Manşet Yırtığı, Konservatif Tedavi, Fonksiyonel Sonuçlar, Belirleyici Faktörler

Factors Determining Functional Outcomes in Patients With Rotator Cuff Injuries

Abstract: Introduction: Rotator cuff injuries are leading cause of shoulder pain and a significant musculoskeletal disorder that impairs patients' daily activities. Management includes conservative and surgical options, with surgery being pursued when an adequate response to conservative treatment is not achieved. Objective: This review aims to identify and summarize the factors that determine functional outcomes in patients with rotator cuff injuries. Methods: A literature search was conducted on PubMed and PEDro databases for the period 2015–2025 using specified keywords. From a total 96 identified studies, 22 articles meeting the relevance criteria were included in the review. Results: Advanced age, larger tear size, and greater chronicity of the tear were associated with an increased risk of re-tear. Biological factors such as involvement of the subscapularis tendon and fatty infiltration of the rotator

cuff muscles prolonged the healing period. Occupational and psychological factors were also determinative; patients with physically demanding jobs had a higher risk of poorer outcomes, while a stressful lifestyle and negative mood adversely affected the recovery process. Regarding metabolic factors, elevated HbA1c levels post-repair were identified as an independent and significant risk factor for re-tear, indicating that poor glycemic control in diabetic patients prolongs healing and increases re-tear risk. Conclusion: A multitude of factors—including age, tear characteristics, tendon involvement, fatty infiltration, occupation, mental health, and glycemic control—significantly determine functional outcomes. Therefore, comprehensive treatment planning must consider these elements, underscoring the importance of a multidisciplinary approach.

Keywords: Rotator Cuff Tears, Conservative Treatment, Functional Outcomes, Predictive Factors



Makale id= 168

Sözlü Sunum

ORCID ID: 0000-0001-8274-8212

| 85

Yetişkinlerde Yutma Güçlüğü ile Ağız Sağlığı Arasındaki İlişki

Dr. Öğretim Üyesi Müşerrefe Nur Keleş¹, Doç.Dr. Özgü İnal Özün²

¹Gazi Üniversitesi, Sağlık Bilimleri Fakültesi, Fizyoterapi ve Rehabilitasyon Bölümü

²Sağlık Bilimleri Üniversitesi, Gülhane Fizyoterapi ve Rehabilitasyon Fakültesi, Nörolojik Fizyoterapi ve Rehabilitasyon Anabilim Dalı

*Corresponding author: Müşerrefe Nur Keleş

Özet: Yutma, oral ve farengeal yapıların bütünlüğüne bağlı karmaşık bir nöromusküler süreçtir. Yutma güçlükleri genellikle klinik durumlarla ilişkilendirilse de, sağlıklı yetişkinlerde de hafif düzeyde yutma şikayetleri ortaya çıkabilmektedir. Bu şikayetler; ağız sağlığı durumu, yaş veya diğer sosyodemografik özelliklerden etkilenebilir. Bu ilişkilerin anlaşılması, orofaringeal sağlığın korunmasına yönelik erken dönemde önleyici stratejiler geliştirilmesine katkı sağlayabilir. Bu kesitsel çalışmaya 132 yetişkin birey (yaş ortalaması = 52,83 ± 3,11 yıl; 60 kadın, 72 erkek) dahil edilmiştir. Yutma fonksiyonu Eating Assessment Tool-10 (EAT-10) kullanılarak değerlendirilmiştir. Sosyodemografik değişkenler (yaş, cinsiyet, eğitim durumu, kronik hastalık varlığı) ve ağız sağlığına ilişkin parametreler (doğal ve eksik diş sayısı, çürük diş sayısı, implant veya protez varlığı) kaydedilmiştir. Korelasyon analizleri ve grup karşılaştırmaları $p < 0,05$ anlamlılık düzeyiyle gerçekleştirilmiştir. Katılımcıların EAT-10 medyan skoru 1,00 (IQR 0,0–3,0) olarak bulunmuştur. EAT-10 skorları ile yaş ($r = 0,108$, $p = 0,046$) ve EAT-10 skorları ile eksik diş sayısı ($r = 0,138$, $p = 0,022$) arasında anlamlı pozitif korelasyon saptanmıştır. Daha ileri yaşta olan ve eksik diş sayısı fazla olan bireyler daha fazla yutma şikayeti bildirmiştir. Cinsiyet açısından anlamlı fark gözlenmemiştir. Yetişkin bireylerde görülen yutma şikayetleri, hastalık olmaksızın dahi ağız sağlığındaki bozulmaların ve yaşa bağlı değişikliklerin erken göstergesi olabilir. Bulgular, erişkin popülasyonda düzenli ağız sağlığı izlemi ve önleyici yutma değerlendirmelerinin önemini vurgulamaktadır.

Anahtar Kelimeler: Yutma Güçlüğü, Ağız Sağlığı, Eat-10, Yetişkin Bireyler

Association Between Swallowing Difficulties and Oral Health in Adults

Abstract: Swallowing is a complex neuromuscular process that depends on the integrity of oral and pharyngeal structures. Although swallowing difficulties are typically associated with clinical conditions, subtle swallowing complaints may also appear in healthy adults. These may be influenced by oral health status, age, or other sociodemographic characteristics. Understanding such hidden links could provide insight into early preventive strategies for maintaining oropharyngeal health. A total of 132 adults (mean age = 52.83 ± 3.11 years; 60 females, 72 males) participated in this cross-sectional study. Swallowing function was assessed using the Eating Assessment Tool-10 (EAT-10). Sociodemographic variables (age, gender, education, presence of chronic disease) and oral health parameters (number of natural and missing teeth, number of decayed teeth, presence of implants or prostheses) were recorded. Correlation analyses and group comparisons were performed with a significance level of $p < 0.05$. The median EAT-10 score was 1.00 (IQR 0.0–3.0). A significant positive correlation was found between EAT-10 scores and age ($r = 0.108$, $p = 0.046$) and between EAT-10 scores and the number of missing teeth ($r = 0.138$, $p = 0.022$). Participants with more missing teeth or older age tended to report greater swallowing

complaints. No significant gender-based differences were observed. Swallowing complaints in adults may reflect early oral health deterioration and age-related changes even in the absence of disease. These findings highlight the importance of regular oral health monitoring and preventive swallowing assessments in the adult population.

Keywords: Swallowing Difficulties, Oral Health, Eat-10, Adults



Makale id= 39

Sözlü Sunum

ORCID ID: 0009-0009-8754-7124 ; 0000-0003-0680-1063

| 87

Ameliyat Sonrası Yara Yeri Enfeksiyonu Bilgi ve Tutum Algıları Ölçeği'nin Geliştirilmesi

Araştırmacı Ayşegül Uğur¹, Dr. Öğretim Üyesi Semra Eyi²

¹Eskişehir Osmangazi Üniversitesi Sağlık Bilimleri Enstitüsü Cerrahi Hastalıklar Hemşireliği Bilim Dalı, Eskişehir, Türkiye

²Eskişehir Osmangazi Üniversitesi Sağlık Bilimleri Fakültesi, Hemşirelik Bölümü, Cerrahi Hastalıklar Hemşireliği Anabilim Dalı, Eskişehir, Türkiye.

*Corresponding author: Semra Eyi

Özet: Bu çalışma “Ameliyat Sonrası Yara Yeri Enfeksiyonu Bilgi ve Tutum Algıları Ölçeği”nin geliştirilmesi amacıyla metodolojik olarak yapıldı. Çalışmada 25 Aralık 2023- 25 Aralık 2024 tarihleri arasında bir eğitim ve araştırma hastanesinin cerrahi kliniklerinde çalışan 334 hemşireden veri toplandı. Veri toplamada ‘Tanıtıcı Bilgiler Formu’, araştırmacı tarafından geliştirilen ‘Ameliyat Sonrası Yara Yeri Enfeksiyonu Bilgi Ve Tutum Algıları Ölçeği’ ve Hemşireler için Basınç Yaralanması Yönetimi Öz Yeterlilik Ölçeği kullanıldı. Araştırma verileri SPSS 25.0 ve AMOS 21 programlarında analiz edilmiştir. Literatür incelemesi sonucu araştırmacı tarafından oluşturulan 52 maddelik ölçek havuzunun kapsam geçerliliğine bakılmış, madde sayısı 40’a düşürülmüştür. Taslak ölçek formu kullanılarak 30 kişiye pilot uygulama yapılmıştır. Taslak ölçeğin faktör analizi için uygunluğu değerlendirilmiştir. Açıklayıcı faktör analizi sonuçlarına göre ölçek 26 madde ve beş boyuttan oluşmuştur. Açıklayıcı faktör analizi, doğrulayıcı faktör analizi, yakınsak-ayrıt edici geçerlilik yöntemleriyle desteklenmiştir. Ölçeğin güvenilirliğinin tespiti için cronbach alfa iç tutarlılık analizi, yarıya bölme metodu ve Hotellings T testi uygulanmış, madde toplam puan korelasyon analizi ve bağımsız gruplar t-testi analizleri ile değerlendirilmiştir. Güvenirlik analizi sonucu Cronbach alfa değeri 0,904 olarak bulunmuştur. Bu sonuçlar doğrultusunda 26 madde ve 5 alt boyuttan oluşan “Ameliyat Sonrası Yara Yeri Enfeksiyonu Bilgi Ve Tutum Algıları Ölçeği” nin hemşireler için kullanılabilecek geçerli ve güvenilir bir ölçek aracı olduğu belirlendi.

Anahtar Kelimeler: Bilgi, Cerrahi Yara Yeri Enfeksiyonu, Ölçek Geliştirme, Tutum

Development of the Postoperative Wound Infection Knowledge and Attitude Perceptions Scale

Abstract: The present study was conducted methodologically with a view to developing the "Postoperative Wound Infection Knowledge and Attitude Perception Scale." A total of 334 nurses employed in the surgical clinics of a teaching and research hospital were the subjects of the data collection process. This data collection took place over the period between 25 December 2023 and 25 December 2024. The data collection process encompassed the utilization of an 'Introductory Information Form', the 'Postoperative Wound Infection Knowledge and Attitude Perception Scale', which was developed by the researcher, and the Pressure Injury Management Self-Efficacy Scale for Nurses. The analysis of the research data was conducted utilizing SPSS 25.0 and AMOS 21 software. A 52-item scale pool was created by the researcher following a literature review. This was then examined for content validity, after which the number of items was reduced to 40. A pilot study was conducted with 30 participants using the draft scale form. The suitability of the draft scale for factor analysis was

evaluated. The results of the exploratory factor analysis indicate that the scale consists of 26 items and five dimensions. Exploratory factor analysis was supported by confirmatory factor analysis and convergent-discriminant validity methods. In order to ascertain the reliability of the scale, a series of analytical procedures were employed. These comprised Cronbach's alpha internal consistency analysis, the split-half method, and Hotelling's T test. In addition, item-total score correlation analysis and independent groups t-test analyses were evaluated. The reliability analysis yielded a Cronbach's alpha value of 0.904. In light of the findings, it was ascertained that the "Postoperative Wound Infection Knowledge and Attitude Perception Scale," comprising 26 items and 5 subdimensions, is a valid and reliable measurement instrument that can be utilized by nurses.

Keywords: Information, Surgical Wound Infection, Scale Development, Attitude



Makale id= 123

Sözlü Sunum

ORCID ID: 0000-0002-2304-6998

| 89

Cerrahi Hastalarında Karşılanamayan Hemşirelik Bakımı İle Bakım Memnuniyeti Arasındaki İlişki

Hemş Merve Türegün¹, Doç.Dr. Esmâ Özşaker²

¹İzmir Tepecik Eğitim Araştırma Hastanesi

²Ege Üniversitesi Hemşirelik Fakültesi

*Corresponding author: Merve Türegün

Özet: Bu çalışma, cerrahi hastalarının karşılanamayan hemşirelik bakım gereksinimleri ile bakım memnuniyeti arasındaki ilişkiyi belirlemek amacıyla yapılmıştır. Tanımlayıcı ve kesitsel tipte yürütülen araştırma, Eylül-Aralık 2024 tarihleri arasında Sağlık Bilimleri Üniversitesi İzmir Tepecik Eğitim ve Araştırma Hastanesi Genel Cerrahi Kliniklerinde gerçekleştirilmiştir. Örneklem büyüklüğü G*Power 3.1 programı ile %95 güç, %5 hata payı ile belirlenmiş; örneklem kaybı göz önünde bulundurularak 102 hasta ile çalışma tamamlanmıştır. Veriler, Hasta Tanıtıcı Bilgi Formu, Newcastle Hemşirelik Bakımından Memnuniyet Ölçeği ve Karşılanamayan Hemşirelik Bakım Gereksinimleri Ölçeği kullanılarak toplanmıştır. Verilerin analizinde SPSS 22.0 programı kullanılmış ve istatistiksel anlamlılık düzeyi $p < 0.05$ olarak kabul edilmiştir. Hastaların Newcastle Hemşirelik Bakım Memnuniyeti puanı ortalaması $82,93 \pm 8,94$; Karşılanamayan Bakım Gereksinimleri puanı ortalaması ise $23,90 \pm 5,66$ olarak belirlenmiştir. Cinsiyet ve eğitim düzeyine göre bazı alt boyutlarda anlamlı fark saptanmıştır. Ölçekler arası ilişki analizinde, bakım memnuniyeti ile karşılanamayan bakım arasında negatif yönlü, orta düzeyde anlamlı ilişki bulunmuştur ($r = -0,502$; $p < 0,001$). Regresyon analizine göre, iletişim alt boyutu memnuniyeti negatif yönde anlamlı şekilde yordarken ($\beta = -0,356$; $p < 0,05$), temel bakım ve toplam karşılanamayan bakım puanları anlamlı yordayıcı değildir. Sonuç olarak, cerrahi hastalarda hemşirelik bakım memnuniyetini artırmak için karşılanamayan bakım unsurlarının azaltılması, özellikle iletişim becerilerinin geliştirilmesi önerilmektedir.

Anahtar Kelimeler: Cerrahi Hasta, Hemşirelik Bakımı, Memnuniyet, İletişim, Karşılanamayan Bakım, Hasta Bakımı

The Relationship Between Missed Nursing Care and Care Satisfaction in Surgical Patients

Abstract: This study aimed to determine the relationship between missed nursing care needs and care satisfaction in surgical patients. Conducted as a descriptive and cross-sectional study, data were collected between September and December 2024 at the General Surgery Clinics of University of Health Sciences İzmir Tepecik Training and Research Hospital. The sample consisted of 102 patients, calculated using G*Power 3.1 with 95% power and 5% margin of error. Data were collected using the Patient Information Form, Newcastle Satisfaction with Nursing Care Scale, and the Missed Nursing Care Needs Scale. Statistical analyses were performed using SPSS 22.0, with $p < 0.05$ considered significant. The mean score for satisfaction with nursing care was 82.93 ± 8.94 , while the mean score for missed care needs was 23.90 ± 5.66 . Significant differences were found in some sub-dimensions based on gender and educational level. A moderate, negative correlation was found between care satisfaction and missed nursing care ($r = -0.502$; $p < 0.001$). Regression analysis revealed that the

communication sub-dimension significantly predicted care satisfaction negatively ($\beta=-0.356$; $p<0.05$), whereas basic care and total missed care scores did not. In conclusion, reducing missed care, particularly improving communication, may enhance patient satisfaction in surgical settings.

Keywords: Surgical Patient, Nursing Care, Satisfaction, Communication, Missed Care, Patient Care



Makale id= 113

Sözlü Sunum

ORCID ID: 0009-0008-8501-3594

| 91

Cerrahi Hemşirelerinin Beslenme Bakımına İlişkin Bilgi Tutum ve Uygulamalarının İncelenmesi

Hemş Öznur Derin¹, Prof.Dr. Fatma Demir Korkmaz²

¹İzmir Bakırçay Üniversitesi Çiğli Eğitim Ve Araştırma

²Ege Üniversitesi Hemşirelik Fakültesi Cerrahi Hastalıkları Hemşireliği AD

*Corresponding author: Öznur Derin

Özet: Amaç: Bu çalışmanın amacı cerrahi hemşirelerinin beslenme bakımına ilişkin bilgi tutum ve uygulamalarının belirlenmesidir. Bulgular: Araştırmada yer alan hemşirelerin ortalama yaşı $33,6 \pm 6,7$ yıl olup, çoğunluğu kadın (%84,7) ve lisans mezunudur (%92,7). Çalıştıkları klinikler arasında anestezi ve reanimasyon yoğun bakım (%25,8) ve ortopedi-travmatoloji (%21) hemşire sayısı oranında ön plana çıkmaktadır. Ortalama toplam hizmet yılı $10,4 \pm 7,1$, çalıştıkları birimdeki ortalama hizmet yılı ise $3,4 \pm 3,4$ 'tür. Hemşirelerin nöbette ve gündüz bakım verdikleri hasta sayısı sırasıyla $10,5 \pm 7,7$ ve $4,4 \pm 2,4$ olup, haftalık ortalama nöbet sayısı $2,8 \pm 0,5$ 'dir. Hemşirelerin beslenmeye yönelik özel aldığı eğitimler sınırlı olup, hemşirelerin küçük bir kısmı sertifika veya başka beslenme programlarına katılmıştır. Çalıştığı klinikte beslenme riski taraması ve antropometrik ölçüm uygulamaları yapan hemşirelerin oranı %19-%23,4 arasında değişmektedir. Hastaların kliniğe kabulü sırasında kilosunu tartan hemşirelerin oranı %22,6 iken, beslenme tanılaması uygulamaları yapan hemşire sayısı sınırlı olup, hemşirelerin %23,4'ü tüm hastalara, %1,6'sı kaşektik veya obez hastalara, %5,6'sı ameliyat olacak hastalara beslenme tanılaması yapmaktadır. Sonuç: Hemşirelerin nütrisyonel bakıma yönelik olumlu bir tutuma ve yüksek algılanan bakım kalitesine sahip olduklarını göstermektedir. Anahtar Kelimeler; Cerrahi, hasta, beslenme, hemşire, bilgi.

Anahtar Kelimeler: Cerrahi, Hasta, Beslenme, Hemşire, Bilgi.

Knowledge and Attitudes of Surgical Nurses Regarding Nutritional Care Review of Application

Abstract: Objective: The aim of this study is to determine surgical nurses' knowledge, attitudes, and practices regarding nutritional care. Findings: The average age of the nurses included in the study was 33.6 ± 6.7 years, the majority were female (84.7%), and most were bachelor's degree graduates (92.7%). Among the clinics where they worked, anesthesia and resuscitation intensive care (25.8%) and orthopedics-traumatology (21%) stood out in terms of the number of nurses. The average total years of service was 10.4 ± 7.1 , and the average years of service in their unit was 3.4 ± 3.4 . The number of patients cared for by nurses on night shift and day shift was 10.5 ± 7.7 and 4.4 ± 2.4 , respectively, and the average number of night shifts per week was 2.8 ± 0.5 . Nurses' specialized training in nutrition is limited, with only a small proportion of nurses having participated in certification or other nutrition programs. The percentage of nurses who perform nutrition risk screening and anthropometric measurements in their clinics ranges from 19% to 23.4%. While 22.6% of nurses weigh patients upon admission to the clinic, the number of nurses performing nutritional assessments is limited: 23.4% of nurses perform nutritional assessments for all patients, 1.6% for cachectic or obese patients, and 5.6%

for patients undergoing surgery. Conclusion: Nurses have a positive attitude towards nutritional care and perceive the quality of care as high.

Keywords: Surgery, Patient, Nutrition, Nurse, Knowledge.



Makale id= 79

Sözlü Sunum

ORCID ID: 0009-0004-4009-2875

| 93

Cerrahi Kliniklerde Çalışan Hemşirelerin Güvenlik İklimi Algısı İle Çalışma Ortamındaki Risklere Karşı Tutumu Arasındaki İlişki

Hemş. Neslişah İpek Akyıldız¹, Doç. Dr. Esmâ Özşaker¹

¹Ege Üniversitesi Hemşirelik Fakültesi

*Corresponding author: Neslisah Akyıldız

Özet: Bu araştırma, cerrahi kliniklerde çalışan hemşirelerin güvenlik iklimi algısı ile çalışma ortamındaki risklere karşı tutumları arasındaki ilişkiyi belirlemek amacıyla yapılmıştır. Tanımlayıcı tipteki bu çalışma, Nisan-Haziran 2024 tarihleri arasında Türkiye genelinde cerrahi kliniklerde görev yapan 384 hemşire ile yürütülmüştür. Veriler, araştırmacı tarafından oluşturulan çevrim içi anket formu aracılığıyla toplanmıştır. Verilerin toplanmasında "Hemşire Tanıtıcı Bilgi Formu", "Hemşirelerin Çalışma Ortamındaki Risklere Karşı Tutumu Ölçeği" ve "Güvenlik İklimi Ölçeği" kullanılmıştır. Elde edilen veriler SPSS 22.0 programı ile analiz edilmiş; tanımlayıcı istatistikler, bağımsız örneklem t-testi, tek yönlü varyans analizi ve Pearson korelasyon testi uygulanmıştır. Hemşirelerin risklere karşı tutum puan ortalaması $3,44 \pm 0,58$, güvenlik iklimi puan ortalaması ise $2,94 \pm 0,75$ olarak saptanmıştır. Kadın hemşirelerin bireysel yaklaşım puanlarının erkeklere göre anlamlı düzeyde yüksek olduğu bulunmuştur ($p<0,05$). Eğitim almış hemşirelerin, mesleki riskler ve çalışan güvenliği konularında daha yüksek tutum ve algıya sahip oldukları görülmüştür ($p<0,05$). Haftalık çalışma süresi 40 saatin altında olan hemşirelerin güvenlik iklimi puanları daha yüksektir ($p<0,05$). Korelasyon analizine göre, güvenlik iklimi algısı ile risklere karşı tutum arasında pozitif yönde, orta ve çok yüksek düzeyde anlamlı ilişki bulunmuştur ($p<0,001$). Sonuç olarak, cerrahi kliniklerde çalışan hemşirelerin güvenlik iklimi algıları, risklere karşı tutumlarıyla yakından ilişkilidir. Bu nedenle hemşirelerin güvenlik kültürü kapsamında düzenli eğitimlerle desteklenmesi önerilmektedir.

Anahtar Kelimeler: Güvenlik İklimi, Cerrahi Hemşireliği, Risk Algısı, Çalışan Güvenliği, Tutum, Eğitim

The Relationship Between Surgical Nurses' Perception of Safety Climate and Their Attitudes Towards Risks in the Working Environment

Abstract: This study was conducted to determine the relationship between surgical nurses' perception of safety climate and their attitudes towards risks in the working environment. Designed as a descriptive study, it was conducted between April and June 2024 with 384 nurses working in surgical clinics across Türkiye. Data were collected through an online questionnaire developed by the researcher, including the "Nurse Introductory Information Form", "Nurses' Attitudes Towards Risks in the Working Environment Scale" and the "Safety Climate Scale". The data were analyzed using SPSS 22.0 with descriptive statistics, independent t-tests, one-way ANOVA, and Pearson correlation analysis. The mean score of attitudes toward workplace risks was 3.44 ± 0.58 , while the mean safety climate score was 2.94 ± 0.75 . Female nurses scored significantly higher on the individual approach subscale than male nurses ($p<0.05$). Nurses who received training on occupational risks and employee

safety had significantly higher scores in both individual and institutional approaches ($p<0.05$). Nurses working less than 40 hours per week reported higher safety climate scores ($p<0.05$). A positive, moderate to very high correlation was found between nurses' perceptions of safety climate and their attitudes toward risks ($p<0.001$). In conclusion, the perception of safety climate among surgical nurses is closely related to their attitudes towards occupational risks. Regular training programs on occupational safety are essential to fostering a positive safety culture.

Keywords: Safety Climate, Surgical Nursing, Risk Perception, Employee Safety, Attitude, Training



Makale id= 183

Sözlü Sunum

ORCID ID: 0009-0001-2883-0116

| 95

Çocuk Hemşirelerinin Kanıta Dayalı Hemşireliğe ve Yenilikçiliğe Yönelik Tutumları: Kesitsel ve Korelasyonel Çalışma

Araştırmacı Cansın Çiçek¹, Doç.Dr. Müjde Çalığı İnecar², Uzman Ayşe Kan³, Uzman Dr. Furkan Kalaycı³

¹Yüksek İhtisas Üniversitesi, Lisansüstü Eğitim Enstitüsü

²Lokman Hekim Üniversitesi Çocuk Sağlığı ve Hastalıkları Anabilim Dalı

³Ankara Bilkent Şehir Hastanesi Çocuk Hastanesi

*Corresponding author: Cansın Çiçek

Özet: Giriş: Çocuk kliniklerinde çalışan hemşirelerin kanıta dayalı hemşirelik ve yenilikçilik tutumları çocuklara uyguladıkları bakımı etkileyebileceğinden önem arz etmektedir ve literatürdeki yetersizlik bu durumu olumsuzla çevirmektedir. Bu nedenle çalışmamızın literatüre katkı sağlayacağı düşünülmektedir. Bu çalışma çocuk kliniklerinde çalışan hemşirelerin kanıta dayalı hemşireliğe ve yenilikçiliğe yönelik tutumlarını belirlemek amacıyla yapılmıştır. Yöntem: Bu çalışma Mart 2025 ile Ağustos 2025 tarihleri arasında, tanımlayıcı ilişki arayıcı bir tasarım olarak, Ankara Bilkent Şehir Hastanesi bünyesinde yer alan çocuk kliniklerinde çalışan 161 çocuk hemşiresi ile yapılmıştır. Çalışmada Tanıtıcı Bilgi Formu, Kanıta Dayalı Hemşireliğe Yönelik Tutum Ölçeği (KDHYTÖ) ve Bireysel Yenilikçilik Ölçeği (BYÖ) kullanılmıştır. Yüksek İhtisas Üniversitesi Sağlık Bilimleri Araştırma Etik kurulundan etik izin, Ankara Bilkent Şehir Hastanesi 2 Nolu Tıbbi Araştırmalar Bilimsel ve Etik Değerlendirme Kurulu (TABED)'den etik izin, ölçek sahiplerinden e-mail yoluyla izin ve hemşirelerden yazılı onam alınmıştır. Anket doldurma süresi 10-15 dakikadır. Elde edilen verilerin analizi için IBM SPSS Statistics 22 kullanılmıştır. Anlamlılık düzeyi p

Anahtar Kelimeler: Çocuk, Çocuk Hemşireliği, Hemşirelik, Kanıta Dayalı Hemşirelik, Yenilikçilik

Makale id= 12

Sözlü Sunum

ORCID ID: 0009-0002-84-21-0648

| 96

Çocuklarda Dental Tedaviye Bağlı Ağrı ve Korkunun Azaltılmasında Kullanılan Nonfarmakolojik Yöntemler

Hemş Sümeyye Tokmak¹, Doç.Dr.Elif Bilsin Kocamaz²

¹Diyarbakır Kadın Hastalıkları Doğum ve Çocuk Hastalıkları Hastanesi

²Dicle Üniversitesi Atatürk Sağlık Bilimleri Fakültesi

Özet: Dental tedaviler, özellikle çocuk hastalarda ağrı, korku ve anksiyeteye neden olan tıbbi müdahaleler arasında yer almaktadır. Çocuklarda dental korku ve anksiyete, yalnızca işlem sırasında değil, uzun vadede ağız ve diş sağlığı hizmetlerine karşı olumsuz tutum geliştirmelerine de neden olabilmektedir. Bu nedenle, çocukların dental tedavi süreçlerinde korku ve ağrıyı azaltmaya yönelik etkili non-farmakolojik yöntemlerin geliştirilmesi büyük önem taşımaktadır. Non-farmakolojik yöntemler son yıllarda giderek daha fazla kullanılmakta ve olumlu etkiler sağlamaktadır. Non-farmakolojik yöntemler; çocukların dikkatini işlemden uzaklaştırarak, algılanan ağrı ve korkunun azaltılmasını hedefleyen, yan etkisiz ve uygulanması kolay stratejilerden oluşmaktadır. Bu yöntemler arasında dikkat dağıtma teknikleri (kaleydoskop, çizgi film, sanal gerçeklik vb.), gevşeme egzersizleri, rehberli imgeleme, hikâye anlatımı, oyun temelli uygulamalar ve müzik terapisi yer almaktadır. Görsel-işitsel dikkat dağıtma yöntemleri, çocukların ilgisini işlem dışı uyaranlara yönlendirerek, ağrı algısını ve davranışsal olumsuz tepkileri azaltmada oldukça etkilidir. Örneğin, kaleydoskop kullanımı renkli ve sürekli değişen desenleriyle çocuğun görsel dikkatini yoğunlaştırırken, çizgi film izletilmesi çocukların tanıdık ve keyifli içeriklere odaklanmasını sağlar. Bunun yanı sıra, sanal gerçeklik uygulamaları çocukları üç boyutlu etkileşimli bir dünyaya taşıyarak işlem ortamından zihinsel olarak uzaklaştırır. Ayrıca bu teknikler düşük maliyetli, kolay ulaşılabilir ve yan etkisiz olmaları nedeniyle dental tedavideye rahatlıkla entegre edilebilmektedir. Sonuç olarak, dental tedavi sırasında çocuklarda ağrı ve korkunun azaltılması amacıyla kullanılan non-farmakolojik yöntemler, hem çocukların psikolojik iyilik halini desteklemekte hem de tedavi sürecinin sorunsuz ilerlemesine katkı sağlamaktadır.

Anahtar Kelimeler: Anahtar Kelimeler: Çocuk, Dental Tedavi, Ağrı, Korku, Nonfarmakolojik Yöntemler

Non-Pharmacological Methods Used to Reduce Pain and Fear Associated With Dental Treatment in Children

Abstract: Dental treatments are among the medical interventions that cause pain, fear, and anxiety, especially in pediatric patients. Dental fear and anxiety in children can lead to negative attitudes toward oral and dental health services not only during the procedure but also in the long term. Therefore, developing effective non-pharmacological methods to reduce fear and pain during dental treatment is of great importance. Non-pharmacological methods have been increasingly used in recent years and have positive effects. Non-pharmacological methods consist of side-effect-free and easy-to-implement strategies that aim to reduce perceived pain and fear by diverting children's attention from the procedure. These methods include distraction techniques (kaleidoscopes, cartoons, virtual reality, etc.), relaxation exercises, guided imagery, storytelling, game-based practices, and music therapy. Audiovisual distraction methods are highly effective in reducing pain perception and behavioral negative reactions by directing children's attention to stimuli outside of the procedure. For example, using a kaleidoscope,

with its colorful and constantly changing patterns, focuses children's visual attention, while watching cartoons allows children to focus on familiar and enjoyable content. Furthermore, virtual reality applications transport children to a three-dimensional interactive world, mentally removing them from the operating environment. Furthermore, these techniques are cost-effective, easily accessible, and have no side effects, making them easily integrated into dental treatment. Consequently, non-pharmacological methods used to reduce pain and fear in children during dental treatment both support their psychological well-being and contribute to the smooth progress of the treatment process.

Keywords: Keywords: Child, Dental Treatment, Pain, Fear, Non-Pharmacological Methods



Makale id= 142

Sözlü Sunum

ORCID ID: 0000-0001-8318-3030

| 98

Hemşirelik Bölümü Öğrencilerinin Gelecekteki İstihdam Edilebilirlik Algılarının Değerlendirilmesi

Dr. Öğretim Üyesi Fatma Demirkaya¹
¹Yalova Üniversitesi

Özet: Günümüzde gençler eğitimini aldıkları sektörde istihdam edilebilmeyi beklemektedir. Bu sektörlerden biri sağlık hizmetleridir. Toplum sağlığının korunması ve geliştirilmesinde rol oynayan sağlık hizmetini veren en kalabalık meslek grubu hemşireliktir. Hemşire adaylarının mesleğe bakış açıları toplum sağlığının korunması ve geliştirilmesi açısından oldukça önemlidir. Hemşirelik, hastalarla doğrudan teması ve içerdiği hayat kurtarıcı müdahaleler nedeniyle hata toleransı düşük bir meslektir. Bu nedenle nitelikli iş gücüne ihtiyaç duymaktadır. Profesyonel, gelişime açık, çağın ve mesleğin gerektirdiği bilimsel ve teknolojik gelişmelere uyum sağlayabilen, kaliteli hasta bakımının sağlanmasında etkin ve verimli rol oynayabilen hemşirelerin sağlık iş gücüne katılabilmesi için üniversitedeki hemşirelik öğrencilerinin istihdam edilebilirliklerinin farkında olmaları gerekmektedir. Bu çalışmada amaç hemşirelik bölümünde okuyan üniversite öğrencilerinin gelecekteki istihdam edilebilirlik algılarını incelemektir. Tanımlayıcı ve kesitsel olarak tasarlanan bu çalışmada veri toplama aracı olarak Kişisel Özellikler Formu ve Algılanan Gelecekteki İstihdam Edilebilirlik Ölçeği kullanılmıştır. Çalışma evreni bir kamu üniversitesinin Sağlık Bilimleri Fakültesi Hemşirelik Bölümü öğrencileridir (n=350). Minimum örneklem büyüklüğü çevrimiçi ortamda hesaplanmış ve 184 olarak belirlenmiştir. Nihai örnelemi 267 öğrenci oluşturmuştur. Veriler 2 Mayıs-2 Haziran 2025 tarihleri arasında yüz yüze görüşmeler yoluyla toplanmıştır. Öğrencilerin hemşireliği istihdama giden bir fırsat olarak değerlendirdiği, bundan dolayı gelecekteki istihdam edilebilirlik algılarının yüksek olduğu, kamu sektörünü istihdam fırsatı olarak düşündükleri bulunmuştur. Bu durumun gelecekte mezun sayısında yığılmalara yol açabileceği düşünüldüğünden sağlıkta insan kaynakları politikalarının gözden geçirilmesi önerilmektedir.

Anahtar Kelimeler: İstihdam Edilebilirlik, Nitelikli İşgücü, Algılanan İstihdam

Assessment of Nursing Students' Perceptions of Future Employability

Abstract: Today, young people expect to be employed in the sector in which they received their education. One of these sectors is health services. Nursing is the most crowded occupational group that provides health services that play a role in the protection and development of public health. The perspectives of prospective nurses on the profession are very important in terms of protecting and improving public health. Nursing is a profession with low fault tolerance due to its direct contact with patients and the life-saving interventions it involves. Therefore, it needs a qualified workforce. In order for nurses who are professional, open to development, able to adapt to scientific and technological developments required by the age and profession, and who can play an effective and efficient role in providing quality patient care to participate in the health workforce, nursing students at universities should be aware of their employability. The aim of this study is to examine the future employability perceptions of university students studying in the department of nursing. In this descriptive and cross-

sectional study, Personal Characteristics Form and Perceived Future Employability Scale were used as data collection tools. The study population was the students of the Nursing Department of the Faculty of Health Sciences of a public university (n=350). The minimum sample size was calculated online and determined as 184. The final sample consisted of 267 students. Data were collected through face-to-face interviews between May 2 and June 2, 2025. It was found that students considered nursing as an opportunity leading to employment, therefore their perception of future employability was high, and they considered the public sector as an employment opportunity. Since it is thought that this situation may lead to backlogs in the number of graduates in the future, it is recommended that human resources policies in health be reviewed.

Keywords: Employability, Skilled Labour Force, Perceived Employment



Makale id= 5

Sözlü Sunum

ORCID ID: 0000-0001-9392-2423

| 100

Hemşirelik Öğrencilerinin Stres Düzeyleri İle Klinik Performans Özyeterlik Düzeyleri Arasındaki İlişkinin İncelenmesi

Dr. Öğretim Üyesi Sibel Altıntaş¹, Hemşire Gamze Ay¹, Hemşire Zehra Recepkethüda¹

¹Bartın Üniversitesi, Sağlık Bilimleri Fakültesi, Hemşirelik Bölümü

Özet: Amaç: Araştırmamızın amacı, hemşirelik öğrencilerinin stres düzeyleri ile klinik performans öz-yeterlik düzeyleri arasındaki ilişkiyi incelemektir. Gereç ve Yöntem: Tanımlayıcı, kesitsel tipte ve korelasyonel araştırmamızın ulaşılabilir evrenini, Bartın Üniversitesi Hemşirelik Bölümü'nde öğrenim gören hemşirelik öğrencileri oluşturmuştur. Raosoft programında evren bilinen örneklem hesaplama yöntemi çalışmanın örneklemini 209 olarak belirlenmiştir. Veriler, "Öğrenci Tanılama Formu", "Hemşirelik Öğrencileri için Algılanan Stres Ölçeği (HÖASÖ)" ve "Klinik Performansta Öz-Yeterlik Ölçeği" kullanılarak ile çevrim içi anket yöntemi ile toplanmıştır. Veriler 173 (%82) öğrenci ile toplanmıştır. Verilerin analizinde SPSS 26.0 programı kullanılmıştır. Bulgular: Öğrencilerin yaş ortalaması 21,23±2,44 olup %72,8'i kadın, %43,9'u üçüncü sınıf öğrencisidir. Klinik Performansta Öz-Yeterlik Ölçeği toplam puan ortalaması 254,60±59,82; Algılanan Stres Ölçeği puan ortalaması ise 100,68±8,77 olarak bulunmuştur. Dördüncü sınıf öğrencilerinin klinik öz-yeterlik düzeyleri istatistiksel olarak anlamlı şekilde daha yüksek bulunmuştur (p0,9; p

Anahtar Kelimeler: Hemşirelik Öğrencileri, Klinik Performans, Öz-Yeterlik, Stres

Examination of the Relationship Between Nursing Students' Stress Levels and Their Clinical Performance Self-Efficacy

Abstract: Aim: The aim of our study is to examine the relationship between nursing students' stress levels and their self-efficacy in clinical performance. Materials and Methods: This is a descriptive, cross-sectional, and correlational study. The accessible population consisted of nursing students studying at Bartın University, Faculty of Nursing. Based on the known population sample calculation using the Raosoft program, the sample size was determined as 209. Data were collected via an online survey using the "Student Identification Form," the "Perceived Stress Scale for Nursing Students (PSSNS)," and the "Self-Efficacy for Clinical Performance Scale." Data were gathered from 173 students (82%). SPSS 26.0 was used for data analysis. Results: The average age of the students was 21.23±2.44; 72.8% were female and 43.9% were third-year students. The mean total score of the Self-Efficacy for Clinical Performance Scale was 254.60±59.82, while the mean score of the Perceived Stress Scale was 100.68±8.77. Fourth-year students had significantly higher self-efficacy levels in clinical performance (p0.9; p

Keywords: Nursing Students, Clinical Performance, Self-Efficacy, Stress

Makale id= 201

Sözlü Sunum

ORCID ID: 0000-0002-3026-3675

| 101

Lomber Disk Cerrahisi Sonrası Ağrı, Fonksiyonellik ve Yara İyileşmesi Üzerine I-Şekilli Kinezyo Bantlamanın Etkisi: Randomize Kontrollü Deneysel Araştırma

Uzman Gülşah Bilgin¹, Doç.Dr. Emine Öncü², Prof.Dr. Melih Çekinmez³

¹Adana Şehir Eğitim Araştırma Hastanesi

²Mersin Üniversitesi

³Beyin ve Sinir Cerrahisi Kliniği

*Corresponding author: Gülşah Bilgin

Özet: Giriş ve Amaç: Kinezyo bantlama genellikle tamamlayıcı bir tedavi olarak kullanılmaktadır, ancak sonuçları önemli ölçüde değişkenlik gösterebilmektedir. Bu çalışma, lomber disk cerrahisi geçiren hastalarda "I" şeklindeki kinezyo bantlamanın ağrı düzeyi, fonksiyonellik ve yara iyileşmesi üzerindeki etkilerini değerlendirmeyi amaçlamaktadır. Tasarım: Plasebo kontrollü randomize kontrollü deneysel çalışma. Yer: Bir kamu hastanesi. Katılımcılar: Lomber disektomi geçiren, yaşları 20–65 arasında değişen 80 hasta (n = 80), rastgele olarak Kinezyo veya Plasebo grubuna atanmıştır. Girişim: Kinezyo grubuna, ameliyattan 24 saat sonra ve post-operatif 5., 10., 15. ve 20. günlerde "I" şeklinde kinezyo bant uygulanmıştır. Plasebo grubuna ise plasebo bantlama yapılmıştır. Temel Ölçümler: Görsel Analog Skala (VAS), ilaç kullanımı, Oswestry Özürlülük İndeksi, Fonksiyonel Bel Ağrısı Ölçeği ve yara iyileşmesi; ameliyat sonrası 1., 5., 10., 15. ve 30. günlerde değerlendirilmiştir. Çalışma için etik kurul onayı (07.04.2022/ 1875), kurum izni (25.05.2021/ E-96.172.664-050.06.04) ve katılımcılardan yazılı bilgilendirilmiş gönüllü oluru alınmıştır. Bulgular: Her iki grupta da zaman açısından anlamlı etkiler gözlenmiştir. Kinezyo grubunda ağrı, analjezik kullanımı ve engellilikte azalma; fonksiyonellikte ise artış saptanmıştır (etki büyüklüğü $\eta^2 = 0.435-0.713$, $p < 0.001$). Plasebo grubunda da benzer değişiklikler gözlenmiştir (etki büyüklüğü $\eta^2 = 0.567-0.714$, $p < 0.001$). Grup, zaman ve grup X zaman etkileşimi açısından anlamlı fark bulunmamıştır ($p > 0.05$). Sonuç: Lomber disk cerrahisi sonrası kinezyo bantlamanın, ağrı kontrolü, analjezik kullanımının azaltılması, engellilikte azalma ve yara iyileşmesi açısından anlamlı bir avantaj sağlamadığı belirlenmiştir. Bu araştırma Mersin Üniversitesi Bilimsel Araştırmalar Proje Birimi tarafından bilimsel olarak desteklenmiştir (Project Numarası: 2022-1-TP2-4653).

Anahtar Kelimeler: Kinezyo Bantlama, Ağrı, Fonksiyonellik, Yara İyileşmesi, Lomber Disk Cerrahisi.

The Effect of I-Shaped Kinesiotaping On Pain, Functionality, and Wound Healing After Lumbar Disc Surgery: A Randomised Controlled Trial

Abstract: Background and Aim: Kinesiotape is commonly used as a complementary therapy, but its results can vary substantially. This study aims to evaluate the effects of 'I'-shaped kinesiotaping on patients' pain levels, functionality, and wound healing after lumbar disc surgery. Design: Placebo-randomized controlled trial. Settings: A public hospital. Participants: Eighty patients undergoing lumbar discectomy, aged 20–65 (n = 80), were randomly assigned to either the Kinesio or Placebo Group. Intervention: The Kinesio Group had 'I'-shaped kinesiotape applied 24 hours after surgery and on postoperative days 5, 10, 15, and 20, while the Placebo Group received placebo taping. Main Measures:

The Visual Analog Scale, medication usage, Oswestry Disability Index, Functional Low Back Pain Scale, and wound healing were assessed on the 1st, 5th, 10th, 15th, and 30th days post-surgery. Ethics committee approval (07.04.2022/1875), institutional permission (25.05.2021/E-96.172.664-050.06.04), and written informed consent from all participants were obtained for the study. Results: Significant time effects were observed for both groups, with the Kinesio Group showing reductions in pain, analgesic use, and disability, along with improvements in functionality (effect size $\eta^2 = 0.435-0.713$, $p < 0.001$). The Placebo Group showed similar changes (effect size $\eta^2 = 0.567-0.714$, $p < 0.001$). No significant group or interaction effects were found. Conclusions: Post-lumbar disc surgery, kinesiотaping did not show significant advantages in pain control, analgesic use reduction, disability improvement, or wound healing (This work was supported by the Mersin University Scientific Research Projects Unit (Project Number: 2022-1-TP2-4653)).

Keywords: Kinesiотaping, Pain, Functionality, Wound Healing, Lumbar Disc Surgery.



Makale id= 53

Sözlü Sunum

ORCID ID: <https://orcid.org/0000-0001-5322-4081>

| 103

Makine Öğrenmesi Modelleri Kullanarak Hastanede Gerçekleşen Hasta Düşmelerinin Tahmin Edilmesi: Retrospektif Bir Araştırma

Dr. Öğretim Üyesi Veysel Karani Barış¹, Prof.Dr. Burcu Hüdaverdi¹

¹Dokuz Eylül Üniversitesi

*Corresponding author: Veysel Karani Barış

Özet: Hasta düşmeleri yaygın ve önlenabilir tıbbi hatalardandır; ancak birçok faktörden etkilendikleri için tahmin edilmeleri zordur. Geleneksel risk araçları sınırlı kalırken, elektronik sağlık kaydı tabanlı makine öğrenmesi modelleri daha güçlü tahmin performansı sunmaktadır. Bu çalışmanın amacı, bir üniversite hastanesinde yaşanan hasta düşmelerini tahmin etmede çeşitli makine öğrenmesi modellerini değerlendirmektir. Retrospektif vaka-kontrol tasarıma sahip araştırma Türkiye'deki bir üniversite hastanesinde 2017-2023 yılları arasında yürütülmüştür. Hasta düşmeleri (n = 518) tıbbi hata bildirimlerinden belirlendi, kontroller (n = 3121) ise aynı dönemde aynı kliniklerde yatan ancak düşmeyen hastalar arasından rastgele seçildi. Tahmin değişkenleri arasında demografik özellikler, hastanede kalış süresi, klinik, eşlik eden hastalıklar (Charlson Komorbidite İndeksi), düşme riski taşıyan ilaçlar ve laboratuvar sonuçları yer aldı. Eksik veriler çoklu imputasyon yöntemiyle tamamlandı, sınıf dengesizliği ise SMOTE-NC ile giderildi. Test edilen modeller SVM, Random Forest, XGBoost, Lojistik Regresyon, Karar Ağacı, Yapay Sinir Ağı (ANN) ve Random Forest Quantile Classifier (RFQC) olup, hiperparametreler beşli cross validation ile optimize edildi. Performans; doğruluk, duyarlılık, özgüllük ve AUROC ile değerlendirildi. Temel yordayıcılar CCI skorları, düşme riski taşıyan ilaçlar ve denge bozuklukları oldu. En iyi performansı XGBoost sağladı (AUROC = 0.874). XGBoost, Random Forest ve Karar Ağacı yüksek duyarlılık gösterirken özgüllükleri daha düşüktü; RFQC ise daha dengeli bir duyarlılık-özgüllük dengesi sundu. ANN ve SVM orta düzeyde performans gösterdi, SVM en zayıf model oldu. Sonuç olarak, EHR tabanlı ML modelleri, özellikle XGBoost, yatan hasta düşmelerini etkili biçimde öngörebilmektedir. RFQC, klinik uygulamaya uygun dengeli bir performans sağlamakta, bu modellerin proaktif düşme riski belirlemede kullanılabileceğini göstermektedir. Daha geniş doğrulama çalışmaları, klinik uygulamaya entegrasyon için gereklidir.

Anahtar Kelimeler: Hasta Düşmesi, Makine Öğrenmesi, Hasta Güvenliği

Predicting Inpatient Falls Using Machine Learning Models: A Retrospective Study

Abstract: Patient falls are common and preventable hospital errors yet predicting them remains difficult due to multifactorial causes. Traditional risk tools are limited, whereas electronic health record (EHR)-based machine learning (ML) models offer stronger predictive performance. This study aimed to evaluate several ML models for inpatient fall prediction in a tertiary hospital. We conducted a retrospective case-control study at a university hospital in Türkiye (2017–2023). Falls (n = 518) were identified from medical error reports, and controls (n = 3121) were randomly selected from concurrent inpatients. Predictors included demographics, length of stay, department, comorbidities (Charlson Comorbidity Index, CCI), fall-risk medications, and lab results. Missing data were handled via multiple imputation, and class imbalance was addressed with SMOTE-NC. Models tested were SVM, Random Forest, XGBoost, Logistic Regression, Decision Tree, ANN, and Random Forest Quantile Classifier

(RFQC), with hyperparameters optimized through five-fold cross-validation. Performance was assessed with accuracy, sensitivity, specificity, and AUROC. Key predictors were CCI scores, fall-risk medications, and balance disorders. XGBoost achieved the best performance (AUROC = 0.874). While XGBoost, Random Forest, and Decision Tree models showed high sensitivity but lower specificity, RFQC offered a more balanced trade-off. ANN and SVM performed moderately, with SVM weakest overall. EHR-based ML models, particularly XGBoost, effectively predict inpatient falls. RFQC provides balanced sensitivity and specificity, supporting clinical applicability. These models can enhance proactive fall-risk identification and warrant further validation for implementation.

Keywords: Patient Falls, Machine Learning, Patient Safety



Makale id= 141

Sözlü Sunum

ORCID ID: 0000-0003-0049-2669

| 105

Problem Tabanlı Öğrenme ve Zihin Haritalama Yönteminin Hemşirelik Girişimlerini Belirleme Üzerine Etkisi

Dr. Öğretim Üyesi Aysun Acun¹
¹Bilecik Şeyh Edebali Üniversitesi

Özet: Amaç: Hemşirelik öğrencilerinde, problem tabanlı öğrenme ve zihin haritalama yönteminin hemşirelik girişimlerini belirleme üzerine etkisinin değerlendirilmesi amaçlanmıştır. Yöntem: Bu araştırma, açık etiketli ön test-son test uygulanan randomize kontrollü bir çalışmadır. Araştırma deney ve kontrol grubundan oluşan toplam 102 öğrenci ile gerçekleştirilmiştir. Araştırmada veriler “Öğrencilere İlişkin Tanıtıcı Özellikler Formu”, “Hemşirelik Süreci Bilgi Testi” ve “Öz-yönetimli Öğrenme Becerileri Ölçeği” kullanılarak toplanmıştır. Bulgular: Deney grubunun, son test ve izlem testi bilgi puanlarının kontrol grubuna göre istatistiksel açıdan anlamlı derecede yüksek ($p=0.000$) ve farkın yüksek etkiye ($d=4.65$) sahip olduğu belirlenmiştir. Öz-yönetimli Öğrenme Becerileri Ölçeği toplam puanı ve tüm alt boyutları incelendiğinde, deney grubunun kontrol grubuna göre ön test ve son test puanları arasında anlamlı bir artış tespit edilmiştir ($p=0.000$; p

Anahtar Kelimeler: Hemşirelik Eğitimi, Hemşirelik Öğrencileri, Hemşirelik Süreci, İnteraktif Öğrenme, Problem Tabanlı Öğrenme, Zihin Haritalama

The Effect of Problem-Based Learning and Mind Mapping Method On Identifying Nursing Interventions

Abstract: Aim: It was aimed to evaluate the effect of problem-based learning and mind mapping method on identifying nursing interventions in nursing students. Methods: This study is an open-label pretest-posttest randomized controlled trial. The study was conducted with a total of 102 students in the experimental and control groups. Data were collected using “Characteristics Form for the Student Group”, “Knowledge Test for the Nursing Process” and “Self-directed Learning Skills Scale”. Results: The post-test and follow-up test knowledge scores of the experimental group were statistically significantly higher than the control group ($p=0.000$) and the difference had a high effect ($d=4.65$). When the total score and all sub-dimensions of the Self-Directed Learning Skills Scale were analyzed, a significant increase was found between the pre-test and post-test scores of the experimental group compared to the control group ($p=0.000$; p

Keywords: Interactive Learning, Mind Mapping, Nursing Education, Nursing Students, Nursing Process, Problem-Based Learning

Makale id= 59

Sözlü Sunum

ORCID ID: 0000-0002-2636-8992

| 106

Yenidoğan Yoğun Bakım Ünitesinde Bebeği Yatan Annelerin Algıladıkları Stres ve Hemşire Desteği İle İletişim Algısı Arasındaki İlişki

Dr. Öğretim Üyesi Fatma Bozdağ¹

¹Harran Üniversitesi

Özet: Amaç: Bebeği yenidoğan yoğun bakım ünitesinde yatan annelerin stres düzeyleri yüksektir. Bebeklerin evdeki primer bakım vericisi anne iken yenidoğan yoğun bakım ünitesinde hemşiredir. Bu nedenle hemşirelerin annelere desteği ve iletişimi oldukça önemlidir. Bu araştırma yenidoğan yoğun bakım ünitesinde bebeği yatan annelerin algıladıkları stres ve hemşire desteği ile iletişim algısı arasındaki ilişkinin incelenmesi amacıyla yapılmıştır. Yöntem: Türkiye'nin Güneydoğu Anadolu Bölgesinde yer alan bir eğitim ve araştırma hastanesinin yenidoğan yoğun bakım ünitesinde bebeği yatan 278 anne ile tanımlayıcı tipte yürütülmüştür. Veriler Anne-Baba Stres Ölçeği, Ebeveyn Personel İletişimi Algıları Ölçeği ve Hemşire Ebeveyn Destek Ölçeği kullanılarak elde edilmiştir. Verilerin analizinde Pearson korelasyon ve PATH analizi yapılmıştır. Bulgular: Annelerin %57.2'sinin ortaöğretim düzeyinde eğitime sahip olduğu, %88.5'nin çalışmadığı ve %70.1'nin sağlık sigortasına sahip olduğu belirlenmiştir. Annelerin %85.6'sı gelir düzeyinin iyi olduğunu, %65.5'i köyde yaşadığını ve %71.9'nu 2-3 günde bir bebeğini ziyaret ettiğini ifade etmiştir. Annelerin anne-baba stres ölçeği ile yenidoğan yoğun bakım ünitesi ebeveyn personel iletişimi algıları ve hemşire-ebeveyn destek ölçeği arasında negatif yönde istatistiksel olarak anlamlı ilişki olduğu belirlenmiştir (r:-0.398 p

Anahtar Kelimeler: Anne, Stres, Hemşire, Destek, İletişim Algısı, Yenidoğan Yoğun Bakım

The Relationship Between Perceived Stress and Perception of Communication by Mothers Whose Babies Are Hospitalized in the Neonatal Intensive Care Unit

Abstract: Objectives: Mothers with infants in the neonatal intensive care unit experience high stress levels. While mothers are the primary caregivers of infants at home, nurses in the neonatal intensive care unit are often the primary caregivers. Therefore, nurses' support and communication with mothers are crucial. This study was conducted to examine the relationship between perceived stress, nurse support, and perceived communication among mothers with infants in the neonatal intensive care unit. Methods: A descriptive study was conducted with 278 mothers whose infants were in the neonatal intensive care unit of a training and research hospital located in the Southeastern Anatolia Region of Turkey. Data were collected using the Parent Stress Scale, Parent-Staff Communication Perceptions Scale, and Nurse-Parent Support Scale. Data were analyzed using Pearson correlation and PATH analysis. Results: 57.2% of the mothers had a secondary education, 88.5% were unemployed, and 70.1% had health insurance. 85.6% of the mothers reported having a good income, 65.5% living in a village, and 71.9% visiting their infants every 2-3 days. A statistically significant negative correlation was found between the mothers' perceptions of parent-teacher communication in the neonatal intensive care unit (NICU), parent-teacher communication, and the nurse-parent support scale (r: -0.398, p

Keywords: Mother, Stress, Nurse, Support, Communication Perception, Neonatal Intensive Care

Makale id= 27

Sözlü Sunum

ORCID ID: 0000-0002-6113-3259

| 107

Üremenin Ötesinde: Polikistik Over Sendromlu Kadınlarda Vasküler ve Metabolik Riskler

Exp. Dr. Yusuf Karadeniz¹

¹Karaman Eğitim ve Araştırma Hastanesi, Endokrinoloji ve Metabolizma Hastalıkları Kliniği

Özet: Amaç: Polikistik over sendromu (PCOS), üreme, metabolik ve kardiyovasküler bozukluklarla karakterize yaygın bir endokrin hastalıktır. Subklinik kardiyometabolik riskin erken dönemde tespiti, uzun dönem komplikasyonların önlenmesi açısından kritik öneme sahiptir. Bu çalışmanın amacı, PCOS tanılı kadınlar ile sağlıklı kontroller arasında demografik, antropometrik, kardiyometabolik ve hormonal parametreleri karşılaştırmak ve metabolik risk indekslerinin tanısal performansını değerlendirmektir. Yöntem: Toplam 80 kadın incelendi (40 PCOS, 40 kontrol). Demografik, antropometrik, hemodinamik, metabolik ve hormonal parametreler kaydedildi. Trigliserid-glukoz indeksi (TyG), visseral adipozite indeksi (VAI) ve lipid akümülyasyon ürün skoru (LAP) hesaplandı. Karotis intima-media kalınlığı (cIMT) ve pulse wave velocity (PWV) vasküler belirteçler olarak ölçüldü. Tanısal doğruluk ROC analizi ile değerlendirildi. Bulgular: PCOS tanılı kadınlar, kontrollerle karşılaştırıldığında daha yüksek vücut ağırlığı, beden kitle indeksi, bel ve kalça çevresi, sistolik ve diyastolik kan basıncı, cIMT ve PWV değerlerine sahipti (tüm p

Anahtar Kelimeler: Kardiyometabolik Risk, Polikistik Over Sendromu, Roc Analizi

Beyond Reproduction: Vascular and Metabolic Risks in Women With Polycystic Ovary Syndrome

Abstract: Background: Polycystic ovary syndrome (PCOS) is a prevalent endocrine disorder characterized by reproductive, metabolic, and cardiovascular abnormalities. Early detection of subclinical cardiometabolic risk is essential to prevent long-term complications. This study aimed to compare demographic, anthropometric, cardiometabolic, and hormonal parameters between women with PCOS and healthy controls, and to evaluate the diagnostic performance of surrogate metabolic risk indices. Methods: Eighty women were evaluated (40 PCOS, 40 controls). Demographic, anthropometric, hemodynamic, metabolic, and hormonal parameters were recorded. Surrogate indices—triglyceride-glucose index (TyG), visceral adiposity index (VAI), and lipid accumulation product (LAP)—were calculated. Carotid intima-media thickness (cIMT) and pulse wave velocity (PWV) were measured as vascular markers. Receiver operating characteristic (ROC) analysis was performed to assess diagnostic accuracy. Results: Women with PCOS exhibited significantly higher weight, body mass index, waist and hip circumferences, systolic and diastolic blood pressure, cIMT, and PWV compared with controls (all p

Keywords: Cardiometabolic Risk, Polycystic Ovary Syndrome, Roc Analysis

Makale id= 70

Poster Sunum

ORCID ID: 0000-0001-9593-2502

| 108

From Proteinuria to Dialysis: A Case of Pregnancy-Associated Renal Failure in a Young Woman With Ckd

Dr. Haris Sulejmani¹, Prof.Dr. Svetlana Pavleska-Kuzmanovska², Assoc.prof.Dr. Aleksandra Gavrilovska Brzanov³, Asst.Prof.Dr. Nikola Brzanov³, Prof.Dr. Marija Jovanovski Sreca³, Asst.Prof.Dr. Martina Ambardjieva⁴

¹Faculty of Medicine, Ss.Cyril and Methodius, Skopje, RN Macedonia

²University Clinic of Nephrology, Faculty of Medicine, Ss Cyril and Methodius University, Skopje, Republic of North Macedonia

³University Clinic for Traumatology, Orthopedics, Anesthesiology, Resuscitation, Intensive Care and Emergency Center- Skopje, Department of Anesthesiology, Resuscitation and Intensive Care Medicine, University of St. Cyril and Methodius - Skopje, Faculty of Medicine

⁴University Clinic for Surgical Disease, Ss. Naum Ohridski, Skopje, RN Macedonia

*Corresponding author: Aleksandra Gavrilovska Brzanov

Özet: Introduction: Pregnancy in women with chronic kidney disease (CKD) is associated with high maternal and fetal risk. Distinguishing CKD progression from preeclampsia or pregnancy-associated acute kidney injury (PrAKI) is often difficult due to overlapping features. Case Presentation: We report a 24-year-old woman with long-standing proteinuria who presented with severe hypertension, elevated creatinine, and LDH during early pregnancy. Preeclampsia was suspected, and pregnancy was terminated, but renal function continued to deteriorate. She developed anemia, thrombocytopenia, and persistent azotemia, requiring nine sessions of hemodialysis. Differential diagnoses including thrombotic thrombocytopenic purpura, atypical hemolytic uremic syndrome, systemic lupus erythematosus, and antiphospholipid syndrome were excluded. MRI revealed bilaterally small kidneys, precluding biopsy. SARS-CoV-2 PCR was positive. Management included quadruple antihypertensives, corticosteroids, and supportive therapy. At discharge, urine output declined to 700 ml/day, with persistent renal dysfunction. Discussion: This case illustrates the interplay between CKD, preeclampsia, and PrAKI. Dialysis dependence reflected the severity of renal compromise. COVID-19 may have exacerbated endothelial injury, compounding renal decline. Conclusion: Pregnancy in CKD patients carries a high risk of renal decompensation. Early recognition, multidisciplinary management, and long-term follow-up are essential, particularly when complicated by preeclampsia and COVID-19.

Anahtar Kelimeler: Chronic Kidney Disease, Pregnancy, Preeclampsia, Acute Kidney Injury, Hemodialysis, Covid-19

From Proteinuria to Dialysis: A Case of Pregnancy-Associated Renal Failure in a Young Woman With Ckd

Abstract: Introduction: Pregnancy in women with chronic kidney disease (CKD) is associated with high maternal and fetal risk. Distinguishing CKD progression from preeclampsia or pregnancy-associated acute kidney injury (PrAKI) is often difficult due to overlapping features. Case Presentation: We report a 24-year-old woman with long-standing proteinuria who presented with severe hypertension, elevated creatinine, and LDH during early pregnancy. Preeclampsia was suspected, and pregnancy was

terminated, but renal function continued to deteriorate. She developed anemia, thrombocytopenia, and persistent azotemia, requiring nine sessions of hemodialysis. Differential diagnoses including thrombotic thrombocytopenic purpura, atypical hemolytic uremic syndrome, systemic lupus erythematosus, and antiphospholipid syndrome were excluded. MRI revealed bilaterally small kidneys, precluding biopsy. SARS-CoV-2 PCR was positive. Management included quadruple antihypertensives, corticosteroids, and supportive therapy. At discharge, urine output declined to 700 ml/day, with persistent renal dysfunction. Discussion: This case illustrates the interplay between CKD, preeclampsia, and PrAKI. Dialysis dependence reflected the severity of renal compromise. COVID-19 may have exacerbated endothelial injury, compounding renal decline. Conclusion: Pregnancy in CKD patients carries a high risk of renal decompensation. Early recognition, multidisciplinary management, and long-term follow-up are essential, particularly when complicated by preeclampsia and COVID-19.

Keywords: Chronic Kidney Disease, Pregnancy, Preeclampsia, Acute Kidney Injury, Hemodialysis, Covid-19



Makale id= 130

Sözlü Sunum

ORCID ID: 0000-0002-8774-5800

| 110

Akıl Yürütme Özelliğine Sahip Olan ve Olmayan Büyük Dil Modellerinin Akut İskemik İnmede Radyolojik Performanslarının Karşılaştırılması

Dr. Eren Çamur¹, Dr. Turay Cesur², Dr. Yasin Celal Güneş³

¹Ankara 29 Mayıs Devlet Hastanesi

²Ankara Mamak Devlet Hastanesi

³Kırıkkale Yüksek İhtisas Hastanesi

*Corresponding author: Eren Çamur

Özet: Giriş: İskemik inme, hızlı tanı ve tedavi gerektiren, mortalite ve morbidite oranlarını doğrudan etkileyen kritik bir nörolojik acildir. Manyetik rezonans görüntüleme ve özellikle diffüzyon ağırlıklı görüntüler (DAG), akut iskemik inmenin erken tanısında altın standart görüntüleme yöntemidir. Bu çalışmanın amacı, farklı büyük dil modellerinin (BDM), DAG görüntülerinde inme tanısındaki performanslarını karşılaştırmak ve akıl yürütme yeteneğinin bu performansa etkisini değerlendirmektir. Gereç ve Yöntem: Çalışmada halka açık bir veri tabanından elde edilen 25 akut iskemik inme ve 25 normal beyin DAG-ADC görüntüsü kullanılmıştır. Akıl yürütme yeteneğine sahip BDM'ler (ChatGPT-5 ve Gemini 2.5 Pro) ile akıl yürütme yeteneği olmayan BDM'ler (ChatGPT-4 ve Gemini 2.0) aynı standart talimatlar altında değerlendirilmiştir. Modellerden her birine “İnme var mı? Varsa hangi hemisferde ve hangi arter alanında (ACA, MCA, PCA vb.)?” soruları yöneltilmiştir. Yanıtlar iki EDiR sertifikalı radyolog tarafından doğru (1) veya yanlış (0) olarak puanlanmıştır. Verilerin analizinde Kolmogorov-Smirnov ve McNemar testleri kullanılmış, anlamlılık düzeyi p

Anahtar Kelimeler: Büyük Dil Modelleri; İnme; Diffüzyon; Akıl Yürütme

Comparison of the Radiological Performance of Large Language Models With and Without Reasoning Capabilities in Acute Ischemic Stroke

Abstract: INTRODUCTION: Stroke is a time-critical neurological emergency where rapid and accurate diagnosis is vital to minimize morbidity and mortality. This study aimed to assess the diagnostic performance of large language models (LLMs) in interpreting diffusion-weighted imaging (DWI) for acute ischemic stroke and to determine whether reasoning capabilities improve detection and anatomical localization accuracy. MATERIALS AND METHODS: Fifty DWI and apparent diffusion coefficient (ADC) MRI scans were analyzed—25 from patients with confirmed acute ischemic stroke and 25 normal cases from a publicly available dataset. Four LLMs were evaluated: two reasoning-capable (ChatGPT-5, Gemini 2.5 Pro) and two non-reasoning (ChatGPT-4, Gemini 2.0). Each model received identical standardized prompts requesting stroke presence, cerebral hemisphere, and involved arterial territory. All tests were performed under identical conditions without additional prompt engineering. Model outputs were independently reviewed by two EDiR-certified radiologists. Statistical comparisons were made using McNemar's test, with significance set at p0.05). CONCLUSION: Reasoning-capable LLMs (ChatGPT-5, Gemini 2.5 Pro) demonstrated superior accuracy in detecting acute ischemic stroke and identifying vascular territories compared with non-reasoning models. These results underscore the importance of reasoning mechanisms in achieving clinically meaningful diagnostic performance.

However, limitations in precise anatomical localization highlight the need for radiology-specific fine-tuning and enhanced spatial reasoning before clinical implementation.

Keywords: Large Language Models; Stroke; Diffusion; Reasoning



Makale id= 186

Sözlü Sunum

ORCID ID: 0009 0004 2022 0665

| 112

Alışılmadık Bir Nedenle Gelişen Nüks Eden İliopsoas Apresi: Pedikül Vidası Teması

Dr. İbrahim Uludoğan¹
¹Eskişehir Şehir Hastanesi

Özet: Giriş: İliopsoas apresi, nadir görülen ancak klinik açıdan önemli bir tablodur ve sıklıkla özgül olmayan semptomlarla ortaya çıkarak tanı gecikmelere yol açabilir. Klasik psoas triadı olguların yalnızca küçük bir kısmında gözlenir; erken evre apseler kontrastsız görüntülemelerde fark edilmeyebilir. Çoğu apse uygun antibiyotik tedavisi ve perkütan drenaj ile başarıyla tedavi edilebilirken, nüks eden olgular nadirdir ve sıklıkla kronik enfeksiyon, fistül oluşumu veya implantların neden olduğu mekanik irritasyon gibi persistan bir odak varlığına işaret eder. Olgusu: Daha önce lomber disk cerrahisi geçirmiş 45 yaşında erkek hasta, sağ yan bölgeden lomber ve inguinal bölgeye yayılan ağrı şikâyetiyle başvurdu. İlk kontrastsız lomber MRG’de patoloji saptanmadı; ancak kontrastlı MRG’de sağ iliopsoas kası içinde iyi sınırlı bir koleksiyon izlendi ve psoas apresi tanısı kondu. Görüntüleme eşliğinde perkütan drenaj uygulandı ve geçici klinik düzelme sağlandı. Ancak uygun antibiyotik tedavisine ve tekrarlayan drenajlara rağmen apse sekiz kez nüks etti. Tüberküloz, bruselloz ve HIV dahil olmak üzere yapılan kapsamlı mikrobiyolojik ve serolojik incelemeler negatifti. Multidisipliner değerlendirme sonucunda, önceki lomber cerrahide kullanılan pedikül vidalarının iliopsoas kası ile temas hâlinde olduğu ve bu durumun kronik irritasyona yol açarak nüks eden enfeksiyonlara zemin hazırladığı belirlendi. Hastaya vidaların yeniden konumlandırılması amacıyla revizyon cerrahisi yapıldı. Cerrahi sonrası klinik belirtiler tamamen düzeldi ve takip süresince nüks izlenmedi. Sonuç: Bu olgu, özellikle spinal veya ortopedik cerrahi öyküsü bulunan hastalarda, tekrarlayan iliopsoas apresi durumlarında mekanik nedenlerin dikkate alınmasının önemini ortaya koymaktadır. İmplantların konumunun ve çevre yumuşak dokularla ilişkilerinin dikkatli değerlendirilmesi, gereksiz müdahalelerin, uzun süreli antibiyotik kullanımının ve artan hasta morbiditesinin önüne geçebilir.

Anahtar Kelimeler: Psoas Kası, kemik Vidaları, apse

An Unusual Cause of Recurrent Iliopsoas Abscess: Pedicle Screw Contact

Abstract: Abstract Background: Iliopsoas abscess is an uncommon but clinically significant entity that often presents with nonspecific symptoms, leading to diagnostic delays. The classic psoas triad is observed only in a minority of cases, and early-stage abscesses may be missed on non-contrast imaging. While most abscesses can be successfully treated with antibiotic therapy and percutaneous drainage, recurrent cases are rare and frequently indicate the presence of a persistent underlying focus such as chronic infection, fistula formation, or mechanical irritation caused by implants. Case Presentation We present the case of a 45-year-old male patient with a history of lumbar disc surgery, who was admitted with pain radiating from the right flank to the lumbar and inguinal regions. Initial non-contrast lumbar MRI revealed no abnormalities, but contrast-enhanced MRI demonstrated a well-defined collection within the right iliopsoas muscle, consistent with psoas abscess. Percutaneous drainage was performed under image guidance, leading to temporary improvement. However, the abscess recurred eight times despite repeated drainage and appropriate antibiotic therapy. Extensive microbiological and serological

studies—including tests for tuberculosis, brucellosis, and HIV—were negative. Multidisciplinary evaluation revealed that the pedicle screws used in the previous lumbar surgery were in contact with the iliopsoas muscle, likely causing chronic irritation and predisposing the area to recurrent infection. The patient underwent revision surgery to reposition the screws, after which his clinical symptoms resolved completely and no further recurrence was observed during follow-up. Conclusion This case illustrates the importance of considering mechanical causes in patients with recurrent iliopsoas abscess, particularly in those with a history of spinal or orthopedic surgery. Careful evaluation of implant position and its relationship to adjacent soft tissues can prevent repeated interventions, prolonged antibiotic use, and increased patient morbidity.

Keywords: Psoas Muscle, bone Screws, abscess



Makale id= 31

Sözlü Sunum

ORCID ID: 0009-0009-4776-6429

| 114

Antikoagülan Kullanımı Nedeniyle İntratimpanik Steroid Uygulanamayan Ani İşitme Kaybı Olgusu: Vaka Sunumu

Araştırmacı Damla Hatice Özdemir¹, Uzman Dr. Adem Çakmak²

¹İzmir Bakırçay Üniversitesi

²Sancaktepe Şehit Prof. Dr. İlhan Varank Eğitim ve Araştırma Hastanesi

*Corresponding author: Damla Hatice Özdemir

Özet: Giriş ve Amaç: Ani işitme kaybı (AİK) acil müdahale gerektiren bir durumdur ve erken steroid tedavisi genellikle işitme kazanımını artırır. Ancak antikoagülan kullanan hastalarda intratimpanik steroid uygulaması sınırlı olabilir. Bu vaka sunumunun amacı, tedavi başlangıcının 6 gün gecikmiş olmasına rağmen sistemik steroid tedavisinin işitme kazanımı üzerindeki etkisini ve antikoagülan kullanımına bağlı tedavi sınırlamalarını odyolojik açıdan göstermektir. Olgu Sunumu: 66 yaşında erkek hasta, 6 gün önce başlayan sol kulakta ani işitme kaybı ve tinnitus şikâyeti ile başvurdu. Ek hastalık olarak diyabet ve hipertansiyon mevcuttu; hasta uzun süredir anti-aggregan tedavi (Ecopirin 100 mg, Plavix 75 mg, Delix 5 mg) kullanmaktaydı. Anamnezinde 30 yıl önce bel fitiği operasyonu öyküsü vardı; alerjisi bulunmamaktaydı. Muayene bulgularında sol timpanik membran doğal, sağ timpanik membran minimal retrakte ve Valsalva'da hareketliydi. İlk odyometrik değerlendirmede sağ kulakta hafif derecede yüksek frekanslara doğru düşüş gösteren sensörinöral işitme kaybı, sol kulakta ileri derecede mikst tip işitme kaybı saptandı (sağ kulak HYİE 28 dB, KYİE 21 dB; sol kulak HYİE 74 dB, KYİE 40 dB). Konuşmayı anlama skoru sağ kulakta %76, sol kulakta %44 idi. Bilateral timpanometri tip A elde edildi. Hastaya intratimpanik steroid uygulanamadığından sistemik steroid tedavisi (Prednol 80 mg'dan 10 mg'a kademeli azaltım), PPI ve BVİT başlandı. Yatış süresince yapılan testlerde sol kulakta kısmi iyileşme gözlemlendi (son ölçüm: sol kulak HYİE 60 dB, KYİE 33 dB; sağ kulak HYİE 23 dB, KYİE 18 dB). Konuşmayı anlama skorları sağ kulakta %76 sabit kalırken, sol kulakta %56'ya yükseldi. Hastanın vital bulguları stabil seyretti, klinik olarak iyileşme görüldü. Dokuz günün sonunda taburcu edilerek hiperbarik oksijen tedavisi planlandı. Sonuç: Sistemik steroid tedavisi, tedavi başlangıcının geciktiği durumlarda bile işitme kazanımını desteklemesi sayesinde, antikoagülan kullanan ve intratimpanik steroid uygulanamayan AİK olgularında güvenilir bir tedavi seçeneği olarak öne çıkmaktadır.

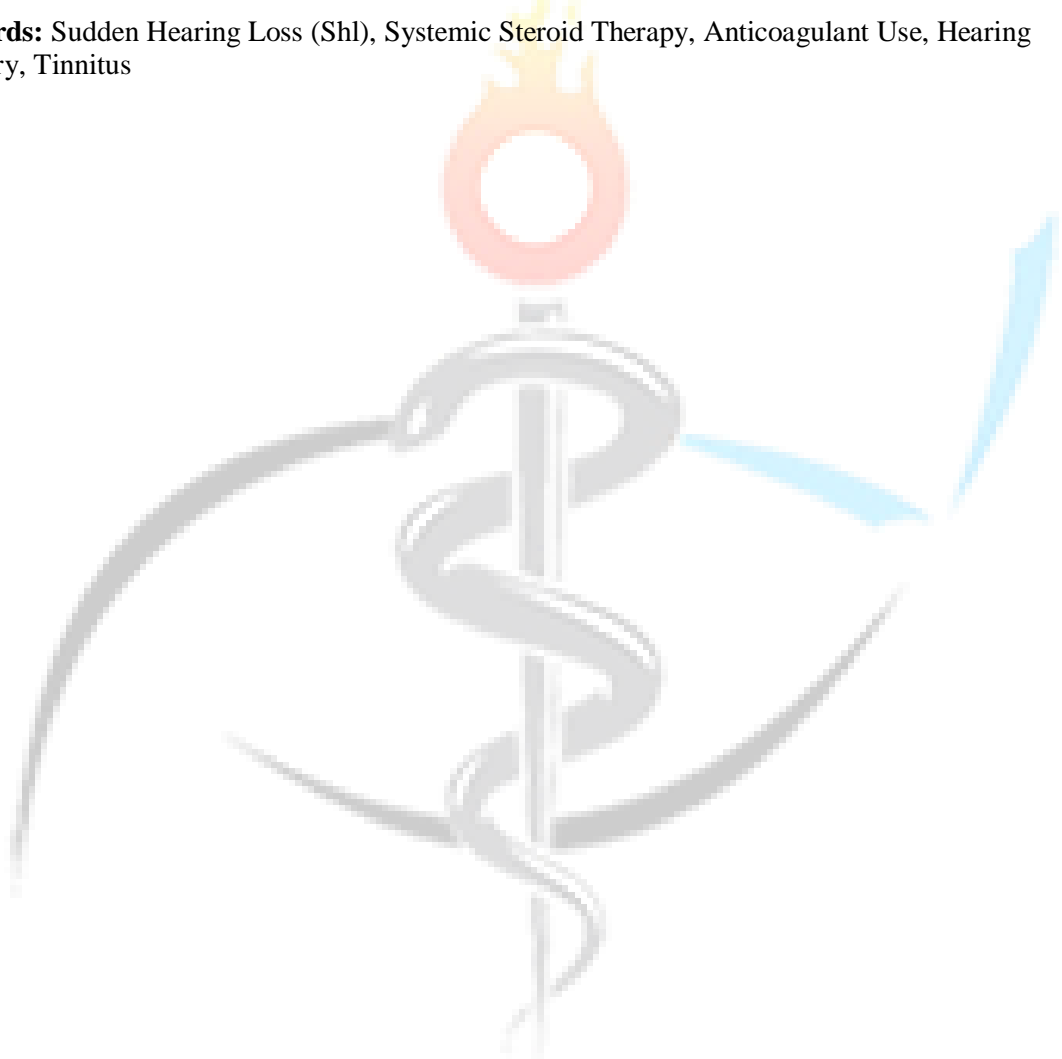
Anahtar Kelimeler: Ani İşitme Kaybı, Sistemik Steroid Tedavisi, Antikoagülan Kullanımı, İşitme Kazanımı, Tinnitus

Case of Sudden Hearing Loss Where Intratympanic Steroid Administration Was Impossible Due to Anticoagulant Use: Case Presentation

Abstract: Introduction and Objective: Sudden hearing loss (SHL) is a condition requiring urgent intervention, and early steroid treatment generally improves hearing recovery. However, intratympanic steroid administration may be limited in patients using anticoagulants. This case report demonstrates the effect of systemic steroid therapy on hearing recovery and treatment limitations associated with anticoagulant use from an audiological perspective, despite a six-day delay in treatment initiation. Case Presentation: A 66-year-old male presented with sudden hearing loss and tinnitus in his left ear starting six days prior. Comorbidities included diabetes and hypertension; he had long-term antiplatelet therapy

(Ecopirin 100 mg, Plavix 75 mg, Delix 5 mg). Medical history included lumbar disc surgery 30 years ago; no allergies. Examination revealed a normal left tympanic membrane, a minimally retracted right membrane, and mobility during the Valsalva maneuver. Initial audiometry showed mild sensorineural hearing loss in the right ear and severe mixed hearing loss in the left ear (right AC28 dB, BC21 dB; left AC74 dB, BC40 dB). Speech discrimination scores (SDS) were 76% right, 44% left. Tympanometry was type A bilaterally. Intratympanic steroids could not be administered; systemic steroid therapy (Prednol tapered 80–10 mg), PPI, and BVIT were started. Tests during hospitalization showed partial recovery in the left ear (final: left AC60 dB, BC33 dB; right AC23 dB, BC18 dB). SDS remained 76% right and improved to 56% left. Vital signs remained stable, and clinical improvement was observed. The patient was discharged after nine days, with hyperbaric oxygen therapy planned. Conclusion: Systemic steroid therapy is a reliable option for SHL patients using anticoagulants when intratympanic steroids cannot be applied, supporting hearing recovery even with delayed treatment.

Keywords: Sudden Hearing Loss (SHL), Systemic Steroid Therapy, Anticoagulant Use, Hearing Recovery, Tinnitus



Makale id= 112

Sözlü Sunum

ORCID ID: 0000-0001-9422-853X

| 116

Brakiterapi Uygulamalarında Radyasyon Güvenliği

Dr. Öğretim Üyesi Şule Parlar¹, Dr. Yıldray Özgüven¹

¹Trakya Üniversitesi

*Corresponding author: Şule Parlar

Özet: Brakiterapi (BRT), radyasyon kaynağının doğrudan tümör dokusu içine veya yakınına yerleştirildiği bir tedavi tekniğidir. Uygulamalarda çoğunlukla radyoaktif kaynakların kullanılması nedeniyle hem hasta hem de çalışan personel için radyasyondan korunma son derece önemlidir. BRT'de temel korunma yöntemleri, radyasyon güvenliğinin temel ilkeleri olan zaman, mesafe ve zırhlama prensiplerine dayanır. Bu prensiplere mesleki radyasyon dozunun azaltılabilmesi amacıyla, uygulamalar sırasında kaynaktan maruziyet süresi en aza indirilmeli, kaynak ile aradaki mesafe mümkün olduğunca artırılmalı ve kaynak ile araya radyasyon maruziyetini azaltacak bariyer veya zırhlama materyalleri yerleştirilmelidir. Uygulamalar sırasında tüm personelin kişisel dozimetre kullanması, radyasyon alanlarında düzenli aralıklarla çevresel doz ölçümünün yapılması, her bir işlemin doz kayıtlarının izlenmesi ve kayıt altına alınması zorunludur. Ayrıca uygulamalarda kullanılan radyoaktif kaynakların taşınması, depolanması ve atık yönetimi ulusal ve uluslararası standartlar doğrultusunda yapılmalı ve kayıt altına alınmalıdır. Bunun yanı sıra, acil durum planlarının hazırlanması, çalışanlara düzenli radyasyon güvenliği eğitimlerinin verilmesi ve radyasyon güvenliği protokollerine eksiksiz uyulması, BRT ünitelerinde güvenli ve kontrollü bir çalışma ortamının sürdürülebilmesi açısından hayati öneme sahiptir. Bu çalışmada, BRT uygulamalarında radyasyon güvenliği ve radyasyondan korunma sürecine yardımcı olacak teknik ve pratik bilgilerin özetlenmesi, radyasyon korunmasının temel prensiplerinin ayrıntılı olarak ele alınması ve bu sürecin temel unsurlarının vurgulanması amaçlanmaktadır.

Anahtar Kelimeler: Brakiterapi, Radyasyondan Korunma, Mesleki Radyasyon

Radiation Safety Practices in Brachytherapy

Abstract: Brachytherapy (BRT) is a treatment technique in which a radiation source is placed directly inside or near the tumour tissue. Since radioactive sources are predominantly used in clinical applications, radiation protection is of utmost importance for both patients and medical personnel. The basic protection methods in BRT are based on the three fundamental principles of radiation safety: time, distance, and shielding. According to these principles, in order to minimize occupational radiation dose, the exposure time to the source should be kept as short as possible, the distance between the staff and the source should be maximized, and appropriate barriers or shielding materials should be placed between the source and personnel to reduce radiation exposure. During all procedures, it is mandatory for staff to use personal dosimeters, perform regular environmental dose measurements in radiation areas, and ensure that all dose records for each procedure are monitored and documented. In addition, the transportation, storage, and waste management of radioactive sources must be carried out in accordance with national regulations and international standards, with proper documentation. Furthermore, the preparation of emergency response plans, the provision of regular radiation safety training for all staff, and strict adherence to radiation protection protocols are vital for maintaining a safe and controlled working environment in BRT units. This study aims to summarize the technical and

practical information that can assist in the process of radiation protection and safety in BRT applications, to discuss in detail the fundamental principles of radiation protection, and to emphasize the key components of this process.

Keywords: Brachytherapy, Radiation Protection, Occupational Radiation



Makale id= 118

Sözlü Sunum

ORCID ID: 0000-0003-1492-1006

| 118

Çocukluk Çağında Kraniofasiyal Fibröz Displazi: Radyolojik Görüntüleme Bulguları ve Tutulum Paternleri

Uzman Dr. Hasan Bulut¹, Uzman Dr. Bilgesu Arıkan Ergün¹

¹Ankara Etlik Şehir Hastanesi

*Corresponding author: Hasan Bulut

Özet: Giriş: Fibroz displazi (FD), normal kemik dokusunun fibröz stroma ve olgunlaşmamış kemik trabekülleriyle yer değiştirmesi sonucu gelişen, benign ve non-neoplastik bir kemik hastalığıdır. Çocuklukta ortaya çıkan FD, monostotik veya poliostotik olabilir. Poliostotik olguların bir kısmı endokrin bozukluklar ve café-au-lait lekeleriyle birlikte McCune-Albright sendromu spektrumunda yer alır. Literatürde FD olgularının %30–35’inde kraniofasiyal kemik tutulumu bildirilmektedir. Bu çalışmada kraniofasiyal FD’li çocukların demografik özellikleri, radyolojik bulguları ve tutulum paternleri değerlendirildi. Materyal ve Yöntem: Kasım 2022-Eylül 2025 tarihleri arasında Bilgisayarlı Tomografi (BT) ile fibröz displazi tanısı almış 30 pediatrik olgu retrospektif olarak değerlendirildi. Kraniofasiyal kemik tutulum lokalizasyonları frontal, parietal, temporal, oksipital, sfenoid, klivus, ethmoid, zigomatik, maksilla ve mandibula olmak üzere 10 bölgeye ayrıldı. BT’de lezyonlar buzlu cam, litik, sklerotik veya bu paternlerin kombinasyonu şeklinde sınıflandırıldı. T1A ve T2A sinyal intensiteleri hipointens, hiperintens ve izointens olarak; kontrastlanma paternleri ise homojen ve heterojen olarak gruplandırıldı. Bulgular: Tüm hastaların BT’leri mevcutken, 15 olgunun manyetik rezonans görüntüleme (MRG) görüntüleri mevcuttu. Hastaların %63’ü erkek olup ortalama yaş 11.8±4.5 yıldır. İncelenen olgularda en sık tutulan kemikler frontal (%53,3) ve sfenoid (%46,7) kemiklerdir. En az tutulum %13,3 ile mandibulaydı. FD lezyonlarının tamamında buzlu cam dansitesinde tutulum alanı saptandı. Olguların %46’sında yalnızca buzlu cam dansitesinde homojen dansite şeklinde izlenmiştir. Diğer olgularda ise buzlu cam görünümü litik ve/veya sklerotik alanlarla birlikteydi. Sfenoid kemik tutulumu FD’de optik kanalda ve karotid kanalda daralmaya yol açabilir. Olgularımızın 7’sinde (%23) optik kanalda, 2’sinde (%7) hem optik kanal hem de karotid kanalda daralma saptanmıştır. Kontrastlı MRG’de tüm lezyonlar kontrast tutulumu sergilemiş olup %67’sinde heterojen, %33’ünde homojen tutulum saptanmıştır. Optik kanal daralması saptanan 9 hastanın 2 tanesinde optik sinirde incelleme saptanmıştır. Sonuç: Kraniofasiyal FD’de BT, tipik buzlu cam matriksi sayesinde lezyonların tanımlanmasında temel yöntemdir. MRG, optik sinir incelenmesini göstermede tamamlayıcıdır. Özellikle sfenoid kemik tutulumunda optik ve karotid kanalın dikkatle değerlendirilmesi, olası komplikasyonların erken tanısı açısından kritik öneme sahiptir.

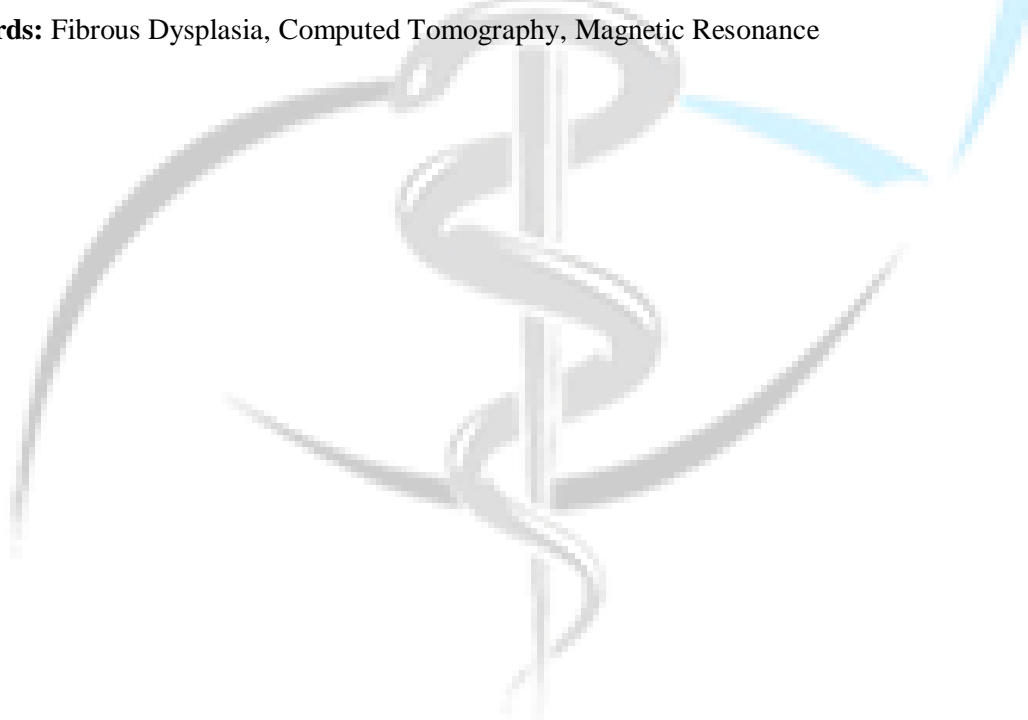
Anahtar Kelimeler: Fibröz Displazi, Bilgisayarlı Tomografi, Manyetik Rezonans

Craniofacial Fibröz Displazi in Childhood: Radiological Imaging Findings and Involvement Patterns

Abstract: Introduction: Fibrous dysplasia (FD) is a benign, non-neoplastic bone disease that develops as a result of the replacement of normal bone tissue with fibrous stroma and immature bone trabeculae. FD, which occurs in childhood, can be monostotic or polyostotic. Some polyostotic cases fall into the McCune-Albright syndrome spectrum, along with endocrine disorders and café-au-lait spots.

Craniofacial bone involvement is reported in 30–35% of FD cases in the literature. In this study, the demographic characteristics, radiological findings, and involvement patterns of children with craniofacial FD were evaluated. Materials and Methods: Thirty pediatric cases diagnosed with fibrous dysplasia by Computed Tomography (CT) between November 2022 and September 2025 were retrospectively evaluated. Craniofacial bone involvement was divided into 10 regions: frontal, parietal, temporal, occipital, sphenoid, clivus, ethmoid, zygomatic, maxilla, and mandible. On CT, lesions were classified as ground-glass, lytic, sclerotic, or a combination of these patterns. T1A and T2A signal intensities were classified as hypointense, hyperintense, and isointense, and enhancement patterns were classified as homogeneous and heterogeneous. Results: CT scans were available for all patients, and magnetic resonance imaging (MRI) images were available for 15 cases. 63% of the patients were male, and the mean age was 11.8 ± 4.5 years. The most commonly involved bones in the examined cases were the frontal (53.3%) and sphenoid (46.7%) bones. The mandible was least commonly involved (13.3%). All FD lesions showed ground-glass density involvement. In 46% of cases, only homogeneous ground-glass opacity was observed. In the remaining cases, the ground-glass appearance was accompanied by lytic and/or sclerotic areas. Sphenoid bone involvement can lead to narrowing of the optic canal and carotid canal in FD. Narrowing was detected in the optic canal in 7 (23%) of our patients, and in both the optic canal and carotid canal in 2 (7%). On contrast-enhanced MRI, all lesions exhibited contrast enhancement, with heterogeneous enhancement in 67% and homogeneous enhancement in 33%. Optic nerve thinning was noted in 2 of the 9 patients with optic canal narrowing. Conclusion: In craniofacial FD, CT is the primary method for identifying lesions due to its typical ground-glass matrix. MRI is complementary in demonstrating optic nerve thinning. Careful evaluation of the optic and carotid canals, especially in sphenoid bone involvement, is critical for early diagnosis of potential complications.

Keywords: Fibrous Dysplasia, Computed Tomography, Magnetic Resonance



Makale id= 105

Sözlü Sunum

ORCID ID: 0000-0002-5215-2642

| 120

Ergoterapi Literatüründe El Rehabilitasyonunda Kullanılan Değerlendirme Yöntemlerinin Son 10 Yıla Göre Analizi

Dr. Öğretim Üyesi Halil İbrahim Ergen¹

¹ Gaziantep Üniversitesi, Sağlık Bilimleri Fakültesi, Fizyoterapi ve Rehabilitasyon Bölümü, Gaziantep-Türkiye

Özet: Giriş: El rehabilitasyonunda kullanılan değerlendirme araçları, ergoterapi uygulamalarında tedavi etkinliğini belirlemede ve klinik sonuçların objektif biçimde izlenmesinde kritik öneme sahiptir. Son on yılda el fonksiyonu, beceri ve öznel performansın değerlendirilmesine yönelik araçların çeşitlendiği görülmektedir. Ancak bu çeşitlilik, araştırmalar arasında karşılaştırılabilirliği ve standardizasyonu zorlaştırmaktadır. Amaç: Bu çalışmanın amacı, son on yılda ergoterapi alanında el rehabilitasyonu üzerine yayımlanan araştırmalarda kullanılan değerlendirme yöntemlerini analiz ederek, performansa dayalı testler, öz-bildirim ölçekleri ve klinik ölçümlerdeki eğilimleri belirlemektir. Yöntem: PubMed veri tabanında, el fonksiyonu, el değerlendirme, ergoterapi, kas-iskelet, kas-iskelet yaralanması, kas-iskelet problemi, kas-iskelet bozukluğu ve el yaralanması anahtar kelimeleriyle kapsamlı bir tarama yapılmıştır. Filtreler “son 10 yıl”, “yetişkin”, “insan” ve “İngilizce” olarak belirlenmiştir. Klinik çalışmalar, randomize kontrollü çalışmalar, sistematik derlemeler ve meta-analizler dâhil edilmiştir. Toplam 85 çalışma analiz edilmiştir. Bulgular: Değerlendirme yöntemleri üç ana kategoride toplanmıştır: (1) Performansa dayalı testler: Kavrama kuvveti (dinamometre), çimdikleiyici kavrama kuvveti, Nine-Hole Peg Test (9-HPT), Box and Block Test, Jebsen-Taylor El Fonksiyon Testi; (2) Öz-bildirim ölçekleri: DASH, QuickDASH, PRWE, MHQ, UEFI, COPM; (3) Klinik ve duyuşal değerlendirmeler: ROM, VAS ağrı ölçekleri, Semmes-Weinstein Monofilament Testi, İki nokta diskriminasyon testi. En sık kullanılan araçlar kavrama kuvveti ölçümü, DASH/QuickDASH ve PRWE olmuştur. Kliniklerde performans testleri yaygınken, araştırmalarda öz-bildirim ölçekleri tercih edilmiştir. İnce motor beceri testlerinin (ör. 9-HPT, Purdue Pegboard) az kullanıldığı saptanmıştır. Sonuç: Son on yılda el rehabilitasyonunda standart, pratik ve hasta merkezli ölçme araçlarına yönelim olduğu görülmektedir. Ancak, fonksiyonel el kullanımını kapsamlı değerlendiren çok boyutlu testlerin sınırlı kullanımı, gelecekteki araştırmalarda giderilmesi gereken önemli bir boşluğa işaret etmektedir.

Anahtar Kelimeler: Ergoterapi, El Rehabilitasyonu, El Yaralanması, Dash, Kavrama Kuvveti, Ölçme Araçları

Analysis of Assessment Methods Used in Hand Rehabilitation in Occupational Therapy Literature Over the Last Decade

Abstract: Introduction: Assessment tools used in hand rehabilitation play a critical role in determining treatment effectiveness and objectively monitoring clinical outcomes within occupational therapy practice. Over the past decade, there has been a diversification of instruments designed to evaluate hand function, dexterity, and self-perceived performance. However, this variety poses challenges for comparability and standardization across studies. Objective: The aim of this study was to analyze the assessment methods used in research on hand rehabilitation within the field of occupational therapy over the last ten years and to identify trends in performance-based tests, self-reported outcome measures, and clinical evaluations. Methods: A comprehensive search was conducted in the PubMed database using

the keywords hand function, hand assessment, occupational therapy, musculoskeletal, musculoskeletal injury, musculoskeletal problem, musculoskeletal disorder, and hand injury. Filters were applied for the last 10 years, adults, humans, and English-language publications. Clinical trials, randomized controlled trials, systematic reviews, and meta-analyses were included. A total of 85 studies were analyzed. Results: The assessment methods identified were grouped into three main categories: (1) Performance-based tests: Grip strength (dynamometer), pinch strength, Nine-Hole Peg Test (9-HPT), Box and Block Test, Jebsen–Taylor Hand Function Test; (2) Self-reported outcome measures: DASH, QuickDASH, PRWE, MHQ, UEFI, COPM; (3) Clinical and sensory assessments: Range of Motion (ROM), Visual Analogue Scale (VAS), Semmes–Weinstein Monofilament Test, Two-Point Discrimination Test. The most frequently used instruments were grip strength measurement, DASH/QuickDASH, and PRWE. Performance-based tests were predominant in clinical settings, whereas self-reported scales were more common in research. Tests assessing fine motor dexterity (e.g., 9-HPT, Purdue Pegboard) were rarely utilized. Conclusion: In the past decade, there has been a clear trend toward standardized, practical, and patient-centered measurement tools in hand rehabilitation. Nonetheless, the limited use of multidimensional assessments that comprehensively evaluate functional hand use highlights a significant gap to be addressed in future research.

Keywords: Occupational Therapy, Hand Rehabilitation, Hand Injury, Dash, Grip Strength, Outcome Measures



Makale id= 192

Sözlü Sunum

ORCID ID: 0000-0001-7519-5197

| 122

Görünürde Sağlıklı Erişkinlerde Plazma Aterojenik İndeksi ile Aortik Sertlik Parametreleri Arasındaki İlişki

Uzman Dr. Ramazan Astan¹

¹ Batman Eğitim ve Araştırma Hastanesi

Özet: Giriş:Plazma atherojenik indeksi (PAİ), trigliserid ile HDL kolesterol oranının logaritmik dönüşümüyle elde edilen, aterojenik lipid profili ve kardiyovasküler riski yansıtan yeni bir göstergedir. Artmış PAİ, görünürde sağlıklı bireylerde bile arteriyel sertliğe katkıda bulunabilir. Bu çalışmanın amacı, görünürde sağlıklı erişkinlerde PAİ ile ekokardiyografik olarak ölçülen aortik sertlik parametreleri (aortik strain, distensibilite ve beta indeksi) arasındaki ilişkiyi değerlendirmektir. Yöntem:Kesitsel olarak planlanan bu çalışmaya 136 görünürde sağlıklı erişkin dahil edildi. Katılımcılarda transtorasik ekokardiyografi ile aortik sertlik parametreleri değerlendirildi ve biyokimyasal testlerle lipid profilleri analiz edildi. PAİ değeri $\log_{10}(\text{trigliserid}/\text{HDL-C})$ formülüyle hesaplandı. PAİ ile aortik strain, distensibilite ve beta indeksi arasındaki korelasyonlar incelendi. Bulgular:PAİ ile aortik beta indeksi arasında orta düzey pozitif korelasyon ($r = 0.31, p < 0.01$); aortik strain ($r = -0.21, p < 0.05$) ve distensibilite ($r = -0.25, p < 0.05$) arasında ise negatif korelasyon saptandı. Bu sonuçlar, yüksek PAİ değerlerinin azalmış aortik elastisite ve artmış vasküler sertlikle ilişkili olduğunu göstermektedir. Sonuç:Artmış plazma atherojenik indeksi, görünürde sağlıklı bireylerde bile artmış aortik sertlikle ilişkilidir. PAİ, erken damar yaşlanması ve subklinik aterosklerozun basit bir biyokimyasal belirteci olarak kullanılabilir.

Anahtar Kelimeler: Plazma Aterojenik İndeksi, Aortik Sertlik, Beta İndeksi, Aortik Strain, Görünürde Sağlıklı Erişkinler

Association Between Plasma Atherogenic Index and Aortic Stiffness Parameters in Apparently Healthy Adults

Abstract: Background:The plasma atherogenic index (PAI), calculated as the logarithmic ratio of triglyceride to HDL cholesterol, is a novel marker reflecting an atherogenic lipid profile and cardiovascular risk. Increased PAI may contribute to arterial stiffness even in individuals without overt disease. This study aimed to evaluate the relationship between PAI and echocardiographic parameters of aortic stiffness, including aortic strain, distensibility, and beta index, in apparently healthy adults. Methods:This cross-sectional study included 136 apparently healthy adults who underwent transthoracic echocardiography for the assessment of aortic stiffness parameters and biochemical evaluation for lipid profiles. PAI was calculated as $\log_{10}(\text{triglyceride}/\text{HDL-C})$. Correlation analyses were performed between PAI and aortic strain, distensibility, and beta index. Results:PAI showed a moderate positive correlation with the aortic stiffness beta index ($r = 0.31, p < 0.01$) and negative correlations with aortic strain ($r = -0.21, p < 0.05$) and aortic distensibility ($r = -0.25, p < 0.05$). These findings indicate that higher PAI values are associated with reduced aortic elasticity and increased vascular stiffness.

Conclusion: Elevated PAI is independently associated with increased aortic stiffness in apparently healthy adults. PAI may serve as a simple biochemical marker of early vascular aging and subclinical atherosclerosis.

Keywords: Plasma Atherogenic Index, Aortic Stiffness, Beta Index, Aortic Strain, Apparently Healthy Adults



Makale id= 161

Sözlü Sunum

ORCID ID: 0009-0004-9332-9274

| 124

Havacılık Bakım Alanlarındaki Risklerin İş Sağlığı ve Güvenliği Açısından İncelenmesi

Ma.St. Uğur Özdemir¹, Prof.Dr. Cem Gök¹, Dr. Öğretim Üyesi Hande Usta Özdemir²

¹İzmir Bakırçay Üniversitesi

²Pamukkale Üniversitesi

*Corresponding author: Uğur Özdemir

Özet: Havacılık, hata toleransı düşük, yüksek güvenlik standartları gerektiren ve çok disiplinli bir yapıya sahip bir sektördür. Bu bağlamda havacılık bakım alanları, uçuş emniyetini doğrudan etkileyen teknik işlemlerin gerçekleştirildiği, aynı zamanda iş kazaları ve meslek hastalıkları bakımından çok yönlü risklerin bulunduğu kritik çalışma sahalarıdır. Bu çalışma, havacılık bakım alanlarındaki riskleri ve ilişkili hastalıkları iş sağlığı ve güvenliği açısından literatür temelli bir yaklaşımla incelemeyi amaçlamaktadır. Araştırma, bir derleme çalışması olarak yürütülmüştür. Uluslararası otoriteler, ulusal düzenleyici kurumlar, akademik kaynaklar incelenmiştir. Riskler; fiziksel, kimyasal, ergonomik ve psikososyal faktörler altında sınıflandırılmaktadır. En sık karşılaşılan iş kazaları ve meslek hastalıkları arasında gürültüye bağlı sensorinöral işitme kaybı, kümülatif kas iskelet sistemi hastalıkları, kimyasal maruziyete bağlı cilt hastalıkları, kimyasal maruziyete bağlı solunum yolları hastalıkları, göz hastalıkları ve göz yaralanmaları ve psikososyal bozukluklar yer almaktadır. Havacılık bakım alanında meslek hastalıkları ve iş kazalarının önlenmesi prediktif iş sağlığı ve güvenliği uygulamalarıyla mümkündür. Bu nedenle, çalışan sağlığını ve uçuş güvenliğini sürdürülebilir kılmak için multidisipliner bir yaklaşım ile risk değerlendirmesi, periyodik sağlık kontrolleri, eğitim faaliyetleri ve uygun koruyucu ekipman kullanımı dahil olmak üzere iş sağlığı ve güvenliği önlemlerinin sistematik ve sürekli bir şekilde uygulanması büyük önem taşımaktadır.

Anahtar Kelimeler: İş Sağlığı ve Güvenliği; Havacılık; Meslek Hastalıkları

Investigation of Risks in Aviation Maintenance Areas From An Occupational Health and Safety Perspective

Abstract: Aviation is a sector characterized by low error tolerance, high safety standards, and a multidisciplinary structure. In this context, aviation maintenance areas are critical work environments where technical operations directly affecting flight safety are performed, and where multifaceted risks exist in terms of occupational accidents and diseases. This study aims to examine the risks and associated occupational diseases in aviation maintenance areas from an occupational health and safety perspective through a literature-based approach. The research was conducted as a review study by analyzing international authorities, national regulatory bodies, and academic sources. Risks are classified under physical, chemical, ergonomic, and psychosocial categories. The most frequently encountered occupational accidents and diseases include noise-induced sensorineural hearing loss, cumulative musculoskeletal disorders, chemically induced skin diseases, respiratory tract diseases related to chemical exposure, eye diseases and injuries, and psychosocial disorders. The prevention of occupational diseases and accidents in aviation maintenance is possible through predictive occupational health and safety practices. Therefore, to ensure the sustainability of employee health and flight safety, it is of great importance to systematically and continuously implement occupational health and safety

measures — including risk assessment, periodic health screenings, training programs, and the use of appropriate personal protective equipment — within a multidisciplinary framework.

Keywords: Occupational Health and Safety; Aviation; Occupational Diseases



Makale id= 98**Sözlü Sunum**

ORCID ID: 0000-0001-5754-7208

| 126

Kahvaltılık Tahılların Sodyum İçeriğinin Etiket Verilerine Dayalı Olarak Değerlendirilmesi

Dr. Öğretim Üyesi Feray Gençer Bingöl¹¹Burdur Mehmet Akif Ersoy Üniversitesi Sağlık Bilimleri Fakültesi Beslenme ve Diyetetik Bölümü

Özet: Dünya genelinde sodyum alımının azaltılması, kardiyovasküler hastalıkların önlenmesinde öncelikli hedeflerden biridir. Ancak, işlenmiş besinler sodyum alımının önemli kaynakları arasında yer almaktadır. Bu çalışmanın amacı, piyasada satışta bulunan farklı türde kahvaltılık tahılların (granola, müsli ve kahvaltılık gevrekler) etiket bilgilerinden elde edilen sodyum içeriklerini değerlendirmek ve mevcut beslenme önerileri ile karşılaştırmaktır. Çalışmaya Türkiye’de zincir marketlerde satışa sunulan toplam 107 adet kahvaltılık tahıl ürünü dahil edilmiştir. Ürünler türlerine göre granola (n: 32), müsli (n: 21) ve kahvaltılık gevrek (n: 54) olarak sınıflandırılmıştır. Her ürünün ambalajında yer alan besin değerleri tablosundan 100 g’daki sodyum (mg) miktarları kaydedilmiştir. Etiketlerde yalnızca tuz olarak bildirilen değerler sodyuma dönüştürülürken 1 g tuz=400 mg sodyum katsayısı kullanılmıştır. Elde edilen veriler, sodyum içeriğine göre düşük (≤ 120 mg/100 g), orta (121-600 mg/100 g) ve yüksek (>600 mg/100 g) olarak sınıflandırılmıştır. Toplam 107 ürünün ortalama sodyum içeriği $186,0 \pm 187,08$ mg/100 g ve medyan değeri 160 mg/100 g olarak saptanmıştır. Granola grubunun ortalama sodyum içeriği $94,8 \pm 112,04$ mg/100 g (medyan: 40 mg/100 g), müsli grubunun $114,5 \pm 101,20$ mg/100 g (medyan: 120 mg/100 g), kahvaltılık gevreklerin ise $267,9 \pm 211,93$ mg/100 g (medyan: 240 mg/100 g) olarak belirlenmiştir. Sodyum sınıflamasına göre ürünlerin % 36,5’i düşük, % 60,7’si orta, % 2,8’i yüksek sodyumlu olarak değerlendirilmiştir. Kahvaltılık gevreklerin sodyum oranı granola ve müsli’lerden istatistiksel olarak anlamlı fazla bulunurken ($p < 0,001$), granola ve müsli arasında anlamlı bir fark bulunmamıştır ($p: 0,261$). Bu çalışma, piyasada yaygın olarak tüketilen kahvaltılık tahılların önemli bir kısmının orta düzeyde sodyum içerdiğini göstermektedir. Kahvaltılık tahıl çeşitleri arasında sodyum içeriği açısından önemli fark olması nedeniyle tüketicilerin günlük sodyum alımını azaltabilmeleri için ürün etiketlerindeki sodyum/tuz bilgisine dikkat etmeleri ve mümkün olduğunca düşük sodyumlu alternatifleri tercih etmeleri önerilmektedir.

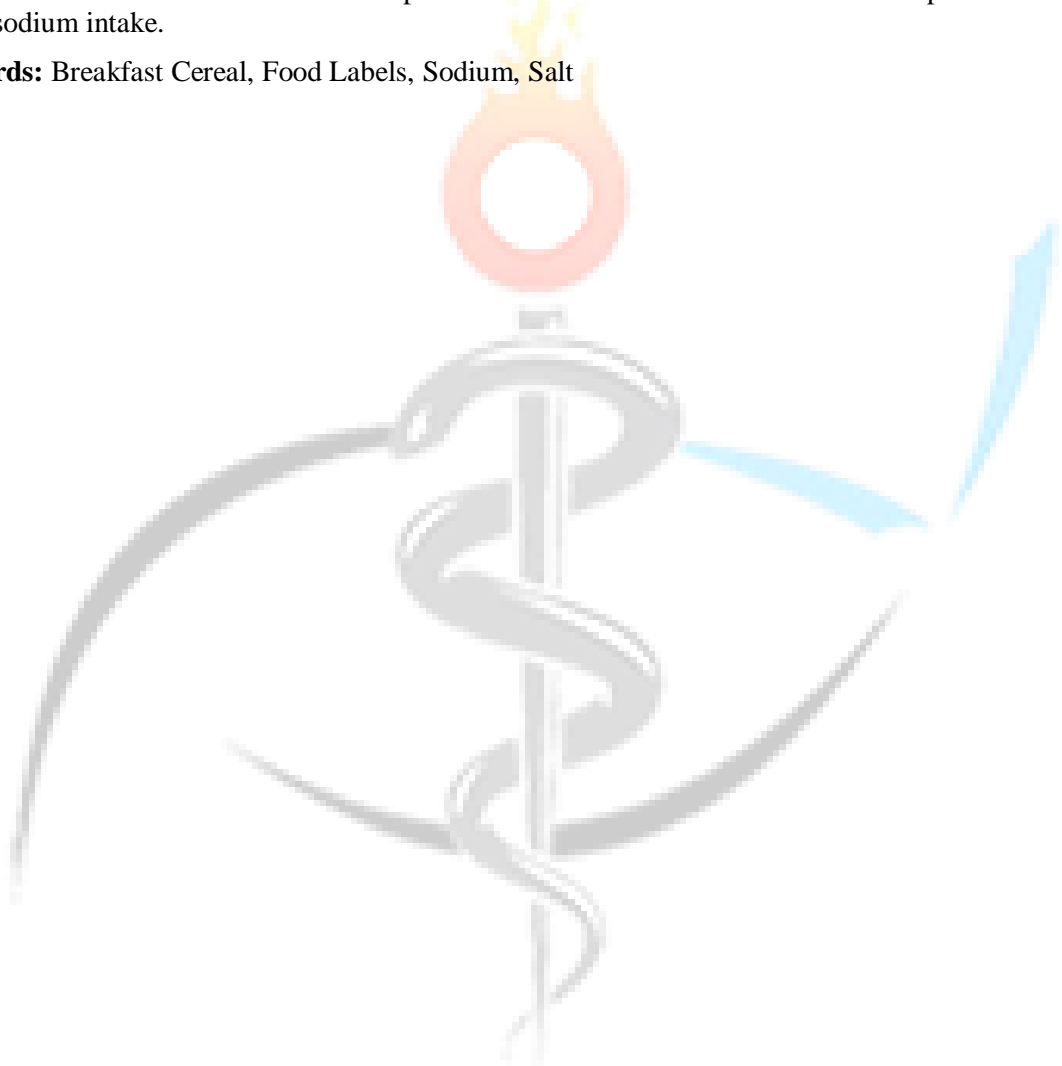
Anahtar Kelimeler: Kahvaltılık Tahıl, Besin Etiketleri, Sodyum, Tuz

Evaluation of Sodium Content of Breakfast Cereals Based On Label Data

Abstract: Reducing sodium intake is a global priority for preventing cardiovascular diseases. Processed foods are among the major contributors to dietary sodium intake. The aim of this study was to evaluate the sodium content of different types of breakfast cereals (granola, muesli, and ready-to-eat cereals) available on the market based on nutritional labels and to compare with dietary recommendations. A total of 107 breakfast cereal products sold in chain supermarkets in Türkiye were included in the study. The products were categorized as granola (n: 32), muesli (n: 21), and ready-to-eat cereals (n: 54). The sodium content (mg/100 g) of each product was obtained from the nutrition information provided on the

packaging. For products that reported salt instead of sodium, the values were converted using the conversion factor of 1 g salt=400 mg sodium. Products were classified as low (≤ 120 mg/100 g), medium (121-600 mg/100 g), or high (>600 mg/100 g) sodium. The mean sodium content of all products was 186.0 ± 187.08 mg/100 g, with a median value of 160 mg/100 g. The mean sodium content was 94.8 ± 112.04 mg/100 g (median:40 mg/100 g) for granola, 114.5 ± 101.20 mg/100 g (median:120 mg/100 g) for muesli, and 267.9 ± 211.93 mg/100 g (median:240 mg/100 g) for ready-to-eat cereals. Overall, 36.5% of the products were low, 60.7% were medium, and 2.8% were high in sodium. The sodium content of ready-to-eat cereals was significantly higher than that of granola and muesli ($p < 0.001$), while no significant difference was observed between granola and muesli ($p: 0.261$). This study indicates that a significant proportion of breakfast cereals contain moderate levels of sodium. Given the differences in sodium content among types of breakfast cereals, consumers are advised to pay attention to the sodium/salt information on labels and to prefer lower-sodium alternatives whenever possible to help reduce sodium intake.

Keywords: Breakfast Cereal, Food Labels, Sodium, Salt



Makale id= 42

Sözlü Sunum

ORCID ID: 0000-0003-1900-2818

| 128

Karaciğer Sirozlu Hastalarda Sarkopeni ve Kırılğanlığın Değerlendirilmesi: Kesitsel Bir Çalışmanın Sonuçları

Araştırmacı Melike Tuncer¹, Dr. Öğretim Üyesi Gözde Dumlu Bilgin¹
¹Yeditepe Üniversitesi

*Corresponding author: Gözde Dumlu Bilgin

Özet: Amaç: Sarkopeni ve kırılğanlık, karaciğer sirozunun, klinik sonuçları ve mortalitesi üzerinde belirgin bir etkiye sahiptir. Bu çalışma, karaciğer sirozu olan hastalarda sarkopeni ve kırılğanlık prevalansını ve katkıda bulunan değişkenleri netleştirmeyi amaçlamıştır. Yöntem: Çalışma, İstanbul'da bir Üniversite Hastanesi Gastroenteroloji polikliniğinde karaciğer sirozu tanısı alan ve takip edilen yetişkin hastalarda yürütülmüştür. SARC-F ölçeği, FRAIL ölçeği, el kavrama kuvveti ve çeşitli biyokimyasal veriler değerlendirilmiştir. Bulgular: Çalışmaya katılan 75 hastanın %58,7'si erkekti ve medyan yaş 66 idi. Sarkopeni prevalansı %32 idi. Sarkopenisi olan hastalarda beden kütle indeksi (BKİ) anlamlı derecede düşük, son dönem karaciğer hastalığı modeli (MELD)-Na ve Child-Turcotte-Pugh (CTP) skorları ise yüksekti. FRAIL ölçeğine göre hastalar arasında kırılğanlık öncesi dönem oldukça yaygındı (%60). SARC-F skoru ile BKİ, el kavrama kuvveti, albümin, D vitamini ve sodyum düzeyleri arasında anlamlı negatif ilişki saptanırken, yaş, CTP, MELD-Na skoru, bilirubin, AST, ALT ve ferritin düzeyleri arasında anlamlı pozitif korelasyon saptanmıştır. Sonuç: Karaciğer sirozu olan hastalarda sarkopeni ve kırılğanlık öncesi dönem prevalansının yüksek olması, bu popülasyonda eşlik eden durumların değerlendirilmesine öncelik verilmesinin önemini vurgulamaktadır.

Anahtar Kelimeler: Siroz, Sarkopeni, Kırılğanlık, Malnutrisyon, Biyobelirteçler

Assessment of Sarcopenia and Frailty Among Patients With Liver Cirrhosis: Implications From a Cross-Sectional Study

Abstract: Aim: Sarcopenia and frailty have a prominent effect on the poor clinical outcomes and mortality of liver cirrhosis (LC). The current study aimed to explore how prevalent sarcopenia and frailty were among LC patients and to clarify contributing variables. Method: This study was performed on adult patients diagnosed with LC and followed up at the Gastroenterology outpatient clinic of a University Hospital in İstanbul. SARC-F questionnaire, FRAIL scale, hand grip strength, and several biochemical data were evaluated. Results: Of the 75 patients in the study, 58.7% were male, the median age was 66 years. The prevalence of sarcopenia was 32%. Patients with sarcopenia significantly had lower body mass index (BMI) and a high Child-Turcotte-Pugh (CTP) and model for end-stage liver disease (MELD)-Na scores. According to the FRAIL scale, pre-frailty was highly prevalent (60%) among the patients. A significant negative association was reported between the SARC-F score and BMI, hand grip strength, albumin, vitamin D, and sodium levels, whereas a significant positive correlation was noted between age, CTP, MELD-Na score, bilirubin, AST, ALT, and ferritin levels. Conclusion: A substantial prevalence of sarcopenia and pre-frailty was observed in patients with LC, emphasizing the importance of prioritizing the assessment of concomitant conditions in this population.

Keywords: Cirrhosis, Sarcopenia, Frailty, Malnutrition, Biomarkers

Makale id= 135

Sözlü Sunum

ORCID ID: 0000-0001-8451-0988

| 129

Karın Ağrısının Nadir Görülen Bir Sebebi: Gastrik Schwannom

Dr. Hüseyin Hakan Amioğlu¹, Dr. Rifat Bezirci¹

¹Sincan Eğitim ve Araştırma Hastanesi

*Corresponding author: Hüseyin Hakan Amioğlu

Özet: Schwannomlar, sinir kılıfında schwann hücrelerinden kaynaklanan yavaş büyüyen ve homojen özellikte olan benign mezenkimal tümörlerdir. Gastrointestinal trakt üzerinde nadiren bulunurlar. Genellikle insidental olarak saptanırlar. Epigastrik ağrı, kanama ve abdominal kitle ile presente olabilirler. 59 yaşında kadın hasta 3 aydır devam eden karın ağrısı ve dispepsi şikayeti ile başvurdu. Fizik muayene bulguları normaldi. Yapılan endoskopide mide küçük kurvatuarda 4 cm çapında üzeri ülser submukozal kitle izlendi. EUS'ta, muskularis propriadan kaynaklanan düzgün sınırlı, hipoekoik ve submukozal bir kitle tespit edildi. BT'de mide korpus düzeyinde küçük kuvaturda solid lezyon izlendi. Metastatik bulgu saptanmadı. Ön tanıda gastrointestinal stromal tümör düşünüldü ve hasta opere edildi. Kitlenin patolojik incelemesinde, selüler schwannom saptandı. Hastanın 3 ay sonra yapılan kontrol endoskopisinde rekürrens bulgusu izlenmedi. Schwannomlar gastrointestinal trakta en sık midede görülürler. Genellikle asemptomatiktirler ve sıklıkla insidental olarak saptanırlar. Görüntüleme BT ve MR kullanılabilir. Pre-operatif değerlendirmede endoskopi ve EUS mutlaka yapılmalıdır. Endoskopik biyopsi, mukozanın çoğunlukla intakt olması ve kanamaya yol açması nedeniyle tercih edilmez. Tanı, çoğunlukla patolojik değerlendirme sonrasında konulabilmektedir. Tedavide, altın standart kitlenin cerrahi olarak eksize edilmesidir. Laparoskopik yöntem, şartlar uygun olduğunda benzer onkolojik sonuçlara sahip olması, hastane yatışını kısaltması, post operatif ağrıyı azaltması ve normal aktiviteye daha erken dönüş nedeniyle açık cerrahiye tercih edilir. 3cm'den küçük olan lezyonlar için minimal invaziv endoskopik yöntemler tercih edilebilir. Sonuç olarak gastrik schwannomlar, genellikle asemptomatiktirler ve insidental olarak tespit edilirler. Semptomatik olanlarda karın ağrısı ve kanama bulguları olabilir. Semptomların spesifik olmayışı ve pre-operatif tanının genellikle mümkün olmaması nedeniyle bu nadir görülen hastalık Genel Cerrahi pratiğinde ayırıcı tanıda unutulmamalıdır.

Anahtar Kelimeler: Mide, Schwannom, Mezenkimal Tümör

A Rare Cause of Abdominal Pain: Gastric Schwannoma

Abstract: Schwannomas are slowly growing, homogeneous, benign mesenchymal tumors arising from Schwann cells in the nerve sheath. They are rarely found in the gastrointestinal tract and are usually detected incidentally. They may present with epigastric pain, bleeding, and an abdominal mass. A 59-year-old woman presented with complaints of pain and dyspepsia lasting 3 months. Physical examination findings were normal. Endoscopy revealed an ulcerated submucosal mass measuring over 4cm in diameter in the lesser curvature of the stomach. EUS revealed a 27x29 mm, well-circumscribed, hypoechoic, submucosal mass originating from the muscularis propria. CT revealed a solid lesion in the lesser curvature of the stomach. No metastatic findings were detected. The initial diagnosis was GIST, and the patient underwent surgery. Pathological examination of the mass revealed a cellular schwannoma. A follow-up endoscopy performed 3 months later revealed no evidence of recurrence.

Schwannomas are most commonly seen in the stomach in the gastrointestinal tract. They are generally asymptomatic and frequently detected incidentally. CT and MRI can be used for imaging. Endoscopy and EUS should be performed in the preoperative evaluation. Biopsy is not preferred because the mucosa is often intact and can cause bleeding. Diagnosis is usually made after pathological evaluation. The gold standard for treatment is surgical excision of the mass. Laparoscopic surgery is preferred over open surgery when conditions are suitable because it offers similar oncologic outcomes, shortens hospital stay, reduces postoperative pain, and allows for earlier return to normal activities. Minimally invasive endoscopic methods may be preferred for lesions smaller than 3cm. In conclusion gastric schwannomas are generally asymptomatic and detected incidentally. Symptoms may present with pain and bleeding. Because the symptoms are nonspecific and pre-operative diagnosis is often not possible, this rare disease should not be forgotten in the differential diagnosis in General Surgery practice.

Keywords: Gastric, Schwannoma, Mesenchymal Tumor



Makale id= 52**Sözlü Sunum**ORCID ID: <https://orcid.org/0000-0001-5106-4571>

| 131

**Kritik Alev Yanığı Hastalarında Sağkalımı Etkileyen Faktörlerin Değerlendirilmesi:
Tek Merkezli Retrospektif Bir Analiz****Uzman Dr. Feyyaz Güngör¹, Dr. Öğretim Üyesi Hüseyin Kılavuz¹, Prof.Dr. Mustafa Turan¹**
¹Başakşehir Çam ve Sakura Şehir Hastanesi

*Corresponding author: Feyyaz Güngör

Özet: Amaç: Yanıklar, tüm dünyada ciddi morbidite ve mortaliteye yol açan önemli bir sağlık sorunudur. Kritik yanığı olan hastalarda mortalite; yaş, inhalasyon hasarı ve toplam yanık yüzey alanı (TBSA) gibi faktörlerle ilişkilidir. Son yıllarda, sistemik inflamasyon indekslerinin de prognozla ilişkili olabileceği öne sürülmüştür. Bu çalışmada, kritik alev yanığı olan hastalarda sağkalımı etkileyen faktörleri değerlendirmeyi amaçladık. Gereç ve Yöntemler: Bu retrospektif çalışma, 1 Ocak 2024–1 Ocak 2025 tarihleri arasında merkezimizde, alev yanığı nedeniyle yanık yoğun bakımda izlenen hastaları kapsamaktadır. Dahil edilme ve dışlanma kriterlerine göre belirlenen 53 hastanın demografik verileri, yanık etyolojisi, inhalasyon hasarı, TBSA, revize Baux skoru ve sistemik inflamasyon indeksleri analiz edildi. Hastalar, sağ kalanlar ve sağ kalamayanlar olmak üzere iki gruba ayrılarak karşılaştırıldı. Sürekli değişkenler için Mann–Whitney U testi, kategorik değişkenler için Pearson ki-kare testi uygulandı. Bulgular: Çalışmaya dahil edilen 53 hastanın 6'sının (%11,3) hastane içinde sağ kalmadığı belirlendi. Sağ kalmayan grupta inhalasyon hasarı (%50 vs. %14,9; p=0,038), TBSA [45 (32–72,5) vs. 21,5 (18–35); p=0,018] ve revize Baux skoru [112,5 (89,25–122,75) vs. 60 (51–78); p=0,001] istatistiksel olarak anlamlı düzeyde daha yüksek bulundu. Trombosit/Lenfosit Oranı, Nötrofil/Lenfosit Oranı, Lenfosit/Monosit Oranı, Sistemik İmmün-İnflamasyon İndeksi ve Sistemik İnflamasyon Yanıt İndeksi değerleri ise gruplar arasında istatistiksel olarak anlamlı bir fark saptanmadı. Sonuç: Çalışmamızda, kritik alev yanığı hastalarında inhalasyon hasarı, TBSA ve revize Baux skoru ile sağkalım arasında anlamlı fark gözlenirken, sistemik inflamasyon indeksleri ile sağkalım arasında istatistiksel olarak anlamlı bir ilişki saptanmamıştır. Bu indekslerin prognostik değerinin netleştirilmesi için ileri çalışmalara ihtiyaç vardır.

Anahtar Kelimeler: Alev Yanığı, Sağkalım, Sistemik İnflamasyon

Makale id= 21**Sözlü Sunum**ORCID ID: <https://orcid.org/0000-0002-2341-4850>

| 132

Lugano Kriterlerine Göre Lenfoma Hastalarında Bt ve Mr İle Tedavi Yanıt Takibi**Dr. Melike Ruşen Söğütügil¹**¹Visart Tıbbi Görüntüleme Merkezi

Özet: ÖZ: Lenfoma tedavisinde yanıt değerlendirmesi, prognozun belirlenmesi ve tedavi kararlarının yönlendirilmesinde kritik öneme sahiptir. Cheson kriterleri, FDG-PET/BT'nin yaygınlaşması ile güncellenmiş ve 2014'te Lugano kriterleri kabul edilmiştir. Lugano sınıflaması; FDG-avidi lenfomalarda PET/BT'yi, non-FDG-avidi alt tiplerde ise BT veya MR'ı önermektedir. Yanıt kategorileri tam yanıt, parsiyel yanıt, stabil hastalık ve progresyon olarak tanımlanır. BT/MR için ölçülebilir en fazla altı lezyonda uzun ve kısa aksların çarpımının toplamı (SPD) üzerinden değerlendirme yapılırken, PET/BT'de Deauville beşli skoru temel alınır. Bu bildiri, Lugano kriterlerinin temel ilkelerini özetlemekte ve BT ile MR'ın tedavi yanıt takibindeki rolünü, uygulamaya yönelik ipuçlarıyla birlikte vurgulamaktadır. Ayrıca merkezimizde takip ettiğimiz hastalarımızla ilgili görsel örnekler sunulmaktadır.

Anahtar Kelimeler: Anahtar Kelimeler: Lugano Kriterleri; Bt; Mr; Lenfoma; Tedavi Yanıtı

Lugano Criteria in Treatment Response Assessment of Lymphoma Patients With Ct and Mrı

Abstract: ABSTRACT: Response assessment in lymphoma is essential for prognosis and treatment planning. With the widespread adoption of FDG-PET/CT, the Cheson criteria were updated and the Lugano criteria were adopted in 2014. The Lugano classification recommends PET/CT for FDG-avid lymphomas, whereas CT or MRI is preferred in non-avid subtypes. Response categories are defined as complete response, partial response, stable disease, and progression. In CT/MRI, up to six measurable lesions are evaluated using the sum of the product of diameters (SPD), while PET/CT relies on the five-point Deauville score. This abstract summarizes the core principles of the Lugano criteria and highlights the roles of CT and MRI in treatment response assessment with practical tips. Additionally, visual examples of the patients we follow in our center are presented.

Keywords: Keywords: Lugano Criteria; Ct; Mrı; Lymphoma; Response Assessment

Makale id= 110

Sözlü Sunum

ORCID ID: 0009-0001-3756-821X

| 133

Mcf-7 Meme Kanseri Hücrelerinde Yabani Tip P53 Gen Transfeksiyonu ve Kurkumin Kombinasyonunun Hücre Canlılığı Üzerine Etkileri

Araştırmacı Meryem Kalın¹, Dr. Öğretim Üyesi Özlem Yalçın Çapan²

¹Tekirdağ Namık Kemal Üniversitesi

²Namık Kemal Üniversitesi

*Corresponding author: Meryem Kalın

Özet: Meme kanseri, dünya genelinde kadınlar arasında en yaygın ve yaşamı tehdit eden malignitelerden biridir. Bu çalışmanın amacı, yabani tip p53 gen transfeksiyonu ve bunun kurkumin ile kombinasyonunun MCF-7 meme kanseri hücre hattında hücre proliferasyonu ve apoptotik mekanizmalar üzerindeki etkilerini araştırmaktır. Bu bağlamda, MCF-7 hücreleri standart koşullar altında kültüre edilerek CANFAST™ Transfeksiyon Reaktifini kullanılarak yabani tip p53 geni ile transfekte edilmiştir. Başarılı gen aktarımının ardından hem transfekte edilmiş hem de edilmemiş hücre gruplarına artan konsantrasyonlarda (2.5–40 µg/ml) kurkumin uygulanmıştır. Hücre canlılığı, tedaviden 66 saat sonra MTT testi kullanılarak değerlendirilmiştir. Ön bulgular, yalnızca kurkumin uygulamasının hücre canlılığını doza bağımlı olarak azalttığını göstermiştir; sırasıyla 2.5, 5, 10, 20 ve 40 µg/ml konsantrasyonlarında hücre canlılığı %86, %85, %81, %56 ve %4 olarak gözlenmiştir. p53 gen transfeksiyonu ile kombine edildiğinde ise daha belirgin bir antiproliferatif etki saptanmış; aynı konsantrasyonlarda sırasıyla %76, %76, %67, %46 ve %4 hücre canlılığı elde edilmiştir. Bu bulgular, p53 geninin özellikle orta konsantrasyonlarda (10–20 µg/ml) kurkuminin sitotoksik etkinliğini artırdığını ve gen tedavisi ile fitokimyasal tedavi arasında potansiyel bir sinerjik etkileşim olabileceğini göstermektedir. Yabani tip p53 gen transfeksiyonu ve kurkumin kombinasyonu, yalnızca kurkumin uygulamasına kıyasla hücre büyümesinin inhibisyonunu anlamlı derecede artırmış olup, meme kanseri tedavisi için umut verici bir kombinasyonel yaklaşım ortaya koymaktadır. Devam eden moleküler analizler (örneğin kaspaz aktivasyonu ve gen ekspresyon profillemesi), altta yatan apoptotik mekanizmaların aydınlatılmasını amaçlamaktadır. Tekirdağ Namık Kemal Üniversitesi Bilimsel Araştırma Projeleri Birimi tarafından desteklenmiştir (NKUBAP.02.YL.25.679).

Anahtar Kelimeler: Mcf-7, P53 Geni, Kurkumin, Meme Kanseri, Mtt, Hücre Canlılığı

Effects of Wild-Type P53 Gene Transfection and Curcumin Combination On Cell Viability in Mcf-7 Breast Cancer Cells

Abstract: Breast cancer is one of the most common and life-threatening malignancies among women worldwide. The aim of this study is to investigate the effects of wild-type p53 gene transfection and its combination with curcumin on cell proliferation and apoptotic mechanisms in the MCF-7 breast cancer cell line. In this context, MCF-7 cells were cultured under standard conditions and transfected with the wild-type p53 gene using the CANFAST™ Transfection Reagent. Following successful gene transfer, curcumin was applied to both transfected and non-transfected cell groups at increasing concentrations (2.5–40 µg/ml). Cell viability was assessed 66 hours after treatment using the MTT assay. Preliminary findings revealed that curcumin alone reduced cell viability in a dose-dependent manner, with 86%, 85%, 81%, 56%, and 4% viability observed at 2.5, 5, 10, 20, and 40 µg/ml concentrations, respectively.

When combined with p53 transfection, a more pronounced antiproliferative effect was observed, yielding 76%, 76%, 67%, 46%, and 4% viability at the same concentrations. These findings indicate that the p53 gene enhanced the cytotoxic efficacy of curcumin, particularly at moderate concentrations (10–20 $\mu\text{g/ml}$), suggesting a potential synergistic interaction between gene therapy and phytochemical treatment. The combination of wild-type p53 gene transfection and curcumin treatment significantly enhanced growth inhibition compared to curcumin alone, highlighting a promising combinatorial approach for breast cancer therapy. Ongoing molecular analyses, including caspase activation and gene expression profiling, aim to elucidate the underlying apoptotic mechanisms. Supported by Tekirdağ Namık Kemal University Scientific Research Projects Unit (NKUBAP.02.YL.25.679).

Keywords: MCF-7, P53 Gene, Curcumin, Breast Cancer, MTT, Cell Viability



Makale id= 72

Sözlü Sunum

ORCID ID: <https://orcid.org/0000-0002-0960-122X>

| 135

Meme Kanseri İlişkili Lenfödemde Kişiselleştirilmiş Egzersiz Reçetelendirmesinde Yapay Zekânın Kullanımı: Chatgpt-4.0 ve Google Gemini Karşılaştırması

Dr. Öğretim Üyesi Esra Üzelpasacı¹, Doç.Dr. Cansu Şahbaz Pirinçci¹
¹Sağlık Bilimleri Üniversitesi

*Corresponding author: Esra Üzelpasacı

Özet: Amaç: Yapay zekâ (YZ) tarafından oluşturulan egzersiz programları rehabilitasyon ortamlarında destekleyici araçlar olarak kullanılabilir. Ancak özellikle meme kanseri ilişkili lenfödem gibi karmaşık klinik durumlarda, bu önerilerin mutlaka nitelikli fizyoterapistler tarafından gözden geçirilip kişiselleştirilmesi gerekmektedir. Bu çalışma, ChatGPT-4.0 ve Google Gemini adlı iki YZ tabanlı platform tarafından üretilen meme kanseri ilişkili lenfödem için bireyselleştirilmiş egzersiz programlarının kalitesini karşılaştırmayı amaçladı. Yöntem: Uzman iki fizyoterapist tarafından meme kanseri ile ilişkili lenfödem için standartlaştırılmış bir klinik vaka ve bireyselleştirilmiş egzersiz planlaması için 20 temel soru hazırlandı. Önceki kullanıcı etkileşimlerinden kaynaklanabilecek olası yanlılığı en aza indirmek ve yanıtların önceki sorgulardan etkilenmemesini sağlamak amacıyla, konuya ilişkin hiçbir ön etkinliği olmayan yeni oluşturulmuş bir hesap kullanılarak egzersiz programı için hazırlanan 20 soruya yönelik cevaplar kaydedildi. Kaydedilen cevaplar Google Forms aracılığıyla bu alanda çalışan fizyoterapistlere gönderildi ve fizyoterapistlerin her iki platformdan elde edilen cevapları bağımsız ve kör bir şekilde Global Kalite Ölçeği (GKÖ) ile puanlaması istenildi. ChatGPT-4.0 ve Google Gemini'nin oluşturduğu egzersiz programına verilen puanları karşılaştırmak için eşleştirilmiş örneklem t-testi kullanıldı. Bulgular: Google Gemini, ChatGPT-4.0'a kıyasla anlamlı derecede daha yüksek toplam GKÖ puanı aldı ($p = 0,038$). Özellikle bireyselleştirilmiş planlama ve klinik karar verme gibi karmaşık akıl yürütme gerektiren alanlarda Gemini, ChatGPT'den üstün bulundu ($p = 0,005$ ve $p = 0,036$). Sonuç: Çalışmamızdan elde edilen bulgulara göre; Google Gemini, değerlendirme, bireyselleştirilmiş egzersiz ve klinik karar verme alanlarında daha yüksek kaliteli yanıtlar ürettiği gösterilmiştir. Yapay zeka platformları, meme kanseri ile ilişkili lenfödem için bireyselleştirilmiş egzersiz reçetelendirmesini desteklemede umut vadetmektedir; ancak yanıt kalitesindeki farklılıklar, profesyonel eleştirel denetimin gerekliliğini ortaya koymaktadır.

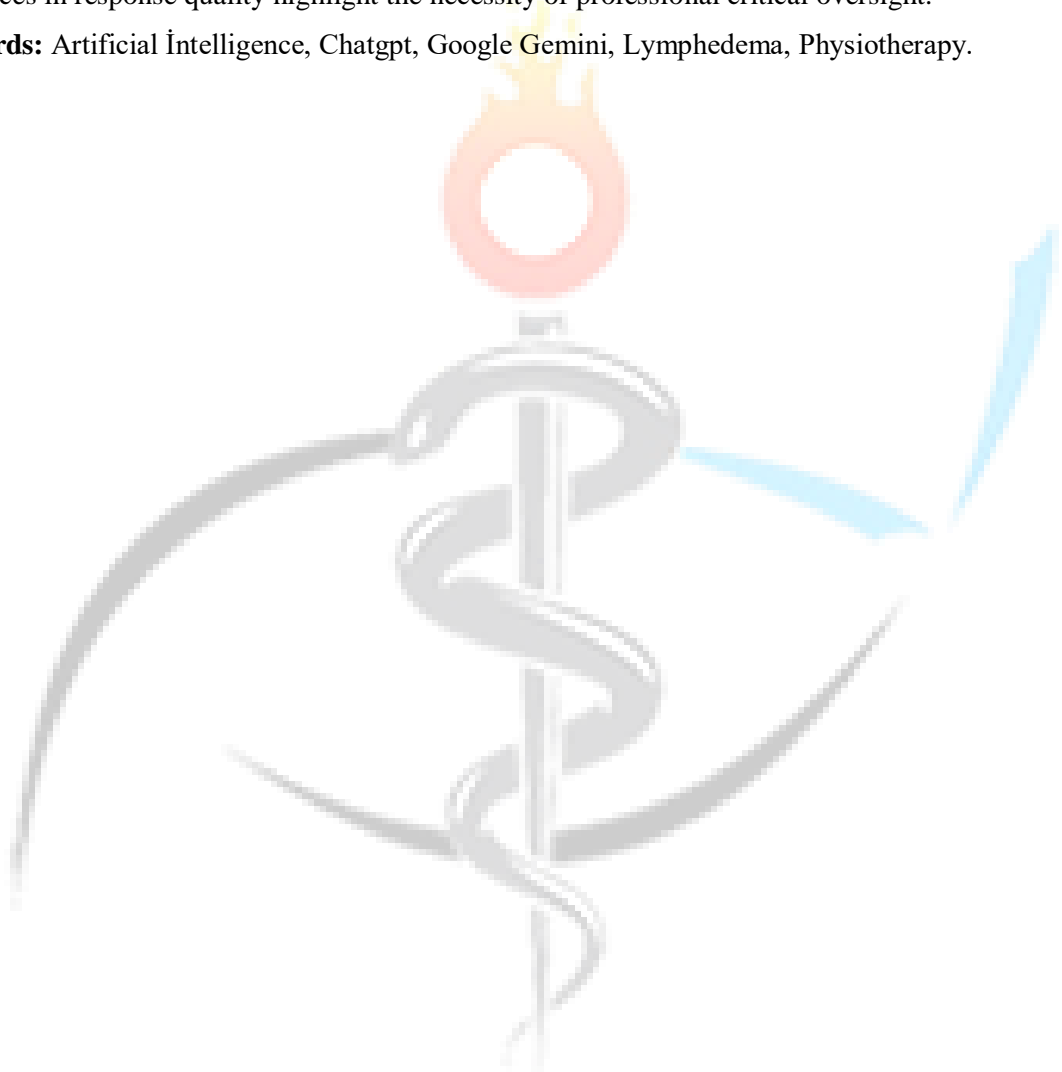
Anahtar Kelimeler: Yapay Zeka, Chatgpt, Google Gemini, Lymphedema, Physiotherapy.

Use of Artificial Intelligence in Personalized Exercise Prescription for Breast Cancer-Related Lymphedema: A Comparison of Chatgpt-4.0 and Google Gemini

Abstract: Objective: Exercise programs generated by artificial intelligence (AI) can be used as supportive tools in rehabilitation settings; however, in complex clinical conditions such as breast cancer-related lymphedema, these recommendations must be reviewed and individualized by qualified physiotherapists. This study aimed to compare the quality of individualized exercise programs for breast cancer-related lymphedema generated by two AI-based platforms, ChatGPT-4.0 and Google Gemini. Methods: A standardized clinical case and 20 key questions for individualized exercise planning in breast cancer-related lymphedema were developed by two expert physiotherapists. To minimize potential bias from prior user interactions and to ensure that the responses were not influenced by

previous queries, a newly created account with no prior activity on the topic was used to record the responses to the 20 prepared questions. The recorded responses were then distributed to physiotherapists working in this field via Google Forms, and they were asked to independently and blindly evaluate the responses from both platforms using the Global Quality Scale (GQS). A paired samples t-test was used to compare the scores obtained from the exercise programs generated by ChatGPT-4.0 and Google Gemini. Results: Google Gemini received a significantly higher total GQS score compared to ChatGPT-4.0 ($p = 0.038$). Specifically, Gemini outperformed ChatGPT in areas requiring complex reasoning, such as individualized planning and clinical decision-making ($p = 0.005$ and $p = 0.036$). Conclusion: According to the findings of our study, Google Gemini was shown to generate higher-quality responses in assessment, individualized exercise, and clinical decision-making. AI platforms hold promise in supporting individualized exercise prescription for breast cancer-related lymphedema; however, the differences in response quality highlight the necessity of professional critical oversight.

Keywords: Artificial Intelligence, Chatgpt, Google Gemini, Lymphedema, Physiotherapy.



Makale id= 148

Sözlü Sunum

ORCID ID: 0000-0003-3432-6343

| 137

Obez Erişkin Bireylerde Vücut Kompozisyonuna İlişkin Ölçümler ile Denge ve Fiziksel Performans Arasındaki İlişki

Arş.Gör.Dr. Arzu Demircioğlu Karagöz¹, Dr. Öğretim Üyesi Ülkü Kezban Şahin²

¹Hacettepe Üniversitesi

²Giresun Üniversitesi

*Corresponding author: Arzu Demircioğlu Karagöz

Özet: Amaç: Obezite, vücut kompozisyonundaki değişimlere bağlı olarak denge, esneklik ve fiziksel performansı olumsuz etkileyebilen önemli bir halk sağlığı problemidir. Bu araştırmanın amacı, obez erişkin bireylerde vücut kütle indeksi ve bel-kalça oranı ile denge, esneklik ve fiziksel performans testleri arasındaki ilişkiyi incelemektir. Yöntem: Katılımcıların vücut kütle indeksi ve bel-kalça oranı kaydedilerek denge durumlarını değerlendirmek için Tandem, Tek Ayak Üzerinde Durma ve Fonksiyonel Uzanma Testi uygulandı. Esneklik için Otur-Uzan Testi, yürüme hızı için Süreli Kalk ve Yürü Testi, fiziksel performans değerlendirmesi için Dikey ve Yatay Sıçrama Testi kullanıldı. Sonuçlar: Araştırmaya 22 (%33,3) erkek, 44 (%66,7) kadın olmak üzere toplam 66 obez erişkin birey dahil edildi. Bireylerin ortalama yaşı $29,38 \pm 8,8$ yıl idi. Vücut kütle indeksi ile tek ayak üzerinde durma süresi ($\rho = -0,298$, $p = 0,015$) ve Süreli Kalk ve Yürü Testi ($\rho = 0,256$, $p = 0,038$) arasında anlamlı ilişki olduğu gösterildi. Bel-kalça oranı ile yatay sıçrama mesafesi ($\rho = 0,460$, p

Anahtar Kelimeler: Fiziksel Performans, Obezite, Postüral Denge, Vücut Kompozisyonu

The Relationship Between Body Composition Measurements and Balance and Physical Performance in Obese Adults

Abstract: Objective: Obesity is a significant public health issue that can negatively affect balance, flexibility, and physical performance due to changes in body composition. The aim of this study is to examine the relationship between body mass index and waist-to-hip ratio and various tests of balance, flexibility, and physical performance in obese adults. Methods: Participants' body mass index and waist-to-hip ratio were recorded. Balance was assessed using the Tandem Test, One-Leg Stand Test, and Functional Reach Test. Flexibility was evaluated using the Sit-and-Reach Test, walking speed with the Timed Up and Go Test, and physical performance with the Vertical and Horizontal Jump Tests. Results: A total of 66 obese adults participated in the study, including 22 men (33.3%) and 44 women (66.7%). The average age of the participants was 29.38 ± 8.8 years. A significant relationship was found between body mass index and one-leg stand duration ($\rho = -0.298$, $p = 0.015$) as well as the Timed Up and Go Test ($\rho = 0.256$, $p = 0.038$). Additionally, there was a statistically significant relationship between waist-to-hip ratio and horizontal jump distance ($\rho = 0.460$, p

Keywords: Physical Performance, Obesity, Postural Balance, Body Composition

Makale id= 32

Sözlü Sunum

ORCID ID: orcid.org/0000-0003-4317-9226

| 138

Tip 1 Diyabetli Adolesanlarda Diyet Enerji Yoğunluğunun Glisemik Kontrol, Yaşam ve Uyku Kalitesi Üzerine Etkisi

Dr. Rukiye Bozbulut¹

¹Gazi Üniversitesi Tıp Fakültesi Hastanesi

Özet: Birçok çalışmada diyet enerji yoğunluğu ile sağlık sonuçları arasındaki ilişki değerlendirilmiş ancak diyet enerji yoğunluğu ile tip 1 diyabetli bireylerde bu konuda yapılan çalışma bulunmamaktadır. Bu çalışma Gazi Üniversitesi Tıp Fakültesi Çocuk Hastanesi Pediatrik Endokrinoloji Polikliniği'ne başvuran 13-18 yaş aralığındaki tip 1 diyabetli adolesanlarla yürütülmüştür. Diyet enerji yoğunluğu diyetle günlük alınan toplam enerjinin, diyetle günlük tüketilen toplam besinin gram cinsinden ağırlığına bölünmesi ile (kkal/gram) hesaplanmış ve tertillere ayrılmıştır. Yaşam kalitesini değerlendirmek için PedsQLTM (Pediatric Quality of Life Inventory) Diyabet Modülü Versiyon 3.0 13-18 yaş arası ergen raporu kullanılmıştır. Uyku kalitelerinin tespiti amacı ile Pittsburgh Uyku Kalitesi indeksi uygulanmıştır. Antropometrik ölçümler yöntemine uygun olarak yapılmıştır. Katılımcıların %55'i erkek, %45'i kızdır. Diyet enerji yoğunluğunun üçüncü tertilinde PUKİ skoru 8.5 ± 2.81 , ikinci tertilde 6.3 ± 2.48 ve birinci tertilde 7.1 ± 2.64 olarak bulunmuştur. Tedaviye uyum puanı da diyet enerji yoğunluğu arttıkça düşmektedir (p

Anahtar Kelimeler: Tip 1 Diyabet, Diyet Enerji Yoğunluğu, Glisemik Kontrol, Uyku Kalitesi, Yaşam Kalitesi

The Effect of Dietary Energy Density On Glycemic Control, Quality of Life, and Sleep in Adolescents With Type 1 Diabetes.

Abstract: Many studies have evaluated the relationship between dietary energy density and health outcomes, but no study has investigated this issue in individuals with type 1 diabetes. This study was conducted with adolescents with type 1 diabetes aged 13-18 years who presented to the Pediatric Endocrinology Outpatient Clinic of Gazi University Faculty of Medicine Children's Hospital. Dietary energy density was calculated by dividing total daily dietary energy intake by the total daily dietary food weight in grams (kkal/gram) and categorized into tertiles. The PedsQLTM (Pediatric Quality of Life Inventory) Diabetes Module Version 3.0 report for adolescents aged 13-18 was used to assess quality of life. The Pittsburgh Sleep Quality Index was applied to determine sleep quality. The effect of dietary energy density on glycemic control, quality of life, and sleep in adolescents with type 1 diabetes. Anthropometric measurements were performed according to the method. were 55% male and 45% female. The PSQI score was found to be 8.5 ± 2.81 in the third tertile of dietary energy density, 6.3 ± 2.48 in the second tertile, and 7.1 ± 2.64 in the first tertile. The treatment compliance score also decreased as dietary energy density increased (p

Keywords: Type 1 Diabetes, Dietary Energy Density, Glycemic Control, Sleep Quality, Quality of Life

Makale id= 78**Sözlü Sunum**

ORCID ID: 0000-0002-9556-1067

| 139

Tip 2 Diyabetli Bireylerde Besin Etiketleri Okuma, Gıda Okuryazarlığı ve Akdeniz Diyetine Uyum Durumlarının Değerlendirilmesi**Dr. Öğretim Üyesi Gülin Öztürk Özkan¹**
¹Istanbul Medeniyet Üniversitesi

Özet: Bu çalışma ile tip 2 diyabetli bireylerin besin etiketi okuma, gıda okuryazarlığının ve sağlıklı beslenme modeli olan Akdeniz diyetine uyum durumlarını değerlendirmek, ayrıca besin etiketi okuma ve gıda okuryazarlığının glisemi ve lipid profili üzerine etkisini incelemek amacıyla yapılmıştır. Çalışmada, tip 2 diyabet tanısı konulmuş 400 hastaya yüz yüze genel bilgiler, hastalık bilgileri, besin etiketi okuma ile ilgili sorular, gıda okuryazarlığı ölçeği (kısa-form) ve Akdeniz diyetine uyum ölçeği (MEDAS) içeren bir anket formu uygulanmış ve hastaların dosyalarından laboratuvar değerleri (açlık glikoz, HbA1C, total kolesterol, trigliserit, HDL-kolesterol, LDL-kolesterol) alınmıştır. Diyabetli % 24,8'i besin etiketi okuduğunu belirtmiştir. Katılımcıların % 84,0'ünde yeterli düzeyde gıda okuryazarlığı olduğu, % 61,8'inin Akdeniz diyetine uyumlarının iyi olduğu tespit edilmiştir. Besin etiketi okuyan diyabetlilerin HbA1C (% 6,8±1,7) değerleri okumayan (% 6,9±1,3) ve bazen okuyanlardan (% 7,7±2,2) daha düşük bulunmuştur. Besin etiketi okuyan bireylerin HDL-kolesterol düzeylerinin (51,6±13,2) okumayanlardan (47,7±14,4) daha yüksek olduğu saptanmıştır. Gıda okuryazarlığı ile beden kütle indeksi (r:-0,154), açlık glukoz (r:-0,149), total kolesterol (r:-0,195) ve LDL-kolesterol (r:-0,120) düzeyleri arasında negatif yönlü ilişki olduğu tespit edilmiştir. Akdeniz diyetine uyum ile açlık glukoz (r:-0,163) ve LDL-kolesterol (r:-0,118) düzeylerinin negatif yönlü ilişkili olduğu saptanmıştır. Sonuç olarak besin etiketi okuma ve gıda okuryazarlığı diyabetli bireylerde normogliseminin sağlanması ve lipid profilinin iyileşmesi üzerine olumlu etki yapabilmektedir. Bu konuda hastaların farkındalıklarının artırılması tedaviye olumlu katkı sağlayabilecektir.

Anahtar Kelimeler: Tip 2 Diabetes Mellitus, Besin Etiketleri, Gıda Okuryazarlığı, Akdeniz Diyeti**Evaluation of Food Label Reading, Food Literacy, and Adherence to the Mediterranean Diet in Individuals With Type 2 Diabetes**

Abstract: This study was conducted to assess the ability of individuals with type 2 diabetes to read food labels, their food literacy, and their adherence to the Mediterranean diet, a healthy eating pattern, as well as to examine the effect of food label reading and food literacy on glycaemic and lipid profiles. In the study, a questionnaire form containing general information, disease information, questions related to reading food labels, a food literacy scale (short form) and a Mediterranean diet adherence scale (MEDAS) was administered face-to-face to 400 patients diagnosed with type 2 diabetes, and routine laboratory values (fasting glucose, HbA1C, total cholesterol, triglycerides, HDL-cholesterol, LDL-cholesterol) were obtained from the patients' files. Twenty-four point eight per cent of diabetics stated that they read food labels. It was found that 84.0 per cent of participants had adequate food literacy, and 61.8 per cent had good adherence to the Mediterranean diet. The HbA1C values of diabetics who read food labels (6.8±1.7%) were found to be lower than those who did not read (6.9±1.3%) and those who sometimes read (7.7±2.2%). The HDL-cholesterol levels (51.6±13.2) of individuals who read food

labels were found to be higher than those who did not read them (47.7 ± 14.4). A negative correlation was found between food literacy and body mass index ($r: -0.154$), fasting glucose ($r: -0.149$), total cholesterol ($r: -0.195$) and LDL-cholesterol ($r: -0.120$) levels. A negative correlation was found between adherence to the Mediterranean diet and fasting glucose ($r: -0.163$) and LDL-cholesterol ($r: -0.118$) levels. In conclusion, reading food labels and food literacy may have a positive effect on achieving normoglycaemia and improving the lipid profile in individuals with diabetes. Raising patients' awareness in this regard may contribute positively to treatment.

Keywords: Type 2 Diabetes Mellitus, Food Labels, Food Literacy, Mediterranean Diet



Makale id= 196

Sözlü Sunum

ORCID ID: 0000-0002-2731-6799

| 141

Tiroit Hastalarında Bariatrik Cerrahi Sonrası Kilo Kaybı ile Komorbidite Arasındaki İlişki

Dr. Vahit Mutlu¹

¹Üsküdar Üniversitesi

Özet: Amaç: Bu araştırmada, tiroit hastalarında bariatrik cerrahi sonrası komorbidite ile kilo kaybı arasındaki ilişkinin incelenmesi amaçlandı. Yöntem: Araştırmada Ocak 2012 ile Haziran 2025 tarihleri arasında kliniğimizde bariatrik cerrahi operasyon geçirmiş tiroid tanılı hastalar retrospektif olarak analiz edildi. Hastaların yaş, cinsiyet, vücut kitle indeksi, komorbidite, altıncı ay ve birinci yıl sonundaki kilo kayıpları analiz edildi. Bulgular: Araştırmaya 72 kadın (%82.8) ve 15 erkek (%17.2) olmak üzere, 87 tiroit tanısı olan bariatrik cerrahi hastası alındı. hastaların ortalama yaşları 39.47±11.83 olup, Vücut Kitle İndeksi (VKI) ortalamaları ise 47.76±7.51 olarak rapor edildi. Hastaların %40.2'sinde diabetes mellitus, %29.9'unda hipertansiyon ve %20.7'sinde hiperlipidemi vardı. Komplikasyon oranı %6.9 olarak rapor edildi. Hastaların %63.2'sinde tanılı komorbidite vardı. Operasyon süresi ortalaması 111.45±45.19 olup, yatış süresi ortalaması ise 4.92±1.86 olarak bulundu. Hastaların 6. ay kilo kaybı ortalaması 57.80±13.70 ve 12. ay kilo kaybı ortalaması 72.99±16.33 olarak bulundu. Hastaların 6. ay kilo kaybıyla yaş (r=-0.353; p

Anahtar Kelimeler: Obezite, Bariatrik Cerrahi, Tiroid, Kilo Kaybı

The Relationship Between Weight Loss and Comorbidities After Bariatric Surgery in Thyroid Patients

Abstract: Objective: This study aimed to examine the relationship between comorbidities and weight loss after bariatric surgery in thyroid patients. Methods: This study retrospectively analyzed patients diagnosed with thyroid disease who underwent bariatric surgery at our clinic between January 2012 and June 2025. Patient age, gender, body mass index, comorbidities, and weight loss at six months and one year were analyzed. Results: The study included 87 bariatric surgery patients with a thyroid diagnosis, 72 female (82.8%) and 15 male (17.2%). The mean age of the patients was 39.47±11.83 years, and the mean Body Mass Index (BMI) was reported as 47.76±7.51. 40.2% of the patients had diabetes mellitus, 29.9% had hypertension, and 20.7% had hyperlipidemia. The complication rate was reported as 6.9%. 63.2% of the patients had diagnosed comorbidities. The mean operative time was 111.45±45.19, and the mean length of stay was 4.92±1.86. The patients' mean weight loss at 6 months was 57.80±13.70, and the mean weight loss at 12 months was 72.99±16.33. There was a statistically significant and negative correlation between the patients' 6th month weight loss and age (r=-0.353; p

Keywords: Obesity, Bariatric Surgery, Thyroid, Weight Loss.

Makale id= 46

Sözlü Sunum

ORCID ID: 0000-0003-4680-1738

| 142

Tümör Tedavisi İçin Enjekte Edilebilir ve Ph Duyarlı Karboksimetil Selüloz Hidrojellerin Geliştirilmesi ve Kontrollü İlaç Salım Özellikleri

Dr. Öğretim Üyesi Özlem Erdal Altıntaş¹
¹Afyonkarahisar Sağlık Bilimleri Üniversitesi

Özet: Tümör tedavisi, biyomedikal araştırmaların odak noktalarından biri olmaya devam etmektedir. Kemoterapötik ilaçlar ve diğer terapötik ajanlarla ilişkili sistemik yan etkiler ve hedefleme etkinliği konusundaki kaygılar, çeşitli ilaç taşıyıcı sistemlerinin geliştirilmesini teşvik etmektedir. Bu taşıyıcı sistemler, tümör bölgesindeki ilaç konsantrasyonunu artırmayı, sistemik toksisiteyi azaltmayı ve genel terapötik etkinliği iyileştirmeyi amaçlamaktadır. Bu bağlamda, enjekte edilebilir hidrojeller, minimal invaziv uygulama avantajları sayesinde kemoterapötik ilaçların in vivo uygulanmasında öne çıkan bir aday olarak değerlendirilmektedir. Bu çalışma kapsamında ilk olarak selüloz farklı oranlarda karboksimetilleyerek elde edilen karboksimetil selüloz (KMS) türevleri 1,4-Butandioldiglisidil eter (BDDE) çapraz bağlayıcı ile birleştirilerek 3 farklı enjekteedilebilir hidrojel (KMS-1, KMS-2 ve KMS-3) üretilmiştir. KMS hidrojellerin şişme (%)’lerinin sıcaklık ile birlikte arttığı ve karboksimetilasyon derecesi (DS) düşük olan hidrojelin (KMS-1) polimer zincirinde daha az -COO⁻ (karboksil grubu) daha hidrofobik bir yapısı nedeniyle daha yavaş şişme (%) si (45 °C’de 72 sa sonunda %29,17 şişme) ve daha yavaş bozunma (%)sine (45 C’de 72 sa sonunda kalan kütle %62,2)sahip olduğu belirlenmiştir. Ayrıca KMS hidrojellerin asidik koşullarda (pH) COO⁻ grupları protonlanması nedeniyle şişme (%)’lerinin bazik koşullara göre azaldığı belirlenmiştir. Geliştirilen bu hidrojellerden düşük DS’li KMS-1 hidrojele %51,2, KMS-2 hidrojele %68,9 ve yüksek DS’li KMS-3 hidrojele ise % 77,6 kemik tümörlerinin tedavisinde kullanılan zoledronik asit yüklenmiş ve bu sistemlerin kontrollü ilaç salım potansiyeli değerlendirilmiştir. Düşük DS’li hidrojelde 48. Saatin sonunda h 7,4 PBS ortamında yüklenen ilacın % 46.1’i KMS-2 hidrojelde 51,2’si ve KMS-3 hidrojelde ise 63.4’ü salınmıştır. Düşük DS’li hidrojelerde, pH etkisi sınırlı olduğu ve salımın pH ile biraz artsa da, genelde daha düşük miktarda ve daha yavaş gerçekleştiği, yüksek DS’li hidrojelerde fizyolojik veya bazik pH’ta daha hızlı ve kontrollü bir salımın gerçekleştiği belirlenmiştir. Böylece, lokal ve uzun süreli ilaç salımı sağlayacak sistemik yan etkileri azaltabilecek, hedefe yönelik yeni nesil ilaç taşıyıcı sistemin potansiyeli ortaya çıkartılmıştır.

Anahtar Kelimeler: Enjekte Edilebilir Hidrojel, İlaç Salımı, Karboksimetil Selüloz, Zoledronik Asit

Makale id= 150

Sözlü Sunum

ORCID ID: 0000-0001-9422-853X

| 143

Hipokampus Korumalı Tüm Beyin Radyoterapisinde Farklı Plan Parametrelerine Göre Oluşturulan Volumetrik Ark Terapi Planlarının Dozimetrik Karşılaştırılması

Ma.St. Eylem Kırac¹, Dr. Öğretim Üyesi Şule Parlar¹, Doç.Dr. Mustafa Akın²

¹Trakya Üniversitesi

²Sağlık Bilimleri Üniversitesi

*Corresponding author: Eylem Kırac

Özet: Bu çalışmada, tüm beyin radyoterapisi uygulanan 20 hastada, hipokampus korumalı kranial ışınlama amacıyla Volumetrik Ark Terapi (VMAT) tekniği ile oluşturulan tedavi planlarında hedef volüm ve kritik organ dozlarının (lensler, optik sinirler, optik kiazma ve hipokampus) dozimetrik olarak karşılaştırılması amaçlanmıştır. Çalışmaya, daha önce tüm beyin radyoterapisi uygulanmış 20 hasta dahil edilmiş ve hastalara ait bilgisayarlı tomografi görüntüleri retrospektif olarak değerlendirilmiştir. Kesitsel görüntüler üzerinde tüm beyin, hipokampus ve riskli organ (OAR) volümleri konturlanmış; doz kriterleri RTOG 0933 protokolü referans alınarak toplam 30 Gy dozun 10 fraksiyonda uygulanacağı şekilde planlanmıştır. Her hasta için, farklı gantri, kolimatör ve masa açılara sahip altı farklı VMAT planı oluşturulmuş; bunlardan üçü eşmerkezli (coplanar), üçü ise eşmerkezli olmayan (non-coplanar) gantri açıları kullanılarak hazırlanmıştır. Tüm planlar değerlendirildiğinde, non-coplanar tedavi planlarının hem hedef volüm doz dağılımları hem de hipokampus başta olmak üzere riskli organ dozları açısından dozimetrik avantaj sağladığı görülmüştür. Ancak, non-coplanar planların diğer coplanar planlara kıyasla daha uzun plan hesaplama süresi, hasta bazlı kalite kontrolünün daha karmaşık olması ve set-up süresinin uzaması gibi dezavantajlara sahip olduğu da göz önünde bulundurulmalıdır.

Anahtar Kelimeler: Radyoterapi, Hipokampus Koruma, Volumetrik Ark Terapi, Tüm Beyin Radyoterapisi

Dosimetric Comparison of Volumetric Modulated Arc Therapy Plans Generated With Different Planning Parameters in Hippocampal-Sparing Whole-Brain Radiotherapy

Abstract: This study aimed to compare, from a dosimetric perspective, the target volume and critical organ doses (lenses, optic nerves, optic chiasm, and hippocampus) in treatment plans created using the Volumetric Modulated Arc Therapy (VMAT) technique for hippocampal-sparing cranial irradiation in 20 patients who underwent whole-brain radiotherapy. The study included 20 patients previously treated with whole-brain radiotherapy, and their computed tomography (CT) images were retrospectively evaluated. On axial CT slices, the entire brain, hippocampus, and organs at risk (OARs) were contoured. Dose criteria were determined according to the RTOG 0933 protocol, with a total dose of 30 Gy delivered in 10 fractions. For each patient, six different VMAT plans were generated with varying gantry, collimator, and couch angles; three of these plans were designed with coplanar gantry angles and three with non-coplanar gantry configurations. Evaluation of all plans revealed that the non-coplanar treatment plans provided dosimetric advantages in both target volume dose distribution and in reducing doses to organs at risk, particularly the hippocampus. However, non-coplanar plans were found to require longer calculation times, to pose greater challenges in patient-specific quality assurance (QA),

and to have longer set-up durations compared with coplanar plans—factors that should be carefully considered in clinical implementation.

Keywords: Radiotherapy, Hippocampal Sparing, Volumetric Modulated Arc Therapy, Whole-Brain Radiotherapy



Makale id= 134

Sözlü Sunum

ORCID ID: 0009-0009-7968-7880

| 145

"Doğal" Her Zaman Güvenli Anlamına Gelmez: Kudret Narı (Momordica Charantia) Kullanımına Bağlı Toksik Hepatit

Arş.Gör. Emre Kutlay Sarıtış¹

¹SBÜ Bağcılar Eğitim ve Araştırma Hastanesi

Özet: Toplumda bitkisel ürünler sıklıkla “zararsız” olarak algılansa da, bu ürünler ciddi yan etkilere yol açabilmekte; özellikle toksik hepatit gibi klinik tablolarla karşımıza çıkabilmektedir. Kudret narı (Momordica charantia), özellikle diyabetik bireyler arasında yaygın olarak kullanılan bir bitkidir. Bu sunumda, kudret narı kullanımına bağlı geliştiği düşünülen bir toksik hepatit vakasını paylaşacağız. Tıp 2 diyabet tanısı olan 51 yaşındaki kadın hasta, yorgunluk, iştahsızlık, koyu renkli idrar ve ciltte-gözlerde sararma şikayetleriyle acil servise başvurdu. Hastanın yalnızca metformin kullandığı ve son üç aydır kudret narını kaynatarak aralıklı şekilde tükettiği öğrenildi. Alkol kullanımı veya mantar maruziyeti öyküsü mevcut değildi. Fizik muayenede cilt ve skleralar ikterik, batin muayenesi ise doğaldı. Laboratuvar incelemelerinde: AST: 1118 U/L, ALT: 1800 U/L, GGT: 510 U/L, total bilirubin: 12.11 mg/dL, direk bilirubin: 10.9 mg/dL, INR: 1.79 olarak saptandı. Viral serolojiler, otoimmün belirteçleri negatifti. Ultrasonografi, doppler, bilgisayarlı tomografi ve manyetik rezonans görüntülemelerinde hepatobiliyer sistem tamamen doğaldı. Ayrıca gastroskopide herhangi bir patoloji izlenmedi. Yapılan karaciğer biyopsisinde, portal alanda nötrofil ve eozinofiller içeren yoğun inflamatuvar infiltrasyon ile birlikte köprüleşen nekroz alanları izlendi. Fibrozis saptanmadı. Bu bulgular toksik hepatit lehine yorumlandı. Hastaya izotonik sıvılar, asetilsistein ve ursodeoksikolik asit başlanarak serviste takibe alındı. Klinik durumu ve laboratuvar değerleri zamanla düzelen hasta, yaklaşık bir aylık hastane yatışı sonrası: AST: 105 U/L, ALT: 300 U/L, GGT: 100 U/L, total bilirubin:3.4 mg/dL, direk bilirubin:2.6 mg/dL INR: 1.16 değerleriyle taburcu edildi. Bu olgu, bitkisel ürünlerin sanıldığı kadar masum olmadığını bir kez daha göstermektedir. Özellikle kronik hastalığı bulunan bireylerde, bitkisel destek ürünlerinin kullanımı dikkatle değerlendirilmeli ve öykü alınırken bu ürünlerin kullanımı mutlaka ayrıntılı şekilde sorgulanmalıdır.

Anahtar Kelimeler: Toksik Hepatit, Kudret Narı, Momordica Charantia

"Natural" Doesn't Always Mean Safe: Toxic Hepatitis Linked to Bitter Melon(Momordica Charantia) Use

Abstract: Although herbal products are often perceived as "harmless" by the public, they can cause serious side effects, including toxic hepatitis. Bitter melon (Momordica charantia) is commonly used, especially among diabetic patients. In this case, we present a toxic hepatitis case believed to be caused by the use of bitter melon. A 51-year-old woman with a known diagnosis of type 2 diabetes presented to the emergency department with complaints of fatigue, loss of appetite, dark-colored urine, and yellowing of the skin and eyes. The patient was only taking metformin and had been intermittently consuming bitter melon by boiling it over the past three months. She had no history of alcohol use or mushroom ingestion. On physical examination, the skin and sclerae were icteric, and abdominal examination was unremarkable. Laboratory tests revealed AST: 1118 U/L, ALT: 1800 U/L, GGT: 510

U/L, total bilirubin: 12.11 mg/dL, and INR: 1.79. Viral serologies, autoimmune tests, and hepatobiliary imaging were all normal. No pathology was found on gastroscopy. Liver biopsy showed bridging necrosis and a dense inflammatory infiltrate containing neutrophils and eosinophils in the portal area; no fibrosis was observed. The findings were interpreted as consistent with toxic hepatitis. The patient was started on symptomatic treatment including isotonic fluids, acetylcysteine, and ursodeoxycholic acid. Her clinical condition and laboratory values gradually improved. After one month of hospitalization, she was discharged with AST: 105 U/L, ALT: 300 U/L, GGT: 100 U/L, and INR: 1.2. It should be kept in mind that herbal products such as bitter melon can cause toxic hepatitis. These products should be used with caution, especially in individuals with chronic illnesses, and their use should always be specifically questioned during medical history taking.

Keywords: Toxic Hepatitis, Bitter Melon, Momordica Charantia



Makale id= 67

Sözlü Sunum

ORCID ID: 0000-0001-8736-308X

| 147

"Karnitin Palmitoiltransferaz-İ Eksikliği: Enfeksiyon Sonrası Rabdomiyoliz ve Solunum Yetmezliği Vakası"

Uzman Dr. Hicret Yeniay¹, Uzman Dr. Volkan Yazar¹, Doç.Dr. Gökhan Kiliç¹, Uzman Dr. Yakup Özgüngör², Doç.Dr. Mensure Cakirgoz²

¹Balıkesir Atatürk Şehir Hastanesi

²İzmir Şehir Hastanesi

*Corresponding author: Hicret Yeniay

Özet: Amaç: Karnitin palmitoiltransferaz II (CPT-II) eksikliği, erişkin yaşta genetik olarak belirlenmiş rabdomiyolizin en sık nedenidir. Bu olgu sunumunda, enfeksiyon sonrası gelişen rabdomiyoliz ve solunum yetmezliği ile başvuran bir CPT-II eksikliği hastasının yoğun bakım süreci ve tedavi yanıtı aktarılmaktadır. Olgu: Otuz bir yaşında erkek hasta, üst solunum yolu enfeksiyonunu takiben gelişen dispne ve kas güçsüzlüğü nedeniyle acil servise başvurmuştur. Laboratuvar bulgularında ciddi düzeyde kreatin kinaz (CK), karaciğer enzimleri ve troponin I artışı saptanmıştır. Arter kan gazı analizinde asidoz, hiperkapni ve hipoksemi mevcuttu. Hasta yoğun bakıma alınarak antibiyotik tedavisi, sıvı-elektrolit replasmanı ve metabolik destek başlandı. Persistan hipoksemi nedeniyle kısa süreli mekanik ventilasyon uygulandı. Takipte metabolik parametrelerde düzelme sağlandı ve hasta stabil hale gelerek servise devredildi. Sonuç: CPT-II eksikliği, özellikle enfeksiyon gibi tetikleyici faktörler sonrasında ciddi rabdomiyoliz ve solunum yetmezliği ile seyredebilir. Erken tanı, multidisipliner yaklaşım ve zamanında yoğun bakım desteği, klinik prognoz açısından yaşamsal öneme sahiptir. Triheptanoin destekli metabolik tedavi, klinik stabilizasyon sürecine katkı sağlamıştır.

Anahtar Kelimeler: Cpt-İ Eksikliği, Rabdomiyoliz, Solunum Yetmezliği, Triheptanoin, Yoğun Bakım, Mitokondriyal Miyopati

Carnitine Palmitoyltransferase-İ Deficiency: A Case of Post-Infectious Rhabdomyolysis and Respiratory Failure

Abstract: Objective: Carnitine palmitoyltransferase II (CPT-II) deficiency is the most common genetic cause of rhabdomyolysis in adults. This case report presents the intensive care management and clinical course of a patient with CPT-II deficiency who developed rhabdomyolysis and respiratory failure following an infectious episode. Case Presentation: A 31-year-old male with a known diagnosis of CPT-II deficiency presented to the emergency department with dyspnea and muscle weakness, three days after the onset of upper respiratory tract infection symptoms. Laboratory investigations revealed markedly elevated creatine kinase (CK), liver enzymes, and troponin I levels. Arterial blood gas analysis showed acidosis, hypercapnia, and hypoxemia. The patient was admitted to the intensive care unit (ICU), where he received intravenous antibiotics, fluid and electrolyte replacement, and metabolic therapy. Due to persistent hypoxemia, short-term mechanical ventilation was required. Over the following days, clinical and metabolic parameters gradually improved, and the patient was successfully weaned from respiratory support and transferred to the general ward. Conclusion: CPT-II deficiency may present with severe rhabdomyolysis and respiratory failure, particularly following infectious triggers. Early

diagnosis, multidisciplinary management, and timely ICU support are crucial for improving outcomes. Triheptanoin-based metabolic therapy contributed to clinical stabilization in this case.

Keywords: Cpt-I1 Deficiency, Rhabdomyolysis, Respiratory Failure, Triheptanoin, Intensive Care, Mitochondrial Myopathy



Makale id= 38**Sözlü Sunum**ORCID ID: <https://orcid.org/0000-0002-5402-4636>

| 149

85 Yaş ve Üzeri Sepsis Hastalarında Basit İndekslerle Mortalite Öngörüsü: Nlr, Plr ve Sii**Dr. Öğretim Üyesi İrem Akın Şen¹**
¹Mersin Üniversitesi Tıp Fakültesi

Özet: 85 Yaş ve Üzeri Sepsis Hastalarında Basit İndekslerle Mortalite Öngörüsü: NLR, PLR ve SII Giriş Sepsis, ileri yaşlı kritik hastalarda en önemli ölüm nedenlerinden biridir. “En yaşlı” grup (≥ 85 yaş), kırılabilirlik ve çoklu komorbiditeler nedeniyle kötü prognoza sahiptir. Bu nedenle kolay ve erişilebilir biyobelirteçlere ihtiyaç vardır. Nötrofil/lenfosit oranı (NLR), trombosit/lenfosit oranı (PLR) ve sistemik immün-inflamasyon indeksi (SII), inflamasyonu yansıtan basit göstergeler olup, bu yaş grubunda prognostik değerleri yeterince araştırılmamıştır (1–3). Amaç Sepsisli ≥ 85 yaş yoğun bakım hastalarında NLR, PLR ve SII’nin mortalite ve mekanik ventilasyon ihtiyacını öngörmedeki değerini belirlemek. Yöntem Bu retrospektif, tek merkezli çalışma 2019–2024 arasında Mersin Üniversitesi Dahili Yoğun Bakım Ünitesi’nde yürütüldü. Sepsis tanısıyla yatan 381 hasta dahil edildi (ortalama yaş: $89,2 \pm 3,2$; %59,3 erkek). Kabulde NLR, PLR ve SII hesaplandı. Primer sonlanımlar yoğun bakım ve 28 günlük mortalite; sekonder sonlanımlar mekanik ventilasyon gereksinimi ve yatış süresi olarak belirlendi. Bulgular Kohortta medyan NLR 8,0; PLR 172; SII 1557 idi. Sağ kalmayanlarda bu değerler anlamlı derecede yüksekti. ROC analizinde $NLR \geq 7$ (AUC: 0,70) ve $SII \geq 1908$ (AUC: 0,64) mortalite ile güçlü şekilde ilişkiliydi (3,4). Yüksek PLR de mortalite ve organ disfonksiyonu ile ilişkili bulundu (5). Çok değişkenli analizlerde $NLR \geq 7$, $SII \geq 1908$ ve yüksek PLR bağımsız mortalite belirleyicileri idi. Ayrıca NLR ve SII, mekanik ventilasyon ihtiyacı ile bağımsız ilişkiliydi. Sonuç Sepsisli ≥ 85 yaş yoğun bakım hastalarında NLR, PLR ve SII, mortalite ve olumsuz klinik sonuçların öngörüsünde değerlidir. Bu basit indekslerin risk sınıflamasında kullanılması, uygun tedavi stratejilerinin belirlenmesine katkı sağlayabilir.

Anahtar Kelimeler: Sepsis, yoğun Bakım İnötrofil/lenfosit Oranı (Nlr), trombosit/lenfosit Oranı (Plr), sistemik İmmün-İnflamasyon İndeksi (Sii), mortalite

Prognostic Value of Simple Indices in Septic Patients Aged 85 Years and Older: Nlr, Plr, and Sii

Abstract: Prognostic Value of Simple Indices in Septic Patients Aged 85 Years and Older: NLR, PLR, and SII Introduction Sepsis is one of the leading causes of death in critically ill elderly patients. The “oldest-old” group (≥ 85 years) has a particularly poor prognosis due to frailty and multiple comorbidities. Therefore, there is a need for simple and accessible biomarkers to predict mortality. Neutrophil-to-lymphocyte ratio (NLR), platelet-to-lymphocyte ratio (PLR), and systemic immune-inflammation index (SII) are inexpensive markers reflecting systemic inflammation, but their prognostic role in this age group remains underexplored (1–3). Aim To evaluate the prognostic value of NLR, PLR, and SII in predicting mortality and mechanical ventilation requirement among septic ICU patients aged ≥ 85 years. Methods This retrospective, single-center study was conducted between 2019 and 2024 in the Internal Medicine Intensive Care Unit of Mersin University Hospital. A total of 381 septic patients were included (mean age: 89.2 ± 3.2 years; 59.3% male). NLR, PLR, and SII were calculated at ICU

admission. Primary outcomes were ICU and 28-day mortality; secondary outcomes included mechanical ventilation requirement and ICU length of stay. Results Median NLR was 8.0, PLR 172, and SII 1557. Non-survivors had significantly higher values. ROC analysis identified NLR ≥ 7 (AUC: 0.70) and SII ≥ 1908 (AUC: 0.64) as predictors of mortality (3,4). High PLR was also associated with mortality and organ dysfunction (5). Multivariate analysis showed NLR ≥ 7 , SII ≥ 1908 , and elevated PLR as independent predictors of mortality. Additionally, NLR and SII were independently associated with the need for mechanical ventilation. Conclusion In septic ICU patients aged ≥ 85 years, NLR, PLR, and SII are valuable predictors of mortality and adverse clinical outcomes. Incorporating these simple indices into risk stratification may aid in early identification and management strategies for the oldest-old septic patients.

Keywords: Sepsis, Intensive Care, neutrophil-To-Lymphocyte Ratio (Nlr), platelet-To-Lymphocyte Ratio (Plr), systemic Immune-Inflammation Index (Sii), mortality



Makale id= 95

Sözlü Sunum

ORCID ID: 0000-0001-8561-7736

| 151

Acil Rekonstrüksiyonu Sonrası Rehabilitasyonda Chatgpt'nin Yanıt Kalitesinin Değerlendirilmesi: Doğruluk, Tutarlılık ve Klinik Uygunluk

Uzman Dr. Yusuf Altuntas¹

¹Şişli Hamidiye Etfal Eğitim ve Araştırma Hastanesi

Özet: Amaç: Ön çapraz bağ rekonstrüksiyonu (ACLR) sonrası rehabilitasyona ilişkin hasta sorularına ChatGPT'nin (Türkçe) verdiği yanıtların doğruluk, tutarlılık, güvenlik ve klinik uygunluk açısından değerlendirilmesi. Yöntem: Rehabilitasyonun farklı fazlarını kapsayan 20 hasta sorusu geliştirildi. Sorular sabit parametrelerle (GPT-5; temperature=0; tek tur/tek soru; web kapalı) 3 farklı günde yinelenildi (toplam 60 yanıt). Her soru için literatür temelli kritik maddeleri içeren referans-anahtar oluşturuldu. Yanıtlar kör şekilde dört basamaklı doğruluk ölçeği (I: kapsamlı/doğru; II: doğru-eksik; III: doğru-yanlış karışık; IV: hatalı), 10 maddelik içerik listesi (0–2 puan/madde), güvenlik (zararlı/yanıltıcı öneri var/yok), okunabilirlik (1–5) ve eyleme dönüklük (0–100) üzerinden puanlandı. Tutarlılık, aynı sorunun üç yanıtında sınıf eşleşmesi (%) ve madde varlığı üzerinden Jaccard/uyum yüzdeleriyle; intra-değerlendirici güvenilirlik, yanıtların %20'sinin 2–3 hafta sonra yeniden puanlanmasıyla ağırlıklı kappa (sınıf) ve ICC(2,1) (sürekli ölçütler) üzerinden hesaplandı. Bulgular (örnek/simülasyon): Doğruluk dağılımı I: %21.7; II: %48.3; III: %23.3; IV: %6.7; III–IV toplam %30.0. Toplam madde puanı 15.3±3.2 (medyan 15, IQR 13–18); güvenlik sorunu %10.0. Tutarlılık: sınıf tam uyumu %60.0, içerik Jaccard 0.71±0.18, değişkenlik endeksi 0.12±0.09. İntra-değerlendirici güvenilirlik: $\kappa=0.78$; ICC(2,1)=0.86. Sonuç: ChatGPT, ACLR rehabilitasyonuna yönelik Türkçe hasta sorularında çoğunlukla I–II sınıflarında yanıt üretmekle birlikte yaklaşık üçte bir oranda klinik açıdan yetersiz/karma içerik (III–IV) verebilmektedir. Eksiklikler özellikle ilerletme kriterleri ve spora dönüş (RTS) objektif ölçütleri etrafında yoğunlaşmaktadır. Klinik kullanım, kılavuz uyumlu çok ölçütlü çerçeve ve insan denetimi ile sınırlandırılmalıdır.

Anahtar Kelimeler: Ön Çapraz Bağ, Spor Cerrahisi, Rehabilitasyon, Artificial İntelligence, Chatgpt

Evaluating the Response Quality of Chatgpt in Rehabilitation After Acl Reconstruction: Accuracy, Consistency, and Clinical Relevance

Abstract: Objective: To evaluate the accuracy, consistency, safety, and clinical relevance of ChatGPT (Turkish) responses to patient questions regarding rehabilitation after anterior cruciate ligament reconstruction (ACLR). Method: Twenty patient questions covering different phases of rehabilitation were developed. Questions were repeated on 3 different days with fixed parameters (GPT-5; temperature = 0; single round/single question; web off) (60 responses in total). A reference key containing critical literature-based items was generated for each question. Responses were scored blindly on a four-point accuracy scale (I: comprehensive/accurate; II: true-incomplete; III: mixed true-false; IV: incorrect), a 10-item content list (0–2 points/item), safety (harmful/misleading advice present/absent), readability (1–5), and actionability (0–100). Consistency was assessed using class matching (%) across three responses to the same question and Jaccard/concordance percentages based on item presence. Intra-rater reliability was calculated using weighted kappa (class) and ICC(2,1) (continuous measures) by re-scoring 20% of

the responses after 2–3 weeks. Findings (sample/simulation): Accuracy distribution I: 21.7%; II: 48.3%; III: 23.3%; IV: 6.7%; III–IV total 30.0%. Total item score 15.3 ± 3.2 (median 15, IQR 13–18); reliability issue 10.0%. Consistency: class agreement 60.0%, content Jaccard 0.71 ± 0.18 , variability index 0.12 ± 0.09 . Intra-rater reliability: $\kappa=0.78$; ICC(2,1)=0.86. Conclusion: ChatGPT generates mostly grades I–II responses to Turkish patient questions about ACLR rehabilitation, but approximately one-third of the time, it provides clinically inadequate/mixed content (III–IV). Deficiencies are particularly concentrated around progression criteria and objective measures of return to sport (RTS). Clinical use should be limited to a guideline-compliant multi-criteria framework and human oversight.

Keywords: Anterior Cruciate Ligament, Sports Surgery, Artificial Intelligence, Rehabilitation, Chatgpt



Makale id= 122

Sözlü Sunum

ORCID ID: 0000-0002-1188-0918

| 153

Ağır Kombine İmmün Yetmezlik Olgusu: Ikbkb Eksikliği

Uzman Dr. Ercan Yılmaz¹

¹İnönü Üniversitesi

Özet: Giriş: IKBKB eksikliği, nadir ancak yaşamı tehdit eden bir primer immün yetersizlik bozukluğudur. Bu ağır kombine immün yetmezlik (AKİY) hastalığı erken başlangıçlı bakteriyel, viral, fungal ve mikobakteriyel enfeksiyonlarla karakterizedir. Klinik olarak IKBKB eksikliği ile uyumlu tüm ekzom dizilemesinde olası patojen olarak değerlendirilen olgu sunulmuştur. Olgu sunumu: 6 aylık erkek hasta, 2 ay önce ateş öksürük halsizlik ağızda yara şikayetleri ile dış merkezde çocuk acile başvuran 3 aylık erkek hasta alınan tetkiklerle yeni tip koronavirüs enfeksiyonu olduğu ve toraks tomografisinde buzlu cam görünümü saptanmış, abdomen ultrasonografide batında 3 cm serbest mayi saptanmış ve yatarak takip edilmiş. Ateşinin 1 hafta yüksek devam etmesi ve genel durumda kötüleşme olan hasta merkezimize sevk edilmiş. Anne ve baba akrabalığı mevcut olan hastanın fizik muayenesinde soluk görünümde, 2 cm hepatomegali, akciğer oskültasyonunda bilateral ralleri saptandı. Laboratuvarında anemi, trombositopeni ve nötropeni, ferritin yüksekliği, akut faz reaktanlarında yükseklik, hipertrigliseritemi ve fibrinojen düşüklüğü saptanan hastada ön planda Primer Hemofagositik Lenfositik Histiositoz (HLH) düşünüldü. Hastaya kemik iliği aspirasyonu yapıldı ve sonucunda fagosit yapmış histiositler görüldü. Hasta Primer HLH tanısıyla tedaviye başlandı. Hastanın yatışının ilerleyen günlerinde sitomegalovirus (CMV) pnömonisi gelişti. Yoğun bakım takiplerinde HLH sürecini atlatan hastanın sürekli çevresine ilgisiz bakışlarının olması, halsizliğinin devam etmesi üzerine kranial MR görüntülemesinde bilateral serebral ve serebellar atrofi saptandı. İmmün yetmezlik açısından genetik inceleme yapılması planlanan Olguya tüm ekzom dizileme çalışıldı. Hemofagositik IKBKB geninde missense c.1342C>T varyantı homozigot olarak saptandı. Bu varyant olası patojen olarak değerlendirildi ve hasta IKBKB eksikliği tanısı aldı. Sonuç: Olgumuzda erken başlangıçlı, tekrarlayan ve ağır enfeksiyonlar ile seyreden AKİY grubundan IKBKB eksikliği saptanmıştır. Tespit edilen mutasyon Clinvar veri tabanında sadece bir merkez tarafından klinik önemi belirsiz olarak bildirilmiş olup sonraki dönemlerde literatüre bu mutasyonun dahil edilmesi olasılığını yüksek olarak görüyoruz.

Anahtar Kelimeler: Ikbkb Eksikliği, Ağır Kombine İmmün Yetmezlik, Yeni Genetik Varyant

Severe Combined Immunodeficiency Case: Ikbkb Deficiency

Abstract: Introduction: IKBKB deficiency is a rare but life-threatening primary immunodeficiency disorder. This severe combined immunodeficiency (SCID) is characterized by early-onset bacterial, viral, fungal, and mycobacterial infections. A case of IKBKB deficiency, clinically consistent with IKBKB deficiency and evaluated as a likely pathogen by whole-exome sequencing, is presented. Case Report: A 6-month-old male patient presented to an external pediatric emergency department two months prior with fever, cough, fatigue, and oral ulcers. Initial investigations revealed a novel coronavirus infection, with chest CT demonstrating ground-glass opacities, and abdominal ultrasound showing 3 cm of free fluid in the abdomen; the patient was admitted for inpatient follow-up. Due to persistent high fever for one week and deterioration of general condition, he was referred to our center.

The patient was born to consanguineous parents. On physical examination, he appeared pale, had 2 cm hepatomegaly, and bilateral lung rales on auscultation. Laboratory tests showed anemia, thrombocytopenia, neutropenia, elevated ferritin, increased acute phase reactants, hypertriglyceridemia, and hypofibrinogenemia, raising suspicion for primary hemophagocytic lymphohistiocytosis (HLH). Bone marrow aspiration revealed histiocytes with phagocytosis, and the patient was started on treatment for primary HLH. During hospitalization, he developed cytomegalovirus (CMV) pneumonia. After overcoming the HLH episode in the intensive care unit, the patient continued to exhibit lack of attention to his surroundings and persistent fatigue. Cranial MRI revealed bilateral cerebral and cerebellar atrophy. Given the suspicion of immunodeficiency, genetic analysis was performed, and whole-exome sequencing identified a homozygous missense variant c.1342C>T in the IKBKB gene. This variant was considered likely pathogenic, and the patient was diagnosed with IKBKB deficiency. Conclusion: Our case highlights early-onset, recurrent, and severe infections in the SCID spectrum due to IKBKB deficiency. The identified mutation has been reported in ClinVar by only a single center as of uncertain clinical significance, but we anticipate its inclusion in future literature as pathogenic.

Keywords: Ikbkb Deficiency, Severe Combined Immunodeficiency, New Genetic Variant



Makale id= 145

Sözlü Sunum

ORCID ID: 0000-0002-1188-0918

| 155

Ağır Kombine İmmün Yetmezlik Olgusu: Ora1 Eksikliği

Uzman Dr. Ercan Yılmaz¹

¹İnönü Üniversitesi

Özet: Giriş: Ağır kombine immün yetmezlik (AKİY), erken infantil dönemde ciddi enfeksiyonlarla seyreden, yüksek mortalite riski taşıyan nadir bir primer immün yetersizliktir. Bu olguda, homozigot ORAI1 gen varyantına bağlı yeni tanımlanan bir AKİY vakası sunulmakta ve klinik seyri tartışılmaktadır. Olgu Sunumu: 5 aylık erkek hasta ilk defa 1 aylıkken yüksek ateş ve ağızda yara şikayetleri ile hastaneye başvurmuş. Antibiyotik verilmiş. 2. ayda BCG aşısından sonra ateşi yükselmiş, yine antibiyotik önerilmiş. Hastanın ateşinin 1 haftaya kadar sürmesi nedeniyle yapılan tetkiklerinde derin anemi ve hepatomegali saptanması üzerine hastanemize sevk edilmiş. Bir kardeşinin 4 aylıkken ateş nedeni ile eksitus olduğu öğrenilen hastaya coombs pozitif otoimmün hemolitik anemi teşhisi kondu, tedavisi başlandı, immünsüpresif tedavilerin başlanması ile hastada oral lezyonlar ve öksürük, ateş ve solunum sıkıntısı gelişti. Akut faz reaktanlarının yüksek olduğu görüldü, kanda CMV PCR pozitif olduğu için tedavisine ganciklovir eklendi. İmmün yetmezlik olasılığı düşünüldü, birinci ve ikinci basamak immün yetmezlik testleri negatif geldi ve tüm ekzom dizileme gönderildi. Tüm ekzom dizileme raporunda ORAI1 geninde missense c.262A>T varyantı homozigot olarak saptandı. Bu varyant sağlıklı veri tabanında, ClinVar’da ve güncel literatürde bildirim bulunmazken ACMG kriterlerine göre olası patojen olarak sınıflandırılmıştı. OMIM veri tabanında immün yetmezlik tip 9 ilişkilendirilen varyant ile hasta yeni tanımlanan bir varyant nedeni ile ORAI1 ağır kombine immün yetmezlik tanısını aldı. Sonuç: Hastada saptanan homozigot ORAI1 varyantı, literatürde daha önce bildirilmemiş olup klinik tabloyla uyumlu olarak olası patojen kabul edilmiştir. ORAI1 eksikliği, kalsiyum kanal işlev bozukluğu sonucu T-hücre aktivasyon kusuru ve ağır kombine immün yetmezlik tablosuna yol açar. Erken genetik tanı, uygun tedavi planlaması ve aile danışmanlığı açısından önemlidir.

Anahtar Kelimeler: Ora1 Eksikliği, Ağır Kombine İmmün Yetmezlik, Yeni Genetik Varyant

Severe Combined Immunodeficiency Case: Ora1 Deficiency

Abstract: Introduction: Severe Combined Immunodeficiency (SCID) is a rare primary immunodeficiency disorder characterized by severe infections in early infancy and a high risk of mortality. Here, we present a newly identified case of SCID caused by a homozygous ORAI1 gene variant and discuss the clinical course. Case Report: A 5-month-old male infant first presented at 1 month of age with high fever and oral ulcers, for which antibiotics were prescribed. At 2 months, following BCG vaccination, he developed fever again and was given antibiotics. Due to persistent fever lasting up to one week, laboratory evaluation revealed severe anemia and hepatomegaly, prompting referral to our hospital. Family history revealed a sibling who had died at 4 months of age due to fever. The patient was diagnosed with Coombs-positive autoimmune hemolytic anemia and started on treatment. Following initiation of immunosuppressive therapy, he developed oral lesions, cough, fever, and respiratory distress. Elevated acute phase reactants were observed, and blood CMV PCR was positive, leading to the addition of ganciclovir therapy. Given the suspicion of immunodeficiency, first-

and second-tier immunological tests were performed, which were unremarkable, and whole-exome sequencing (WES) was subsequently conducted. WES revealed a homozygous ORAI1 missense variant (c.262A>T). This variant was not reported in healthy population databases, ClinVar, or current literature and was classified as likely pathogenic according to ACMG criteria. Based on OMIM data associating ORAI1 variants with immunodeficiency type 9, the patient was diagnosed with ORAI1-related Severe Combined Immunodeficiency due to a newly identified variant. Conclusion: The homozygous ORAI1 variant identified in this patient has not been previously reported in the literature and was considered likely pathogenic based on the clinical phenotype. ORAI1 deficiency causes impaired calcium channel function, leading to defective T-cell activation and a severe combined immunodeficiency phenotype. Early genetic diagnosis is crucial for appropriate treatment planning and family counseling.

Keywords: Ora1 Deficiency, Severe Combined Immunodeficiency, New Genetic Variant



Makale id= 155

Sözlü Sunum

ORCID ID: 0000-0001-9004-1794,0000-0003-2076-2400

| 157

Akut Mekanik İntestinal Obstrüksiyonun Görüntü İşleme Teknikleriyle Teşhis Edilmesi

Uzman Dr. Hüseyin Esin¹, Öğr. Gör. Dr Samet Cıklaçandır²

¹Sağlık Bilimleri Üniversitesi, İzmir Şehir Hastanesi, Genel Cerrahi Bölümü

², İzmir Katip Çelebi Üniversitesi, Mühendislik ve Mimarlık Fakültesi, Biyomedikal Mühendisliği Bölümü

*Corresponding author: Hüseyin Esin

Özet: Akut batın, 24 saatten kısa sürede gelişen ani ve şiddetli karın ağrısı olarak tanımlanır ve acil servislerde sık karşılaşılan klinik tablolardan biridir. Akut karın ağrısına neden olan durumlar arasında akut mekanik intestinal tıkanma (AMİT) hızlı tanı ve acil cerrahi müdahale gerektirmesi bakımından kritik öneme sahiptir. Bu olgularda tanı ve tedavideki gecikmeler, mortaliteye yol açabilecek ciddi komplikasyonlara neden olabilir. Son yıllarda yapay zeka destekli karar sistemleri, çeşitli hastalıkların tanısında yaygın olarak kullanılmaya başlanmıştır. Bu çalışmanın amacı, AMİT tanısında hekimlere yardımcı olabilecek bir makine öğrenmesi temelli karar destek sistemi geliştirmektir. Çalışmada, 12'si kontrol ve 12'si AMİT hastasına ait olmak üzere toplam 24 abdominal X-ray görüntüsü analiz edilmiştir. Görüntüler üzerinde gri-seviye ayarlama, filtreleme ve maskeleyme işlemleri uygulanmış; ardından kontur tespiti algoritmaları ile hava-sıvı seviyeleri belirlenmiştir. Hava-sıvı seviyeleri belirli eşik değerlerin altında dairesel alanlar olarak tespit edilmiştir. Kontrol grubunda algoritma herhangi bir hava-sıvı seviyesi belirlemezken, AMİT olgularının 11'inde pozitif bulgu elde edilmiştir. Buna göre sistemin doğruluk oranı %91,6 olarak saptanmıştır. Görüntü sayısının azlığı çalışmanın başlıca kısıtlılığıdır. Sonuç olarak, daha geniş veri setleriyle desteklenecek ileri çalışmaların, geliştirilen sistemin klinik kullanıma entegrasyonunu mümkün kılabileceği düşünülmektedir.

Anahtar Kelimeler: Akut Mekanik İntestinal Tıkanma, Akut Batın, Yapay Zeka, Karar Destek Sistemi.

Diagnosing Acute Mechanical Intestinal Obstruction With Image Processing Techniques

Abstract: Acute abdomen is defined as severe abdominal pain that develops suddenly and lasts less than 24 hours, representing one of the most frequent clinical emergencies. Among the causes of acute abdominal pain, acute mechanical intestinal obstruction (AMIO) requires urgent diagnosis and surgical intervention. Delay in the diagnosis and management of these cases may result in life-threatening complications. In recent years, artificial intelligence-based decision support systems have been increasingly utilized in the diagnosis of various diseases. The present study aimed to develop a machine learning-based clinical decision support system to assist physicians in the diagnosis of AMIO using radiographic images. A total of 24 abdominal X-ray images, including 12 from healthy controls and 12 from patients with AMIO, were analyzed. Following grayscale adjustment, filtering, and masking procedures, contour detection algorithms were applied to identify air-fluid levels. Air-fluid levels were detected as circular regions below a predefined threshold value. The algorithm detected no air-fluid levels in the control group, while positive findings were observed in 11 of the AMIO cases. The developed system achieved a diagnostic accuracy of 91.6% in identifying AMIO. The limited number of images was considered the main limitation of the study. With the incorporation of a larger dataset and

further algorithmic refinement, the proposed system could be integrated into clinical diagnostic workflows as an automated decision-support tool for early detection of AMIO.

Keywords: Acute Mechanical Intestinal Obstruction, Acute Abdomen, Artificial Intelligence, Decision Support System.



Makale id= 129

Sözlü Sunum

ORCID ID: 0000-0002-8661-8308

| 159

Anatomi Eğitiminde Kadavra Bağışının Önemi

Dr. Öğretim Üyesi Mehmet Cengiz Tatar¹

¹Selçuk Üniversitesi Tıp Fakültesi Anatomi Anabilim Dalı

Özet: Uygulamalı anatomi eğitiminin önemli bir parçası olan kadavranın bağış yoluyla elde edilmesi önemlidir. Ticari olarak yurt dışından şirket aracılı kadavra ithalatı mümkün olsa da halen tıp fakültelerinde esas olarak beden bağışı yoluyla kadavra alınmaktadır. Kadavra disseksiyonu tıp ve diş hekimliği fakülteleri öğrencilerinin eğitimi yanında uzman tıp doktorlarının ve ileri düzey cerrahi girişim eğitimlerinde de kullanılmaktadır. Araştırmamızda anatomi pratik eğitiminin görsel ve uygulamalı objesi olan ve bağışçılarına her zaman saygılarımızı dile getirdiğimiz kadavra bağışının eğitimdeki önemini belirtmeyi ve farkındalığını artırmayı amaçladık. Anatomi uygulamalı eğitimleri için kadavra ediniminin yasal mevzuatı, geçmişteki durumu, günümüzde geline şartlarını araştırdık. Geçmişte olduğu gibi günümüzde de anatomi eğitiminde kadavra önemini korumaktadır. Kadavra tıp eğitiminde tıp öğrencisi hekim adayının ilk hastası gibi kabul edilir. Hekim adayı gerçek insan doku ve organlarına dokunarak eğitim almaktadır. Kadavra ya da beden bağışı için ülkemizde yasal düzenleme; Organ ve Doku Alınması, Saklanması ve Nakli Hakkında Kanun ile düzenlenmiş ve sonraki yıllarda ek düzenlemeler yapılmıştır. Diyanet İşleri Başkanlığı Din İşleri Yüksek Kurulu organ bağışını insanın insana yapabileceği en büyük yardım olarak tanımlanmıştır ve organ naklinin caiz olduğunu bildirmiştir. Kadavra temininin zor ve yeterli olmaması kadavraların daha uzun süreli kullanımını gündeme getirmiş ve plastine kadavra ile organ ve doku kullanımının ortaya çıkmasını sağlamıştır. Sanal gerçeklik gözlükleri ve disseksiyon masalarının kullanıma girmesi eğitime katkı sağlamaya başlamıştır. Günümüzde tıp ve diş hekimliği anatomi eğitiminde kadavra önemini korumaktadır. Toplum bilincinin oluşması ve beden bağışının desteklenmesi anatomi ve dolayısıyla tıp eğitiminin kalitesi ve hekim eğitimi açısından önemli ve gereklidir.

Anahtar Kelimeler: Anatomi, Eğitim, Pratik, Kadavra, Bağış

The Importance of Cadaver Donation in Anatomy Education

Abstract: Obtaining cadavers through donation is an important component of applied anatomy education. While it is possible to import cadavers commercially from abroad through companies, medical schools still primarily acquire cadavers through body donation. Cadaver dissection is used in the education of medical and dental students, as well as in the training of specialist medical doctors and advanced surgical interventions. In our research, we aimed to highlight the educational importance of cadaver donation, a visual and practical object of anatomy practical education, and to raise awareness of its donors. We investigated the legal regulations and past and present conditions for cadaver acquisition in anatomy practical education. As in the past, cadavers retain their importance in anatomy education today. In cadaver medical education, medical students are considered the physician candidates' first patient. Physician candidates receive training by handling real human tissues and organs. The legal regulation for cadaver or body donation in our country is regulated by the Law on Organ and Tissue Removal, Storage, and Transplantation, and additional regulations were introduced in

subsequent years. The Presidency of Religious Affairs' High Council of Religious Affairs has defined organ donation as the most significant aid a person can offer to another and has declared organ transplantation permissible. The difficulty and insufficient supply of cadavers have led to the longer-term use of cadavers, leading to the emergence of organ and tissue plastinated cadavers. The introduction of virtual reality headsets and dissection tables has begun to contribute to education. Today, cadavers maintain their importance in anatomy education in medicine and dentistry. Raising public awareness and supporting body donation are crucial for anatomy, which in turn enhances the quality of medical education and physician training.

Keywords: Anatomy, Education, Practice, Cadaver, Donation



Makale id= 128

Sözlü Sunum

ORCID ID: 0000-0002-8661-8308

| 161

Anatomide Çevrimiçi Eğitimin Önemi

Dr. Öğretim Üyesi Mehmet Cengiz Tatar¹

¹Selçuk Üniversitesi Tıp Fakültesi Anatomi Anabilim Dalı

Özet: Geleneksel tıp eğitiminin evrildiği dönemlerde yaşamaktayız. Sanal ortam, internet, yapay zekanın yardımlarıyla günümüzde eğitim, öğretim, bilgiye erişim konusunda birçok avantajlara sahibiz. Bulaşıcı hastalık salgını ve deprem sonrası gibi yüz yüze eğitimin kesintiye uğradığı dönemlerde çevrimiçi eğitim kaçınılmaz ve eğitimin sürekliliği açısından kurtarıcı olmuştur. Tıp eğitimi için ağırlıklı düzeyde temel bilimlerde bu şekilde yaşansa da uygulamalı eğitim gerektirmesi nedeniyle bir hibrit eğitim söz konusudur. Araştırmamızda anatomi eğitiminin öğretim kaynaklarını inceleyip modern uygulamalar ve bilginin öğrenciye verilmesi konusunda günümüzdeki durumu özellikle pandemi ve deprem gibi eğitim ve öğretimin kesintiye uğradığı şartlarda online eğitimin önemini değerlendirmeyi amaçladık. Anatomi eğitimi için PubMed ve Scholar Google veri tabanlarında ‘anatomy education, Kahramanmaraş Earthquake’ araması yapıldı. Deprem için 2023-2025 yıl sınırlaması ile arama yapıldı. Bulunan 81 sonuçtan beş tanesi Kahramanmaraş ve eğitim ile ilgili olarak değerlendirildi. Bu çalışmaların daha çok anket değerlendirmesi içerdiği saptanmıştır. Pandemi döneminde başlayan çevrimiçi senkron ve asenkron (video) şekilde anlatılabilen teorik dersler öğrencilerin eğitimlerinin sürdürülebilirliğini sağlamıştır. Deprem döneminde de teorik derslerin bu şekilde verilmesi yeterli olmakla birlikte uygulamalı dersler için hibrit eğitim daha tercih edilebilir olmaktadır. Temel tıbbın vazgeçilmezi olan anatomi eğitiminin sürdürülebilirliği hekim, diş hekimi ve diğer sağlık sistemi içinde yer alacak olan bölümlerin öğrencilerinin yetiştirilmeleri için önemlidir. Pandemi ve deprem gibi yaygın bölgeleri etkileyen acil durumlarda çevrimiçi veya hibrit eğitim ile öğrencilerin eğitimlerinin kesintisiz olarak devamı sağlanmaktadır. Çevrimiçi eğitim bu şekilde ülkelerin yetiştirilmekte olan insan işgücü ve sağlık profesyonellerinin eğitimlerinin devamını sağlayarak maddi ve manevi birçok kaybı engellemektedir.

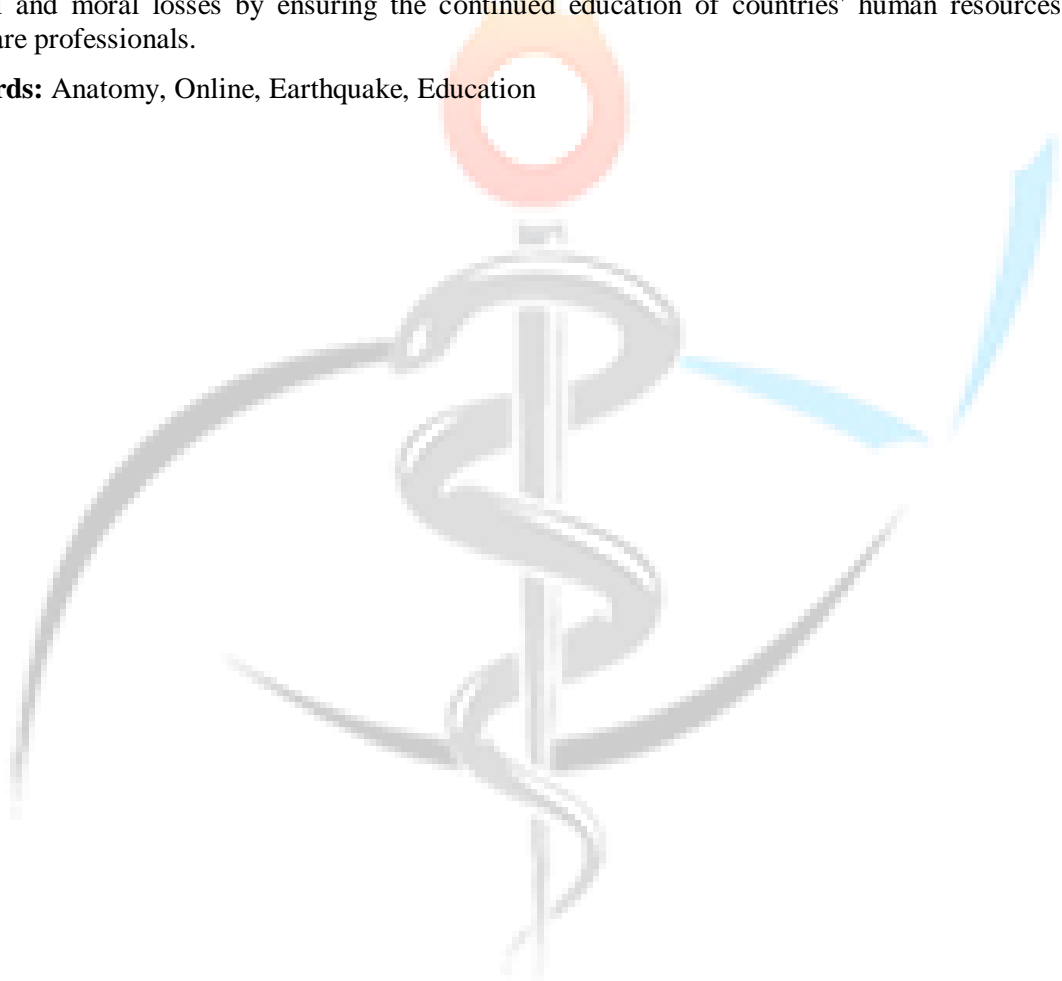
Anahtar Kelimeler: Anatomy, Online, Earthquake, Education

The Importance of Online Education in Anatomy

Abstract: We live in times where traditional medical education is evolving. With the help of virtual environments, the internet, and artificial intelligence, we now have many advantages in education, training, and access to information. Online education is now offered at the master's and doctoral levels, in addition to undergraduate education, and has reached high levels in in-person education. In times when face-to-face education is interrupted, such as during infectious disease outbreaks and earthquakes, online education has become indispensable and a lifesaver for educational continuity. While this is prevalent in medical education, primarily in basic sciences, it requires hands-on training, necessitating a hybrid approach. In our research, we aimed to examine the teaching resources of anatomy education and assess the current state of modern practices and the importance of online education, particularly during times of interruption in education and training, such as pandemics and earthquakes. For anatomy education, a search was conducted in the PubMed and Google Scholar databases for "anatomy

education, Kahramanmaraş Earthquake." The search for earthquakes was limited to the years 2023-2025. Five of the 81 results were evaluated as being related to Kahramanmaraş and education. These studies were found to involve survey evaluations mainly. Theoretical courses, which began during the pandemic period and can be taught online via synchronous and asynchronous (video), ensured the sustainability of students' education. While this mode of delivery was sufficient for theoretical courses during earthquakes, hybrid education is more preferable for practical courses. However, it should not be assumed that online education will completely replace face-to-face education. A study conducted among first-year dentistry students indicated that face-to-face anatomy courses would be appropriate. Another study conducted among dentistry students indicated that while online education has disadvantages for practical anatomy courses, it is an important resource in emergencies. The sustainability of anatomy education, an indispensable part of basic medicine, is crucial for the training of physicians, dentists, and students in other departments that will be involved in the healthcare system. In emergencies such as pandemics and earthquakes affecting widespread regions, online or hybrid education ensures the uninterrupted continuation of students' education. Online education, in this way, prevents numerous material and moral losses by ensuring the continued education of countries' human resources and healthcare professionals.

Keywords: Anatomy, Online, Earthquake, Education



Makale id= 18

Sözlü Sunum

ORCID ID: 0000-0001-8780-2943

| 163

Anevrizmal Kemik Kistlerinde Nüks ile Yaş Arasındaki İlişki: Tek Merkezli Retrospektif Bir Analiz

Uzman Dr. Salih Kaya¹

¹Erzurum Şehir Hastanesi

Özet: Amaç: Anevrizmal kemik kistleri (AKK) nadir görülen, özellikle çocuk ve adolesanlarda ortaya çıkan benign kemik lezyonlarıdır. Tedavi sonrası nüks literatürde oldukça değişken oranlarda bildirilmektedir. Bu çalışmanın amacı yaş ile nüks gelişimi arasındaki ilişkiyi değerlendirmektir. Yöntem: Bu retrospektif çalışmaya tek merkezde tedavi edilen 65 primer AKK'li hasta dahil edildi. Nüks, tedavi sonrası radyolojik veya histolojik olarak lezyonun tekrar ortaya çıkması şeklinde tanımlandı. Hastalar nüks ve nüks olmayan gruplara ayrıldı; yaş dağılımları Mann–Whitney U testi ile karşılaştırıldı. Bulgular: Ortalama yaş 16.8 ± 9.9 yıl idi. Nüks gelişen grupta median yaş 14 yıl olup, nüks gelişmeyen gruba göre anlamlı derecede düşüktü ($U = 235.0, p = 0.029$). Sonuç: Genç yaş, AKK'de nüks gelişimi açısından önemli bir risk faktörüdür. Özellikle pediatrik ve adolesan hastalarda yakın takip önerilmektedir.

Anahtar Kelimeler: Anevrizmal Kemik Kisti, Yaş, Nüks

The Impact of Age On Recurrence of Aneurysmal Bone Cysts: A Single-Center Retrospective Analysis

Abstract: Purpose: Aneurysmal bone cysts (ABCs) are rare benign bone lesions that occur predominantly in children and adolescents. Recurrence rates after treatment vary widely in the literature. The aim of this study was to investigate the relationship between age and recurrence. Methods: This retrospective study included 65 patients with primary ABCs treated at a single tertiary center. Recurrence was defined as radiological or histological reappearance of the lesion after treatment. Patients were divided into recurrence and non-recurrence groups, and age distributions were compared using the Mann–Whitney U test. Results: The mean age of the cohort was 16.8 ± 9.9 years. Patients with recurrence had a significantly lower median age (14 years) compared to those without recurrence ($U = 235.0, p = 0.029$). Conclusion: Younger age is a significant risk factor for recurrence in ABCs. Careful follow-up is recommended, particularly in pediatric and adolescent patients.

Keywords: Aneurysmal Bone Cyst, Age, Recurrence

Makale id= 89**Sözlü Sunum**

ORCID ID: 0009-0005-6779-0312

| 164

Anizometropik Amliyop Çocuklarda Göz Sinir Segment Yapılarının Değerlendirilmesi**Dr. Öğretim Üyesi Elvin Çelenk¹**¹Yalova Üniversitesi

Özet: Giriş: Ambliyopi, gözde görülebilen patolojik değişiklikler olmaksızın görme keskinliğinde azalma ile karakterize görsel sistemin gelişimsel bozukluğudur. Göz görme sinir aracılığı ile beyin ile bağlantı sağlar. Ambliyop olgularda görme korteksinde de değişiklikler olmaktadır. Ambliyop olgularda retina da oluşan değişiklikler hakkında farklı görüşler mevcuttur. Amaç: Çalışmada anizometropik ambliyop çocuklarda retina sinir lifi tabakası, maküla kalınlığı ve gangliyon hücre kompleksinin değerlendirilmesi amaçlanmıştır. Yöntem: Rutin poliklinik muayenesi sırasında ambliyop olduğu tespit edilen 23 çocuk ve sağlam (kontrol) 20 çocuk göz bulguları retrospektif olarak değerlendirildi. Tüm olguların en iyi düzeltilmiş görme keskinlikleri, biyomikroskopik ve fundus muayenesi ve göz arka segment optik koherans tomografi bulguları (retina sinir lifi tabakası, maküla kalınlığı, gangliyon hücre kompleksi) değerlendirildi. Ambliyop bireylerin ambliyop ve sağlam göz değerleri ile kontrol grubu değerleri istatistiksel olarak değerlendirildi. Bulgular: Olguların yaş ve sferik ekivalan değerleri arasında istatistiksel anlamlı farklılık yoktu. Makula segment analizinde, 4 kadran retina sinir lifi tabakaları arasında ve süperior -inferior gangliyon hücre analizinde istatistiksel anlamlı farklılık yoktu. Kontrol grubunun merkezi makula kalınlığı diğer gruplara göre daha kalın tespit edildi. Gruplar arası fark istatistiksel olarak anlamlıydı(p= 0,001). Sonuç: Hem az gören gözde hem de bu olguların diğer gözlerinde normal göze göre göz sinir tabakası daha incedir. Kalınlık farkı anlamlılığı merkezi bölümde daha belirgindir.

Anahtar Kelimeler: Anizometri, Ambliyopi, Retina Sinir Lifi, Makula**Evaluation of Optic Nerve Segment Structures in Children With Anisometric Amblyopia**

Abstract: SUMMARY Introduction: Amblyopia is a developmental disorder of the visual system characterized by decreased visual acuity without visible pathological changes in the eye. The eye connects to the brain via the optic nerve. Changes also occur in the visual cortex in cases of amblyopia. There are differing views regarding the changes that occur in the retina in cases of amblyopia. Objective: The aim of this study was to evaluate the retinal nerve fiber layer, macular thickness, and ganglion cell complex in children with anisometric amblyopia. Methods: The ocular findings of 23 children diagnosed with amblyopia during routine outpatient examinations and 20 healthy (control) children were retrospectively evaluated. The best-corrected visual acuity, biomicroscopic and fundus examination, and optical coherence tomography findings of the posterior segment of the eye (retinal nerve fiber layer, macular thickness, ganglion cell complex) were evaluated for all cases. The amblyopic and healthy eye values of amblyopic individuals were statistically evaluated against the control group values. Findings: There was no statistically significant difference between the age and spherical equivalent values of the cases. In the macular segment analysis, there was no statistically significant difference between the 4 quadrants of the retinal nerve fiber layer and in the superior-inferior ganglion cell analysis. The central macular thickness of the control group was found to be thicker than that of the other groups. The

difference between groups was statistically significant ($p= 0.001$). Conclusion: The retinal nerve layer is thinner than in the normal eye, both in the amblyopic eye and in the other eye of these cases. The significance of the thickness difference is more pronounced in the central region. Translated with DeepL.com (free version)

Keywords: Anisometropia, Amblyopia, Retinal Nerve Fiber, Macula



Makale id= 75

Sözlü Sunum

ORCID ID: 0000-0003-4102-081X

| 166

Azalmış Ejeksiyon Fraksiyonlu Kalp Yetmezliği Hastalarında Sağ Ventrikül Disfonksiyonunun Belirteci: Halp Skoru

Doktor Öğretim Üyesi Naile Eriş Güdül¹

¹Zonguldak Bülent Ecevit Üniversitesi, Tıp Fakültesi, Kardiyoloji Anabilim Dalı

Özet: Amaç: Kalp yetmezliği (HF), kalbin kanı etkili bir şekilde pompalayamama durumunu ifade eder. Ejeksiyon fraksiyonu azalmış kalp yetmezliği (HFrEF), vakaların yaklaşık %50'sini oluşturur ve yüksek mortalite ve hastaneye yatış oranları ile ilişkilidir. İleri düzey HFrEF, sağ ventrikül (RV) disfonksiyonuna yol açabilir ve bu durumda RV fonksiyonunun ekokardiyografik değerlendirilmesi gerekir. Çalışma, beslenme, inflamasyon ve hematolojik sağlıkla ilgili biyobelirteçleri bir araya getiren HALP skoruna odaklanarak, sol ventrikül ejeksiyon fraksiyonu (LVEF) \leq %40 olan HF hastalarında RV disfonksiyonunu tahmin ederken, periferik konjesyonlu hastaları hariç tutmaktadır. Yöntem: Bülent Ecevit Üniversitesi'nde kronik kalp yetmezliği ve LVEF'si %40 veya daha az olan hastalar Ocak 2024'ten Mayıs 2025'e kadar incelenmiştir. Aktif enfeksiyonu olanlar, yakın zamanda miyokard enfarktüsü geçirmiş olanlar ve önemli organ yetmezliği olanlar çalışma dışı bırakılmıştır. Sağ ventrikül disfonksiyonu TAPSE ölçümleri ile değerlendirildi ve

Anahtar Kelimeler: Kalp Yetmezliği; Sağ Ventrikül Disfonksiyonu; Halp Skoru; Tapse.

A Predictor of Right Ventricular Dysfunction in Patients With Heart Failure With Reduced Ejection Fraction: the Halp Score

Abstract: Objective: Heart failure (HF) refers to the heart's inability to pump blood effectively, with heart failure with reduced ejection fraction (HFrEF) comprising about 50% of cases and associated with high mortality and hospitalization. Advanced HFrEF can result in right ventricular (RV) dysfunction, necessitating echocardiographic assessment of RV function. The study focuses on the HALP score, which combines biomarkers related to nutritional, inflammatory, and hematologic health, to predict RV dysfunction in HF patients with a left ventricular ejection fraction (LVEF) of \leq 40%, while excluding those with peripheral congestion. Method: Patients with chronic heart failure and LVEF of 40% or less at Bülent Ecevit University were studied from January 2024 to May 2025. Exclusions included those with active infections, recent myocardial infarctions, and significant organ failures. Right ventricular dysfunction was assessed through TAPSE measurements, with

Keywords: Heart Failure; Right Ventricular Dysfunction; Halp Score; Tapse.

Makale id= 64**Sözlü Sunum**

ORCID ID: 0000-0002-9287-7875

| 167

Baş-Boyun Kanserlerinde Tanı Anında Lenf Nodu ve Uzak Metastazın Öngörüsünde 18-Fdg Pet/bt Parametrelerinin Değeri**Dr. Muhammet Halil Baltacıoğlu¹**¹Trabzon Kanuni Eğitim ve Araştırma Hastanesi Nükleer Tıp Kliniği

Özet: Amaç: Bu çalışmanın amacı, baş-boyun kanserli hastalarda tanı anında elde edilen FDG PET/BT parametrelerinin primer tümör SUVmax, tümör boyutu, lenf nodu SUVmax ve lenf nodu boyutu parametrelerinin lenf nodu metastazı ile uzak metastazı öngörmedeki değerini değerlendirmek ve cut-off değerlerini belirlemektir. Yöntem: Retrospektif olarak, tanı anında FDG PET/BT yapılmış ve histopatolojik olarak doğrulanmış baş-boyun kanseri tanılı 56 hasta incelendi. Primer tümör SUVmax, tümör boyutu, en büyük lenf nodu boyutu ve lenf nodu SUVmax kaydedildi. Lenf nodu ve uzak metastaz varlığı ROC analizi, lojistik regresyon ve istatistiksel testlerle değerlendirildi. Bulgular: Primer tümör SUVmax ortalaması 15.8, tümör boyutu 33 mm, lenf nodu boyutu 22 mm, lenf nodu SUVmax 12.7 idi. Uzak metastaz 15 hastada (%27) saptandı. Primer tümör SUVmax için uzak metastazı öngörmede cut-off 9.2 idi; AUC 0.58, istatistiksel olarak anlamlı değildi. Tümör boyutu için lenf nodu metastazını öngörmede cut-off 36 mm olup anlamlıydı (AUC 0.71, p = 0.022). Tümör boyutu ve uzak metastaz (AUC 0.59, p = 0.31), LN SUVmax ve uzak metastaz (AUC 0.65, p = 0.14) ilişkileri anlamlı değildi. Yaş ile metastaz arasında anlamlı ilişki izlenmedi (p = 0.198). Sonuç: PET/BT'de tümör boyutu lenf nodu metastazı için anlamlı bir öngörücü iken, primer tümör ve lenf nodu SUVmax uzak metastaz açısından sınırlı prediktif değere sahiptir. Uzak metastaz oranı (%27) literatürle uyumludur.

Anahtar Kelimeler: Baş-Boyun Kanseri, Fdg Pet/bt, Suvmax, Tümör Boyutu, Lenf Nodu Metastazı, Uzak Metastaz

Predictive Value of Fdg Pet/ct Parameters for Lymph Node and Distant Metastasis At Initial Staging of Head and Neck Cancers

Abstract: Objective: The aim of this study is to evaluate the value of FDG PET/CT parameters obtained at diagnosis in patients with head and neck cancer in predicting lymph node metastasis and distant metastasis based on primary tumor SUVmax, tumor size, lymph node SUVmax, and lymph node size parameters, and to determine the cut-off values. Methods: This retrospective study included 56 patients with histologically confirmed head and neck cancer who underwent FDG PET/CT at diagnosis. Primary tumor SUVmax, tumor size, largest lymph node size, and lymph node SUVmax were recorded. The predictive performance for lymph node and distant metastases was analyzed using ROC curves, logistic regression, and statistical tests. Results: Mean primary tumor SUVmax was 15.8, tumor size 33 mm, lymph node size 22 mm, and LN SUVmax 12.7. Distant metastases were found in 15 patients (27%). The cut-off value of primary tumor SUVmax for predicting distant metastasis was 9.2 (AUC: 0.58), but not statistically significant. Tumor size predicted LN metastasis significantly (cut-off: 36 mm, AUC: 0.71, p = 0.022). No significant association was found between tumor size and distant metastasis (AUC: 0.59, p = 0.31), nor between LN SUVmax and distant metastasis (AUC: 0.65, p = 0.14). Increasing age showed a trend toward higher metastasis rates, but was not significant (p = 0.198). Conclusion: In head and neck cancers, tumor size is a significant predictor of LN metastasis, whereas primary tumor and LN

SUVmax have limited value for distant metastasis. The distant metastasis rate (27%) aligns with existing literature.

Keywords: Head and Neck Cancer, Fdg Pet/ct, Suvmax, Tumor Size, Lymph Node Metastasis, Distant Metastasis



Makale id= 87

Sözlü Sunum

ORCID ID: 0009-0001-5862-2430; 0000-0002-0095-0917;:0000-0001-8588-1035; 0000-0002-2355-0561; 0000-0002-7618-5043; 0000-0002-9150-9210; 0000-0003-2424-2269; 0000-0002-8744-7686; 0000-0003-2391-8191

| 169

Belnacasan'ın (Vx-765) Overde İskemi-Reperfüzyon Hasarı Üzerindeki Koruyucu Etkileri

Dr. Ferhan Mansuroğlu Aykurt¹, Dr. Ayhan Tanyeli¹, Dr. Mustafa Can Güler¹, Dr. Demet Çelebi², Dr. Derya Güzel Erdoğan³, Dr. Hüseyin Baylan⁴, Dr. Ersen Eraslan⁵, Dr. Selim Çomaklı⁶, Dr. Sümeyye Başer⁷

¹Ataturk University, School of Medicine, Department of Physiology, Erzurum, Türkiye

²Ataturk University, Faculty of Veterinary Medicine, Department of Veterinary Microbiology, Erzurum, Türkiye

³Sakarya University, School of Medicine, Department of Physiology, Sakarya, Türkiye

⁴Sakarya University, School of Medicine, Department of Anatomy, Sakarya, Türkiye

⁵Bandırma Onyedli Eylül University, School of Medicine, Department of Physiology, Balıkesir, Türkiye

⁶Ataturk University, Faculty of Veterinary Medicine, Department of Veterinary Pathology, Erzurum, Türkiye

⁷Erzincan Binali Yıldırım University, Faculty of Pharmacy, Department of Pharmaceutical Microbiology, Erzincan, Türkiye

*Corresponding author: Ferhan Mansuroğlu Aykurt

Özet: Giriş Bu çalışmada, bir kaspaz-1 inhibitörü olan Belnacasan'ın (VX-765), sıçan over I/R modelinde oksidatif ve inflamatuvar hasara karşı koruyucu rolü araştırılmıştır. Overde iskemi-reperfüzyon (I/R) hasarı, kan akışının geçici olarak durması ve ardından tekrar sağlanmasıyla ortaya çıkan ve oksidatif strese, inflamasyona ve hücre ölümüne yol açan patolojik bir durumdur. Bir karboksilik asit amid bileşiği olan Belnacasan (VX-765), proinflamatuvar sitokinler IL-1 β ve IL-18'in olgunlaşmasında kilit bir enzim olan kaspaz-1'in güçlü ve seçici bir inhibitörüdür. Materyaller ve Yöntemler Otuz iki dişi Wistar albino sıçan (200-250 g, 10-12 haftalık) rastgele dört gruba ayrıldı (n = 8). İskemi, over arterlerinin 3 saat boyunca bilateral klemplenmesi ve ardından 3 saat reperfüzyon uygulanmasıyla oluşturuldu. Belnacasan, reperfüzyondan hemen önce 6 mg/kg veya 10 mg/kg dozlarında intraperitoneal olarak uygulandı. TNF- α , IL-1 β ve IL-18 düzeylerini ölçmek için ELISA kitleri kullanıldı. Histopatolojik değerlendirme, hematoksinin ve eozin ile boyanmış formalinle fikse edilmiş over dokularında gerçekleştirildi ve lezyonlar yarı kantitatif olarak skorlandı. Sonuçlar I/R grubu, Sham grubuna kıyasla IL-1 β ve IL-18 düzeylerinde anlamlı bir artış gösterdi (p < 0,01), bu da güçlü bir inflamatuvar aktivasyona işaret ediyordu. Belnacasan tedavisi, özellikle 10 mg/kg'da, IL-1 β 'yi %43,5 oranında belirgin şekilde düşürdü (p = 0,013) ve TNF- α düzeylerini baskılayarak anti-inflamatuvar etkinliğini doğruladı. Histopatolojik olarak, I/R grubunda şiddetli kanama, foliküler dejenerasyon ve vasküler konjesyon gözlemlendi. Buna karşılık, 10 mg/kg Belnacasan grubunda, Sham grubundakine benzer şekilde neredeyse normal foliküler yapı gözlemlendi ve önemli bir doku koruması sağlandı. Sonuç Bu bulgular, Belnacasan'ın (VX-765) over torsiyonuna bağlı I/R hasarının tedavisinde umut vadeden bir tedavi adayı olduğunu göstermektedir. Klinik uygulamaya geçmeden önce daha fazla klinik öncesi ve moleküler araştırmaya ihtiyaç vardır.

Anahtar Kelimeler: Belnacasan, Over İskemi-Reprfüzyon Hasarı

Protective Effects of Belnacasan (Vx-765) On Ovarian Ischemia-Reperfusion Injury in Rats

Abstract: Introduction This study investigated the protective role of Belnacasan (VX-765), a selective caspase-1 inhibitor, against oxidative and inflammatory damage in a rat model of ovarian I/R. Ovarian ischemia-reperfusion (I/R) injury is a pathological condition that arises from the temporary cessation and subsequent restoration of blood flow, leading to oxidative stress, inflammation, and cell death. Belnacasan (VX-765), a carboxylic acid amide compound, is a potent and selective inhibitor of caspase-1, a key enzyme in the maturation of proinflammatory cytokines IL-1 β and IL-18. Materials and Methods Thirty-two female Wistar albino rats (200–250 g, 10–12 weeks old) were randomly assigned to four groups (n = 8). Ischemia was induced by bilateral clamping of the ovarian arteries for 3 hours, followed by 3 hours of reperfusion. Belnacasan was administered intraperitoneally at doses of 6 mg/kg or 10 mg/kg immediately before reperfusion. ELISA kits were used to quantify TNF- α , IL-1 β , and IL-18 levels. Histopathological evaluation was performed on formalin-fixed ovarian tissues stained with hematoxylin and eosin, and lesions were scored semi-quantitatively. Results The I/R group demonstrated a significant increase in IL-1 β , and IL-18 levels compared with the Sham group (p < 0.01), indicating strong inflammatory activation. Belnacasan treatment, particularly at 10 mg/kg, markedly reduced IL-1 β by 43.5% (p = 0.013) and suppressed TNF- α levels, confirming its anti-inflammatory efficacy. Histopathologically, the I/R group exhibited severe hemorrhage, follicular degeneration, and vascular congestion. In contrast, the Belnacasan 10 mg/kg group showed nearly normal follicular architecture like the Sham group, demonstrating substantial tissue protection. Conclusion These findings highlight Belnacasan (VX-765) as a promising therapeutic candidate for the management of ovarian torsion-induced I/R injury. Further preclinical and molecular investigations are required before translation to clinical practice.

Keywords: Belnacasan, Ovarian Ischemia-Reperfusion Injury

Makale id= 189

Sözlü Sunum

ORCID ID: 0000-0002-8181-0739

| 171

Bethesda 2023 Sınıflamasının Yeniden Değerlendirilmesi: Tiroid İiab Kategorileri ile Histopatolojik Bulguların Korelasyonu

Dr. Öğretim Üyesi Fatih Demir¹
¹Düzce Üniversitesi

Özet: Amaç: 2014–2024 yılları arasında Düzce Üniversitesi Tıp Fakültesi Patoloji Anabilim Dalı'nda incelenen 7.542 tiroid ince iğne aspirasyon biyopsisi ve 1.734 tiroid rezeksiyon olgusunun Bethesda sınıflamasına göre değerlendirilmesi, İİAB kategorilerinin histopatolojik sonuçlarla korelasyonunun incelenmesi ve Bethesda sisteminin malignite risk tutarlılığının sorgulanmasıdır. Yöntem: Tüm sitoloji örnekleri Bethesda Sistemine göre kategori I-VI (Yetersiz, Benign, Önemi Belirsiz Atipi (ÖBA/AUS), Foliküler Neoplazm (FN), Şüpheli Malignite (ŞM), Malign) şeklinde gruplandırıldı. Rezeksiyon materyalleri 2022 Dünya Sağlık Örgütü (DSÖ/WHO) tiroid tümörleri sınıflamasına göre tanı aldı ve sonuçlar ayrıca “malign”, “diğer neoplastik” (benign tümör veya sınırlı malign potansiyelli lezyon) ve “non-neoplastik” şeklinde özetlendi. Birden fazla biyopsi yapılan hastalarda “tek dosya–tek biyopsi” altkütmesi ayrıca analiz edilerek çoklu biyopsilerin dağılıma etkisi değerlendirildi. İİAB yapılan ve sonuçta cerrahi uygulanan 645 olguda, ilk biyopsi kategorisi ile rezeksiyon patolojisi eşleştirilerek malignite riski (ROM) hesaplandı. 2022 sonrasında ÖBA kategorisinde yapılan alt grup ayrımıyla, “nükleer atipi” ve “diğer (mimari/sitolojik)” olarak raporlanan vakaların malignite oranları karşılaştırıldı. Bulgular: Toplam 7542 İİAB ve 1734 rezeksiyon materyali değerlendirmeye alındı. Daha sonra karşılaştırma yapılabilmesi için 2’den fazla biyopsisi olanlar önce ve sonra şeklinde iki biyopsiye indirildi ve tek biyopsi materyali olanlar elendi. Rezeksiyon materyali olan olgularda İİAB sonucu-Rezeksiyon sonucu karşılaştırmasında kategori III, IV, V ve VI için gözlenen malignite oranları sırasıyla yaklaşık %17,9, %36,36, %53,12 ve %90,19 olarak bulundu. ÖBA alt gruplarında nükleer atipi izlenen olguların malignite oranı (%20,88) sadece mimari-atipi bulunduran olgulara göre (%14,08) belirgin yüksekti. Sonuç: Tiroid İİAB sonuçlarının Bethesda sistemine göre raporlanması, büyük oranda öngörülen malignite risk aralıklarıyla uyumlu sonuçlar vermektedir. Ancak, özellikle Bethesda kategori I (yetersiz) ve kategori III (ÖBA) gibi belirsiz gruplarda kurumlar arası farklılıklar olabilmektedir. Bulgularımız, Bethesda sisteminin öngördüğü ROM aralıklarını genel hatlarıyla doğrulamakla birlikte, ÖBA alt kategorilerinin ayrımının klinik yönetimde faydalı olabileceğini göstermiştir. Bethesda sistemi, tiroid nodüllerinin değerlendirilmesinde güvenilir bir çerçeve sunmakta; ancak belirsiz kategorilerde nükleer atipi varlığının dikkate alınması ve gerekirse moleküler tetkikler ile desteklenmesi tanısal doğruluğu artırabilir.

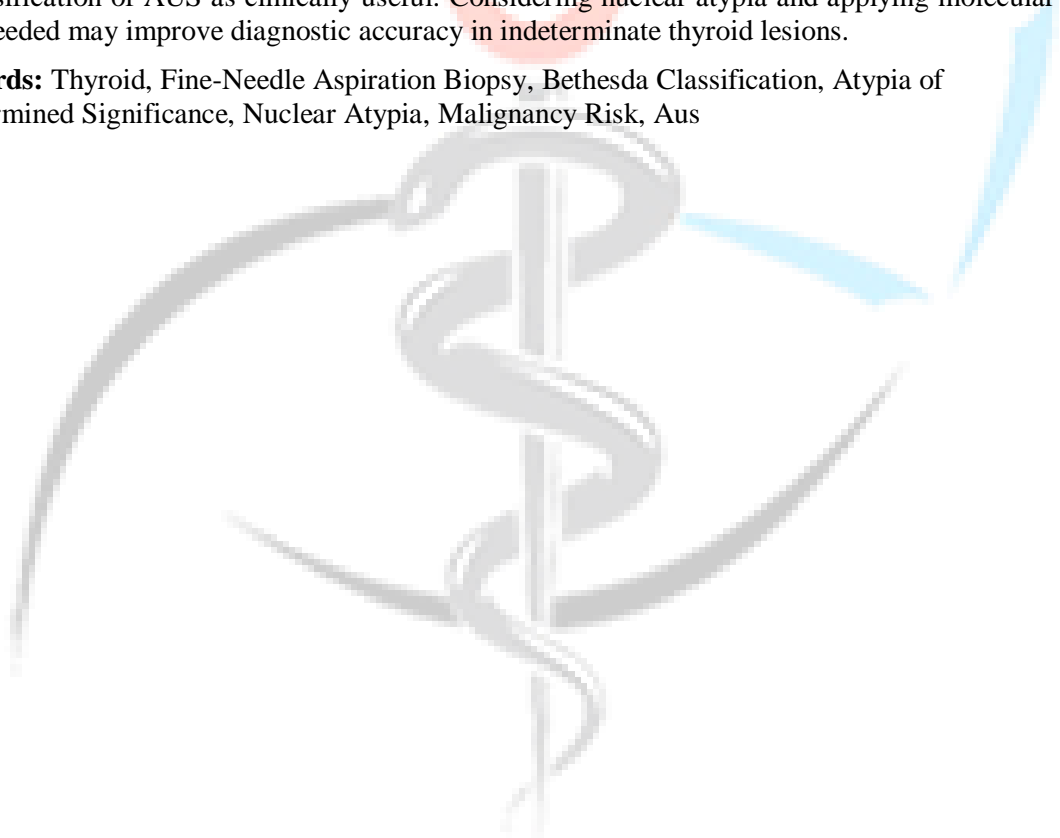
Anahtar Kelimeler: Tiroid, İnce İğne Aspirasyon Biyopsisi, Bethesda Sınıflaması, Önemi Belirsiz Atipi, Nükleer Atipi, Malignite Riski, Öba

Reassessing the 2023 Bethesda System: Correlation Between Thyroid FnaB Categories and Histopathologic Outcomes

Abstract: Objective: To evaluate 7,542 thyroid fine-needle aspiration biopsies (FNAB) and 1,734 thyroid resections examined between 2014 and 2024 at the Department of Pathology, Düzce University

Faculty of Medicine, according to the Bethesda classification; to analyze the correlation between FNAB categories and histopathological results; and to assess the consistency of the Bethesda system in predicting malignancy risk (ROM). Methods: Cytology samples were classified according to the Bethesda System (I–VI: Non-diagnostic, Benign, AUS, Follicular Neoplasm, Suspicious for Malignancy, Malignant). Resections were evaluated using the 2022 World Health Organization (WHO) classification of thyroid tumors and grouped as malignant, other neoplastic (benign or limited malignant potential), or non-neoplastic. In patients with multiple biopsies, a single-file subset was analyzed to assess the impact of repeated sampling. For comparison, cases with more than two biopsies were reduced to two (“before” and “after”), while single-biopsy cases were excluded. Among 645 cases with both cytology and resection, the first FNAB category and final histopathology were matched to calculate the ROM. Following the 2022 update, AUS cases were subclassified as “nuclear atypia” or “other (architectural/cytologic),” and their malignancy rates were compared. Results: A total of 7,542 FNAB and 1,734 resection specimens were analyzed. After adjustment, only paired cases remained for comparison. In cases with resection, malignancy rates by Bethesda category were: III 17.9%, IV 36.36%, V 53.12%, and VI 90.19%. Within AUS subgroups, malignancy was higher in nuclear atypia (20.88%) than in other types (14.08%). Conclusion: Bethesda-based FNAB reporting was largely consistent with predicted ROM ranges. However, inter-institutional differences existed in indeterminate categories, especially I and III. Findings confirm the general validity of the Bethesda system while supporting subclassification of AUS as clinically useful. Considering nuclear atypia and applying molecular tests when needed may improve diagnostic accuracy in indeterminate thyroid lesions.

Keywords: Thyroid, Fine-Needle Aspiration Biopsy, Bethesda Classification, Atypia of Undetermined Significance, Nuclear Atypia, Malignancy Risk, Aus



Makale id= 90

Sözlü Sunum

ORCID ID: 0000-0001-6939-1570

| 173

Çocuk ve Adolesanlarda Yüzeysel Tromboflebitte Düşük Moleküler Ağırlıklı Heparin Kullanımının Klinik Sonuçlara Etkisi: Tek Merkezli Retrospektif Çalışma

Dr. Neryal Tahta¹
¹İzmir Şehir Hastanesi

Özet: Amaç: Yüzeysel tromboflebit (YTF), çocuk ve adolesan yaş grubunda çoğunlukla periferik veya santral venöz kateter uygulamalarına sekonder gelişir. Erişkinlerde antikoagülasyon endikasyonları daha net tanımlanmış olmasına karşın, pediatrik olgularda düşük moleküler ağırlıklı heparin (DMAH) kullanımının etkinliği ve gerekliliği konusunda veriler sınırlıdır. Bu çalışmada, pediatrik hastalarda YTF yönetiminde DMAH eklenmesinin klinik sonuçlara etkisi araştırıldı. Yöntem: 2023–2025 yılları arasında üçüncü basamak bir çocuk hematoloji-onkoloji merkezinde tanı almış 42 çocuk ve adolesan hasta retrospektif olarak incelendi. Hastalar, (1) yalnızca konservatif tedavi (NSAİİ, lokal kompresyon, elevasyon) ve (2) konservatif tedavi + DMAH olmak üzere iki gruba ayrıldı. Primer sonlanımlar tromboz progresyonu ve derin ven trombozu (DVT) gelişimi, sekonder sonlanımlar ağrı gerilemesi, kanama komplikasyonları ve rekürrens olarak belirlendi. Bulgular: Çalışmaya dahil edilen 42 hastanın medyan yaşı 10,2 (IQR 5,8–14,6) yıl olup, %57'si erkekti. En sık altta yatan durum hematolojik maligniteydi (%45,2). YTF'nin %61,9'u üst ekstremitede, %38,1'i alt ekstremitede gelişti. Olguların 14'ü (%33,3) DMAH tedavisi aldı. Trombüs uzunluğu medyan 5,2 cm (IQR 3,8–7,1) idi. Progresyon oranı konservatif grupta %19, DMAH grubunda %7,1 idi ($p=0,042$). DVT gelişimi yalnızca iki olguda (%4,8) gözlemlendi, her ikisi de DMAH almayan gruptaydı. Minör kanama komplikasyonu %4,8 oranında izlendi. Rekürrens üç ay içinde yalnızca 1 (%2,4) hastada görüldü. Sonuç: Çocuk ve adolesanlarda YTF genellikle iyi seyirli olsa da, uzun veya proksimale yakın trombüslerde DMAH eklenmesi trombüs progresyonu ve DVT gelişimi riskini azaltabilir. Rutin DMAH yerine risk temelli seçici yaklaşım önerilmektedir.

Anahtar Kelimeler: Çocuk, Adolesan, Yüzeysel Tromboflebit, Düşük Moleküler Ağırlıklı Heparin, Kateter İlişkili Tromboz.

Makale id= 66

Sözlü Sunum

ORCID ID: 000-0001-5863-9665

| 174

Depresyon Hastalarında Kullanılan Bitkisel Tedaviler ve Yan Etkileri

Araştırmacı Didar Cüzdan¹, Prof.Dr. Neslihan Pınar²

¹Mustafa Kemal Üniversitesi Tıp Fakültesi

²Hatay Mustafa Kemal Üniversitesi Tıp Fakültesi

*Corresponding author: Didar Cüzdan

Özet: Depresyon, yaşamın çeşitli yönlerini etkileyen karmaşık bir durumdur ve genellikle kalıcı hüznü, umutsuzluk ve ilgi kaybı gibi belirtilerle kendini gösterir. Bu makalede, depresyonun tanımı, etkileri ve tedavi yöntemleri üzerinde durulacak, ayrıca bitkisel tedavilerin rolü incelenecektir. Depresyonun epidemiyolojisi, kültürler ve popülasyonlar arasında incelenen küresel bir kamu sağlığı sorunu olduğunu göstermektedir. Epidemiyolojik veriler, depresyonun yaygınlığını, seyrini, sosyo-demografik ilişkilerini ve toplumsal maliyetlerini anlamak açısından önemlidir. Genetik faktörlerin, stresin ve olumsuz yaşam deneyimlerinin depresyon gelişiminde etkili olduğu ortaya çıkmıştır. Depresyonun klinik özellikleri çeşitlidir ve bireyden bireye değişebilir. Kadınların, düşük gelir seviyesine sahip bireylerin ve belirli tıbbi durumları olanların depresyon riskine daha yatkın olduğu gözlemlenmiştir. Bu durum, depresyonun genetik yatkınlık ve çevresel stres faktörlerinin bir kombinasyonu olduğunu gösteren araştırmalara dayanmaktadır. İlaç tedavisi, depresyonun farmakolojik tedavisinde geniş bir strateji yelpazesi sunar. Psikoterapi ve farmakoterapinin entegrasyonu, birleşik tedavinin majör depresif bozukluk için potansiyel faydalarını vurgular. Bitkisel tedaviler, geleneksel ilaçlara alternatif veya tamamlayıcı bir yaklaşım olarak popülerlik kazanmıştır. Safran, Bitkisel Çaylar ve Takviyeler, St. John's Wort (Kantarón), Lavanta ve Diğer Bitkisel Yağlar, Ginkgo Biloba, Adaptogen Bitkiler (Rhodiola Rosea, Ashwagandha), depresyonda 5-Hidroksitriptofan (5-HTP) ve Aromaterapi gibi bitkisel bileşiklerin depresyon tedavisinde umut vadettiği belirtilmektedir. Depresyon, genetik, çevresel ve sosyal faktörlerin karmaşık etkileşimiyle şekillenen bir durumdur. Epidemiyolojik veriler, depresyonun küresel bir sorun olduğunu ve genetik yatkınlık ile çevresel etkenlerin birleşiminin depresyon riskini artırdığını göstermektedir. İlaç tedavisi ve bitkisel tedaviler, depresyonun yönetiminde çeşitli yaklaşımlar sunar. Ancak, her bir tedavi seçeneğinin avantajları ve riskleri dikkatlice değerlendirilmelidir. Bu makale, depresyonun genel bir anlayışını sunarak, tedavi seçeneklerini ele almış ve bitkisel tedavilerin potansiyel rolüne odaklanmıştır.

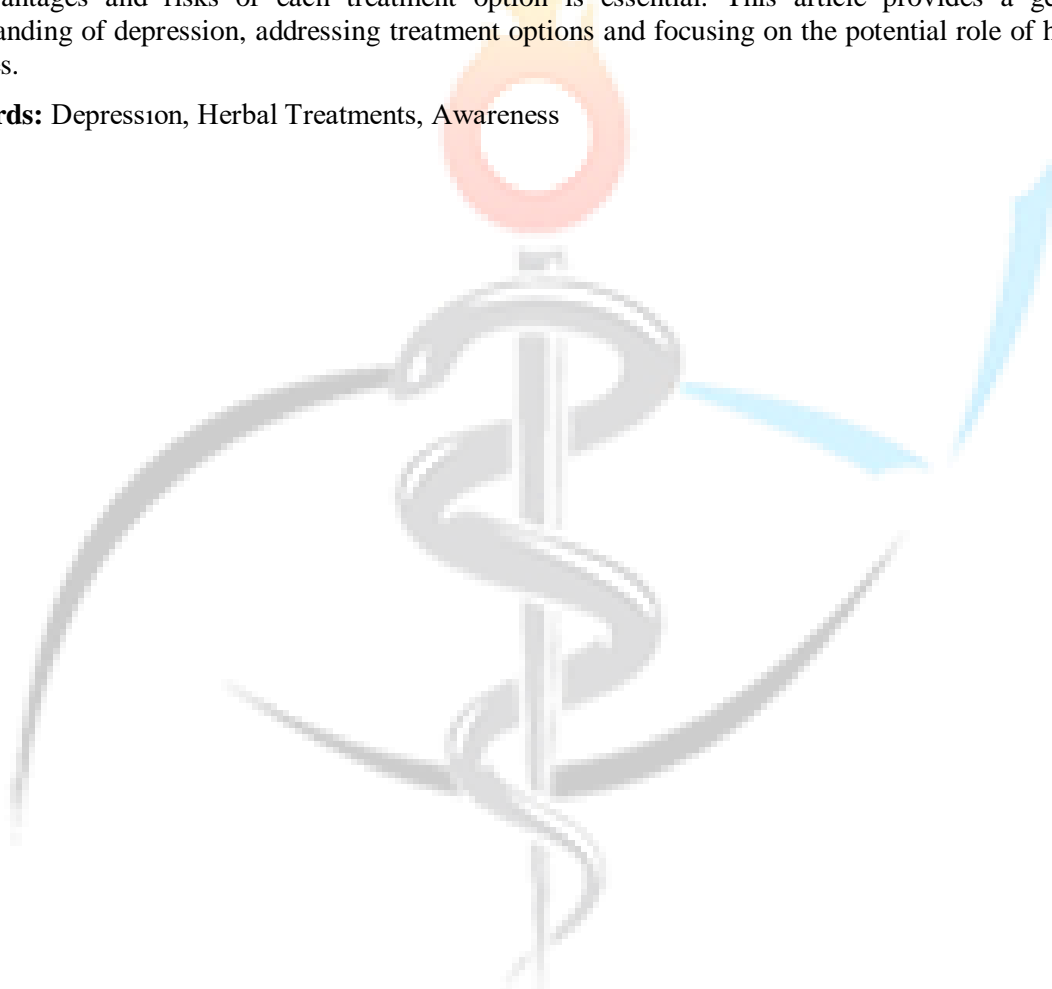
Anahtar Kelimeler: Depresyon, Bitkisel Tedaviler, Farkındalık

Herbal Treatments Used in Depression Patients and Their Side Effects

Abstract: Depression is a complex condition that affects various aspects of life, often manifesting with persistent sadness, hopelessness, and loss of interest. This article will focus on the definition, effects, and treatment methods of depression, also examining the role of herbal remedies. The epidemiology of depression indicates that it is a global public health issue studied across cultures and populations. Epidemiological data are crucial in understanding the prevalence, course, socio-demographic relationships, and societal costs of depression. It has been revealed that genetic factors, stress, and adverse life experiences are effective in the development of depression. The clinical features of depression are diverse and can vary from person to person. It has been observed that females, individuals

with lower income levels, and those with specific medical conditions are more susceptible to depression. This situation is based on research indicating that depression is a combination of genetic predisposition and environmental stress factors. Medical treatment offers a broad spectrum of pharmacological approaches to depression. The integration of psychotherapy and pharmacotherapy emphasizes the potential benefits of combined treatment for major depressive disorders. Herbal remedies have gained popularity as an alternative or complementary approach to traditional medications. Saffron, Herbal Teas and Supplements, St. John's Wort, Lavender and Other Essential Oils, Ginkgo Biloba, Adaptogenic Plants (Rhodiola Rosea, Ashwagandha), 5-Hydroxytryptophan (5-HTP) in Depression, and Aromatherapy are mentioned as herbal compounds showing promise in depression treatment. Depression is a condition shaped by the complex interaction of genetic, environmental, and social factors. Epidemiological data underscore that depression is a global issue, and the combination of genetic predisposition and environmental factors increases the risk of depression. Both medical and herbal treatments offer various approaches to managing depression. However, careful consideration of the advantages and risks of each treatment option is essential. This article provides a general understanding of depression, addressing treatment options and focusing on the potential role of herbal remedies.

Keywords: Depression, Herbal Treatments, Awareness



Makale id= 172

Sözlü Sunum

ORCID ID: 0009-0007-7022-3751

| 176

Diagnostic Value of the Canadian Ct Head Rule in Minor Head Trauma: A Retrospective Single-Center Study

Dr. Öğretim Üyesi Fatih Mehmet Sari¹

¹Erzincan Binali Yıldırım University, Mengücek Gazi Training and Research Hospital, Emergency Medicine Department

Özet: Giriş: Minör kafa travması, acil servis (AS) başvurularının yaygın nedenlerinden biridir. Her ne kadar hastaların çoğunda intrakraniyal yaralanma bulunmasa da, medikolegal kaygılar ve tanısal belirsizlik nedeniyle kranial bilgisayarlı tomografi (BT) sıkça gereğinden fazla kullanılmaktadır. Canadian CT Head Rule (CCHR), BT görüntülemesine ihtiyaç duymayan düşük riskli hastaları belirlemede klinisyenlere yardımcı olmak amacıyla geliştirilmiştir. Bu çalışmanın amacı, minör kafa travması ile başvuran hastalarda CCHR'nin intrakraniyal kanamayı (İK) belirlemedeki tanısal başarısını değerlendirmektir. Yöntem: Bu retrospektif, tek merkezli çalışma, bir üçüncü basamak hastanenin AS biriminde Şubat–Temmuz 2025 tarihleri arasında yürütülmüştür. Çalışmaya, 16 yaş ve üzeri, minör kafa travması geçiren, başvuru anından itibaren 24 saat içinde AS'ye gelen ve Glasgow Koma Skoru (GKS) ≥ 13 olan hastalar dahil edilmiştir. Eksik kaydı olanlar, BT çekilmemiş olanlar, penetran travma geçirenler, önceden bilinen intrakraniyal patolojisi olanlar, antikoagülan veya antiplatelet kullananlar ve kafa/baziler fraktürü olanlar dışlanmıştır. İK tanısı BT bulgularına göre konmuştur. CCHR'nin duyarlılık, özgüllük, pozitif prediktif değer (PPV) ve negatif prediktif değeri (NPV) hesaplanmıştır. Bulgular: Çalışmaya 315 hasta dahil edilmiştir (ortalama yaş: 46.5 ± 20.3 yıl; %64.8 erkek). CCHR'ye göre 90 hasta (%28.6) pozitif olarak sınıflandırılmış; bunların 8'inde (%8.9) İK saptanmıştır. Kural-negatif olan 225 hastanın 4'ünde (%1.78) İK bulunmuştur. CCHR performansı: • Duyarlılık: %66.7 • Özgüllük: %72.9 • PPV: %8.9 • NPV: %98.2 Tartışma: CCHR, yüksek negatif prediktif değeri ile minör kafa travmalı hastalarda İK'yı güvenle dışlamada etkili bir araç olduğunu göstermektedir. Ancak, orta düzeyde duyarlılığı, yalnızca karar kurallarına güvenmenin bazı İK vakalarının atlanmasına yol açabileceğini göstermektedir. Bu nedenle klinik değerlendirme hâlâ kritik öneme sahiptir. Kuralın farklı hasta gruplarında doğrulanması ve duyarlılığının artırılması için çok merkezli ileriye dönük çalışmalara ihtiyaç vardır. Sonuç: Canadian CT Head Rule, minör kafa travmalarında yüksek negatif prediktif değeri sayesinde gereksiz BT çekimlerinin azaltılmasına katkı sağlar. Ancak sınırlı duyarlılığı nedeniyle klinik yargının yerini almamalı, onu desteklemelidir. Daha geniş hasta gruplarında doğrulayıcı çalışmalara ihtiyaç vardır.

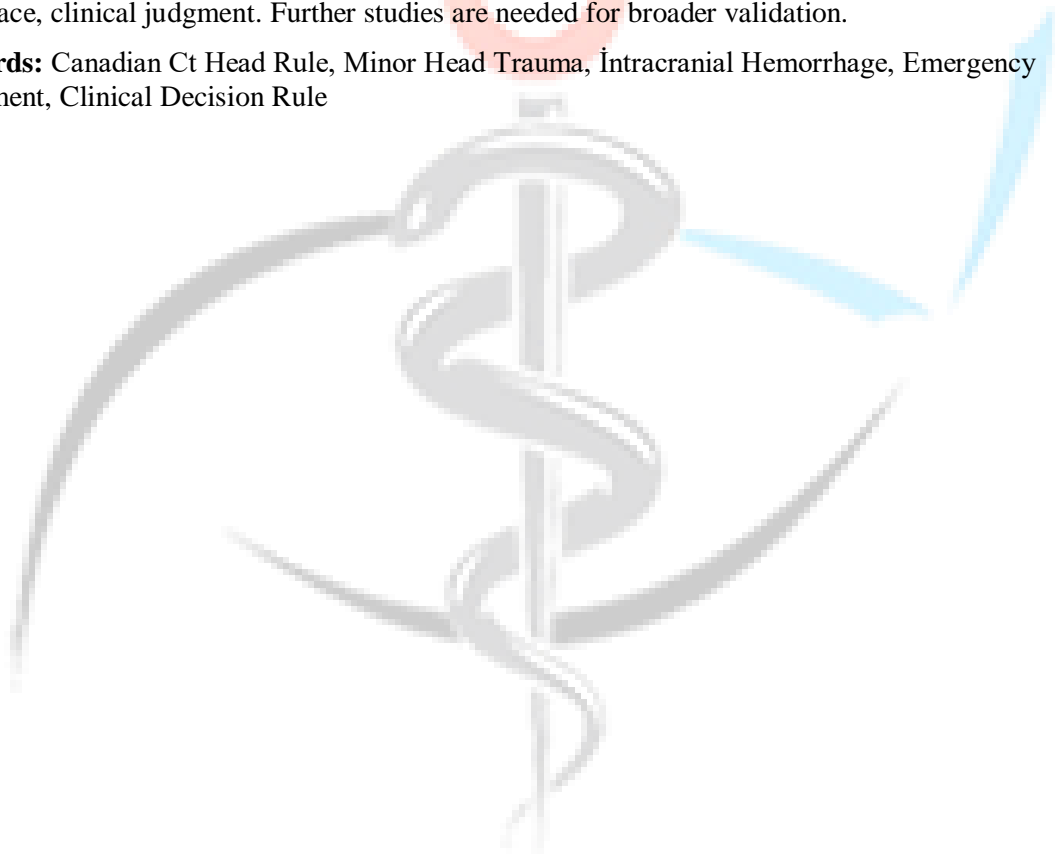
Anahtar Kelimeler: Kanada Bt Kriterleri, Minör Kafa Travması, İntrakraniyal Kanama, Acil Servis, Klinik Karar Kuralı

Minör Kafa Travmalarında Canadian Ct Head Rule'un Tanısal Değeri: Retrospektif Tek Merkezli Bir Çalışma

Abstract: Introduction: Minor head trauma is a common reason for emergency department (ED) visits. Although most patients do not have intracranial injuries, cranial computed tomography (CT) is often overused due to medicolegal concerns and diagnostic uncertainty. The Canadian CT Head Rule (CCHR)

was developed to help clinicians identify low-risk patients who do not require CT imaging. This study aims to evaluate the diagnostic performance of the CCHR in identifying intracranial hemorrhage (ICH) in patients presenting with minor head trauma. Methods: This retrospective, single-center study was conducted in the ED of a tertiary hospital between February and July 2025. Patients aged 16 years or older who presented within 24 hours of minor blunt head trauma and had a Glasgow Coma Scale (GCS) score ≥ 13 were included. Patients were excluded if they had incomplete records, no CT imaging, penetrating injuries, pre-existing intracranial pathology, anticoagulant or antiplatelet use, or skull fractures. ICH was diagnosed based on cranial CT findings. Sensitivity, specificity, positive predictive value (PPV), and negative predictive value (NPV) of the CCHR were calculated. Results: Of 315 patients included (mean age: 46.5 ± 20.3 years; 64.8% male), 90 (28.6%) were classified as rule-positive, with 8 (8.9%) showing ICH. Among 225 rule-negative patients, 4 (1.78%) had ICH. CCHR performance: • Sensitivity: 66.7% • Specificity: 72.9% • PPV: 8.9% • NPV: 98.2% Discussion: CCHR demonstrated high NPV, supporting its use to safely rule out ICH in minor head trauma cases. However, moderate sensitivity indicates that sole reliance on decision rules may miss some ICH cases. Clinical judgment remains essential. Future prospective, multicenter studies are recommended to validate the CCHR across diverse populations and potentially enhance its sensitivity through refinement. Conclusion: The Canadian CT Head Rule provides high negative predictive value in minor head trauma, helping reduce unnecessary CT scans. However, its moderate sensitivity means it should supplement, not replace, clinical judgment. Further studies are needed for broader validation.

Keywords: Canadian Ct Head Rule, Minor Head Trauma, Intracranial Hemorrhage, Emergency Department, Clinical Decision Rule



Makale id= 184

Sözlü Sunum

ORCID ID: 000 0002 5450 1068

| 178

Diffüz Aksonal Hasarın, Swı ve Difüzyon Sekansı Birlikte Kullanılarak Derecelendirilmesi ve Prognoza Etkisi: Klinik Tecrübemiz

Uzman Dr. Berrin Demir¹
¹Erzurum Şehir Hastanesi

Özet: Amaç: Travma sonrası gelişen diffüz aksonal hasarın (DAH) erken tespiti ve derecelendirilmesinde susceptibility weighted imaging (SWI) sekansı ve diffüzyon ağırlıklı görüntülerin (DAG) yeri ve prognoza katkısı üzerinde tartışmayı amaçlamaktayız. Olgular: Olgu 1: Trafik kazası sonrası acil servise getirilen kadın olgunun manyetik rezonans görüntülemelerinde (MRG); bilateral serebral hemisferde subkortikal beyaz cevherde, sol lateral ventrikül komşuluğunda periventriküler beyaz cevherde, sol sentrum semiovale düzeyinde, korpus kolozum splenium kesimini ve mezensefalon posteriorunda yaygın, SWI serilerde hipointens hemoraji alanları ve yer yer difüzyon kısıtlılıkları kaydedilmiştir. Bulgular öncelikle grade III diffüz aksonal hasar uyumlu düşünülmüştür. Olgu2: 6 yaşında, 4. Kattan düşen erkek olgunun yapılan MRG incelemesinde; korpus kalozumda, sol frontoparietalde gri-beyaz cevher bileşke düzeyinde, solda globus pallidus ve putamen düzeyinde, sağ lateral ventrikül gövde kesimi subependimal alanda, sağ talamus medialinde ve falks düzeyinde birkaç adet SWI serilerde hipointens hemoraji alanları izlenmiş olup ve yer yer difüzyon kısıtlılığı eşlik etmektedir. Bulgular öncelikle grade II diffüz aksonal hasar uyumlu düşünülmüştür. Olgu 3: Trafik kazası sonrası acil servise getirilen olgunun beyin MRG tetkikinde; grade II diffüz aksonal hasar ile uyumlu; her iki hemisferde subkortikal ve periventriküler beyaz cevherde T2A ve FLAIR serilerde hiperintens, SWI serilerde hipointens milimetrik odaklar, sentrum semiovale düzeyinde sağ parietalde ve korpus kalozum splenium sol kesimde difüzyon kısıtlılığı izlenmiştir. Sonuç: Travma sonrası gelişen aksonal hasarların ve mikro kanamaların gösterilmesinde DAG ve SWI sekansı T2 GRE sekanslarından daha hassastır. Ancak, SWI ile tespit edilen DAH lezyonları ile prognoz arasındaki ilişki net ortaya konulamamıştır. Travma sonrası gelişen beyin hasarında, MRG tetkiki ile DAH'ı ortaya konulan olgularda prognoz daha kötü seyretmektedir. Ayrıca DAH gradi artıkça bilişsel ve işlevsel fonksiyon kaybının belirginleştiğini düşünmekteyiz.

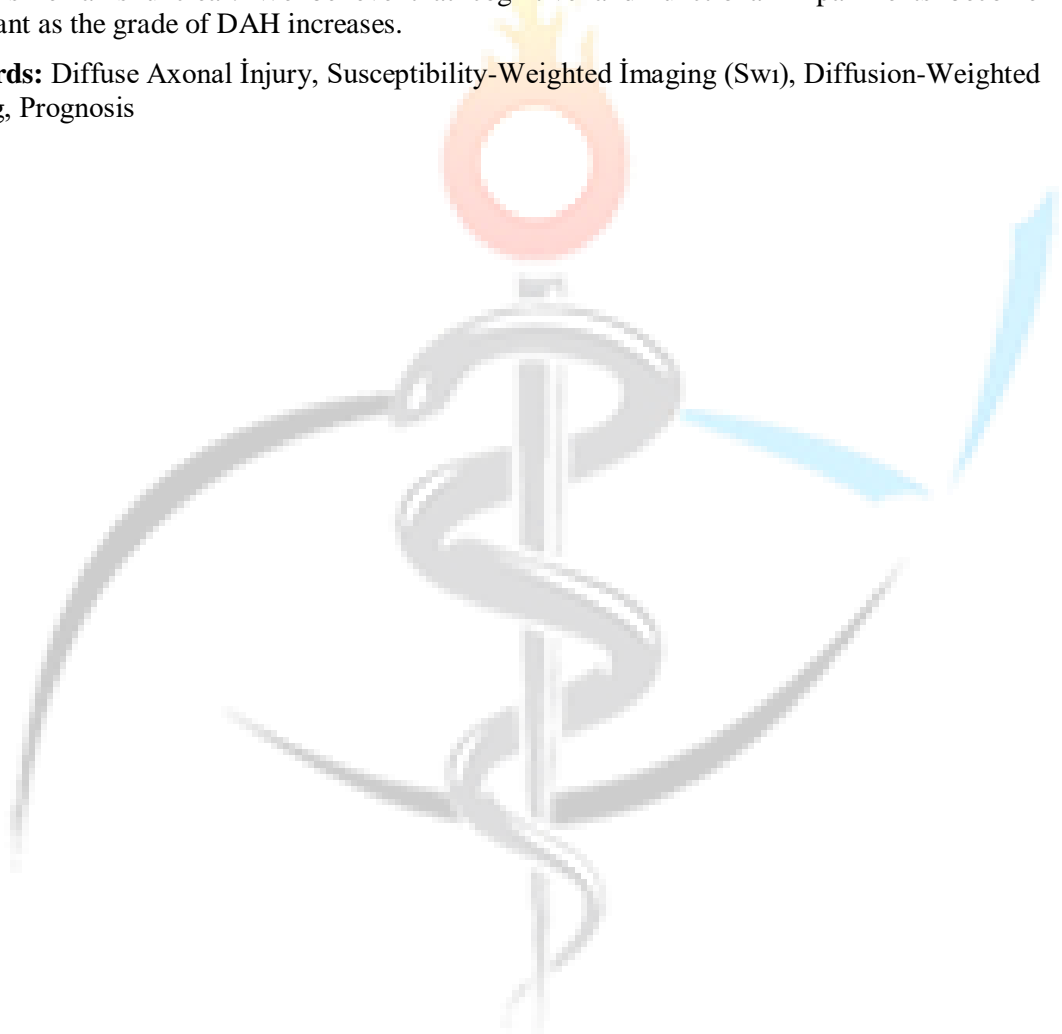
Anahtar Kelimeler: Diffüz Aksonal Hasar, Susceptibility Weighted İmaging (Swı), Diffüzyon Ağırlıklı Görüntüleme, Prognoz

Grading of Diffuse Axonal Injury Using Combined Swı and Diffusion Sequences and Its Impact On Prognosis: Our Clinical Experience

Abstract: Objective: We aim to explore the role of susceptibility-weighted imaging (SWI) and diffusion-weighted imaging (DWI) in the early detection and grading of post-traumatic diffuse axonal injury (DAI), as well as their contributions to prognosis. Cases: Case 1: A magnetic resonance imaging (MRI) scan of a female patient, who was brought to the emergency room following a traffic accident, revealed extensive areas of hemorrhage in the subcortical white matter of both cerebral hemispheres. Additional hemorrhagic areas were observed in the periventricular white matter near the left lateral ventricle, the left centrum semiovale, the splenium of the corpus callosum, and the posterior

mesencephalon. These areas appeared hypointense on susceptibility-weighted imaging (SWI) sequences, and localized diffusion restrictions were also noted. The findings were initially assessed as being consistent with a Grade III diffuse axonal injury. Case 2: During the MRI examination of a 6-year-old male patient who fell from the fourth floor, several areas of hypointense hemorrhage were observed on the SWI series. These areas were located in the corpus callosum, at the gray-white matter junction in the left frontoparietal region, as well as in the left globus pallidus and putamen. These observations were initially interpreted as consistent with grade II diffuse axonal injury. Case 3: The brain MRI of a patient who was brought to the emergency room after a traffic accident showed findings consistent with a grade II diffuse axonal injury. Hyperintense millimetric foci were observed in the T2-weighted and FLAIR series, while these foci appeared hypointense in the SWI series. Conclusion: DWI and SWI sequences are more effective than T2 GRE sequences in detecting post-traumatic axonal damage and microbleeds. However, the connection between DAH lesions identified with SWI and prognosis remains unclear. We believe that cognitive and functional impairments become more significant as the grade of DAH increases.

Keywords: Diffuse Axonal Injury, Susceptibility-Weighted Imaging (Swi), Diffusion-Weighted Imaging, Prognosis



Makale id= 190

Sözlü Sunum

ORCID ID: 0000-0002-4517-5889

| 180

Diş Hekimliği Öğrencilerinde Torakal Omurga Eklem Hareket Açıklığının Eğitim Yılına Göre Değişimi: İnklinometre Temelli Kesitsel Karşılaştırma

Dr. Öğretim Üyesi Meltem Açar Güdek¹, Dr. Öğretim Üyesi Şirin Aslan Baran²

¹Samsun Üniveristesi, Tıp Fakültesi, Anatomi A.D

²Tokat Gaziosmanpaşa Üniversitesi Tıp Fakültesi Fizik Tedavi ve Rehabilitasyon A.D

*Corresponding author: Meltem Açar Güdek

Özet: Amaç: Bu çalışma, diş hekimliği öğrencilerinde eğitim yılına bağlı olarak torakal omurga eklem hareket açıklığındaki değişimi ve bunun olası postüral yansımalarını değerlendirmeyi amaçladı. Yöntem: Prospektif olarak planlanan kesitsel çalışmaya Tokat Gaziosmanpaşa Üniversitesi Diş Hekimliği Fakültesi'nden 58 birinci sınıf ve 58 beşinci sınıf öğrencisi olmak üzere toplam 116 katılımcı dahil edildi. Torakal fleksiyon, ekstansiyon ve sağ-sol lateral fleksiyon açıları, dijital inklinometre kullanılarak T1 ve T12 seviyelerine yerleştirilen cihazla ölçüldü. Ölçümler standartlaştırılmış prosedüre göre üçer kez alındı, cinsiyete göre kaydedildi ve ortalama değerler analiz edildi. İstatistiksel anlamlılık düzeyi p

Anahtar Kelimeler: İnklinometer, Postür, Omurga, Torakal, Diş Hekimliği

Change in Thoracic Spine Range of Motion According to Year of Education in Dentistry Students: An Inclinator Based Cross Sectional Comparison

Abstract: Objective: This study aimed to evaluate changes in thoracic spinal range of motion (ROM) by year of training among dental students and to assess potential postural implications. Methods: In this prospective cross-sectional study, 116 participants were recruited from Tokat Gaziosmanpaşa University Faculty of Dentistry (58 first-year and 58 fifth-year students). Thoracic flexion, extension, and right-left lateral flexion angles were measured using a digital inclinometer placed at T1 and T12. Measurements were obtained in triplicate under a standardized protocol, recorded by sex, and mean values were analyzed. Statistical significance was set at p

Keywords: Inclinator; Posture; Spine; Thoracic; Dentistry.

Makale id= 116

Sözlü Sunum

ORCID ID: 0000-0001-9539-8848

| 181

Eklem İçi Kuyruk Yağı Enjeksiyonu Sonrası Diz Septik Artriti Gelişen Hasta

Dr. Kemal Yazıcı¹, Dr. Öğretim Üyesi Muhammed Yasir Altunışık², Dr. Öğretim Üyesi Burak Aydın²

¹Merzifon Kara Mustafa Paşa Devlet Hastanesi

²Sivas Cumhuriyet Üniversitesi Tıp Fakültesi

*Corresponding author: Kemal Yazıcı

Özet: Osteoartrit en yaygın eklem hastalıklarından biridir ve dünya çapında engelliliğin önemli bir nedenlerindedir. Osteoartrit en sık diz ekleminde görülmektedir. Osteoartrit tedavisinde birçok tedavi yöntemi bulunmaktadır. Eklem içi enjeksiyonlar da bu tedavi yöntemlerinden biridir. eklemlerdeki enfeksiyöz duruma bağlı ortaya çıkan akut septik artritin gelişiminde çeşitli nedenler olmakla birlikte diz içi enjeksiyonlar da bu nedenler arasındadır. Bu makalede bilateral diz osteoartriti olan ve tedavisi için kulaktan dolma bilgilerle dizine kuyruk yağını eritip enjekte ettikten sonra bilateral diz septik artriti gelişen vakayı sunuyoruz. Yapılan fizik muayenesinde bilateral dizde ağrı, ısı artışı, kızarıklık ve şişliği olan ve eklem ponksiyonunda her iki dizden de hemopürülan mayi geleni olan hastaya bilateral diz septik artriti nedeniyle acil artroskopik debridman ve takiben intravenöz antibiyoterapi tedavisi uygulandı. Sonrasında hasta oral antibiyoterapi ile taburcu edildi.

Anahtar Kelimeler: Osteoartrit, Septik Artrit, Kuyruk Yağı

A Patient Who Developed Knee Septic Arthritis After Intraartial Tail Fat Injection

Abstract: Osteoarthritis is one of the most common joint diseases and a major cause of disability worldwide. Osteoarthritis most commonly occurs in the knee joint. There are many treatment options for osteoarthritis. Intra-articular injections are one of these treatment methods. While there are various causes for the development of acute septic arthritis, which occurs due to infectious conditions in the joints, intra-knee injections are among these causes. In this article, we present a case of bilateral knee osteoarthritis who developed bilateral knee septic arthritis after melting and injecting tail fat into the knee, based on hearsay information for its treatment. The patient, who had pain, increased temperature, redness and swelling in the bilateral knees during physical examination and hemopurulent fluid discharge from both knees during joint puncture, underwent emergency arthroscopic debridement and subsequent intravenous antibiotic treatment due to bilateral knee septic arthritis. The patient was subsequently discharged with oral antibiotic therapy.

Keywords: Osteoarthritis, Septic Arthritis, Tail Fat

Makale id= 91**Sözlü Sunum**

ORCID ID: 0000-0003-4858-7480

| 182

Elektif Kolesistektomiler Sırasında Spesmen Torbası Kullanımı**Dr. Öğretim Üyesi Fırat Canlıkarakaya¹, Dr. Öğretim Üyesi Serhat Ocaklı²**¹Amasya Üniversitesi Tıp Fakültesi²Ankara Medipol Üniversitesi Tıp Fakültesi

*Corresponding author: Fırat Canlıkarakaya

Özet: GİRİŞ: Cerrahi alan enfeksiyonları laparoskopik cerrahiler sonrasında nadiren görülür. Bu riski daha da düşürmek için rezeksiyon materyallerinin çıkarılması sırasında ciltle teması azaltacak şekilde spesmen torbaları kullanılabilir. Çalışmamızın amacı temiz kontamine sayılan kolesistektomiler sırasında spesmen torbası gerekliliğini tartışmaktır. GEREÇ VE YÖNTEM: Çalışma 1 Mayıs 2024 ile 1 Ağustos 2025 tarihleri arasında Amasya Sabuncuoğlu Şerefeddin Eğitim ve Araştırma Hastanesi'nde aynı cerrah tarafından elektif kolesistektomi nedeniyle opere edilen, akut kolesistit, bulguları taşımayan 78 hasta ile gerçekleştirildi. Hastalar spesmen torbası kullanılan ve kullanılmayan olmak üzere 2 gruba ayrıldı. Ki-kare testi ile veriler analiz edildi. p

Anahtar Kelimeler: Kolesistektomi, Spesmen Torbası, Yara Yeri Enfeksiyonu

The Use of Specimen Bags During Elective Cholecystectomies

Abstract: INTRODUCTION: Surgical site infections (SSIs) are rarely seen following laparoscopic procedures. To minimize this risk, specimen retrieval bags can be used during the removal of resected materials, reducing contact with the skin. The aim of our study is to discuss the necessity of specimen bags during cholecystectomies, which are classified as clean-contaminated procedures. MATERIALS AND METHODS: This study was conducted between May 1, 2024, and August 1, 2025. It included 78 patients without signs of acute cholecystitis who underwent elective cholecystectomy by the same surgeon at Amasya Sabuncuoğlu Şerefeddin Training and Research Hospital. Patients were divided into two groups: those where a specimen bag was used and those where it was not used. Data analysis was performed using the Chi-square test, with a p-value of less than 0.05 considered statistically significant. RESULTS: Of the 78 patients, 51 were female. The mean age was 57 years. A specimen bag was utilized for 19 patients, while it was not used for the others. No statistically significant difference was observed between the two groups regarding surgical site infection rates. DISCUSSION: SSI is a crucial concern, especially in operations involving areas with flora, such as the gastrointestinal system. Prophylactic antibiotics are often given, and procedures are attempted to be as minimally invasive as possible. Although SSIs are less common in laparoscopic surgery, barriers like specimen retrieval bags are sometimes used to reduce organ-skin contact and further minimize this risk. Our study investigated the effect of the specimen bag on wound infection during elective laparoscopic cholecystectomies and found no difference. However, the small patient number and the exclusion of acute cholecystitis cases are limitations. Large-scale, double-blind, prospective studies are needed to support these findings.

Keywords: Cholecystectomy, Specimen Bag, Surgical Site Infection

Makale id= 94**Sözlü Sunum**

ORCID ID: 0000-0003-3882-311x

| 183

Emergency Airway Management With Bronchoscopic Apc and Simultaneous Curative Surgery in Tracheal Obstruction Caused by Papillary Thyroid Carcinoma: A Rare Case Report and Brief Literature Review**Doç.Dr. Kerim Güzel¹, Doç.Dr. Hüseyin Ulaş Çınar², Doç.Dr. Feyzi Gökosmanoğlu³**¹Department of General Surgery, Samsun Medicana International Hospital, Samsun, Türkiye²Department of Thoracic Surgery, Samsun Medicana International Hospital, Samsun, Türkiye³Department of Endocrinology and Metabolic Diseases, Samsun Medicana International Hospital, Samsun, Türkiye

*Corresponding author: Kerim güzel

Abstract: Papillary Thyroid Carcinoma (PTC) is a differentiated thyroid malignancy that infrequently invades the trachea, with a reported incidence ranging from 0.5% to 6.5%. Tracheal invasion may cause life-threatening airway obstruction and necessitate urgent intervention. We report a rare case of tracheal obstruction secondary to PTC that was successfully managed with Argon Plasma Coagulation (APC) and curative surgery within the same operative session. A 65-year-old woman presented with progressive dyspnea, stridor, and a palpable right neck mass. Computed Tomography (CT) and Magnetic Resonance Imaging (MRI) revealed a trachea-invading thyroid mass. Flexible bronchoscopy demonstrated near-total airway occlusion, and APC was performed to restore airway patency. During the same session, Total Thyroidectomy, Central Neck Dissection, and shaving of metastatic tracheal foci were performed. The right Recurrent Laryngeal Nerve was invaded by the tumor and resected en bloc. Histopathological evaluation confirmed Papillary Thyroid Carcinoma, Tall Cell Variant (TCV), with tracheal mucosal invasion. The postoperative course was uneventful, and the patient was scheduled for Radioactive Iodine (RAI) ablation therapy. In locally advanced thyroid carcinoma with airway invasion, a multidisciplinary approach integrating endoscopic airway restoration and curative surgery during the same session can ensure both airway safety and optimal oncologic control. This combined strategy facilitates effective tumor debulking, allows for safe anesthesia, and enhances the success of adjuvant therapies. Our experience highlights the importance of early recognition and coordinated surgical planning in preventing airway compromise and achieving long-term oncologic control. Therefore, prompt multidisciplinary intervention should be considered the cornerstone of management in patients with PTC-related tracheal invasion.

Keywords: Papillary Thyroid Carcinoma, Tracheal Invasion, Argon Plasma Coagulation, Airway Obstruction, Tall Cell Variant, Multidisciplinary Surgery, Curative Thyroidectomy

Makale id= 160

Sözlü Sunum

ORCID ID: 0000-0001-5955-388X

| 184

Eş Zamanlı Akut Apendisit ile Birlikte Görülen Çekum Divertiküliti: Nadir Bir Olgu Sunumu

Uzman Dr. Rıfat Bezirci¹, Uzman Dr. Hüseyin Hakan Amioğlu¹

¹Sincan Eğitim ve Araştırma Hastanesi

*Corresponding author: Rıfat Bezirci

Özet: Giriş: Çekal divertikülit, sağ alt kadran ağrısı ile başvuran hastalarda nadir görülen ancak klinik olarak akut apandisit ile sıkça karıştırılabilen bir patolojidir. Genellikle tanı ameliyat sırasında konur ve öncesinde ayırıcı tanı yapmak güçtür. Buna karşın, günümüzde görüntüleme yöntemlerinin gelişmesiyle birlikte çekal divertikülit daha sık preoperatif olarak tanınabilir hale gelmiştir. Olgu Sunumu: Bu vaka sunumunda, 52 yaşında erkek hasta, sağ alt kadran ağrısı, bulantı ve subfebril ateş ile başvurdu. Kontrastlı batin bilgisayarlı tomografisinde çekal ön yüzeyde inflamatuvar değişikliklerle birlikte divertikül formasyonu izlendi ve çekal divertikülit tanısı kondu. Aynı zamanda apendiksin de hafif kalınlaşmış ve çevresel yağlı doku inflamasyonuna sahip olması nedeniyle eş zamanlı apandisit olasılığı göz önünde bulunduruldu. Laparoskopik cerrahi sırasında hem çekal divertikülit hem de enflame apendiks gözlemlendi. Çekumda yaygın iskemi ve yer yer mikroporasyonlar gözlenmesi üzerine sağ hemikolektomi yapıldı. Histopatolojik incelemede akut apandisit ve aktif çekal divertikülit bulguları doğrulandı. Sonuç: Bu vaka, görüntüleme ile çekal divertikülit tanısının konulabildiğini ve eş zamanlı akut apandisit gibi nadir birlikteliklerin de gözden kaçırılmaması gerektiğini ortaya koymaktadır. Tanının preoperatif dönemde doğru şekilde konması, cerrahi planlamanın etkinliğini artırmakta ve tedavi başarısını olumlu yönde etkilemektedir. Sağ alt kadran ağrısında çekal divertikülit, özellikle BT bulguları ile değerlendirilmeli; şüpheli durumlarda eş zamanlı patolojiler mutlaka göz önünde bulundurulmalıdır.

Anahtar Kelimeler: Çekal Divertikülit, Akut Apendisit, Sağ Alt Kadran Ağrısı

Cecal Diverticulitis With Concurrent Acute Appendicitis: A Rare Case Report

Abstract: Introduction: Cecal diverticulitis is a rare but clinically significant cause of right lower quadrant pain and is often mistaken for acute appendicitis due to overlapping symptoms. In most cases, the diagnosis is established intraoperatively, as clinical and laboratory findings are typically nonspecific. However, with advancements in imaging techniques, preoperative diagnosis of cecal diverticulitis has become increasingly feasible. Case Presentation: In this report, we present a 52-year-old male patient who was admitted with a two-day history of right lower quadrant abdominal pain, nausea, and low-grade fever. Contrast-enhanced abdominal computed tomography (CT) revealed an inflamed diverticulum on the anterior wall of the cecum, consistent with cecal diverticulitis. In addition, the appendix appeared mildly thickened with surrounding fat stranding, raising the suspicion of concurrent acute appendicitis. During laparoscopic exploration, both an inflamed cecal diverticulum and a hyperemic, edematous appendix were observed. Right hemicolectomy was performed due to the observation of widespread ischemia and local microperforations in the cecum. Histopathological examination confirmed the diagnosis of acute appendicitis and active cecal diverticulitis. Conclusion: This case highlights the importance of thorough preoperative imaging in differentiating causes of right lower quadrant pain.

While cecal diverticulitis can be accurately diagnosed with CT, clinicians should remain vigilant for coexisting pathologies such as acute appendicitis. Early and accurate diagnosis significantly aids in surgical planning and improves clinical outcomes. Simultaneous occurrence of cecal diverticulitis and appendicitis, though rare, should be considered in the differential diagnosis when imaging reveals overlapping findings.

Keywords: Cecal Diverticulitis, Acute Appendicitis, Right Lower Quadrant Pain



Makale id= 198

Sözlü Sunum

ORCID ID: 0000-0002-1565-9217

| 186

Euterpe Oleracea'nın Sıçanlarda Antidepresan ve Anksiyolitik Etkilerinin ve Etki Mekanizmalarının Araştırılması

Dr. Öğretim Üyesi Cafer Yıldırım¹

¹Ankara Üniversitesi

Abstract: Euterpe oleracea (EO) includes a large number of polyphenolic compounds such as phenolics, flavonoids, and anthocyanins that have antioxidant activities. E. oleracea was suggested to ease the oxidative stress and inflammation in brain cells. Environmental severe stressful situations like natural disaster, infectious disease outbreak, and mass casualty, are known to cause anxiety, depression, and cognitive impairment. Our aim was to analyze the effects of E. oleracea on depression and anxiety. We used 64 (300–350 g) male Wistar albino rats for this study. The groups consisted of the control, EO 30 mg/kg, EO 100 mg/kg, EO 300 mg/kg, amitriptyline 20 mg/kg, fluoxetine 20 mg/kg, diazepam 5 mg/kg, and ketamine 5 mg/kg. Forced swimming and elevated plus maze tests were used to investigate antidepressant activity and anxiolytic activity respectively. Additionally, locomotor activities of the rats were assessed with activity meter. All the drugs were administered via oral route and tests were performed 1.5 hours later the drug administration. The results were statistically analyzed with Kruskal–Wallis test and $p < 0.05$ was accepted as statistically significant. All doses of EO significantly reduced immobility time in forced swimming and time spent in closed arms in elevated plus maze tests compared to control. The effects of 100-mg/kg EO on these tests were similar to 20-mg/kg amitriptyline, 5-mg/kg ketamine, and 5-mg/kg diazepam. On the contrary, 20-mg/kg fluoxetine did not reduce immobility time and time spent in closed arms compared to all groups, including the control group. We suggest that EO, especially at a dose of 100 mg/kg, exerts antidepressant and anxiolytic effects comparable to reference antidepressant and anxiolytic drugs used in this study. However, the ineffectiveness of the reference drug fluoxetine on depression and anxiety tests may be attributed its acute administration.

Keywords: Euterpe Oleracea, Anxiety, Antidepressant, Locomotor Activity, Rat

Makale id= 114

Sözlü Sunum

ORCID ID: 0000-0003-1170-6036:0009-0009-2369-992X: 0000-0002-7802-880X:
0009-0005-0894-5900

| 187

Evaluation of Gissane and Böhler Angles According to Different Age Groups, Sexes, and Foot and Calcaneus Dimensions

**Doç.Dr. Sinan Bakırcı¹, Arş.Gör.Dr. İsmet Benli¹, Doç.Dr. Serkan Öner²,
Arş.Gör.Dr. İbrahim Palamut²**

¹Izmir Katip Çelebi University

²Izmir Bakırçay University

*Corresponding author: İsmet Benli

Abstract: Objective: In this study, it was aimed to evaluate the differences in calcaneal angles between young adult and elderly groups and to investigate the correlation between calcaneus and foot dimensions and calcaneal angular values. Methods: On foot radiographs belonging to two different age groups, calcaneus length and height, foot length and width, Gissane angle and Böhler angle were measured (Group I: 25–40 years, Group II: 60–80 years). Results: In Group I, the mean values of Gissane angle and Böhler angle were found as follows: in females, Gissane angle: 110.48 ± 6.29 – Böhler angle: 32.66 ± 5.38 ; in males, Gissane angle: 111.98 ± 8.95 – Böhler angle: 33.01 ± 4.88 degrees. In Group II, in females, Gissane angle: 107.17 ± 7.48 – Böhler angle: 32.39 ± 5.69 ; in males, Gissane angle: 109.09 ± 7.44 – Böhler angle: 30.78 ± 5.28 degrees. When comparing between age groups, the differences found were significant for Gissane angle in females and for Böhler angle in males (p

Keywords: Gissane Angle, Böhler Angle, Age Group, Older Population, Turkish Population

Makale id= 86

Sözlü Sunum

ORCID ID: 0000-0002-1070-3389

| 188

Farklı Formaldehit Çözeltilerinde Bekletilmiş Olan Kadavra Dokularının Stereo Mikroskop Analizi

Öğr. Gör. Berna Yılmaz Şirin¹, Araştırmacı Eren Dağdelen¹, Araştırmacı Melisa Ayıkol¹

¹Atılım Üniversitesi Sağlık Hizmetleri Meslek Yüksekokulu

*Corresponding author: Berna Yılmaz Şirin

Özet: İnsan kadavrası, temini zor olan ancak tıp ve sağlık alanları eğitiminde çok önemli bir yer tutan bir materyaldir. Erişimin zor olması doğru koşullarda saklanması elzem olduğunu ortaya koyar. Kadavraların korunmasında en sık tercih edilen kimyasal formaldehit olup, bu kimyasalın çeşitli oranlardaki çözeltileri kadavranın oda sıcaklığında ya da kadavra dolaplarında saklanması için hazırlanmaktadır. Ancak formaldehit, bilinen pek çok yan etkiye sahiptir ve formaldehitin inhalasyon yolu ile vücuda alınması, bu toksik özelliklerinin ortaya çıkmasına neden olur. Bu nedenle formaldehitin kullanımının azaltılması hem çevre kirliliğinin azalmasına katkı sağlayacak hem de kadavra ile çalışan kişinin sağlığının daha az etkilenmesinde etkili olacaktır. Bu kapsamda, çalışmamızda üç farklı yüzde oluşturulan formaldehit çözeltisinin kas, sinir ve deri dokusunda oluşturduğu etkiyi stereomikroskop ile analiz edilmiştir. Bu çalışmanın sonucunda kadavra çalışmalarında olan formaldehitin kadavra saklanması için en uygun derişiminin bulunması hedeflenmiştir. Çalışmada insan el bileği kadavrasından her biri 9 mm uzunluğunda olmak üzere deri, median sinir ve kas dokuları alınmıştır. Alınan her doku 3 mm'lik bölümlere ayrılmıştır. Ayrılan dokular birinci, ikinci ve üçüncü solüsyon için gruplandırılıp %2, %5,66, %10luk formaldehit çözeltilerinde saklanmıştır. Örnekler 60 günün sonunda stereo mikroskop ile incelenmiştir. Sinir dokuda % 5,66'lık ve %10luk çözelti benzer koruma sağlamıştır. Kas dokuda %10luk çözelti iyi koruma sağlamıştır ancak % 2 ve % 5,66 derişimdeki çözeltilerde çürüme gözlenmiştir. Cilt dokuda ise %10'luk çözelti en yüksek korumayı oluşturmuş ancak gerçekçiliğini kaybetmiştir, % 5,66'lık çözelti ise etkin koruma sağlamıştır. Sonuç olarak, pek çok dokuyu korumak için %5,66'lık derişime sahip formaldehit çözeltilerinin yeterli olacağı, ancak uzun yıllar saklanması gerek kadavralarda ise %10'luk formaldehit çözeltisinin kullanılmasının hem kadavra hem de buna bağlı kimyasal israfını önleyeceği sonucuna ulaşılmıştır. Bu çalışma Atılım Üniversitesi Lisans Araştırma Projesi Fonu ile desteklenmiştir (ATU-LAP-2425-06).

Anahtar Kelimeler: Formaldehit, Kadavra Tahnitlenme, Doku Tahnitlenme

Stereo Microscope Analysis of Cadaver Tissues Stored in Different Formaldehyde Solutions

Abstract: Human cadavers are a material that is difficult to obtain but holds a crucial place in medical and health education. This limited accessibility necessitates proper preservation. Formaldehyde is the most commonly used chemical for cadaver preservation, and solutions of this chemical, in various ratios, are prepared for cadaver preservation at room temperature or in cadaver cabinets. However, formaldehyde has many known side effects, and inhalation can exacerbate these toxic properties. Therefore, reducing formaldehyde use will both contribute to reducing environmental pollution and reduce the health impact of cadaver workers. In this study, the effects of three different percentages of formaldehyde solution on muscle, nerve, and skin tissue were analyzed using a stereomicroscope. The aim of this study was to determine the optimal concentration of formaldehyde for cadaver preservation.

In this study, skin, median nerve, and muscle tissues, each 9 mm long, were collected from a human wrist cadaver. Each tissue sample was divided into 3 mm sections. The separated tissues were grouped for the first, second, and third solutions and preserved in 2%, 5.66%, and 10% formaldehyde solutions. The samples were examined with a stereo microscope after 60 days. For nerve tissue, the 5.66% and 10% solutions provided similar preservation. For muscle tissue, the 10% solution provided good preservation, but decay was observed in the 2% and 5.66% solutions. For skin tissue, the 10% solution provided the highest preservation but lacked realistic results, while the 5.66% solution provided effective preservation. Consequently, it was concluded that a 5.66% formaldehyde solution would be sufficient to preserve many tissues. However, for cadavers requiring long-term storage, using a 10% formaldehyde solution would prevent both cadavers and associated chemical waste. This work was supported by the Atılım University Undergraduate Research Project Fund (ATU-LAP-2425-06).

Keywords: Formaldehyde, Cadaver Embalming, Tissue Embalming



Makale id= 68

Sözlü Sunum

ORCID ID: 0000-0002-0755-5338

| 190

Fetal Gelişim Geriliği Olan Gebeliklerde Proteinüri Varlığının Fetal Sonuçlarla Olan İlişkisi

Uzman Dr. Deniz Taşdemir¹

¹Şanlıurfa Eğitim ve Araştırma Hastanesi

Özet: Fetal gelişim geriliği (FGR), gebelik sırasında fetusun beklenen boyutlarının altında kalması olarak tanımlanır ve perinatal mortalite ve morbidite için önemli bir risk faktörüdür. Proteinüri ise gebelikte hipertansif hastalıkların bir göstergesi olup preeklampsi (Pe) ile çoğu zaman ilişkili olarak görülmektedir ancak proteinüri varlığı ile gebelik sonuçları arasında ilişki yoktur. Proteinüri varlığının Pe tanısında yeri olmasına rağmen obstetrik yönetimde karar aldırıcı rolü yoktur. Bu çalışma, FGR tanısı konulan gebeliklerde proteinüri varlığı ile fetal sonuçlar arasındaki ilişkiyi incelemeyi amaçlamaktadır. Yöntem: Haziran 2024-Eylül 2025 tarihleri arasında Şanlıurfa Eğitim ve Araştırma Hastanesine başvuran ve FGR tanısı alan gebeler retrospektif olarak tarandı. Katılımcılar, 24-40 haftalar arasında izlenen ve ultrasonografi ile FGR tanısı alan gebeliklerden oluşmaktadır. Proteinüri, 24 saatlik idrarda 300 mg veya üzerinde protein varlığı olarak tanımlandı. Fetal anomali, çoğul gebelik, fetal kromozom bozukluğu dışlanma kriteri olarak belirlendi. Bu kriterlere uyan 218 hasta kaydına ulaşıldı. Takibi ve doğumu hastanemizde olan gebelik sayısı 146, 24 saatlik idrarda protein miktarı bakılan hasta sayısı 112 olarak bulundu. Bu hastaların 71 ine proteinüri eşlik ediyor iken, 41 FGR olan gebelikte proteinüri saptanmadı. Bu hastaların gebelik özellikleri, ultrasonografi bulguları, fetomaternal sonuçlar değerlendirildi. İstatistiksel analizde SPSS 28.0 kullanıldı. Shapiro-wilk testi ile homojen dağılan nicel parametreler belirlendi. Homojen parametreler t-Test, nitel veriler Pearson ki-kare ve Fisher exact test ile değerlendirildi. $P < 0.05$ istatistiksel olarak anlamlı kabul edildi. Bulgular: Çalışmaya alınan gebelerin ortalama yaşı 26 idi. Bu gebeliklerin % 55'i erken başlangıçlı FGR idi ve % 63 üne proteinüri eşlik etmekte idi. Proteinüri olan gebelerde preeklampsi görülme sıklığı ve karaciğer enzim yüksekliği proteinüri eşlik etmeyen hastalara göre daha sık izlendi. Doğum haftası, yenidoğan doğum ağırlığı, apgar skoru proteinüri olan gebeliklerde daha düşük bulundu ve daha uzun süre yenidoğan yoğun bakım desteği sağlandı. Çalışmada, proteinüri varlığının FGR olgularında ağır neonatal sonuçlarla ilişkili olduğu gösterilmiştir. Proteinüri pozitif olan gebeliklerde preterm doğum oranları, düşük Apgar skorları ve yenidoğan yoğun bakım ihtiyacı anlamlı düzeyde artmıştır. Tartışma Proteinüri, FGR olgularında maternal-fetal dolaşım bozukluğunun bir göstergesi olarak değerlendirilebilir. Proteinüri varlığı, perinatal mortalite ve morbiditeyi artırıcı etkiler göstermekte ve bu durum erken müdahaleleri gerektirmektedir. Sonuç FGR'li gebeliklerde proteinüri varlığı, olumsuz fetal sonuçlarla yakından ilişkili bulunmuştur. Bu nedenle, proteinüri tespiti yapılan hastalarda daha yakın izlem ve erken doğum planlaması gerekebilir.

Anahtar Kelimeler: Fetal Gelişim Geriliği, Proteinüri, Perinatal Sonuçlar, Gebelik, Preeklampsi

Makale id= 6

Sözlü Sunum

ORCID ID: 0000-0001-7803-1462

| 191

Gaita Örneklerinde Viral ve Bakteriyel Ajanların Multiplex Pcr İle Araştırılması

Doç.Dr. Murat Karameşe¹, Ma.St. Melih Yılmaz¹

¹Kafkas Üniversitesi, Tıp Fakültesi, Tıbbi Mikrobiyoloji Anabilim Dalı

*Corresponding author: Melih Yılmaz

Özet: Amaç: Gastrointestinal enfeksiyonlar özellikle çocuklar ve immünsüprese bireylerde morbidite ve mortalitenin önemli nedenlerindedir. Klasik kültür yöntemleri zaman alıcıdır; hızlı antijen testleri ise düşük duyarlılık ve sınırlı hedef kapsamına sahiptir. Multiplex PCR panelleri, çok sayıda patojeni eşzamanlı ve yüksek duyarlılıkla saptayabilme avantajı ile öne çıkmaktadır. Bu çalışmada, Adeno/Rota hızlı testleri ile Bioeksen Gastroenteritis RT-qPCR MX-24 Paneli sonuçları karşılaştırılarak Multiplex PCR'nin tanısal katkısı değerlendirilmiştir. Yöntem: Çalışmaya en az bir gastrointestinal semptomu olan 99 hasta dahil edilmiştir. En sık görülen semptom karın ağrısı (%67,7) olup bunu gastroenterit (%10,1) ve diyare (%7,1) izlemiştir. Tüm hastalara Adeno/Rota hızlı testleri uygulanmış, ardından dışkı örnekleri Multiplex PCR ile viral, bakteriyel ve paraziter patojenler açısından incelenerek istatistiksel analizler gerçekleştirilmiştir. Bulgular: Hızlı testlerde adenovirüs pozitifliği %13,1, rotavirüs pozitifliği %2,0 bulunmuştur. Multiplex PCR'de hastaların %70,7'sinde en az bir patojen saptanmıştır. En sık etken adenovirüs (%32,3) olup, EPEC (%10,1), EAEC (%7,1) ve norovirüs (%9,1) ile ko-enfeksiyonlar dikkat çekmiştir. Cryptosporidium spp. (%3,0) ve Giardia lamblia (%1,0) düşük oranlarda izlenmiştir. Genel ko-enfeksiyon oranı %30'dur. Hızlı testlere kıyasla Multiplex PCR'de adenovirüs ve rotavirüs pozitifliği anlamlı derecede yüksektir (p

Anahtar Kelimeler: Gastrointestinal Enfeksiyonlar, Multiplex Pcr, Adenovirüs, Ko-Enfeksiyonlar

Investigation of Viral and Bacterial Agents in Stool Samples Using Multiplex Pcr

Abstract: Objective: Gastrointestinal infections are a major cause of morbidity and mortality, particularly in children and immunocompromised individuals. Conventional culture methods are time-consuming, while rapid antigen tests have low sensitivity and limited target scope. Multiplex PCR panels allow simultaneous detection of multiple pathogens with high accuracy. This study aimed to evaluate the diagnostic contribution of a multiplex PCR panel by comparing the results of the Bioeksen Gastroenteritis RT-qPCR MX-24 Panel with Adeno/Rota rapid tests. Method: The study included 99 patients with at least one gastrointestinal symptom. The most frequent symptom was abdominal pain (67.7%), followed by gastroenteritis (10.1%) and diarrhea (7.1%). All patients underwent Adeno/Rota rapid tests, and their stool samples were subsequently analyzed for viral, bacterial, and parasitic pathogens using multiplex PCR. Statistical analyses were then performed. Results: Rapid tests detected adenovirus (13.1%) and rotavirus (2.0%). Multiplex PCR identified at least one pathogen in 70.7% of patients. Adenovirus was the most common agent (32.3%), with frequent co-infections including EPEC (10.1%), EAEC (7.1%), and norovirus (9.1%). The overall co-infection rate was about 30%. Compared to rapid tests, multiplex PCR showed significantly higher positivity for adenovirus and rotavirus (p

Keywords: Gastrointestinal Infections, Multiplex Pcr, Adenovirus, Co-Infections

Makale id= 171

Sözlü Sunum

ORCID ID: <https://orcid.org/0000-0001-5966-1055>

| 192

Gastroenterolojide Endoskopik Ultrasonografi Kullanımı

Dr. Öğretim Üyesi İdris Kurt¹, Uzman Dr. Mehmet Engin Özekin², Uzman Dr. Görkem Karadağ¹, Uzman Dr. Uygur Avcı¹

¹Trakya Üniversitesi Tıp Fakültesi

²Pınarhisar Devlet Hastanesi

*Corresponding author: İdris Kurt

Özet: Giriş: Endoskopik ultrasonografi (EUS) uygulaması günlük pratiğimizde giderek artmaktadır. Gastrointestinal duvar patolojileri yanında ekstralüminal lezyonların tanısında kullanılmakla birlikte endikasyon spektrumu giderek artmaktadır. Tanısal işlemlerin yanında kistogastrotomi, biliyer drenaj gibi terapötik işlemlerde de kullanılmaktadır. Materyel ve Metod: Ocak 2021 ile temmuz 2025 tarihleri arasında Trakya Üniversitesi Tıp Fakültesi'nde EUS işlemi yapılan hastalar çalışmaya dahil edildi. Hastaların dosyaları retrospektif olarak incelendi. Demografik özellikler, eşlik eden hastalıkların varlığı, ailede malignite varlığı, antitrombotik ilaç kullanımı, laboratuvar verileri, EUS işleminin detayları, patoloji sonuçları ve advers olaylar kaydedildi. Sonuçlar: Çalışmamıza toplam 86 hasta dahil edildi. Ortalama yaş 64 (26-94) idi. Kadın hasta oranı %47 idi. Hastaların %80'inde komorbidite mevcut ve %20 oranında antitrombotik kullanımı mevcut idi. Aile hikayesinde %21 hastada malignite izlendi. İşlemlerin 85'i tanısal, sadece birtanesi kistogastrotomi olmak üzere terapötik idi. Ağırlıklı işlemler pankreatik lezyonlar (%65) ve mide duvarı patolojileri (%15) için idi. Diğer endikasyonlar intraabdominal, mediastinal, sigmoid kolon ve rektum patolojileri için idi. Biyopsi istasyonu ağırlıklı olarak (%80) mide idi. Pankreas lezyonlarının yerleşimi ağırlıklı olarak sırayla %37 korpusta, baş (%34), uncinat proceeste (%16) yerleşimli idi. Pankreas lezyonlarının %59'u solid, %30'u kistik, geri kalanı miks karakterde idi. Lezyonların uzun aksı median 33 (7-200) mm, kısa aksı 26 (1-160) mm idi. Pankreatik lezyonlar için bakılan CA19-9 düzeyi ortalama 1828 mg/dL saptandı. Solid lezyonlarda (ortalama 3385 mg/dL) CA19-9 düzeyi, kistiklere nazaran (ortalama 25 mg/dL) daha yüksek idi (p

Anahtar Kelimeler: Endoskopik Ultrasonografi, İnce İğne Aspirasyonu, Pankreatik Lezyon

Use of Endoscopic Ultrasonography in Gastroenterology

Abstract: Introduction The use of endoscopic ultrasonography (EUS) in daily gastroenterology practice has been steadily increasing. In addition to diagnosing gastrointestinal wall lesions, EUS is also utilized for extraluminal pathologies, with a continuously expanding range of indications. Beyond its diagnostic applications, it is also employed for therapeutic procedures such as cystogastrotomy and biliary drainage. Materials and Methods Patients who underwent EUS at Trakya University Faculty of Medicine between January 2021 and July 2025 were retrospectively evaluated. Demographic characteristics, comorbidities, family history of malignancy, use of antithrombotic agents, laboratory data, procedural details, pathological results, and adverse events were recorded. Results A total of 86 patients were included. The mean age was 64 years (range: 26–94), and 47% were female. Comorbidities were present in 80% of patients, and 20% were receiving antithrombotic therapy. A family history of malignancy was reported in 21% of cases. Eighty-five procedures were diagnostic and one was therapeutic (cystogastrotomy). The most common indications were pancreatic lesions (65%) and gastric wall

pathologies (15%). Other indications included intra-abdominal, mediastinal, sigmoid, and rectal lesions. Biopsy sites were predominantly gastric (80%). Pancreatic lesions were mainly located in the body (37%), head (34%), and uncinate process (16%). Solid, cystic, and mixed lesions accounted for 59%, 30%, and 11%, respectively. Median lesion size was 33 mm (long axis) and 26 mm (short axis). The mean CA 19-9 level was 1828 mg/dL, significantly higher in solid lesions (3385 mg/dL) than cystic ones (25 mg/dL; p

Keywords: Endoscopic Ultrasonography, Fine Needle Aspiration, Pancreatic Lesion



Makale id= 106

Sözlü Sunum

ORCID ID: 0000-0003-4230-1015

| 194

Gastroözofageal Reflü Hastalığı Hastalarının Yeme Tutumlarının Değerlendirilmesi

Uzman Dr. Osman Çağın Buldukoğlu¹

¹Antalya Eğitim ve Araştırma Hastanesi

Özet: Giriş: Gastroözofageal reflü hastalığı (GÖRH) toplumun %10 ila %20'sini etkileyen önemli bir sağlık sorunudur. GÖRH hastalarında yaşam kalitesinin azalmasına ek olarak reflü ilişkili komplikasyonlar (ses kısıklığı, özofajit, striktürler, vb.) da gelişebilmektedir. Yeme tutum testi kısa formu (YTT-26), kişilerin yeme tutumlarını değerlendiren geçerli ve güvenilir bir testtir. YTT-26 testi ile yeme bozuklukları riski (ör: anoreksia nervoza, bulimia nervoza) öngörülerek gerekli vakalarda önleyici tedbirlerin alınması sağlanabilmektedir. Bu çalışmanın amacı, hastalığın doğası gereği yeme bozuklukları açısından risk altında olan GÖRH hastalarında yeme tutumlarının değerlendirilmesi ve bu hasta grubunda yeme bozuklukları riskinin ortaya konulmasıdır. Materyal ve Metod: Çalışmaya etik kurul onayı sonrasında Antalya Eğitim ve Araştırma Hastanesi Gastroenteroloji Polikliniğinde GÖRH tanısı ile takipli 115 hasta dahil edildi. Demografik özelliklerin yanı sıra YTT-26 sonuçları da kaydedilerek çalışma parametreleri ile analiz edildi. YTT-26 testi sonucunda 20 ve üzeri puan alan hastalar anormal yeme tutumuna sahip olarak sınıflandırıldı. Sonuçlar: Çalışmaya dahil edilen 115 hastanın 61'i (53%) kadın idi. Ortanca yaş 43,5 (18-79) idi. Ortanca vücut-kitle indeksi değeri 26,7 kg/m² (15,8-42,9) idi. Çalışma popülasyonunun %40'ı aktif sigara içicisiyken, %20'si düzenli alkol kullandığını belirtti. Antidepresan kullanma oranı %11,3, düzenli ağrı kesici kullanma oranı %38,3 olarak saptandı. Hastaların 18'inde (%15,7) YTT-26 test sonucu 20 ve üzerinde bulundu. Ortalama YTT-26 skorları kadınlar için 12,8 (±9,4) iken erkekler için 9,2 (±6,5) idi ve bu farklılık istatistiksel olarak anlamlıydı (p=0.046). Tartışma: Bu çalışma kohortunda GÖRH hastalarının %15,7'sinde yeme tutum bozukluğu saptanmıştır. Toplumun önemli bir oranını etkileyen GÖRH tablosunda morbidite, hatta mortalite etkeni olabilecek yeme bozukluklarının erken tanımlanması ve önlem alınması hem koruyucu, hem de tedavi edici hekimlik açısından önemli bir husustur.

Anahtar Kelimeler: Yeme Bozukluğu, Gastroözofageal Reflü Hastalığı, Yeme Tutum Testi

Makale id= 81

Sözlü Sunum

ORCID ID: 0000-0002-3990-6681

| 195

Glikojen Depo Hastalığına Bağlı El Parmaklarında Fleksiyon Kontraktürü: Cerrahi Yaklaşım ve Nadir Bir Olgu Sunumu

Uzman Dr. Cemil Emre Gökdemir¹
¹ Konya Şehir Hastanesi

Özet: Giriş: Glikojen depo hastalıkları (GDH), glikojen metabolizmasındaki enzimatik defektler sonucu kas, karaciğer ve diğer organlarda anormal glikojen birikimi ile seyreden nadir metabolik bozukluklardır (1). Bu hastalıklarda özellikle kas dokusundaki glikojen birikimi, kronik kas sertliği, kontraktürler ve deformitelere neden olabilir (2). El parmaklarında gelişen fleksiyon kontraktürleri günlük yaşam aktivitelerini belirgin olarak kısıtlayabilir ve cerrahi müdahale gerektirebilir. Olgu Sunumu: Yirmi sekiz yaşında, erkek hasta, GDH tanılı kadın hasta el parmaklarında progresif fleksiyon deformitesi nedeniyle kliniğimize başvurdu. Fizik muayenede özellikle distal interfalangeal (DİP) eklemlerde belirgin fleksiyon kontraktürleri izlendi. Manyetik rezonans görüntülemeye fleksör tendonlarda fibrotik değişiklikler mevcuttu. Hasta, el fonksiyonunu artırmak ve ağrıyı azaltmak amacıyla cerrahiye alındı. Cerrahi sırasında DİP eklemlerine artrodez uygulanarak deformiteler düzeltildi ve eş zamanlı olarak karpal tünel sendromu nedeniyle median sinir dekompresyonu gerçekleştirildi. Postoperatif dönemde el bileği ekstansiyonunda nöromotor iyileşme ve ağrıda belirgin azalma saptandı. Tartışma: GDH'ye bağlı kontraktürlerin patogenezi, kas dokusunda glikojenin anormal birikimine bağlı olarak gelişen kronik fibrozis ve tendon kısalmasıyla ilişkilidir (3). Bu olguda, artrodez ve median sinir gevşetme kombinasyonunun fonksiyonel iyileşme sağlaması dikkat çekicidir. Literatürde bu düzeyde distal parmak kontraktürü ve eşlik eden karpal tünel sendromu birlikteliği oldukça nadirdir (4). Bu nedenle olgumuz, metabolik kökenli el deformitelerinde cerrahi tedavinin etkinliğini vurgulayan nadir bir örnektir. Sonuç: Glikojen depo hastalığına bağlı parmak kontraktürlerinde multidisipliner yaklaşım ve uygun cerrahi teknik seçimi, fonksiyonel sonuçlar açısından önemlidir. DİP artrodez ve median sinir gevşetme kombinasyonu, deformite düzeltimi ve nörolojik iyileşme açısından etkili bir seçenektir.

Anahtar Kelimeler: Glikojen Depo Hastalığı, Fleksiyon Kontraktürü, Distal İnterfalangeal Artrodez, Karpal Tünel Sendromu

Makale id= 14**Sözlü Sunum**ORCID ID: <https://orcid.org/0000-0002-3872-8836>

| 196

Halluks Valgus Cerrahisi Uygulanan Hastaların Orta Dönem Takip Klinik Sonuçları**Uzman Dr. Ömer Yonga¹**¹Yeditepe Üniversitesi Yüksek İhtisas Hastanesi

Özet: Amaç Halluks valgus yaygın bir ön ayak deformitesidir ve semptomatik hastalarda cerrahi düzeltme standart tedavi olmaya devam etmektedir. Radyografik ve klinik sonuçların uzun vadeli değerlendirilmesi, cerrahi etkinlik ve kalıcılık hakkında değerli bilgiler sağlar. Yöntemler: Yeditepe Üniversitesi Hastanesi'nde 2013-2023 yılları arasında halluks valgus cerrahisi uygulanan 57 hasta retrospektif olarak incelendi. Demografik veriler, halluks valgus açısı (HVA), intermetatarsal açı (IMA), distal metatarsal eklem açısı (DMAA) ve sesamoid redüksiyon kalitesini içeren radyografik parametreler ameliyat öncesi ve sonrası analiz edildi. Klinik takip süresi ve ilişkili patolojiler de değerlendirildi. Bulgular: Kohort 15 ila 75 yaş arası hastalardan oluşuyordu (ortalama yaş: 52.3 yıl). Ortalama takip süresi 162 gündü. Ameliyat öncesi ortalama HVA 31.1° iken, ameliyat sonrası 8.8°'ye geriledi. Ortalama İMA 14.5°'den 6.8°'ye düştü. DMAA ve sesamoid redüksiyon kalitesi de ameliyat sonrası anlamlı iyileşmeler gösterdi. Distal metatarsal osteotomi en sık uygulanan teknikti. Hastaların bir kısmında eşlik eden deformiteler (ikinci ayak çekiç parmağı ve metatarsophalangeal eklem deformiteleri) gözlenmiştir. Takip süresi boyunca ameliyat sonrası önemli bir komplikasyon kaydedilmedi. Sonuç Halluks valgus cerrahisi, tatmin edici sesamoid redüksiyonu ve uzun süreli takipte stabil klinik sonuçlarla birlikte HVA ve İMA'da önemli radyografik düzeltme sağladı. Bu bulgular, halluks valgusta cerrahi tedavinin etkinliğini ve dayanıklılığını doğrulamakta ve geniş bir yaş aralığında güvenilir bir tedavi olarak rol oynadığını göstermektedir.

Anahtar Kelimeler: Halluks Valgus, Osteotomi, Ön Ayak Deformitesi, Klinik Sonuçlar**Clinical Outcomes of Patients Undergoing Hallux Valgus Surgery in the Mid-Term Follow-Up**

Abstract: Background: Hallux valgus is a common forefoot deformity, and surgical correction remains the standard treatment in symptomatic patients. Long-term evaluation of radiographic and clinical outcomes provides valuable insights into surgical effectiveness and durability. Methods: We retrospectively reviewed 57 patients who underwent hallux valgus surgery between 2013 and 2023 in Yeditepe University Hospital. Demographic data, radiographic parameters including hallux valgus angle (HVA), intermetatarsal angle (IMA), distal metatarsal articular angle (DMAA), and sesamoid reduction quality were analyzed preoperatively and postoperatively. Clinical follow-up duration and associated pathologies were also evaluated. Results: The cohort comprised patients aged 15 to 75 years (mean age: 52.3 years). The mean follow-up was 162 days. Preoperatively, the mean HVA was 31.1°, which improved to 8.8° postoperatively. The mean IMA decreased from 14.5° to 6.8°. DMAA and sesamoid reduction quality also demonstrated significant postoperative improvements. Distal metatarsal osteotomy was the most commonly performed technique. Associated deformities, including second toe hammer toe and metatarsophalangeal joint deformities, were observed in a subset of patients. No major postoperative complications were recorded during the follow-up period. Conclusion: Hallux valgus surgery provided satisfactory sesamoid reduction and significant radiographic correction of HVA and

IMA with stable clinical outcomes at long-term follow-up. These findings confirm the efficacy and durability of surgical treatment for hallux valgus and demonstrate its role as a reliable treatment in a wide age range.

Keywords: Hallux Valgus, Osteotomy, Forefoot Deformity, Clinical Outcomes



Makale id= 47

Sözlü Sunum

ORCID ID: <https://orcid.org/0000-0002-0167-0802>

| 198

Hastanemizde Sağlık Çalışanlarında Kesici-Delici Alet Yaralanmaları: Beş Yıllık Retrospektif Analiz

Uzman Dr. Murat Aydın¹, Uzman Dr. Nurdan Pür¹

¹Erzurum Bölge Eğitim ve Araştırma Hastanesi, Enfeksiyon Hastalıkları ve Klinik Mikrobiyoloji, Erzurum, Türkiye

*Corresponding author: Murat Aydın

Özet: Giriş: Kesici-delici alet yaralanmaları (KDAY), sağlık çalışanları için önemli bir mesleki risk oluşturmaktadır. Bu yaralanmalar, kan yoluyla bulaşan enfeksiyonların bulaşmasına neden olabileceği için ciddi sonuçlar doğurabilmektedir. Bu çalışmada, hastanemizde son beş yıl içinde sağlık çalışanlarında meydana gelen KDAY'ın değerlendirilmesi amaçlanmıştır. Gereç ve Yöntem: Bu retrospektif çalışma, hastanemizde Eylül 2019 – Eylül 2024 tarihleri arasında, KDAY nedeniyle başvuran sağlık çalışanlarının kayıtlarının incelenmesiyle gerçekleştirilmiştir. Çalışanların demografik özellikleri, yaralanmaya neden olan aletler, kullanılan kişisel koruyucu ekipmanlar (KKE), yaralanmanın şiddeti ve kaynağın bulaşıcı hastalık durumu analiz edilmiştir. Bulgular: Çalışmaya toplam 282 sağlık çalışanı dahil edildi. Çalışanların %66'sı (n=186) kadın, %34'ü (n=96) erkek olup yaş ortalaması $27,8 \pm 6,9$ idi. En sık yaralanan meslek grubu hemşireler (%69,9) olup, bunu temizlik personeli (%20,6) takip etti. Yaralanma esnasında çalışanların %91,3'ü tek kat eldiven kullanırken, %4,6'sı hiçbir KKE kullanmamıştı. En sık yaralanmaya neden olan alet iğne ucu (%95,0) olup, bunu bistüri (%3,5) ve kateter (%1,4) takip etti. Yaralanmalar en sık damar yolu açarken (%34,8) ve enjeksiyon yaparken (%32,3) meydana geldi. Yaralanmaların büyük çoğunluğu el bölgesinde (%95,7) meydana geldi. Yaralanmaların %80,9'u yüzeysel, %18,4'ü derin, %0,7'si ise mukozal yaralanma idi. Kaynak kişilerde en sık rastlanan enfeksiyonlar Hepatit B (%8,9) ve Hepatit C (%3,9) idi. Yaralanma anında çalışanların %92,2'si Hepatit B'ye bağışık, %7,8'i bağışık değildi. Üçüncü ay kontrollerinde bağışıklık oranı %97,9'a yükselmişti. KDAY, en sık servisler (%47,9), yoğun bakım üniteleri (%24,1) ve acil serviste (%8,2) meydana gelmiş olup, diğer vakalar kan alma ünitesi, ameliyathane, poliklinikler gibi farklı hastane birimlerinde gözlemlendi. Çalışanlara, KDAY sonrasında gerekli profilaksi ve takip protokolleri uygulandı ve takip sürecinde hiçbir çalışanda enfeksiyon gelişimi gözlemlenmedi. Sonuç: Bu çalışma, sağlık çalışanlarında KDAY'ın en sık hemşirelerde ve iğne ucu ile damar yolu açma veya enjeksiyon yapma sırasında meydana geldiğini göstermektedir. KKE kullanımının artırılması, güvenli tıbbi atık yönetimi ve çalışanlara yönelik eğitimlerin sıklaştırılması bu yaralanmaların önlenmesinde önemli rol oynayacaktır.

Anahtar Kelimeler: Kesici-Delici Alet Yaralanmaları, Kişisel Koruyucu Ekipman, Mesleki Risk

Makale id= 29**Sözlü Sunum**

ORCID ID: 0000-0001-6995-7263

| 199

Hemşirelik Öğrencilerinde Farmakoloji Eğitiminin Akılcı İlaç Kullanım Bilgisi Üzerine Etkisi

Dr. Öğretim Üyesi Fuat Nihat Özaydın¹¹İstanbul Atlas Üniversitesi Tıp Fakültesi Farmakoloji Bilim Dalı

Özet: Amaç: Bu çalışmanın amacı, hemşirelik öğrencilerinin akılcı ilaç kullanımı (AİK) konusundaki bilgi düzeyleri ve ilaçların advers etki risklerine ilişkin algıları üzerinde farmakoloji eğitiminin etkisini değerlendirmektir. Yöntem: Bu kesitsel çalışma, bir vakıf üniversitesinin sağlık bilimleri fakültesi hemşirelik lisans programına kayıtlı 31 ikinci sınıf öğrencisi ile gerçekleştirildi. Öğrenciler 14 hafta boyunca temel ve klinik farmakoloji dersleri aldılar. Eğitim öncesi ve sonrası öğrencilere Akılcı İlaç Kullanımı Anketi-1 (AİK-1), Akılcı İlaç Kullanımı Anketi-2 (AİK-2) ve İlaç Yan Etki Risk Anketi (İYR) uygulandı. Veriler SPSS 29.0 kullanılarak analiz edildi ve $p < 0,05$ istatistiksel olarak anlamlı kabul edildi. Bulgular: Katılımcıların yaş ortalaması $20,16 \pm 2,10$ yıl ve %87,1'i kadındı. Öğrencilerin RDUQ-1 için ön test puanları yüksek (39.0; min=33 maks=42) iken, RDUQ-2 için ön test puanları düşük ($13,5 \pm 5,3$) bulundu. Farmakoloji eğitimi sonrasında her üç ölçekte de anlamlı artış gözlemlendi ($p < 0,001$). Öğrencilerin %38,7'si reçetesiz ilaç kullandığını bildirdi. En sık kullanılan reçetesiz ilaçlar ağrı kesicilerdi (parasetamol ve NSAID'ler) ve bu grubun ilaç yan etki risk puanı anlamlı derecede yüksek bulundu ($p = 0,009$). Sonuç: Farmakoloji eğitimi, hemşirelik öğrencilerinin akılcı ilaç kullanımı konusundaki bilgi düzeyini ve ilaç yan etki riskleri konusundaki farkındalıklarını artırdı. Bulgular, mezuniyet öncesi farmakoloji eğitiminin vaka temelli, etkileşimli ve klinik uygulama yaklaşımlarıyla desteklenmesi gerektiğini göstermektedir.

Anahtar Kelimeler: Öğrenciler, Hemşirelik; İlaç Tedavisi; İlaç Kullanımı Değerlendirme

The Effect of Pharmacology Education On Nursing Students' Knowledge of Rational Drug Use

Abstract: Abstract: Aim: The aim of this study was to evaluate the effect of pharmacology education on nursing students' knowledge level regarding rational drug use (RDU) and their perception of drug advers effect risks. Method: This cross-sectional study was carried out with 31 second-year students enrolled in the nursing undergraduate program at a foundation university's faculty of health sciences. The students received basic and clinical pharmacology courses for 14 weeks. Before and after the training, the Rational Drug Use Questionnaire-1 (RDUQ-1), Rational Drug Use Questionnaire-2 (RDUQ-2), and Drug Side Effect Risk Questionnaire (DSERQ) were administered. Data were analyzed using SPSS version 29.0, and a p-value of < 0.05 was considered statistically significant. Results: The mean age of the participants was 20.16 ± 2.10 years, and 87.1% were female. The students' pre-test scores were high for RDUQ-1 (median = 39.0; min = 33, max = 42), while pre-test scores for RDUQ-2 were relatively low (13.5 ± 5.3). After the pharmacology education, a significant increase was observed across all three scales ($p < 0.001$). A total of 38.7% of the students reported using over-the-counter drugs. The most frequently used over-the-counter drugs were pain relievers (paracetamol and NSAIDs), and this group's drug side effect risk score was found to be significantly higher ($p = 0.009$). Conclusion: Pharmacology education increased nursing students' knowledge level of rational drug use and their

awareness of drug side effect risks. The findings indicate that pre-graduation pharmacology education should be supported with case-based, interactive, and clinical practice approaches.

Keywords: Students, Nursing; Drug Therapy; Rational Drug Use



Makale id= 88

Sözlü Sunum

ORCID ID: <https://orcid.org/0009-0008-4251-2991>

| 201

Hepatoselüler Karsinom Hücrelerinde Myh Susturulmasının in Vitro Karakterizasyonu ve Genotoksik Kemoterapi Potansiyeli

Ma.St. Büşranur Çeltik¹, Arş.Gör. Sıla Naz Köse¹, Ma.St. Ilgım Gül¹, Prof.Dr. Zeynep Fırtına¹,
Doç.Dr. Cihangir Yandım¹
¹İzmir Ekonomi Üniversitesi

*Corresponding author: Büşranur Çeltik

Özet: DNA hasarına yol açan kemoterapiler hepatoselüler karsinomda (HCC) sınırlı etkinlik göstermiş olup, bu durum HCC'ye özgü DNA onarım mekanizmalarının anlaşılmasının önemini ortaya koymaktadır. TCGA veri setlerinin analizleri, baz eksizyon onarım (BER) yolunda kilit bir enzim olan MYH'yi HCC'de kötü prognozla ilişkili bir gen olarak tanımlamış ve yüksek MYH ekspresyonunun hastaların genel sağkalımını azalttığını göstermiştir. Bu nedenle, MYH'nin baskılanmasının HCC hücrelerinde genomik bütünlüğü bozacağını hipotez ettik ve Huh7, HepG2 ile Mahlavu hücre hatlarında kalıcı MYH knockdown modelleri oluşturduk. MYH susturulması hücre proliferasyonunu belirgin şekilde azalttı ve subG1 hücre popülasyonunda birikime yol açarak artmış apoptoz ve hücre döngüsü düzensizliğine işaret etti; ayrıca cleaved PARP, p53, fosfo-p53 ve p16 protein seviyeleri yükseldi ve hipoksi ile ilişkili genler HIF1 α ile GLUT1'in ekspresyonu arttı. MYH knockdown, HCC hücrelerinin 3D kültürde sferoid oluşturma kapasitesini de önemli ölçüde azalttı ve cisplatin ile temozolomid tedavisiyle birlikte uygulandığında hücre canlılığı ve sferoid oluşumunda anlamlı etkiler gözlemlendi. Bu bulgular, MYH'nin HCC tümör biyolojisinde rol oynayabileceğini ve tek başına veya mevcut klinik ilaçlarla kombinasyon hâlinde potansiyel bir terapötik hedef olabileceğini göstermektedir; dolayısıyla MYH mekanizması ve terapötik potansiyelinin daha fazla araştırılması gerekmektedir.

Anahtar Kelimeler: Hepatoselüler Karsinom (Hcc), Myh,, Baz Eksizyon Onarımı (Ber), dna Hasarı, Genotoksik Kemoterapi, Apoptoz, 3d Sferoid Kültür, Sisplatin, Temozolomid

In Vitro Characterization of Myh Knockdown in Hepatocellular Carcinoma Cells and Its Potential for Genotoxic Chemotherapy

Abstract: DNA-damage inducing chemotherapies have only shown limited efficacy in hepatocellular carcinoma (HCC), underscoring the need to understand HCC-specific DNA repair mechanisms and identify potential therapeutic targets. Integrative analyses of TCGA datasets have identified MYH, a key enzyme in the base excision repair (BER) pathway, as a gene significantly associated with poor prognosis in HCC. Notably, elevated MYH expression correlates with reduced overall survival in HCC patients. Given this, we hypothesized that suppression of MYH would impair genomic maintenance in HCC cells. Hence, we established stable knockdown of MYH in three HCC cell lines: Huh7, HepG2, and Mahlavu. Silencing of MYH led to a marked decrease in cell proliferation and caused a significant accumulation in subG1 cell population, suggesting increased apoptosis and cell cycle dysregulation. In line with this, elevated protein levels of cleaved PARP, p53, phospho-p53, and p16 was observed with MYH knockdown, along with a marked increase in the expressions of hypoxia related genes HIF1 α and GLUT1. More importantly, MYH knockdown significantly impaired spheroid formation of HCC cells in 3D culture assays. Further examination on cell viability and 3D spheroid formation in MUTYH

knocked-down cells in the presence of clinically available genotoxic chemotherapy agents cisplatin and temozolomide revealed significantly additive effects. Collectively, these results suggest that MYH could involve in the tumorigenesis in HCC cells, serving as a potential target for therapy by itself and in combination with clinically available drugs. Our results warrant further research on MYH mechanism and its potential for therapy.

Keywords: Hepatocellular Carcinoma (Hcc), Myh, Base Excision Repair (Ber), Dna Damage, Genotoxic Chemotherapy, Apoptosis, 3d Spheroid Culture, Cisplatin, Temozolomide



Makale id= 57

Sözlü Sunum

ORCID ID: 0000-0002-6174-0817

| 203

Hiperkontraktıl Özofagus: Klinik, Manometrik Özellikler ve Tedaviye Yanıtın Değerlendirilmesi

Dr. Öğretim Üyesi Ayça Erođlu Haktanır¹

¹Kocaeli Üniversitesi Tıp Fakültesi Gastroenteroloji Bilim Dalı

Özet: Giriş: Hiperkontraktıl özofagus (HE), yüksek çözünürlüklü özofagus manometrisi (HREM) ile tanısı konabilen, nadir fakat klinik olarak önemli bir motilite bozukluğudur. Chicago Sınıflaması v4.0'a göre HE, entegre relaksasyon basıncı (IRP) normal olmasına rağmen, yutmaların en az %20'sinde distal kontraktilite indeksinin (DCI) >8000 mmHg·s·cm olmasıyla tanımlanır. Klinik semptomlarla manometrik bulgular arasındaki ilişki tam olarak netleşmemiştir. Materyal ve Metod: Bu retrospektif tanımlayıcı çalışmada, 2000–2025 yılları arasında Kocaeli Üniversitesi Gastroenteroloji Kliniđi'nde HE tanısı konmuş 13 hastanın demografik, klinik, endoskopik, manometrik ve pH-impedans verileri analiz edildi. Uygulanan tedaviler arasında trisiklik antidepresanlar (TCA), kalsiyum kanal blokerleri (KKB), nitratlar ve peroral endoskopik miyotomi (POEM) yer aldı. Tedaviye yanıt birinci ve ikinci basamak yaklaşımlar doğrultusunda değerlendirildi. Bulgular: Hastaların %92'sinde disfaji, %46'sında retrosternal ağrı ve heartburn, %31'inde regürjitasyon görüldü. Ortalama DCI değeri 12.521 ± 4.592 mmHg·s·cm olup, en yüksek DCI değeri 24.000 mmHg·s·cm olarak ölçüldü. Uygulanan İlk basamak tedaviler incelendiğinde % 39'u (n= 5) trisiklin antidepresan, %46'sı (n= 6) kalsiyum kanal blokörü, %15'i (n=2) nitrat kullanmıştı. Bu hastalardan %53,80'inde (n= 7) ilk basamak tedaviye cevap vardı. İlk basamak tedaviye yanıt olmayan 6 hastadan 2' sine TCA, 2' sine POEM, 1'ine KKB uygulanmıştı. İkinci basamak tedavi uygulanan hastalardan 1'inde ikinci seçim tedaviye cevap yoktu Semptomlardan sadece regürjitasyon tedavi yanıtı ile anlamlı düzeyde ilişkili bulundu (p = 0,003); disfaji, göğüs ağrısı ve diđer manometrik bulgularla anlamlı bir ilişki saptanmadı. Tartışma ve Sonuçlar: HE hastalarında en sık görülen semptom disfaji olmasına rağmen, manometrik bulgularla semptomlar arasında doğrudan bir korelasyon gösterilememiştir. Bununla birlikte, regürjitasyonun tedavi yanıtını öngörmede anlamlı bir belirteç olabileceđi görülmüştür. Medikal tedaviler (TCA, KKB, nitratlar) çođu hastada etkili olurken, POEM tedaviye dirençli olgularda başarılı bir alternatif olarak öne çıkmaktadır. Bu bulgular, tedavi algoritmalarının bireyselleştirilmesi gerektiđini ve daha büyük örneklemlili çalışmalara ihtiyaç duyulduđunu göstermektedir. Anahtar kelimeler: Hiperkontraktıl özofagus, yüksek çözünürlüklü özofagial manometri, DCI, regürjitasyon, POEM, disfaji

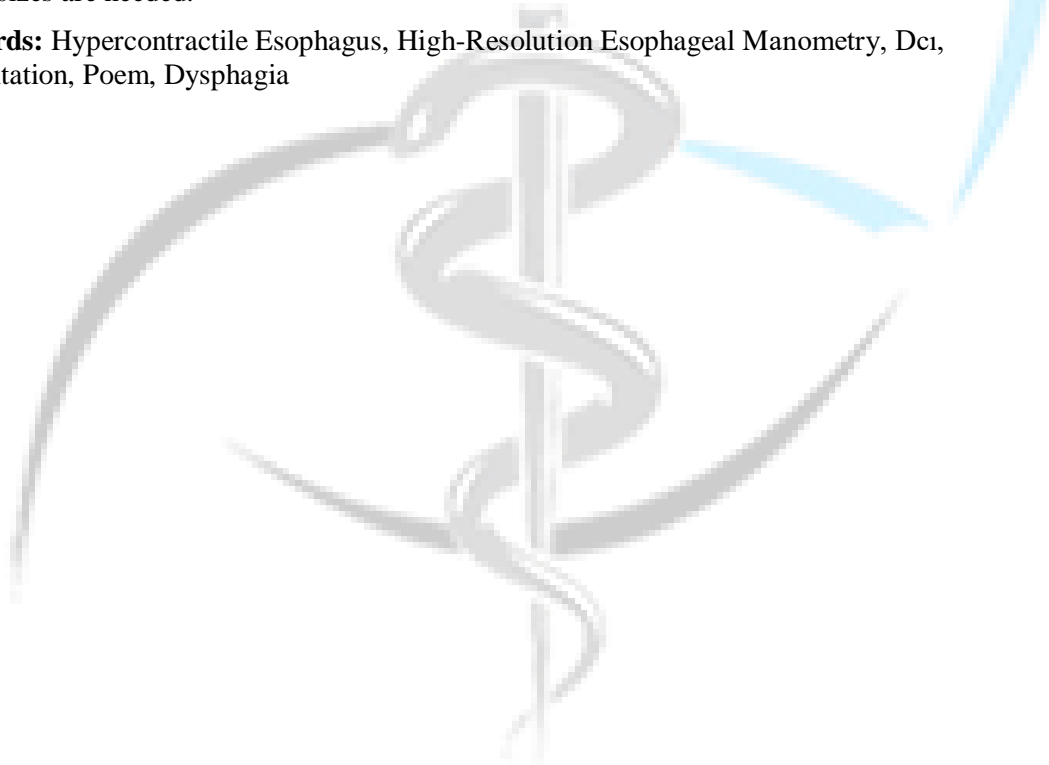
Anahtar Kelimeler: Hiperkontraktıl Özofagus, Yüksek Çözünürlüklü Özofagial Manometri, Dc1, Regürjitasyon, Poem, Disfaji

Hypercontractile Esophagus: Evaluation of Clinical, Manometric Features, and Response to Treatment

Abstract: Introduction: Hypercontractile esophagus (HE) is a rare but clinically significant motility disorder that can be diagnosed with high-resolution esophageal manometry (HREM). According to the Chicago Classification v4.0, HE is defined as having a normal integrated relaxation pressure (IRP) but a distal contractile integral (DCI) >8000 mmHg·s·cm in at least 20% of swallows. The relationship

between clinical symptoms and manometric findings has not been clearly established. **Materials and Methods:** In this retrospective descriptive study, the demographic, clinical, endoscopic, manometric, and pH-impedance data of 13 patients diagnosed with HE between 2000 and 2025 at Kocaeli University Gastroenterology Clinic were analyzed. The treatments administered included tricyclic antidepressants (TCA), calcium channel blockers (CCB), nitrates, and peroral endoscopic myotomy (POEM). Treatment response was evaluated according to first- and second-line approaches. **Results:** Dysphagia was observed in 92% of patients, retrosternal pain and heartburn in 46%, and regurgitation in 31%. The mean DCI value was $12,521 \pm 4,592$ mmHg·s·cm, and the highest DCI value measured was 24,000 mmHg·s·cm. Among first-line treatments, 39% (n=5) used tricyclic antidepressants, 46% (n=6) used calcium channel blockers, and 15% (n=2) used nitrates. A response to first-line therapy was seen in 53.8% (n=7) of these patients. Of the 6 patients who did not respond to first-line treatment, 2 received TCA, 2 received POEM, and 1 received CCB as second-line treatment. One of the patients who received second-line therapy did not respond. Among symptoms, only regurgitation was found to be significantly associated with treatment response ($p = 0.003$); no significant relationship was found between dysphagia, chest pain, or other manometric findings and treatment response. **Discussion and Conclusion:** Although dysphagia was the most common symptom in HE patients, no direct correlation could be demonstrated between symptoms and manometric findings. However, regurgitation appears to be a significant predictor of treatment response. While medical therapies (TCA, CCBs, nitrates) were effective in most patients, POEM stands out as a successful alternative in treatment-resistant cases. These findings suggest that treatment algorithms should be individualized, and that studies with larger sample sizes are needed.

Keywords: Hypercontractile Esophagus, High-Resolution Esophageal Manometry, Dci, Regurgitation, Poem, Dysphagia



Makale id= 133

Sözlü Sunum

ORCID ID: 0000-0003-0756-3247

| 205

İncebarsak Malignitelerinde Gecikmiş Tanının Yansıması: Acil Cerrahilerden Çıkan Dersler

Dr. Engin Ölçücüoğlu¹

¹Ankara Etlik Şehir Hastanesi

Özet: Giriş İnce barsak maligniteleri, gastrointestinal sistem tümörlerinin %5' inden azını oluşturan nadir neoplazmlardır. Klinik olarak özgül semptom vermemeleri ve sıklıkla nonspesifik karın ağrısı, bulantı, kusma, kilo kaybı ya da demir eksikliği anemisi gibi bulgularla ortaya çıkmaları, tanıda gecikmeye neden olmaktadır. Bu nedenle pek çok olguda tanı, ancak ileus, perforasyon veya akut kanama gibi komplikasyonlar geliştiğinde ve acil başvurular sırasında konulabilmektedir. Amaç Bu çalışmada, Etlik Şehir Hastanesi Genel Cerrahi Kliniği'nde 2022–2025 yılları arasında ince barsak patolojileri nedeniyle opere edilen hastaların demografik özellikleri, operasyon endikasyonları ve histopatolojik sonuçları değerlendirilerek özellikle acil koşullarda saptanan malignite oranlarının belirlenmesi amaçlanmıştır. Materyal ve Metod Çalışmaya ince barsak patolojileri nedeniyle opere edilen toplam 302 hasta dahil edilmiştir. Hastaların yaşı, cinsiyeti, operasyonun acil veya elektif koşullarda yapılma durumu ve histopatoloji raporları geriye dönük olarak incelenmiştir. Patolojik tanımlar üç ana kategoride sınıflandırılmıştır: malign, benign ve neoplazm yok. Demografik veriler, acil-elektif dağılımı ve patoloji sonuçları tablo halinde analiz edilmiştir. Bulgular Ortalama yaş 60,8 (19–94) olup, medyan yaş 63 olarak saptanmıştır. Hastaların %54,6'sı erkek (n=165) ve %45,4'ü kadın (n=137) idi. Histopatolojik incelemelerde 41 hasta (%13,6) malign, 3 hasta (%1,0) benign ve 258 hasta (%85,4) "neoplazm yok" olarak raporlanmıştır. Acil koşullarda opere edilen 253 hastanın 30'unda (%11,9) malignite, 3'ünde (%1,2) benign lezyon saptanırken 220'sinde (%87,0) neoplazm izlenmemiştir. Elektif koşullarda opere edilen 49 hastanın 11'inde (%22,4) malignite, 38'inde (%77,6) neoplazm yok olarak rapor edilmiştir. Mutlak sayılar dikkate alındığında, malign olguların üçte ikisinden fazlasının acil başvurulardan kaynaklandığı görülmektedir. Sonuç Malign olguların çoğunlukla acil başvurular sırasında saptanması, ince barsak tümörlerinde erken tanının konulamadığını ve tanısal süreçte ciddiye cikmeler yaşandığını göstermektedir. Toplum temelli tarama programlarının bulunmaması, özgül olmayan semptomların göz ardı edilmesive tanısal algoritmalara erişimdeki farklılıklar bu tabloya katkı sağlamaktadır. Bulgularımız, uzun süredir açıklanamayan karın ağrısı, tekrarlayan subileus atakları veya nedeni açıklanamayan anemisi olan hastalarda tanısal yaklaşımların hızlandırılması ve ileri görüntüleme yöntemlerinin daha düşük eşik değerlerle uygulanması gerektiğini ortaya koymaktadır. Bu yaklaşım, ince barsak malignitelerinde tanı gecikmesini azaltmaya yönelik stratejilerin geliştirilmesi açısından önem taşımaktadır.

Anahtar Kelimeler: İnce Barsak Tümörleri, Acil Cerrahi

The Reflection of Delayed Diagnosis in Small Intestinal Malignancies: Lessons Learned From Emergency Surgery

Abstract: Introduction Small bowel malignancies are rare neoplasms that constitute less than 5% of gastrointestinal tumors. Their clinical asymptomatic nature and their frequent presentation with

nonspecific abdominal pain, nausea, vomiting, weight loss, or iron deficiency anemia lead to a delay in diagnosis. Therefore, in many cases, diagnosis is only made during emergency visits, particularly after complications such as ileus, perforation, or acute bleeding develop. Aim This study aimed to determine the rate of malignancies detected in emergency settings by evaluating the demographic characteristics, surgical indications, and histopathological results of patients who underwent surgery for small bowel pathologies at the Etlik City Hospital General Surgery Clinic between 2022 and 2025. Materials and Methods A total of 302 patients who underwent surgery for small bowel pathologies were included in the study. Patient age, gender, whether the surgery was performed under emergency or elective conditions, and histopathology reports were retrospectively analyzed. Pathological diagnoses were classified into three main categories: malignant, benign, and no neoplasm. Demographic data, emergency-elective distribution, and pathology results were analyzed in a tabular format. Findings The mean age was 60.8 (range, 19-94), and the median age was 63. 54.6% of the patients were male (n=165) and 45.4% were female (n=137). Histopathological examinations revealed 41 patients (13.6%) as malignant, 3 patients (1.0%) as benign, and 258 patients (85.4%) as "no neoplasm." Of the 253 patients who underwent emergency surgery, 30 (11.9%) were diagnosed with malignancy, 3 (1.2%) with benign lesions, and 220 (87.0%) with no neoplasm. Of the 49 patients who underwent elective surgery, 11 (22.4%) were reported to have malignancy and 38 (77.6%) were reported to have no neoplasm. Considering the absolute numbers, more than two-thirds of malignant cases originated in emergency visits. Conclusion The fact that malignant cases are mostly detected during emergency visits demonstrates that early diagnosis of small bowel tumors is often overlooked and that significant delays occur in the diagnostic process. The lack of population-based screening programs, the neglect of nonspecific symptoms, and differences in access to diagnostic algorithms contribute to this situation. Our findings suggest that diagnostic approaches should be accelerated and advanced imaging methods should be applied with lower thresholds in patients with long-standing unexplained abdominal pain, recurrent episodes of subileus, or unexplained anemia. This approach is important for developing strategies to reduce diagnostic delays in small bowel malignancies.

Keywords: Small Bowel Tumors, Emergency Surgery

Makale id= 28**Sözlü Sunum**

ORCID ID: 0000-0001-7699-4580

| 207

İnflamatuvar Biyobelirteçler Adrenal Adenomlar ile Adrenal Karsinomlar Arasında Ayrım Yapmada Kullanılabilir Mi'

Uzman Dr. Hatice Çalışkan Burgucu¹
¹Konya Şehir Hastanesi

Özet: Amaç: İnflamasyon ve maligniteler arasındaki ilişki yıllardır bilinmektedir. İnflamasyonun kanser dokularında çoğalmayı, anjiyogenezisi ve metastazı birden fazla mekanizma aracılığıyla etkileyebileceğine dair kanıtlar bulunmaktadır. Son çalışmalarda nötrofil lenfosit oranı (NLR), prognostik nütrisyonel indeks (PNI), sistemik inflamasyon yanıt indeksi (SIRI) gibi tam kan sayımı testlerinden elde edilen biyobelirteçler ile malignite arasında ilişki olduğu gösterilmiştir. Pan-immün inflamasyon değeri (PIV), kanser hastalarında inflamasyon durumunu değerlendirmek için kullanılan yeni bir inflamasyon belirtecidir. Adrenal bezden salgılanan otonom kortizol sekresyonunun bağışıklık sistemini etkileyerek inflamasyonun artmasına neden olduğu bilinmektedir. Bu çalışmada, adrenal adenom ve karsinomu ayırt etmede inflamatuvar belirteçlerin rolünü ve Adrenal Kortikal Kanser (ACC)'de inflamatuvar belirteçlerin prognostik faydasını değerlendirmeyi amaçladık. Yöntem: Toplam 43 hasta çalışmaya dahil edildi. 11 hasta ACC, 12 hasta otonom kortizol sekresyonu nedeniyle opere olan Adrenal Kortikal Adenom (ACA) ve 20'si non-fonksiyonel adrenal adenom (NFA) nedeniyle takip edilen hasta idi. Hastaların demografik özellikleri, hematolojik parametreleri, inflamatuvar indeksleri, biyokimyasal verileri ve patolojik bulguları retrospektif olarak analiz edildi. Ayrıca inflamatuvar indeksler ile Weiss skoru, Ki-67% indeksi, tümör boyutu gibi prognostik belirteçler arasındaki korelasyon değerlendirildi. NLR: Nötrofil sayısı/ Lenfosit sayısı PNI: Albumin (gr/L) + (0.005×Total Lenfosit sayısı (/mm³)) PIV: (Nötrofil sayısı x Trombosit sayısı x Monosit sayısı) / Lenfosit sayısı SIRI: (Nötrofil sayısı x Monosit sayısı) / Lenfosit sayısı Bulgular: ACC ve ACA gruplarında PIV ve NLR, NFA grubuna kıyasla anlamlı derecede yüksekti (p=0.001). SIRI en yüksek ACC grubunda izlendi. PNI, ACA grubunda NFA'ya göre daha düşüktü. Korelasyon analizlerinde ACC'lilerde NLR ile DHEAS (r=0.455, p=0.033) ve Ki-67% (r=0.477, p=0.021), SIRI ile DHEAS arasında (r=0.481, p=0.023) pozitif korelasyon saptandı. Sonuç: ACC hastalarında inflamatuvar indeksler (özellikle PIV, NLR ve SIRI) NFA'ya kıyasla daha yüksekti ve tümör agresifliğini yansıtan Ki-67% parametresiyle ilişkiliydi. Bu bulgular, inflamatuvar indekslerin ACC ve NFA ayırımında ve adrenal lezyonların malignite potansiyelinin değerlendirilmesinde yardımcı biyobelirteçler olarak kullanılabileceğini düşündürmektedir.

Anahtar Kelimeler: Adrenal Kortikal Kanser, İnflamasyon, Adrenal Adenom

Makale id= 93**Sözlü Sunum**

ORCID ID: 0000-0002-8379-973X

| 208

İnsan Dermal Fibroblast Yaşlanmasıyla İlişkili Gen Ekspresyonundaki İzof orm Değişim Olayları

Ma.St. Elif Turan¹, Doç.Dr. Cihangir Yandım¹¹İzmir Ekonomi Üniversitesi

*Corresponding author: Elif Turan

Özet: Hücresel yaşlanma, doku işlev bozukluğunu ve yaşa bağlı hastalıkları tetikleyen yaşlanmanın temel belirteçlerinden biridir. Hücresel yaşlanma üzerine yapılan çalışmalar genellikle intragenik gen ifade değişikliklerini göz ardı etmiştir. Oysa gen ifadesi homojen değildir ve tek bir gen çeşitli transkript izoformları üretebilir; bu nedenle transkriptomik verilerin yüksek çözünürlüklü profillenmesi, yaşlanma araştırmaları açısından son derece değerlidir. Bu çalışmada, replikatif yaşlanma modellerinden (BJ ve HFF dermal fibroblastları) ve kronolojik olarak yaşlanmış insan dermal fibroblastlarından elde edilen transkriptomik veriler, hücresel yaşlanmadaki izoform değişim olaylarını ortaya çıkarmak amacıyla kapsamlı biyoinformatik analizler kullanılarak incelenmiştir. Bulgular, fibroblast yaşlanması süresince yaygın izoform değişimlerinin meydana geldiğini ve gen düzeyindeki ifade değişikliklerinin modeller arasında farklılık gösterdiğini ortaya koymuştur. Modeller arası karşılaştırma, epigenetik düzenleme ile ilişkili genlerde (örneğin, MECP2, PRDM1 ve RIF1) zenginleşmiş 25 tekrarlayan izoform değişim olayı saptamış; bu olayların yaşlanma ile ilişkili değişimlerin kilit belirleyicileri olabileceğini düşündürmüştür. İzof orm değişimleriyle uyumlu olarak, 404 ekleme faktörü (splicing factor) geninin dahil edildiği bir analiz, yaşla birlikte temel spliceozom bileşenlerinin azaldığı, RNA bağlanma ve işleme faktörlerinin ise arttığı, korunan bir ifade örüntüsünü ortaya koymuştur. Bu durum, yaşla birlikte ekleme mekanizmasında koordineli bir yeniden yapılanmayı işaret etmektedir. Ağ analizleri, izoformlarla hem pozitif hem negatif korelasyon gösteren yüksek dereceli ekleme faktörlerini tanımlayarak, izoform sonuçlarının gen-spesifik çift yönlü kontrolünü yansıtmıştır. Son olarak, regresyon ve ROC analizleri, ekspresyonu kronolojik yaşla korelasyon gösteren ve yaşlı fibroblastları gençlerden ayırt edebilen izoformları ortaya çıkarmıştır. Birlikte ele alındığında, bu bulgular yaşlanmanın izoform düzeyindeki profilini netleştirmekte ve izoform değişim olaylarını yaşlanmanın potansiyel olarak önemli bir mekanizması olarak öne çıkarmaktadır. Gelecekteki çalışmaların bu izoform değişimlerini deneysel olarak doğrulaması ve bunların yaşlanmanın terapötik hedefleri veya biyobelirteçleri olarak potansiyelini değerlendirmesi gerekmektedir.

Anahtar Kelimeler: Hücresel Yaşlanma, Yaşlanma, İzof orm Değişimi, Ekleme Faktörleri, Dermal Fibroblastlar

Isoform Switching Events in Gene Expression Associated With Human Dermal Fibroblast Aging

Abstract: Cellular senescence is a hallmark of aging that drives tissue dysfunction and age-related diseases. Studies on cellular senescence generally overlooked gene expression changes at intragenic level. Given that gene expression is not uniform, and a single gene may produce various isoforms of transcripts, high resolution profiling of transcriptomics data is invaluable in aging research. In this study, transcriptomic data from replicative senescence models (BJ and HFF dermal fibroblasts) and a validation cohort of chronologically aged human dermal fibroblasts were analyzed through a

comprehensive bioinformatics framework to uncover isoform switching events in cellular senescence. The findings revealed widespread isoform switching during fibroblast aging, accompanied by variable gene-level expression changes across models. Cross-model comparison identified 25 recurrently switched genes, enriched for those involved in epigenetic regulation (e.g., MECP2, PRDM1 and RIF1), suggesting these events to be key players of senescence-associated changes. In line with the isoform switches, a further analysis with 404 splicing factor genes demonstrated a conserved expression pattern, characterized by down-regulation of core spliceosomal components and up-regulation of RNA-binding/processing factors, indicating a coordinated reorganization of the splicing machinery with age. Network analyses identified high-degree splicing factor hubs exhibiting both positive and negative correlations with switched isoforms, reflecting bidirectional, gene-specific control of splicing outcomes. Finally, regression and ROC analyses revealed isoforms whose expression correlated with chronological age and distinguished senescent from young fibroblasts. Together, these findings clarify the isoform-level landscape of senescence and highlight isoform switch events as a potentially important mechanism in aging. Future work should experimentally validate these isoform changes and assess their potential as interventional targets or biomarkers of aging.

Keywords: Cellular Senescence, Aging, Isoform Switching, Splicing Factors, Dermal Fibroblasts



Makale id= 158

Sözlü Sunum

ORCID ID: <https://orcid.org/0009-0002-8599-3031>

| 210

İntihar Amaçlı Antidepresan Aşırı Dozlarında Klinik Seyir, Toksikite ve Sonlanım: Retrospektif Bir Değerlendirme

Uzman Dr. Merve Unutmaz¹, Dr. Öğretim Üyesi Meltem Gürü²

¹Ankara Bilkent Şehir Hastanesi Acil Tıp Kliniği

²Sağlık Bilimleri Üniversitesi Etlik Şehir Hastanesi Psikiyatri Kliniği

*Corresponding author: Merve Unutmaz

Özet: Amaç: Bu çalışma, intihar amacıyla antidepresan aşırı doz alımı sonrası acil servise başvuran hastaların klinik özelliklerini, toksisite profillerini ve klinik sonuçlarını değerlendirmeyi amaçlamaktadır. Yöntem: 2020–2024 yılları arasında Ankara Bilkent Şehir Hastanesi Acil Servisi'ne başvuran ve intihar amacıyla antidepresan aşırı doz alımı belirlenen 168 hastanın dosyaları retrospektif olarak incelendi. Hastaların demografik verileri, kullanılan antidepresan türü ve dozu, eşlik eden madde veya ilaç kullanımı, klinik bulgular, laboratuvar sonuçları ve klinik sonuçları analiz edildi. Bulgular: Katılımcıların %66.7'si kadındı ve medyan yaş 27 idi. SSRI'lar en sık kullanılan ilaç grubuydu (%79.8). SSRI aşırı dozları genellikle hafif seyirliyken, SNRI ve TCA alımlarında nörolojik ve kardiyak komplikasyonlar daha sık izlendi. Ölüm saptanmadı, yoğun bakım yatışı oranı %12.5 idi. Sonuç: SSRI'lar diğer antidepresanlara göre daha güvenli bir toksisite profiline sahiptir. SNRI ve TCA gruplarında daha ciddi komplikasyonlar gözlemlendiğinden, bu ilaçlar intihar riski taşıyan bireylerde dikkatle reçetelenmelidir.

Anahtar Kelimeler: Antidepresan, İntihar, Aşırı Doz, Toksikite, Acil Servis

Clinical Course, Toxicity, and Outcomes of Intentional Antidepressant Overdose: A Retrospective Analysis

Abstract: Objective: This study aimed to evaluate the clinical features, toxicity profiles, and outcomes of patients admitted to the emergency department following intentional antidepressant overdose. Methods: Medical records of 168 patients who presented to Ankara Bilkent City Hospital Emergency Department between 2020 and 2024 were retrospectively reviewed. Demographic data, antidepressant type and dose, co-ingestion of drugs or alcohol, clinical findings, laboratory results, and outcomes were analyzed. Results: Of the patients, 66.7% were female, and the median age was 27 years. SSRIs were the most frequently used antidepressants (79.8%). SSRI overdoses generally resulted in mild toxicity, whereas neurological and cardiac complications were more common in SNRI and TCA users. No fatalities occurred, and the ICU admission rate was 12.5%. Conclusion: SSRIs demonstrated a safer toxicity profile compared to other antidepressant classes. Since SNRI and TCA overdoses may cause more severe complications, these drugs should be prescribed cautiously in patients at risk of suicide.

Keywords: Antidepressant, Suicide, Overdose, Toxicity, Emergency Department

Makale id= 176

Sözlü Sunum

ORCID ID: 0009-0009-7485-7326

| 211

KKTC Vatandaşlarının Gıda Takviyeleri ve Bitkisel Ürün Tüketimi Konusundaki Farkındalık ve Alışkanlıkları

Researcher Zeynep Rızalar¹, Researcher Güldem Koçyiğit¹, Researcher Kader Vurğun¹,
Researcher Kaner Köksal¹, Researcher Seda Demirci¹, Assoc.prof.Dr. Ergül Mutlu Altundağ¹
¹Doğu Akdeniz Üniversitesi Tıp Fakültesi

*Corresponding author: Zeynep Rızalar

Özet: Giriş: Dünya genelinde diyet takviyeleri (DT) ve bitkisel ürünlerin (BÜ) kullanımının artması, bu ürünlerin güvenliği, düzenlenmesi ve uygun kullanımı konularında kamuoyunun farkındalığına ilişkin endişeleri artırmıştır. Yaygın olarak ulaşılabilir olmalarına rağmen, yanlış anlamalar ve profesyonel rehberlik eksikliği önemli halk sağlığı riskleri oluşturabilmektedir. Bu çalışma, Kuzey Kıbrıs Türk Cumhuriyeti (KKTC) sakinlerinin DT ve BÜ'lere ilişkin farkındalık, bilgi düzeyi, tutum ve kullanım davranışlarını değerlendirmeyi amaçlamaktadır. Gereç ve Yöntem: Altı farklı bölgeden 384 kişiyi kapsayan temsili bir örneklem üzerinde kesitsel bir çalışma yürütülmüştür. Çalışmada Türkçe-İngilizce iki dilli, yapılandırılmış bir anket kullanılmıştır. Anket, kullanılan takviye türleri ve kullanım sıklığı, tavsiye kaynakları, satın alma alışkanlıkları ile güvenlik, düzenleme ve etkinlik algılarına ilişkin soruları içermektedir. Bulgular: Bulgular, diyet takviyesi kullanımının oldukça yaygın olduğunu, ancak bitkisel ürün tüketiminin belirgin şekilde daha düşük olduğunu ortaya koymuştur. Bununla birlikte, özellikle bu ürünlerin düzenlenmesi ve olası ilaç etkileşimleri konusunda önemli farkındalık eksiklikleri tespit edilmiştir. Katılımcıların çoğu, tüm BÜ'lerin doğal olarak güvenli ya da yeterince denetlenen ürünler olduğunu veya DT'lerin tam anlamıyla besinlerin sağladığı besin değerini yerine getirebileceğini düşündükleri gibi yanlış inanışlara sahiptir. Sonuç: Bu çalışma, kamuoyunun güvenli, bilinçli ve sorumlu bir şekilde diyet takviyesi ve bitkisel ürün kullanımını teşvik etmek amacıyla halk eğitim kampanyalarına, daha açık ürün etiketlemelerine ve sağlık profesyonellerinin daha fazla katılımına duyulan acil ihtiyacı vurgulamaktadır.

Anahtar Kelimeler: Anahtar Kelimeler: Diyet Takviyeleri (Dt), Bitkisel Ürünler (Bü), Anket, KKTC, Takviye Kullanım Alışkanlıkları

Awareness and Habits of Trnc Citizens On Dietary Supplement and Herbal Product Consumption

Abstract: Introduction: The increasing use of dietary supplements (DS) and herbal products (HP) worldwide has raised concerns regarding public understanding of their safety, regulation, and appropriate use. Despite their widespread availability, misconceptions and lack of professional guidance may pose significant public health risks. This study aimed to assess the awareness, knowledge, attitudes, and usage behaviors related to DS and HP among residents of the Turkish Republic of Northern Cyprus (TRNC). Material and Methods: A cross-sectional study was conducted using a bilingual (Turkish, English), structured questionnaire distributed to a representative sample of 384 individuals across six regions of TRNC. The survey included questions about supplement types and frequency of use, sources of recommendation, purchasing habits, and perceptions of safety, regulation, and efficacy. Results: The findings revealed a high prevalence of dietary supplement use, with significantly lower rates of herbal

product consumption. However, notable gaps in awareness were identified, particularly regarding the regulation and potential drug interactions of these products. Many participants held misconceptions, such as assuming all HPs are naturally safe or properly regulated or believing that DS can fully replace the nutritional benefits of whole foods. Conclusion: The study highlights the urgent need for public education campaigns, clearer product labeling, and greater involvement of healthcare professionals to promote safe, informed, and responsible use of dietary supplements and herbal products.

Keywords: Dietary Supplements (Ds), Herbal Products (Hp), Survey, Trnc, Supplement Usage Patterns



Makale id= 131**Sözlü Sunum**ORCID ID: <https://orcid.org/0000-0002-6444-4423>, <https://orcid.org/0000-0002-5303-3266>

| 213

**Kronik Solunum Şikayetleri Olan Çalışanlarda Akla Getirilmesi Gereken Bir Tanı:
Mesleki Astım – Olgu Sunumu****Uzman Dr. Yağmur Kınacı Gümüştubuk¹, Uzman Dr. Elif Reyhan Şahin²**¹Hacettepe Üniversitesi Tıp Fakültesi²Erzurum Eğitim ve Araştırma Hastanesi

*Corresponding author: Yağmur Kınacı Gümüştubuk

Özet: Astım, dünya çapında yaygın bir solunum yolu hastalığıdır ve yetişkinlerde görülen vakaların yaklaşık %5-20'si mesleki maruziyete bağlıdır. İşle ilgili astım, yaygın olmasına rağmen yeterince teşhis edilemeyen bir rahatsızlık olup, morbidite ve önemli ölçüde sosyoekonomik kayba neden olmaktadır. Bu çalışma, vaka bazlı örnek aracılığıyla işle ilgili astımın tanı ve tedavisine yönelik önerilen yaklaşımı göstermektedir. Çalıştığı iş yerinde havadaki tahriş edici maddelere (boya, uçucu organik bileşikler, metal ve un tozu) uzun süreli maruz kalan 43 yaşında bir erkek hasta, öksürük, dispne ve hırıltı gibi kronik solunum semptomları ile başvurdu. Bu semptomlara, spirometri testinde obstrüktif solunum paterni eşlik ediyordu. Mesleki astım tanısı, öncelikle seri PEF ölçümleri, immünolojik testler ve/veya bronşiyal provokasyon testleriyle desteklenen ayrıntılı bir klinik ve mesleki öyküye dayanır. Semptomların iş sırasında kötüleşip kötüleşmediğini ve hafta sonları veya tatillerde iyileşip iyileşmediğini sormak faydalı bir ilk adımdır. Yüksek riskli mesleklerde çalışan ve astım veya astım benzeri semptomlar gösteren bireyler, her zaman işle ilgili astım açısından değerlendirilmelidir. Sigara içme durumunu sormak rutin bir uygulama olsa da, hastanın mesleği hakkında bilgi almak da aynı derecede önemlidir. Astım atakları ciddi sıkıntılara neden olur ve hastaneye yatışa hatta ölüme yol açabilir. Bu nedenle, işle ilgili astım şüphesi olan veya risk altında olan herhangi bir hasta derhal bir iş sağlığı uzmanına yönlendirilmelidir.

Anahtar Kelimeler: Astım, Mesleki Öykü, İrritan Madde**Chronic Respiratory Symptoms in a Working Adult: Don't Miss Occupational Asthma**

Abstract: Asthma is a prevalent respiratory disease worldwide, and an estimated 5–20% of adult-onset cases are attributable to occupational exposure. Work-related asthma remains a common yet underdiagnosed condition, contributing substantially to morbidity and socioeconomic loss. This study illustrates the recommended approach to the diagnosis and management of work-related asthma through case-based examples. A 43-year-old male with long-term exposure to airborne irritants (paint, VOCs, metal and flour dust) in poorly controlled workplaces presented with chronic respiratory symptoms including cough, dyspnea, and wheezing, accompanied by an obstructive ventilatory pattern on spirometry. Diagnosis of occupational asthma relies primarily on a detailed clinical and occupational history, supported by serial PEF measurements, immunologic testing, and/or bronchial challenge tests. Asking whether symptoms worsen during work and improve on weekends or holidays is a useful initial step. Individuals in high-risk occupations presenting with asthma or asthma-like symptoms should always be evaluated for work-related asthma. Although it is routine to ask about smoking status, inquiring about a patient's occupation is equally essential. Asthma attacks cause considerable distress

and may lead to hospitalization or even death. Therefore, any patient suspected of having or being at risk of work-related asthma should be promptly referred to an occupational medicine specialist.

Keywords: Asthma, Occupational History, Airborne Irritants



Makale id= 185

Sözlü Sunum

ORCID ID: 0000-0002-0467-741X

| 215

Larenks Kanserinde Temel Histopatolojik Özelliklerin Preoperatif Öngörüsünde Bt Temelli Doku Analizi

Uzman Dr. Ahmet Bozer¹, Assoc.prof.Dr. Fatma Ceren Sarioglu², Prof.Dr. Ilker Burak Arslan³, Prof.Dr. Ulku Kucuk⁴, Prof.Dr. Yeliz Pekçevik¹

¹Department of Radiology, Ministry of Health Izmir City Hospital, Izmir, Turkey

²Department of Radiology, Division of Pediatric Radiology, Dokuz Eylul University School of Medicine, Izmir, Turkey

³Department of Otolaryngology – Head and Neck Surgery, Ministry of Health Izmir City Hospital, Izmir, Turkey

⁴Department of Pathology, Ministry of Health Izmir City Hospital, Izmir, Turkey

*Corresponding author: Ahmet Bozer

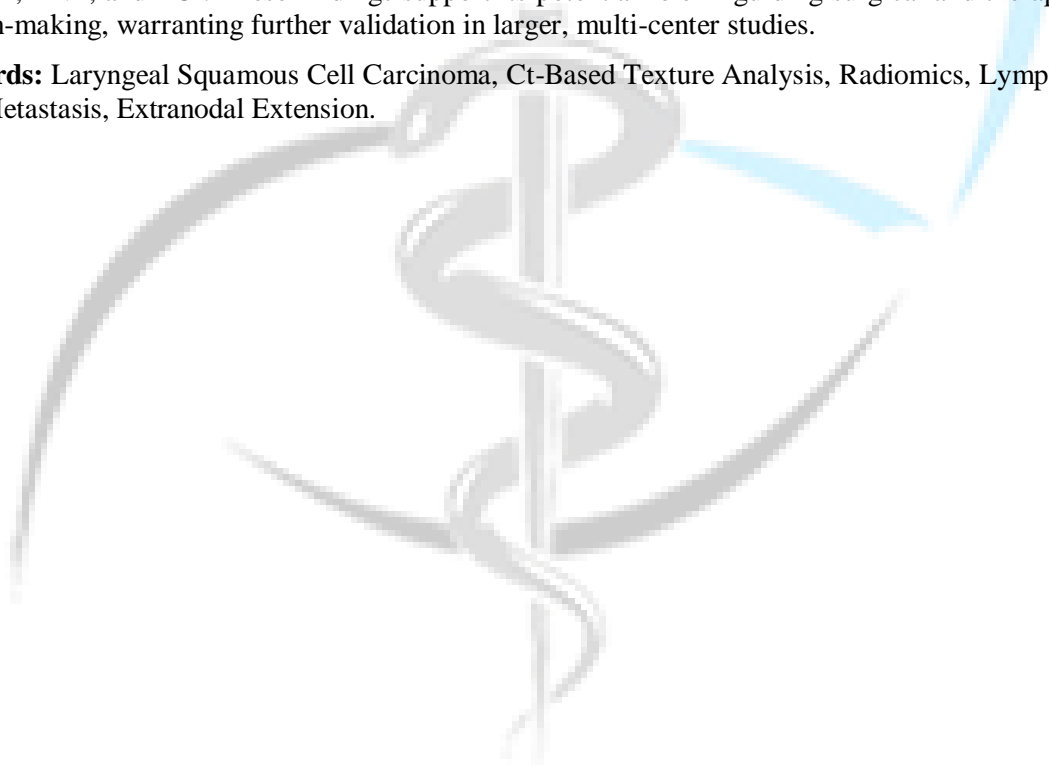
Özet: Arka Plan: Larenks skuamöz hücreli karsinomu (LSCC), yüksek morbidite ve mortalite oranlarına sahip önemli bir malignitedir. Lenf nodu metastazı (LNM), ektranodal yayılım (ENE), lenfovasküler invazyon (LVI), perinöral invazyon (PNI) ve tiroid kıkırdak invazyonu (TCI) gibi temel histopatolojik özelliklerin doğru preoperatif değerlendirilmesi, optimal tedavi stratejilerinin planlanmasında kritik öneme sahiptir. Bilgisayarlı tomografi (BT) temelli doku analizi, tümör heterojenitesini ve agresif histopatolojik davranışı yansıtmada potansiyel gösteren radyomik bir yaklaşımdır. Amaç: BT temelli doku analizinin LSCC'deki temel histopatolojik özellikleri öngörmedeki değerini değerlendirmek ve bu yöntemin preoperatif risk sınıflandırmasında invaziv olmayan bir araç olarak potansiyelini belirlemektir. Gereç ve Yöntem: Bu retrospektif çalışmaya cerrahi öncesinde dört hafta içinde kontrastlı boyun BT'si yapılmış 32 LSCC hastası dahil edilmiştir. Doku özellikleri LIFEx yazılımı kullanılarak elde edilmiştir. Tanısal performanslarını değerlendirmek için ROC (receiver operating characteristic) eğrisi analizi dahil olmak üzere istatistiksel analizler uygulanmıştır. Bulgular: LNM, ENE ve TCI için anlamlı doku parametreleri saptanmıştır ($p < 0.05$). GLZLM_HGZE parametresi hem LNM hem de ENE için öngördürücü bulunmuştur. LNM için ≤ 4635 kesim değeri, AUC: 0.847 (95% GA: 0.708–0.986), duyarlılık %71 ve özgüllük %84 ($p = 0.001$) ile anlamlı bulunmuştur. ENE için ≤ 4625 kesim değeri, AUC: 0.891, duyarlılık %85 ve özgüllük %84 ($p = 0.002$) olarak belirlenmiştir. TCI için GLZLM_LGZE (≥ 0.0015) ve GLZLM_SZLGE (≥ 0.00118) parametreleri yüksek tanısal doğruluk göstermiştir (AUC: 0.964; 95% GA: 0.909–1.000; duyarlılık %88; özgüllük %93; $p < 0.001$). LVI ve PNI için anlamlı radyomik öngördürücü saptanmamıştır. Sonuç: BT temelli doku analizi, LSCC'de temel histopatolojik özelliklerin —özellikle LNM, ENE ve TCI'nın— preoperatif değerlendirilmesinde umut vadeden invaziv olmayan bir yöntemdir. Bu bulgular, cerrahi ve tedavi planlamasında karar desteği sağlayabilecek bu yaklaşımın potansiyelini desteklemekte olup, çok merkezli ve geniş serili çalışmalarla doğrulanması gerekmektedir.

Anahtar Kelimeler: Larenks Skuamöz Hücreli Karsinomu, Bt Temelli Doku Analizi, Radyomik, Lenf Nodu Metastazı, Ektranodal Yayılım.

Ct-Based Texture Analysis for Preoperative Prediction of Key Histopathological Features in Laryngeal Cancer

Abstract: Background: Laryngeal squamous cell carcinoma (LSCC) is a significant malignancy with considerable morbidity and mortality. Accurate preoperative assessment of key histopathological features, including lymph node metastasis (LNM), extranodal extension (ENE), lymphovascular invasion (LVI), perineural invasion (PNI), and thyroid cartilage invasion (TCI), is essential for optimizing treatment strategies. Computed tomography (CT)-based texture analysis, a radiomics approach, has shown potential in predicting tumor heterogeneity and aggressive histopathological behavior. Purpose: To evaluate the predictive value of CT-based texture analysis for identifying key histopathological features in LSCC and to assess its potential as a non-invasive tool for preoperative risk stratification. Materials and Methods: This retrospective study included 32 LSCC patients who underwent contrast-enhanced neck CT within four weeks before surgery. Texture features were extracted using the LIFEx software, and statistical analyses, including receiver operating characteristic (ROC) curve analysis, were performed to assess their diagnostic performance. Results: Significant texture parameters were identified for LNM, ENE, and TCI ($p < 0.05$). The GLZLM_HGZE feature was predictive for both LNM and ENE, with a cutoff of ≤ 4635 yielding an AUC of 0.847 (95% CI: 0.708–0.986), sensitivity of 71%, and specificity of 84% for LNM ($p = 0.001$), and a cutoff of ≤ 4625 yielding an AUC of 0.891, sensitivity of 85%, and specificity of 84% for ENE ($p = 0.002$). For TCI, GLZLM_LGZE (cutoff ≥ 0.0015) and GLZLM_SZLGE (cutoff ≥ 0.00118) achieved an AUC of 0.964 (95% CI: 0.909–1.000), sensitivity of 88%, and specificity of 93% ($p < 0.001$). No significant radiomic predictors were identified for LVI or PNI. Conclusion: CT-based texture analysis offers a promising non-invasive approach for preoperatively assessing key histopathological features in LSCC, particularly for LNM, ENE, and TCI. These findings support its potential role in guiding surgical and therapeutic decision-making, warranting further validation in larger, multi-center studies.

Keywords: Laryngeal Squamous Cell Carcinoma, Ct-Based Texture Analysis, Radiomics, Lymph Node Metastasis, Extranodal Extension.



Makale id= 33**Sözlü Sunum**

ORCID ID: 0000-0002-8181-0739

| 217

Lenf Nodunda Prezente Olan Merkel Hücreli Karsinom**Dr. Öğretim Üyesi Fatih Demir¹, Arş.Gör.Dr. Barış Işık¹**¹Düzce Üniversitesi

*Corresponding author: Fatih Demir

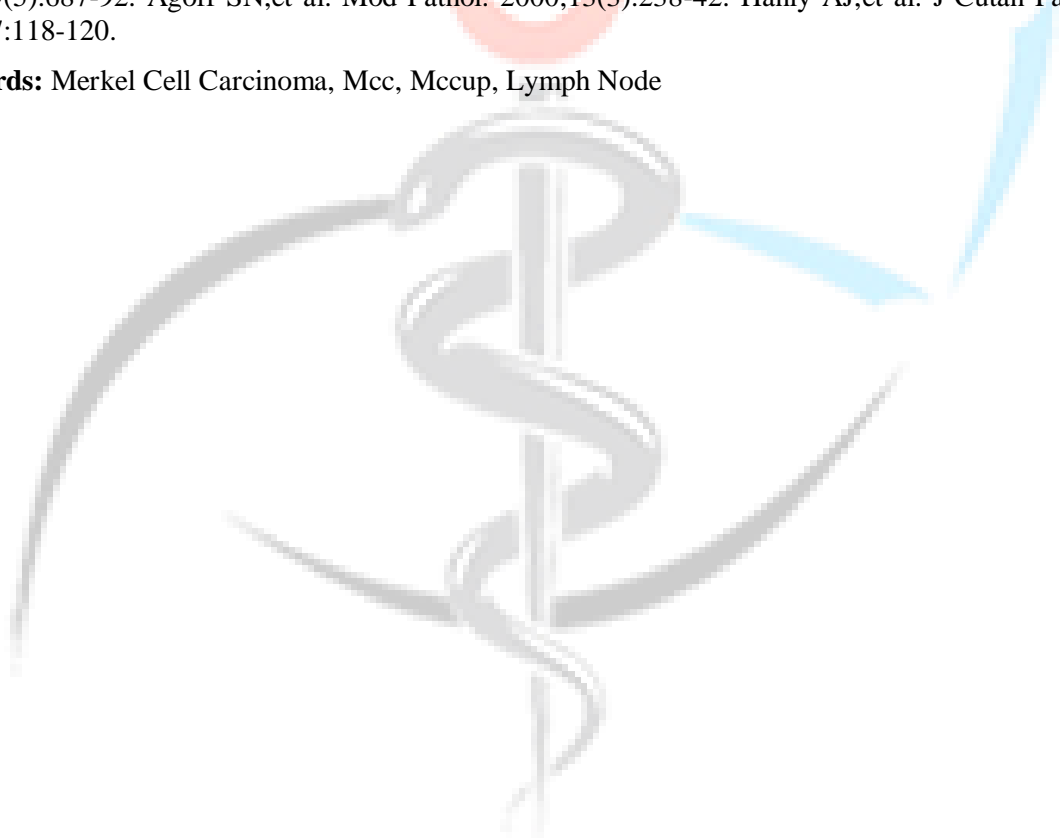
Özet: Merkel Hücreli Karsinom (MHK), nadir, agresif nöroendokrin deri tümörüdür. Yıllık sağkalım metastatik olgularda %11-16, lokal olgularda %40-60'dır(1). Primerin tespit edilemediği lenf nodunda çıkan olgular mevcut olup literatürde bu oran MHK'lar içinde %12'ye kadar çıkmaktadır(2). Bu "Primeri bilinmeyen MHK(MCCUP)" olarak tanımlanmaktadır. Ancak bu olgular hem diğer tümörlerden ayırım açısından, hem de bu olguların gerçekten primerliği açısından sorun yaratmaktadır. Bu olgu, lenfoma öntanısı ile değerlendirilen, İHK paneli ve literatür desteği ile MCCUP tanısı alan ancak sonrasında metastatik olduğu anlaşılan olgu üzerinden hastayı kapsamlı değerlendirmenin önemini tartışmaktadır. 53 yaşında inguinal şişlik şikâyeti ile başvuran hastanın lenf nodunda kıt sitoplazmalı bazofilik nükleuslu hücrelerden oluşan infiltrasyon lenfoma olasılığını düşündürmüş tarafımıza yönlendirilmiştir. İHK çalışmada PAX5, Bcl2 pozitifliği bu şüpheyi güçlendirmiş(3,4), ancak CD20'nin negatifliği çelişki yaratmıştır. Bu nedenle nöroendokrin karsinomlar ayırıcı tanıya alınmış PanCK Sinaptofizin, INSM1 bunu desteklemiştir. Negatif TTF-1 ile CK20 pozitifliği MHK yönünde olguyu yorumlatmıştır(5,6). Ancak primer gösterilememiş, MCCUP kategorisinde değerlendirilmiştir. Tamamlayıcı diseksiyona alınan hastadan aynı seansta 'sebase kist' olarak düşünülen bir lezyon eksize edilmiştir. Bu lezyonun primer Merkel hücreli karsinom olduğu anlaşılmıştır. Bu olgu ileri tetkiklerin tanısal tuzak oluşturabileceği literatür eşliğinde doğru kullanımının tabiri caizse şapkadandan tavşan çıkarabileceğini göstermektedir. Ayrıca ileri tekniklere rağmen fizik muayenenin ve hastayı bütün olarak değerlendirmenin önemini tekrar göstermiştir. 1-Paulson KG et al. Merkel cell carcinoma: current US incidence and projected increases based on changing demographics. *J Am Acad Dermatol.* 2018;78(3):457-463e452. 2-Deneve JL, et al. Merkel cell carcinoma of unknown primary origin. *Ann Surg Oncol.* 2012 Jul;19(7):2360-6. 3-Plettenberg A, et al. Merkel cells and Merkel cell carcinoma express the BCL-2 proto-oncogene. *Exp Dermatol.* 1996 Jun;5(3):183-8. 4-Dong HY, et al. B-cell specific activation protein encoded by the PAX-5 gene is commonly expressed in merkel cell carcinoma and small cell carcinomas. *Am J Surg Pathol.* 2005 May;29(5):687-92. 5-Agoff SN, et al. Thyroid transcription factor-1 is expressed in extrapulmonary small cell carcinomas but not in other extrapulmonary neuroendocrine tumors. *Mod Pathol.* 2000 Mar;13(3):238-42. 6-Hanly, A.J., et al. (2000), Analysis of thyroid transcription factor-1 and cytokeratin20 separates merkel cell carcinoma from small cell carcinoma of lung. *Journal of Cutaneous Pathology*, 27:118-120.

Anahtar Kelimeler: Merkel, Merkel Hücreli Karsinom, Mhk, Mccup, Lenf Nodu**Merkel Cell Carcinoma With Lymph Node Presentation**

Abstract: Merkel cell carcinoma (MCC) is a rare and aggressive neuroendocrine skin tumor. The annual survival rate is 11–16% in metastatic cases and 40–60% in localized cases(1). Cases in which the primary tumor cannot be detected and only nodal metastasis is present have been reported, with an incidence of up to 12% among all MCCs(2). This condition is defined as "MCC of unknown primary

(MCCUP).”However, such cases pose diagnostic challenges, both in differentiating from other tumors and in determining whether they truly represent a primary lesion. Here, we present a case initially evaluated with a preliminary diagnosis of lymphoma, later considered as MCCUP with the aid of immunohistochemistry (IHC) and literature support, but ultimately found to be metastatic from a cutaneous primary. 53-year-old male presented with inguinal swelling. Histopathological examination of the excised lymph node revealed infiltrates of small basophilic cells with scant cytoplasm, raising suspicion of lymphoma. Further evaluation. IHC demonstrated PAX5 and Bcl2 positivity (3,4), strengthening the suspicion, but negativity for CD20 created a diagnostic dilemma. Neuroendocrine carcinomas were then included in the differential diagnosis, supported by positivity for PanCK, synaptophysin, and INSM1. Negative TTF-1 combined with CK20 positivity directed the interpretation towards MCC (5,6). However, since no primary lesion was identified, the case was classified as MCCUP. During completion lymph node dissection, a concurrent lesion thought to be a “sebaceous cyst” was excised. Histopathology revealed this to be the primary Merkel cell carcinoma. This case illustrates that advanced diagnostic tests may create pitfalls, yet when interpreted correctly in the light of the literature, they can be unexpectedly decisive. It also highlights that despite advanced techniques, thorough physical examination and holistic patient evaluation remain crucial in clinical practice. Paulson KG, et al. *J Am Acad Dermatol.* 2018;78(3):457-463. e452. Deneve JL, et al. *Ann Surg Oncol.* 2012;19(7):2360-6. Plettenberg A, et al. *Exp Dermatol.* 1996;5(3):183-8. Dong HY, et al. *Am J Surg Pathol.* 2005;29(5):687-92. Agoff SN, et al. *Mod Pathol.* 2000;13(3):238-42. Hanly AJ, et al. *J Cutan Pathol.* 2000;27:118-120.

Keywords: Merkel Cell Carcinoma, Mcc, Mccup, Lymph Node



Makale id= 103**Sözlü Sunum**

ORCID ID: 0000-0001-9908-0503

| 219

**Lomber Disk Hernisi Olan Hastalarda Spinopelvik Parametrelerin Değerlendirilmesi:
Kesitsel Bir Görüntüleme Çalışması****Uzman Dr. Mehmet Ali Bozca¹**¹Bakırköy Dr. Sadi Konuk Eğitim ve Araştırma Hastanesi

Özet: Arka Plan: Sakropelvik morfoloji ve oryantasyon genellikle pelvik insidans (PI), pelvik tilt (PT) ve sakral eğim (SS) terimleriyle tanımlanır. Pelvisin morfolojisi ve oryantasyonu, lomber omurgadaki dejeneratif değişiklikleri etkileyebilir. Bu nedenle, bu çalışmada çeşitli sagittal spinopelvik parametreler ile genç erişkinlerde disk dejenerasyonu derecesi arasındaki ilişkiler araştırılmıştır. Gereç ve Yöntemler: Hastane merkezli, toplam 60 olguyu içeren kesitsel bir çalışma gerçekleştirildi. Manyetik rezonans görüntüleme (MRG) prolabe disk saptanan ve bel ya da bacak ağrısı şikâyetiyle başvuran hastalar çalışmaya dâhil edildi. Dorsolumbal bileşkeden uyluk ortasına kadar olan bölgeyi kapsayan, hastanın ayakta durduğu pozisyonda çekilen LS (lumbosakral) omurga grafisi elde edildi. Çeşitli spinopelvik parametreler, scannogram üzerinden yazılım kullanılarak değerlendirildi. Bulgular: Ortalama yaş 39,27 yıl idi. En sık tutulan düzey L5-S1 olarak saptandı. Ortalama sakral eğim (SS) 37,78°, pelvik tilt (PT) 13,52°, pelvik insidans (PI) 51,33° ve lomber lordoz (LL) 41,01° olarak ölçüldü. L1-L2, L2-L3 ve L4-L5 düzeylerindeki disk patolojileri ile PT, PI ve LL arasında pozitif korelasyon bulundu. L5-S1 düzeyindeki disk patolojisi ise PT ve LL ile pozitif korelasyon gösterdi. L4-L5 düzeyinde dejeneratif spondilolistezis ile sakral eğim (SS) arasında istatistiksel olarak anlamlı bir ilişki saptandı (P = 0,023). Tartışma: Sakral eğimdeki (SS) artış, L4-L5 düzeyinde dejeneratif spondilolistezis gelişme olasılığını istatistiksel olarak anlamlı şekilde artırmaktadır. Pelvik tilt (PT), pelvik insidans (PI) ve lomber lordozdaki (LL) artış, L1-L2 düzeyinde disk patolojilerinin artmasına neden olmaktadır. SS, PT, PI ve LL'deki artış, L2-L3 düzeyindeki disk patolojilerinin de artmasına yol açmaktadır. Benzer şekilde, SS, PT, PI ve LL'deki artış, L4-L5 düzeyindeki disk patolojilerinde de artışa neden olmaktadır. PT ve LL değerlerindeki artış ise L5-S1 düzeyindeki disk patolojilerinin görülme sıklığını artırmaktadır. Sonuç: Dorsolumbal bileşkeden uyluk ortasına kadar uzanan ayakta lateral grafi, spinopelvik parametrelerin ölçümünde ayakta çekilen tüm omurga grafisi kadar etkilidir. L4-L5 düzeyindeki dejeneratif spondilolistezis ile sakral eğim (SS) artışı arasında istatistiksel olarak anlamlı bir ilişki bulunmaktadır.

Anahtar Kelimeler: Lomber Disk Hernisi; Pelvik İnsidans; Pelvik Tilt; Sakral Eğim; Spinopelvik Parametreler

Makale id= 11

Sözlü Sunum

ORCID ID: 0000-0002-9777-5173

| 220

Mcf-7 ve Huvec Hücrelerinde Cebpb ve Foxa1 Gen Ekspresyonlarının Karşılaştırmalı Analizi

Dr. Öğretim Üyesi Venhar Gurbuz Can¹

¹Karabük Üniversitesi Tıp Fakültesi

Özet: Meme kanseri, dünya genelinde, kadınlar arasında en yaygın kanser türü olarak öne çıkmaktadır. Bu çalışmada amacımız MCF-7 ve HUVEC hücre hatları arasında CEBPB ve FOXA1 gen ekspresyon seviyelerinin karşılaştırılması ve bu genlerin farklı hücre türlerinde nasıl regüle edildiklerinin belirlenmesidir. MCF-7 ve HUVEC hücre hatları uygun koşullarda çoğaltılarak hücrelerdeki CEBPB ve FOXA1 gen ekspresyon seviyelerini ölçmek için RNA izolasyonu, cDNA sentezi ve kantitatif real time PCR analizi yapılmıştır. Bulgularımız, FOXA1 gen ekspresyon seviyesi MCF7 hücre hattında HUVEC hücre hattına göre anlamlı derecede yüksek, CEBPB gen ekspresyon seviyesi anlamlı derecede düşük bulunmuştur. Sonuçlarımız, bu genlerin meme kanserinde diagnostik, prognostik ve terapötik olarak potansiyel bir hedef olabileceklerini göstermektedir.

Anahtar Kelimeler: Meme Kanseri, Mcf-7, Huvec, Foxa1, Cebpb

Comparative Analysis of Cebpb and Foxa1 Gene Expression in Mcf-7 and Huvec Cells

Abstract: Breast cancer is the most prevalent form of cancer among the global female population. The objective of this study is to make a comparison between the expression levels of CEBPB and FOXA1 genes in the MCF-7 and HUVEC cell lines, and to ascertain the means by which these genes are regulated in different cell types. The MCF-7 and HUVEC cell lines were cultivated under the appropriate conditions, and RNA isolation, cDNA synthesis, and quantitative real-time PCR analysis were conducted to measure the expression levels of the CEBPB and FOXA1 genes in the cells. The results of the study demonstrated that the FOXA1 gene expression level was significantly higher in the MCF7 cell line than in the HUVEC cell line, while the CEBPB gene expression level was significantly lower. The results of this study indicate that these genes may serve as viable targets for diagnostic, prognostic, and therapeutic applications in the context of breast cancer.

Keywords: Breast Cancer, Mcf-7, Huvec, Foxa1 and Cebpb.

Makale id= 16

Sözlü Sunum

ORCID ID: 0000-0001-6835-4436

| 221

Melatonin'in Radyasyon Terapisine Bağlı Olarak Sıçanların Submandibular Dokusunda Gelişen İnflamatuar Yanıt Üzerindeki Koruyucu Etkilerinin Araştırılması

Arş.Gör. Yağmur Doğanlar¹, Doç.Dr. Yalçın Erzurumlu², Dr. Fatih Hacımustafaoğlu³, Prof.Dr. Ebru Kale⁴, Doç.Dr. Serhat Aras⁵, Doç.Dr. Burcu Çaykara Peran⁶

¹Süleyman Demirel Üniversitesi, Eczacılık Fakültesi, Biyokimya Anabilim Dalı, 32200, Isparta-Türkiye

²Süleyman Demirel Üniversitesi, Eczacılık Fakültesi, Biyokimya Anabilim Dalı, 32200, Isparta-Türkiye

³Sağlık Bilimleri Üniversitesi, Hamidiye Sağlık Hizmetleri Meslek Yüksekokulu, Tıbbi Hizmetler ve Teknikler Bölümü, Tıbbi Laboratuvar Teknikleri Programı, İstanbul-Türkiye

⁴Sağlık Bilimleri Üniversitesi, Tıp Fakültesi, Tıbbi Biyokimya Anabilim Dalı, İstanbul-Türkiye

⁵Sağlık Bilimleri Üniversitesi, Haydarpaşa Numune Eğitim ve Araştırma Hastanesi, Radyasyon Onkolojisi Bölümü, İstanbul-Türkiye

⁶Sağlık Bilimleri Üniversitesi, Tıp Fakültesi, Tıbbi Biyoloji Anabilim Dalı, İstanbul-Türkiye

*Corresponding author: Yağmur Doğanlar

Özet: Radyoterapi yaklaşımı kanserli dokuyu küçültmeye ve ortadan kaldırmaya yönelik en sık kullanılan tedavi yaklaşımlarından birisidir. Radyoterapi yalnız başına uygulanabilmekle birlikte cerrahi, kemoterapi ve hormon terapisi ve hedefli terapilerle birlikte de kullanılabilir. Radyoterapinin kanser terapilerindeki başarı etkinliği bilinmesine karşın dokularda oluşturduğu oksidatif stres ve inflamasyon gibi yan etkiler kanser dışı hastalıkların gelişim riskini arttırmaktadır. Bu nedenle günümüzde radyoterapinin oluşturduğu yan etkilerin destekleyici tedaviler ile aşılmasına yönelik çalışmalar önem kazanmıştır. Vücudumuzda epifiz bezinden salgılanan melatonin uyku-uyanıklık döngüsü, öğrenme ve hafızanın düzenlenmesi gibi biyolojik rollerinin yanı sıra anti-inflamatuar ve anti-oksidan özellikleri de anlaşılmıştır. Bu çalışmada farklı doz ve sürelerde radyoterapi uygulanan sıçanlarda melatonin'in radyoterapi kaynaklı oluşan inflamasyon üzerindeki koruyucu rolünün incelenmesi amaçlanmıştır. 70 adet sıçan rastgele olarak kontrol grubu, tek doz 10 mg/kg melatonin uygulanan grup, Flattening Filter (FF) modunda, düşük doz hızında (400 MU/dk) tek doz (16 Gy) radyoterapi uygulanan grup, FF modunda, düşük doz hızında (400 MU/dk) 16 Gy tek doz radyoterapi uygulanan ve melatonin uygulanan grup, Flattening Filter-Free (FFF) modunda, yüksek doz hızında (1400 MU/dk) tek doz (16 Gy) radyoterapi uygulanan grup, FFF modunda, yüksek doz hızında (1400 MU/dk) 16 Gy tek doz radyoterapi uygulanan ve melatonin uygulanan grup, FF modunda, düşük doz hızında (400 MU/dk) fraksiyone doz (32 Gy=6.4 Gy×5 gün) radyoterapi uygulanan grup, FF modunda, düşük doz hızında (400 MU/dk) fraksiyone doz (32 Gy=6.4 Gy×5 gün) radyoterapi uygulaması yapılan ve melatonin uygulanan grup, FFF modunda, yüksek doz hızında (1400 MU/dk) fraksiyone doz (32 Gy=6.4 Gy×5 gün) radyoterapi uygulanan grup, FFF modunda, yüksek doz hızında (1400 MU/dk) fraksiyone doz (32 Gy=6.4 Gy×5 gün) radyoterapi uygulanan ve melatonin uygulanan grup olmak üzere 10 gruba ayrıldı. Uygulamadan 10 gün sonra deney sonlandırıldığında sıçanların submandibular dokularında inflamasyon ile ilişkili TNF-alfa mRNA ifade düzeylerindeki değişimler qRT-PCR yaklaşımı ile incelendi. Bulgularımız radyasyona bağlı olarak artan TNF-alfa mRNA ifade düzeylerinin melatonin tedavisi ile sıçanların submandibular dokularında anlamlı olarak baskılandığını

ortaya koymuştur. Sonuç olarak araştırma bulgularımız melatonin'in radyasyon terapisine bağlı olarak gelişen inflamatuvar yanıtın baskılanması aracılı olarak dokular üzerinde koruyucu etkiler sergileyebileceğini önermektedir.

Anahtar Kelimeler: İnflamasyon, Submandibular Doku, Radyasyon Terapisi, Tnf-Alfa

Investigation of the Protective Effects of Melatonin On the Inflammatory Response Developing in the Submandibular Tissue of Rats Due to Radiation Therapy

| 222

Abstract: Radiotherapy is one of the most commonly used treatment approaches to shrink and eliminate cancerous tissue. Radiotherapy can be used alone or in combination with surgery, chemotherapy, hormone therapy and targeted therapies. Although the success of radiotherapy in cancer therapies is known, several side effects, such as oxidative stress and inflammation in tissues, increase the risk of developing non-cancer diseases. Thus, studies on overcoming the side effects of radiotherapy with supportive treatments have gained importance. Melatonin, secreted by the pineal gland in the human body, has biological roles that include regulating the sleep-wake cycle, learning and memory, as well as exhibiting anti-inflammatory and antioxidant properties. Based on these effects of melatonin, the present study aimed to investigate the protective role of melatonin on radiotherapy-induced inflammation in rats that received radiotherapy at different doses and durations. 70 rats were randomly divided into 10 groups: control, melatonin (10mg/kg), single-dose radiotherapy (16 Gy) at a low dose rate (400 MU/min) in Flattening Filter (FF) mode, 16 Gy single-dose radiotherapy at a low dose rate (400 MU/min) and melatonin in the FF mode, single-dose radiotherapy (16 Gy) at a high dose rate (1400 MU/min) in the Flattening Filter-Free (FFF) mode, 16 Gy single dose radiotherapy in FFF mode at a high dose rate (1400 MU/min) and melatonin, fractionated dose (32 Gy=6.4 Gy×5 days) radiotherapy in FF mode at low dose rate (400 MU/min), radiotherapy in FF mode, low dose rate (400 MU/min) fractionated dose (32 Gy=6.4 Gy×5 days) and melatonin, fractionated dose (32 Gy=6.4 Gy×5 days) radiotherapy in FFF mode at high dose rate (1400 MU/min), radiotherapy in FFF mode, high dose rate (1400 MU/min) fractionated dose (32 Gy=6.4 Gy×5 days) and melatonin. When the experiment was terminated 10 days after the treatments, mRNA expression levels of TNF-alpha, which is associated with inflammation, in the submandibular tissues of rats were examined by qRT-PCR. Our findings revealed that up-regulated TNF-alpha mRNA expression levels due to radiation were significantly suppressed by melatonin treatment in the submandibular tissues of rats. In conclusion, our findings suggest that melatonin may exhibit protective effects on tissues by suppressing the inflammatory response that develops due to radiation therapy.

Keywords: Inflammation, Submandibular Tissue, Radiation Therapy, Tnf-Alpha

Makale id= 167

Sözlü Sunum

ORCID ID: 0000-0001-5298-0045

| 223

Mesane Kanserinde Makroskopik Hematüri Dışı Başvuruların Tanısal Süre ve Başlangıç Patolojisine Etkisi

Dr. Öğretim Üyesi Halil İbrahim İvelik¹, Dr. Öğretim Üyesi Şeref Coşer¹
¹Kütahya Sağlık Bilimleri Üniversitesi

*Corresponding author: Halil İbrahim İvelik

Özet: Amaç Makroskopik hematüri ile başvuran mesane tümörü olguları ile makroskopik hematüri dışı bulgularla (mikrohematüri/irritatif semptomlar/tesadüfi görüntüleme vb.) başvuran olgular arasında tanısal gecikme ve başlangıç tümör özelliklerinin karşılaştırılması. Gereç ve Yöntem 2021–2024 döneminde tek merkezde ilk TURBT uygulanan hastalar iki kohorta ayrıldı: makroskopik hematüri (n=105) ve makroskopik hematüri dışı (n=34). Demografik veriler (yaş, cinsiyet, BMI), başvuru bağlamı (ilk başvuru yeri, ICD/ilk tanı), muayene–sistoskopi arası süre (ay), tümör yükü (ilk tümör çapı, cm) ve patoloji (TNM'ye göre ilk tümör patolojisi [Ta/T1]; grade [high/low]) karşılaştırıldı. Sürekli değişkenler medyan [IQR] ile özetlenip Mann–Whitney U, kategorikler n (%) olarak özetlenip Ki-kare/Fisher testleriyle değerlendirildi; p

Anahtar Kelimeler: Hematüri, Mesane Neoplazileri, Sistoskopi

The Effect of Non-Gross Hematuria Presentations On Diagnostic Time and Initial Pathology in Bladder Cancer

Abstract: Objective To compare diagnostic delay and initial tumor characteristics between bladder cancer cases presenting with gross hematuria and those with non-gross findings (microhematuria, irritative symptoms, or incidental imaging). Materials and Methods Patients who underwent initial TURBT at a single center between 2021–2024 were classified as gross hematuria (n=105) or non-gross hematuria (n=34). Demographics (age, sex, BMI), presentation context (first admission site, ICD/diagnosis), time from examination to cystoscopy (months), tumor size, and pathology (TNM stage [Ta/T1], grade [high/low]) were compared. Continuous variables were summarized as median [IQR] and analyzed using Mann–Whitney U; categorical variables with Chi-square or Fisher's test (p

Keywords: Hematuria, Bladder Neoplasms, Cystoscopy

Makale id= 58

Sözlü Sunum

ORCID ID: 0000-0002-7199-436X

| 224

Mevsimsel Değişimlerin Kronik Ürtiker Üzerine Etkisi

Uzman Dr. Fikriye Kalkan¹, Prof.Dr. Şadan Soyyiğit²

¹Ankara Bilkent Şehir Hastanesi

²Ankara Yıldırım Beyazıt Üniversitesi

*Corresponding author: Fikriye Kalkan

Özet: GİRİŞ: Ürtiker, kaşıntı, kızarıklık ve/veya anjiyoödem ya da her ikisinin gelişimi ile karakterize bir durumdur. (1) Mevsim geçişleri sırasında sıcaklık, nem, polen yoğunluğu, enfeksiyon sıklığı ve hava kirliliği gibi çevresel faktörlerdeki dalgalanmaların ürtiker semptomlarını tetikleyebildiği literatürde bildirilmektedir. MATERYAL METOT: Çalışmamızda Ankara Bilkent Şehir Hastanesi Alerji ve İmmünoloji polikliniklerinde başvuran 18 yaş üstü ve en az 6 haftadır ürtiker semptomları bulunan erişkin kronik ürtiker (KÜ) hastalarına hangi mevsimlerde şikayetlerinin arttığı ile ilgili dosya taraması yapılmıştır. Tüm katılımcıların dosyalarından yaş, cinsiyet, ek hastalık bilgileri, atopi varlığı ve mevsimsel patern bilgileri toplanmıştır. Mevsimsel dağılım; ilkbahar, yaz, sonbahar, kış ve “mevsimsel fark yok” kategorileriyle sorgulanmıştır. BULGULAR: Çalışmaya alınan 70 hastanın yaş ortalaması 36,8±12,9 yıl olup, 44’ü(%62,9) erkek, 26’sı (%37,1) kadındı. Hastaların 33’ünde (%47,1) ek kronik hastalık bulunmazken, en sık görülen ek hastalıklar 8 hastada Hipertansiyon (%11,4), 7 hastada Diyabet (%10), 5 hastada Hipotroidi (%7,1) ve 5 hastada Kalp hastalıkları (%7,1) mevcuttu. Atopik hastalık öyküsü açısından değerlendirildiğinde, 53 hastada (%75,7) atopi öyküsü yoktu; en sık görülen atopik hastalıklar ise 6 hastada ilaç allerjisi (%8,6), 5 hastada allerjik astım (%7,1), 4 hastada allerjik rinit (%5,7) ve 3 hastada gıda allerjisi (%4,3) saptanmıştı. Mevsimsel dağılım incelendiğinde, 46 hastada (%65,27) mevsimsel fark gözlenmedi. İlkbaharda 18 hasta (%25,71), yaz döneminde 5 hastada (%7,14), kış döneminde 1 hastada (%1,43) ürtiker alevlenmesi olduğunu belirtti; sonbaharda ürtiker şikayetleri artan olgumuz yoktu. SONUÇ: Çalışmamızda kronik ürtikerli hastalarda mevsimsel farklılıkların sınırlı olduğu görülmüştür. Bu sonuçlar, kronik ürtikerli hastaların büyük bölümünde mevsimsel faktörlerin belirleyici olmadığını, ancak belirli alt gruplarda özellikle ilkbahar gibi çevresel değişkenlerin yoğun olduğu dönemlerde alevlenme riskinin artabileceğini düşündürmektedir. Dolayısıyla, klinik yaklaşımda mevsimsel faktörlerin göz önünde bulundurulması, hasta bilgilendirmesi ve tetikleyici faktörlerden korunma stratejilerinin planlanmasında faydalı olabilir.

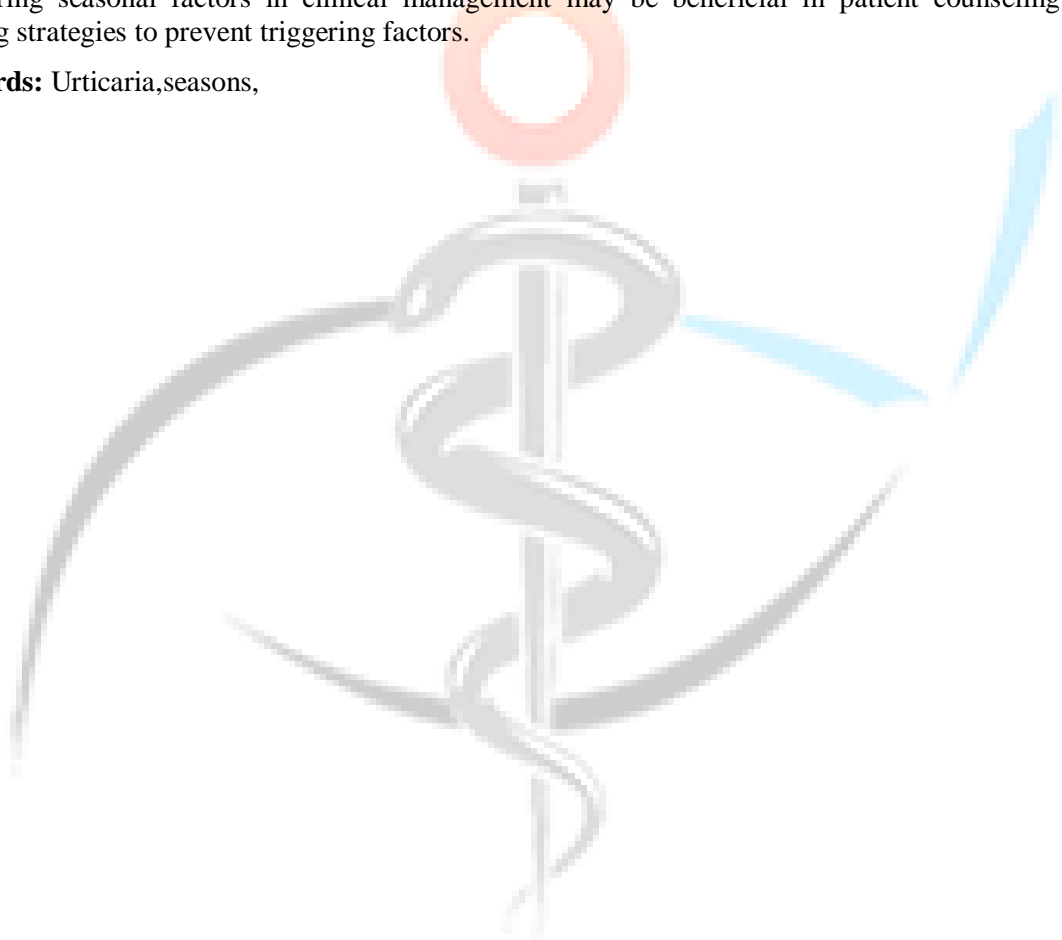
Anahtar Kelimeler: Ürtiker, mevsimler

Effect of Seasonal Changes On Chronic Urticaria

Abstract: INTRODUCTION: Urticaria is a condition characterized by the development of pruritus, redness, and/or angioedema, or both. (1) It has been reported in the literature that fluctuations in environmental factors such as temperature, humidity, pollen density, infection frequency, and air pollution during seasonal transitions can trigger urticaria symptoms. MATERIAL AND METHODS: In our study, the charts of adult chronic urticaria (CU) patients aged 18 years and over who presented to the Allergy and Immunology outpatient clinics of Ankara Bilkent City Hospital and who had urticaria symptoms for at least 6 weeks were reviewed to determine the seasons in which their symptoms worsened. Age, gender, comorbidities, presence of atopy, and seasonal pattern information were

collected from the charts of all participants. Seasonal distribution was categorized as spring, summer, autumn, winter, and "no seasonal difference." RESULTS: The mean age of the 70 patients included in the study was 36.8 ± 12.9 years, 44 (62.9%) were male and 26 (37.1%) were female. Thirty-three (47.1%) of the patients had no additional chronic diseases, while the most common comorbidities were hypertension in 8 patients (11.4%), diabetes in 7 patients (10%), hypothyroidism in 5 patients (7.1%), and heart disease in 5 patients (7.1%). When evaluated in terms of atopic disease history, 53 patients (75.7%) had no history of atopy; the most common atopic diseases were drug allergy in 6 patients (8.6%), allergic asthma in 5 patients (7.1%), allergic rhinitis in 4 patients (5.7%), and food allergy in 3 patients (4.3%). When seasonal distribution was examined, no seasonal differences were observed in 46 patients (65.27%). Eighteen patients (25.71%) reported urticaria exacerbations in the spring, five patients (7.14%) in the summer, and one patient (1.43%) in the winter. We had no cases with increased urticaria symptoms in the fall. CONCLUSION: Our study observed limited seasonal differences in patients with chronic urticaria. These results suggest that while seasonal factors are not a determining factor in the majority of patients with chronic urticaria, the risk of exacerbations may increase in certain subgroups, particularly during periods of intense environmental variables such as spring. Therefore, considering seasonal factors in clinical management may be beneficial in patient counseling and planning strategies to prevent triggering factors.

Keywords: Urticaria, seasons,



Makale id= 100

Sözlü Sunum

ORCID ID: 0000-0001-7118-9312

| 226

Nadir Bir Ercp Komplikasyonu Olan Endoskopik Basket Sıkışmasında Anestezi Yönetimi: Olgu Sunumu

Uzman Dr. Abdurrahman Tünay¹
¹İstanbul Eğitim ve Araştırma Hastanesi

Özet: Endoskopik retrograd kolanjiyopankreatografi (ERCP), pankreato-biliyer hastalıkların tanı ve tedavisinde sıklıkla tercih edilen invaziv bir yöntemdir. Koledokolitiazis tedavisinde sfinkterotomi ve taş ekstraksiyonu ile birlikte uygulandığında yüksek başarı oranlarına sahiptir. Ancak işlem sırasında nadir de olsa ciddi komplikasyonlar gelişebilir. Endoskopik taş çıkarma sepetinin koledokta sıkışması (basket impaksiyonu), bu komplikasyonlar arasında yer almaktadır. Bu olgu sunumunda, koledokolitiazis nedeniyle ERCP uygulanan 75 yaşındaki erkek hastada, büyük ve sert taş nedeniyle basket ve taşın papilla düzeyinde sıkıştığı, endoskopik litotripsiyle başarı sağlanamaması üzerine cerrahi eksplorasyon kararı alındığı bildirilmektedir. Hasta, orofarinksten duodenuma uzanan basket teli ile ameliyathaneye alınmıştır. Anestezi yönetimi sırasında entübasyon, telin havayolunda oluşturabileceği komplikasyonlar göz önünde bulundurularak videolarinoskopi yardımıyla dikkatli bir şekilde gerçekleştirilmiştir. Anestezi indüksiyonunda propofol, fentanil ve rokuronyum kullanılmış; idame sevofluran ve hava/oksijen karışımı ile sağlanmıştır. Cerrahi işlem sonrası sugammadex ile kas gevşetici etkiler güvenle geri döndürülmüş ve hasta komplikasyonsuz ekstübe edilmiştir. Bu olgu, basket impaksiyonu gibi nadir ERCP komplikasyonlarında multidisipliner yaklaşımın, bireyselleştirilmiş anestezi planlamasının ve gelişmiş entübasyon tekniklerinin önemini ortaya koymaktadır.

Anahtar Kelimeler: Ercp, Basket İmpaksiyonu, Anestezi Yönetimi, Videolarinoskopi, Koledokolitiazis, Cerrahi Eksplorasyon

Anesthesia Management in a Rare Ercp Complication: Endoscopic Basket Impaction – a Case Report

Abstract: Endoscopic retrograde cholangiopancreatography (ERCP) is a widely preferred invasive procedure for the diagnosis and treatment of pancreatobiliary diseases. When combined with sphincterotomy and stone extraction, it offers high success rates in the treatment of choledocholithiasis. However, although rare, serious complications may occur during the procedure. One such complication is the impaction of the endoscopic retrieval basket within the common bile duct (basket impaction). In this case report, we present a 75-year-old male patient who underwent ERCP for choledocholithiasis. During the procedure, a large and hard stone became impacted along with the basket at the level of the papilla. Endoscopic lithotripsy failed to resolve the impaction, and surgical exploration was required. The patient was transferred to the operating room with the basket wire extending from the oropharynx to the duodenum. Airway management was planned meticulously due to the risk posed by the transoral basket wire. Tracheal intubation was successfully performed under videolarinoscopic guidance. Anesthesia was induced with propofol, fentanyl, and rocuronium, and maintained with sevoflurane in an oxygen/air mixture. At the end of surgery, neuromuscular blockade was reversed using sugammadex,

and the patient was extubated without complications. This case highlights the importance of a multidisciplinary approach, individualized anesthetic planning, and advanced airway management techniques in managing rare ERCP-related complications such as basket impaction.

Keywords: Ercp, Basket Impaction, Anesthesia Management, Videolaryngoscopy, Choledocholithiasis, Surgical Exploration



Makale id= 191

Sözlü Sunum

ORCID ID: 0000-0001-5594-4138; 0000-0001-9891-7412,.; 0000-0002-0002-4446

| 228

Nadir Bir Olgu Sunumu: Bimalleoler Kırık Sonrası Travmatik Posterior Tibial Tendon Ruptürü

Dr. Mehmet Utku Çiftçi¹, Dr. Abdullah Murat Şengül¹, Dr. Yasin Sayar¹

¹Sultan 2. Abülhamid Han Eğitim ve Araştırma Hastanesi

*Corresponding author: Mehmet Utku Çiftçi

Özet: Konu: Ayak bileği kırıkları ortopedik yaralanmalar arasında yaygın görülmektedir. Kapalı ayak bileği kırıklarıyla ilişkili Posterior Tibial Tendon (PTT) rüptürü nadir bir patolojidir ve sıklıkla gözden kaçırılabilir. Bu çalışmada, bimalleoler kırık sonrası gelişen travmatik PTT rüptürü olan nadir bir vaka sunulmaktadır. Amaç: Bimalleoler kırık sonrası travmatik PTT rüptüründe erken tanı ve primer onarımın, gelişebilecek ciddi fonksiyon kaybı ve edinsel pes planus deformitesini önlemedeki kritik önemini vurgulamaktır. Yöntem: Araç dışı trafik kazası sonrası acil servise başvuran, bilinen ek hastalığı veya geçirilmiş cerrahi öyküsü olmayan 18 yaşındaki erkek hasta olgusu sunulmuştur. Hastanın sağ ayak bileğinde yaygın ağrı, şişlik ve ekimoz izlendi; aktif ve pasif hareketlerinde kısıtlılık mevcuttu. Radyografik ve Bilgisayarlı Tomografi incelemelerinde minimal deplase medial malleol (MM) ve non-deplase lateral malleol kırığı tespit edilerek MM kırığına yönelik cerrahi planlandı. PTT rüptürünü düşündürecek spesifik muayene bulgusu bulunmadığından, tanısal değerin kısıtlı olması nedeniyle tanı intraoperatif olarak konuldu. Bulgular: Spinal anestezi altında yapılan cerrahi girişimde, MM kırık hematomu temizlendikten sonra kırık aralığından rüptüre tendinöz yapı görüldü. Tendon sağlıklı görünümdeydi, dejeneratif tendinopati belirtisi yoktu ve rüptürün kırık hattı hizasında olduğu gözlemlendi. MM iki adet kanül vida ile fikse edildi. PTT, emilmeyen dikiş kullanılarak modifiye Kessler tekniği ile onarıldı. Onarılan PTT gerginliğini en aza indirmek amacıyla ayak bileği hafif subtalar eklem inversiyonunda olacak şekilde diz altı kapalı alçıyla immobilize edildi. Ameliyattan 7 hafta sonra hastanın ayak bileği hareket aralığı normale yakındı (dorsifleksiyonda 5° minimal kısıtlama) ve PTT gücü tam (5/5) olarak iyileşmişti; medial ark yüksekliğinde bir kayıp yaşanmamıştı. Ameliyattan 4 ay sonra klinik ve radyografik değerlendirmede kırığın iyileştiği ve hastanın önceki aktivitelerine döndüğü görüldü. Sonuç: PTT rüptürü ayak bileği kırıklarıyla nadir ilişkili olsa da, dorsifleksiyon sırasında inversiyon veya pronasyonla birlikte dış rotasyon sonucu gelişebilir. Kapalı ayak bileği kırıklarında bu yaralanmadan şüphelenilmeli ve erken tanı ile primer onarım uygulanmalıdır. Erken onarım, fonksiyonel sonuçların iyileşmesine katkı sağlar., bu yaklaşım fonksiyonel sonuçların iyileştirilmesine katkı sağlar.

Anahtar Kelimeler: Posterior Tibial Tendon Rüptürü, Bimalleoler Kırık, Medial Malleol, Lateral Malleol, Ayak Bilek Kırıkları

A Rare Case Report: Traumatic Posterior Tibial Tendon Rupture After Bimalleolar Fracture

Abstract: Topic: Ankle fractures are among the most common orthopedic injuries. Posterior Tibial Tendon (PTT) rupture associated with closed ankle fractures is rare and can easily be overlooked. This report presents a rare case of traumatic PTT rupture following a bimalleolar fracture. Objective: To highlight the importance of early diagnosis and primary repair in preventing functional loss and acquired pes planus deformity after traumatic PTT rupture secondary to a bimalleolar fracture. Method: An 18-

year-old male with no comorbidities or prior surgery presented to the emergency department after a non-vehicle traffic accident. Examination revealed diffuse pain, swelling, and ecchymosis around the right ankle, with limited motion. Radiographic and CT evaluations showed a minimally displaced medial malleolus (MM) fracture and a non-displaced lateral malleolus fracture. Surgery was planned for the MM fracture. Since no specific findings suggested PTT rupture and preoperative diagnosis was limited, the condition was identified intraoperatively. Results: During surgery under spinal anesthesia, after hematoma removal at the MM fracture site, a ruptured tendon was found within the fracture line. The tendon appeared healthy, with no degenerative changes. The MM was fixed using two cannulated screws, and the PTT was repaired with non-absorbable sutures using the modified Kessler technique. The ankle was immobilized in a below-knee cast with mild subtalar inversion to minimize tendon tension. Seven weeks postoperatively, ankle range of motion was nearly normal (5° restriction in dorsiflexion), PTT strength was full (5/5), and the medial arch was preserved. At four months, clinical and radiographic evaluations confirmed fracture healing and full return to activity. Conclusion: Although rare, PTT rupture may accompany ankle fractures, especially with dorsiflexion combined with inversion, pronation, and external rotation. In closed ankle fractures, PTT injury should be considered, and early diagnosis with primary repair should be performed, as early intervention improves outcomes.

Keywords: Posterior Tibial Tendon Ruptürü, Bimalleoler Kırık, Medial Malleol, Lateral Malleol, Ayak Bilek Kırıkları



Makale id= 159

Sözlü Sunum

ORCID ID: 0000-0002-9206-4348

| 230

Neoadjuvan Kemoterapi ve Aksiller Diseksiyon İlişkisi: Çıkarılan Lenf Nodu Sayısını Etkileyen Faktörler

Uzman Dr. Mehmet Eşref Ulutaş¹
¹Gaziantep Şehir Hastanesi

Özet: Amaç: Bu çalışma, cerrahlar ve patoloğlar arasında önemli bir tartışma konusu olan, meme kanseri hastalarında aksiller lenf nodu diseksiyonu (ALND) sırasında diseke edilen lenf nodu sayısına neoadjuvan kemoterapinin (NAC) etkisini araştırmayı amaçlamaktadır. Gereç ve Yöntem: 1 Ocak 2018 ile 31 Aralık 2020 tarihleri arasında ameliyat geçiren 440 meme kanseri hastası üzerinde retrospektif bir analiz gerçekleştirdik. Hastalar, NAC uygulamasına göre iki gruba ayrıldı. Çıkarılan toplam ve malign lenf nodu sayılarına odaklanarak demografik, klinik ve patolojik verileri topladık. Sonuçlar: 440 hastanın 124'üne NAC uygulanırken, 316'sına uygulanmadı. Çıkarılan lenf nodlarının ortalama sayısı toplamda 18,1 idi; NAC grubunda 17,2, NAC uygulanmayan grupta ise 18,5 idi ($P = 0,17$). İki grup arasında malign lenf nodu sayısında anlamlı bir fark gözlenmedi ($P = 0,73$). Ancak, çok değişkenli analiz, NAC'nin çıkarılan toplam lenf nodu sayısını önemli ölçüde etkilediğini gösterdi ($P = 0,05$). Ayrıca, lenfovasküler invazyonun (LVI) malign lenf nodu sayısını önemli ölçüde etkilediği bulundu. Tartışma: Bulgularımız, NAC'nin meme kanseri hastalarında ALND sırasında diseke edilen lenf nodu sayısının azalmasıyla ilişkili olduğunu göstermektedir. Bu sonuçlar, en az 10 lenf nodunun çıkarılmasına ilişkin standart kılavuzun, NAC uygulanan hastalar için yeniden gözden geçirilmesi gerektiğini düşündürmektedir. Bu bulguların evreleme ve tedavi protokolleri üzerindeki etkilerini açıklığa kavuşturmak için daha fazla çalışma yapılması gerekmektedir.

Anahtar Kelimeler: Neoadjuvan Kemoterapi, Aksiller Diseksiyon, Lenf Nodu Alınması, Meme Kanseri Cerrahisi

Neoadjuvant Chemotherapy and Axillary Lymph Nodes: Factors Affecting Lymph Node Yield in Patients Undergoing Axillary Node Dissection

Abstract: Aim: This study aims to investigate the impact of neoadjuvant chemotherapy (NAC) on the number of lymph nodes dissected during axillary lymph node dissection (ALND) in breast cancer patients, a topic of significant debate among surgeons and pathologists. Material and Methods: We conducted a retrospective analysis of 440 breast cancer patients who underwent surgery between January 1, 2018, and December 31, 2020. Patients were categorized into two groups based on NAC administration. We collected demographic, clinical, and pathological data, focusing on the total and malignant lymph node counts. Results: Among the 440 patients, 124 received NAC, while 316 did not. The mean number of lymph nodes removed was 18.1 in total, with 17.2 in the NAC group and 18.5 in the non-NAC group ($P = 0.17$). No significant differences were observed in the number of malignant lymph nodes between the two groups ($P = 0.73$). However, multivariate analysis indicated that NAC significantly influenced the total number of lymph nodes dissected ($P = 0.05$). Additionally, lymphovascular invasion (LVI) was found to significantly impact the number of malignant lymph nodes. Conclusions: Our findings suggest that NAC is associated with a reduced number of lymph nodes

dissected during ALND in breast cancer patients. These results indicate that the standard guideline of removing at least 10 lymph nodes may require reconsideration for patients undergoing NAC. Further studies are needed to clarify the implications of these findings for staging and treatment protocols.

Keywords: Neoadjuvant Chemotherapy, Axillary Dissection, Lymph Node Retrieval



Makale id= 132

Sözlü Sunum

ORCID ID: 0000-0002-0810-087X

| 232

Nonsteroid Antiinflatuar İlaçlarla Alevlenen Hava Yolu Hastalığında Uzun Süreli Aspirin Kullanımının Kardiyovasküler Olaylar ve Kanama ile İlişkisi

Dr. Melek Cihanbeylerden¹

¹Ağrı Eğitim ve Araştırma Hastanesi

Özet: Amaç: Nonsteroidal antiinflatuar ilaçlarla alevlenen solunum yolu hastalığı (N-ERD), aspirin duyarsızlaştırmasını takiben yüksek doz ve uzun süreli aspirin tedavisi (ATAD) gerektiren kronik bir klinik durumdur. Bu çalışmada, N-ERD tanılı hastalarda uzun süreli ATAD'nin kardiyovasküler olaylar ve kanama riskleriyle ilişkisini değerlendirmek amaçlanmıştır. Yöntem: 2010–2025 yılları arasında Hacettepe Üniversitesi Tıp Fakültesi Alerji ve İmmünoloji Bilim Dalı'nda izlenen ve ATAD uygulanan N-ERD tanılı hastaların medikal kayıtları retrospektif olarak incelendi. Demografik ve klinik veriler, aspirin dozu, tedavi süresi, kanama ve kardiyovasküler olaylar değerlendirildi. Bulgular: Çalışmaya toplam 97 N-ERD tanılı hasta dahil edildi. Hastaların yaş ortalaması 48.3 ± 13.1 (19–74) yıl olup, 31 (%32.0)'i erkekti. Ortalama vücut kitle indeksi 26.8 ± 5.2 (18.4–39.2) kg/m^2 idi. Aspirin tedavisine 300 mg dozuyla başlayan 89 (%91.8), 600 mg dozuyla başlayan 8 (%8.2) hasta vardı. Tedavi süresi medyan 42 (12–72) ay idi. Kanama olayı 8 (%8.2) hastada gelişti ve ilk kanama zamanı medyan 10.5 (1–39) ay olarak saptandı. Otoimmün hastalık 3 (%37.5) ve peptik ülser öyküsü 3 (%37.5) olan hastalarda kanama anlamlı olarak daha sık görüldü (sırasıyla $p=0.034$ ve $p=0.007$). Kardiyovasküler olay 5 (%5.2) hastada gözlemlendi, serebral hemoraji bildirilmedi. Tedaviyi bırakan 40 (%41.2) hastanın en sık nedenleri kanama (%19.0) ve gastrointestinal intoleransı (%19.0). Sonuç: N-ERD hastalarında uzun süreli ve yüksek doz aspirin tedavisi, özellikle otoimmün hastalık veya peptik ülser öyküsü bulunanlarda artmış kanama riskiyle ilişkilidir. Kardiyovasküler olay insidansı düşük olup, tedavi planlamasında bireyselleştirilmiş risk değerlendirmesi gereklidir.

Anahtar Kelimeler: N-Erd, Aspirin Duyarsızlaştırması, Kardiyovasküler Olay, Kanama, Atad

Association Between Long-Term Aspirin Therapy and Cardiovascular Or Bleeding Events in Patients With Nsaid-Exacerbated Respiratory Disease

Abstract: Background: Nonsteroidal anti-inflammatory drug–exacerbated respiratory disease (N-ERD) is a chronic inflammatory condition requiring long-term, high-dose aspirin therapy (ATAD) following aspirin desensitization. This study aimed to evaluate the association between long-term ATAD use and the occurrence of cardiovascular and bleeding events in patients with N-ERD. Methods: Medical records of patients diagnosed with N-ERD and receiving ATAD between 2010 and 2025 at Hacettepe University Department of Allergy and Immunology were retrospectively reviewed. Demographic and clinical variables, aspirin dose, treatment duration, bleeding events, and cardiovascular complications were analyzed. Results: A total of 97 patients with N-ERD were included. The mean age was 48.3 ± 13.1 (19–74) years, and 31 (32.0%) were male. The mean body mass index was 26.8 ± 5.2 (18.4–39.2) kg/m^2 . Eighty-nine (91.8%) patients started ATAD with a 300 mg dose, and eight (8.2%) with 600 mg. The median treatment duration was 42 (12–72) months. Bleeding occurred in eight (8.2%) patients, with a median onset of 10.5 (1–39) months. Autoimmune disease (3 [37.5%] vs. 7 [7.9%]; $p=0.034$) and peptic

ulcer history (3 [37.5%] vs. 3 [3.4%]; $p=0.007$) were more frequent among those with bleeding. Cardiovascular events were observed in five (5.2%) patients, and no intracranial hemorrhage was reported. Treatment discontinuation occurred in 40 (41.2%) patients, most commonly due to bleeding (19.0%) or gastrointestinal intolerance (19.0%). Conclusion: In patients with N-ERD, long-term high-dose aspirin therapy is associated with an increased bleeding risk, particularly in those with autoimmune disease or peptic ulcer history. Cardiovascular event rates were low, emphasizing the need for individualized risk assessment in this population.

Keywords: N-Erd, Aspirin Desensitization, Cardiovascular Events, Bleeding, Atad



Makale id= 181

Sözlü Sunum

ORCID ID: 000 0002 5450 1068

| 234

Nörofibromatozis Tip I Li Çocuk Olgularda Beyin Mrg Tetkikinde Lezyon Morfolojisi ve Dağılımları

Uzman Dr. Berrin Demir¹
¹Erzurum Şehir Hastanesi

Özet: Amaç: Nörofibromatozis Tip1 (Von Recklinghausen hastalığı), fakomatozlar grubunda en sık görülen nörokutanöz bir hastalıktır. Otozomal geçişli olup RASopati grubunda tanımlanmaktadır. NIH tarafından belirtilen resmi tanı kriterleri arasında yer almamakla birlikte Nörofibromatozis Tip1 (NF1) 'li çocukların büyük çoğunluğunda (%60-90) beyin MRG'de anormallikler görülür. Bu çalışmada, NF1 tanılı çocuk olgularda beyin MRG incelemesinde karakteristik lezyon dağılımını, ilişkili görüntüleme özelliklerini ve ek radyolojik bulguları sistematik olarak tanımlamayı amaçlamaktadır. Yöntem: Ekim 2022 ile Eylül 2025 tarihleri arasında, 0–18 yaş aralığında, NF1 tanısı ile birimizde takip edilen ve beyin MRG tetkiki yapılmış 32 hasta (15 erkek, 17 kız; ortalama yaş, 9.5 yıl) çalışmaya dahil edildi. İnceleme sırasındaki lezyonların morfolojisi, lokalizasyonu, sıklığı ve varsa eşlikçi diğer bulguların mevcudiyeti incelendi ve retrospektif olarak değerlendirildi. Bulgular: Tüm olgularda T2 ağırlıklı serilerde fokal sinyal artışları (FASI, Focal areas of signal intensity) izlenmiş olup en sık talamus, globus pallidus, dentat nukleus, hipokampal kompleks düzeyinde gözlenmiştir. Ayrıca; serebellar hemisferler, serebellar pediküller, beyin sapı ve periaşial beyaz cevher düzeyinde de izlenmektedir. Görüntüleme sınırları dahilinde eşlik eden diğer patolojiler; dört olguda optik gliom, pleksiform nörofibrom, optik sinirlerde tortiozite, üç olguda araknoid kist, sekiz olguda lateral ventriküllerde asimetri ve birer olguda gelişimsel venöz anomali, nazoetmoidal meningoşel ve kutanöz nörofibrom izlenmiştir. Sonuç: Bizim serimizde literatür ile uyumlu olarak FASI'ler en sık (%80-100) izlenen lezyonlar olup NF1'li olgularda nöroradyolojik tanısında önemi izlenmektedir. FASI lezyonlar ağırlıklı olarak serebellum, bazal ganglionlar, hipokampal kompleks ve beyin sapında dağılım göstermektedir. Çalışmamızda MRG incelemenin NF1'in tanısı ve birliktelik gösteren patolojilerin değerlendirilmesinde ki yeri vurgulamakta olup doğru tanı, uygun izlem ve genetik danışmanlık açısından önemi belirtilmektedir.

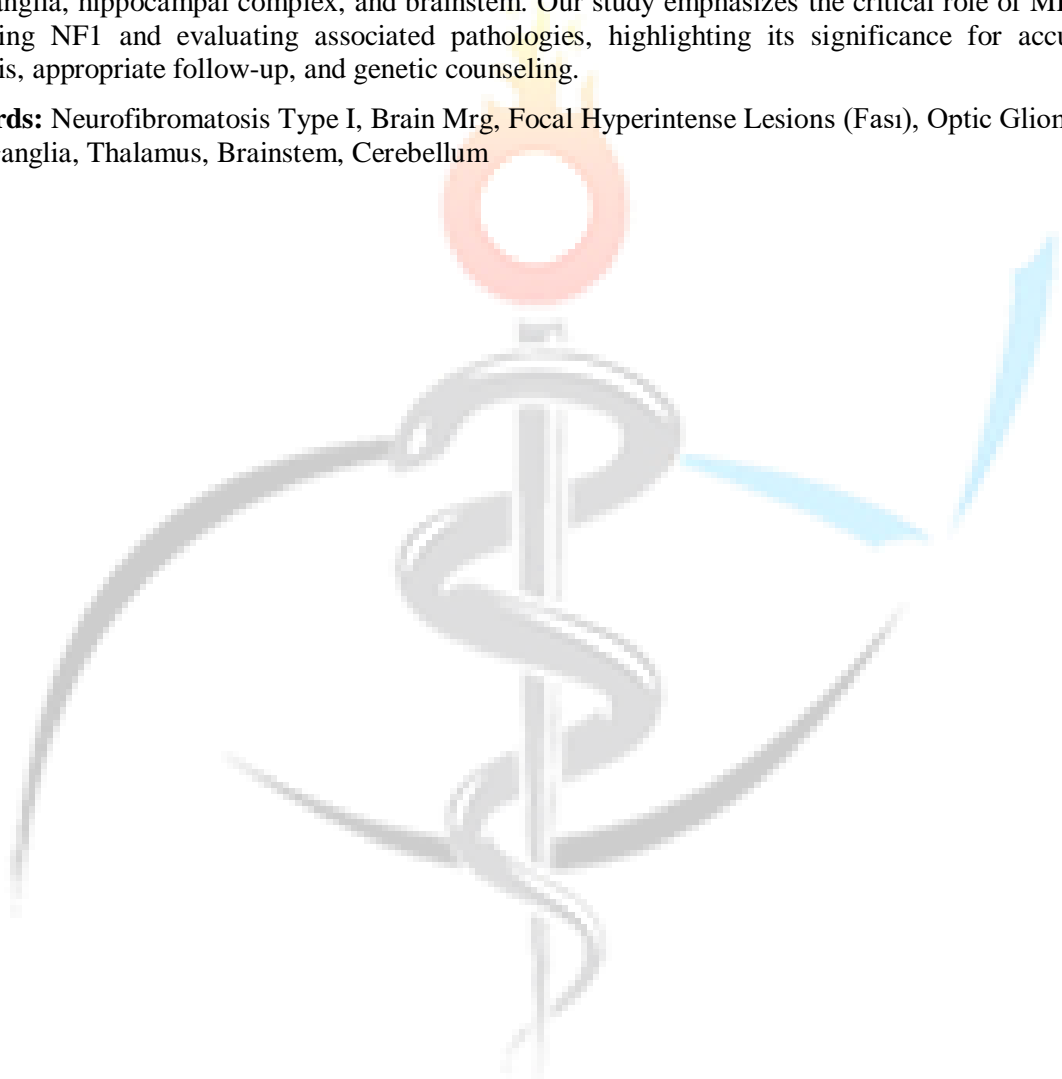
Anahtar Kelimeler: Nörofibromatozis Tip I, Beyin Mrg, Fokal Sinyal Artışları, Optik Gliom, Bazal Ganglion, Talamus, Beyin Sapı, Serebellum

The Morphology and Distribution of Lesions in Brain Mri Scans of Children With Neurofibromatosis Type I

Abstract: Objective: Neurofibromatosis Type 1 (NF1), also known as Von Recklinghausen disease, is the most common neurocutaneous disorder within the phakomatosis group. It is inherited in an autosomal dominant manner and is classified as a RASopathy. Although the National Institutes of Health (NIH) does not include MRI abnormalities in its official diagnostic criteria, a significant majority (60-90%) of children with NF1 present with brain MRI abnormalities. This study aims to systematically describe the distribution of characteristic lesions, imaging features, and additional radiological findings on brain MRI in children diagnosed with NF1. Methods: A total of thirty-two patients (15 males and 17 females; mean age 9.5 years) aged 0 to 18 years, who were diagnosed with Neurofibromatosis Type 1

(NF1) and followed in our unit, underwent brain MRI between October 2022 and September 2025. This study retrospectively examined and evaluated. Results: Focal signal intensity increases (FASI) were observed in all cases on brain MRG. These increases were most frequently found in the thalamus, globus pallidus, dentate nucleus, and hippocampal complex. Additional areas of increased signal intensity included the cerebellar hemispheres, cerebellar peduncles, brainstem, and periventricular white matter. Other pathologies observed optic glioma, plexiform neurofibroma, and optic nerve tortuosity in four cases; arachnoid cysts in three cases; and lateral ventricular asymmetry in eight cases. Additionally, developmental venous anomaly, nasoethmoidal meningocele, and cutaneous neurofibroma was noted. Conclusion: In our series, consistent with existing literature, focal areas of signal intensity (FASIs) are the most frequently observed lesions, occurring in 80-100% of cases. This underscores the importance of neuroradiological diagnosis in patients with NF1. FASI lesions are mainly found in the cerebellum, basal ganglia, hippocampal complex, and brainstem. Our study emphasizes the critical role of MRI in diagnosing NF1 and evaluating associated pathologies, highlighting its significance for accurate diagnosis, appropriate follow-up, and genetic counseling.

Keywords: Neurofibromatosis Type I, Brain Mrg, Focal Hyperintense Lesions (Fası), Optic Glioma, Basal Ganglia, Thalamus, Brainstem, Cerebellum



Makale id= 25**Sözlü Sunum**

ORCID ID: 0000-0002-7632-1199

| 236

Obez Hastalarda Perkütan Nefrolitotomi Sonuçlarımız: Tek Merkez Deneyimi**Uzman Dr. Hasan Samet Güngör¹**
¹Ümraniye Training and Research Hospital

Özet: Amaç: Obezite, üriner sistem taş cerrahisinde hem anestezi hem de cerrahi zorlukları artıran önemli bir risk faktörüdür. Bu çalışmada, obez hastalarda uygulanan perkütan nefrolitotomi (PNL)'nin etkinlik ve güvenlik sonuçları değerlendirilmiş, özellikle taş–cilt mesafesi (SSD)'nin cerrahi parametreler ve taşsızlık oranı üzerine etkisi raporlanmıştır. Yöntem: Ocak 2021–Haziran 2025 döneminde kliniğimizde BMI ≥ 30 kg/m² olan ve PNL uygulanan 32 obez hasta retrospektif olarak incelendi. Demografik veriler, taş özellikleri (boyut, SSD, dansite), operatif parametreler (operasyon süresi, floroskopi, Hb düşüşü, transfüzyon), postoperatif drenaj yöntemi, hastanede kalış süresi, taşsızlık oranı (SFR) ve komplikasyonlar (Clavien–Dindo sınıflaması) değerlendirildi. Tüm olgular en az 1 ay süreyle klinik ve radyolojik açıdan takip edildi. Bulgular: Hastaların ortalama yaşı 54 ± 8 yıl, ortalama BMI değeri 34.6 ± 3.2 kg/m² idi. Ortalama taş boyutu 28 ± 7 mm, SSD 121 ± 13 mm bulundu. Tüm hastalara prone pozisyonda girişim yapıldı; multipl trakt gereksinimi yalnızca 2 hastada izlendi. Ortalama operasyon süresi 83 ± 15 dk, floroskopi süresi 5.7 ± 2.0 dk idi. Ortalama Hb düşüşü 1.5 ± 0.6 g/dL olup, 2 hastada (%6) transfüzyon gerekti. Ortalama hastanede kalış süresi 4.1 ± 1.0 gün idi. Taşsızlık oranı %81 (26/32) olarak saptandı. Postoperatif dönemde tüm hastalara nefrostomi yerleştirilmiş olup, ek olarak 7 hastaya DJ stent takıldı. Toplam komplikasyon oranı %21.8 idi (Clavien I:5, II:1, IIIa:1). SSD yüksek olmasına rağmen SFR üzerinde anlamlı olumsuz etki izlenmedi. Sonuç: Obez hastalarda PNL, artmış SSD'ye rağmen yüksek taşsızlık başarısı ve kabul edilebilir komplikasyon profili ile güvenle uygulanabilir. Standart drenaj yöntemi olarak nefrostomi güvenli bulunmuş, seçilmiş olgularda ek DJ stent uygulanmasının faydalı olabileceği görülmüştür. Bulgularımız, obez popülasyonda SSD'nin cerrahi güçlükleri artırmasına rağmen sonuçların deneyimli merkezlerde tatmin edici düzeyde olduğunu göstermektedir.

Anahtar Kelimeler: Obezite; Perkütan Nefrolitotomi; Taş–cilt Mesafesi; Komplikasyon; Taşsızlık Oranı

Outcomes of Percutaneous Nephrolithotomy in Obese Patients: A Single-Center Experience

Abstract: Objective: Obesity is an important risk factor that increases both anesthetic and surgical challenges in the management of urinary stone disease. This study aimed to evaluate the efficacy and safety of percutaneous nephrolithotomy (PNL) in obese patients, with a particular focus on the impact of skin-to-stone distance (SSD) on operative outcomes and stone-free rates (SFR). Methods: Between January 2021 and June 2025, a total of 32 obese patients (BMI ≥ 30 kg/m²) who underwent PNL at our institution were retrospectively analyzed. Demographic characteristics, stone features (size, SSD, density), operative parameters (operative time, fluoroscopy time, hemoglobin drop, transfusion), postoperative drainage methods, hospital stay, SFR and complications (Clavien–Dindo classification) were evaluated. All patients were followed clinically and radiologically for at least 1 month postoperatively. Results: The mean age of the patients was 54 ± 8 years, and the mean BMI

was 34.6 ± 3.2 kg/m². The mean stone size was 28 ± 7 mm, and the mean SSD was 121 ± 13 mm. All procedures were performed in the prone position, with multiple tracts required in only 2 patients. The mean operative time was 83 ± 15 minutes, and the mean fluoroscopy time was 5.7 ± 2.0 minutes. The mean hemoglobin drop was 1.5 ± 0.6 g/dL, with blood transfusion required in 2 patients (6%). The mean hospital stay was 4.1 ± 1.0 days. The overall SFR was 81% (26/32). Postoperatively, all patients received a nephrostomy tube, while an additional DJ stent was placed in 7 cases. The overall complication rate was 21.8% (Clavien I:5, II:1, IIIa:1). Despite increased SSD, no significant adverse impact on SFR was observed. Conclusion: PNL can be safely performed in obese patients, achieving satisfactory stone-free outcomes and acceptable complication rates despite increased SSD. Nephrostomy remains a safe drainage option in all cases, while additional DJ stenting may be beneficial in selected patients. These findings suggest that even in obese populations with higher SSD values, PNL provides effective and reliable results when performed in experienced centers.

Keywords: Obesity; Percutaneous Nephrolithotomy; Skin-To-Stone Distance; Complications; Stone-Free Rate



Makale id= 194

Sözlü Sunum

ORCID ID: 0000-0003-2867-4157

| 238

Olgu Sunumu: Ülseratif Kolit Takip ve Tedavisinde Gelişen Nadir Bir Komplikasyon Nedeni

Dr. Seçkin Özgül¹

¹Ankara Atatürk Sanatoryum EAH

Özet: 31 yaşında, erkek hasta yaklaşık 15 gündür halsizlik-yorgunluk ve periumbilikal bölgede ara ara lokalize ağrısı olması nedeniyle gastroenteroloji polikliniğimize başvurdu. Yapılan laboratuvar incelemelerinde hastada anemi ve akut faz reaktanlarında yükseklik saptanması üzerine hospitalize edildi. 6 yıl önce rectal kanama nedeniyle araştırılmış. Yapılan kolonoskopisinde distal tutulumlu şiddetli ülseratif kolit saptanmış. Mesalazin oral ve rektal tedavi altında 1 yıl sonra ülseratif aktivasyonu gelişmesi üzerine tedaviye azatiyoprin eklenmiş. Yatış sonrası yapılan endoskopisinde duodenum 3. kısımda mukozanın tamamından köken alan, lümenin %60-80' ini kaplayıp endoskopun geçişini zorlaştıran, düzensiz sınırlı, içerisinde nekrotik alanlar bulunduran fragil yapıda kitle izlendi. Bu kitleden alınan biyopsilerde lenfoid foliküller ve parakortikal hiperplazi izlenmiş olup yapılan kesitsel görüntüleme duodenum 3. ve 4. kısımda yer alan yaklaşık 14 cm boyutunda primer malignite ile uyumlu kitle izlenmesi üzerinde hastaya diagnostik laparoskopi yapıldı ve omental lenf nodu diseksiyonunda Burkitt lenfoma tanısı konuldu. Hasta hematoloji bölümüne devredilerek kemoterapisi başlandı.

Anahtar Kelimeler: Azatiyoprin, Ülseratif Kolit, Burkitt Lenfoma

Case Report: A Rare Cause of Complication in the Follow-Up and Treatment of Ulcerative Colitis

Abstract: A 31-year-old male patient presented to our gastroenterology outpatient clinic with complaints of fatigue, weakness, and intermittent localized pain in the periumbilical region for approximately 15 days. Laboratory investigations revealed anemia and elevated acute-phase reactants, and the patient was subsequently hospitalized. Six years earlier, he had been evaluated for rectal bleeding, and colonoscopy at that time revealed severe ulcerative colitis with distal involvement. He was treated with oral and rectal mesalazine; however, one year later, due to disease activation, azathioprine was added to his treatment regimen. During the current hospitalization, endoscopy revealed a friable mass in the third part of the duodenum, originating from the entire mucosal surface, occupying approximately 60–80% of the lumen, and causing difficulty in scope passage. The mass had irregular borders and contained necrotic areas. Biopsy specimens from the lesion showed lymphoid follicles and paracortical hyperplasia. Cross-sectional imaging demonstrated a mass measuring approximately 14 cm in the third and fourth parts of the duodenum, consistent with a primary malignancy. The patient underwent diagnostic laparoscopy, and omental lymph node dissection confirmed the diagnosis of Burkitt lymphoma. He was subsequently referred to the hematology department, where chemotherapy was initiated.

Keywords: Azathioprine, Ulcerative Colitis, Burkitt Lymphomas

Makale id= 115

Sözlü Sunum

ORCID ID: <https://orcid.org/0000-0002-0191-3229>

| 239

Ortopedide Yapay Zekâ Tabanlı Yayınların Son 10 Yıldaki Gelişimi: Pubmed Tabanlı Bibliyometrik Analiz

Uzman Dr. Ali Can Koluman¹

¹Bakırköy Dr. Sadi Konuk Eğitim ve Araştırma Hastanesi

Özet: Özet: Amaç: Yapay zekâ (YZ) teknolojileri son yıllarda ortopedi alanında tanı, tedavi planlaması ve klinik karar destek süreçlerinde giderek daha fazla kullanılmaktadır. Ancak YZ'nin ortopedi literatüründeki gelişimini ve büyük dil modelleri (Large Language Models, LLM) gibi yeni nesil yaklaşımların etkisini değerlendiren kapsamlı bir analiz bulunmamaktadır. Bu çalışmanın amacı, 2015–2025 yılları arasında PubMed'de yayımlanan YZ temelli ortopedi çalışmalarının nicel ve tematik eğilimlerini incelemektir. Yöntem: 2015–2025 yıllarını kapsayan yayınlar, “artificial intelligence”, “machine learning”, “deep learning”, “radiomics” ve “chatgpt” terimleri ile “orthopedics”, “fracture”, “arthroplasty”, “spine”, “joint”, “bone” anahtar kelimeleri birleştirilerek PubMed veri tabanında taranmıştır. Veriler CSV formatında dışa aktarılmış, Python yazılımı ile birleştirilip yinelenen kayıtlar temizlenmiştir. Yayınlar yıllara, alt alanlara (artroplasti, kırık, omurga, eklem, kemik) ve anahtar kelimelere göre sınıflandırılmış; LLM içeren çalışmalar ayrıca değerlendirilmiştir. Bulgular: Toplamda 8.000'in üzerinde özgün yayın saptanmıştır. Yayın sayısı on yıl içinde üstel artış göstermiştir (yıllık bileşik artış oranı $\approx 22\%$). En yoğun alt alanlar eklem, kemik ve kırık konularıdır. ChatGPT ve türevi LLM terimleri 2022 yılı öncesinde hiç geçmezken, 2023 sonrasında belirgin artış göstermiştir. Sonuç: Ortopedide yapay zekâ araştırmaları son on yılda hızla artmış, 2022 sonrasında ise LLM ve üretken yapay zekâ uygulamalarıyla yeni bir döneme geçilmiştir. Bu eğilim, ortopedide bilişsel ve dil temelli yapay zekâ entegrasyonunun hızla güçlendiğini göstermektedir.

Anahtar Kelimeler: Yapay Zekâ, Makine Öğrenmesi, Ortopedi, Bibliyometrik Analiz, Derin Öğrenme, Büyük Dil Modelleri, Chatgpt

Artificial Intelligence in Orthopedics: A Decade of Research Trends (2015–2025)

Abstract: Abstract Background: Artificial intelligence (AI) has rapidly transformed orthopedic research, driving innovation in imaging, diagnostics, outcome prediction, and surgical planning. However, a comprehensive overview of AI's evolution in orthopedics—particularly following the emergence of large language models (LLMs)—remains limited. This study aimed to map the growth and thematic trends of AI-related orthopedic publications over the past decade. Methods: A bibliometric analysis was performed using the PubMed database for the period 2015–2025. The search query combined AI-related terms (“artificial intelligence,” “machine learning,” “deep learning,” “radiomics,” “chatgpt”) with orthopedic keywords (“orthopedics,” “fracture,” “arthroplasty,” “spine,” “joint,” “bone”). Records were exported as CSV files, merged using Python, and deduplicated by PMID. Analyses included annual publication trends, subfield distribution, keyword and journal frequencies, and identification of LLM-related publications. Results: More than 8,000 unique AI-in-orthopedics papers were identified. Publication output increased exponentially, with a compound annual growth rate (CAGR) of approximately 22%. The most active subfields were joint, bone, and fracture research.

Frequent keywords included machine learning, deep learning, and radiomics. No LLM-related publications were observed before 2022; since then, the number of studies referencing ChatGPT or generative AI has risen sharply. Conclusions: AI research in orthopedics has grown dramatically over the past decade, evolving from imaging-based machine learning to generative and language-based applications. This trend highlights a paradigm shift toward cognitive and semantic AI integration in orthopedic surgery, education, and patient care.

Keywords: Artificial Intelligence, Machine Learning, Orthopedics, Bibliometric Analysis, Deep Learning, Large Language Models, Chatgpt



Makale id= 84

Sözlü Sunum

ORCID ID: 0000-0002-2464-1975

| 241

Özofagus Kitesinin Nadir Nedeni: Ewing Sarkomu/pnet**Dr. Öğretim Üyesi Ali Karataş¹**¹Gazi Üniversitesi Tıp fakültesi Gastroenteroloji Bilim Dalı

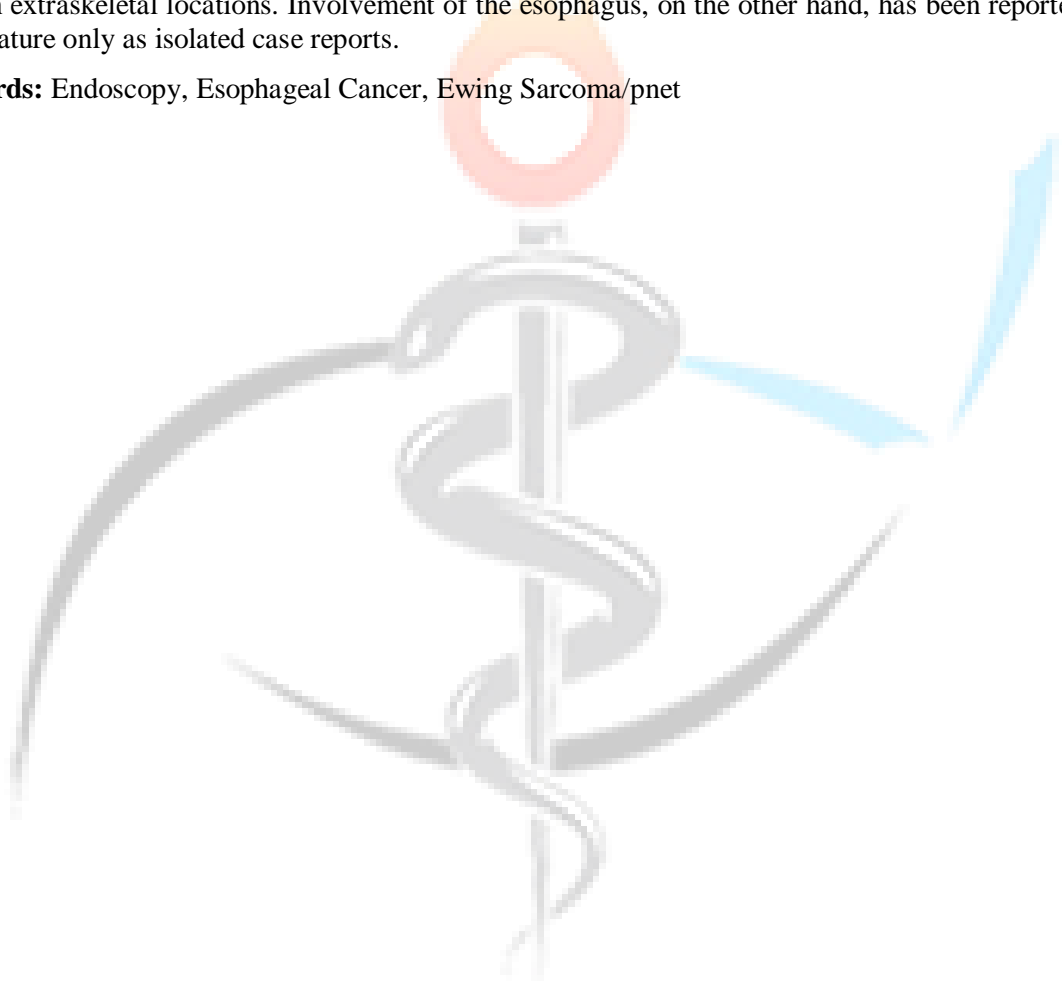
Özet: Olgu Hasta, 75 yaşında erkek olup disfaji yakınmasıyla başvurdu. Özofagus malignitesi ön tanısıyla gerçekleştirilen üst gastrointestinal endoskopide, özofagusun yaklaşık 20. cm düzeyinde, ortası “dev kaverna” görünümü sergileyen, kenarları nekrotik ülsero-vejetan karakterde ve yaklaşık 5 cm uzunluğunda kitle lezyonu saptandı. Patoloji (Endoskopik Biyopsi) • Moleküler: FISH ile EWSR1 gen rearranjmanı “break-apart” pozitif • İmmünohistokimya (seçilmiş): o Vimentin pozitif o Sinaptofizin zayıf pozitif; Kromogranin, CD56 negatif o Sitokeratinler (pankeratin, CK8/18, CK5/6, CK7), TTF-1 negatif o LCA, CD99 negatif (not) o Ki-67 \approx %95 • Tanı: Ewing Sarkomu / Primitif Nöroektodermal Tümör (PNET), özofagus alt uç biyopsisi PET-BT (18F-FDG) Bulguları • Primer odak: Torakal özofagus distal 1/2 (T5–T8 düzeyi), düzensiz sınırlı konsantrik duvar kalınlaşması; SUVmaks \sim 14.3 • Lenf nodu: Sağ üst paratrakeal, \sim 2.5 cm, kistik-nekrotik; SUVmaks \sim 4.7 • Paraözofagial küçük nodlar: Patolojik FDG tutulumu yok • Eşlik eden bulgular: Hiatal herni; karaciğer S8’de \sim 5.5 \times 4 cm hipodens, hipometabolik lezyon (klinik-radyolojik korelasyon önerilir); sol böbrekte \sim 3 cm kortikal kist (FDG tutulum yok). • Uzak tutulum: Değerlendirilen diğer bölgelerde belirgin patolojik FDG tutulumu saptanmadı. Tartışma • Endoskopide perforasyon riski olan geniş, ülseratif-vejetan kitle; histopatolojide EWSR1 rearranjmanı ile doğrulanan Ewing/PNET tanısı dikkat çekicidir. • PET-BT, primer özofagus lezyonunda yüksek metabolik aktiviteyi ve sağ üst paratrakeal lenf nodunda artmış FDG tutulumunu göstermiş; uzakta belirgin metastatik tutulum saptanmamıştır. Karaciğer S8’deki lezyon hipometabolik olup malignite açısından şüpheli değildir; korelasyon ve izlem/karar gerektirir. • Özofagus skuamöz hücreli karsinom, küçük hücreli tümörler, metastazlar, GIST/diğer mezenkimal tümörler. (Bu olguda keratin paneli ve TTF-1 negatifliği; vimentin pozitifliği ve EWSR1 rearranjmanı Ewing/PNET lehinedir. Ewing sarkomu (ES) ve periferik PNET çoğunlukla iskelet kaynaklı tümörler olmakla birlikte, olguların %20–30’unda ekstraskeletal yerleşim gösterebilir; özofagus tutulumu ise literatürde yalnızca seyrek olgu bildirimleri düzeyindedir

Anahtar Kelimeler: Endoskopi, Özofagus Kanseri, Ewing Sarkom/pnet**Esophageal Mass With a Rare Etiology: Ewing Sarcoma/pnet**

Abstract: Case A 75-year-old man presented with dysphagia. Upper gastrointestinal endoscopy performed with a preliminary diagnosis of esophageal malignancy revealed, at approximately the 20-cm level of the esophagus, an ulcero-vegetative mass measuring about 5 cm in length, with necrotic margins and a central “giant cavity” appearance. Pathology (Endoscopic Biopsy) Molecular: EWSR1 gene rearrangement positive by FISH (break-apart). Immunohistochemistry (selected): Vimentin: positive Synaptophysin: weakly positive; chromogranin and CD56: negative Cytokeratins (pan-keratin, CK8/18, CK5/6, CK7) and TTF-1: negative LCA (CD45) and CD99: negative (note) Ki-67 \approx 95% Diagnosis: Ewing sarcoma / Primitive neuroectodermal tumor (PNET) (distal esophageal biopsy). PET–CT (18F-FDG) Findings Primary focus: Distal half of the thoracic esophagus (T5–T8 level) with

irregular, concentric wall thickening; SUV_{max} ~14.3. Lymph node: Right upper paratracheal node, ~2.5 cm, cystic-necrotic; SUV_{max} ~4.7. Paraesophageal small nodes: No pathological FDG uptake. Associated findings: Hiatal hernia; a hypodense, hypometabolic lesion in liver segment 8 (~5.5 × 4 cm)—clinical–radiologic correlation advised; a ~3 cm cortical cyst in the left kidney (no FDG uptake). Distant disease: No definite pathological FDG uptake elsewhere. Discussion Endoscopy demonstrated a broad ulcero-vegetative mass with a high perforation risk; histopathology confirmed Ewing/PNET with EWSR1 rearrangement, which is diagnostically compelling. PET–CT showed high metabolic activity in the primary esophageal lesion and increased FDG uptake in a right upper paratracheal lymph node, with no definite distant metastases. The segment-8 liver lesion was hypometabolic, arguing against malignancy, but warrants correlation and follow-up. Differential diagnosis includes esophageal squamous cell carcinoma, small-cell/neuroendocrine tumors, metastases, and GIST/other mesenchymal tumors. In this case, the negative keratin panel and TTF-1, vimentin positivity, and EWSR1 rearrangement favor Ewing/PNET. Ewing sarcoma (ES) and peripheral PNET are tumors that predominantly originate from the skeletal system; however, in approximately 20–30% of cases, they can occur in extraskelatal locations. Involvement of the esophagus, on the other hand, has been reported in the literature only as isolated case reports.

Keywords: Endoscopy, Esophageal Cancer, Ewing Sarcoma/pnet



Makale id= 62

Sözlü Sunum

ORCID ID: 0000-0002-8741-3160

| 243

Pakikoroid Pigment Epitelyopati ve Santral Seröz Koryoretinopati Hastalarında Sistemik İnflamatuvar Belirteçlerin Değerlendirilmesi

Uzman Dr. Doğukan Cömerter¹

¹Sultan Abdülhamid Han Eğitim ve Araştırma Hastanesi

Özet: Amaç: Koroidal inflamasyonun, sistemik inflamatuvar yanıtla ilişkili olduğu ve santral seröz koryoretinopati (SSKR) gelişiminde etkili olabileceği düşünülmektedir. Bu çalışmada, pakikoroid pigment epitelyopati (PPE) ve kronik SSKR hastalarında sistemik inflamatuvar belirteçlerin değerlendirilmesi ve bu parametrelerin hastalıkla ilişkilerinin araştırılması amaçlanmıştır. Yöntem: Retina polikliniğinde takip edilen 16 PPE ve 20 kronik SSKR hastası ile yaş ve cinsiyet açısından benzer 20 sağlıklı birey çalışma kapsamına alınmıştır. Tüm bireylerde subfoveal koroid kalınlığı (SFCT) ölçülmüş, kan örneklerinden elde edilen fibrinojen, albümin, CRP, nötrofil, monosit, lenfosit, trombosit değerlerinden sistemik inflamasyon indeksleri [Sİİ (Sistemik İmmün-İnflamasyon İndeksi), SİRİ (Sistemik İnflamatuvar Yanıt İndeksi) ve FAR (Fibrinojen/Albümin Oranı)] hesaplanmıştır. Demografik ve klinik veriler de (yaş, cinsiyet, komorbiditeler, sigara ve kortizol kullanımı) analiz edilmiştir. Bulgular: SFCT değerleri PPE ve SSKR gruplarında sağlıklı kontrollerle karşılaştırıldığında anlamlı şekilde yüksekti ($p=0,0001$). Sİİ, SSKR grubunda anlamlı düzeyde yüksek saptandı. ($p=0,039$). SİRİ ve FAR değerleri arasında istatistiksel olarak anlamlı fark saptanmasa da ($p=0,25$ ve $p=0,18$), ROC analizlerinde bu parametrelerin orta düzeyde ayırt edici olduğu görüldü (FAR için $AUC=0,736$; Sİİ için $AUC=0,722$). Ayrıca SSKR subgrubunda FAR gruplarına göre Fibrinojen, Monosit, Lenfosit ve CRP değerleri farklılıkları istatistiksel olarak anlamlı bulunmuştur (p

Anahtar Kelimeler: Santral Seröz Koryoretinopati, Pakikoroid Pigment Epitelyopati, Sistemik İnflamatuvar Belirteçler, Koroid Kalınlığı, Sistemik İnflamasyon İndeksleri

Makale id= 107

Sözlü Sunum

ORCID ID: 0009-0009-2369-992X, 0000-0003-1170-6036

| 244

Patolojide Anatominin Rolü Yeterince Fark Edilmiyor: Klinik Dönem Tıp Öğrencilerinde Kesitsel Bir Anket Çalışması

Arş.Gör.Dr. İsmet Benli¹, Doç.Dr. Sinan Bakırcı¹
¹İzmir Katip Çelebi Üniversitesi

*Corresponding author: İsmet Benli

Özet: Giriş Öğrencilerin anatomiye cerrahi ve radyolojiyle ilişkilendirmesi beklenen ve sorun olmayan bir durumdur. Bizim odağımız, patolojideki makroskopik (gross) boyutun ve patoloji içinde gerekli olan anatomik bilginin görünürlüğünün daha düşük olup olmadığı; bunun sonucunda öğrencilerin anatominin patoloji için gerekliliğini diğer disiplinlere kıyasla olduğundan düşük değerlendirmesidir. Rutin cerrahi patolojide raporlama genellikle makroskopik inceleme ve örneğin anatomik olarak yönlendirilmesiyle başlar; örneğin bir tiroidektomi raporunda lob/istmus boyutları, lezyonun konumu (ör. sol lob üst pol) ve temel cerrahi sınırlara uzaklıklar (ör. istmus, posterior kapsül, üst sınır) kaydedilir ve bunlar mikroskopi için hedefli örneklemeyi yönlendirir. Yöntem Yıl 4–6 tıp öğrencileri arasında anonim, kesitsel bir Google Forms anketi. Maddeler; anatominin patoloji, cerrahi, radyoloji, dahili branşlar ve adli tıp için önemine ilişkin 5’li Likert derecelendirmelerini; patolojik bir süreci anlamada kavramsal başlangıç noktasını (makroskopi vs mikroskopi vs eşit/kararsız); ve patoloji eğitimi sonrasında makroskopi hakkındaki görüş değişimini sorgulayan bir değerlendirmeyi içerdi. Bulgular Patoloji: önemli/çok önemli %23,3 (çok önemli %8,2; önemli %15,1); az/hiç önemli değil %37,0 (az %32,9; hiç %4,1). Cerrahi: önemli/çok önemli %95,8 (çok %76,4; önemli %19,4). Radyoloji: %82,2 (çok %52,1; önemli %30,1). Dahili branşlar: %38,4 (çok %5,5; önemli %32,9). Adli tıp: %71,2 (çok %39,7; önemli %31,5). Başlangıç noktası: mikroskopi %45,2, makroskopi %19,2, her ikisi eşit %32,9, fikrim yok %2,7. Patoloji eğitimi sonrasında %23,3 makroskopinin önemini yeni fark ettiğini belirtirken, %39,7 patolojinin öncelikle mikroskobik bir alan olduğu görüşünü sürdürdü. Sonuç Anatomi, cerrahi ve radyoloji için elzem olarak algılanırken, patoloji için—özellikle makroskopik bileşeni açısından—yeterince fark edilmemektedir. Makroskopiye görünür kılan açık öğrenim hedefleri (ör. anatomik yönelimi örneklemeye bağlayan yapılandırılmış gross raporlama/kontrol listesi egzersizleri) algıların dengelenmesine ve gerçek yaşam patoloji pratiğine daha iyi hazırlığa katkı sağlayabilir.

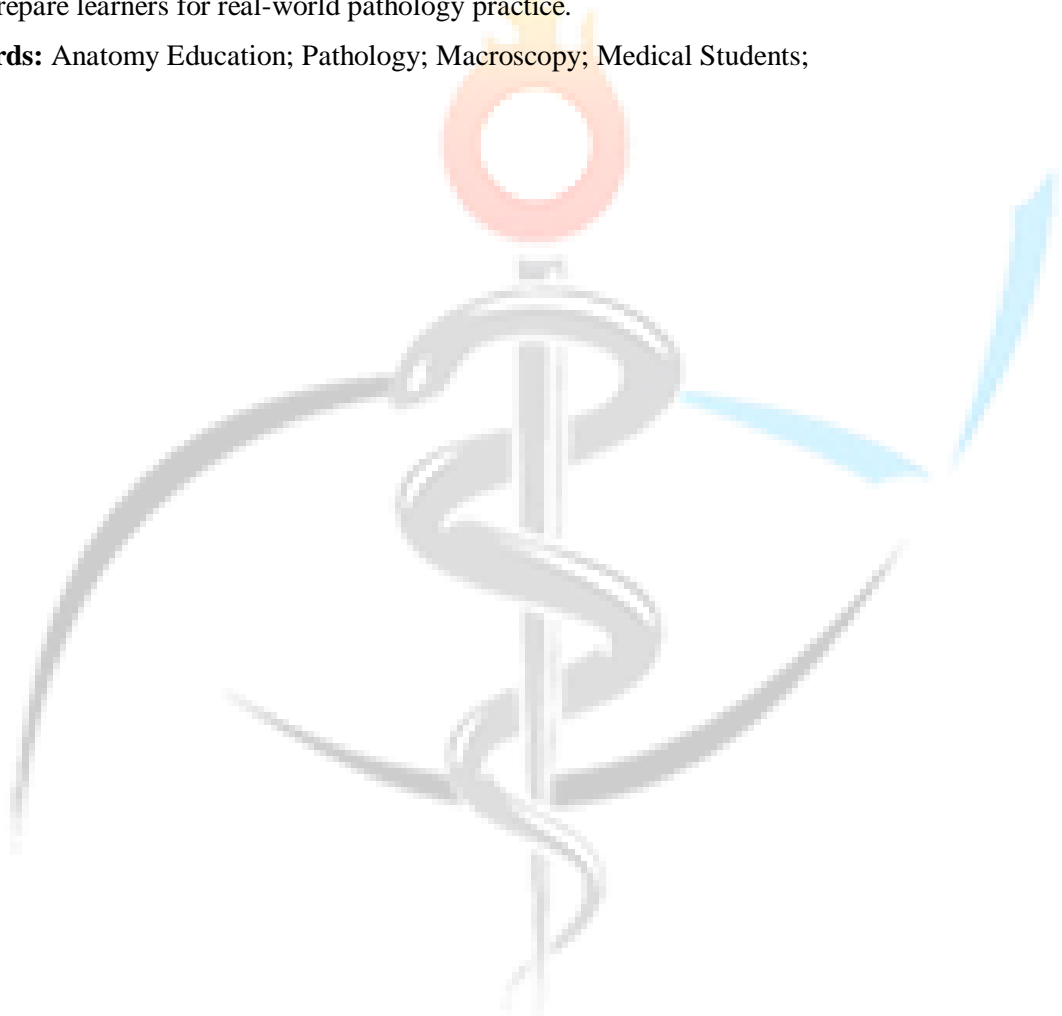
Anahtar Kelimeler: Anatomi Eğitimi; Patoloji; Makroskopi; Tıp Öğrencileri;

Anatomy’s Role in Pathology Is Under-recognized: A Cross-sectional Survey Study of Clinical-phase Medical Students

Abstract: Background Students’ association of anatomy with surgery and radiology is expected and not problematic. Our focus is whether the macroscopic (gross) dimension of pathology—and the need for anatomical knowledge within pathology—has lower visibility, leading students to underrate anatomy for pathology compared with other disciplines. In routine surgical pathology, reporting generally begins with gross examination and specimen orientation; for example, a thyroidectomy report documents lobe/isthmus dimensions, lesion location (e.g., left lobe upper pole), and distances to key margins (e.g., isthmus, posterior capsule, superior margin) that guide targeted sampling for microscopy. Methods Anonymous, cross-sectional Google Forms survey of Year 4–6 medical students. Items included 5-point

Likert ratings of anatomy's importance for pathology, surgery, radiology, internal medicine, and forensic medicine; a question on the conceptual starting point for understanding a pathological process (macroscopy vs microscopy vs equal/unsure); and a post-teaching reflection on whether pathology teaching changed views about macroscopy. Results Pathology: 23.3% important/very important (very 8.2%; important 15.1%); 37.0% slightly/not important (slightly 32.9%; not 4.1%). Surgery: 95.8% important/very important (very 76.4%; important 19.4%). Radiology: 82.2% (very 52.1%; important 30.1%). Internal medicine: 38.4% (very 5.5%; important 32.9%). Forensic medicine: 71.2% (very 39.7%; important 31.5%). Starting point: microscopy 45.2%, macroscopy 19.2%, both equally 32.9%, unsure 2.7%. After pathology teaching, 23.3% newly recognized the importance of macroscopy, while 39.7% retained the view that pathology is primarily microscopic. Conclusions Anatomy is perceived as essential for surgery and radiology but under-recognized for pathology—particularly its macroscopic component. Making macroscopy visible through explicit learning objectives (e.g., structured gross reporting/checklist exercises linking anatomical orientation to sampling) may rebalance perceptions and better prepare learners for real-world pathology practice.

Keywords: Anatomy Education; Pathology; Macroscopy; Medical Students;



Makale id= 157

Sözlü Sunum

ORCID ID: 0000-0002-7973-2719

| 246

Pedriatrik Adenotonsiller Cerrahide Koblatör Plazma ve Bipolar Diseksiyon Yöntemlerin Karşılaştırılması

Doç.Dr. Duygu Erdem¹

¹Zonguldak Bülent Ecevit Üniversitesi Tıp Fakültesi

Özet: Amaç: Adenotonsiller cerrahiler kulak burun boğaz pratiğinde çocukluk yaş grubunda en sık uygulanan ameliyatlardan biridir. Ameliyat sonrası bulantı-kusma, oral alım bozukluğu, ağrı ve kanama gibi ciddi komplikasyonlar görülebilmektedir. Bu nedenle pedriatrik adenotonsiller cerrahide zaman içerisinde çok sayıda teknik gelişmiştir. Bu çalışmada koblatör plazma ve bipolar diseksiyon yöntemleri ile adenotonsiller cerrahi geçiren çocuk hastalarda ameliyat sonrası ağrı ve kanama komplikasyonlarını karşılaştırmak amaçlanmaktadır. Materyal-Metot: Bu retrospektif çalışmaya Ekim 2024-Ekim 2025 tarihleri arasında yaşları 2 ile 14 arası değişen “koblatör plazma yöntemi” ve “bipolar diseksiyon yöntemi” ile opere edilen toplam 219 çocuk hasta dahil edildi. Gruplar arasında ameliyat sonrası oral alım bozukluğu ve kanama gibi ciddi komplikasyonlar ve ağrı skorları karşılaştırıldı. Bulgular: Koblatör plazma grubunda 116, bipolar diseksiyon grubunda ise 103 hasta mevcuttu. Gruplar arasında yaş ve cinsiyet açısından istatistiksel olarak anlamlı fark saptanmadı. Ameliyat sonrası vizüel analog skala (VAS) ile yapılan ağrı skorları, koblatör plazma grubunda istatistiksel olarak anlamlı derecede düşük saptandı (p

Anahtar Kelimeler: Adenotonsiller Cerrahi, Kanama, Koblatör Plazma, Bipolar Diseksiyon

Comparison of Coblator Plasma and Bipolar Dissection Methods in Pediatric Adenotonsillar Surgery

Abstract: Objective: Adenotonsillar surgeries are among the most frequently performed procedures in pediatric otolaryngology practice. Serious complications such as postoperative nausea and vomiting, impaired oral intake, pain, and bleeding can occur. Therefore, numerous techniques have evolved in pediatric adenotonsillar surgery. This study aims to compare postoperative pain and bleeding complications in pediatric patients undergoing adenotonsillar surgery using Coblator plasma and bipolar dissection. Materials-Methods: This retrospective study included 219 pediatric patients aged 2 to 14 years who underwent surgery using the Coblator plasma and bipolar dissection techniques between October 2024 and October 2025. Postoperative serious complications, such as impaired oral intake, bleeding, and pain scores, were compared between the groups. Results: There were 116 patients in the Coblator plasma group and 103 patients in the bipolar dissection group. No statistically significant differences were found between the groups in terms of age and gender. Postoperative visual analog scale (VAS) pain scores were statistically significantly lower in the Coblator plasma group (p

Keywords: Adenotonsillar Surgery, Bleeding, Coblator Plasma, Bipolar Dissection

Makale id= 104

Sözlü Sunum

ORCID ID: 0000-0003-4820-1234

| 247

Pediyatrik Migren Hastalarında Nötrofil/lenfosit Sayısı Oranı (Nlr), Trombosit/lenfosit Sayısı Oranı (Plr) ve Sistemik İmmün-İnflamasyon İndeksi (Siii)'nin Değerlendirilmesi

Doç.Dr. Fatih Mehmet Akif Özdemir¹, Uzman Dr. Nadire Şahin Özçelik¹, Doç.Dr. Mesut Güngör¹

¹Selçuk Üniversitesi Tıp Fakültesi Hastanesi, Çocuk Nöroloji Kliniği

*Corresponding author: Fatih Mehmet Akif Özdemir

Özet: Amaç: Migren hastalarında NLR (nötrofil/lenfosit oranı), PLR (trombosit/lenfosit oranı) ve SIII (sistemik immün-inflamasyon indeksi)'nin atak sıklığı ve süreleriyle ilişkisinin değerlendirilmesi amaçlandı. Yöntem: Selçuk Üniversitesi Tıp Fakültesi çocuk nöroloji kliniğinde Ekim 2024-Eylül 2025 arasında migren tanısıyla takipli çocuklar retrospektif incelendi. NLR, PLR, SIII, atak sıklığı, atak süreleri değerlendirildi. SIII; trombositXnötrofil/lenfosit sayısı formülüyle hesaplandı. Veriler SPSS'le analiz edildi. Normal dağılıma uygunluk Shapiro-Wilk testiyle incelendi. İkili gruplara göre normal dağılım göstermeyen verilerin karşılaştırılmasında Mann Whitney U testi kullanıldı. >3 üzeri gruplara göre normal dağılım göstermeyen verilerin karşılaştırılmasında Kruskal Wallis H testi kullanıldı. Bağımsız faktörlerin uzun atığa etkilerinin incelenmesinde binary lojistik regresyon analizi kullanıldı. Nicel değişkenlerin gösteriminde ortalama+standart sapma, ortanca (minimum-maksimum) kullanıldı. Kategorik değişkenlerin gösteriminde frekans (yüzde) kullanıldı. Önem düzeyi p3) atak görülürken, % 44.4'ünde atak süresi 2-6 saat arasındaydı. NLR ortancası 1.9 (0.7-10.5), PLR ortancası 139.1 (61.5-431.6), SIII ortancası 615.3 (217-2825.4) saptandı. Atak sürelerine göre NLR, PLR, SIII ortanca değerleri arasında anlamlı fark bulunmamıştır (p değerleri; 0.4, 0.17, 0.31). NLR, PLR, SIII'nin atak süresinin uzun (>6 saat) olmasına etkisi binary lojistik regresyon analizinde univariate olarak incelendiğinde anlamlı etki bulunmamıştır (p değerleri; 0.92, 0.22, 0.52). Sonuç: Pediyatrik migren hastalarında NLR, PLR, SIII parametrelerinin uzun veya sık atığı öngörmede değeri saptanamamıştır.

Anahtar Kelimeler: Migren, Çocuk, Nötrofil/lenfosit Oranı, Trombosit/lenfosit Oranı, Sistemik İmmün-Inflamasyon İndeksi

Evaluation of Neutrophil/lymphocyte Count Ratio (Nlr), Platelet/lymphocyte Count Ratio (Plr), and Systemic Immuno-Inflammation Index (Siii) in Pediatric Migraine Patients

Abstract: Aim: To evaluate the relationship between NLR (neutrophil/lymphocyte ratio), PLR (platelet/lymphocyte ratio), SIII (systemic immune-inflammation index) and attack frequency and duration in migraine patients. Method: Children diagnosed with migraine who were followed at the Selçuk University Faculty of Medicine Pediatric Neurology Clinic between October 2024-September 2025 were retrospectively analyzed. NLR, PLR, SIII, attack frequency, attack duration were evaluated. SIII was calculated using the plateletXneutrophil/lymphocyte count formula. Data were analyzed using SPSS. Compliance with normal distribution was examined using the Shapiro-Wilk test. The Mann Whitney U test was used to compare data not normally distributed according to binary groups. The Kruskal Wallis H test was used to compare data not normally distributed according to groups >3. Binary logistic regression analysis was used to examine the effects of independent factors on long attacks. Mean+standard deviation and median (minimum-maximum) were used to represent quantitative

variables. Frequency (percentage) was used to represent categorical variables. The significance level was set at $p < 0.05$ per month) were observed in 91.7% of patients, while 44.4% had attack durations between 2 and 6 hours. The median NLR was 1.9 (0.7–10.5), the median PLR was 139.1 (61.5–431.6), and the median SII was 615.3 (217–2825.4). No significant differences were found between the median NLR, PLR, SII values according to attack duration (p values: 0.4, 0.17, 0.31). When the effect of NLR, PLR, and SII on long attack duration (>6 hours) was examined as a univariate in binary logistic regression analysis, no significant effect was found (p : 0.92, 0.22, 0.52). Conclusion: The value of NLR, PLR, SII parameters in predicting long or frequent attacks in pediatric migraine patients has not been determined.

Keywords: Migraine, Child, Neutrophil/lymphocyte Ratio, Platelet/lymphocyte Ratio, Systemic Immune-Inflammation Index



Makale id= 76

Sözlü Sunum

ORCID ID: 0000-0002-5777-6147

| 249

Pedriatrik Serebral Kavernöz Malformasyonlarda Radyolojik Özellikler ve Lezyon Dağılımı

Uzman Şükriye Yılmaz¹, Doç.Dr. Berna Uçan¹
¹Etlik Şehir Hastanesi

*Corresponding author: Şükriye Yılmaz

Özet: Amaç: Serebral kavernöz malformasyonlar (SKM), Uluslararası Vasküler Anomaliler Çalışma Topluluğu (ISSVA) sistemine göre yavaş akışlı venöz malformasyonlar olarak sınıflandırılan neoplazik olmayan vasküler lezyonlardır. Sıklıkla tesadüfen saptanır; ancak pedriatrik popülasyonda da nispeten yaygındır. Ailevi vakalarda genellikle birden fazla lezyon bulunur. En sık gözlenen klinik bulgular nöbetler ve hemoraji ile ilişkili semptomlardır. Bu çalışma, SKM'li pedriatrik hastalarda lezyon dağılımını, ilişkili görüntüleme özelliklerini ve ek radyolojik bulguları sistematik olarak tanımlamayı amaçlamaktadır. Yöntem : Ocak 2023 ile Ocak 2025 tarihleri arasında, 0–18 yaş aralığında, radyolojik olarak SKM tanısı alan ve birimimizde takip edilen 30 hasta (14 erkek, 16 kız; ortalama yaş, 10,3 yıl) çalışmaya dahil edildi. Tanı anındaki klinik bilgiler, lezyon morfolojisi, lokalizasyon, gelişimsel venöz malformasyon birlikteliği ve Zabramski sınıflaması incelendi ve retrospektif olarak değerlendirildi. Bulgular: Klinik bulgular arasında 9 hastada nöbet (%30) ve 15 hastada baş ağrısı (%50) yer almaktaydı. Lezyonların en sık lokalizasyonu frontal lob (n = 11) ve parietal lob (n = 5) olarak saptandı. 3 hastada (%10) ailesel geçiş gözlemlendi ve bu hastalarda çoklu lezyonlar mevcuttu. 11 hastada (%36) eşlik eden gelişimsel venöz anomali izlendi. Zabramski sınıflamasına göre, 17 hasta (%56) tip II, 7 hasta (%23) tip I, 3 hasta (%10) tip III ve ailesel geçiş saptanan 3 hasta (%10) tip IV olarak tespit edildi. Sonuç: Pedriatrik popülasyonda SKM, sıklıkla özgül olmayan klinik bulgularla tesadüfen saptanabilmektedir. Çalışmamızda en sık tutulum bölgeleri frontal ve parietal loblar bulunmuş olup Zabramski sınıflamasına göre en yaygın tip ise tip II olarak tespit edilmiştir. Bulgularımız literatür ile benzerdir. Gelişimsel venöz anomalilerin sık birlikteliği, ilişkili vasküler malformasyonların dikkatli değerlendirilmesinin önemini vurgulamaktadır. Lezyon tipi, dağılımı ve eşlik eden vasküler yapıların kapsamlı şekilde değerlendirilmesi; doğru tanı, uygun izlem ve genetik danışmanlık açısından büyük önem taşımaktadır.

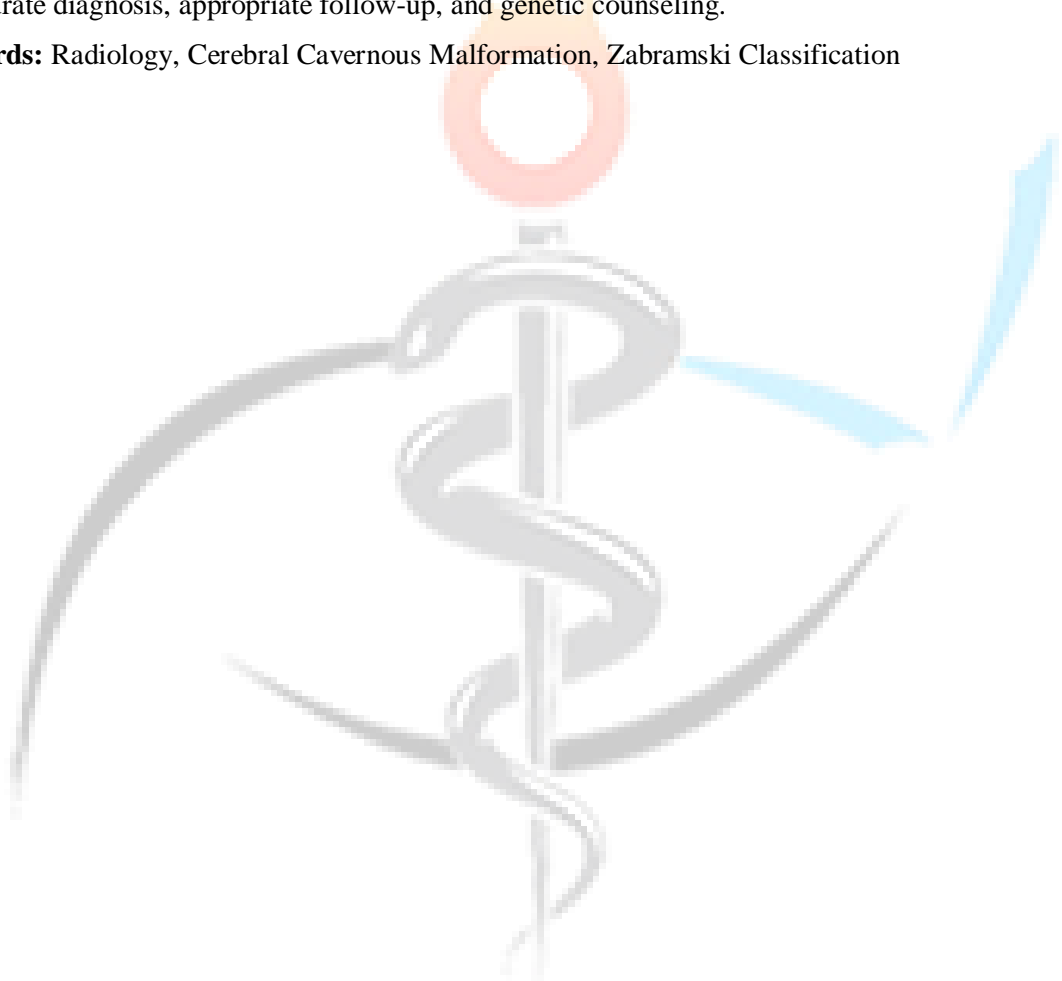
Anahtar Kelimeler: Radyoloji, Serebral Kavernöz Malformasyon, Zabramski Sınıflaması

Radiological Characteristics and Lesion Distribution of Cerebral Cavernous Malformations in Pediatric Patients

Abstract: Objective: Cerebral cavernous malformations (CCMs) are non-neoplastic vascular lesions classified as slow-flow venous malformations according to the International Society for the Study of Vascular Anomalies (ISSVA) system. They are frequently detected incidentally; however, they are also relatively common in the pediatric population. In familial cases, multiple lesions are typically observed. The most common clinical manifestations include seizures and symptoms related to hemorrhage. This study aims to systematically characterize the lesion distribution, associated imaging features, and additional radiological findings in pediatric patients with CCM. Methods: Between January 2023 and January 2025, a total of 30 patients (14 males, 16 females; mean age, 10.3 years) aged 0–18 years who were radiologically diagnosed with CCM and followed up in our department were included in the study.

Clinical data at the time of diagnosis, lesion morphology, localization, coexistence of developmental venous malformations, and Zabramski classification were analyzed and retrospectively evaluated. Results: Among the clinical findings, seizures were observed in 9 patients (30%), and headache in 15 patients (50%). The most common lesion localizations were the frontal lobe (n = 11) and parietal lobe (n = 5). Familial inheritance was identified in 3 patients (10%), all of whom exhibited multiple lesions. Developmental venous anomalies were detected in 11 patients (36%). According to the Zabramski classification, 17 patients (56%) were classified as Type II, 7 patients (23%) as Type I, 3 patients (10%) as Type III, and 3 patients (10%) with familial inheritance as Type IV. Conclusion: In the pediatric population, CCMs are frequently detected incidentally, often presenting with nonspecific clinical findings. In our study, the most commonly affected regions were the frontal and parietal lobes, and according to the Zabramski classification, Type II was identified as the most prevalent subtype. Our findings are consistent with the existing literature. The frequent coexistence of developmental venous anomalies underscores the importance of carefully assessing associated vascular malformations. A comprehensive evaluation of lesion type, distribution, and accompanying vascular structures is crucial for accurate diagnosis, appropriate follow-up, and genetic counseling.

Keywords: Radiology, Cerebral Cavernous Malformation, Zabramski Classification



Makale id= 13

Sözlü Sunum

ORCID ID: 0000-0002-5176-1040

| 251

Pediyatrik Yoğun Bakımda Kurtarıcı Tedavi Olarak İntrevenöz Lipid Emülsiyonu

Dr. Fevzi Kahveci¹, Doç.Dr. Emrah Gün²

¹Harran Üniversitesi Tıp Fakültesi

²Ankara Etlik Şehir Hastanesi

*Corresponding author: Fevzi Kahveci

Özet: Giriş: İntrevenöz lipid emülsiyonu (İLET), başlangıçta lokal anestetik toksisitesinin tedavisi için geliştirilmiş, son yıllarda ise lipofilik ilaç zehirlenmelerinde kurtarıcı bir seçenek olarak gündeme gelmiştir. Pediyatrik yoğun bakım pratiğinde özellikle standart tedavilere yanıtız refrakter kardiyovasküler kollaps olgularında kullanımı giderek artmaktadır. Amaç: Bu çalışmada yoğun bakıma toksik doz ilaç alımı nedeniyle yatırılan ve İLET uygulanan beş pediyatrik olgunun klinik özellikleri ve tedavi yanıtları literatür eşliğinde sunulmuştur. Yöntem ve Bulgular: Beş hastanın medyan yaşı 144 ay (24–192), medyan vücut ağırlığı 55 kg (12–70) idi. PRISM skoru medyan 9 (1–33), PELOD skoru 10 (10–21) bulundu. Başvuruda Glasgow Koma Skoru 14 (7–15), kalp hızı 91/dk (33–145) ve VIS skoru 0 (0–110) idi. Yoğun bakım yatış süresi medyan 2 gün (1,5–8) olarak saptandı. İLET uygulaması sonrası hemodinamik parametrelerde belirgin düzelme izlendi; sistolik kan basıncı 80 mmHg'den (75–120) 105 mmHg'ye (90–110), diyastolik kan basıncı 50 mmHg'den (40–80) 70 mmHg'ye (50–75) yükseldi, laktat düzeyi ise 1,65 mmol/L'den (1,0–2,0) 1,10 mmol/L'ye (1,0–1,5) geriledi. Diğer laboratuvar parametrelerinde anlamlı değişiklik gözlenmedi. Tartışma: Literatürde özellikle kalsiyum kanal blokleri, trisiklik antidepresan, antipsikotik ve SSRI zehirlenmelerinde İLET'in başarılı sonuçlar verdiği rapor edilmiştir. Bizim serimizde de tedavi sonrası hemodinamik stabilizasyon ve metabolik düzelme sağlanmıştır. Sonuç: İLET, pediyatrik ilaç zehirlenmelerinde standart tedaviye yanıtız kardiyovasküler instabilite gelişen olgularda güvenle uygulanabilecek, yaşam kurtarıcı bir seçenek olarak öne çıkmaktadır. Bununla birlikte, daha geniş hasta serilerine dayalı prospektif çalışmalara ihtiyaç vardır.

Anahtar Kelimeler: İntrevenöz Lipid Emülsiyonu, İlaç Zehirlenmesi, Pediyatrik Yoğun Bakım, Kardiyovasküler Kollaps, Kurtarıcı Tedavi.

Intravenous Lipid Emulsion As a Rescue Therapy in Pediatric Intensive Care

Abstract: Introduction: Intravenous lipid emulsion (ILE) therapy was initially developed for the treatment of local anesthetic systemic toxicity. In recent years, it has gained attention as a potential rescue option in lipophilic drug poisonings. In pediatric intensive care practice, its use has been increasingly reported, particularly in cases of refractory cardiovascular collapse unresponsive to conventional therapies. Objective: To present the clinical characteristics and therapeutic responses of five pediatric patients admitted to the intensive care unit (ICU) for toxic drug ingestion and treated with ILE, discussed in the context of current literature. Methods and Results: Five patients were included. The median age was 144 months (24–192), and the median body weight was 55 kg (12–70). The median PRISM score was 9 (1–33) and PELOD score 10 (10–21). At admission, the median Glasgow Coma Scale was 14 (7–15), heart rate 91/min (33–145), and vasoactive-inotropic score (VIS) 0 (0–110). The median ICU length of stay was 2 days (1.5–8). Following ILE administration, hemodynamic parameters improved markedly: systolic blood pressure increased from 80 mmHg (75–120) to 105 mmHg (90–

110), diastolic blood pressure from 50 mmHg (40–80) to 70 mmHg (50–75), while lactate levels decreased from 1.65 mmol/L (1.0–2.0) to 1.10 mmol/L (1.0–1.5). Other laboratory parameters, including hemoglobin, platelets, liver and renal function tests, showed no significant change. Discussion: Recent pediatric reports have highlighted the successful use of ILE in poisonings involving calcium channel blockers, tricyclic antidepressants, antipsychotics, and SSRIs. In our series, ILE administration was associated with rapid hemodynamic stabilization and metabolic improvement, consistent with the literature. Conclusion: ILE appears to be a safe and life-saving therapeutic option in pediatric drug poisonings complicated by cardiovascular instability unresponsive to standard therapies. However, larger prospective pediatric studies are warranted to establish optimal dosing strategies, timing, and safety profiles.

Keywords: Intravenous Lipid Emulsion, Drug Poisoning, Pediatric Intensive Care, Cardiovascular Collapse, Rescue Therapy.



Makale id= 30**Sözlü Sunum**

ORCID ID: 0000-0003-1417-3175

| 253

Peritoneal Metastazlarda Sitoredüktif Cerrahi ve Hipec: Güncel Kanıtlar ve Tartışılabilir Alanlar**Uzman Dr. Turan Eray Seven¹**¹SBÜ Sincan Eğitim ve Araştırma Hastanesi

Özet: Amaç: Peritoneal metastazlar (PM), birçok solid tümörde prognozu olumsuz etkileyen ileri evre yayılım biçimidir. Sitoredüktif cerrahi (Cytoreductive Surgery, CRS) ve hipertermik intraperitoneal kemoterapi (Hyperthermic Intraperitoneal Chemotherapy, HIPEC), lokal-bölgesel kontrol sağlayarak sağkalımı iyileştirmeyi hedefler. Bu çalışma, 2018–2025 arasında yayımlanan randomize kontrollü çalışmalar, konsensus bildirimleri ve meta-analizler ışığında CRS+HIPEC'in etkinliğini özetlemektedir. Bulgular: Kolorektal PM'de PRODIGE-7 çalışması, CRS'ye eklenen 30 dakikalık oksaliplatin-HIPEC'in OS'yi artırmadığını göstermiştir.1 CAIRO6 faz II çalışması, izole rezektü edilebilir olgularda perioperatif sistemik tedavinin uygulanabilir ve güvenli olduğunu ortaya koymuştur.2 Over kanserinde, interval sitoredüksiyon cerrahisine (Interval Debulking Surgery, IDS) eklenen cisplatin-HIPEC'in hem PFS hem de OS'de kalıcı üstünlüğü OVHIPEC-1'in ilk raporu ve 10 yıllık nihai analiziyle doğrulanmıştır.3,4 Mide kanserinde GASTRIPEC-I, OS farkı saptamazken PFS'de iyileşme bildirmiştir.5 Sonuç: CRS, PM yönetiminin bel kemiğidir. HIPEC'in ek yararı tümör tipine, ajan-süre-isi protokolüne ve hasta seçimine bağlıdır: over kanserinde güçlü kanıtlarla desteklenirken, kolorektal kanserde seçilmiş olgularda koşullu önerilir; mide kanserinde ise araştırma aşamasındadır.5,6,7

Anahtar Kelimeler: Sitoredüktif Cerrahi; Hipec; Peritoneal Metastaz; Kolorektal Kanseri; Over Kanseri

Cytoreductive Surgery and Hipec in Peritoneal Metastases: Current Evidence and Controversial Issues

Abstract: Objective: Peritoneal metastases (PM) represent an advanced disease stage associated with poor prognosis in many solid tumors. Cytoreductive surgery (CRS) combined with hyperthermic intraperitoneal chemotherapy (HIPEC) aims to improve survival by achieving locoregional control. This review summarizes the efficacy of CRS+HIPEC in light of randomized controlled trials, consensus statements, and meta-analyses published between 2018 and 2025. Results: In colorectal PM, the PRODIGE-7 trial showed no OS benefit with the addition of 30-minute oxaliplatin-HIPEC to CRS.1 The CAIRO6 phase II trial demonstrated feasibility and safety of perioperative systemic therapy in resectable cases.2 In ovarian cancer, cisplatin-HIPEC added during interval debulking surgery (IDS) improved both PFS and OS, as confirmed by the initial OVHIPEC-1 report and the final 10-year analysis.3,4 In gastric cancer, the GASTRIPEC-I trial showed no OS difference but improved PFS.5 Conclusion: CRS remains the cornerstone of PM management. The additional benefit of HIPEC depends on tumor type, protocol (drug, duration, temperature), and patient selection: strongly supported in ovarian cancer, conditionally recommended in selected colorectal cases, and still investigational in gastric cancer.5,6,7

Keywords: Cytoreductive Surgery; Hipec; Peritoneal Metastases; Colorectal Cancer; Ovarian Cancer

Makale id= 44

Sözlü Sunum

ORCID ID: 0000-0002-1841-0177

| 254

Pirfenidon Hipersensitivitesi ve Desensitizasyon: Bir Vaka Raporu

Uzman Dr. Selma Yeşilkaya¹, Dr. Esra Arslan Aksu²

¹Samsun Eğitim ve Araştırma Hastanesi, İmmunoloji ve Alerji Hastalıkları

² Samsun Üniversitesi, Göğüs Hastalıkları veTbc

Özet: Amaç İdiyopatik pulmoner fibrozis (İPF) tedavisinde kullanılan pirfenidon, hastalığın ilerlemesini yavaşlatan antifibrotik bir ajandır. Ancak nadiren immünolojik mekanizmalarla ilişkili hipersensitivite reaksiyonlarına yol açabilir. Bu çalışmada, pirfenidona bağlı erken tip hipersensitivite reaksiyonu gelişen bir hastada uygulanan başarılı desensitizasyon süreci sunulmuştur. Olgu Yetmiş yaşında erkek hasta, İPF tanısıyla pirfenidon tedavisine başlamış olup tedavinin 8. gününde yaygın ürtiker gelişmiştir. Semptomlar kortikosteroid ve antihistaminiklerle kontrol altına alınmıştır. Mutlak endikasyon nedeniyle pirfenidon tedavisinin devamı gerekli görülen hastaya, Bastias ve ark.'nın protokolü temel alınarak desensitizasyon uygulanmıştır. Beş seanslık protokol başarıyla tamamlanmış, hasta 5 aydır 2400 mg/gün pirfenidon tedavisini reaksiyon olmaksızın sürdürmektedir. Sonuç Pirfenidon hipersensitivitesi nadir görülen ancak klinik olarak önemli bir durumdur. Uygun protokollerle gerçekleştirilen desensitizasyon, tedaviye devam edilmesini mümkün kılarak hasta prognozunu olumlu etkileyebilir.

Anahtar Kelimeler: Pirfenidon, Desensitizasyon, İdiyopatik Pulmoner Fibrozis, Antifibrotik Tedavi

Pirfenidone Hypersensitivity and Desensitization: A Case Report

Abstract: Objective Pirfenidone, an antifibrotic agent used in the treatment of idiopathic pulmonary fibrosis (IPF), has been shown to slow disease progression. However, it may rarely cause hypersensitivity reactions mediated by immunological mechanisms. Here, we report a successful desensitization procedure in a patient who developed an immediate hypersensitivity reaction to pirfenidone. Case A 70-year-old male patient with IPF developed generalized urticaria on the 8th day of pirfenidone therapy. Symptoms were controlled with corticosteroids and antihistamines. Since continuation of pirfenidone was mandatory, desensitization was performed using the protocol described by Bastias et al. The five-session protocol was successfully completed, and the patient has been receiving 2400 mg/day pirfenidone for five months without adverse reactions. Conclusion Pirfenidone hypersensitivity is rare but clinically significant. Desensitization procedures performed with appropriate protocols allow continuation of treatment and may improve patient outcomes.

Keywords: Pirfenidone, Desensitization, İdiyopatik Pulmonary Fibrosis, Antifibrotic Therapy

Makale id= 4

Sözlü Sunum

ORCID ID: 0000-0002-6526-1821

| 255

Radyolojik Olarak Lenf Nodu Pozitif Mide Kanserinde Tanısal Laparoskopi Bulguları

Dr. Vural Argın¹

¹ Koşuyolu Yüksek İhtisas Eğitim ve Araştırma Hastanesi

Özet: Bu çalışmada, radyolojik olarak lenf nodu pozitif (N+) mide kanseri tanılı 50 hastanın klinikopatolojik özellikleri ve tanısal laparoskopi bulguları değerlendirilmiştir. Median yaş 57 (23–78) olup hastaların %56'sı erkek, %44'ü kadındır. Tümör lokalizasyonu en sık distal mide (%36) ve orta bölgede (%26) görülmüştür. Klinik T evresi dağılımında olguların %78'i T3–4 düzeyindedir. Biyopsi histolojisinde en sık taşlı yüzük hücreli karsinom (%48) ve az diferansiye adenokarsinom (%36) saptanmıştır. Peritoneal karsinomatoz indeksi (PCI) hastaların %64'ünde 0 iken, %26'sında PCI 8–15 aralığında bulunmuştur. Tanısal laparoskopide olguların %42'sinde makroskopik metastatik hastalık saptanmıştır. Bu hastaların %80'inde peritoneal, %9'unda karaciğer, %5'inde hem karaciğer hem peritoneal, %5'inde ise diğer metastazlar izlenmiştir. Sitolojik incelemede hastaların %44'ü pozitif, %46'sı negatif, %10'u ise şüpheli olarak rapor edilmiştir. Makroskopik metastaz olmaksızın pozitif sitoloji oranı %18,8'dir. Multivaryant lojistik regresyon analizinde, peritoneal hastalık ile yaş, cinsiyet, histolojik tip, klinik T ve N evresi arasında istatistiksel olarak anlamlı ilişki bulunmamıştır ($p>0,05$). Ancak taşlı yüzük hücreli histoloji (aOR 2,600) ve N1–3 evresi (aOR 2,469) peritoneal yayılım açısından göreceli risk artışı eğilimi göstermiştir. Bu veriler, radyolojik olarak N pozitif mide kanserli hastalarda tanısal laparoskopinin hem makroskopik hem mikroskopik peritoneal yayılımın tespitinde önemli olduğunu ve taşlı yüzük hücreli histolojinin peritoneal metastazla ilişkili olabileceğini düşündürmektedir.

Anahtar Kelimeler: Mide Kanseri; Tanısal Laparoskopi; Peritoneal Metastaz; Sitoloji; Taşlı Yüzük Hücreli Karsinom; Radyolojik N Pozitif; Peritoneal Karsinomatoz İndeksi (Pc1)

Diagnostic Laparoscopy Findings in Radiologically Lymph Node–positive Gastric Cancer

Abstract: In this study, the clinicopathological characteristics and diagnostic laparoscopy findings of 50 patients diagnosed with radiologically lymph node–positive (N+) gastric cancer were evaluated. The median age was 57 years (range, 23–78), with 56% male and 44% female patients. Tumors were most frequently located in the distal stomach (36%) and the middle third (26%). Clinically, 78% of the cases were staged as T3–4. Histopathological examination of biopsy specimens most commonly revealed signet ring cell carcinoma (48%) and poorly differentiated adenocarcinoma (36%). The peritoneal carcinomatosis index (PCI) was 0 in 64% of patients, while 26% had a PCI score between 8 and 15. Macroscopic metastatic disease was detected in 42% of patients during diagnostic laparoscopy. Of these, 80% had peritoneal, 9% had hepatic, 5% had both hepatic and peritoneal, and 5% had other sites of metastases. Peritoneal cytology was positive in 44%, negative in 46%, and suspicious in 10% of cases. The rate of positive cytology in the absence of macroscopic metastasis was 18.8%. Multivariate logistic regression analysis revealed no statistically significant association between peritoneal disease and age, sex, histological type, or clinical T and N stage ($p > 0.05$). However, signet ring cell histology (aOR 2.600) and N1–3 stage (aOR 2.469) showed a tendency toward increased risk of peritoneal

dissemination. These findings suggest that, in radiologically N-positive gastric cancer patients, diagnostic laparoscopy plays a crucial role in detecting both macroscopic and microscopic peritoneal dissemination, and that signet ring cell histology may be associated with an increased likelihood of peritoneal metastasis.

Keywords: Gastric Cancer; Diagnostic Laparoscopy; Peritoneal Metastasis; Cytology; Signet Ring Cell Carcinoma; Radiological N Positive; Peritoneal Carcinomatosis Index (Pc₁)



Makale id= 188

Sözlü Sunum

ORCID ID: 0000-0003-1651-2943

| 257

Retinal Arter Tıkanıklığı Olgularında Klinik Özellikler, Optik Koherens Tomografi Bulguları ve Hiperbarik Oksijen Tedavisi Sonuçları

Doç.Dr. Seda Karaca Adıyeke¹
¹Bakırçay Üniversitesi Tıp fakültesi

Özet: Amaç: Retinal arter tıkanıklığı (RAT) ile başvuran olguların klinik bulguları ve hiperbarik oksijen tedavisi (HBOT) sonuçlarının değerlendirilmesi Gereç ve Yöntem: Tıbbi Retina Birimine RAT tanısıyla yönlendirilen ve HBOT uygulanmış olan olgular retrospektif olarak incelendi. Olguların demografik verileri, oftalmolojik muayene bulguları ve optik koherens tomografi (OKT) sonuçları kaydedildi. İstatistiksel analiz SPSS programları kullanılarak yapıldı ve p

Anahtar Kelimeler: Hiperbarik Oksijen Tedavisi, Retina Arter Tıkanıklığı, Optik Kohorens Tomografi

Retinal Artery Occlusion: Clinical Features, Oct Findings, and Hyperbaric Oxygen Therapy Outcomes

Abstract: Purpose: To evaluate the clinical characteristics and outcomes of hyperbaric oxygen therapy (HBOT) in patients presenting with retinal artery occlusion (RAO). Materials and Methods: Patients referred to the Medical Retina Unit with a diagnosis of RAO and treated with HBOT were retrospectively analyzed. Demographic data, ophthalmological findings, and optical coherence tomography (OCT) results were recorded. Statistical analyses were performed using SPSS software, and a p-value

Keywords: Hyperbaric Oxygen Therapy; Retinal Artery Occlusion; Optical Coherence Tomography

Makale id= 61**Sözlü Sunum**

ORCID ID: 0000-0001-9451-5715

| 258

Rifamisin'in A549, U87 ve HT29 Hücreleri Üzerindeki Sitotoksik ve Apoptotik Etkilerinin Değerlendirilmesi**Dr. Öğretim Üyesi Tuğba Kul Köprülü¹**¹Sağlık Bilimleri Üniversitesi, Hamidiye Sağlık Bilimleri Enstitüsü, Moleküler Tıp ABD,
Moleküler Tıp

Özet: Kanser morbidite ve mortalitesinin küresel düzeyde devam etmesi, yeni terapötik stratejilerin geliştirilmesini zorunlu kılmaktadır. Mevcut kemoterapötik ajanların toksisite ve direnç gibi önemli sınırlamaları bulunduğundan yeni ve daha etkili antikanser bileşiklerin araştırılması oldukça dinamik bir alandır. Rifamisin, özellikle Mycobacterium tuberculosis'e karşı güçlü aktivitesiyle bilinen ansamisin grubu antibiyotiklerden biridir. Son yapılan çalışmalar, bu bileşiklerin türevlerinin antibakteriyel özellikleri dışında çeşitli tümör hücrelerinde antikanser aktivite sergileyebileceğine işaret etmektedir. Ancak Rifamisin'in farklı kanser türleri üzerindeki etkilerine dair bilgilerimiz son derece sınırlıdır. Çalışmamız, Rifamisin'in A549 (akciğer karsinomu), U87 (glioblastom) ve HT29 (kolorektal karsinom) insan kanser hücre hatlarında antiproliferatif ve apoptotik etkilerini incelemeyi hedeflemektedir. Bu bağlamda hücreler %10 Fetal Bovine Serum ve %2 Pen/Strep içeren DMEM içerisindeki hücre kültür flasklarında 37°C %5 CO₂ içeren inkübatörde kültüre edilmiştir. Hücreler, hücre kültür flaskını %80 kapladığında DMEM içeriği uzaklaştırılmış, Trypsin-EDTA (0.25%) ile adherent hücreler flasktan kaldırılarak pasajlama işlemi gerçekleştirilmiştir. 15.000 hücre/kuyu olacak biçimde 100 µL hacimde hücreler e-plate üzerine ekilerek xCELLigence (RTCA) cihazına yerleştirilmiştir. 24 saat sonra, hücre kültür plakasındaki hücrelere 10-100 µg/mL aralığında farklı dozlarda Rifamisin ve pozitif kontrol olarak antikanser etkinliği bilinen Paclitaxel triplike olarak uygulanarak xCELLigence cihazında 24 saat süreyle hücre empedansı gerçek zamanlı ölçülerek kaydedilmiştir. Elde edilen cell index bilgileri RTCA Software (ACEA Biosciences) ile analiz edilmiş ve sırasıyla A549, U87 ve HT29 için 14.68, 108 ve 61.75 µg/mL IC₅₀ değerleri alınmıştır (p<0.05). Ardından her bir hücreye IC₅₀ değerinde Rifamisin uygulanmış ve Annexin A5-FITC KIT-Apoptosis Detection Kit kullanılarak CytoFlex Flow Cytometer (Bechmann Counter) cihazında apoptoz değerlendirilmiştir. Elde edilen bulgularda A549'un Rifamisin'e duyarlılığının fazla olduğu (10-30 µg/mL), ilk 24 saatte cell indeksi 5'den 0.5'e kadar düşürdüğü, U87'de ciddi bir antiproliferasyon göstermezken HT29'da 50-100 µg/mL arasında cell indeksi 5'den 4'e indirebildiği görülmüştür. A549'da flow sitometride erken ve geç apoptoz toplam oranı %36.51 olarak tespit edilmiş (p<0.05), Rifamisin'in neredeyse hücrelerin üçte birini apoptoza sürüklediği görülmüştür.

Anahtar Kelimeler: Rifamisin, Akciğer Karsinomu, Glioblastoma, Kolorektal Karsinom, Xcelligence, Flow Sitometri

Evaluation of the Cytotoxic and Apoptotic Effects of Rifamycin on A549, U87, and HT29 Cell Lines

Abstract: The ongoing global burden of cancer morbidity and mortality necessitates the development of new therapeutic strategies. As current chemotherapeutic agents have significant limitations, such as

toxicity and resistance, the search for new and more effective anticancer compounds is a highly dynamic field. Rifamycin is an ansamycin-type antibiotic, primarily known for its potent activity against *Mycobacterium tuberculosis*. Recent studies indicate that derivatives of these compounds may exhibit anticancer activity in various tumor cells, beyond their antibacterial properties. However, our knowledge about the effects of Rifamycin on different cancer types is extremely limited. Our study aims to investigate the antiproliferative and apoptotic effects of Rifamycin on A549 (lung carcinoma), U87 (glioblastoma), and HT29 (colorectal carcinoma) human cancer cell lines. In this context, the cells were cultured in an incubator at 37°C with 5% CO₂ in cell culture flasks containing DMEM supplemented with 10% Fetal Bovine Serum and 2% Pen/Strep. When the cells reached 80% confluency in the flask, the DMEM medium was removed, and adherent cells were detached from the flask using Trypsin-EDTA (0.25%) for passaging. The cells were seeded onto an e-plate at a density of 15,000 cells/well in a 100 µL volume and placed into the xCELLigence (RTCA) instrument. After 24 hours, different doses of Rifamycin (in the range of 10-100 µg/mL) and Paclitaxel, as a positive control with known anticancer efficacy, were applied in triplicate to the cells in the culture plate. Cell impedance was measured and recorded in real-time for 24 hours using the xCELLigence instrument. The obtained cell index data were analyzed with RTCA Software (ACEA Biosciences), and IC₅₀ values of 14.68, 108, and 61.75 µg/mL were determined for A549, U87, and HT29, respectively ($p < 0.05$). Subsequently, Rifamycin at the IC₅₀ concentration was applied to each cell line, and apoptosis was assessed using an Annexin A5-FITC Apoptosis Detection Kit on a CytoFlex Flow Cytometer (Beckman Coulter). The findings revealed that A549 exhibited high sensitivity to Rifamycin (10-30 µg/mL), reducing the cell index from 5 to 0.5 within the first 24 hours. While no significant antiproliferation was observed in U87 cells, Rifamycin at 50-100 µg/mL was able to reduce the cell index from 5 to 4 in HT29 cells. Flow cytometry analysis in A549 cells detected a total early and late apoptosis rate of 36.51% ($p < 0.05$), indicating that Rifamycin induced apoptosis in almost one-third of the cells.

Keywords: Rifamycin, Lung Carcinoma, Glioblastoma, Colorectal Carcinoma, Xcelligence, Flow Cytometry

Makale id= 40

Sözlü Sunum

ORCID ID: 0000-0002-5436-3654

| 260

Rijid Bronkoskopi Yapılan Hereditör Anjioödem Hastasında Anestezi Yönetimi

Uzman Dr. Oya Olcay Özdeş¹

¹Battalgazi Devlet Hastanesi Anestezi ve Reanimasyon

Özet: Hereditör anjioödem kompleman sistem regülasyonun bozulmasıyla ortaya çıkan nadir kalıtsal bir bozukluktur. Bu hastalarda meydana gelebilecek larinks ödemi önemli bir mortalite ve morbidite sebebi olabilir. Biz de bu sunumda rijid bronkoskopi işleminde zor bir anestezi yöntemini sunuyoruz. Kırk iki yaşında kadın bir hastada rijid bronkoskopi işlemi planlandı. Tıbbi özgeçmişinde hereditör anjioödem tanısı olan hastaya immünoloji öneriyle C1 esteraz inhibitörü verildi. Hasta sorunsuz bir şekilde ameliyathaneden çıkartıldı. Cerrahi ve girişimsel işlemler gibi travmatik olaylarla tetiklenebilecek atakların tedavi ve profilaksisinde çeşitli ajanlar kullanılmakla birlikte bronkoskopi gibi kısa süreli işlemler için en sık kullanılan profilaksi C1 esteraz inhibitör preparatlarıdır. Hereditör anjioödem hastaları anestezi yönetimi açısından özellikli hastalar olup perioperatif ve postoperatif gerekli önlemler alınmalıdır.

Anahtar Kelimeler: Hereditör Anjioödem, C1 Esteraz İnhibitör, Rijid Bronkoskopi

Anesthesia Management in a Patient With Hereditary Angioedema Undergoing Rigid Bronchoscopy

Abstract: Hereditary angioedema is a rare genetic disorder caused by impaired complement system regulation. Laryngeal edema that may occur in these patients can be a significant cause of mortality and morbidity. In this presentation, we report a challenging anesthesia technique used during rigid bronchoscopy. Rigid bronchoscopy was planned for a 42-year-old female patient. The patient, who had a diagnosis of hereditary angioedema in their medical history, was administered C1 esterase inhibitor based on an immunology recommendation. The patient was discharged from the operating room without any complications. Although various agents are used in the treatment and prophylaxis of attacks that can be triggered by traumatic events such as surgical and interventional procedures, C1 esterase inhibitor preparations are the most commonly used prophylaxis for short-term procedures such as bronchoscopy. Patients with hereditary angioedema are special patients in terms of anesthesia management, and necessary perioperative and postoperative precautions should be taken.

Keywords: Hereditary Angioedema, C1 Esterase İnhibitor, Rigid Bronchoscopy

Makale id= 111

Sözlü Sunum

ORCID ID: 0000-0001-7413-1837

| 261

Saçlı Deriden Kaynaklanan Dev Kutanöz Boynuz: Önceden Skuamöz Hücreli Karsinom Öyküsü Olan Bir Hastada Olgu Sunumu

Uzman İbrahim Doğan¹

¹Van Bölge Eğitim ve Araştırma Hastanesi

Özet: Giriş Kutanöz boynuz, ya da tıbbi adıyla cornu cutaneum, kompakt keratin birikiminden oluşan ve görünüm olarak hayvan boynuzuna benzeyen konik bir yapıdır. Bu lezyonlar vücudun herhangi bir bölgesinde gelişebilir; ancak en sık yüz, kulak ve el gibi güneş ışığına doğrudan maruz kalan alanlarda görülür. Altta yatan neden her zaman aynı değildir; kimi zaman seboreik keratoz veya trikilemmal kist gibi iyi huylu lezyonlardan, kimi zaman da aktinik keratoz veya skuamöz hücreli karsinom gibi öncül ya da doğrudan malign lezyonlardan kaynaklanabilir. Özellikle daha önce SCC öyküsü olan hastalarda, bu tür lezyonların malign dönüşüm açısından dikkatle değerlendirilmesi gerekir. Olgu Sunumu Yetmiş sekiz yaşında erkek bir hasta, yaklaşık 15 yıldır var olan ve yavaş büyüyen saçlı derideki boynuz benzeri bir oluşum nedeniyle kliniğimize başvurdu. Lezyon yaklaşık 5 santimetre uzunluğunda, sert kıvamda ve konik uçlu bir yapıya sahipti. Tabanında hafif bir kızarıklık gözlemlendi, ancak ülserasyon ya da kanama yoktu. Hastanın üç yıl önce sağ elinden çıkarılan ve histopatolojik olarak skuamöz hücreli karsinom olarak raporlanan bir lezyon öyküsü mevcuttu. Saçlı derideki mevcut lezyon lokal anestezi altında, yarım santimetrelik güvenli cerrahi sınırla tamamen eksize edildi ve primer kapama yapıldı. Histopatolojik incelemede, ani keratinizasyon gösteren çok katlı yassı epitelden oluşan trikilemmal tipte keratinöz kist saptandı; herhangi bir atipi ya da malign bulguya rastlanmadı. Ameliyat sonrası dönem sorunsuz seyretti ve hastada altı aylık takip süresince nüks gözlenmedi. Tartışma Kutanöz boynuzlar nadir görülen lezyonlardır ve farklı epidermal yapılardan gelişebilir. Her ne kadar çoğu benign karakterde olsa da, tabanında prekanseröz veya malign patoloji bulunma oranı literatürde %20'ye kadar bildirilmektedir. Trikilemmal yani pilar kistler, saç folikülünün dış kök kılıfından kaynaklanır ve özellikle yaşlı bireylerde saçlı deri bölgesinde görülür. Bizim olgumuzda da, dev boyuttaki saçlı deri lezyonu ve hastanın geçmişte SCC öyküsü olması nedeniyle, başlangıçta malignite olasılığı ön planda düşünülmüştür. Ancak histopatolojik değerlendirme sonucunda lezyonun benign özellikte olduğu görülmüştür. Dört santimetreden büyük, “dev” kutanöz boynuz olguları literatürde oldukça nadir bildirilmektedir. Bizim vakamız, uzun süreli varlığa ve büyük boyuta rağmen malignite saptanmamış olmasıyla, daha önce bildirilen benign trikilemmal kökenli olgularla uyumludur. Sonuç Kutanöz boynuz benzeri tüm lezyonlar eksize edilmeli ve mutlaka histopatolojik olarak değerlendirilmelidir. Bu yaklaşım, özellikle ileri yaşta olan ya da geçmişte SCC öyküsü bulunan hastalarda, olası malignite riskini dışlamak açısından büyük önem taşır. Sunulan olgu, uzun süreli ve büyük boyutlu lezyonların dahi benign kökenli olabileceğini göstermektedir.

Anahtar Kelimeler: Kutanöz Horn, Trikilemmal Kist

Makale id= 15

Sözlü Sunum

ORCID ID: 0009-0003-5597-7847

| 262

Sağlık Taramasında Saptanan Transaminaz Yüksekliği: Bir Rabdomiyoliz Olgusu

Uzman Dr. Tuğba Balık Kozak ¹

¹Antalya Eğitim ve Araştırma Hastanesi

Özet: Giriş: Rabdomiyoliz, iskelet kasının yıkımı ve hücre içeriğinin dolaşıma girmesiyle karakterize klinik ve biyokimyasal bir tablodur. Anamnez ve kreatin kinazın (CK) ≥ 5 kat yüksek olmasıyla tanı alır. Travma, enfeksiyon, ilaçlar ve alışılmadık, yoğun fiziksel aktiviteye bağlı gelişebilir. Tanı ve tedavi geciktiğinde ölümcül komplikasyonlara yol açabilir. Olgu: 21 yaşında erkek hasta, sağlık taramasında saptanan transaminaz yüksekliği nedeniyle aile hekimliği polikliniğine başvurdu. Anamnezinde 180 kilometre bisiklet egzersizi ardından crossfit yapmıştı. Sonrasında yaygın kas ağrısı, güçsüzlük ve idrar renginde koyulaşma gelişmiş istirahat ve etodolak kullanımı ile rahatlamıştı. Tetkiklerinde CK: 20.425 U/L saptandı. Rabdomiyoliz tanısıyla intravenöz hidrasyon tedavisiyle 24 saatlik takip edildi. Enzim düzeyi (CK) düşen hasta komplikasyonsuz taburcu edildi. 1.ay sonunda enzim değerleri normal sınırlardaydı. Tartışma: Birinci basamakta değerlendirilen hastada klinik öykünün önemi ön plana çıkmaktadır. Ayırıcı tanıda akut hepatit atlanmaması gereken bir ön tanıdır. Sonuç: Bu olgu, rutin sağlık taramalarında bireyselleştirilmiş değerlendirme yaklaşımının önemini vurgulamaktadır. Erken tanı ve tedavi komplikasyonların önlenmesi için kritiktir. Bu bağlamda, sağlık profesyonelleri, sporcular ve eğitmenlerin egzersiz güvenliği, semptom farkındalığı ve uygun müdahale konularında eğitilmesi; koruyucu sağlık hizmetlerinin etkinliğini artıracak ve toplum sağlığına katkı sağlayacaktır.

Anahtar Kelimeler: Rabdomiyoliz, Egzersiz, Transaminaz Yüksekliği, Koruyucu Hekimlik

Exercise-Induced Rhabdomyolysis Presenting With Elevated Transaminases

Abstract: Introduction: Rhabdomyolysis is a clinical and biochemical condition characterized by skeletal muscle breakdown and the release of intracellular contents into the circulation. The diagnosis is established based on medical history and a creatine kinase (CK) level ≥ 5 times the upper limit of normal. It may develop secondary to trauma, infections, medications, or unusual and strenuous physical activity. Delayed diagnosis and treatment can result in fatal complications. Case: A 21-year-old male patient presented to the family medicine outpatient clinic due to elevated transaminase levels detected during a routine health screening. His history revealed that he had performed a 180-kilometer cycling exercise followed by CrossFit training. Subsequently, he developed diffuse muscle pain, weakness, and dark-colored urine, which improved with rest and etodolac use. Laboratory testing showed CK: 20,425 U/L. He was diagnosed with rhabdomyolysis and monitored for 24 hours with intravenous hydration therapy. As CK levels declined, the patient was discharged without complications. At the one-month follow-up, his enzyme levels were within normal ranges. Discussion: This case highlights the importance of medical history in patient evaluation at the primary care level. Acute hepatitis should be considered as an important differential diagnosis. Conclusion: This case emphasizes the significance of an individualized assessment approach during routine health screenings. Early diagnosis and treatment are critical for the prevention of complications. In this context, educating healthcare professionals,

athletes, and trainers on exercise safety, symptom awareness, and appropriate intervention may enhance the effectiveness of preventive medicine and contribute to public health.

Keywords: Rhabdomyolysis, Exercise, Transaminaz Elevation, Preventive Medicine,



Makale id= 139

Sözlü Sunum

ORCID ID: 0000000177668613

| 264

Selektif Arteriyel Embolizasyon ile Tedavi Edilen Mikrodalga Ablasyon Tedavisine Yanıtsız Paratiroid Adenomları: İki Vaka Deneyimi

Exp.Dr. Volkan Taşçı¹

¹Sakarya Eğitim ve Araştırma Hastanesi

Özet: Amaç: Mikrodalga ablasyon (MWA) sonrası kalıcı hormon yüksekliği gösteren ve sol inferior tiroid arterinin selektif endovasküler embolizasyonu ile başarılı bir şekilde tedavi edilen iki paratiroid adenomu olgusunu sunmayı amaçladık. Gereç ve Yöntemler: Biyokimyasal olarak doğrulanmış primer hiperparatiroidizmi olan iki hastaya paratiroid adenomu için ultrason eşliğinde MWA uygulandı. Her iki olguda da ablasyon sonrası kalıcı paratiroid hormonu (PTH) yüksekliği görüldü. Selektif anjiyografi ile sol inferior tiroid arterinin besleyici dalları tespit edildi ve bu dallar partikül kullanılarak embolize edildi. Klinik, biyokimyasal ve görüntüleme takip bulguları kaydedildi. Sonuçlar: Embolizasyon sonrası her iki hastada da serum PTH ve kalsiyum düzeylerinde anlamlı bir düşüş ve radyolojik olarak adenomların tamamen devaskülarize olduğu görüldü. İşleme ilgili herhangi bir komplikasyon gözlenmedi. Takip kontrollerde PTH'nin normale döndüğünü doğrulandı. Sonuç: Selektif arteriyel embolizasyon, MWA'ya yetersiz yanıt veren paratiroid adenomları için etkili bir kurtarma tekniği olabilir ve cerrahiye minimal invaziv bir alternatif sunabilir.

Anahtar Kelimeler: Paratiroid Adenom, Mikrodalga Ablasyon, Embolizasyon

Microwave Ablation Resistant Parathyroid Adenomas Treated With Selective Arterial Embolization: Two Case Experience

Abstract: Purpose: To present two cases of parathyroid adenoma demonstrating persistent hormone elevation after microwave ablation (MWA), successfully treated with selective endovascular embolization of the left inferior thyroid artery. Materials and Methods: Two patients with biochemically confirmed primary hyperparathyroidism underwent ultrasound-guided MWA for parathyroid adenoma. Both cases showed persistent parathyroid hormone (PTH) elevation post-ablation. Selective angiography identified feeding branches of the left inferior thyroid artery, which were embolized using particles. Clinical, biochemical, and imaging follow-up findings were recorded. Results: Post-embolization, both patients demonstrated a significant decline in serum PTH and calcium levels, with radiologic evidence of complete devascularization of the adenomas. No procedural complications were observed. Follow-up controls confirmed sustained normalization of PTH. Conclusion: Selective arterial embolization can be an effective salvage technique for parathyroid adenomas with incomplete response to MWA, offering a minimally invasive alternative to surgery.

Keywords: Parathyroid Adenoma, Microwave Ablation, Embolization

Makale id= 96

Sözlü Sunum

ORCID ID: <https://orcid.org/0000-0001-5209-3569>

| 265

Semaglutid'in Kaza Sonucu Aşırı Doz Alımı: Bir Olgu Sunumu ve Klinik Bulguların Değerlendirilmesi

Uzman Dr. Gülşah Altun¹, Uzman Dr. Enver Çiftel¹
¹Sivas Numune Hastanesi

*Corresponding author: Gülşah Altun

Özet: Giriş: Semaglutid, uzun etkili bir glukagon benzeri peptid-1 (GLP-1) reseptör agonistidir ve tip 2 diyabet ile obezite tedavisinde yaygın olarak kullanılmaktadır. İnsülin sekresyonunu glukoz bağımlı olarak artırır, glukagon salınımını baskılar, mide boşalmasını geciktirir ve iştahı azaltır. Terapötik dozlarda oldukça güvenli olmasına rağmen, son yıllarda kozmetik amaçlı kilo kaybı için reçetesiz kullanımı artmış ve bu durum hatalı doz uygulamaları ile intoksikasyon riskini beraberinde getirmiştir. Aşırı doz semaglutid kullanımıyla ilgili literatürde sınırlı sayıda olgu bildirilmiştir. Olgu Sunumu: Bilinen ek hastalığı olmayan 21 yaşındaki kadın hasta, kendi kararıyla subkutan 2 mg semaglutid uygulamış; bu doz önerilen başlangıç dozunun yaklaşık 80 katına denk gelmektedir. Enjeksiyondan 7–8 saat sonra bulantı, kusma ve karın ağrısı gelişmesi üzerine acil servise başvurmuştur. Başvuru sırasında vital bulguları stabildi (ateş 36.5°C, nabız 68/dk, kan basıncı 94/70 mmHg, SpO₂ 98%) ve kan şekeri 89 mg/dL idi. Laboratuvar testlerinde anlamlı bir bozukluk saptanmadı. Hastaya %5 dekstroz, serum fizyolojik ve antiemetik tedavi verilerek iç hastalıkları yoğun bakımına yatırıldı. İzlemede kan şekeri 38 mg/dL'ye kadar düştü, ancak sonraki günlerde 75–105 mg/dL aralığında seyretti. Üçüncü günün sonunda bulantı ve kusma tamamen düzeldi ve hasta sorunsuz taburcu edildi. Sonuç: Semaglutid'in kaza sonucu aşırı doz alımı, diyabeti olmayan bireylerde dahi geçici hipoglisemi ve gastrointestinal semptomlara yol açabilir. GLP-1 reseptör agonistlerinin glukoz bağımlı etkisi nedeniyle ciddi hipoglisemi nadirdir. Tedavi destekleyici olup sıvı replasmanı, glukoz takibi ve semptomatik izlem ön plandadır. Bu olgu, GLP-1 agonistlerinin bilinçsiz ve reçetesiz kullanımına karşı farkındalığın artırılmasının gerekliliğini vurgulamaktadır.

Anahtar Kelimeler: Semaglutid, Glp-1 Reseptör Agonisti, Aşırı Doz, Hipoglisemi, Olgu Sunumu

Accidental Massive Overdose of Semaglutide: A Case Report and Review of Clinical Manifestations

Abstract: Background: Semaglutide, a long-acting glucagon-like peptide-1 (GLP-1) receptor agonist, is increasingly prescribed for type 2 diabetes and obesity. Its pharmacological effects include glucose-dependent insulin secretion, inhibition of glucagon release, delayed gastric emptying, and appetite suppression. While semaglutide has demonstrated an excellent safety profile at therapeutic doses, the rapid expansion of its off-label use for cosmetic weight loss has raised concerns about accidental or intentional overdoses. Clinical experience with such massive overdoses remains extremely limited. Case Presentation: A 21-year-old woman with no known comorbidities or history of diabetes self-administered a single subcutaneous dose of 2 mg semaglutide, approximately 80 times higher than the recommended initial therapeutic dose, after obtaining the drug without medical supervision. Within 7–8 hours, she developed persistent nausea, vomiting, and abdominal pain, leading her to seek emergency care. On presentation, her vital parameters were stable (temperature 36.5°C, pulse 68 bpm, BP 94/70

mmHg, SpO₂ 98%), and her capillary glucose was 89 mg/dL. Laboratory tests revealed no major abnormalities. The patient received 5% dextrose and isotonic fluids, along with antiemetics. She was admitted to the internal medicine intensive care unit for close monitoring. During observation, her glucose levels dropped to 38 mg/dL, necessitating continuous dextrose infusion. Over 72 hours, glucose levels stabilized (75–105 mg/dL), gastrointestinal symptoms resolved, and she was discharged uneventfully. Conclusion: Even massive semaglutide overdose in a non-diabetic patient may result in only transient hypoglycemia and mild gastrointestinal effects, suggesting a wide therapeutic margin for GLP-1 receptor agonists. The absence of severe toxicity reflects the glucose-dependent insulinotropic mechanism of GLP-1 action. Management is primarily supportive, emphasizing intravenous glucose, hydration, and clinical observation. This case highlights the growing issue of unsupervised semaglutide use and underscores the need for public and clinician awareness regarding the potential risks of self-administered GLP-1 analogs.

Keywords: Semaglutide, Glp-1 Receptor Agonist, Overdose, Hypoglycemia, Gastrointestinal Symptoms, Case Report



Makale id= 83

Sözlü Sunum

ORCID ID: 0000-0002-5055-4226

| 267

Sıçanlarda İkinci Derece Yanık Modelinde Resveratrolün Yara İyileşmesine Etkisinin Araştırılması

Arş.Gör.Dr. Dilek Şaker¹, Dr. Maide Ergen Yılmaz¹, Doç.Dr. İbrahim Tabakan¹, Prof.Dr. Sait Polat¹

¹Çukurova Üniversitesi

*Corresponding author: Dilek Şaker

Özet: Yanık, hem ölüm hem de sakatlık açısından insanoğlunun hayatında karşılaşılabileceği en ciddi fizyolojik ve psikolojik travmalar arasında kabul edilmektedir. Yanık, tedavi ve iyileşme çerçevesinde de pek çok sorunu beraberinde getirmektedir. Resveratrol, içerisinde barındırdığı nitelikleri sayesinde, Uzakdoğu Asya'nın uzun yıllardır kullandığı ilaçlar arasında karşımıza çıkmaktadır. Bu çalışma kapsamında sıçanlarda ikinci derece yanık modeli oluşturularak resveratrolün yanık iyileşmesi sürecine etkisinin incelenmesi amaçlanmıştır. Yaşları 4-6 ay arasında olan, başlangıç ağırlıkları 300-450 g arasında değişen 40 adet Wistar-Albino türü erkek sıçan 4 farklı gruba ayrıldı. Tüm gruplardaki sıçanların sırtları tıraş edilerek 2. derece yanık oluşturuldu. Grup 1, kontrol grubu olup herhangi bir tedavi yöntemi uygulanmamıştır (n =10). Grup 2'ye mupirosin ile pansuman yapıldı. (n =10). Grup 3'e gümüş sülfadiazin ile pansuman yapıldı (n =10). Grup 4'e resveratrol ile pansuman yapıldı. (n =10). Pansumanlar günlük olarak yenilenip tedavi 14 gün boyunca sürdürüldü. 15. günde tüm gruplardan biyopsi alındı ve sıçanlar sakrifiye edildi. Alınan örnekler, ışık mikroskobu ve elektron mikroskobunda incelendi. Araştırma sonucunda resveratrol uygulanan grupta epitelizasyon, kollajenizasyon ve dermal kolajen dizilimi parametrelerinin daha yüksek olduğu saptandı. Resveratrol uygulanan grupta tüm parametreler normal seyrederken, mupirosin uygulanan grupta dermal fibroblast parametresinde organeller nispeten normal, kollajen parametresinde artmış düzenli olarak saptandı. Deney kontrol grubunda dermal fibroblast parametrelerinde granüllü endoplazmik retikulum sayıca fazla saptandı ve sitoplazmik vakuolizasyon, dermal kollajen parametresinde belirgin bir seviyede artış ve kapiller parametresinde yüksek makrofaj ve mast hücre sayısı belirlendi. Gümüş sülfadiazin ve resveratrol uygulanan gruplarda dermal fibroblast, dermal kollajen ve dermal kapillerler parametrelerinin daha yüksek olduğu izlenmiştir. Çalışmamızda resveratrolün inflammatuar sitokinleri azalttığı ve resveratrol kullanıldığında lenfosit infiltrasyonunun diğer ajanlara göre daha düşük seviyede olduğu saptanmıştır. Bu da resveratrolün antiinflammatuar etkisinin yanık iyileşmesini hızlandırdığını kanıtlamıştır. Buna ek olarak resveratrol grubunda kollajenizasyonun daha organize halde olması ve deri eklerinin gözlemlenebilir duruma gelmiş olması resveratrolün antiinflammatuar etkinliğinin yanı sıra remodelling aşamasında kollajenizasyonu desteklediğini göstermiştir.

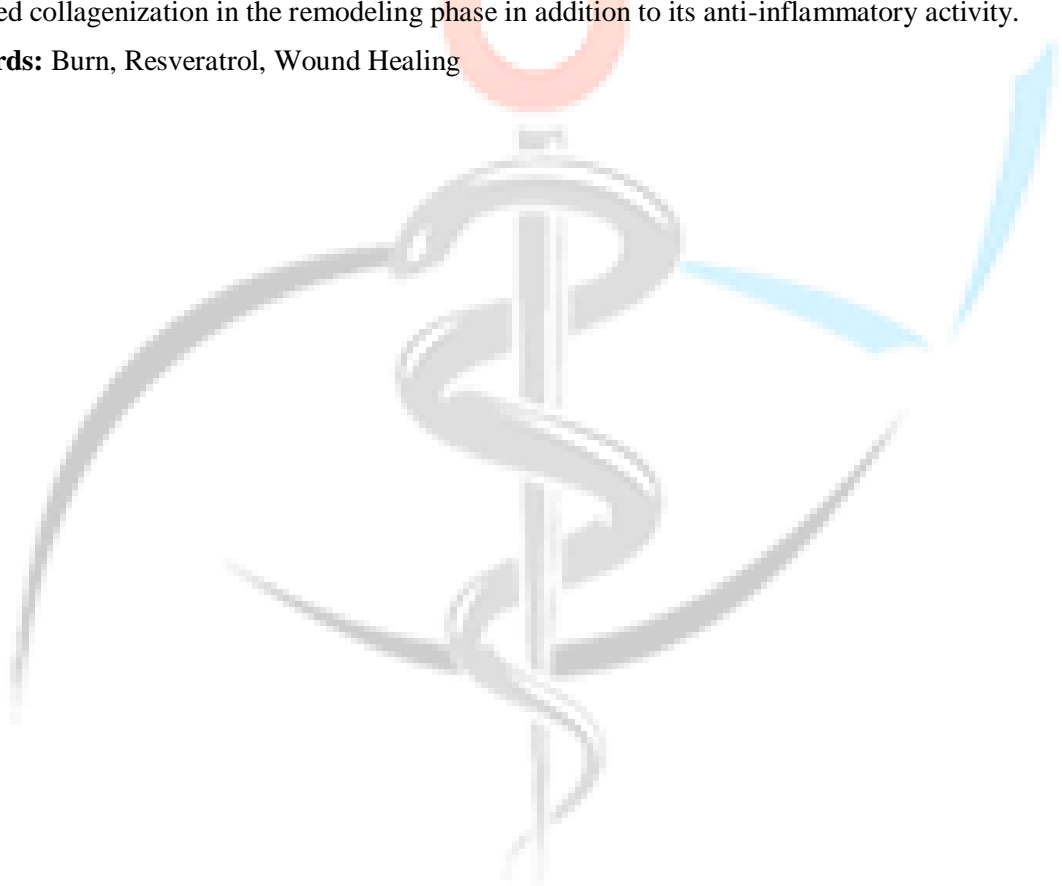
Anahtar Kelimeler: Resveratrol, Yanık, Yara İyileşmesi

Evaluation of the Effect of Resveratrol On Wound Healing in the Second Degree Burn Model in Rats

Abstract: Burns are considered among the most serious physiological and psychological traumas that human beings can encounter in terms of both death and disability. Burns come with many problems within the framework of treatment and recovery. Resveratrol is among the drugs that Far East Asia has

used for many years. The aim of this study was to examine the use of resveratrol in second-degree burn models in rats. 40 male Wistar-Albino rats aged 4-6 months with an initial weight of 300-450g were divided into 4 groups. The backs of the rats in all groups were shaved and a second-degree burn was created. Group 2 was dressed with Mupirocin (n =10). Group 3 was dressed with silver sulfadiazine (n =10). Group 4 was dressed with Resveratrol. (n =10). The dressings were renewed daily and the treatment was continued for 14 days. On day 15, biopsies were taken from all groups. The samples were examined under light and electron microscopy. As a result, epithelialization and collagenization were higher in the group to which resveratrol was applied. While all parameters were normal in the group treated with resveratrol, organelles were relatively normal in the dermal fibroblast parameter and increased regular in the collagen parameter in the mupirocin group; In the control group, the number of dermal fibroblast parameters was very high, and a significant increase in the cytoplasmic vacuolization dermal collagen parameter and macrophage and mast cells were determined near the capillary parameter. Dermal fibroblast, collagen and capillary parameters were higher in the groups treated with silver sulfadiazine and resveratrol. In our study, resveratrol reduced inflammatory cytokines and that lymphocyte infiltration was at a lower level when resveratrol was used compared to other agents. The anti-inflammatory effect of resveratrol accelerated burn healing. In addition, collagenization was more organized in the resveratrol group and skin appendages became observable showed that resveratrol supported collagenization in the remodeling phase in addition to its anti-inflammatory activity.

Keywords: Burn, Resveratrol, Wound Healing



Makale id= 163

Sözlü Sunum

ORCID ID: <https://orcid.org/0000-0003-0468-3673>

| 269

Sıklıkla Yanlış Tanı Alan Bir Nadir Olgu: Retrorektal Tailgut Kisti

Uzman Dr. Burak Güney¹, Prof.Dr. Emre Sivrikoz², Dr. Öğretim Üyesi Şeyma Karakuş Bozkurt³, Arş.Gör.Dr. Ünal Dağlı⁴

¹Çerkezköy Devlet Hastanesi Genel Cerrahi Kliniği

²Liv Hospital Vadistanbul Genel Cerrahi Kliniği

³İstinye Üniversitesi Tıp Fakültesi Genel Cerrahi Ana Bilim Dalı

⁴Prof.Dr. Cemil Taşcıoğlu Şehir Hastanesi Genel Cerrahi Kliniği

*Corresponding author: Burak Güney

Özet: Amaç: Retrorektal bölgede yerleşen nadir konjenital lezyonlar olan tailgut kistleri daha çok genç ve orta yaşlı kadınlarda pelvik bölgede semptomlar verebilirler. Benign lezyonlar olsalar da nadiren izlenen malign transformasyonları bildirilmiştir. Görüntüleme tetkiki olarak manyetik rezonans (MR), lezyonu tanımlamada oldukça değerlidir. Olgu: Düşme sonrasında koksajli ile 2013 yılındaki görüntülemelerinde tailgut kisti olarak değerlendirilen lezyon için takip önerilen 37 yaşındaki kadın hasta, 5 yıl sonra belde ağrı ve bacaklarda uyuşma olması üzerine lomber görüntüleme ile tetkik edilerek fizyoterapi almış. Sol bacakta ayağa kalkarken olan ağrı ve dışkılama alışkanlığında değişiklikler ile çekilen pelvik MR sonucunda pelvik apse veya tümör açısından araştırılan hastada genel anestezi altında endoanal ultrasonografik bakıda aspire edilemeyen koleksiyon, koksigeal bölgeden ultrason eşliğinde perkütan olarak kısmi boşaltılabılmış. Tümör tanısından uzaklaşılana hastadaki apse değerlendirmesi, hastanın Covid-19 pandemisi geçirdiği uzun dönemdeki ateş ve laboratuvar değerleri ile pekişmiş. Pozisyonel ağrılarının yinelemesi ve yeni pelvik MR çekilmesi üzerine başta 9 cm çapta ölçülen lezyonun 7 cm çapında sabit ettiği görülmüş. Tarafımıza başvuran hastada retrospektif incelenen Covid-19 tablosu sonrasındaki tetkik sonuçlarında lökositoz ve akut faz reaktanı yüksekliği izlenmedi. Retrorektal kist tanısı ile Kraske ameliyatına alınan hastada kist, yerleştiği iskioanal fossadan levator ani kaslarına indentasyon izlenen kısımları da dahil olarak tümüyle çıkarıldı. Komplikasyon izlenmeyen hasta postoperatif 2. günde taburcu edildi. Sonuç: Tailgut kisti tanısının pelvik bölge yerleşimli lezyonların ayırıcı tanısında akla getirilmesi ve tanı konulduğu anda maligniteyi dışlamak için cerrahi müdahale gereksiniminin farkında olunması önem taşımaktadır.

Anahtar Kelimeler: Kist, Retrorektal, Tailgut

Retrorectal Tailgut Cyst: A Rare Lesion Frequently Misdiagnosed

Abstract: Objective: Tailgut cysts are rare congenital lesions located in the retrorectal region and are more commonly encountered in young and middle-aged women, often presenting with pelvic symptoms. Although they are generally benign, malignant transformation has been reported in rare cases. Magnetic resonance imaging (MRI) is highly valuable in characterizing these lesions. Case: A 37-year-old female patient, who had been followed for a retrorectal tailgut cyst identified on imaging performed in 2013 after a fall associated with coccydynia, presented five years later with low back pain and numbness in both legs. She underwent lumbar imaging and received physiotherapy. Subsequently, due to pain radiating to the left leg during standing and altered bowel habits, a pelvic MRI was performed to differentiate between pelvic abscess and tumor. Under general anesthesia, endoanal ultrasonography

revealed a non-aspirable collection, which was partially drained percutaneously from the coccygeal region under ultrasound guidance. The clinical and laboratory findings during her prolonged COVID-19 infection period supported the diagnosis of abscess rather than tumor. Following recurrence of positional pain, a repeat pelvic MRI demonstrated that the lesion, previously measured at 9 cm, remained stable at 7 cm in diameter. Upon referral to our clinic, retrospective evaluation of the patient's post-COVID laboratory results revealed no leukocytosis or elevation of acute-phase reactants. The patient underwent surgical excision of the retrorectal cyst via the Kraske approach. The cyst was completely removed, including the portions causing indentation of the levator ani muscles from the ischioanal fossa. The postoperative course was uneventful, and the patient was discharged on postoperative day 2. Conclusion: Tailgut cysts should be considered in the differential diagnosis of pelvic lesions. Once identified, the possibility of malignancy must be excluded, and surgical excision should be pursued when indicated.

Keywords: Cyst, Retrorectal, Tailgut



Makale id= 197

Sözlü Sunum

ORCID ID: 0000-0003-3278-7779

| 271

Sistemik Lupus Eritematozus ve Sjögren Hastalarında Kortizol Uyanma Yanıtı ve Otonom Aktivite Baskılanmıştır

Doç.Dr. Cihat Uçar¹, Arş.Gör.Dr. Elif İnanç², Dr. Öğretim Üyesi Faruk Dişli³, Prof.Dr. Servet Yolbaş², Prof.Dr. Sedat Yıldız⁴

¹Malatya Turgut Ozal University Faculty of Medicine Department of Physiology

²Inonu University Faculty of Medicine, Department of Rheumatology

³Bingöl University Faculty of Physical Therapy and Rehabilitation

⁴Inonu University Faculty of Medicine Department of Physiology

*Corresponding author: Cihat Uçar

Özet: Sistemik lupus eritematozus (SLE) ve Sjögren sendromu, kronik inflamasyon ve çoklu organ tutulumu ile seyreden otoimmün hastalıklardır. Bu hastalıklarda bağışıklık sistemi aktivitesinin düzenlenmesinde yalnızca immünolojik faktörler değil, nöroendokrin ve otonom mekanizmalar da önemli rol oynamaktadır. Özellikle otonom sinir sistemi (OSS) ve hipotalamo-hipofizer-adrenal (HHA) aks, organizmanın stres yanıtını düzenleyen temel sistemlerdir. Bu çalışma, SLE ve Sjögren hastalarında stres aksı ve otonom sinir sistemi aktivitesini değerlendirerek, bu parametreler ile hastalık aktivitesi arasındaki olası ilişkileri incelemeyi amaçlamaktadır.

Çalışma, İnönü Üniversitesi Turgut Özal Tıp Merkezi İç Hastalıkları Anabilim Dalı Romatoloji Bilim Dalı'na başvuran, 18–65 yaş aralığında 40 SLE, 40 Sjögren hastası ve yaş-cinsiyet açısından uyumlu 40 sağlıklı gönüllü üzerinde yürütülmüştür. Katılımcılardan yazılı onam alındıktan sonra genel muayeneleri yapılmış, hemogram analizleri gerçekleştirilmiş ve kalp hızı değişkenliği (KHD) ölçümü için 5 dakikalık EKG kayıtları alınmıştır. KHD analizi Neurosoft yazılımı ile değerlendirilmiştir. Stres aksı aktivitesi, tükürük örneklerinden belirlenen kortizol uyanma yanıtı (CAR) ile ölçülmüştür. Katılımcılar gece uyumadan önce ve sabah uandıktan sonra 0., 30. ve 60. dakikalarda tükürük örneklerini pasif akış yöntemiyle toplamıştır. Kortizol düzeyleri ELISA yöntemiyle analiz edilmiştir. Veriler Mann–Whitney U testi ile karşılaştırılmış, $p<0.05$ değeri istatistiksel olarak anlamlı kabul edilmiştir.

HPA aktivitesini yansıtan kortizol uyanma yanıtı, SLE ve Sjögren hastalarında kontrol grubuna kıyasla anlamlı derecede azalmıştır ($p<0.05$). Hemogram parametrelerinden nötrofil ve trombosit sayısı Sjögren hastalarında; lenfosit sayısı ise her iki hasta grubunda da anlamlı biçimde düşüktür ($p=0.001$). KHD parametrelerinden SDNN, RMSSD, LF, HF ve TP değerleri, her iki hasta grubunda belirgin azalma göstermiştir ($p<0.05$).

SLE ve Sjögren hastalarında kortizol düzeylerinin düşüklüğü, HPA aksının yetersiz aktivasyonuna ve stres yanıtının baskılanmasına işaret etmektedir. Kan hücre sayımlarındaki azalma, immün sistem regülasyonundaki bozulmayı; KHD parametrelerindeki düşüş ise otonom sinir sistemi aktivitesinde dengesizliği göstermektedir. Bu bulgular, otoimmün hastalıklarda HPA aksı ve OSS arasındaki etkileşimin bozulduğunu ve bu durumun inflamatuvar süreçlerin sürdürülmesinde rol oynayabileceğini düşündürmektedir.

Teşekkür: Bu çalışma Malatya Turgut Özal Üniversitesi Bilimsel Araştırma Projeleri Koordinasyon Birimi tarafından 23G05 proje numarasıyla desteklenmiştir.

Anahtar Kelimeler: Otoimmün Hastalıklar, Kortizol Uyanma Yanıtı, Kalp Hızı Değişkenliği, İmmün Hücreler

Cortisol Awakening Response and Autonomic Activity Are Suppressed in Patients With Systemic Lupus Erythematosus and Sjogren's Syndrome

Abstract: Systemic lupus erythematosus (SLE) and Sjogren's syndrome are chronic autoimmune diseases characterized by persistent inflammation and multisystem involvement. Beyond immunological mechanisms, neuroendocrine and autonomic pathways also play a significant role in regulating immune activity. The hypothalamic–pituitary–adrenal (HPA) axis and autonomic nervous system (ANS) constitute the main regulatory systems of the stress response. This study aimed to evaluate the activity of stress axes and autonomic function in patients with SLE and Sjogren's syndrome, and to explore possible associations with disease activity.

The study included 40 SLE patients, 40 Sjogren's patients, and 40 age- and sex-matched healthy controls who were admitted to the Rheumatology Department of İnönü University Turgut Ozal Medical Center. After obtaining written informed consent, participants underwent general examination, blood sampling, and electrocardiogram (ECG) recording for heart rate variability (HRV) analysis. HRV parameters were assessed using Neurosoft software. The cortisol awakening response (CAR) was measured as an indicator of HPA axis activity. Saliva samples were collected at bedtime and at 0, 30, and 60 minutes after awakening using the passive drool method. Cortisol concentrations were determined by ELISA. Data were analyzed using the Mann–Whitney U test, and $p < 0.05$ was considered statistically significant.

The cortisol awakening response (60-minute post-awakening cortisol) was significantly reduced in both SLE and Sjogren's groups compared with controls ($p < 0.05$). Among hematological parameters, neutrophil and platelet counts were decreased in Sjogren's patients, while lymphocyte counts were significantly lower in both patient groups ($p = 0.001$). HRV parameters, including SDNN, RMSSD, LF, HF, and TP, were also markedly reduced in both SLE and Sjogren's patients ($p < 0.05$).

These findings indicate suppressed HPA axis activity and blunted stress response in patients with SLE and Sjogren's syndrome. Decreased immune cell counts suggest dysregulation of immune homeostasis, while reduced HRV parameters reflect impaired autonomic function. Collectively, these results demonstrate that the interaction between the HPA axis and ANS is disrupted in autoimmune diseases and may contribute to the persistence of inflammatory activity.

Acknowledgements: The study supported by Malatya Turgut Ozal University Scientific Research Projects Coordination Unit with project number 23G05

Keywords: Autoimmune Diseases, Cortisol Awakening Response, Heart Rate Variability, İmmün Hücreler

Makale id= 56**Sözlü Sunum**

ORCID ID: 0000-0002-1595-569X

| 273

Sitoloji Negatif Olguda Çoklu Yüksek Riskli Hpv Pozitifliği**Dr. Öğretim Üyesi Zeynep Ece Utkan Korun¹**¹Yeditepe Üniversitesi Tıp Fakültesi Kadın Hastalıkları ve Doğum Anabilim Dalı

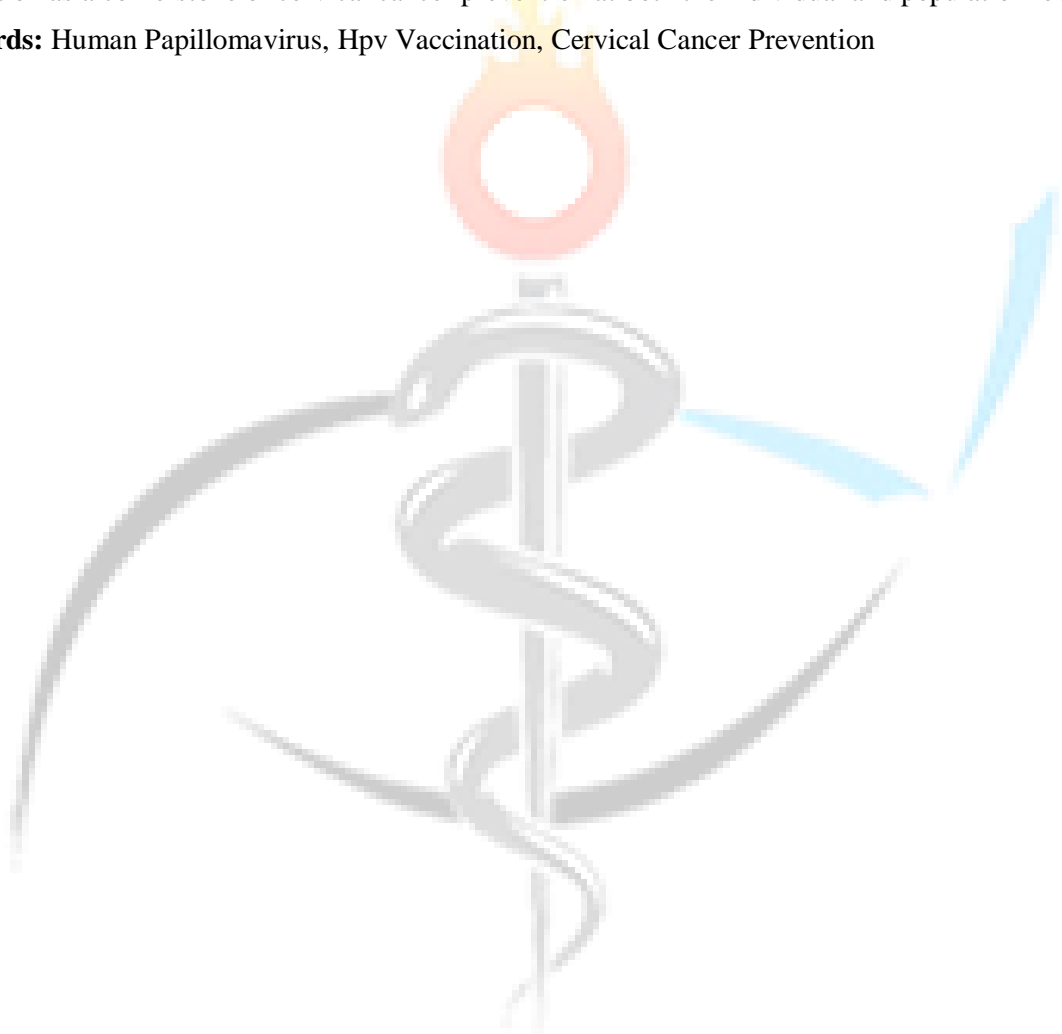
Özet: Giriş:Yüksek riskli insan papillomavirüsü (HR-HPV) ile kalıcı enfeksiyon, dünya genelinde serviks kanserinin başlıca etiyolojik faktörüdür. Sitoloji uzun yıllardır taramanın temel yöntemlerinden biri olsa da duyarlılığının sınırlı olması, klinik açıdan önemli lezyonların gözden kaçmasına neden olabilmektedir. Bu nedenle HPV DNA testi, özellikle sitoloji negatif olgularda servikal kanser riskinin öngörülmesinde daha yüksek değer taşır. Olgu: Otuz üç yaşında, nulligravid bir kadın hasta akut vajinit yakınması ile polikliniğe başvurdu. Hastanın düzenli adet döngüsü olduğu, iki yıldır sabit bir cinsel partneri bulunduğu, ek hastalığının olmadığı ve daha önce HPV aşısı yaptırmadığı öğrenildi. Jinekolojik muayenede vajinit dışında ek patoloji saptanmadı. Sitolojik incelemede intraepitelyal lezyon ya da malignite görülmedi. Ancak HPV DNA testi, yüksek riskli HPV 16, 31, 39 ve 52'nin de aralarında bulunduğu toplam dokuz genotipe yönelik pozitiflik gösterdi. Tartışma: Bu olgu, servikal kanser taramasında yalnızca sitolojiye güvenmenin sınırlılıklarını göstermektedir. Nitekim, sitoloji negatif ancak HPV pozitif kadınların yaklaşık %11'inde CIN2/3 lezyonları saptanmış, özellikle HPV16/18 pozitif olgularda riskin daha yüksek olduğu bildirilmiştir (Paengchit ve ark., 2014). Ayrıca, sitoloji negatif kadınlarda kanser veya prekanseröz lezyonların bulunmuş olması HPV DNA testinin ek değerini desteklemektedir (Ali ve ark., 2024). Çoklu HPV enfeksiyonlarının giderek arttığı, HPV pozitif kadınların %20–40'ında bildirildiği görülmektedir (Sohrabi ve ark., 2017; Dickson ve ark., 2013; Koç ve ark., 2025). Bu olguda saptanan genotiplerin büyük kısmı dokuz valan HPV aşısı kapsamındadır ve aşılama enfeksiyonu önleyebilirdi. Hollanda verileri, yalnızca kız çocuklarını kapsayan düşük aşılama oranlarıyla toplum bağışıklığının oluşmadığını göstermiştir (Pasmans ve ark., 2020). Buna karşın uzun dönem immünojenisite çalışmaları, HPV aşısının 12 yıla kadar kalıcı ve çapraz koruyucu yanıtlar sağladığını ortaya koymuştur (Kann, 2020). Sonuç: Sitoloji negatif olgularda bile çoklu HR-HPV enfeksiyonları önemli bir risk oluşturmaktadır. Bu vaka, HPV DNA testinin kritik rolünü ve HPV aşılmasının bireysel ve toplumsal düzeyde korunmada temel önemini vurgulamaktadır.

Anahtar Kelimeler: İnsan Papillomavirüsü, Hpv Aşılması, Serviks Kanseri Önleme**Multiple High-Risk Hpv Positivity in a Cytology-Negative Case**

Abstract: Background:Persistent infection with high-risk human papillomavirus (HR-HPV) is the main etiological factor for cervical cancer worldwide. Although cytology has long been central to screening, its limited sensitivity may result in clinically relevant lesions being overlooked. HPV DNA testing provides superior predictive value, particularly in cytology-negative cases. Case:A 33-year-old nulligravid woman presented to the outpatient clinic with acute vaginitis. She reported regular menstrual cycles, a stable sexual partner for the past two years, no comorbidities, and no prior HPV vaccination. Gynecological examination revealed no abnormalities other than vaginitis. Cytology showed no intraepithelial lesion or malignancy. However, HPV DNA testing demonstrated positivity for nine genotypes, including high-risk HPV 16, 31, 39, and 52, as well as other oncogenic and low-risk subtypes.

Discussion: This case illustrates the limitations of relying solely on cytology in cervical cancer screening. Studies report that about 11% of cytology-negative but HPV-positive women harbor CIN2/3 lesions, with the highest risk among HPV16/18 carriers (Paengchit et al., 2014). Moreover, cancer or precancerous lesions have been detected in women with negative cytology, confirming the value of HPV testing (Ali et al., 2024). Multiple HPV infections are increasingly recognized, affecting 20–40% of HPV-positive women worldwide (Sohrabi et al., 2017; Dickson et al., 2013; Koç et al., 2025). In this patient, most of the detected genotypes fall within the coverage of the nonavalent HPV vaccine, indicating that vaccination could have prevented infection. Data from the Netherlands showed that girls-only vaccination with limited coverage failed to establish herd immunity (Pasmans et al., 2020), whereas long-term studies demonstrated durable and cross-protective antibody responses lasting up to 12 years (Kann, 2020). **Conclusion:** Even in cytology-negative women, multiple HR-HPV infections pose a considerable risk. This case underscores the importance of HPV DNA testing and highlights HPV vaccination as a cornerstone of cervical cancer prevention at both the individual and population levels.

Keywords: Human Papillomavirus, Hpv Vaccination, Cervical Cancer Prevention



Makale id= 174

Sözlü Sunum

ORCID ID: 0000-0003-4639-7528

| 275

Sıvı Mikrodilüsyon ve Checkerboard Yöntemleri Kullanılarak Linezolid'e Dirençli Mrsa'da Antibiyotik Duyarlılığı ve Etkileşimlerinin Değerlendirilmesi

Uzman Kadir Çakıral¹, Araştırmacı İrem Oben¹, Araştırmacı Zeynep Sude Çelik¹, Araştırmacı Cemran Türkoğulları¹, Araştırmacı İdil Yaren Cangert¹, Araştırmacı Mehmet Erhan Derin¹, Araştırmacı Cenker Hasan Oduncuoğlu¹, Assoc.prof.Dr. Halil Eren Sakallı², Doç.Dr. Mümtaz Güran³

¹Tıp Fakültesi, Doğu Akdeniz Üniversitesi, Kuzey Kıbrıs, Mersin 10, Gazi Mağusa, 99628 Türkiye

²Farmakoloji Departmanı, Tıp Fakültesi, Doğu Akdeniz Üniversitesi, Kuzey Kıbrıs, Mersin 10, Gazi Mağusa, 99628 Türkiye

³Tıbbi Mikrobiyoloji Departmanı, Tıp Fakültesi, Doğu Akdeniz Üniversitesi, Kuzey Kıbrıs, Mersin 10, Gazi Mağusa, 99628 Türkiye

*Corresponding author: Kadir Çakıral

Özet: Linezolid'e dirençli metisiline dirençli Staphylococcus aureus (Li-MRSA), tedavi zorlukları oluşturur ve kombine antibiyotik tedavisi gibi alternatif stratejilerin gerekliliğini ortaya çıkar. Bu çalışmada, üç Li-MRSA izolatının linezolid, rifampin ve gentamisine karşı antimikrobiyal duyarlılığı disk difüzyon ve sıvı mikrodilüsyon yöntemleriyle değerlendirilmiş ve antibiyotik etkileşimleri checkerboard yöntemiyle incelenmiştir. Tüm izolatlar, EUCAST sınır değerlerini aşan (>4 mg/L) doğrulanmış linezolid direnci (MIC 4.10–16.40 mg/L) ile birlikte çoklu ilaç direnci göstermiştir. Buna ek olarak, rifampin tüm izolatlar karşı güçlü etkinliğini korumuş (MIC 3.90×10^{-5} – 1.95×10^{-3} mg/L) ve duyarlılığın devam ettiğini göstermiştir. Disk difüzyon testi, siprofloksasin, meropenem, klindamisin, gentamisin ve sefoxitine karşı direnç varlığını doğrularken, rifampin belirgin inhibisyon zonları oluşturmuştur. Checkerboard analizleri, linezolid-rifampin kombinasyonlarında değişken etkileşimler ortaya koymuştur: izolat L1'de toplam etkiler (FICI=0.75), L2-L3 izolatlarında ise önemsiz etkileşimler (FICI=1.25–1.50) gözlenmiştir. Ek testler, linezolid-gentamisin kombinasyonunun önemsiz (FICI=2.0) ve rifampin-gentamisin kombinasyonunun toplam etkili (FICI=1.0) olduğunu göstermiştir. Bu bulgular, Li-MRSA'da rifampin duyarlılığının korunduğunu ve rasyonel kombinasyon tedavisi için potansiyel bir fırsat sunduğunu ortaya koymaktadır. Değişken sinerji paternleri, suşa özgü yanıtların önemini vurgulamakta ve rifampinin, linezolid'e dirençli enfeksiyonlarda kurtarma rejimlerinde partner ilaç olarak potansiyelini öne çıkarmaktadır. Bu durum, Li-MRSA enfeksiyonlarında rifampin temelli kombinasyon tedavilerinin etkinliğini değerlendirecek klinik çalışmaların gerekliliğini göstermektedir.

Anahtar Kelimeler: Mrsa, Linezolid Direnci, Rifampin, Checkerboard Testi, Antibiyotik Sinerji

Evaluation of Antibiotic Susceptibility and Interactions in Linezolid-Resistant Mrsa Using Broth Microdilution and Checkerboard Assays

Abstract: Linezolid-resistant methicillin-resistant Staphylococcus aureus (Li-MRSA) poses significant therapeutic challenges, necessitating alternative treatment strategies including combination antibiotic therapy. This study evaluated the antimicrobial susceptibility of three Li-MRSA isolates against linezolid, rifampin and gentamicin using disk diffusion and broth microdilution assays and assessed antibiotic interactions through checkerboard methodology. All isolates demonstrated multidrug

resistance with confirmed linezolid resistance (MIC 4.10-16.40 mg/L) exceeding EUCAST breakpoints (>4 mg/L). Notably, rifampin retained potent activity against all isolates (MIC 3.90×10^{-5} - 1.95×10^{-3} mg/L), indicating preserved susceptibility. Disk diffusion confirmed resistance to ciprofloxacin, meropenem, clindamycin, gentamicin, and ceftiofloxacin, while rifampin produced clear inhibition zones. Checkerboard assays revealed variable linezolid-rifampin interactions: additive effects in isolate L1 (FICI=0.75) and indifference in L2-L3 (FICI=1.25-1.50). Additional testing showed indifferent linezolid-gentamicin interactions (FICI=2.0) and additive rifampin-gentamicin effects (FICI=1.0). These findings demonstrate that rifampin susceptibility persists in Li-MRSA, presenting opportunities for rational combination therapy. The variable synergy patterns emphasize strain-specific responses and highlight rifampin's potential as a partner drug in salvage regimens for linezolid-resistant infections, warranting clinical trials to evaluate rifampin-based combination therapy in Li-MRSA infections.

Keywords: Mrsa, Linezolid Resistance, Rifampin, Checkerboard Assay, Antibiotic Synergy



Makale id= 49**Sözlü Sunum**ORCID ID: <https://orcid.org/0000-0002-6200-0909>

| 277

Soğukla Tetiklenen Zorlu Bir Hastalık: 3. Basamak Alerji Kliniğinde Soğuk Ürtiker Deneyimi**Uzman Dr. Begüm Görgülü Akın¹, Prof.Dr. Şadan Soyyiğit²**¹Ankara Bilkent Şehir Hastanesi, İmmünoloji ve Alerji Hastalıkları Kliniği²Ankara Yıldırım Beyazıt Üniversitesi Tıp Fakültesi ve Ankara Bilkent Şehir Hastanesi, İmmünoloji ve Alerji Hastalıkları Kliniği

*Corresponding author: Begüm Görgülü Akın

Özet: Giriş: Soğukla tetiklenen ürtiker ve/veya anjiyoödem, nadir görülmesine karşın yaşam kalitesini ciddi düzeyde etkileyen indüklenabilir ürtiker tipidir. Klinik tablo, soğuk hava, su veya nesne teması sonrası dakikalar içinde gelişen eritem, ödem, kaşıntı ve bazı olgularda anafilaksi ile seyretmektedir. Bu çalışma, üçüncü basamak alerji kliniğinde takip edilen hastaların klinik ve laboratuvar özelliklerinin değerlendirilmesi amacıyla yapılmıştır. Yöntem: İmmünoloji ve Alerji Hastalıkları Kliniği'ne soğukla temas sonrası ürtiker ve/veya anjiyoödem geliştiği için başvuran 19 erişkin hastanın verileri retrospektif olarak incelendi. Demografik veriler, eşlik eden hastalıklar, klinik bulgular, laboratuvar tetkikleri ve buz testi sonuçları kaydedildi. Ürtiker semptom şiddeti Ürtiker aktivite skoru-7 (ÜAS-7) ve Görsel analog skala (VAS) ile değerlendirildi. Bulgular: Hastaların yaş ortancası 36 (min:20-maks:63) yıl olup %73,7'si kadın, %26,3'ü erkekti. Ürtiker süresi ortanca 2 (min:1-maks:6) yıl, anjiyoödem sıklığı %31,6 (n=6) olup en sık göz-dudak bölgesinde görüldü. Anafilaksi öyküsü %21,1 (n=4) hastada mevcuttu. Lezyon sayısı çoğunlukla 20-50 arasında (n=10, %52,6) izlendi. ÜAS-7 ortanca değeri 24 olup hastaların %47,4'ü ağır şiddetteydi; VAS ortanca değeri ise 7 (min:5-maks:10) idi. Tedavide en sık antihistaminik (n=12, %63), ardından antihistaminik+steroid (n=3, %16) ve antihistaminik+steroid+adrenalin (n=4, %21) kombinasyonları uygulandı. Laboratuvar değerlendirmelerinde triptaz düzeyi ortanca 4,58 ng/mL (min:2-maks:13,4) olarak saptandı. Hematolojik ve biyokimyasal parametreler çoğunlukla normal sınırlardaydı. Kriyoglobulin, viral hepatitler ve HIV tüm hastalarda negatifken, yalnızca iki hastada (%10) anti-TPO pozitifliği belirlendi. Buz testi %95 (n= 18) hastada pozitif bulundu. Hastaların demografik ve klinik özellikleri Tablo 1, laboratuvar tetkikleri ve buz testi sonuçları ise Tablo 2'de özetlendi. Tartışma: Sonuçlarımız, soğukla tetiklenen ürtiker ve/veya anjiyoödemde daha çok genç erişkin kadınlarda görüldüğünü, ağır semptomlarla seyredebileceğini ve anafilaksi riski taşıyabileceğini göstermektedir. Klinik şiddet değerlendirmesinde ÜAS-7 ve VAS skorları yol gösterici olurken, buz testi tanıda basit ve güvenilir bir yöntem olarak öne çıkmaktadır. Bulgularımız, bu hasta grubunda erken tanı ve uygun tedavi stratejilerinin kritik önem taşıdığını vurgulamaktadır.

Anahtar Kelimeler: Anafilaksi, Anjiyoödem, Soğuk, Ürtiker

Makale id= 19

Sözlü Sunum

ORCID ID: 0000-0001-8780-2943

| 278

Spinal Deformite Cerrahisinde Lowest Instrumented Vertebra (Lıv) Seçiminin Sagittal Denge (Sva) Üzerine Etkisi

Uzman Dr. Salih Kaya¹
¹Erzurum Şehir Hastanesi

Özet: Amaç: Bu çalışmanın amacı spinal deformite cerrahisinde LIV seçiminin global sagittal denge (SVA) üzerine etkisini değerlendirmektir. Gereç ve Yöntem: Retrospektif olarak incelenen 77 hastada preoperatif ve postoperatif SVA değerleri kaydedildi. Hastalar $LIV \leq L3$ (proksimal grup) ve $LIV \geq L4$ (distal grup) olarak ikiye ayrıldı. Preop–postop değişim Wilcoxon eşleştirilmiş testi ile, gruplar arası karşılaştırma ise Mann–Whitney U testi ile yapıldı. Bulgular: Tüm kohortta postoperatif SVA, preoperatif değerlere göre anlamlı düzelme gösterdi ($p0.05$). Sonuç: Spinal deformite cerrahisi sonrasında sagittal denge anlamlı şekilde düzelmektedir. Ancak LIV seviyesinin SVA üzerine bağımsız etkisi bulunmamıştır.

Anahtar Kelimeler: Sagittal Denge, Sva, Lowest Instrumented Vertebra

The Effect of Lowest Instrumented Vertebra (Lıv) Selection On Sagittal Alignment (Sva) in Spinal Deformity Surgery

Abstract: Objective: To evaluate the effect of LIV selection on global sagittal alignment (SVA) in spinal deformity surgery. Methods: A retrospective cohort of XX patients who underwent spinal deformity surgery was analyzed. Pre- and postoperative SVA values were recorded. Patients were divided into two groups: $LIV \leq L3$ (proximal) and $LIV \geq L4$ (distal). Pre- to postoperative changes were assessed with the Wilcoxon signed-rank test, and intergroup comparisons with the Mann–Whitney U test. Results: Overall, postoperative SVA significantly improved compared to preoperative values ($p0.05$). Conclusion: Sagittal alignment significantly improves after spinal deformity surgery. However, LIV level had no independent effect on postoperative SVA.

Keywords: Sagittal Alignment, Sva, Lowest Instrumented Vertebra,

Makale id= 187

Sözlü Sunum

ORCID ID: 0000-0001-5859-5391

| 279

Spontan Bilateral Tubal Ektopik Gebelik

Dr. Çağcı Yetim¹

¹Medicana Ataköy Hastanesi

Özet: Ektopik gebelik, fertilize ovumun endometriyal kavite dışında yerleşmesiyle ortaya çıkar ve tüm gebeliklerin yaklaşık %1–2’sini oluşturur. Bilateral tubal implantasyon ise son derece seyrek görülen bir durum olup, spontan konsepsiyonlarda milyonda birden az sıklıkta bildirilmiştir. Bu bildiride, bilateral tubal ektopik gebelik tanısı konulan nadir bir olgu sunulmuştur. 36 yaşında, daha önce spontan gebeliği olan kadın hasta, alt karın bölgesinde ağrı ve vajinal kanama yakınmasıyla başvurdu. Transvajinal ultrasonografide her iki adneksiyel bölgede heterojen yapıda kitleler saptandı, uterus kavitesi boş izlendi ve hCG (human chorionic gonadotropin) ölçümünde artış tespit edildi. Operasyonda bilateral salpenjektomi uygulandı. Patolojik incelemede her iki tuba lümeninde hematomla uyumlu kanama alanları, epitelde hiperplazi, desidualize dokular, submukozal konjesyon, hemoraji ve kronik inflamasyon bulguları gözlemlendi. Malignite bulgusuna rastlanmadı. Bulgular bilateral ektopik gebelik ile uyumlu olarak değerlendirildi. Bilateral tubal ektopik gebelik oldukça ender rastlanan, tanısal açıdan güçlük yaratabilen bir klinik tablodur. Özellikle yardımcı üreme teknikleri öyküsü olmayan olgularda, bu tanının göz önünde bulundurulması önemlidir. Bu vaka, erken tanı için yüksek klinik şüphe gerekliliğini ve cerrahi değerlendirmenin kritik rolünü vurgulamaktadır.

Anahtar Kelimeler: Bilateral Ektopik Gebelik, Tubal Gebelik, Salpenjektomi, Patoloji

Spontaneous Bilateral Tubal Ectopic Pregnancy

Abstract: Ectopic pregnancy occurs when a fertilized ovum implants outside the endometrial cavity, accounting for approximately 1–2% of all pregnancies. Bilateral tubal implantation represents an exceptionally rare phenomenon, with an estimated incidence of less than one in a million spontaneous conceptions. Here, we present a rare case of bilateral tubal ectopic pregnancy. A 36-year-old woman with a history of a previous spontaneous pregnancy presented with lower abdominal pain and vaginal bleeding. Transvaginal ultrasonography revealed heterogeneous masses in both adnexal regions, an empty uterine cavity, and elevated serum human chorionic gonadotropin (hCG) levels. Bilateral salpingectomy was performed. Histopathological examination demonstrated extensive hemorrhage consistent with hematoma within both tubal lumens, epithelial hyperplasia, decidualized tissue, submucosal vascular congestion, hemorrhage, and chronic inflammatory changes. No evidence of malignancy was identified. These findings were consistent with bilateral ectopic pregnancy. Bilateral tubal ectopic pregnancy is an exceedingly rare clinical entity that poses a significant diagnostic challenge. This case underscores the importance of maintaining a high index of suspicion for early diagnosis, particularly in patients without a history of assisted reproductive technologies, and highlights the critical role of surgical exploration in management.

Keywords: Bilateral Ectopic Pregnancy, Tubal Pregnancy, Salpingectomy, Pathology

Makale id= 165

Sözlü Sunum

ORCID ID: 0000-0002-6817-4686

| 280

St-Elevasyonlu Miyokard Enfarktüsü Hastalarında Yeni Gelişen Atriyal Fibrilasyonu Öngörmede Sistemik İmmün-İnflamasyon İndeksinin Rolü: Tek Merkez Deneyimi

Dr. Öğretim Üyesi İlke Erbay¹

¹Bülent Ecevit Üniversitesi Tıp Fakültesi

Özet: Amaç: ST-elevasyonlu miyokard enfarktüsü (STEMI) seyrinde gelişen yeni atriyal fibrilasyon (AF) sık görülen bir komplikasyondur ve olumsuz klinik sonuçlarla ilişkilidir. Platelet, nötrofil ve lenfosit sayılarının kombinasyonundan elde edilen Sistemik İmmün-İnflamasyon İndeksi (SII), çeşitli kardiyovasküler durumlarda prognostik bir belirteç olarak öne çıkmaktadır. Bu çalışmada STEMI hastalarında SII'nin yeni gelişen AF'yi öngördürücü rolünü değerlendirmeyi amaçladık. Yöntem: Bu tek merkezli, retrospektif, gözlemsel çalışmaya Eylül 2024–Eylül 2025 tarihleri arasında Zonguldak Bülent Ecevit Üniversitesi Tıp Fakültesi Hastanesi Acil Servisi'nde STEMI tanısı konan ardışık hastalar dahil edildi. Bilinen AF öyküsü, ileri kapak hastalığı, kardiyomiyopati, kalıcı pacemaker, aktif enfeksiyon, sistemik inflamatuvar veya hematolojik hastalık, malignite, kronik karaciğer hastalığı, ciddi böbrek yetmezliği (eGFR)

Anahtar Kelimeler: St-Elevasyonlu Miyokard Enfarktüsü; Atriyal Fibrilasyon; Sistemik İmmün-Inflamasyon İndeksi; İnflamasyon

Predictive Value of the Systemic Immune-Inflammation Index for New-Onset Atrial Fibrillation in Patients With St-Elevation Myocardial Infarction: A Single-Center Experience

Abstract: Objective: New-onset atrial fibrillation (AF) frequently complicates the course of ST-elevation myocardial infarction (STEMI) and is associated with adverse outcomes. Systemic Immune-Inflammation Index (SII), a novel marker integrating platelet, neutrophil, and lymphocyte counts, has emerged as a prognostic indicator in various cardiovascular conditions. We aimed to evaluate the predictive role of SII for new-onset AF in STEMI patients. Methods: This single-center, retrospective, observational study included consecutive patients who were diagnosed with STEMI at the emergency department of Zonguldak Bülent Ecevit University Faculty of Medicine Hospital between September 2024 and September 2025. Patients with known AF, significant valvular disease, cardiomyopathy, prior pacemaker implantation, active infection, systemic inflammatory or hematological disorders, malignancy, chronic liver disease, severe renal dysfunction (eGFR)

Keywords: St-Elevation Myocardial Infarction; Atrial Fibrillation; Systemic Immune-Inflammation Index; İnflammation

Makale id= 24

Sözlü Sunum

ORCID ID: 0000-0002-5654-1397

| 281

Tedaviye Dirençli Anjiyoödemın Gizemi: Acei Kaynaklı Olasılıklar

Uzman Dr. Yasemin Akgul Balaban¹

¹Zonguldak Atatürk Devlet Hastanesi

Özet: Anjiyotensin Dönüştürücü Enzim İnhibitörü (ACEİ)-kaynaklı anjiyoödem, nadir ancak ciddi bir klinik durumdur. Hastalar uzun yıllar ACEİ kullanmalarına rağmen ACEİ-kaynaklı anjiyoödem ile karşılaşabilirler. ACEİ, bradikininin yıkımını engelleyerek bradikininin kan düzeyini artırır, böylelikle vasküler geçirgenliğin artmasına ve deri altı ve submukozal boşlukta sıvı birikmesine neden olur. ACEİ-kaynaklı anjiyoödem hastaları, yüz, dudaklar, dil ve hava yolu yapılarının etkilenme eğilimi nedeniyle hava yolu tıkanıklığı riski altındadır. Anjiyoödem genellikle ani bir şekilde başlar ve alerjik reaksiyonların tedavisinde yaygın olarak kullanılan antihistaminik, steroid ve adrenalin gibi ilaçlara yanıt vermez. Bu durum, ACEİ-kaynaklı anjiyoödemi diğer ödem türlerinden ayıran önemli bir özelliktir. Laboratuvar testlerinde, C1 esteraz inhibitörü düzeyi, fonksiyonu ve kompleman seviyeleri genellikle normaldir, bu da genetik C1 esteraz inhibitörü eksikliği (Hereditör Anjiyoödem) gibi durumlardan farklı bir etiyoloji olduğunu gösterir. Tedavide ana unsur sorumlu ilacın kesilmesidir. C1-INH tedavisi, uygun olgularda etkili ve hayat kurtarıcıdır. Ayrıca, bradikinin reseptör antagonistleri de diğer tedavi seçenekleri olarak değerlendirilebilir. Sonuç olarak; ACEİ tedavisi sonucu gelişen anjiyoödem, acil stabilizasyon ve hava yolu yönetimi konusunda eğitimli bir hekim tarafından derhal değerlendirilmesi gereken, potansiyel olarak yaşamı tehdit eden bir komplikasyondur. Erken dönemde doğru tanı konularak yönetildiğinde, gereksiz cerrahi müdahalelerin ve komplikasyonların önüne geçilebilir. ACEİ-kaynaklı anjiyoödemın doğru bir şekilde tanımlanması, hastaların yanlış prosedürlerden korunmasını sağlar. Bu nedenle, geleneksel tedavilere dirençli anjiyoödemli hastaların tedavisinde bir alerji uzmanının görüşünün alınması önemlidir.

Anahtar Kelimeler: Acei-Kaynaklı Anjiyoödem; Anjiyoödem; Anjiyotensin Dönüştürücü Enzim İnhibitörleri; Bradikinin; C1 Esteraz İnhibitörü

Makale id= 60

Sözlü Sunum

ORCID ID: 0000-0002-7178-2164

| 282

Tek Örgülü Stent Yardımı ile Koil Embolizasyonu Yapılan İntrakraniyal Bifurkasyon Anevrizmaların Uzun Dönem Sonuçları

Uzman Dr. Özgür Zülfükar Ertuğrul¹
¹Gazi Yaşargil EAH

Özet: Amaç: İntrakraniyal bifurkasyon anevrizmalarının endovasküler tedavisi, geniş boyun yapısı ve yan dalların korunması gerekliliği nedeniyle zorluklar içermektedir. Bu çalışmada, örgülü stent destekli koil embolizasyonu ile tedavi edilen bifurkasyon anevrizmalarının uzun dönem sonuçları retrospektif olarak değerlendirildi. Gereç ve Yöntem: Ocak 2021–Aralık 2024 arasında merkezimizde bu yöntemle tedavi edilen, rüptüre olmayan ve yeterli takip verisine sahip 90 hasta çalışmaya dahil edildi. Kullanılan stentler ACCERO, LEO/LEO Baby ve LVIS/LVIS Junior idi. Tüm hastalara çiftli antiplatelet tedavi uygulandı. İşlemler sonrası 6. ve 12. ayda DSA, 24. ayda MRA ile takip yapıldı. Oklüzyon dereceleri Roy-Raymond (RROC) sınıflamasına göre değerlendirildi. Bulgular: Hastaların ortalama yaşı 59,9 olup %48'i kadındı. Anevrizmaların %42'si ACoA, %34'ü MCA, %24'ü baziler tepe yerleşimliyd. Teknik başarı oranı %100'dü. Bir hastada erken in-stent tromboz, iki hastada geçici iskemik olay izlendi; kalıcı defisit gelişmedi. MCA bifurkasyonunda bir yan dal oklüzyonu asemptomatik seyretti. İşlem sonrası RROC dağılımı Grade 1 (%35,5), Grade 2 (%44,4), Grade 3 (%20) iken, 24. ayda tam oklüzyon oranı %84,4'e yükseldi. Yedi hastada rezidü nedeniyle flow diverter ile yeniden tedavi yapıldı. Sonuç: Örgülü stent destekli koil embolizasyonu, intrakraniyal bifurkasyon anevrizmalarında yüksek teknik başarı, düşük komplikasyon oranı ve zamanla artan oklüzyon başarısı ile güvenli ve etkili bir tedavi seçeneğidir. Özellikle geniş boyunlu ve kompleks anevrizmalarda uzun dönemli başarıyı desteklemektedir.

Anahtar Kelimeler: İntrakraniyal Bifürkasyon Anevrizması,örgülü Stent,koil Embolizasyonu,flow Diverter Benzeri Etki

Makale id= 124**Sözlü Sunum**

ORCID ID: Yunus Coruk 0009-00097436-2833 / Ceren Gür 0000-0003-0554-6718

| 283

Tekrarlayan Pnömoninin Nadir Nedeni**Arş.Gör. Yunus Coruk¹, Uzman Dr. Ceren Gür¹**¹Bağcılar Eğitim Araştırma Hastanesi

*Corresponding author: Yunus Coruk

Özet: 29 yaşında, bilinen ek hastalığı olmayan erkek hasta, poliklinik kontrolüne nefes darlığı ve öksürük şikayetleri ile başvurmuştur. Yapılan tetkiklerinde CRP yüksekliği saptanmış, oskültasyonda akciğer orta ve alt zonlarında raller duyulmuş, görüntülemelerinde ise fibrotik kalınlaşmalar ve infiltratif alanlar izlenmiştir. Eski tetkikleri incelendiğinde, CRP değerlerinde dalgalanmalar olduğu, son 10 yıldır yılda en az 6 kez enfeksiyon parametrelerinde yükselme saptandığı görülmüştür. Her enfeksiyon atağında yoğun antibiyotik tedavisi uygulanmış ve bu tedavilere yanıt alınmıştır. Anamnezinde, çocukluk çağından itibaren sık enfeksiyon geçirdiğini, genellikle acil servislere başvurduğunu, hastalıklarının ateş ve öksürükle seyrettiğini ve antibiyotik tedavisi olmadan düzelmediğini ifade etmiştir. Başvuru sırasında kan kültürleri alınmış, genel durumu düşkün olması nedeniyle malignite taraması yapılmış ancak anlamlı bir bulguya rastlanmamıştır. Takiplerinde enfeksiyon parametrelerinde tekrar yükselme saptanması üzerine antibiyotik tedavisine yeniden başlanmıştır. Aile öyküsü detaylı alınmış, romatolojik hastalık ya da malignite öyküsü bulunmamıştır. İmmüoglobulin düzeylerine bakıldığında IgG, IgA ve IgM’de düşüklük saptanmıştır. Hastadan akım sitometri ve protein elektroforezi istenmiş, multipl miyelom açısından ekarte edilmiştir. Tüm bu bulgular doğrultusunda hastaya “Yaygın Değişken İmmün Yetmezlik” tanısı konulmuştur.

Anahtar Kelimeler: Pnömoni, Enfeksiyon, Hipogammaglobulinemi**A Rare Cause of Recurrent Pneumonia**

Abstract: A 29-year-old man with no known comorbidities presented to the outpatient clinic for a checkup with complaints of shortness of breath and cough. His CRP levels were elevated, auscultation revealed crackles in the middle and lower lung zones, and imaging revealed fibrotic thickening and infiltrative areas. A review of his past tests revealed fluctuations in his CRP levels and elevated infection parameters at least six times a year for the past 10 years. He had received intensive antibiotic treatment for each infection episode, and these treatments had responded well. His medical history indicated that he had suffered frequent infections since childhood, frequently visited emergency departments, and his illnesses were characterized by fever and cough, which did not improve without antibiotic treatment. At the time of presentation, blood cultures were taken, and due to his poor general condition, a malignancy screening was performed, but no significant findings were found. Following follow-up, antibiotic treatment was restarted after a recurrence of elevated infection parameters. A detailed family history was obtained, and no history of rheumatological disease or malignancy was found. Immunoglobulin levels revealed decreased IgG, IgA, and IgM. Flow cytometry and protein electrophoresis were performed, and multiple myeloma was ruled out. Based on these findings, the patient was diagnosed with Common Variable Immunodeficiency.

Keywords: Pneumonia, Infection, Hypogammaglobulinemia

Makale id= 99

Sözlü Sunum

ORCID ID: 0009-0005-6586-0604

| 284

Testiküler Torsiyon/detorsiyon Hasarına Karşı Hidroksitirozolün Koruyucu Etkisinin Araştırılması

Arş.Gör. Zeynep Sare Koloğlu¹, Dr. Öğretim Üyesi Kayıhan Karaçor², Doç.Dr. Hakan Soylu²

¹Bezmialem Vakıf Üniversitesi

²Düzce Üniversitesi

*Corresponding author: Zeynep Sare Koloğlu

Özet: Testis torsiyonu, erkek infertilitesinin en önemli nedenlerinden biridir. Özellikle yeni doğan ve ergenlik çağı 25 yaş altı genç erkeklerde 1/4000 oranında yaygın olarak gözlemlenir. Torsiyon, testisin kendi ekseninde dönmesi sonucu spermatik kordonun bükülmesiyle oluşan ürolojik bir acil durumdur. Kanlanması bozulan dokuda reaktif oksijen türleri (ROS) üretimi aşırı artarak oksidatif stres gelişir ve iskemi hasarı meydana gelir. Cerrahi detorsiyon ile testisin serbest bırakılması, reperfüzyon hasarına neden olur ve iskemik testiste daha fazla hasara yol açar. Testiste İskemi/Reperfüzyon (İ/R) hasarı; germ hücre kaybı, testis disfonksiyonu, enfarktüsü ve nekrozu ile sonuçlanabilir. Torsiyon/Detorsiyon (T/D) oluşturulmuş hayvan modellerinde testis İ/R hasarını önlediği bilinen çok sayıda farmakolojik ajan vardır. Hidroksitirozol (HT), zeytinyağı meyvesi ve yapraklarında bolca bulunan güçlü antioksidan ve antiinflamatuvar özelliklere sahip doğal bir fenolik bileşiktir. Bu çalışmada, testis T/D kaynaklı gelişen İ/R hasarında hidroksitirozolün, testis dokusunu ve hücrelerini koruyucu etkisini gösterdik. 30 adet Wistar Albino sıçan ile Kontrol(n=6), Sham(n=6), HT(n=6), T/D(n=6) ve T/D+HT(n=6) olmak üzere 5 adet grup oluşturduk. HT gruplarına 7 gün boyunca intraperitoneal olarak %98 saflıkta Hidroksitirozol uyguladık. T/D gruplarına ise sol testisi saat yönünde 720° döndürüp 2 saat boyunca torsiyon, ardından 3 saat boyunca detorsiyon operasyonu uyguladık. Sol testisleri Hematoksilin-Eozin (H&E) boyaması ile histopatolojik olarak inceledik. Ayrıca Cosentino skorlama yaparak dokunun bütünlüğünü ve hücrelerin durumunu değerlendirdik. Sonuç olarak, hidroksitirozolün testis dokusunda testis T/D kaynaklı İ/R hasarını azalttığını gözlemledik.

Anahtar Kelimeler: Testis, Torsiyon/detorsiyon, Hidroksitirozol

Investigation of the Protective Effect of Hydroxytyrosol Against Testicular Torsion/detorsion Injury

Abstract: Testicular torsion is one of the most important causes of male infertility. It is observed with a prevalence of 1/4000, particularly in newborns and adolescents under the age of 25. Torsion is a urological emergency caused by twisting of the spermatic cord due to rotation of the testicle on its axis. In the compromised tissue, reactive oxygen species (ROS) production increases excessively, resulting in oxidative stress and ischemic damage. Surgical detorsion of the testicle causes reperfusion injury, further damaging the ischemic testicle. Ischemia/Reperfusion (I/R) injury to the testicle can result in germ cell loss, testicular dysfunction, infarction, and necrosis. Numerous pharmacological agents are known to prevent testicular I/R injury in animal models of Torsion/Detorsion (T/D). Hydroxytyrosol (HT) is a natural phenolic compound with potent antioxidant and anti-inflammatory properties, abundant in olive oil fruits and leaves. In this study, we demonstrated the protective effect of hydroxytyrosol on testicular tissue and cells in testicular T/D-induced I/R injury. We formed 5 groups of 30 Wistar albino

rats: Control(n=6), Sham(n=6), HT(n=6), T/D(n=6), and T/D+HT(n=6). We administered 98% pure hydroxytyrosol intraperitoneally to the HT groups for 7 days. In the T/D groups, we rotated the left testicle 720° clockwise and subjected it to torsion for 2 hours, followed by detorsion for 3 hours. We examined the left testes histopathologically using Hematoxylin-Eosin (H&E) staining. We also assessed tissue integrity and cell status using Cosentino scoring. In conclusion, we observed that hydroxytyrosol reduced testicular T/D-induced I/R injury.

Keywords: Testis, Torsion/detorsion, Hydroxytyrosol



Makale id= 125

Sözlü Sunum

ORCID ID: 0000-0002-9946-3026

| 286

The Impact of Emerging Digital Technologies On Anatomy Education: From Youtube to Artificial Intelligence

Dr. Ayse Gamze Ozcan¹

¹Selcuk University, Faculty of Medicine

Abstract: Advancements in digital technology have profoundly transformed anatomy education, a fundamental component of medical training. Digital technologies have begun to support anatomy teaching by serving as complementary tools to traditional cadaver-based methods. Particularly during the COVID-19 pandemic, the mandatory shift to online education increased the use of digital platforms and encouraged universities to share lecture recordings, practical sessions, and visual materials in online environments. This review examines the effects of YouTube videos, virtual dissection software, three-dimensional (3D) anatomy applications, and artificial intelligence (AI)-based systems on anatomy education. The literature indicates that YouTube provides students with easily accessible learning resources; however, some videos may contain inaccurate or misleading information. Educational materials produced and uploaded by universities have improved the overall quality and reliability of such content. Commercial 3D anatomy software offers interactive and accurate learning environments, yet their paid access limits availability for some institutions. When properly guided, AI applications can support personalized learning, though the accuracy of their content must be verified through reliable academic sources. Overall, the literature suggests that digital technologies enhance students' learning motivation, visual memory, and conceptual understanding, while challenges regarding content reliability and accessibility persist. Integrating institutionally approved digital tools into anatomy curricula and ensuring free access for students will facilitate adaptation to digital learning environments and contribute to improved efficiency and educational quality in anatomy instruction.

Keywords: Anatomy Education, Digital Learning, Youtube, 3d Modeling, Artificial Intelligence

Makale id= 65

Sözlü Sunum

ORCID ID: 0000-0002-9287-7875

| 287

Timoma Alt Tipleri ile Suvmax, Tümör Boyutu, İnvazyon ve Myasthenia Gravis Varlığı Arasındaki İlişki

Dr. Muhammet Halil Baltacıoğlu¹

¹Trabzon Kanuni Eğitim ve Araştırma Hastanesi Nükleer Tıp Kliniği

Özet: Amaç: Timomalar, anterior mediastende görülen nadir epitelyal tümörlerdir ve histolojik alt tiplerine göre klinik davranışları farklılık gösterebilir. Bu çalışmanın amacı, FDG PET/BT'den elde edilen SUVmax değerlerinin timoma alt tipleri, tümör boyutu, invazyon varlığı ve Myasthenia Gravis (MG) ile ilişkisini araştırmaktır. Yöntem: 2018–2025 yılları arasında anterior mediastinal kitle nedeniyle FDG PET/BT yapılan 45 hasta geriye dönük olarak incelendi. Cerrahi olarak opere edilmiş ve histopatolojik tanısı kesinleşmiş 9 hasta çalışmaya dahil edildi. Değerlendirilen parametreler; histolojik alt tip (AB, B1, B2, B3, C), SUVmax, tümör boyutu, invazyon varlığı ve MG varlığıydı. İstatistiksel analizlerde kategorik değişkenler için Ki-kare testi, sürekli değişkenler için Kruskal–Wallis ve Mann–Whitney U testleri, SUVmax ile tümör boyutu arasındaki ilişki için Spearman korelasyonu kullanıldı. Bulgular: Toplam 9 hastanın 6'sı kadın, 3'ü erkekti; yaş ortalaması 54.7 (24–75 yıl) bulundu. Histolojik alt tipler AB (n=2), B1 (n=2), B2 (n=1), B3 (n=2) ve C (n=2) idi. SUVmax değerleri AB tipinde 3.6, B1 tipinde ortalama 6.0, B2 tipinde 3.9, B3 tipinde ortalama 5.28 ve C tipinde ortalama 6.2 idi. Tümör boyutları AB'de 19–55 mm, B1'de 58–65 mm, B2'de 35 mm, B3'te 45–72 mm ve C tipinde 40–75 mm olarak ölçüldü. Alt tipler arasında SUVmax (p=0.204) ve tümör boyutu (p=0.493) açısından anlamlı fark saptanmadı. İnvazyon varlığı ile alt tip arasında ilişki bulunmadı (p=0.522). MG pozitif olan 5 hastada SUVmax (5.53) ve tümör boyutu (55.2 mm) MG negatiflere göre (4.6 ve 47 mm) daha yüksek olsa da bu fark istatistiksel olarak anlamlı değildi (p=0.323, p=0.413). Sonuç: Daha agresif histolojik alt tiplerde SUVmax ve tümör boyutunun artış eğiliminde olduğu gözlenirse de bu farklar istatistiksel anlamlılığa ulaşmamıştır. Bulgular literatürle genel uyum göstermekte olup, daha güçlü sonuçlara ulaşabilmek için geniş hasta serilerine ihtiyaç vardır. FDG PET/BT, timomaların biyolojik davranışını değerlendirmede yardımcı olabilir.

Anahtar Kelimeler: Timoma, Fdg Pet/bt, Suvmax, Tümör Boyutu, Myasthenia Gravis, İnvazyon

The Relationship Between Thymoma Subtypes and Suvmax, Tumor Size, Invasion, and Presence of Myasthenia Gravis

Abstract: Objective: Thymomas are rare epithelial tumors of the anterior mediastinum, with variable clinical behavior depending on histological subtype. This study investigated the relationship between FDG PET/CT SUVmax, thymoma subtypes, tumor size, invasion, and the presence of myasthenia gravis (MG). Methods: We retrospectively reviewed 45 patients who underwent FDG PET/CT for anterior mediastinal masses between 2018 and 2025. Nine patients with surgical resection and histopathological confirmation were included. Parameters analyzed were histological subtype (AB, B1, B2, B3, C), SUVmax, tumor size, invasion, and MG status. Chi-square, Kruskal–Wallis, Mann–Whitney U, and Spearman correlation tests were used. Results: The cohort consisted of six women and three men, with a mean age of 54.7 years (24–75). Histological distribution was AB (n=2), B1 (n=2), B2 (n=1), B3

(n=2), and C (n=2). SUVmax ranged from 3.6 in AB to 6.2 in B1 and C. Tumor size varied from 19–55 mm in AB to 40–75 mm in type C. No significant differences were found between subtypes for SUVmax ($p=0.204$) or tumor size ($p=0.493$). Invasion was not associated with subtype ($p=0.522$). Mean SUVmax and tumor size were slightly higher in invasion-positive patients (5.26 and 53.2 mm) compared to invasion-negative cases (4.6 and 52.5 mm), without significance ($p=0.88$). MG-positive patients (n=5) had higher SUVmax (5.53 vs 4.6) and larger tumors (55.2 vs 47 mm), but differences were not significant ($p=0.323$ and $p=0.413$). Conclusion: SUVmax and tumor size tended to be higher in aggressive subtypes and in patients with MG, but differences were not statistically significant, likely due to small sample size. Findings align with prior studies suggesting greater metabolic activity in advanced subtypes. Larger cohorts are needed to clarify the role of FDG PET/CT in thymoma characterization.

Keywords: Hymoma, Fdg Pet/ct, Suvmax, Tumor Size, Myasthenia Gravis, Invasion



Makale id= 138

Sözlü Sunum

ORCID ID: 0000-0002-0327-0204

| 289

Tırnak Yatağı Altındaki Myoperisitoma Olgusunun Glomus Tümörü İle Ayırıcı Tanısı ve Cerrahi Farklılıkları: Vaka Sunumu

Uzman Dr. Ömer Faruk Kümbüloğlu¹

¹Sağlık Bilimleri Üniversitesi, Şişli Hamidiye Etfal Eğitim ve Araştırma Hastanesi

Özet: Myoperisitoma, sıklıkla ekstremitelerde cilt altında görülen, nadiren de malign özellik gösteren bir tümördür. Literatürde el parmaklarında myoperisitoma vakası sadece birkaç adet bildirilmiştir. Bilebildiğimiz kadarı ile elde tırnak yatağı altında bir myoperisitoma vakası bildirilmemiştir. Glomus tümörleri ise tipik olarak subungual bölgeye yerleşen nispeten yaygın ve benign kitlelerdir. Glomus tümörü tırnak yatağında oluşturduğu görünüm ve bu bölgedeki hassasiyet ile ön tanı alabilmektedir. Ancak sadece bu fizik muayene bulguları ile tanı konulması hataya yol açabilir. 37 yaşında kadın hasta sol el başparmak ucunda ağrı, hassasiyet ve tırnak altında renk değişikliği şikayetiyle tarafımıza başvurdu. Fizik muayenede tırnak altında yaklaşık 0,5 cm'lik alanda mor renk değişikliği görüldü. Başparmak distali palmarde yaklaşık 5x5 mm'lik immobil kitle palpe edildi. Manyetik rezonans (MR) görüntülemesinde başparmak distali ulnar taraf palmardan dorsale doğru uzanan ve kontrast tutulumu olan 5x7x10 mm boyutlarında T1 ağırlıklı sekansta hipointens, T2 ağırlıklı sekansta ise hiperintens kitle görüldü. MR raporunda lezyonun glomus tümörü ile uyumlu görünümde olduğu bildirildi. Turnike altında palmar yaklaşım kullanılarak kitle eksize edildi. Histolojik incelemede lezyon myoperisitoma olarak tanı aldı. Hastanın postoperatif altıncı ay takibinde ağrısının olmadığı ve nüks belirtisi bulunmadığı görüldü. Myoperisitoma tırnak yatağı altına yerleştiğinde glomus tümörünün görünümünü ve oluşturduğu hassasiyeti büyük bir benzerlikle taklit edebilir. Radyolojik olarak manyetik rezonans görüntülemesi ayırıcı tanıda yardımcı olabilir. Her iki tümörün cerrahi eksizyonu tek etkili tedavidir, ancak myoperisitoma olgularındaki nüks oranı daha yüksektir. Cerrahi eksizyon için glomus tümörlerinde sıklıkla transungual yaklaşım kullanılırken MR görüntülemesindeki lokalizasyona göre myoperisitoma olgularında volar yaklaşım da kullanılabilir. Myoperisitomanın malign karakter taşıyabilmesi, nüks oranındaki yükseklik ve cerrahi metoddaki olası farklılıklar değerlendirildiğinde glomus tümörü ön tanısı olan hastalarda myoperisitoma ayırıcı tanısının yapılması önem taşımaktadır.

Anahtar Kelimeler: Myoperisitoma, Glomus Tümörü, Tırnak Yatağı, Parmak

Makale id= 82**Sözlü Sunum**

ORCID ID: 0000000242197863

| 290

Tirzepatid Kullanımında Tekrarlayan Dolu Mide Bulgusu: Vaka Raporu**Uzman Füsun Gözen¹**¹Bursa Yüksek İhtisas Eğitim Araştırma Hastanesi

Özet: Özet: AMAÇ Tirzepatid, hem GLP-1 hem GIP reseptörlerine bağlanarak çift agonist etki gösteren bir ajandır. Bu özellik metabolik yanıtı artırırken mide boşalmasını belirgin şekilde yavaşlatabilir. Bu olgu, tirzepatid tedavisi sırasında farklı açlık sürelerine rağmen mide doluluğunun devam edebileceğini ve doz artışıyla durumun yenilenebileceğini vurgulamayı amaçlamaktadır. OLGU SUNUMU 48 yaşında, kadın, BMI 37 kg/m² olan hasta obezite nedeniyle tirzepatid (2.5 mg/hafta) tedavisi altındayken bulantı ve kusma şikâyetiyle başvurdu. İlk gastroskopide 12 saat açlığa rağmen fundusta partiküllü mide içeriği izlendi, işlem ertelendi. 24 saat açlık sonrası yapılan ikinci endoskopide mide hâlâ doluydu. İki günlük berrak sıvı diyeti ve 24 saat açlık sonrası üçüncü endoskopi başarıyla tamamlandı. Altı ay sonraki kontrolde aynı hazırlığa rağmen mide yeniden dolu saptandı; hastanın bir hafta önce tirzepatid dozunu 7.5 mg'dan 10 mg'a yükselttiği öğrenildi. SONUÇ Tirzepatid gibi çift inkretin (GLP-1/GIP) agonistleri mide boşalmasını yavaşlatabilir; bu etki özellikle tedavinin erken döneminde ve doz artışlarında belirgindir. Güncel uluslararası kılavuzlar, ilacın rutin kesilmesinden ziyade risk temelli hazırlık (≥24 saat berrak sıvı diyeti, semptom takibi, gerekirse gastrik ultrason) önermektedir. Bu olgu, tirzepatid tedavisinde bireyselleştirilmiş hazırlığın güvenli endoskopi için önemini vurgulamaktadır.

Anahtar Kelimeler: Tirzepatid, Glp-1/gıp Agonisti, Endoskopi, Dolu Mide, Aspirasyon Riski, Doz Artışı

Recurrent Full Stomach Finding During Tirzepatide Therapy: A Case Report

Abstract: Abstract: PURPOSE Tirzepatide is a dual GLP-1 and GIP receptor agonist that enhances metabolic effects while notably delaying gastric emptying. This case aims to emphasize that gastric fullness may persist despite fasting during tirzepatide therapy and can recur following dose escalation. CASE REPORT A 48-year-old female (BMI 37 kg/m²) under tirzepatide treatment (2.5 mg/week) for obesity presented with nausea and vomiting. The first gastroscopy revealed solid gastric contents after 12-hour fasting, and the procedure was postponed. The second endoscopy after 24-hour fasting still showed a full stomach. After a two-day clear-liquid diet and 24-hour fasting, the third endoscopy was successfully completed. At six months, despite identical preparation, the stomach was again full; the patient had increased the tirzepatide dose from 7.5 mg to 10 mg one week earlier. CONCLUSION Dual incretin (GLP-1/GIP) agonists such as tirzepatide may delay gastric emptying, particularly early in therapy and during dose escalation. Current international guidelines recommend risk-based preparation (≥24-hour clear-liquid diet, symptom monitoring, and gastric ultrasound when needed) rather than routine discontinuation. This case highlights the importance of individualized preparation for safe endoscopy in patients receiving tirzepatide therapy.

Keywords: Tirzepatide, Glp-1/gıp Agonist, Endoscopy, Full Stomach, Aspiration Risk, Dose Escalation

Makale id= 170

Sözlü Sunum

ORCID ID: 0000-0002-4788-4734

| 291

Travmatik İnvajinasyon Olgusunun Radyolojik Bulguları

Uzman Şeyma Ünüvar¹

¹Konya Şehir Hastanesi Radyoloji A.B.D

Özet: İnvajinasyon, proksimal bir bağırsak segmentinin distal segmente teleskop gibi girmesidir ve genellikle çocukluk çağının idiyopatik en sık akut karın nedenlerindedir. Travmatik invajinasyon ise nadir görülen bir durumdur ve künt karın travması sonrası bağırsak duvarında oluşan hematoma veya ödemin bir 'öncü odak' (leading point) oluşturmasıyla meydana gelebilir. Erken tanı konup tedavi uygulanmaması halinde barsak iskemisi, perforasyon, sepsis ve ölüme dahi yol açabilmektedir. Travmaya bağlı invajinasyonun erken tanısında radyolojik görüntüleme yöntemleri kritik rol oynamaktadır. Radyolojik olarak ayakta direkt batın grafisi (ADBĞ), Ultrasonografi (USG) ve kontrastlı bilgisayarlı tomografide (BT) çeşitli tipik ve atipik bulgular görülebilmektedir. Bu olgu sunumunda, 9 yaşında erkek hastanın bisikletten düşme sonrası gelişen intestinal invajinasyon olgusunun radyolojik bulguları tartışılmaktadır.

Anahtar Kelimeler: Travma, İnvajinasyon, Ultrasonografi, Radyografi, Bilgisayarlı Tomografi

Radiological Findings of a Traumatic Intussusception Case

Abstract: Intussusception is the telescoping of a proximal bowel segment into a distal segment and is generally one of the most common idiopathic causes of acute abdomen in childhood. Traumatic intussusception, however, is a rare condition and can occur when hematoma or edema in the bowel wall following blunt abdominal trauma creates a leading point. If not diagnosed and treated early, it can lead to bowel ischemia, perforation, sepsis, and even death. Radiologic imaging plays a critical role in the early diagnosis of traumatic intussusception. Various typical and atypical findings can be observed on standing abdominal X-ray, ultrasonography (USG) and contrast-enhanced computed tomography (CT). This case report discusses the radiologic findings of a 9-year-old boy who developed intestinal intussusception after falling from a bicycle.

Keywords: Trauma, Intussusception, Ultrasonography, Radiography, Computed Tomography

Makale id= 121

Sözlü Sunum

ORCID ID: 0009-0001-9813-9689

| 292

Üçüncü Basamak Bir Eğitim Araştırma Hastanesinde Sifiliz Enfeksiyonlarında Kullanılan Test Sonuçlarının Değerlendirilmesi

Araştırmacı Emine Öztürk¹, Dr. Öğretim Üyesi Şerife Yılmaz Gürbüz²

¹Karabük Üniversitesi Lisansüstü Eğitim Enstitüsü

²Karabük üniversitesi Tıp Fakültesi Tıbbi Mikrobiyoloji ABD

*Corresponding author: Araştırmacı Emine Öztürk

Özet: Amaç: Sifiliz, *Treponema pallidum*'un neden olduğu bir hastalıktır. Sifilizin klinik bulgularının karışık olması ve etkenin in vitro kültürünün yapılamaması nedeniyle tanıda genellikle indirekt (serolojik) yöntemler kullanılmaktadır. Bu çalışmada iki yıllık dönemde laboratuvarımızda sifiliz tanısı amacıyla yapılan test sonuçları değerlendirilmiş ve bölgemizdeki sifiliz enfeksiyonu oranı analiz edilmiştir. Gereç ve Yöntem: Çalışma, 2023–2025 yılları arasında Karabük Eğitim Araştırma Hastanesi mikrobiyoloji laboratuvarına sifiliz şüphesiyle gönderilen serum örneklerini kapsamaktadır. Bizim laboratuvarımızda ters algoritma kullanılmıştır. İlk aşamada treponemal bir test olan immunokromatografik sifiliz tarama testi yapılmıştır. Pozitif bulunan örneklerde non treponemal test olan Rapid Plazma Reagin (RPR) yapılmıştır. RPR pozitif bulunan hastalarda dilüsyon yapılarak titrasyon belirlenmiştir. En son yine trepanomal bir test olan *Treponema Pallidum* Hemagglutination (TPHA) testi ile doğrulama yapılmıştır. Bulgular: İki yıllık dönemde toplam 5225 hastaya immunokromatografik sifiliz tarama testi yapılmış ve tarama testi 73 (%1,4) hastada pozitif bulunmuştur. Pozitif hastalarda RPR testi çalışılmıştır. Bunların 48 (%0.9) unda RPR testi pozitif bulunurken, 73 hastanın tümünde TPHA pozitif bulunmuştur. TPHA pozitif RPR negatif hastaların geçirilmiş enfeksiyon veya tedavi sonrası antikor pozitifliği olduğu belirlenmiştir. Sonuç: Sifiliz tanısında ters algoritma erken, latent veya tedavi görmüş olguların saptanmasında yüksek duyarlılık sağlamaktadır. Bu nedenle klasik algoritmaya göre daha güvenilir olduğu düşünülmektedir. Hastanemiz üçüncü basamak bir hastane olup çevre illerden de oldukça fazla hasta kabul etmektedir. Bu çalışmayla birlikte bölgemizdeki sifiliz enfeksiyonu oranı belirlenebilmiştir.

Anahtar Kelimeler: Sifiliz, *Treponema Pallidum* Hemagglutination, Rapid Plazma Reagin (Rpr)

Evaluation of Test Results Used in Syphilis Infections At a Tertiary Care Hospital

Abstract: Objectives: Syphilis is a disease caused by *Treponema pallidum*. Because the clinical findings of syphilis are complex and in vitro culture of the agent is not possible, indirect (serological) methods are generally used for diagnosis. This study evaluated the test results performed in our laboratory for the diagnosis of syphilis over a two-year period and analyzed the rate of syphilis infection in our region. Materials and Methods: The study included serum samples submitted to the microbiology laboratory of Karabük Training and Research Hospital between 2023 and 2025 with suspicion of syphilis. A reverse algorithm was used in our laboratory. In the first stage, an immunochromatographic syphilis screening test, a treponemal test, was performed. A non-treponemal Rapid Plasma Reagin (RPR) test was performed on positive samples. In patients with positive RPR, titration was determined by dilution. Finally, confirmation was achieved with the *Treponema Pallidum* Hemagglutination (TPHA) test, also a treponemal test. Results: A total of 5225 patients underwent

immunochromatographic syphilis screening over a two-year period, and the screening test was found to be positive in 73 (1.4%) patients. The RPR test was also performed in positive patients. Of these, 48 (0.9%) had a positive RPR test, while all 73 patients had a positive TPHA test. TPHA positive and RPR negative patients were determined to have antibody positivity after previous infection or treatment. Conclusion: The reverse algorithm for syphilis diagnosis provides high sensitivity in identifying early, latent, or treated cases. Therefore, it is considered more reliable than the classical algorithm. Our hospital is a tertiary care hospital and receives a significant number of patients from surrounding provinces. This study has allowed us to determine the rate of syphilis infection in our region.

Keywords: Sifiliz, Treponema Pallidum Hemagglutination, Rapid Plazma Reagin (Rpr)



Makale id= 195

Sözlü Sunum

ORCID ID: <https://orcid.org/0000-0001-7395-4591>

| 294

Ultrasonografi Rehberliğinde Stellat Ganglion Blokağı: Kısa Dönem Sonuçlara İlişkin Uygulama Deneyimleri ve Gözlemler

Dr. Merve Sekizkardeş Tütüncü¹

¹Marmara Üniversitesi

Özet: Giriş: Stellat ganglion blokağı (SGB), servikotorasik bölgede bulunan sempatik zincirin blokağı yoluyla sempatik sistem aracılı ağrının kontrolünü hedefleyen bir girişimdir. En sık kronik bölgesel ağrı sendromu (KBAS) ve postherpetik nevralji olgularında uygulanmakla birlikte, fantom ağrısı, küme tipi baş ağrısı ve refrakter anjina gibi durumlarda da kullanılmaktadır. Yöntem başlangıçta kör olarak veya floroskopi rehberliğinde uygulanırken, günümüzde en yaygın kullanılan yaklaşım ultrasonografi (USG) rehberliğidir. USG, işlem sırasında vasküler yapıların doğrudan görüntülenmesine olanak tanıyarak uygulama güvenliğini artırmaktadır. Bu çalışma, tek merkezde farklı etiyojilere bağılı ağrısı olan hastalarda gerçekleştirilen USG eşliğinde SGB'nin kısa dönem sonuçlarına ilişkin erken gözlemleri sunmayı amaçlamaktadır. Metod: Ocak 2024–Eylül 2025 tarihleri arasında KBAS, torasik outlet sendromu (TOS) veya postherpetik nevralji tanısıyla USG rehberliğinde SGB uygulanan 18 hastanın kayıtları retrospektif olarak incelendi. Hastaların yaş, cinsiyet, işlem öncesi, işlem sonrası 1. saat ve 3. hafta ağrı skorları (NRS) değerlendirildi. Sonuçlar: Hastaların yaş ortalaması $50,9 \pm 13,16$ yıl olup %66,7'si kadındı. Tanı dağılımı KBAS %72,2 (n = 13), TOS %22,2 (n = 4) ve postherpetik nevralji %5,6 (n = 1) idi. Ortalama NRS değerleri işlem öncesi $7,94 \pm 1,63$; 1. saatte $2,0 \pm 2,83$; 3. haftada $3,83 \pm 2,23$ olarak kaydedildi. İşlem öncesine göre ortalama NRS azalması 1. saatte $5,94 \pm 2,39$, 3. haftada $4,11 \pm 2,00$ puan olarak bulundu. Hastaların %22'sinde birden fazla blok uygulamasına gereksinim duyuldu. En sık geçici yan etkiler pitoz ve miyoz (%28), daha nadiren disfaji veya ses kısıklığı (%6) izlendi. Sonuç: USG rehberliğinde gerçekleştirilen stellat ganglion blokağı, farklı etiyojilerde üst ekstremitte ağrısının yönetiminde kolay uygulanabilir ve güvenli bir yöntem olarak değerlendirilmektedir. Kısa dönem gözlemler, vasküler yapıların USG ile doğrudan görüntülenmesinin işlem güvenliğini artırabileceğini düşündürmektedir. Bu bulgular, daha geniş örneklemlerle prospektif çalışmalar için ön bilgi niteliği taşımaktadır.

Anahtar Kelimeler: Sempatik, Stellat

Ultrasound-Guided Stellate Ganglion Block: Early Clinical Experience and Observations On Short-Term Results

Abstract: Introduction: Stellate ganglion block (SGB) is an interventional procedure that aims to control sympathetic-mediated pain by blocking the sympathetic chain in the cervicothoracic region. It is most commonly performed in cases of complex regional pain syndrome (CRPS) and postherpetic neuralgia, but has also been used in conditions such as phantom limb pain, cluster headache, and refractory angina. US allows real-time visualization of vascular and soft-tissue structures, thereby enhancing procedural safety. This study aims to present early observations on the short-term outcomes of US-guided SGB performed in patients with various etiologies at a single center. Methods: The records of 18 patients who underwent US-guided SGB between January 2024 and September 2025 for diagnoses of CRPS, thoracic

outlet syndrome (TOS), or postherpetic neuralgia were retrospectively reviewed. Demographic data (age, sex) and pain scores (Numeric Rating Scale, NRS) before the procedure, at the first post-procedural hour, and at the third week were evaluated. Results: The mean age of the patients was 50.9 ± 13.16 years, and 66.7% were female. Diagnoses included CRPS in 72.2% (n = 13), TOS in 22.2% (n = 4), and postherpetic neuralgia in 5.6% (n = 1). Mean NRS scores were 7.94 ± 1.63 pre-procedure, 2.0 ± 2.83 at 1 hour, and 3.83 ± 2.23 at 3 weeks. The mean reduction in NRS scores compared with baseline was 5.94 ± 2.39 points at 1 hour and 4.11 ± 2.00 points at 3 weeks. Multiple blocks were required in 22% of patients. The most common transient side effects were ptosis and miosis (28%), followed by mild hoarseness or dysphagia (6%). Conclusion: Ultrasound-guided stellate ganglion block appears to be a safe and easily applicable technique for the management of upper-extremity pain of various etiologies. Short-term observations suggest that real-time visualization of vascular structures during US-guided intervention may enhance procedural safety. These findings provide preliminary data for future prospective studies with larger sample sizes.

Keywords: Sympathetic Pain, Stellate, Refractory Pain



Makale id= 26**Sözlü Sunum**

ORCID ID: 0000-0003-0945-0051

| 296

Ürogenital Sistem Kanseri Dışındaki Malignitelere Bağlı Üreteral Obstrüksiyonda İlk Dekompresyon Yöntemi: Double-J Stent mi Nefrostomi Mi' Tek Merkez Deneyimi**Uzman Dr. Murat Beyath¹**¹Ümraniye Training and Research Hospital

Özet: Amaç: Ürogenital sistem dışı maligniteler, ureterleri dıştan bası veya invazyon yoluyla tıkayarak üreteral obstrüksiyona yol açabilir. Üriner dekompresyon, bu hasta grubunda semptomların kontrolü ve renal fonksiyonların korunması açısından temel yaklaşımdır. Bu çalışmada, Double-J (DJ) stent ile perkütan nefrostominin (PCN) kısa dönem klinik ve biyokimyasal sonuçlarının karşılaştırılması amaçlanmıştır. Yöntem: Aralık 2023–Haziran 2025 arasında ürolojik dışı maligniteye bağlı üreteral obstrüksiyon nedeniyle dekompresyon uygulanan 23 hasta retrospektif olarak değerlendirildi. Demografik veriler, malignite tipi, uygulanan girişim, laboratuvar bulguları (WBC, CRP, üre, kreatinin), teknik başarı, komplikasyonlar ve 30 günlük klinik sonuçlar incelendi. Birincil sonlanım noktası, 48–72 saatte \geq %20 kreatinin veya \geq %15 üre düşüşü ile birlikte klinik iyileşme olarak tanımlandı. Bulgular: Hastaların 12'sine DJ stent, 11'ine PCN yerleştirildi. Teknik başarı DJ'de %83 (10/12), PCN'de %100 (11/11) olup, DJ'den PCN'ye konversiyon 2/12 hastada (%16.7) gerekti. Kreatinin düşüşü DJ'de –%22, PCN'de –%24; CRP düşüşü sırasıyla –%34 ve –%36 bulundu. Klinik yanıt oranları DJ'de %75, PCN'de %82 idi. Komplikasyon profilleri benzerdi. Sonuç: Ürogenital sistem dışı malignitelere bağlı gelişen üreteral obstrüksiyonun dekompresyonunda DJ ve PCN benzer kısa dönem klinik ve biyokimyasal sonuçlar sağlamaktadır. PCN daha yüksek teknik başarı ile öne çıkmıştır. Bulgularımız, yöntem seçiminin hasta özellikleri ve klinik duruma göre bireyselleştirilmesi gerektiğini desteklemektedir.

Anahtar Kelimeler: Üreteral Obstrüksiyon, Malignite, Double-J Stent, Perkütan Nefrostomi

Initial Decompression in Ureteral Obstruction Caused by Non-Urological Malignancies: Double-J Stent Or Nephrostomy' a Single-Center Experience

Abstract: Objective: Non-urological malignancies may lead to ureteral obstruction through external compression or direct invasion. Urinary decompression is a cornerstone in this patient group, aiming to relieve symptoms and preserve renal function. This study compared short-term clinical and biochemical outcomes of Double-J (DJ) stenting and percutaneous nephrostomy (PCN). Methods: Between December 2023 and June 2025, 23 patients with malignant ureteral obstruction secondary to non-urological cancers underwent urinary decompression at our institution. Demographic characteristics, cancer type, procedure performed, laboratory parameters (WBC, CRP, urea, creatinine), technical success, complications, and 30-day outcomes were retrospectively analyzed. The primary endpoint was clinical improvement with \geq 20% reduction in creatinine or \geq 15% reduction in urea at 48–72 hours. Results: DJ stents were placed in 12 patients and PCN in 11. Technical success was 83% for DJ (10/12) and 100% for PCN (11/11); conversion from DJ to PCN was required in 2/12 patients (16.7%). Median creatinine reduction was –22% with DJ and –24% with PCN; CRP decreased by –34% and –36%, respectively. Clinical response rates were 75% for DJ and 82% for PCN. Complication rates were comparable between the two groups. Conclusion: In malignant ureteral obstruction due to non-

urological cancers, both DJ stenting and PCN provide comparable short-term outcomes. PCN demonstrated higher technical success. These findings support individualizing the choice of decompression method according to patient characteristics and clinical context.

Keywords: Ureteral Obstruction, Malignancy, Double-J Stent, Percutaneous Nephrostomy



Makale id= 7

Sözlü Sunum

ORCID ID: 0000-0001-7803-1462

| 298

Üst Solunum Yolu Enfeksiyonu Şüphesi Olan Hastalardan Alınan Örneklerde Viral ve Bakteriyel Etkenlerin Araştırılması

Ma.St. Yasemin Dostuoglu¹, Doç.Dr. Murat Karamişe¹

¹Kafkas Üniversitesi, Tıp Fakültesi, Tıbbi Mikrobiyoloji Anabilim Dalı

*Corresponding author: Murat Karamişe

Özet: Amaç: Üst solunum yolu enfeksiyonu (ÜSYE) şikâyetleri polikliniklere en sık başvuru nedenidir. ve Multiplex-PCR yöntemi ile hızlı tespit, viral ve bakteriyel etkenlerin etiyolojisini bölgesel olarak kolayca değerlendirerek enfeksiyonun izlenmesine ve kontrolüne katkı sağlamak oldukça önem arz etmektedir. Bu çalışmanın amacı, Kasım 2023-Şubat 2024 tarihleri arasında Kafkas Üniversitesi Sağlık Araştırma ve Uygulama Hastanesine ÜSYE semptomları ile başvuran hastalarda 24-X viral ve bakteriyel Solunum Yolu Multiplex-PCR paneli ile patojenlerin etiyolojisini değerlendirmektir. Gereç ve Yöntem: Alerjik rinit ve akut bronşit gibi ÜSYE ön tanısı konulan 100 hastadan alınan nazofarengeal sürüntü örneklerinde viral ve bakteriyel patojenlerin varlığı Multiplex-PCR yöntemi ile analiz edilmiştir. Solunum paneli SARS CoV-2, Influenza-A/B, Human Rhinovirus/Enterovirus, Human Metapneumovirus, Respiratory Syncytial Virus A/B, Human Parainfluenza Virus-1/2/3/4, İnsan Coronavirus 229E/OC43/NL63/HKU1, İnsan Parechovirus, Adenovirus, İnsan Bocavirus, Streptococcus pneumoniae, Haemophilus influenzae, Mycoplasma pneumoniae, Chlamydomphila pneumoniae, Legionella pneumophila ve Bordetella pertussis gibi 24 farklı mikroorganizma içermektedir. Bulgular: En yüksek başvuru sayısı ocak ayında gerçekleşmiştir. Yüz hastanın %73'ü (n=73) pozitif, %27'si (n=27) negatif olup, en sık görülen viral etken INF A (n=33, %26,9), en sık görülen bakteriyel etken ise S. pneumoniae (n=19, %15,4) olarak raporlanmıştır. Pozitif 73 hastanın %38,3'ünde (n=28) en az iki ajanın etken olduğu ko-enfeksiyon mevcuttu. Sonuç: Bu çalışmada ÜSYE etkenleri Multiplex-PCR ile hızlı bir şekilde tespit edilmiş ve görülme sıklıkları araştırılmıştır. Sonuç olarak, ÜSYE enfeksiyonlarının hızlı tanı ve tedavisi ile olası salgınların, gereksiz antibiyotik kullanımının, mortalite ve morbiditenin önlenmesi ve diğer akademik çalışmalara katkı sağlanması amaçlanmıştır.

Anahtar Kelimeler: Üsye; Sars-Cov-2; İnfluenza; Multiplex Pcr

Investigation of Viral and Bacterial Agents in Samples Taken From Patients With Suspected Upper Respiratory Tract Infection

Abstract: Aim: Upper respiratory tract infection (URTI) complaints are the most common causes of admission to outpatient clinics and rapid detection by Multiplex-PCR method contributes to the monitoring and control of infection by easily evaluating the etiology of viral and bacterial agents regionally. This study aimed to evaluate the etiology of pathogens with a 24-X viral and bacterial respiratory Multiplex-PCR panel in patients admitted to Kafkas University Health Research and Application Hospital with URTI symptoms between November 2023 and February 2024. Materials and Methods: The presence of viral and bacterial pathogens was analyzed by Multiplex-PCR method in nasopharyngeal swab samples obtained from 100 patients diagnosed with URTI by physical examination such as allergic rhinitis and acute bronchitis. The respiratory panel contained 24 different

microorganisms such as SARS CoV-2, Influenza-A/B, Human Rhinovirus/Enterovirus, Human Metapneumovirus, Respiratory Syncytial Virus A/B, Human Parainfluenza Virus-1/2/3/4, Human Coronavirus 229E/OC43/NL63/HKU1, Human Parechovirus, Adenovirus, Human Bocavirus, Streptococcus pneumoniae, Haemophilus influenzae, Mycoplasma pneumoniae, Chlamydomphila pneumoniae, Legionella pneumophila and Bordotella pertussis. Results: According to the findings, the highest number of applications was in January. Out of 100 patients, 73% (n=73) were positive and 27% (n=27) were negative, the most common viral agent was INF A (n=33, 26.9%) while the most common bacterial agent was S.pneumoniae (n=19, 15.4%). Of 73 positive patients, 38.3% (n=28) had co-infections, 11% (n=8) had only bacterial agents, and 50.7% (n=37) had viral agents. Conclusions: In conclusion, URTI agents were rapidly detected by Multiplex-PCR and their incidence was investigated in this study. Finally, it aims to prevent possible epidemics, unnecessary antibiotic use, mortality and morbidity and to contribute to other academic studies with rapid diagnosis and treatment of URTI infections.

Keywords: Urti; Sars-Cov-2; İnfluenza; Multiplex Pcr



Makale id= 22**Sözlü Sunum**

ORCID ID: 0000-0001-7102-3064

| 300

Varikoseli ve Erken Boşalması Olan Hastaya Mikroskopik Varikosektomi Önerilmeli Mi'**Uzman Dr. Engin Özbay¹**¹Özel Osmaniye İbni Sina Hastanesi Üroloji Kliniği

Özet: Erken boşalma, erkek hastalar için en sık görülen cinsel fonksiyon bozukluğudur. Tatminkar bir boşalma süresi kişi ve partnere göre değiştiği için erken boşalmanın tanımını yapmak güçtür. Varikosel ise spermatik venlerin içerisinde refü akımların bulunduğu anormal genişlemesi sonucunda oluşur ve yetişkin erkeklerin yaklaşık %15'inde bulunur, primer infertilitesi olan erkeklerin ise %35'inde mevcuttur Varikosel ile erken boşalmanın %30 oranında beraber bulunduğunu gösteren çalışmalar mevcuttur. Varikosektominin erken boşalma üzerine olan etkisini daha iyi anlamak için yeni çalışmalara ihtiyaç vardır. Bu çalışmanın amacı, retrospektif yöntemle, varikosel ve erken boşalma sorunu olan hastalarda subinguinal mikroskopik varikosektominin etkilerini belirlemektir. Bu çalışma, Mart 2023'den Mart 2025'e kadar varikosel ve erken boşalma sorunu olan 17 hasta (20-37 yaş) üzerinde gerçekleştirilen bir klinik araştırma çalışmasıdır. Hastalara unilateral ya da bilateral subinguinal mikroskopik varikosektomi uygulanmıştır. Hastaların preoperatif dönemde total testosteron düzeyine bakıldı. Yine preoperatif dönemde hastalara International Index of Erectile Function 5 (IIEF-5) formu, Premature Ejaculation Diagnostic Tool (PEDT) formu dolduruldu ve hastaların Intravaginal Ejaculation Time (IELT) değerleri saptandı. Bu hastaların postoperatif altıncı ayda total testosteron düzeyi, IIEF-5, PEDT ve IELT değerleri tekrar değerlendirildi. Sonrasında preoperatif ve postoperatif değerler karşılaştırıldı (Figür 1). Varikosel ve erken boşalmaya sahip 10 (%58) hastanın postoperatif altıncı ayında erken boşalma sorunu tamamen düzelmisti. Yine postoperatif altıncı aydahastaların testosteron düzeyi, IIEF-5 skoru ve IELT değeri preoperatif döneme göre anlamlı (p

Anahtar Kelimeler: Mikroskopik Varikosektomi, Erken Boşalma, Varikosel**Should a Patient With Varicocele and Premature Ejaculation Be Offered Microsurgical Varicocelectomy'**

Abstract: Premature ejaculation is the most common sexual dysfunction in male patients. Defining premature ejaculation is difficult because a satisfactory ejaculation time varies between individuals and partners. Varicocele occurs as a result of abnormal dilation of the spermatic veins containing reflux flow and is found in approximately 15% of adult men and 35% of men with primary infertility. Studies show that varicocele and premature ejaculation coexist in 30% of cases. Further studies are needed to better understand the effect of varicocelectomy on premature ejaculation. The aim of this study was to determine the effects of subinguinal microscopic varicocelectomy in patients with varicocele and premature ejaculation using a retrospective method. This study is a clinical research study conducted on 17 patients (aged 20-37) with varicocele and premature ejaculation between March 2023 and March 2025. Unilateral or bilateral subinguinal microscopic varicocelectomy was performed on the patients. The patients' total testosterone levels were examined in the preoperative period. Also in the preoperative period, patients completed the International Index of Erectile Function 5 (IIEF-5) form and the

Premature Ejaculation Diagnostic Tool (PEDT) form, and their Intravaginal Ejaculation Time (IELT) values were determined. The total testosterone level, IIEF-5, PEDT, and IELT values of these patients were re-evaluated at six months postoperatively. Subsequently, the preoperative and postoperative values were compared (Figure 1). In 10 (58%) patients with varicocele and premature ejaculation, the premature ejaculation problem had completely resolved at six months postoperatively. Again at six months postoperatively, the patients' testosterone level, IIEF-5 score, and IELT value showed a significant (p

Keywords: Microscopic Varicocelectomy, Premature Ejaculation, Varicocele



Makale id= 200

Sözlü Sunum

ORCID ID: 0000-0001-9908-9284

| 302

Von Hippel-Lindau (Vhl) Syndrome: A Case Report

Uzman Dr. Nurullah İlhan¹

¹ Sancaktepe Şehit Prof.Dr. İlhan Varank Eğitim ve Araştırma Hastanesi

Özet: Giriş: Von Hippel–Lindau (VHL) sendromu, kromozom 3 üzerinde yer alan VHL genindeki patojenik varyantlardan kaynaklanan nadir bir otozomal dominant bozukluktur. Bu sendrom, farklı organlarda çok sayıda benign ve malign tümör gelişimine yatkınlık oluşturur. En sık görülen lezyonlar arasında santral sinir sistemi hemanjioblastomları, retinal anjiyomlar, berrak hücreli renal hücreli karsinom (RCC) ve pankreatik nöroendokrin tümörler yer alır. RCC, VHL hastalarında mortalitenin başlıca nedenidir. Erken genetik tanı ve multidisipliner takip, klinik sonuçların iyileştirilmesinde kritik öneme sahiptir. Olgu Sunumu: Kırk iki yaşındaki kadın hasta, sol yan ağrısı şikâyeti ile başvurdu. Görüntüleme en büyüğü 66 mm olan kistik ve solid böbrek lezyonları saptandı. Tru-cut biyopsi ile berrak hücreli RCC tanısı doğrulandı. Hastanın öyküsünde santral sinir sistemi hemanjioblastomları nedeniyle yedi beyin cerrahisi ve sol gözde görme kaybı ile sonuçlanan iki göz ameliyatı mevcuttu. PET-CT’de böbreklerde hafif hipermetabolizma ve paraaortik mikrometastaz düşündürülen lenf nodları görüldü. Genetik analizde patojenik VHL mutasyonu saptandı. Üroloji, Onkoloji, Göz Hastalıkları ve Tıbbi Genetik bölümlerinden oluşan multidisipliner ekip tarafından VHL sendromu tanısı doğrulandı. NCCN Böbrek Kanseri Kılavuzu (v2.2025) doğrultusunda kabozantinib ve nivolumab kombinasyon tedavisi başlandı. Bilateral böbrek tutulumuna bağlı cerrahi sonrası diyaliz gerekliliği riski nedeniyle hasta cerrahi reddetti ve sistemik tedaviye devam edilmesine karar verildi. Tartışma ve Sonuç: Bu olgu, VHL sendromunun tanı ve tedavisindeki zorlukları vurgulamaktadır. Genetik doğrulama ve multidisipliner yaklaşım, hasta yönetiminde başarıyı artırmaktadır. Tirozin kinaz inhibitörleri ve immünoterapiler, VHL’ye bağlı metastatik RCC için etkili ve kılavuzlarla uyumlu seçeneklerdir. Erken tanı, bireyselleştirilmiş ve ekip temelli yaklaşım, bu nadir kalıtsal kanser sendromunda prognozu ve yaşam kalitesini belirgin şekilde iyileştirebilir.

Anahtar Kelimeler: Von Hippel–Lindau Sendromu; Renal Hücreli Karsinom; Hemanjioblastom; Multidisipliner Yaklaşım

Von Hippel-Lindau (Vhl) Syndrome: A Case Report

Abstract: Background: Von Hippel–Lindau (VHL) syndrome is a rare autosomal dominant disorder caused by pathogenic variants in the VHL gene on chromosome 3, predisposing patients to multiple benign and malignant neoplasms across various organs. The most common manifestations include central nervous system hemangioblastomas, retinal angiomas, clear cell renal cell carcinoma (RCC), and pancreatic neuroendocrine tumors. Among these, RCC represents the leading cause of mortality. Early genetic diagnosis and multidisciplinary surveillance are essential for improving clinical outcomes. Case Presentation: A 42-year-old female presented with left flank pain. Imaging revealed cystic and solid renal lesions, the largest measuring 66 mm. Tru-cut biopsy confirmed clear cell RCC. Her history included seven neurosurgical operations for CNS hemangioblastomas and two ocular surgeries resulting in unilateral vision loss. PET-CT demonstrated mild renal hypermetabolism and para-aortic lymph

nodes suggestive of micro-metastasis. Genetic testing confirmed a pathogenic VHL mutation. A multidisciplinary evaluation involving Urology, Oncology, Ophthalmology, and Genetics teams confirmed the diagnosis of VHL syndrome. Based on NCCN Kidney Cancer Guidelines (v2.2025), the patient was initiated on combination therapy with cabozantinib and nivolumab. Surgical resection was deemed high risk due to bilateral kidney involvement and potential postoperative dialysis dependence. The patient opted for continued systemic therapy with regular follow-up imaging and clinical assessments. Discussion and Conclusion: This case highlights the diagnostic complexity and therapeutic challenges in managing VHL syndrome, particularly when multiple organ systems are involved. Genetic confirmation and coordinated multidisciplinary management are pivotal in optimizing patient outcomes. Targeted therapies, including tyrosine kinase inhibitors and immunotherapy, provide effective, guideline-supported options for metastatic RCC in VHL patients. Early recognition and a personalized, team-based approach can significantly improve prognosis and quality of life in this rare hereditary cancer syndrome.

Keywords: Von Hippel–lindau Syndrome; Renal Cell Carcinoma; Hemangioblastoma; Multidisciplinary Management



Makale id= 45

Sözlü Sunum

ORCID ID: 0000-0003-3450-1236

| 304

Yavaş Bilişsel Tempo Tanısı Alan Hastaların Nöropsikolojik Profillerinin Değerlendirilmesi

Uzman Dr. Cisel Yazan Songur¹, Doç.Dr. Fatma Sibel Durak², Prof.Dr. Eyüp Sabri Ercan³

¹Buca Seyfi Demirsoy Eğitim ve Araştırma Hastanesi

²Dr. Behçet Uz Çocuk Hastalıkları ve Cerrahisi Eğitim ve Araştırma Hastanesi

³Ege Üniversitesi

*Corresponding author: Cisel Yazan Songur

Özet: Yavaş bilişsel tempo (YBT) hayale dalıp gitme, uyanık kalmada zorlanma, düşük enerji, hayal dünyasında yaşama, şaşkın görünümde olma gibi klinik belirtiler gösteren bir bilişsel uyarılma bozukluğudur. Son yıllarda dikkat eksikliği ve hiperaktivite bozukluğunun bir alt tipi olarak düşünülmüş olsa da yapılan çalışmalar daha farklı bir bozukluk olduğu görüşünde birleşmektedirler. Bu çalışmada 8-12 yaş pür YBT tanılı olgular yaş-cinsiyet bakımından eşlenerek kontrol grubu ile karşılaştırılmıştır. 24 YBT olgusu ve 27 sağlıklı kontrolle çalışma tamamlanmıştır. Nöropsikiyatrik Test Bataryası (The Central Nervous System Vital Signs), klinik ölçekler, Çocuklar için Wechsler Zekâ Ölçeği – Gözden Geçirilmiş Form (WISC-R) ve Çocuklar İçin Duygudurum Bozuklukları ve Şizofreni Görüşme Çizelgesi – Güncel ve Yaşam Boyu Versiyonu (K-SADS-PL) ile değerlendirilmiştir. Bu çalışmada psikiyatrik komorbiditesi olmayan pür YBT olgularının sağlıklı kontrol grubu ile karşılaştırılarak klinik ve nöropsikolojik farklılıklarının belirlenmesi amaçlanmaktadır. Klinik ölçekler ve K-SADS-PL sonuçlarının incelenmesinin ardından iki grup belirlenmiştir: çalışma grubu (YBT; n=24) ve kontrol grubu (n=27). Tüm katılımcılara klinik ölçekler ve bilgisayarlı nöropsikolojik test bataryası uygulanmıştır. Bulgular, YBT grubunun ebeveyn eğitim düzeyinin anlamlı derecede düşük ve anne yaşının daha küçük olduğunu göstermiştir. YBT grubunun WISC-R puanları anlamlı biçimde daha düşük bulunmuş, ayrıca Barkley Çocuk Dikkat Ölçeği ve DSM-IV temelli Yıkıcı Davranış Bozuklukları Derecelendirme Ölçeği'nde dikkat semptomlarının daha belirgin olduğu görülmüştür. Bilgisayarlı nöropsikolojik test bataryası sonuçlarına göre ise nörobilişsel indeks, psikomotor hız, tepki süresi, karmaşık dikkat ve bilişsel esneklik YBT grubunda anlamlı derecede daha düşük bulunmuştur. YBT tanılı hastalara yönelik literatürdeki sınırlı sayıda çalışmaya rağmen, mevcut bulgular bu bireylerin özellikle psikomotor hız ve tepki süresiyle ilişkili alanlarda dikkate değer nöropsikolojik bozulmalar sergilediğini ortaya koymaktadır.

Anahtar Kelimeler: Yavaş Bilişsel Tempo, Central Nervous System Vital Signs, Nöropsikolojik İşlevler

Makale id= 63

Sözlü Sunum

ORCID ID: 0000-0002-1370-1696

| 305

Yoğun Bakım Hastalarında 30 Günlük Mortalitenin Öngörülmesinde Tiroid Fonksiyon Testleri ve Albüminin Prognostik Değeri

Uzman Dr. Yakup Özgüngör¹, Uzman Dr. Burak Emre Gilik¹, Uzman Dr. Emre Karagöz¹,
Doç.Dr. Mensure Çakırgöz¹, Uzman Dr. Hicret Yeniay²

¹İzmir Şehir Hastanesi

²Balıkesir Atatürk Şehir Hastanesi

*Corresponding author: Yakup Özgüngör

Özet: Amaç: Yoğun bakım hastalarında tiroid hormon düzeylerindeki değişiklikler sık görülmekte ve prognozu etkileyebilmektedir. Ancak yoğun bakım ünitesine (YBÜ) kabul sırasında ölçülen tiroid stimulan hormon (TSH), serbest triiodotironin (FT3) ve serbest tiroksin (FT4) düzeylerinin prognostik değeri belirsizdir. Bu çalışmada, tiroid fonksiyon testleri ile albümin düzeylerinin 30 günlük mortalityi öngörmedeki rolü araştırıldı. Yöntem: Retrospektif ve gözlemsel tasarlanan bu çalışmaya Ocak–Temmuz 2024 arasında İzmir Şehir Hastanesi Genel YBÜ’ye kabul edilen 196 hasta dahil edildi. İlk 24 saat içinde ölçülen TSH, FT3, FT4, albümin, rutin biyokimya, hemogram ve APACHE II skorları değerlendirildi. Birincil sonuç ölçütü 30 günlük mortalityeydi. İstatistiksel analizlerde Ki-kare, Student-t, Mann–Whitney U testi, lojistik regresyon ve ROC analizi kullanıldı. Bulgular: Hastaların yaş ortalaması $68,9 \pm 14,5$ yıl, APACHE II skoru $25,1 \pm 13,5$ idi. Otuz günlük mortalitye %48,5 (n=95) oranında gerçekleşti. Tek değişkenli analizde düşük TSH, düşük FT3 ve düşük albümin düzeyleri ile yüksek APACHE II skoru mortalityeyle anlamlı ilişkili bulundu. Çok değişkenli analizde ise TSH (OR: 0,854, p=0,012), albümin (OR: 0,885, p=0,001) ve APACHE II skoru (OR: 1,144, p

Anahtar Kelimeler: Albümin, Tiroid Fonksiyon Testleri, Tsh, Non-Tiroidal Hastalık Sendromu, 30 Günlük Mortalite

Prognostic Value of Thyroid Function Tests and Albumin in Predicting 30-Day Mortality in Icu Patients

Abstract: Background: Alterations in thyroid hormone levels are common among critically ill patients and may impact prognosis. The prognostic value of thyroid-stimulating hormone (TSH), free triiodothyronine (FT3), and free thyroxine (FT4) measured at ICU admission remains uncertain. This study aimed to evaluate the role of thyroid function tests and albumin in predicting 30-day mortality in intensive care unit (ICU) patients. Methods: This retrospective observational study included 196 patients admitted to the general ICU of İzmir City Hospital between January and July 2024. Thyroid function tests (TSH, FT3, FT4), albumin, routine biochemical parameters, complete blood count, and APACHE II scores obtained within the first 24 hours of ICU admission were analyzed. The primary outcome was 30-day mortality. Statistical analyses included Chi-square, Student’s t-test, Mann–Whitney U test, binary logistic regression, and receiver operating characteristic (ROC) analysis. Results: The mean age of the cohort was 68.9 ± 14.5 years, and the mean APACHE II score was 25.1 ± 13.5 . Thirty-day mortality occurred in 95 patients (48.5%). In univariate analysis, lower TSH, FT3, and albumin levels, and higher APACHE II scores were significantly associated with mortality. In multivariate logistic

regression, TSH (OR: 0.854, $p=0.012$), albumin (OR: 0.885, $p=0.001$), and APACHE II score (OR: 1.144, p

Keywords: Albumin, Non-Thyroidal Illness Syndrome, Thyroid Function Tests, Thyroid-Stimulating Hormone, 30-Day Mortality



Makale id= 51

Sözlü Sunum

ORCID ID: 0000-0002-7207-2041

| 307

Yoğun Bakımda Solunum Yetmezliği Mortalite Riski: Skorlama Sistemleri ve Akut Komplikasyonların Karşılaştırmalı Analizi

Dr. Öğretim Üyesi Pervin Hancı¹, Uzman Dr. Faruk Yıldız¹, Dr. Özge Hacer Eker¹, Prof.Dr. Volkan İnal¹
¹Trakya Üniversitesi

*Corresponding author: Pervin Hancı

Özet: Giriş: Akut solunum yetmezliği (ASY), yoğun bakıma yatış nedenleri arasında ilk sıralarda yer almakta ve yüksek mortalite oranları ile ilişkilidir. Prognostik faktörlerin belirlenmesi, risk sınıflandırmasının geliştirilmesi ve tedavi stratejilerinin yönlendirilmesi açısından kritik öneme sahiptir. Yöntem: Aralık 2023 ile Temmuz 2025 tarihleri arasında Trakya Üniversitesi Tıp Fakültesi Medikal Yoğun Bakım Ünitelerine ASY nedeniyle yatırılan hastalar retrospektif olarak çalışmaya dahil edildi. Demografik özellikler, komorbiditeler, ciddiyet skorları [Charlson Komorbidite İndeksi (CCI), Acute Physiology and Chronic Health Evaluation (APACHE II), Sequential Organ Failure Assessment (SOFA), Clinical Frailty Scale (CFS)], yatış sırasında şok varlığı, invaziv mekanik ventilasyon (İMV) ihtiyacı ve yoğun bakım süresince gelişen komplikasyonlar [yeni şok gelişimi, İMV ihtiyacı, akut böbrek yetmezliği (ABY), renal replasman tedavisi (RRT) ihtiyacı, hastane kökenli enfeksiyonlar] ile yoğun bakım mortalitesi kaydedildi. Bulgular: Yoğun bakım mortalitesi %71,5 (n=211) idi. Ölen hastalarda CCI, APACHE II ve SOFA skorları sağ kalanlara göre anlamlı derecede yüksekti. Çok değişkenli lojistik regresyon analizinde mortalite ile bağımsız olarak ilişkili faktörler; yoğun bakım süresince şok gelişimi (OR=19,2; %95 GA: 7,7–47,8; p<0,001), yatışta şok varlığı (OR=13,0; %95 GA: 4,6–36,7; p<0,001), yoğun bakım süresince İMV ihtiyacı (OR=10,0; %95 GA: 3,8–26,5; p<0,001), akut böbrek yetmezliği (OR=3,6; %95 GA: 1,5–8,6; p=0,003) ve APACHE II skoru (her 1 puan artış için OR=1,12; %95 GA: 1,05–1,19; p=0,001) olarak belirlendi. ROC analizi, mortaliteyi öngörmekte en yüksek ayırtıcı gücün APACHE II’de olduğunu gösterdi (AUC=0,714; %95 GA: 0,658–0,764). Bunu sırasıyla SOFA (AUC=0,692; %95 GA: 0,636–0,744), CFS (AUC=0,660; %95 GA: 0,602–0,713) ve CCI (AUC=0,636; %95 GA: 0,578–0,691) izledi. Sonuç: Solunum yetmezliği nedeniyle yoğun bakıma yatırılan hastalarda şok, invaziv mekanik ventilasyon ve akut böbrek yetmezliği mortalitenin güçlü bağımsız belirleyicileri olarak öne çıkmaktadır. APACHE II, mortalite öngörüsünde en güçlü prognostik skor olmayı sürdürmektedir. Bulgularımız, mortalite riskinin doğru belirlenebilmesi için akut komplikasyonların ve ciddiyet skorlarının birlikte değerlendirilmesi gerektiğini vurgulamaktadır.

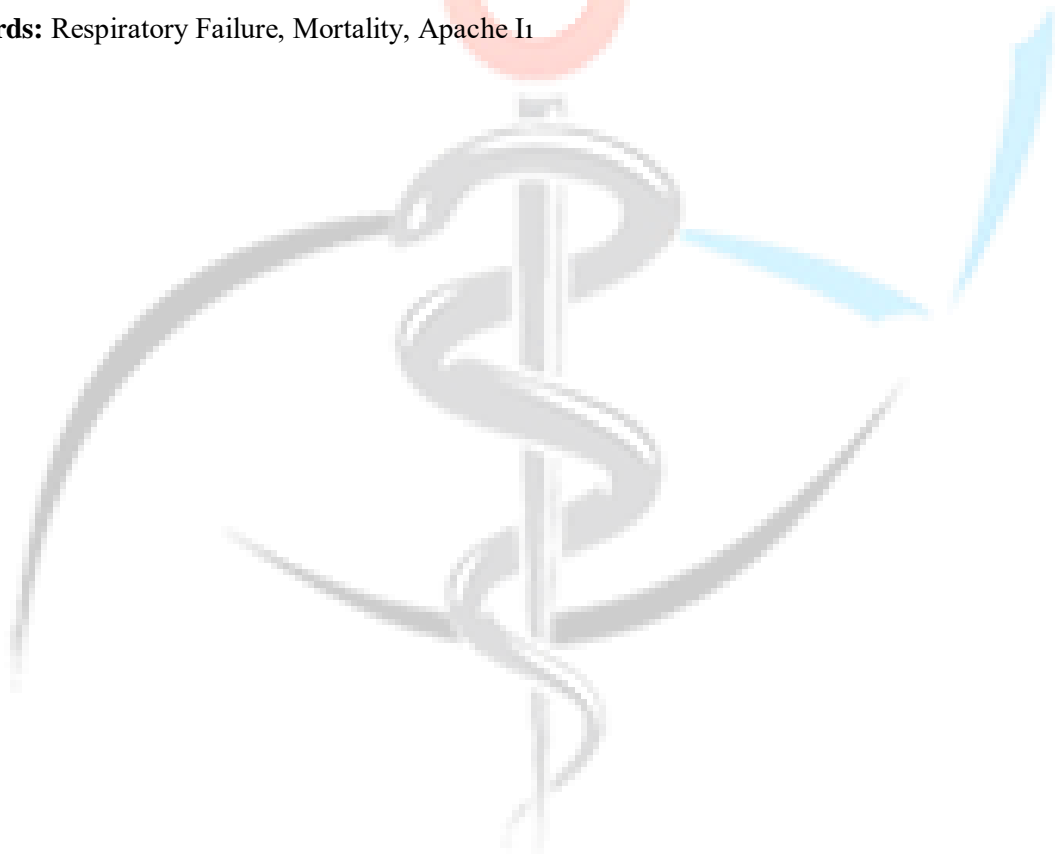
Anahtar Kelimeler: Solunum Yetmezliği, Mortalite, Apache Iı

Mortality Risk Stratification in Respiratory Failure: the Role of Severity Scores and Complications

Abstract: Background: Acute respiratory failure (ARF) is one of the leading causes of admission to intensive care units (ICU) and is associated with high mortality. Identifying prognostic factors is crucial to improving risk stratification and guiding management. Methods: Patients admitted to the Trakya University Medical Intensive Care Units due to ARF between December 2023 and July 2025 were

included in the study retrospectively. Demographic characteristics, comorbidities, severity scores [(Charlson Comorbidity Index [CCI], Acute Physiology and Chronic Health Evaluation (APACHE II), Sequential Organ Failure Assessment (SOFA), Clinical Frailty Scale (CFS)], presence of shock, need for invasive mechanical ventilation (IMV) at the admission, clinical complications during the ICU stay [new onset shock, need for IMV, acute renal failure (ARF), need for renal replasman therapies (RRT), hospital acquired infections) and ICU mortality were recorded. Results: Overall ICU mortality was 71.5% (n=211). Non-survivors had significantly higher CCI, APACHE II, and SOFA scores compared to survivors. In the multivariable logistic regression model, independent predictors of mortality were shock during ICU stay (OR=19.2, 95% CI: 7.7–47.8, $p<0.001$), presence of shock at admission (OR=13.0, 95% CI: 4.6–36.7, $p<0.001$), IMV during ICU stay (OR=10.0, 95% CI: 3.8–26.5, $p<0.001$), acute renal failure (OR=3.6, 95% CI: 1.5–8.6, $p=0.003$), and APACHE II score (OR=1.12 per point, 95% CI: 1.05–1.19, $p=0.001$). ROC analysis demonstrated the highest predictive accuracy for APACHE II (AUC=0.714, 95% CI: 0.658–0.764), followed by SOFA (AUC=0.692, 95% CI: 0.636–0.744), CFS (AUC=0.660, 95% CI: 0.602–0.713), and CCI (AUC=0.636, 95% CI: 0.578–0.691). Conclusion: In ICU patients admitted with respiratory failure, acute clinical complications such as shock, invasive mechanical ventilation, and acute renal failure are strong independent predictors of mortality, while APACHE II remains the most powerful prognostic score. These findings highlight the importance of integrating acute complications and severity scores for accurate mortality risk stratification.

Keywords: Respiratory Failure, Mortality, Apache Ii



Makale id= 119**Sözlü Sunum**

ORCID ID: 0000-0002-5084-7280

| 309

Youtube'daki Lomber Disk Hernisi Egzersiz Videolarının Kalitesi ve Güvenirliği**Uzman Dr. Uğur Güngör Demir¹**¹Mersin Şehir Eğitim ve Araştırma Hastanesi

Özet: Amaç: YouTube platformunda yer alan lomber disk hernisi (bel fıtığı) egzersiz videolarının bilimsel kalite ve güvenilirliğini değerlendirmek. Yöntem: YouTube, Türkçe anahtar kelimelerle ("lomber disk hernisi egzersizleri", "bel fıtığı egzersizleri", "bel fıtığı fizik tedavi hareketleri") tarandı. 50 video, Global Kalite Skalası (GKS) ve Modifiye DISCERN ölçeği kullanılarak puanlandı. Bulgular: Videoların %42'si düşük, %28'i orta ve %30'u yüksek kalite düzeyindeydi. Görüntülenme ($p=0,041$) ve beğeni sayıları ($p=0,022$) açısından gruplar arasında anlamlı fark saptandı. Yüksek kaliteli videoların izlenme sayıları orta kaliteli videolardan yüksek ($p=0,018$), ancak düşük kaliteyle benzerdi ($p=0,127$). Ortalama beğeni sayısı gruplar arasında farklı olmasına rağmen yüksek ve düşük kalite arasında fark bulunmadı ($p=0,136$). Video hazırlayıcı kaynağı ile kalite arasında anlamlı ilişki görülmedi ($p=0,457$); ancak akademisyenlerce hazırlanan videoların tamamı yüksek kalitedeydi. Sonuç: Yüksek ve düşük kaliteli videolar arasında izlenme ve beğeni sayıları açısından anlamlı fark bulunmamıştır. Bu durum, izleyicilerin içerik kalitesini ayırt etme farkındalığının düşük olduğunu ve düşük kaliteli videolara olan ilginin toplum sağlığı açısından risk oluşturabileceğini göstermektedir. Bu nedenle, uzman hekim ve akademisyenlerin nitelikli içerik üretimi teşvik edilmelidir.

Anahtar Kelimeler: Youtube, Lomber Disk Hernisi, Bel Fıtığı, Egzersiz, Global Kalite Skalası, Discern

Quality and Reliability of Lumbar Disc Herniation Exercise Videos On Youtube

Abstract: Objective: To evaluate the scientific quality and reliability of lumbar disc herniation (low back pain) exercise videos on the YouTube platform. Methods: YouTube was searched using Turkish keywords ("lumbar disc herniation exercises", "low back pain exercises", "low back pain physical therapy movements"). Fifty videos were evaluated and scored using the Global Quality Scale (GQS) and the Modified DISCERN instrument. Results: Among the evaluated videos, 42% were of low, 28% of moderate, and 30% of high quality. There were significant differences among groups in terms of view counts ($p=0.041$) and likes ($p=0.022$). High-quality videos had higher view counts than moderate-quality ones ($p=0.018$), but similar to low-quality videos ($p=0.127$). Although mean like counts differed between groups, there was no significant difference between high- and low-quality videos ($p=0.136$). No significant relationship was found between video source and quality ($p=0.457$); however, all videos uploaded by academicians were of high quality. Conclusion: There was no significant difference in mean view and like counts between high- and low-quality videos. This suggests that viewers may have limited awareness in distinguishing video quality, and that the popularity of low-quality content may pose potential risks to public health. Therefore, it is important to encourage physicians and academicians to produce high-quality educational content on digital platforms.

Keywords: Youtube, Lumbar Disc Herniation, Low Back Pain, Exercise, Global Quality Scale, Discern

Makale id= 17

Sözlü Sunum

ORCID ID: 0000-0001-8780-2943

| 310

“kanal Kemik Oranının (Cbr) Dorr Sınıflaması ve Singh İndeksi ile Korelasyonu: Proksimal Femur Kırıklı Hastalarda Retrospektif Analiz”

Uzman Dr. Salih Kaya¹

¹Erzurum Şehir Hastanesi

Özet: Amaç: Bu çalışmanın amacı, proksimal femur kırığı olan yaşlı hastalarda kantitatif bir radyografik ölçüm olan Kanal Kemik Oranı (CBR) ile yaygın olarak kullanılan Dorr sınıflaması ve Singh indeksi arasındaki ilişkiyi değerlendirmektir. Gereç ve Yöntem: 2021–2025 yılları arasında proksimal femur kırığı nedeniyle değerlendirilen 322 hasta retrospektif olarak incelendi. Radyolojik değerlendirme anteroposterior pelvis grafileri üzerinden yapıldı. CBR, küçük trokanterin 7 cm distalinden kontralateral sağlam femurda ölçüldü. Dorr sınıflaması (Tip A–B–C) ve Singh indeksi (Grade 1–6) iki bağımsız gözlemci tarafından değerlendirildi. CBR ile Singh arasındaki ilişki Spearman korelasyonu ile, CBR ile Dorr arasındaki ilişki ise Kruskal–Wallis testi ve post-hoc analizlerle incelendi. Bulgular: CBR ile Singh indeksi arasında anlamlı negatif korelasyon bulundu ($r = -0.46$, $p < 0.001$). Dorr sınıflamasında Tip C hastalarda CBR değerleri Tip A ve B'ye kıyasla anlamlı derecede yüksekti ($p = 0.002$). Ayrıca CBR ≥ 0.60 değerinin Singh ≤ 2 için %78 duyarlılık ve %72 özgüllükle öngörü sağladığı belirlendi. Sonuç: CBR, Dorr sınıflaması ve Singh indeksi ile anlamlı ilişki göstermektedir. Kantitatif bir ölçüm olarak CBR, kemik kalitesinin objektif değerlendirilmesine katkı sağlayabilir ve klasik radyografik indeksleri tamamlayıcı bir parametre olarak kullanılabilir.

Anahtar Kelimeler: Kanal Kemik Oranı, Dorr Sınıflaması, Singh İndeksi

Correlation of Canal Bone Ratio (Cbr) With Dorr Classification and Singh Index in Elderly Patients With Proximal Femur Fractures

Abstract: Objective: The aim of this study was to evaluate the relationship between the Canal Bone Ratio (CBR), a quantitative radiographic parameter, and two widely used bone quality indices, the Dorr classification and Singh index, in elderly patients with proximal femur fractures. Materials and Methods: A total of 322 patients with proximal femur fractures treated between 2021 and 2025 were retrospectively analyzed. Radiographic measurements were performed on anteroposterior pelvic radiographs. CBR was calculated 7 cm distal to the lesser trochanter on the contralateral intact femur. Bone quality was further assessed using the Dorr classification (Type A–C) and Singh index (Grade 1–6), evaluated independently by two observers. Correlation between CBR and the Singh index was analyzed using Spearman's test, and the association between CBR and Dorr classification was examined with the Kruskal–Wallis test followed by post-hoc analysis. Results: CBR demonstrated a significant negative correlation with the Singh index ($r = -0.46$, $p < 0.001$). Patients with Dorr type C morphology exhibited significantly higher CBR values compared with types A and B ($p = 0.002$). Moreover, a CBR threshold of ≥ 0.60 predicted a Singh index ≤ 2 with 78% sensitivity and 72% specificity. Conclusion: CBR is significantly correlated with both the Dorr classification and Singh index. As a quantitative metric, CBR may provide an objective assessment of bone quality and serve as a complementary parameter to traditional radiographic indices in elderly hip fracture patients.

Keywords: Canal Bone Ratio, Dorr Classification, Singh Index

Makale id= 117

Poster Sunum

ORCID ID: 0000-0001-6569-9877

| 311

Hipereozinofili İle Seyreden İmmün Yetmezlik Şüphesi: Skabies Olgusu**Uzman Dr. Hande Yüksel Bulut¹**¹Atatürk Sanatoryum Eğitim ve Araştırma Hastanesi, Çocuk İmmünoloji-Alerji Bölümü, Ankara

Özet: GİRİŞ: Skabiyez, bir insan paraziti olan *Sarcoptes hominis*'in neden olduğu kaşıntılı deri hastalığıdır. Skabiyes olgularında görülebilen hipereozinofili ve yüksek IgE düzeyleri immün yetmezliklerle karışabilmektedir. Bu nedenle ayırıcı tanı ve immünolojik değerlendirme önemlidir. OLGU SUNUMU: 4 ay kız hasta, postnatal 15. gününde başlayan döküntü şikayeti ile başvurdu. Özgeçmişinde özellik yok, ailede 10 aydır skabies tanısı vardı. Fizik muayenesinde yaygın püstüller döküntü vardı. Tırnaklar distrofik, kaba, yer yer kırılmış ve sarı renkliydi (Şekil 1,2). Diğer sistem muayeneleri olağandı. Laboratuvar tetkiklerinde lökosit 31000/mm³, nötrofil 2800/mm³, lenfosit 10280/mm³, eozinofil 16360/mm³ (%56,2) idi. Ig G: 572 mg/dl, Ig A: 25 mg/dl, Ig M: 77 mg/dl, total IgE: 956 IU/ml, lenfosit alt grupları CD3 %65, CD4 %41, CD8 %21, CD19 %28, CD16-56 %7'ydi. Tırnak örneklerinde *Sarcoptes hominis* akarı görüldü. Hastaya permetrin %5 krem tedavisi başlandı. Tedavi ile lezyonları gözle görülür şekilde geriledi. Lökosit 12400/mm³, nötrofil 8940/mm³, lenfosit 2400/mm³, eozinofil 120/mm³ (%1) 'ye geriledi. SONUÇ: Skabiyez hipereozinofili ile seyrederek immün yetmezlik benzeri klinik ve laboratuvar bulgularla prezente olabilir. Yaygın ve dirençli cilt lezyonları varlığında immün yetmezlik araştırmasına başlamadan önce skabiyez gibi enfeksiyonlar dışlanmalıdır.

Anahtar Kelimeler: Skabies, Hipereozinofili, İmmün Yetmezlik**Suspicion of Immunodeficiency Presenting With Hypereosinophilia: A Case of Scabies**

Abstract: INTRODUCTION: Scabies is an itchy skin disease caused by the human parasite *Sarcoptes hominis*. Hypereosinophilia and high IgE levels observed in scabies cases can be confused with immunodeficiency. Therefore, differential diagnosis and immunological evaluation are important. CASE REPORT: A 4-month-old female patient presented with a rash that began on the 15th postnatal day. Her medical history was unremarkable, and there was a family history of scabies for 10 months. Physical examination revealed a widespread pustular rash. The nails were dystrophic, rough, occasionally broken, and yellow (Figures 1 and 2). Other systemic examinations were normal. Laboratory tests revealed leukocytes 31,000/mm³, neutrophils 2,800/mm³, lymphocytes 10,280/mm³, and eosinophils 16,360/mm³ (56.2%). Ig G: 572 mg/dl, Ig A: 25 mg/dl, Ig M: 77 mg/dl, total IgE: 956 IU/ml, and lymphocyte subsets CD3 65%, CD4 41%, CD8 21%, CD19 28%, and CD16-56 7%. *Sarcoptes hominis* mites were observed in nail samples. The patient was started on permethrin 5% cream. The lesions visibly regressed with treatment. Leukocytes decreased to 12400/mm³, neutrophils to 8940/mm³, lymphocytes to 2400/mm³, and eosinophils to 120/mm³ (1%). CONCLUSION: Scabies may present with hypereosinophilia and clinical and laboratory findings resembling immunodeficiency. In the presence of widespread and persistent skin lesions, infections such as scabies should be excluded before starting an immunodeficiency investigation.

Keywords: Scabies, Hypereosinophilia, Immunodeficiency

Makale id= 69

Poster Sunum

ORCID ID: 0009-0002-5583-5489

| 312

Right-Sided Aortic Arch With Mirror-Image Branching: A Case Report

Dr. Haris Sulejmani¹, Prof.Dr. Sonja Nikolova², Assoc.prof.Dr. Aleksandra Gavrilovska Brzanov³, Asst.Prof.Dr. Nikola Brzanov³, Prof.Dr. Marija Jovanovski Srceva³, Assoc.prof.Dr. Tijana Nastasovic⁴

¹Faculty of Medicine, Ss.Cyril and Methodius, Skopje, RN Macedonia

²University Institute of Radiology, Skopje, North Macedonia

³University Clinic for Traumatology, Orthopedics, Anesthesiology, Resuscitation, Intensive Care and Emergency Center- Skopje, Department of Anesthesiology, Resuscitation and Intensive Care Medicine, University of St. Cyril and Methodius - Skopje, Faculty of Medicine

⁴University Clinical Center, Departmen for Neurosurgery, Belgrade, Serbia

*Corresponding author: Aleksandra Gavrilovska Brzanov

Abstract: Background: Right-sided aortic arch with mirror-image branching is a rare congenital vascular anomaly, most often detected incidentally during imaging. While frequently asymptomatic in adults, identifying this variant is critical for accurate diagnosis and safe surgical or interventional planning. Case Presentation: A 77-year-old man undergoing a routine cardiovascular health assessment had a chest radiograph that revealed an abnormal mediastinal contour. Contrast-enhanced multidetector computed tomography demonstrated a right-sided aortic arch with mirror-image branching: the first branch was a left brachiocephalic trunk, followed by the right common carotid artery and right subclavian artery. A left ligamentum arteriosum completed a vascular ring around the trachea and esophagus, without significant luminal narrowing. No aneurysmal dilatation or associated congenital heart disease was present. The patient remained asymptomatic and was managed conservatively through counseling and follow-up. Conclusion: This case represents one of the oldest documented asymptomatic presentations of right-sided aortic arch with mirror-image branching and complete vascular ring. Detailed cross-sectional imaging enables precise anatomical definition, exclusion of associated pathology, and informed conservative management. Awareness of this variant is essential to prevent intraoperative complications and to optimize patient care.

Keywords: Right-Sided Aortic Arch, Mirror-Image Branching, Vascular Ring, Computed Tomography, Congenital Vascular Anomaly

Makale id= 74

Poster Sunum

ORCID ID: <https://orcid.org/0000-0001-5966-1055>

| 313

Safra Kaçağının Tam Kaplı Metal Stent ile Başarılı Yönetimi

**Uzman Dr. Mehmet Engin Özekin¹, Uzman Dr. Görkem Karadağ², Uzman Dr. Uygur Avcı²,
Öğr. Gör. Dr İdris Kurt²**

¹Pınarhisar Devlet Hastanesi

²Trakya Üniversitesi Tıp Fakültesi

*Corresponding author: İdris Kurt

Özet: Giriş: Safra kaçakları; travma, hepatobilier cerrahi sonrası gelişen iyatrojenik komplikasyonlar veya intrahepatik maligniteler ve bunlara yönelik uygulanan girişimsel tedaviler sonucu ortaya çıkabilir. Bu durumlar önemli morbidite ve mortalite nedenidir. Bu bildiriye, perkütan dren çıkarılmasını takiben gelişen safra kaçağı olgusu sunulmakta olup, kendi kendine genişleyen metal stent (SEMS) yerleştirilmesi ile başarılı şekilde tedavi edilmiştir. Olgu Sunumu: Yetmiş yaşında kadın hasta, şiddetli kolestaz ve kaşıntı şikâyetiyle başvurdu. Fizik muayenede sarılık dışında patolojik bulgu saptanmadı. Laboratuvar incelemelerinde belirgin kolestaz (total bilirubin 9,4 mg/dL, direkt bilirubin 8,7 mg/dL, alkalin fosfataz 314 IU/L, gama-glutamil transferaz 355 IU/L) saptanırken, hemogram ve enfeksiyon belirteçleri normaldi (lökosit $5,4 \times 10^3/\mu\text{L}$, nötrofil $3,3 \times 10^3/\mu\text{L}$, C-reaktif protein 5 mg/L). Radyolojik incelemede pankreas başında yaklaşık 3 cm'lik kitle ve belirgin safra yolu dilatasyonu izlendi. Tümöral obstrüksiyon nedeniyle endoskopik retrograd kolanjiografi (ERCP) başarısız oldu; bu nedenle kolestazın giderilmesi ve kolanjitin önlenmesi amacıyla acil perkütan transhepatik kolanjiografi (PTK) uygulandı. Biyopsi sonrası, drenajın artırılması ve hasta konforunun sağlanması için "rendezvous" yöntemi planlandı. Floroskopi eşliğinde perkütan yoldan duodenuma uzatılan kılavuz tel endoskopik olarak yakalanarak plastik stent yerleştirildi. İşlemden 24 saat sonra hastada karın ağrısı ve yeni gelişen asit saptandı. Bilgisayarlı tomografide asitin safra ile uyumlu olduğu görüldü. Acil ERCP'de safra kaçağı doğrulandı ve intraduktal basıncı azaltmak amacıyla 6 cm uzunluğunda, 10 mm genişliğinde SEMS yerleştirildi. Oral alım kesildi, geniş spektrumlu antibiyotik tedavisi başlandı. Kısa sürede klinik, radyolojik ve laboratuvar parametreleri normale döndü. Sonuç: ERCP, safra kaçağı tedavisinde tercih edilen yöntem olup yaklaşık %90 başarı oranına sahiptir. Endoskopik stentleme, distal safra yolu basıncını azaltarak kaçağın kapanmasını ve etkin safra drenajını sağlar.

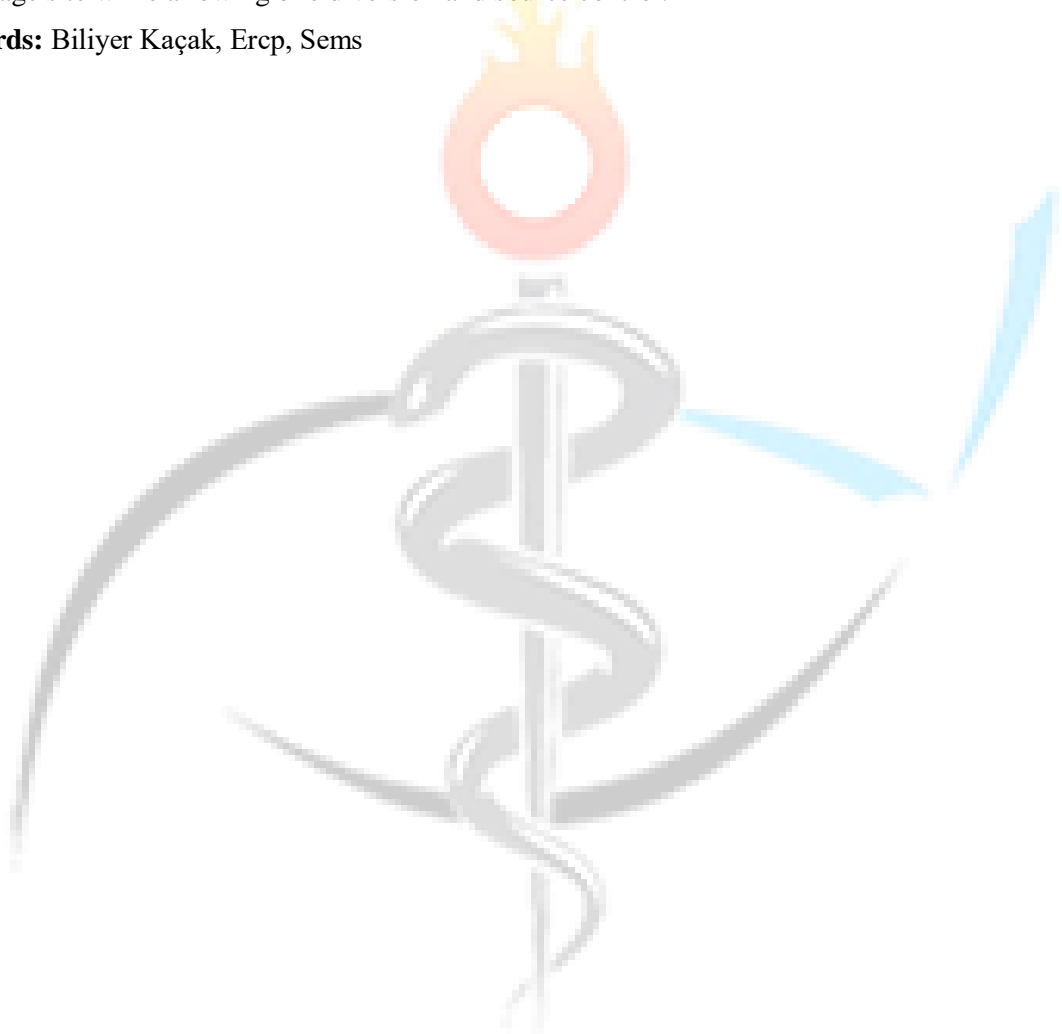
Anahtar Kelimeler: Biliary Leak, Ercp, Sems

Biliary Leak Successfully Managed With Self Expandable Metal Stent

Abstract: Background: Bile leaks may occur secondary to trauma, iatrogenic complications following hepatobiliary surgery, or intrahepatic malignancies and their related interventional therapies. They represent a significant source of morbidity and mortality. We report a case of bile leakage that developed after percutaneous drain removal and was successfully managed with self-expandable metal stent (SEMS) placement. Case Presentation: A 70-year-old female was admitted with severe cholestasis and pruritus. Except for jaundice, physical examination was unremarkable. Laboratory findings showed marked cholestasis (total bilirubin 9.4 mg/dL, direct bilirubin 8.7 mg/dL, alkaline phosphatase 314 IU/L, gamma-glutamyl transferase 355 IU/L) with normal hemogram and inflammatory markers (white blood cell count $5.4 \times 10^3/\mu\text{L}$, neutrophils $3.3 \times 10^3/\mu\text{L}$, C-reactive protein 5 mg/L). Radiological evaluation

revealed a 3 cm mass at the pancreatic head causing significant biliary dilatation. Endoscopic retrograde cholangiography (ERCP) failed due to tumoral obstruction; therefore, percutaneous transhepatic cholangiography (PTC) was performed for biliary drainage, which reduced cholestasis and prevented cholangitis. Following biopsy, a rendezvous procedure was planned to improve drainage and patient comfort. Under fluoroscopic guidance, a guidewire was advanced from the percutaneous tract into the duodenum and captured endoscopically to place a plastic biliary stent. Twenty-four hours after the procedure, abdominal pain and new-onset ascites were noted; computed tomography revealed bile leakage. Emergency ERCP confirmed the diagnosis, and a 6 cm × 10 mm SEMS was deployed in the common bile duct to minimize intraductal pressure. Oral intake was withheld, and broad-spectrum antibiotics were administered. Clinical, radiologic, and laboratory parameters normalized within a few days. Conclusion: ERCP remains the treatment of choice for biliary leaks, with success rates approaching 90%. Endoscopic stenting effectively reduces distal ductal pressure, promoting closure of the leakage site while allowing bile diversion and source control.

Keywords: Biliyer Kaçak, Ercp, Sems



Makale id= 71

Poster Sunum

ORCID ID: <https://orcid.org/0000-0001-5966-1055>

| 315

Tip 2 Biliyer Perforasyonun Tam Kaplı Metal Stent ve Perkütan Dren ile Başarılı Yönetimi

Uzman Dr. Mehmet Engin Özekin¹, Uzman Dr. Görkem Karadağ², Uzman Dr. Uygur Avcı²,
Öğr. Gör. Dr İdris Kurt²

¹Pınarhisar Devlet Hastanesi

²Trakya Üniversitesi Tıp Fakültesi

*Corresponding author: Mehmet Engin Özekin

Özet: 60 yaşında erkek hasta, akut kolanjit nedeniyle gastroenteroloji servisine yatırıldı. Epigastrik ağrı, ateş ve sarılık şikayetleriyle başvurdu. Laboratuvar testlerinde belirgin kolestaz saptandı (total bilirubin 7,3 mg/dL, direkt bilirubin 6,7 mg/dL, alkalen fosfataz 457 IU/L, gama-glutamil transferaz 513 IU/L) ve enfeksiyon belirteçlerinde belirgin artış mevcuttu (lökosit $17 \times 10^3/\mu\text{L}$, nötrofil $15 \times 10^3/\mu\text{L}$, C-reaktif protein 349 mg/L). Kolanjit tanısı konulan hastaya acil endoskopik retrograd kolanjiografi (ERCP) 48 saat içinde gerçekleştirildi ve koledoktan çok sayıda safra taşı çıkarıldı. İşlemden sonraki sabah, hastada epigastrik ve sağ lomber ağrı gelişti. Acil çekilen bilgisayarlı tomografide (BT), sağ perirenal alanda sıvı birikimi ve hava kabarcıkları izlendi (Şekil 1). Tip 2 biliyer perforasyon tanısı konularak, koledoğa kendi kendine genişleyerek açılan metal stent (SEMS) yerleştirildi (Şekil 2). Perirenal sıvı koleksiyonunu boşaltmak amacıyla da perkütan drenaj yapıldı (Şekil 3). Hastaya geniş spektrumlu intravenöz antibiyotik tedavisi ve kristaloit sıvılar verildi; oral alımı başlangıçta kesildi. Seri kontrol BT'lerinde perirenal sıvı ve hava kabarcıklarının tamamen kaybolduğu görüldü. İki haftalık tedavi sonrasında perkütan dren çıkarıldı ve SEMS yerleştirildikten bir ay sonra endoskopik olarak çıkarıldı. Hasta altı haftalık tedavi sonunda iyi durumda taburcu edildi ve halen poliklinik takibindedir.

Anahtar Kelimeler: Biliyer Perforasyon, Ercp, Kolanjit

Type 2 Biliary Perforation Successfully Managed With Placement of Self Expandable Metal Stent and Percutaneous Drain

Abstract: A 60-year-old male patient was admitted to the gastroenterology department with acute cholangitis. He presented with epigastric pain, fever, and jaundice. Laboratory tests revealed prominent cholestasis (total bilirubin 7.3 mg/dL, direct bilirubin 6.7 mg/dL, alkaline phosphatase 457 IU/L, gamma-glutamyl transferase 513 IU/L) and markedly elevated infection markers (white blood cell count $17 \times 10^3/\mu\text{L}$ with neutrophils $15 \times 10^3/\mu\text{L}$; C-reactive protein 349 mg/L). Due to cholangitis emergency endoscopic retrograde cholangiography (ERC) was performed within 48 hours, and multiple biliary stones were extracted from the common bile duct. The following morning, the patient developed epigastric and right lumbar pain. Urgent computed tomography (CT) revealed fluid collection and air bubbles in the right perirenal space (Figure 1). A type 2 biliary perforation was diagnosed, and a self-expandable metal stent (SEMS) was placed in the common bile duct (Figure 2). To drain the perirenal fluid collection, a percutaneous drain was inserted (Figure 3). Broad-spectrum intravenous antibiotic therapy and crystalloid fluids were administered, and oral intake was initially withheld. Serial control CT scans showed complete resolution of the perirenal fluid and air bubbles. The percutaneous drain was removed after two weeks of therapy, and the SEMS was removed endoscopically one month after

placement. The patient was discharged in good condition after six weeks and remains under outpatient follow-up.

Keywords: Biliary Perforation, Ercp, Cholangitis



Makale id= 154

Poster Sunum

ORCID ID: 0000-0001-7418-4170

| 317

Amino Acids Utilization in Ruminant Nutrition: An Overview

Dr. Jorge Adalberto Cayetano de Jesús¹, Prof.Dr. Mona Mohamed Mohamed Yasseen Elghandour¹, Dr. Edson Brodeli Figueroa Pacheco², Dr. José Luis Ponce-Covarrubias³, Prof.Dr. Abdelfattah Zeidan Mohamed Salem^{1,4}

¹Facultad de Medicina Veterinaria y Zootecnia, Universidad Autónoma del Estado de México, Toluca 50000, Estado de México, México

²Facultad de Ciencias Agropecuarias y Ambientales, Universidad Autónoma de Guerrero, Iguala de la Independencia 40040, México

³Escuela Superior de Medicina Veterinaria y Zootecnia No. 3, Universidad Autónoma de Guerrero (UAGro), Técpan de Galeana, Guerrero, México

⁴Dipartimento di Scienze del Suolo, della Pianta e degli Alimenti (Di.S.S.P.A.), Università degli Studi di Bari, Via Giovanni Amendola, 165/

*Corresponding author: Jorge Adalberto

Abstract: This review aimed to demonstrate that supplementing livestock feed with protected amino acids (AA) is a good option for AA utilization in ruminant nutrition. However, several factors affect the AA utilization, such as their dosage, as well as the type or composition of diets, the conditions of our livestock farms, their objectives, and other factors. These suggestions are based on previous work; unfortunately, dietary limiting AA of lysine and methionine utilization. Various authors tell us that paying attention to balancing rations based on limiting AA will allow us to increase the total supply of protein above the requirements of the animals. Supplementation with essential protected AA (lysine and methionine) has positive effects on the parameters of ruminal fermentation, production of ammoniacal nitrogen, carcass characteristics, and meat quality of cattle involved in the research work carried out. In literature, the effect of protected lysine, at 0 and 0.4% in two diets with 15 and 12% of crude protein, respectively, and a hydroxy-methionine analogue in sheep, concluding that supplementation with protected lysine considerably improved nitrogen retention of sheep. In addition, two sources of methionine and lysine (free AA and in the form of chelates), in goats' basal diets of 13.8% crude protein, the lipid coating and chelation of AA considerably protect them from ruminal microbial degradation and have effects on ruminal fermentation. Several authors have undertaken the task of evaluating the effect of protected AA under different conditions, to mention a few. However, the effect of supplementation with protected lysine and methionine on different levels of crude protein in the diet.

Keywords: Amino Acids, Lysine, Methionine, Ruminal Fermentation

Makale id= 153

Poster Sunum

ORCID ID:

| 318

Effect of Heat Stress On Replacement Female's Goat Kids and Ewes' Lambs in a Tropical Climate

Dr. Miguel Ángel Gastelum-Delgado¹, Dr. Ethel Caterina García Y González², Dr. Antonio Aguilar-Quiñones¹, Dr. José Vicente Velázquez-Morales³, Dr. José Alonso-Galeana⁴, Dr. José Luis Ponce-Covarrubias²

¹Facultad de Agronomía, Universidad Autónoma de Sinaloa, Culiacán, Sinaloa, México

²Escuela Superior de Medicina Veterinaria y Zootecnia No. 3, Universidad Autónoma de Guerrero (UAGro), Técpan de Galeana, Guerrero, México

³División de Ciencias Biológicas y de la Salud, Universidad Autónoma Metropolitana, Unidad Iztapalapa, Ciudad de México, México

⁴Facultad de Medicina Veterinaria y Zootecnia No. 1, Universidad Autónoma de Guerrero, Ciudad Altamirano, Guerrero, México

*Corresponding author: Armando Parra García

Abstract: Heat stress is an abiotic factor that affects the well-being of small ruminants. During the months of June to September 2023, the thermoregulatory responses of heat-stressed females goat kids (n=10) and ewe lambs (n=10) were assessed in a tropical climate in southern Mexico. In the study, climatic variables (temperature (°C) humidity (%) and index, $THI=T-\{[0.55*(1-RH)]*(T-14.4)\}$) and physiological variables [(respiratory rate/breaths per minute (RR), heart rate/beats per minute (HR) and rectal temperature/°C (TR)] were measured. Additionally, the heat tolerance coefficient ($HTC = [RT/39] + [RR/23]$) was calculated for the female animals. In the experiment throughout the summer, maximum THI values were presented at noon (87 U) and minimum values in the morning and afternoon (70 and 80 U, respectively). The female animals showed a HTC greater than 3 units. Additionally, RR was consistently higher in ewe lambs across all sampling times (p

Keywords: Females Goat Kids, Ewe Lambs, Thermoregulation, Physiological Variables, Animal Welfare.

Makale id= 147

Poster Sunum

ORCID ID:

| 319

Evaluate the Effects of Nandrolone Decanoate Application On Ribs and Loin in Pigs in the Finishing Stage

Dr. Edson Brodeli Figueroa Pacheco¹

¹Facultad de Ciencias Agropecuarias y Ambientales, Universidad Aut3noma del Estado de Guerrero, M3xico

Abstract: This study was conducted at the pig farm of the Faculty of Agricultural and Environmental Sciences, Tuxpan unit. The experiment lasted 60 days, equivalent to two months. The selected pens were washed for subsequent use, and a control group and two treatment groups were established, each with four pigs. The first treatment (control) consisted of a diet (corn, soy, and mineral salts), the second treatment consisted of the same diet with the addition of an anabolic (nandrolone decanoate) every 15 days, and the third treatment was based on the diet and the application of the anabolic agent every 21 days. The objectives were to measure feed conversion, daily weight gain, and loin and rib increase in pigs in the finishing stage with the application of the anabolic agent (nandrolone decanoate) and fed a diet based on corn, soybeans, and mineral salts. The amount of feed provided for the three treatments was 20 kg for two months, and the anabolic agent was only applied for treatments one (15 days) and two (21 days), according to the weight of each pig (one ml per 100 kg).

Keywords: Nandrolone Decanoate, Pigs, Meat

Makale id= 149

Poster Sunum

ORCID ID: 0000-0001-7418-4170

| 320

Use of Probiotic Fungi, Bacteria, and Yeasts As Food Additives in Livestock Nutrition

Dr. Edson Brodeli Figueroa Pacheco¹, Prof.Dr. Mona Mohamed Mohamed Yasseen Elghandour², Prof.Dr. Abdelfattah Zeidan Mohamed Salem³

¹Facultad de Ciencias Agropecuarias y Ambientales, Universidad Autónoma del Estado de Guerrero, México

²Faculty of Veterinary Medicine and Zootechnics, Autonomous University of the State of Mexico, 50000 Toluca, Mexico

³Dipartimento di Scienze del Suolo, della Pianta e degli Alimenti (Di.S.S.P.A.), Università degli Studi di Bari, Via Giovanni Amendola, 165/

*Corresponding author: Edson Brodeli

Use of Probiotic Fungi, Bacteria, and Yeasts As Food Additives in Livestock Nutrition

Abstract: The search for healthy and safe alternatives to improve animal productivity in the ruminant and non-ruminant industry has been a focus of attention since the ban on the use of growth-promoting antibiotics as feed additives. Among these alternatives are fungi and their enzymatic products, yeast and its fermentation products, as well as live bacteria. They are capable of detoxifying toxins, as well as increasing the digestibility of neutral and acid detergent fiber. The most prominent of these probiotics are *Saccharomyces cerevisiae*, *Trichoderma*, and *Aspergillus* spp. as well as *Lactobacilli* and *Bifidobacterium*. *Trichoderma* and *Aspergillus* spp. are examples of fungi that have greatly improved the digestibility of dietary fiber, milk composition, weight gain, final body weight, and feed conversion rate, especially in ruminants. Similarly, bacteria such as *Lactobacillus* and *Bifidobacterium* have been shown to improve body weight and ileum and jejunum development, while *Pediococcus pentosaceus* and *Lactobacillus plantarum* improve chicken flavor and pork quality, respectively. The objective of this review is to evaluate the impact of fungi, bacteria, and yeasts used in the livestock industry on animal nutrition, animal production, and meat quality.

Keywords: Additives, Livestock Performance, Microorganisms, Nutrition, Probiotics.

Makale id= 55

Sözlü Sunum

ORCID ID: 0000-0003-3425-3201; 0000-0002-3943-0097

Broyleslerde Spaghetti Meat (İpliksi Kas) Anomalisi

Ph.c.canc. Tuğçe Necla Selvi¹, Assoc.prof.Dr. Tülay Elal Muş¹
¹Bursa Uludağ Üniversitesi

*Corresponding author: Tuğçe Necla Selvi

Özet: Son yıllarda artan beyaz et talebi doğrultusunda broyleslerde hızlı büyüme ve yüksek verimlik hedefiyle yapılan genetik seleksiyonlar, kendiliğinden gelişen miyopatilerin ortaya çıkmasına yol açmaktadır. Miyopatilerin, doku dejenerasyonuna neden olabilen hızlı kas büyümesi, yetersiz vaskularizasyon ve oksidatif stres ile ilişkili olduğu bildirilmektedir. Yoğun ve yığınsal üretimin bir sonucu olarak değerlendirilen miyopatiler; beyaz çizgilenme (white striping), odunsu göğüs (wooden breast) ve spaghetti meat (ipliksi kas) olarak sınıflandırılmaktadır. Spaghetti meat, pectoralis major kasında liflerin ayrılarak gevşek, ipliksi bir yapı oluşturmasıyla karakterize edilen kas anomalisi olarak tanımlanmıştır. Bu durum, göğüs kasının kranial bölgesinde kas liflerinin demetlerinin ayrılma eğilimi göstererek yapısının bozulmasına, kas liflerinin bütünlüğünün kaybolmasına ve makarna şeklinde uzun, ince, sert silindirik bir yapı görünümünü oluşumuna yol açmaktadır. Miyopatiler genellikle pektoralis majör kasının morфометrik ölçümlerinde, özellikle göğüs eti ağırlığı, verim ve yüksekliğinde değişiklikler gösterir. Miyopatilerin prevalansına ilişkin veriler sınırlıdır fakat hızlı büyüyen hibritlerin kullanıldığı tüm ülkelerde anormal göğüs yapısı sergileyen tavukların görüldüğü ve bu oranın beyaz et sektörünün kabul ettiğinden daha yüksek olabileceği öngörülmektedir. Kusurların şiddetine bağlı olarak miyopatilerden etkilenen göğüs etleri işlenmiş kanatlı ürünü olarak değerlendirilebilir; tüketilebilir olanlar ise verim, fonksiyon ve duyu kalite kaybına bağlı ekonomik zararlar yaratmaktadır. Tüketiciler için görsel bir kusur olan ve kanatlı etinin besin değeri ve gıda güvenliği bakımından şüpheli olarak değerlendirilen spaghetti meat etiolojisinin aydınlatılması ve önleyici stratejiler geliştirilmesi, gıda kalitesi ve beyaz et sektörünün sürdürülebilirliği açısından kritik önem taşımaktadır.

Anahtar Kelimeler: Broyle, Miyopati, İpliksi Kas, Pectoralis Majör, Beyaz Et, Et Kalitesi

Spaghetti Meat Myopathy in Broilers

Abstract: In recent years, genetic selection for rapid growth and high performance in broilers, driven by increasing demand for white meat, has led to the emergence of spontaneously occurring myopathies. Myopathies have been reported to be associated with rapid muscle growth, insufficient vascularization, and oxidative stress, which can lead to tissue degeneration. Considered a consequence of intensive and large-scale production, myopathies are classified as white striping, wooden breast, and spaghetti meat. Spaghetti meat is defined as a muscle disorder characterized by the separation of fibers in the pectoralis major muscle, forming a loose, stringy structure. This condition leads to the disruption of the cranial region of the breast muscle, with muscle fiber bundles tending to separate, loss of fiber integrity, and the formation of long, thin, firm cylindrical structures resembling spaghetti. Myopathies typically cause changes in the morphometric measurements of the pectoralis major muscle, particularly affecting breast meat weight, yield, and height. Data on the prevalence of myopathies are limited; however, abnormal breast muscle structures have been observed in chickens across all countries using fast-growing hybrids, and this proportion is likely higher than what is accepted by the white meat industry. Depending on the severity of the defects, breast meat affected by myopathies can be considered as processed poultry products; those that are consumable create economic losses due to loss of yield, function and sensory quality. Understanding the etiology of spaghetti meat, which is a optic defect for consumers and is

considered questionable in terms of nutritional value and food safety of poultry meat, and developing preventive strategies are of critical importance for food quality and the sustainability of the white meat sector.

Keywords: Broiler, Myopathy, Spaghetti Meat, Pectoralis Major, White Meat, Meat Quality



Makale id= 193

Sözlü Sunum

ORCID ID: 0000-0001-6077-0478

| 323

Kanatlılarda Enfeksiyöz Laringotrakeitis Virüsüne Moleküler ve Epidemiyolojik Yaklaşımlar

Dr. Özge Ardıçlı¹

¹Bursa Uludağ Üniversitesi

Özet: Enfeksiyöz Laringotrakeitis (ILT), kanatlılarda görülen, yüksek bulaşıcılığa sahip dünya genelinde önemli bir viral solunum sistemi hastalığıdır. Etken, Orthoherpesviridae ailesine ait olan Enfeksiyöz Laringotrakeitis Virüsüdür (ILTV). ILTV enfeksiyonları, yumurta ve et veriminde azalma, yüksek mortalite oranları ile tedavi ve kontrol maliyetlerinin artması sonucu önemli ekonomik kayıplara neden olmaktadır. Özellikle yoğun üretim yapılan ticari sürülerde salgınlar hızla yayılarak üretim zincirini olumsuz yönde etkilemektedir. Virüsün timidin kinaz (TK) geni virülens açısından kritik rol oynamakta ve sıklıkla heterolog genlerin entegrasyonu için hedef bölge olarak kullanılmaktadır. Glikoprotein B (gB), C (gC) ve D (gD) ise virüsün konak hücreye tutunması ve girişinde görev olarak güçlü humoral ve hücrel immün yanıtları uyarmaktadır. ICP4 geni ise replikasyon ve latent enfeksiyonun sürdürülmesinde temel bir düzenleyici unsur olup, moleküler karakterizasyon ve aşı geliştirme çalışmaları açısından büyük önem taşımaktadır. Çalışmalar, Türkiye'deki kanatlı sürülerinde ILTV enfeksiyonlarının yaygın olduğunu göstermiştir. Bu doğrultuda, virüsün genetik çeşitliliğinin analiz edilmesi ve immün sistemden kaçış mekanizmalarının aydınlatılması, etkili bir sürveyans sistemi oluşturulması ve başarılı aşı stratejilerinin geliştirilmesi açısından kritik öneme sahiptir. Özellikle ICP4, TK ve glikoprotein genlerine odaklanan moleküler düzeydeki araştırmalar, virüsün epidemiyolojik dinamiklerinin anlaşılmasına önemli katkı sağlamıştır. Canlı atenué aşılardan uygun şekilde kullanımı, revertant (geri dönüşlü) ve rekombinant suşların ortaya çıkmasına yol açarak sahada viral evrimi hızlandırmakta ve yeni varyantların oluşumuna neden olmaktadır. Bu durum, mevcut aşılardan etkinliğini azaltarak ILTV enfeksiyonlarının kontrolünü zorlaştırmaktadır. Türkiye, kapsamlı genomik sürveyans, gelişmiş aşı stratejileri ve biyogüvenlik önlemlerinin bir arada uygulanmasıyla, ILTV'nin kanatlı endüstrisine yönelik ekonomik ve sağlık temelli etkilerini azaltma konusunda proaktif ve sürdürülebilir bir yaklaşım benimseyebilir. Bu bütüncül strateji, yalnızca erken tanı ve salgın kontrolünü güçlendirmekle kalmayacak, aynı zamanda yeni viral varyantlara karşı ulusal düzeyde hazırlıklı olmayı da destekleyecektir.

Anahtar Kelimeler: Enfeksiyöz Laringotrakeitis Virüsü, Genetik Çeşitlilik, Aşı Stratejisi, Genomik Sürveyans

Molecular and Epidemiological Perspectives On Infectious Laryngotracheitis Virus in Poultry

Abstract: Infectious laryngotracheitis (ILT) is an important contagious viral respiratory disease of poultry worldwide, caused by the infectious laryngotracheitis virus (ILTV), which belongs to the family Orthoherpesviridae. ILTV infections cause severe economic losses by reducing egg and meat yield, increasing mortality rates, and elevating treatment and control costs. In large-scale commercial flocks, outbreaks can spread rapidly, disrupting the entire production chain. The viral thymidine kinase (TK) gene contributes to virulence and serves as a common integration site. Glycoproteins B (gB), C (gC),

and D (gD) mediate viral attachment and entry while inducing strong humoral and cellular immune responses. The ICP4 gene is a key regulatory element essential for ILTV replication and latency, making it an important target for molecular characterization and vaccine development. Previously published reports have demonstrated that ILTV infections are widespread among poultry flocks in Türkiye. In this context, analyzing the genetic diversity of the virus and elucidating its immune evasion mechanisms are essential for establishing effective monitoring systems and developing successful vaccination strategies. In particular, molecular investigations focusing on genes such as ICP4, TK, and glycoprotein are of great significance. Furthermore, the improper use of live attenuated vaccines has led to the emergence of revertant and recombinant strains, driving the viral evolution in the field and promoting the formation of new variants. This phenomenon diminishes the efficacy of existing vaccines and complicates the control of ILTV infections. By combining comprehensive genomic surveillance with the development of advanced vaccines and the implementation of stringent biosecurity practices, Türkiye can adopt a proactive and sustainable approach to mitigating the economic losses and health challenges posed by ILTV in its poultry industry. Such an integrated strategy would not only enhance early detection and outbreak control but also strengthen national preparedness against emerging viral variants.

Keywords: Infectious Laryngotracheitis Virus; Genetic Diversity; Vaccine Strategy; Genomic Surveillance



Makale id= 9

Sözlü Sunum

ORCID ID: 0000-0002-2677-179X

| 325

Kolistin ve Tek Sağlık

Prof.Dr. Uçkun Sait Uçan¹, Researcher Ceren Bekdik¹

¹Selçuk Üniversitesi

*Corresponding author: Uçkun Sait Uçan

Özet: Kolistin, Dünyada Enterobacterales'in neden olduğu bağırsak enfeksiyonlarının oral tedavisinde veteriner tıpta yaygın bir şekilde kullanılmaktadır. Bu antibiyotik sıklıkla kümes hayvanları ve domuz sağlığına yönelik olarak ve bağırsak enfeksiyonlarının kontrolünde tercih edilmektedir. Tıpta ise son seçenek antibiyotiği olan ve dolayısıyla hayati derecede önem arz eden kritik bir kematörepötiktir. Veteriner kullanıma bağlı gelişen direncin beşeri izolatlardaki dirence bir şekilde katkıda bulunduğu düşünülmekte ve Kolisine karşı gelişen direncin kaynaklarının belirlenmesinde ve ilgili tedbirlerin zamanında alınmasında Tek Sağlık yaklaşımı ilkelerinin yol gösterici olabileceği düşünülmektedir. Bu derlemede kolistin direnci çeşitli yönleri ile değerlendirilerek bu antibiyotiğin hayvan ve insan enfeksiyonlarının sağaltımında daha etkin kullanımına yönelik Dünyadaki gelişmeler özetlenmiştir.

Anahtar Kelimeler: Kolistin, Veteriner Hekimlik, Tek Sağlık

Colistin and One Health

Abstract: Colistin is widely used in veterinary medicine for the oral treatment of intestinal infections caused by Enterobacterales worldwide. This antibiotic is often preferred for poultry and pig health in terms of the control of intestinal infections. In medicine, it is a last-line antibiotic and therefore a critical chemotherapeutic of vital importance. Resistance due to veterinary use is thought to contribute in some way to the resistance in human isolates, and it is considered that the principles of the One Health approach can be guiding in identifying the sources of resistance to colistin and taking the relevant measures in a timely manner. In this review, colistin resistance is evaluated in various aspects and the developments in the world for more effective use of this antibiotic in the treatment of animal and human infections.

Keywords: Colistin, Veterinary Medicine, One Health